

Ο. Τ. Ε. Α. Ε.  
ΥΠΟΔΙΕΥΘΥΝΣΙΣ ΕΚΠΑΙΔΕΥΣΕΩΣ

---

# ΦΕΡΕΣΥΧΝΑ ΣΥΣΤΗΜΑΤΑ

ΥΠΟ  
ΔΗΜ. ΓΙΑΝΝΙΚΑΚΗ

ΑΘΗΝΑΙ 1977

## Π Ρ Ο Λ Ο Γ Ο Σ

Ἡ ἀρχικὴ μορφή τοῦ παρόντος βοηθήματος ἦτο τοιαύτη ὥστε τοῦτο νὰ ἐκάλυπτε τὰς ἀνάγκας διδασκαλίας τοῦ μαθήματος τῶν φερεσύχων συστημάτων εἰς τὰ τμήματα Τεχνιτῶν, Ἑγκ/σεων καὶ Ρ/Η τῶν Σχολῶν Προσωπικοῦ ΟΤΕ.

Ἡ ἐπελθοῦσα ὁμως ἐν τῷ μεταξύ υἱοθέτησις παρ' ἡμῖν νέων συστημάτων ὑπερθέσεως ὡς καὶ ἡ ἀποφίς ὅτι τό βοηθήμα τοῦτο θά ἦτο δυνατόν νὰ καταστῇ χρήσιμον καὶ εἰς τοὺς ἐνδιαφερομένους διὰ τὰς βασικὰς ἀρχὰς τῶν συστημάτων ὑπερθέσεως, ὁδήγησαν εἰς τὴν προσθήκην ἀρκετῶν νέων κεφαλαίων.

Οὕτως εἰς τὰς ἀκολουθοῦσας σελίδας ἐξετάζονται αἱ βασικαὶ ἀρχαὶ καὶ δίδονται χαρακτηριστικὰ παραδείγματα δι' ἀμφοτέρας τὰς κατηγορίας τῶν συστημάτων ὑπερθέσεως, ἢτοι τῶν συστημάτων ὑπερθέσεως διὰ κατανομῆς συχνότητος (φερεσύχων συστημάτων) καὶ τῶν τοιούτων διὰ κατανομῆς χρόνου. Ἐπομένως ὁ ἀκριβέστερος τίτλος τοῦ βιβλίου τοῦτο θά ἦτο: "Συστήματα Ὑπερθέσεως".

Εἰς τό II μέρος ἀναλύονται τὰ βασικά κυκλώματα τῶν φερεσύχων συστημάτων ἐνῷ δέν συμβαίνει τοιοῦτον τι διὰ τὰ συστήματα ὑπερθέσεως διὰ κατανομῆς χρόνου. Τοῦτο θά ἀποτελέσῃ ἀντικείμενον μελλοντικῆς συμπληρώσεως, ἀφοῦ προηγουμένως ἐκ τῶν εἰσαχθησόμενων, τοῦλάχιστον παρ' ἡμῖν, συστημάτων ὑπερθέσεως τῆς κατηγορίας ταύτης (κυρίως τῶν PCM) καταστῇ δυνατὴ ἡ ὁμαδοποίησις καὶ ἡ κατάταξις τῶν χρησιμοποιουμένων κυκλωμάτων.

Αἱ πρὸς κατανόησιν τῶν διαφόρων κεφαλαίων ἀπαιτούμεναι βασικαὶ γνώσεις κυρίως ἐκ τῶν ἡλεκτρονικῶν καὶ τῆς θεωρίας τῶν τετραπόλων κατεβλήθη προσπάθεια νὰ ἐκτίθενται συμπερασματικῶς. Διὰ πληρεστέραν κατατόπισιν ὁ ἀναγνώστης πρέπει νὰ προσφεύγῃ εἰς τὰ κατάλληλα εἰδικὰ βοηθήματα, ἐνδεικτικὸς κατάλογος τῶν ὁποίων παρέχεται εἰς τὴν παρατιθεμένην βιβλιογραφίαν.

Περαινῶν ἐπιθυμῶ ὅπως εὐχαριστήσω θερμῶς τοὺς κάτωθι ὑπηρεσιακοὺς παράγοντας, οἱ ὅποιοι εἴτε διὰ τῆς παροχῆς σχετικῶν στοιχείων εἴτε διὰ χρησίμων ὑποδείξεων ἐβοήθησαν σημαντικῶς εἰς τὴν πραγματοποίησιν τῆς προσπάθειάς μου:

α. Τσαούσης Εὐάγγελος Ὑποδ./Τ



β. Κυπαρίσσης 'Ιωάννης Τομ./Τ

γ. Λαμπρινόπουλος 'Ανδρέας 'Υποτ./Τ

δ. "Αννινος Γεώργιος ΠΥ1/Τ

'Επίσης θερμαί εύχαριστίαι όφείλονται καί πρός τούς συναδέλφους μου τοϋ Υ.Τ.Κ.Α., μετά τών όποίων κατά τό μακρόν, σχετικώς, διάστημα τής συνεργασίας μας εις τήν υπηρεσίαν τών Φ/Σ έμελετήθησαν καί ελύθησαν πολλά έν τών άναφερθέντων προβλημάτων καί μάλιστα εις μίαν έποχήν καθ' ήν ή έλλειψις τής σχετικής βιβλιογραφίας, άκόμη καί τής διεθνούς, ήτο αίσθητή.

'Αθήναι 1973

Δημ. Γιαννινάκης

# ΠΙΝΑΞ ΠΕΡΙΕΧΟΜΕΝΩΝ

Σελίς

## I. ΕΙΣΑΓΩΓΗ

1. ΣΚΟΠΟΣ ΤΩΝ ΣΥΣΤΗΜΑΤΩΝ ΥΠΕΡΘΕΣΣΕΩΣ .....	1
2. ΔΙΑΙΡΕΣΙΣ ΤΩΝ ΣΥΣΤΗΜΑΤΩΝ ΥΠΕΡΘΕΣΣΕΩΣ .....	3
3. ΕΙΔΗ ΜΕΤΑΔΟΣΕΩΣ ΕΙΣ ΤΑ ΦΕΡΕΣΥΧΝΑ .....	6
3.1. Μετάδοσις επί μεταλλικοῦ φορέως ἐκ 2 ἀγωγῶν .....	6
3.2. Μετάδοσις ἐπὶ φορέως ἐκ 4 ἀγωγῶν .....	8
3.3. Μετάδοσις μέσῳ ραδιοηλεκτρικῶν ζεύξεων .....	9
4. ΔΙΑΙΡΕΣΙΣ ΦΕΡΕΣΥΧΝΩΝ ΣΥΣΤΗΜΑΤΩΝ .....	10
5. ΜΟΝΑΔΕΣ ΜΕΤΡΗΣΕΩΝ ΕΙΣ ΤΑΣ ΤΗΛΕΠΙΚΟΙΝΩΝΙΑΣ .....	10
5.1. Στάθμη .....	10
5.2. Σχετική στάθμη .....	11
5.3. Ἀπόλυτος στάθμη .....	12
5.4. Προσδιορισμός ἀπολύτου στάθμης ἰσχύος ἐκ τῆς ἀπολύτου στάθμης τάσεως .....	16
5.5. Στάθμη μετρήσεως .....	18
5.6. Στάθμη ἀναφορᾶς .....	19

## II. ΒΑΣΙΚΑ ΚΥΚΛΩΜΑΤΑ ΤΗΣ ΦΕΡΕΣΥΧΝΟΥ ΤΕΧΝΙΚΗΣ

6. ΔΙΑΜΟΡΦΩΤΗΣ .....	21
6.1. Διαμορφωταί διὰ διόδων .....	21
6.1.1. Διαμορφωτῆς ἄνευ ἰσοσταθμίσεως .....	21
6.1.2. Διαμορφωτῆς ἀπλῆς ἰσοσταθμίσεως .....	25
6.1.3. Διαμορφωτῆς διπλῆς ἰσοσταθμίσεως .....	27
6.1.4. Ἀσυμμετρία τοῦ διαμορφωτοῦ .....	28
6.1.5. Κυματομορφὴ τοῦ σήματος ἐξόδου τοῦ διαμορφωτοῦ .....	30
6.1.6. Σύνδεσις διαμορφωτοῦ μετὰ φίλτρου .....	33
6.2. Διαμορφωτῆς διὰ τρανζίστορ .....	34
6.3. Ὁμαδοποιήσις τῶν φερουσυχνικῶν διοδεύσεων .....	36
7. ΠΕΡΙΟΡΙΣΤΗΣ ΠΛΑΤΟΥΣ .....	43
8. ΠΑΘΗΤΙΚΑ ΤΕΤΡΑΠΟΛΑ .....	45
8.1. Φίλτρα .....	46
α) Φίλτρα L-C .....	48
β) Φίλτρα R-C .....	50
γ) Κρυσταλλινὰ φίλτρα .....	51
δ) Μηχανικὰ φίλτρα .....	51

	Σελίς
8.2. Μετασχηματίζεται προσαρμογής .....	54
8.3. Έξασθενηταί (στοιχεΐα αποσβέσεως) .....	54
8.4. Έξισωταί .....	57
9. ΤΕΡΜΑΤΙΚΑΙ ΔΙΑΤΑΞΕΙΣ .....	61
9.1. Διαφορικός μετασχηματιστής .....	61
9.2. Τερματική διάταξις 2 μετασχηματιστών .....	68
9.3. Διάταξις αποξείξεως (ζεύκτης) .....	69
10. ΕΝΙΣΧΥΤΑΙ .....	70
10.1. Παραμορφώσεις εις τούς ενισχυτάς .....	71
10.2. Οί ενισχυταί εις τά Φ/Σ .....	75
10.2.1. Ένισχυταί χαμηλών συχνοτήτων (Χ.Σ.) .....	75
10.3. Ένισχυταί εύρέως φάσματος .....	75
10.3.1. Ανάδρασις .....	77
10.3.2. Ένισχυταί γραμμής .....	81
10.3.2.1. Μηχανικόν σύστημα αυτόματου ρυθμί- σεως στάθμης .....	88
10.3.2.2. Σύστημα αυτόματου ρυθμίσεως στά- θμης-διά-θερμίστορ .....	90
11. ΠΑΡΑΓΩΓΗ ΦΕΡΟΥΣΩΝ ΣΥΧΝΟΤΗΤΩΝ .....	90
11.1. Βασική γεννήτρια .....	90
11.2. Παραγωγή φερουσών διά πολλαπλασιασμού/ διαίρέσεως τής συχνότητος τής βασικής γεννητρίας .....	96
11.3. Πολλαπλασιασμός συχνοτήτων διά χρήσε- ως κεκορεσμένων πηνίων .....	101
11.4. Διαίρεσις συχνοτήτων διά χρήσεως δι- σταθών πολυδονητών .....	103
12. ΔΙΑΤΑΞΕΙΣ ΠΕΡΙΟΡΙΣΜΟΥ ΘΟΡΥΒΩΝ .....	107
12.1. Γενικά .....	107
12.2. Κυκλώματα συστοδιαστολέων .....	108
12.3. Κυκλώματα προεμφάσεως - αποεμφάσεως .....	111
13. ΣΥΣΤΗΜΑ ΜΕΤΑΔΟΣΕΩΣ ΣΗΜΑΤΩΝ .....	114
14. ΔΙΑΤΑΞΕΙΣ ΤΗΛΕΦΩΝΗΤΡΙΑΚΗΣ ΤΗΛΕΠΙΛΟΓΗΣ .....	120
14.1. Μεταλλάκτης κεντρικής συστοιχίας .....	121
14.1.1. Κατεύθυνσις Α προς Β .....	121
14.1.2. Κατεύθυνσις Β προς Α .....	123
14.2. Μεταλλάκτης τοπικής συστοιχίας .....	124
15. ΤΡΟΦΟΔΟΤΙΚΑΙ ΔΙΑΤΑΞΕΙΣ .....	124



### III. ΠΕΡΙΓΡΑΦΑΙ ΦΕΡΕΣΥΧΝΩΝ ΤΗΛΕΦΩΝΙΚΩΝ ΣΥΣΤΗΜΑΤΩΝ

16. Φ/Σ 3 ΔΙΟΔΕΥΣΕΩΝ ΤΥΠΟΥ PST-L3 .....	129
16.1. Γενικά χαρακτηριστικά .....	129
16.2. Σχέδιον συχνοτήτων .....	130
16.3. Όδος έκπομπής .....	131
16.4. Όδος λήψεως .....	132
16.5. Αυτόματος ρύθμισης εξισώσεως (A.P.E.) .....	132
17. Φ/Σ 12 ΔΙΟΔΕΥΣΕΩΝ ΤΥΠΟΥ PST-L12 .....	135
17.1. Γενικά χαρακτηριστικά .....	135
17.2. Σχέδιον συχνοτήτων .....	137
17.3. Όδος έκπομπής .....	137
17.4. Όδος λήψεως .....	138
17.5. Αυτόματος ρύθμισης εξισώσεως .....	139
18. Φ/Σ 12 ΔΙΟΔΕΥΣΕΩΝ Z12K .....	141
18.1. Γενικά χαρακτηριστικά - Σχέδιον συχνο- τήτων .....	141
18.2. Όδος έκπομπής .....	142
18.3. Όδος λήψεως .....	143
18.4. Αυτόματος ρύθμισης στάθμης .....	144
19. ΦΕΡΕΣΥΧΝΩΝ ΣΥΣΤΗΜΑ V60 .....	145
19.1. Γενικά χαρακτηριστικά .....	145
19.2. Σχέδιον συχνοτήτων-άρχή λειτουργίας .....	145
20. Φ/Σ ΕΠΙ ΟΜΟΑΞΟΝΙΚΩΝ ΚΑΛΩΔΙΩΝ .....	147
21. ΣΥΣΤΗΜΑ V1260 .....	150
21.1. Σχηματισμός ζώνης μεταδόσεως .....	150
21.2. Όδος έκπομπής - όδος λήψεως .....	150
21.3. Αυτόματος ρύθμισης εξισώσεως .....	152
21.4. Ενδιάμεσοι ενισχυτικοί σταθμοί .....	155
21.5. Τηλετροφοδότησις ενδιαμέσων ενισχυτι- κών ανεπιβλέπτων Κέντρων .....	157
22. Φ/Σ V2700 .....	158
22.1. Σχέδιον συχνοτήτων .....	158
22.2. Όδος έκπομπής - όδος λήψεως .....	158
22.3. Αυτόματος ρύθμισης εξισώσεως .....	160
22.4. Ενδιάμεσοι ενισχυτικοί σταθμοί .....	162
22.5. Τηλετροφοδότησις ενδιαμέσων ενισχυτι- κών σταθμών .....	164
23. ΦΕΡΕΣΥΧΝΩΝ ΣΥΣΤΗΜΑ ΜΙΑΣ ΔΙΟΔΕΥΣΕΩΣ ΤΥΠΟΥ TD2 .....	165
23.1. Γενικά χαρακτηριστικά-Σχέδιον συχνοτή- των .....	165

23.2. Όδός διμιλίας .....	167
23.3. Μετάδοσις σημάτων .....	169
23.4. Παράδειγμα χρησιμοποίησεως τοῦ TD2 .....	170
23.5. Φώρασις .....	170
24. Η ΤΕΧΝΙΚΗ ΤΩΝ ΔΙΑΣΥΝΔΕΣΕΩΝ ΚΑΙ ΑΠΟΜΑΣΤΕΥΣΕΩΝ .....	173
24.1. Η τεχνική τῶν διασυνδέσεων .....	173
24.2. Η τεχνική τῶν ἀπομαστεύσεων .....	177

#### IV. ΦΕΡΕΣΥΧΝΑ ΤΗΛΕΓΡΑΦΙΚΑ ΣΥΣΤΗΜΑΤΑ

25. ΓΕΝΙΚΑΙ ΑΡΧΑΙ .....	180
25.1. Τά σήματα τοῦ τηλετύπου .....	180
25.2. Ταχύτης βήματος (ἢ τηλεγραφική ταχύτης) .....	181
25.3. Τηλεγραφική παραμόρφωσις .....	182
25.4. Μετάδοσις τῶν τηλεγραφικῶν σημάτων .....	183
25.5. Βασικόν σχέδιον ζεύξεως τηλετύπων μέσω Φ/Σ .....	185
25.6. Μετατροπεύς Α/Δ ρεύματος .....	187
25.7. Εὖρος τῆς ζώνης συχνότητων μιᾶς τηλεγραφικῆς διόδευσεως .....	187
25.8. Φορεῖς μεταδόσεως φερεσύχων τηλεγρ. συστημάτων .....	190
25.9. Στάθμη ἐκπομπῆς ἀνά διόδευσιν .....	192
26. ΠΕΡΙΓΡΑΦΑΙ ΦΕΡΕΣΥΧΝΩΝ ΤΗΛΕΓΡΑΦΙΚΩΝ ΣΥΣΤΗΜΑΤΩΝ	
26.1. ΣΥΣΤΗΜΑ ΕΞΩΖΩΝΟΥ ΤΗΛΕΓΡΑΦΙΑΣ ΑΜ ...	193
26.1.1. Γενική περιγραφή .....	193
26.1.2. Διαμορφωτής .....	195
26.1.3. Δέκτης .....	197
26.2. ΦΕΡΕΣΥΧΝΩΝ ΤΗΛΕΓΡΑΦΙΚΩΝ ΣΥΣΤΗΜΑ FM (24 ΔΙΟΔΕΥΣΕΩΝ, ΤΥΠΟΥ WT-FM) ...	199
26.2.1. Γενική περιγραφή .....	199
26.2.2. Ὁ πομπός τῆς διόδευσεως ..	200
26.2.3. Ὁ δέκτης τῆς διόδευσεως ..	202
27. ΜΕΤΡΗΣΙΣ ΤΗΣ ΠΑΡΑΜΟΡΦΩΣΕΩΣ ΤΩΝ ΤΗΛΕΓΡΑΦΙΚΩΝ ΣΗΜΑΤΩΝ .....	206

#### V. ΜΕΤΑΔΟΣΙΣ ΡΑΔΙΟΦΩΝΙΚΩΝ ΠΡΟΓΡΑΜΜΑΤΩΝ

28. ΦΕΡΕΣΥΧΝΩΝ ΡΑΔΙΟΦΩΝΙΚΩΝ ΣΥΣΤΗΜΑ 15 ΚΗz ...	210
--	-----



28.1. Γενικάί άρχαί .....	210
28.2. Σχέδιον συχνότητων .....	211
28.3. Όδός έμπομπής - καταστολή θορύβου ...	211
28.4. Όδός λήφews .....	214

## VI. ΣΥΣΤΗΜΑΤΑ ΥΠΕΡΘΕΣΕΩΣ ΔΙΑ ΚΑΤΑΝΟΜΗΣ ΧΡΟΝΟΥ

29. ΣΥΣΤΗΜΑ ΠΛΑΜΟΚΩΔΙΚΗΣ ΔΙΑΜΟΡΦΩΣΕΩΣ .....	215
29.1. Αναλογική καί ψηφιακή μετάδοσις .....	216
29.2. Σύγκρισις μεταξύ αναλογικής καί ψηφια- κής μεταδόσεως .....	219
29.3. Δειγματοληψία .....	219
29.4. Κβαντοποίησης καί συστολή .....	222
29.5. Κωδικοποίησης .....	224
29.6. Σχηματισμός του συστήματος υπερθέσεως διά κατανομής χρόνου .....	226
29.7. Συγχρονισμός .....	227
29.8. Μετάδοσις σημάτων .....	228
29.9. Βασικά διατάξεις ενός συστήματος PCM	228
29.10. Σύστημα PCM 30/32 .....	230
30. ΤΗΛΕΓΡΑΦΙΚΑ ΣΥΣΤΗΜΑΤΑ MUX .....	237
30.1. Η άρχή της αυτόματου διορθώσεως των λαθών (ARQ) .....	239
30.2. Υπερθέσις διά κατανομής χρόνου .....	242
30.3. Περιγραφή συστήματος ELMUX 2/4DT .....	243
30.3.1. Όδός έμπομπής .....	245
30.3.2. Όδός λήφews .....	247
30.3.3. Κεντρικά διατάξεις άρχή του συγχρονισμού .....	248
30.3.4. Διατάξεις αναπαραγωγής των παλ- μών-άποσυνδέσεως συγχρονισμού .....	250

## VII. ΜΕΤΑΔΟΣΙΣ ΔΟΤΩΝ

31.1. Είσαγωγή .....	252
31.2. Μέθοδοι μεταδόσεως .....	253
31.3. Γενική μορφή ενός συστήματος μεταδό- σεως δοτών .....	256
31.4. Διαμορφωτής-Αποδιαμορφωτής (Δ-Α) των συστημάτων data .....	258



# ΠΙΝΑΞ των χρησιμοποιούμενων συμβόλων

Σύμβολον	Επεξήγησης	Σύμβολον	Επεξήγησης
	Αγωγός		Φίλτρον βαθυπερατόν
	Αγωγός άνευ διασταυρώσεως		Φίλτρον ύψιπερατόν
	Αγωγός μετά διασταυρώσεως		Φίλτρον διελεύσεως ζώνης συχν.
	Γείωση		Φίλτρον αποκοπής ζώνης συχν.
	Πηγή συνεχούς τάσεως	A	Κοινός ή ομότερος ρωστήρ
	Πηγή αναλλασσομένης τάσεως	A	Βραδύτατος ρωστήρ
	Ασφάλεια	B	Πεπολαμένος ρωστήρ
	Λυχνία σηματοδότησεως		Έπαφή έφραγίας
	Αντίστασις		Έπαφή ήρεμίας
	Πυκνωτής		Μεταγωγική έπαφή
	Πηνίον		Μεταγωγική έπαφή πεπολαμένου ρωστήρος
	Πηνίον μέ σιδεροπυρήνα		Μετασχηματιστής προσαρμογής
	Μετασχηματιστής		Διάταξις προστασίας έξ υπερέντασεων
	Στοιχείου αποδόσεως		Τρόδος πυλνία A: Άνοδος Π: Όδηγόν ήλέγμαι K: Κάθοδος N: Μημια δευτερεύουσα
	Έξισωτής		Ε : Έπιτομής B: Βάσις C: Συλλέκτης
	Ένισχυτής		Διαφορικός μετασχηματιστής
	Ρύθμις κατά βήματα		Όργανον μετρήσεως
	Συνεχής ρύθμις		Διατάγμα διορθώσεως φάσεως
	Αυτόματος ρύθμις		Άσφάλεια προστασίας γραμμής
	Διευρυνιστής		Άλλεξήρωσον προστασίας γραμμής
	Προέμφασις		Πιεζοηλεκτρικός πρόσταλλος
	Άποέμφασις		Θερμίστορ
	Δίοδος		Όργανον ενδέξεως στάθμης όδηγού συχνότητας
	Δίοδος Zener		Μαγνητικός ενισχυτής
	Διαμορφωτής - Αποδιαμορφωτής		Παθόμετρημα
	Περιοριστής ητάτους		
	Συστολέυς		
	Διαστολέυς		

## ΒΙΒΛΙΟΓΡΑΦΙΑ

- MIX. ΑΝΑΣΤΑΣΙΑΔΟΥ: "Μαθήματα Ραδιοηλεκτρολογίας" Τόμος I, II.
- Α. ΒΟΜΒΟΡΙΔΗ: "Εισαγωγή στην Τεχνική της Τηλεγραφίας".  
 " : "Εισαγωγή στην Τεχνική της 'Ενσύρματης  
 'Υπεραστικής Τηλεφωνίας".
- Γ. ΒΟΥΔΟΥΡΗ: "'Ηλεκτροτεχνία".
- Κ. ΘΕΟΦΙΛΟΠΟΥΛΟΥ: "Εισαγωγή εις την θεωρίαν μεταδόσεως".
- Α. ΚΑΡΑΒΑ: "Τεχνική της φερεσύχνου Τηλεφωνίας καί Τηλε-  
 γραφίας".
- Ι. ΚΑΦΕΤΖΑΚΗ: "'Ηλεκτρικά δικτυώματα", Τόμος II, III, IV.
- Ι. ΚΥΠΑΡΙΣΣΗ: "Φερέσυχνα συστήματα"
- J. POTTER AND S. FICH: "Theory of networks and lines"
- R.N. RENTON: "Telecommunications principles".
- J.D. RYDER: "Electronic Fundamentals and Applications"
- THE ROYAL SIGNALS: "Handbook of Line Communication".
- E. HAAK: "Einführung in die Leitungstechnik".
- O. HENKLER: "Übertragungs technik im Fernmelde-  
 Weitverkehr" Teil I, II, III.
- HOFFMAN, FEIL, JANSEN: "Trägerfrequenz - Fernsprechen  
 auf Kabeln".
- W. HOFFMAN: "Der TF-Messbetrieb an Trägerfrequenz-  
 Einrichtungen und Trägerfrequenz -  
 Übertragungswegen"
- W. PIPPAPT: "Übertragungstechnik"
- " : " Grundlagen der Fernmeldetechnik"
- " : " Messtechnik" 1,2 Teilband.
- H. Pooch: "Taschenbuch der Fernmelde Praxis" 1967-1972
- SIEMENS: "CCITT - Rotbuch: Fernsprechübertragung"  
 Teil: Trägerfrequenz - Fernsprechen
- K. SCHÖNHAMMER, H.H.VOSS: "Fernschreib-Übertragungstechnik"

H. SCHRÖDER: "Elektrische Nachrichten-Technik"

VALVO: "Transistor - Kompendium" Teil I, Grundlagen.



## Ι. ΕΙΣΑΓΩΓΗ

### 1. ΣΚΟΠΟΣ ΤΩΝ ΣΥΣΤΗΜΑΤΩΝ ΥΠΕΡΘΕΣΕΩΣ

Προορισμός ενδύστου τηλεπικοινωνιακού συστήματος είναι ή δι' ήλεκτρομαγνητικού φορέως μεταβίβασις πληροφοριών εις μακρινάς αποστάσεις. Αι μεταβιβαζόμεναι πληροφορίες δυνατόν νά είναι ήμιλται, μουσική, τά διάφορα σύμβολα τοῦ γραπτοῦ λόγου (γράμματα, ἀριθμοί), εἰκόνες, σήματα ήλεκτρονιῶν ὑπολογιστῶν κ.λ.π.

Αἱ διατάξεις ἐνός τηλεπικοινωνιακοῦ συστήματος (σχ. 1), δύνανται νά χωρισθοῦν εἰς τὰς κάτωθι τρεῖς κατηγορίας:

α) Διατάξεις μετατροπῆς: Διά τῶν διατάξεων τούτων, αἱ πρὸς μεταβίβασιν πληροφορίας (π.χ. ἡχητικὰ κῶματα, σύμβολα τοῦ γραπτοῦ λόγου, εἰκόνες κ.λπ.), μετατρέπονται εἰς ήλεκτρικὰ σήματα. Μερικὰ ἀπὸ τὰς πλέον συνήθεις διατάξεις μετατροπῆς εἶναι τὸ μικρόφωνον, τὸ τηλέτυπον, ἡ "κάμερα" τηλεοράσεως κ.λ.π.

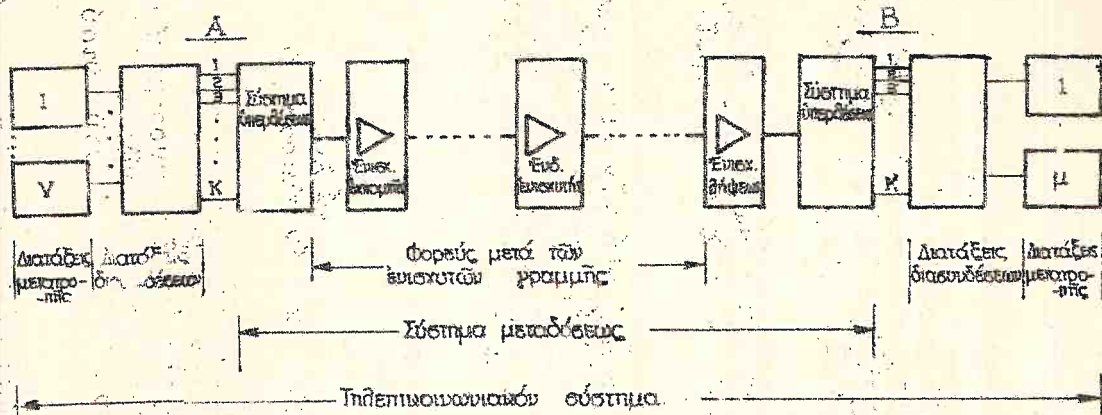
Αἱ διατάξεις μετατροπῆς εἰς τὴν πλευρὰν λήψεως (π.χ. ἀκουστικόν, τηλέτυπον, δέκτης τηλεοράσεως κ.λπ.) ἐργάζονται ἀντιστρόφως, μετατρέπουσαι τὰ λαμβανόμενα ήλεκτρικὰ σήματα εἰς κατάλληλον μορφήν πληροφορίας.

β) Διατάξεις διασυνδέσεων: Πρόκειται περὶ τῶν ὀργάνων καὶ λοιπῶν διατάξεων τῶν αὐτομάτων ἢ χειροκινήτων κέντρων, μέσω τῶν ὁποίων εἰς ἐκ τῶν συνδρομητῶν ἐνός κέντρου Α, δύνανται νά συνδεθῇ προσωρινῶς μετ' οἰουδήποτε ἐκ τῶν συνδρομητῶν ἑτέρου Κέντρου Β ἢ τοῦ αὐτοῦ Κέντρου Α.

γ) Τὸ σύστημα μεταδόσεως: Ἀποτελεῖται ἀπὸ τὰς πάσης φύσεως διατάξεις καὶ κυκλώματα, διὰ τῶν ὁποίων μεταβιβάζονται τὰ ήλεκτρικὰ σήματα ἐκ τοῦ κέντρου Α εἰς τὸ Β καὶ ἀντιστρόφως.

Ὅπως φαίνεται εἰς τὸ σχ. 1 τὸ σύστημα μεταδόσεως

περιλαμβάνει τόν φορέα μετά των ενισχυτών γραμμής και τα συστήματα υπερθέσεως.



Σχ. 1. Βασική διάρθρωση τηλεπικοινωνιακού συστήματος



Ο φορέας είναι δυνατόν να είναι είτε ένσώματος (καλώδια, έναέριοι γραμμές), είτε άσώματος (ραδιοηλεκτρικά ζεύξεις διά του έλευθέρου χώρου). Προορισμός των ένισχυτών γραμμής (έμπομπής, λήψεως, ένδιαμέσων ένισχυ-  
των) είναι ή ένίσχυσις των ήλεκτρικών σημάτων κατὰ τρό-  
πον ώστε ταύτα, παρὰ τήν έξασθένησιν τήν όποίαν θά υπο-  
στούν κατὰ τήν μετάδοσίν των διά του φορέως, νά έχουν τι-  
θέσεως.

Διά των συστημάτων υπερθέσεως επιδιώκεται ή καλύτε-  
ρα έμμετάλλευσις του διατιθεμένου φορέως, δηλαδή ή ταυ-  
τόχρονος μεταβίβασις πολλών όμοίων πληροφοριών μέσω του  
αύτου φορέως. Αί συσκευαί υπερθέσεως έπιτελούν καί έτε-  
ρον έργον: τήν σύντησιν των ήλεκτρικών σημάτων. Η σύν-  
τησις είναι άπαραίτητος, προς αύξησιν τής χωρητικότητος  
του φορέως. Π.χ. τό φάσμα των συχνοτήτων όμιλίας περιο-  
ρίζεται μέχρι των 3400 Hz, ήν καί φυσικώς έντείνεται πέ-  
ραν των 10.000 Hz. Βεβαίως, ή σύντησις πρέπει νά έντείν-  
νεται είς τοιούτον βαθμόν, ώστε νά μή υποβιβάζεται αί-  
σθητώς ή καταληπτότης. Ένταύθα, διευκρινίζεται ότι έν  
τηλεπικοινωνιακόν σύστημα είναι δυνατόν νά μή περιλαμβά-  
νει άπαντα τά άνωτέρω περιγραφέντα τμήματα. Ούτω:

- α) Αί σταθεραί ζεύξεις δέν άπαιτούν διατάξεις διασυνδέ-  
σεων.
- β) Όταν διά του φορέως δέν επιδιώκεται ή ταυτόχρονος με-  
τάδοσις πολλών όμοίων πληροφοριών, δέν άπαιτούνται  
συστήματα υπερθέσεως (π.χ. αί συνήθεις συνδρομητικάί  
γραμμές).
- γ) Δέν είναι άπαραίτητον ό φορέας νά είναι όμοιογενής.  
Π.χ. καλωδική γραμμή+ραδιοηλεκτρική ζεύξις+όμοαξονι-  
κόν καλώδιον.
- δ) Οι ένισχυταί γραμμές δέν είναι άπαραίτητοι όταν ό φο-  
ρέας παρουσιάζη μικράν έξασθένησιν ένώ έντιθέτως τό  
πλήθος των ένδιαμέσων ένισχυτών αύξάνει, αύξανόμενης  
τής έξασθενήσεως του φορέως.

## 2. ΔΙΑΙΡΕΣΙΣ ΤΩΝ ΣΥΣΤΗΜΑΤΩΝ ΥΠΕΡΘΕΣΕΩΣ

Από άπόψεως άρχής λειτουργίας τά συστήματα υπερθέ-

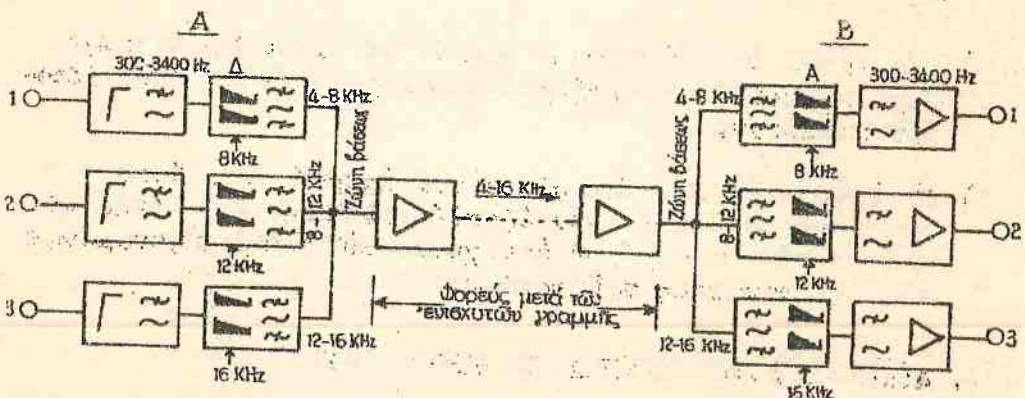


σεως διακρίνονται εις τὰς κάτωθι δύο κατηγορίας :

α) Συστήματα υπέρθεσεως διά κατανομῆς συχνότητος. Διά τοῦ φορέως εἶναι δυνατή ἡ ἱκανοποιητική μετάδοσις μιᾶς συγκεκριμένης ζώνης συχνοτήτων, ἡ ὁποία ἐξαρτᾶται κυρίως ἀπὸ τὰ χαρακτηριστικά τοῦ φορέως. Π.χ. μέσω μιᾶς ἐναερίου γραμμῆς εἶναι δυνατή ἡ μετάδοσις συχνοτήτων ἕως 150 KHz, ἐνῶ μέσω ὁμοαξονικοῦ σωλῆνος ἕως 60 MHz. Ἐπὶ πλέον ἡ ὠφέλιμος περιοχὴ συχνοτήτων ἐνὸς φορέως ἐξαρτᾶται καὶ ἀπὸ τὰς τεχνικὰς ἐξελίξεις. Π.χ. μέχρι πρό τινος, εἰς τὰ ὁμοαξονικά καλώδια ἦτο δυνατή ἡ ἐκμετάλλευσις μιᾶς ζώνης 12 MHz, ἐνῶ σήμερον χρησιμοποιεῖται ζώνη 60 MHz.

Αἱ πρὸς μεταδόσιν ὁμοιαὶ πληροφορίες ὅταν μετατραποῦν εἰς ἠλεκτρικὰ σήματα καταλαμβάνουν μίαν περιοχὴν συχνοτήτων (βασικὸν φάσμα), ἡ ὁποία ἔχει ἐν ὁρισμένον εὖρος. Π.χ. ἡ ὁμιλία κατέχει τὴν περιοχὴν 300-3400 Hz (διὰ διαφόρους λόγους, οἱ ὁποῖοι θὰ ἐξηγηθοῦν εἰς τὰ ἐπόμενα, τὸ βασικὸν φάσμα ὁμιλίας θεωρεῖται ὅτι ἐκτείνεται μεταξύ 0 καὶ 4000 Hz).

Ἡ υπέρθεσις διά κατανομῆς συχνότητος ἐπιτυγχάνεται μέσω τῶν φερεσύχων συστημάτων (Φ/Σ). Διὰ νὰ ἐπιτευχθῇ ἡ ταυτόχρονος μετάδοσις πολλῶν ὁμοίων πληροφοριῶν μέσω τοῦ αὐτοῦ φορέως, τὸ βασικὸν φάσμα ἐκάστης πληροφορίας μετατοπίζεται εἰς ἄλλην περιοχὴν συχνοτήτων, κειμένην ὅμως ἐντὸς τῆς ὠφελίμου περὶ τόχης τοῦ φορέως. Εἰς τὸ σχ. 2 παρίσταται ὁ τρόπος υπέρθεσεως τριῶν τηλεφωνικῶν διόδευσεων. Ἐκάστη διόδευσις θεωρεῖται ὅτι ἀρχίζει ἀπὸ τὴν εἴσοδον τῆς ὁδοῦ ἐκπομπῆς εἰς τὸ τερματικὸν τοῦ Φ/Σ τοῦ ἐνὸς Κέντρου καὶ περατοῦται εἰς τὴν ἐξοδὸν τῆς ὁδοῦ λήψεως τοῦ τερματικοῦ Φ/Σ τοῦ ἀπέναντι Κέντρου.



σχ. 2. Ὑπέρθεσις διά κατανομῆς συχνότητος τριῶν τηλεφωνικῶν διόδευσεων

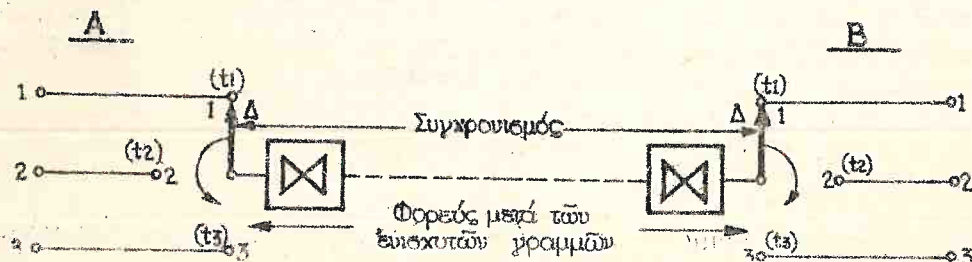
Είς τήν είσοδον ένασσης διόδου τρέφονται αἱ διατάξεις συντήσεως τοῦ σήματος (περιοριστής, φίλτρον) καί ἐν συνεχείᾳ ἐπεται ὁ διαμορφωτής ( $\Delta$ ), διὰ τοῦ ὁποίου ἐπιτυγχάνεται ἡ μετάθεσις συχνότητος τοῦ βασικοῦ φάσματος. Ἡ ἐν λόγω ὅμως μετάθεσις πραγματοποιεῖται εἰς διαφορετικήν, δι' ένασσην διόδου, περιοχήν συχνότητων. Οὕτω, ἡ 1η διόδουσις μετατίθεται εἰς τήν περιοχήν 4-8 KHz, ἡ 2α εἰς τήν περιοχήν 8-12 KHz καί ἡ 3η εἰς τήν περιοχήν 12-16 KHz. Αἱ τρεῖς διόδουσις καταλαμβάνουν συνολικῶς τήν περιοχήν 4-16 KHz (ζώνη βάσεως), ἡ ὅποια ὁδηγεῖται πρὸς τὸν ἐνισχυτὴν ἐμπομπῆς καί τὸν φορέα. Εἰς τὸ ἐναντι Κέντρον Β, μέσῳ καταλλήλων φίλτρων, διαχωρίζεται ἐκ τῆς ζώνης βάσεως, ἡ ζώνη ένασσης διόδουσις καί ὁδηγεῖται εἰς τὸν ἀποδιαμορφωτὴν (Α), ὅστις ἐκ τῆς ζώνης ταύτης ἀναπαράγει τὸ βασικὸν φάσμα.

Σημειώσεις: "Ζώνη βάσεως" (ΖΒ), εἶναι ἡ ζώνη συχνότητων, ἡ ὅποια ἐμφανίζεται εἰς τήν ἔξοδον τῶν συσκευῶν ὑπερθέσεως καί ὁδηγεῖται πρὸς τὸν φορέα. Ἡ ΖΒ εἶναι ἐνδεχόμενον εἴτε νὰ ὑποστῇ μίαν ἢ περισσοτέρας διαμορφώσεως ὥστε νὰ μετατεθῇ εἰς περιοχὴν καταλλήλων διὰ μετάδοσιν μέσῳ τοῦ διατιθεμένου φορέως (φάσμα γραμμῆς), εἴτε νὰ μεταδοθῇ ὡς ἔχη (ὅπως εἰς τὸ παρὰδειγμα τοῦ σχ. 2).

### β) Συστήματα ὑπερθέσεως διὰ κατανομῆς χρόνου

Ἡ βασικὴ διαφορά τῶν ἐν λόγω συστημάτων ὑπερθέσεως ἀπὸ τὰ Φ/Σ εἶναι ὅτι ὁ φορέας δὲν διατίθεται ταυτοχρόνως εἰς ἀπάσας τὰς διόδουσις τοῦ συστήματος, ἀλλὰ διαδοχικῶς ἐπὶ βραχὺ διάστημα εἰς ένασσην τούτων.

Εἰς τὸ σχ. 3 φαίνεται ἡ βασικὴ ἀρχὴ λειτουργίας ἐνός συστήματος κατανομῆς χρόνου διὰ τήν ὑπέρθεσιν τριῶν διόδουσις. Εἰς έναστον κέντρον τοποθετεῖται ἀνὰ εἰς διακόπτης Α (ἡλεκτρονικός), ἀμφότεροι δὲ διὰ καταλλήλου



Σχ. 3. Ὑπέρθεσις διὰ κατανομῆς χρόνου



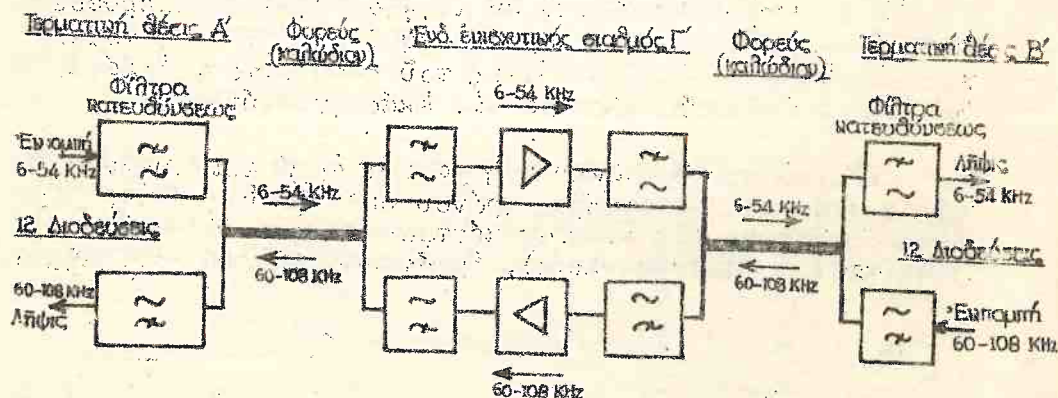
συστήματος συγχρονισμού περιστρέφονται ταυτοχρόνως. Τήν χρονικήν στιγμήν  $t_1$ , π.χ., οί βραχίονες αμφοτέρων τῶν διακοπτῶν εὐρίσκονται εἰς τήν θέσιν 1 καί συνεπῶς εἶναι δυνατή ἡ μετάδοσις τῶν σημάτων τῆς 1ης διοδεύσεως. Μετά ἀπὸ ὀρισμένον χρόνον, δηλαδὴ τήν χρονικήν στιγμήν  $t_2$ , οἱ βραχίονες θὰ τεθοῦν εἰς τήν θέσιν 2, διὰ τήν μετάδοσιν σημάτων τῆς 2ας διοδεύσεως κ.ο.κ.

### 3. Εἶδη μεταδόσεως εἰς τὰ φερέσυχνα

Ὅσον ἀφορᾷ εἰς τὸ εἶδος τοῦ φορέως, ὃ ὁποῖος χρησιμοποιεῖται διὰ τήν μετάδοσιν τῆς ζώνης βάσεως καί εἰς τὸν τρόπον χρησιμοποίησεως αὐτοῦ, διακρίνονται αἱ κάτωθι περιπτώσεις:

#### 3.1. Μετάδοσις ἐπὶ μεταλλικοῦ φορέως ἐκ 2 ἀγωγῶν.

Εἰς τήν περίπτωσιν ταύτην χρησιμοποιεῖται ἡ αὐτὴ μεταλλικὴ γραμμὴ καί διὰ τὰς δύο κατευθύνσεις μεταδόσεως, ἐκάστη ὁμῶς κατευθύνσις ἐργάζεται ἐπὶ διαφορετικῆς περιοχῆς συχνότητων. Εἰς τὸ σχ. 4 δεικνύεται ὡς παράδειγμα τὸ εἶδος αὐτῆς τῆς μεταδόσεως δι' ἓν  $\Phi/\Sigma$  12 διοδεύσεων καί φορέα ἓν ζεύγος καλωδίου.



Σχ. 4. Παράδειγμα μεταδόσεως ἐπὶ φορέως ἐκ δύο ἀγωγῶν.



Διὰ τὴν κατευθύνσιν μεταδόσεως ἀπὸ τὸ Κέντρον Α πρὸς τὸ Κέντρον Β, χρησιμοποιεῖται ἡ περιοχὴ συχνοτήτων 6-54 KHz, ἐνῶ διὰ τὴν ἀντίθετον κατευθύνσιν Β πρὸς Α ἡ περιοχὴ 60-108 KHz. Οὕτω τὸ Κέντρον Α ἐμπέμπει τὴν χαμηλὴν περιοχὴν 6-54 KHz καὶ λαμβάνει τὴν ὑψηλὴν περιοχὴν συχνοτήτων 60-108 KHz. Ἀντιθέτως, τὸ Κέντρον Β ἐμπέμπει τὴν ὑψηλὴν περιοχὴν 60-108 KHz καὶ λαμβάνει τὴν χαμηλὴν 6-54 KHz.

Ὁ διαχωρισμὸς τῆς κατευθύνσεως ἐμπομπῆς ἀπὸ τὴν κατευθύνσιν λήψεως εἰς τὰ κέντρα Α, Β καὶ εἰς τὸν ἐνδιάμεσον ἐνισχυτικὸν Γ ἐπιτυγχάνεται μέσῳ τῶν φίλτρων κατευθύνσεως.

Τὸ εἶδος αὐτῆς τῆς μεταδόσεως ἔχει τὰ κάτωθι πλεονεκτήματα:

α) Χρησιμοποιεῖται ἐν μόνον ζεύγος ἀγωγῶν ὡς φορέας.

β) Ὁ κίνδυνος διὰ τὴν ἐμφάνισιν καταληπτῆς διαφωνίας μεταξὺ τῶν ζευγῶν τοῦ αὐτοῦ καλωδίου εἶναι μικρότερος. Πράγματι, ἡ ἰσχυροτέρα διαφωνία εἶναι ἡ παραδιαφωνία, διότι προκαλεῖται ἀπὸ τὰ ὑψηλῆς στάθμης σήματα εἰς τὴν ἔξοδον τοῦ ἐνισχυτοῦ ἐμπομπῆς τοῦ παρενοχλοῦντος ζεύγους, ἐπὶ τῶν χαμηλῶν στάθμης σημάτων, τὰ ὁποῖα ὑπάρχουν εἰς τὴν εἰσόδον τοῦ ἐνισχυτοῦ λήψεως τοῦ παρενοχλουμένου ζεύγους. Ἀλλὰ ἐν προκειμένῳ τὰ δύο ταῦτα σήματα κεῖνται εἰς διαφορετικὰς περιοχὰς συχνοτήτων καὶ συνεπῶς ἡ διαφωνία δὲν θὰ εἶναι καταληπτή.

Ἐν τῶν ἀνωτέρω προκύπτει ὅτι διὰ νὰ καταστή ἡ διαφωνία ἀκατάληπτος πρέπει νὰ ληφθῇ πρόνοια ὥστε τὰ μέσῳ ζευγῶν τοῦ αὐτοῦ καλωδίου ἢ τῆς αὐτῆς ἀρτηρίας ἐναερίων γραμμῶν κυκλοφοροῦντα ρεύματα τῆς μιᾶς κατευθύνσεως μεταδόσεως νὰ κεῖνται εἰς διαφορετικὴν περιοχὴν συχνοτήτων ἀπὸ ἐκείνην τῶν ρευμάτων τῆς ἑτέρας κατευθύνσεως. Οὕτω, ἐὰν μεταξὺ τῶν Κέντρων Α καὶ Β τοῦ παραδείγματος τοῦ σχ. 4, ὑφίστανται καὶ ἕτερα Φ/Σ, πρέπει καὶ εἰς τὰ συστήματα αὐτὰ τὸ Κέντρον Α νὰ ἐμπέμπει τὴν ζώνην 6-54 KHz καὶ τὸ Κέντρον Β τὴν ζώνην 60-108 KHz.

Τὰ μειονεκτήματα ταύτης εἶναι:

α) Διὰ νὰ ἐπιτευχθῇ ὁ διαχωρισμὸς μεταξὺ τῶν δύο

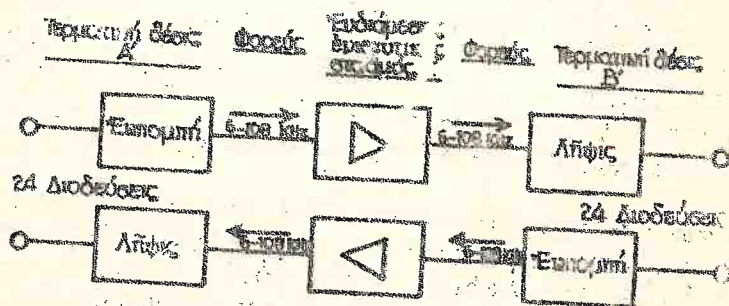
κατευθύνσεων μεταδόσεως, μέσω των φίλτρων κατευθύνσεως, υπάρχει κενόν 6 KHz μεταξύ των δύο περιοχών συχνοτήτων. Δηλαδή, δεν γίνεται πλήρης εκμετάλλευσις τῆς ωφέλιμου περιοχῆς συχνοτήτων τοῦ φορέως.

β) Οἱ ἐνδιόμεσοι ἐνισχυτικοὶ σταθμοὶ στοιχίζουν περισσότερον ἐναντι τῶν χρησιμοποιουμένων εἰς φορεῖς 4 ἀγωγῶν, διότι εἰς αὐτοὺς ἀπαιτοῦνται ἐπὶ πλέον δύο ζεύγη φίλτρων κατευθύνσεως.

Τό ἐν λόγῳ εἶδος ἐπικοινωνίας χρησιμοποιεῖται συνήθως εἰς  $\Phi/\Sigma$  μικροῦ ἐριθμοῦ διοδεύσεων (ἕως 12 διοδεύσεις). Ὡς φορεῖς χρησιμοποιοῦνται ζεύγη καλωδίου ἢ ἐναερίων ἀγωγῶν καὶ σπανίως ὁμοαξονικά καλώδια (ἕως 120 διοδεύσεις).

### 3.2. Μετάδοσις ἐπὶ φορέως ἐκ 4 ἀγωγῶν.

Εἰς τό σχ. 5 δεικνύεται ὡς παράδειγμα τό εἶδος αὐτῆς τῆς μεταδόσεως διὰ σύστημα 24 διοδεύσεων. Χρησιμοποιοῦνται δύο ζεύγη μεταλλικῆς γραμμῆς ἐνῷ ἐκάστη κατεύθυνσις μεταδόσεως καταλαμβάνει τὴν αὐτὴν περιοχὴν συχνοτήτων 6-108 KHz.



Σχ. 5. Παράδειγμα μεταδόσεως ἐπὶ φορέως ἐκ 4 ἀγωγῶν.

### Πλεονεκτήματα τῆς ἐν λόγῳ ἐπικοινωνίας:

α) Πλήρης χρησιμοποίησις τῆς ωφέλιμου περιοχῆς συχνοτήτων τοῦ φορέως.

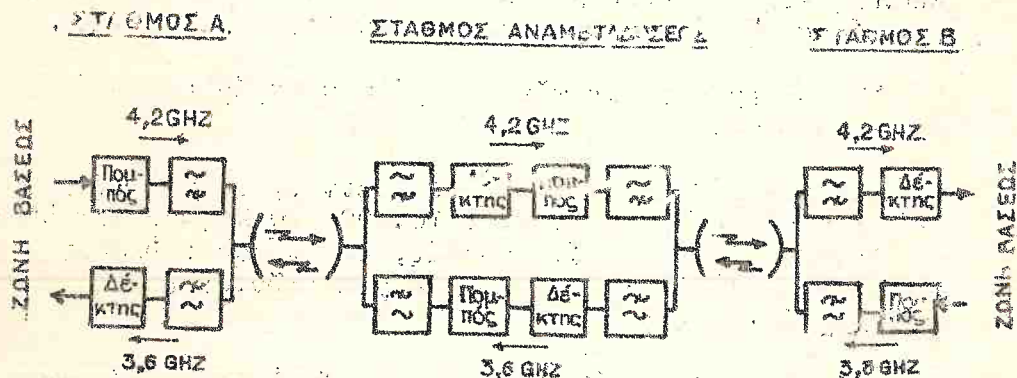
β) Δεν απαιτείται η χρησιμοποίηση φίλτρων κατευθύνσεως. Συνεπώς, οι ενδιάμεσοι ενισχυτικοί είναι εύθιγότεροι συγκρινόμενοι προς τους ενισχυτικούς του προηγούμενου είδους.

### Μειονεκτήματα:

- α) Χρησιμοποιούνται δύο ζεύγη αγωγών.
- β) Υπάρχει μεγαλύτερος κίνδυνος καταληπτής διαφωνίας έναντι της μεταδόσεως μέσω 1 ζεύγους.
- γ) Η επικοινωνία αυτή χρησιμοποιείται εις Φ/Σ μεγάλου αριθμού διόδευσεων (60, 120, 960, 1260, 2700, 10800 διόδευσεις).
- δ) Ως φορείς χρησιμοποιούνται ζεύγη φωνοσύχνου, περιοχικού ή όμοαξονικού καλωδίου.

### 3.3. Μετάδοσις μέσω ραδιοηλεκτρικών ζεύξεων

Εις τὸ εἶδος αὐτῆς τῆς μεταδόσεως, ἡ ζώνη βάσεως μετατοπίζεται, διὰ ἀναλόγων σταδίων διαμορφώσεως, εἰς ὑψηλότεραν περιοχὴν συχνότητων, κατὰλληλον πρὸς τὸ ἐπιθυμητὸν εἶδος τῆς αὐραματικῆς ζεύξεως.



Σχ. 6. Παράδειγμα ραδιοηλεκτρικῆς ζεύξεως.



Δι' ἐκαστὴν κατεύθυνσιν μεταδόσεως χρησιμοποιεῖται διαφορετικὴ περιοχὴ συχνότητων. Οὕτω, εἰς τὸ παράδειγμα τοῦ σχ. 6, διὰ τὴν κατεύθυνσιν Α-Β χρησιμοποιεῖται ἡ περιοχὴ τῶν 4,2 GHz ἐνῷ διὰ τὴν ἑλλήν κατεύθυνσιν Β-Α ἡ περιοχὴ τῶν 3,6 GHz.

Ἐπὶ τοῦ παρόντος αἱ ραδιοηλεκτρικαὶ ζεύξεις χρησιμοποιοῦνται διὰ δίκτυα χωρητικότητος μέχρι 1800 διοδύσεων.

#### 4. ΔΙΑΙΡΕΣΙΣ ΦΕΡΕΣΥΧΝΩΝ ΣΥΣΤΗΜΑΤΩΝ

Ἀναλόγως τοῦ εἴδους τῆς πρὸς μεταδοσὶν πληροφορίας τὰ Φ/Σ διακρίνονται βασικῶς εἰς:

- α) Φερέσυχνα τηλεφωνικὰ συστήματα.
- β) Φερέσυχνα τηλεγραφικὰ συστήματα.
- γ) Φερέσυχνα ραδιοφωνικὰ συστήματα.

#### 5. ΜΟΝΑΔΕΣ ΜΕΤΡΗΣΕΩΝ ΕΙΣ ΤΑΣ ΤΗΛΕΠΙΚΟΙΝΩΝΙΑΣ

##### 5.1. Στάθμη.

Εἰς τὰς τηλεπικοινωνίας χρησιμοποιεῖται ὁ ὅρος "στάθμη" διὰ νὰ χαρακτηρισθῇ ὁ λογάριθμος τοῦ πληθύνου τῶν ἡλεκτρικῶν μεγεθῶν (τάσεως, ἐντάσεως ἢ ἰσχύος) ἐνὸς σήματος εἰς δύο διαφορετικὰ σημεῖα τοῦ αὐτοῦ συστήματος μεταδόσεως ἢ δύο σημάτων εἰς τὸ αὐτὸ σημεῖον.

Ἡ χρησιμοποίησις τῶν λογαρίθμων παρέχει τὰ κάτωθι πλεονεκτήματα:

α) Τὰ προαναφερθέντα πηλίκια εἶναι, συχνά, ἐν τῇ πράξει μεγάλοι ἀριθμοί, π.χ. 10.000. Ὁ λογάριθμος ὅμως τοῦ 10.000 εἶναι 4 καί, συνεπῶς, οἱ διάφοροι ὑπολογισμοί ἀπλουστεύονται, διότι χρησιμοποιοῦνται σαφῶς μικρότεροι ἀριθμοί.

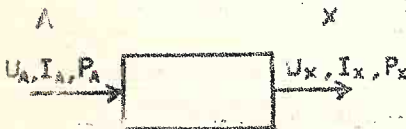
β) Ἐστὼ ὅτι διὰ τὸν ὑπολογισμόν ἐνὸς συστήματος μεταδόσεως ἀπαιτεῖται ὁ πολλαπλασιασμός τῶν ἀριθμῶν  $2670 \times 3150 \times 4230$ . Ἡ γνωστὴ ἰδιότης τῶν λογαρίθμων:  $\log(2670 \times 3150 \times 4230) = \log 2670 + \log 3150 + \log 4230$  μετατρέ-

πει τὸν δυσχερῆ τοῦτον πολλαπλασιασμόν εἰς ἀπλὴν πρόσθεσιν λογαρίθμων. Κατ' ἀκολουθίαν, ἡ εὐχέρεια χρήσεως τῶν λογαρίθμων, ἀποτελεῖ πολὺτιμὸν βοηθὸν εἰς τὰς τηλεπικοινωνίας, ὅπου τὰ λογαριθμικὰ μεγέθη χρησιμοποιοῦνται εὐρύτατα.

γ) Τὰ λογαριθμικὰ μεγέθη ἐναρμονίζονται ἰδιαιτέρως πρὸς τὰς αἰσθήσεις τοῦ ἀνθρώπου, π.χ. τὴν ἀκοήν διότι, ὡς ἀπέδειξαν οἱ WEBER καὶ FECHNER, μεταξὺ τοῦ ἐρεθίσματος καὶ τοῦ ἀντιστοίχου ἀνθρωπίνου αἰσθήματος ὑφίσταται λογαριθμικὴ σχέση.

## 5.2. Σχετικὴ Στάθμη.

Ἡ σχετικὴ στάθμη ἀναφέρεται εἰς τὸ πηλίκιον ἑνὸς ἡλεκτρικοῦ μεγέθους εἰς τὸ σημεῖον X ὡς πρὸς τὸ αὐτὸ μέγεθος εἰς τὴν ἀρχὴν A.



Σχ. 7

Ἐστω ὅτι εἰς τὴν ἀρχὴν A ἑνὸς τηλεπικοινωνιακοῦ συστήματος ἐπικρατεῖ τάσις  $U_A$ , έντασις  $I_A$  καὶ ἰσχύς  $P_A$ ,

εἰς δὲ τὸ σημεῖον X τάσις  $U_X$ , έντασις  $I_X$  καὶ ἰσχύς  $P_X$  (σχ. 7).

Ἡ σχετικὴ στάθμη τάσεως εἰς τὸ σημεῖον X εἶναι:

$$\left. \begin{aligned} &\text{Ὁ ἀριθμὸς: } n_u = \ln \frac{U_X}{U_A} \text{ εἰς Neper (Npr)} \\ &\text{ἢ Ὁ ἀριθμὸς: } n_u = 20 \log \frac{U_X}{U_A} \text{ εἰς decibel (Br)} \end{aligned} \right\} \quad (5.1)$$

Ἡ σχετικὴ στάθμη έντάσεως εἰς τὸ σημεῖον X εἶναι:

$$\left. \begin{aligned} &\text{Ὁ ἀριθμὸς: } n_i = \ln \frac{I_X}{I_A} \text{ εἰς Neper (Npr)} \\ &\text{ἢ Ὁ ἀριθμὸς: } n = 20 \log \frac{I_X}{I_A} \text{ εἰς decibel (Br)} \end{aligned} \right\} \quad (5.2)$$

Ἡ σχετική στάθμη ἰσχύος εἰς τὸ σημεῖον X εἶναι :

$$\left. \begin{aligned} \text{Ὁ ἀριθμός: } n_p &= \frac{1}{2} \ln \frac{P_x}{P_A} \text{ εἰς Neper (Npr)} \\ \text{ἢ Ὁ ἀριθμός: } n_p &= 10 \log \frac{P_x}{P_A} \text{ εἰς decibel (dB r)} \end{aligned} \right\} (5.3)$$

Σημειώσεις: Ὁ  $\ln$  εἶναι ὁ φυσικὸς λογάριθμος (μέ-  
βασιν τὸν ἀριθμὸν  $e = 2,718 \dots$ ). Ὁ  $\log$  εἶναι ὁ δεκα-  
δικὸς λογάριθμος (μέβασιν τὸ 10). Ὁ δείκτης  $r$  εἰς τὰ  
σύμβολα  $\text{dB r}$ ,  $\text{Npr}$  σημαίνει: "σχετική" (relative).

Ἡ σχετική στάθμη εἰς τὴν ἀρχὴν A τοῦ τηλεπικοινων-  
ντικοῦ συστήματος εἶναι 0  $\text{Npr}$  ἢ 0  $\text{dB r}$ , διότι:

$$n_u = \ln \frac{U_A}{U_A} = \ln 1 = 0 \text{ Npr}$$

$$n_u = 20 \log \frac{U_A}{U_A} = 20 \log 1 = 0 \text{ dB r.}$$

### 5.3. Ἀπόλυτος Στάθμη.

Διὰ τὸν καθορισμὸν τῆς ἀπολύτου στάθμης τάσεως, ἐν-  
τάσεως ἢ ἰσχύος εἰς τὸ σημεῖον X, λαμβάνεται ὁ λογάρι-  
θμος τοῦ πηλίκου τῆς τάσεως  $U_x$ , ἐντάσεως  $I_x$  ἢ τῆς ἰσχύ-  
ος  $P_x$  (σχ. 7) ὡς πρὸς μίαν σταθερὰν τιμὴν τάσεως, ἐντά-  
σεως ἢ ἰσχύος, ἣ ὁποῖα ἔχει ὁλεθρῶς θεωρηθῇ διὰ τοῦ  
καθορισμοῦ τῆς κανονικῆς γεννητρίδας. Ὡς κανονικὴ γεν-  
νήτρια θεωρεῖται πηγὴ ἡλεκτρογενετικῆς δυνάμεως  $U_0 = 1,55 \text{ V}$   
καὶ πραγματικῆς ἐσωτερικῆς ἀντιστάσεως  $Z_0 = 600 \Omega$ .

Ὅταν ἡ κανονικὴ γεννήτρια συνδεθῇ μετὰ πραγματικῆς  
ἀντιστάσεως  $Z = 600 \Omega$  (σχ. 8), τότε:

Ἡ τάσις εἰς τὰ ἄκρα τῆς  $Z_1$  θὰ εἶναι:

$$U_1 = U_0 \frac{Z_1}{Z_1 + Z_0} = 1,55 \frac{600}{600 + 600} = 0,775 \text{ V}$$

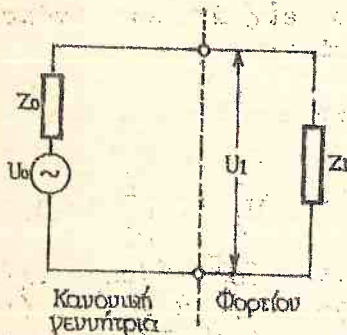


Τό δια τοῦ κυκλώματος ρεύμα:

$$I_1 = \frac{U_0}{Z_1 + Z_0} = \frac{1,55}{600 + 600} = 1,29 \text{ mA}$$

Ἡ καταναλισκόμενη ὑπὸ τῆς  $Z_1$  ἰσχύς:

$$P_1 = U_1 \cdot I_1 = 0,775 \cdot 1,29 \cdot 10^{-3} = 1 \text{ mW}$$



Αἱ τιμαὶ τῆς τάσεως  $U_1 = 0,775 \text{ V}$ , τῆς ἐντάσεως  $I_1 = 1,29 \text{ mA}$  καὶ τῆς ἰσχύος  $P_1 = 1 \text{ mW}$  τίθενται ὡς παρονομασταὶ εἰς τὰς ἀντιστοίχους σχέσεις (5.1), (5.2), (5.3), διὰ νὰ καθορισθῇ ἡ ἀπόλυτος στάθμη.

Οὕτως:

Ἡ ἀπόλυτος στάθμη τάσεως εἰς τὸ σημεῖον X εἶναι:

Σχ. 8. Κανονικὴ γεννήτρια

$$\left. \begin{aligned} \text{Ἡ ἀριθμὸς: } n_u &= \ln \frac{U_x}{0,775 \text{ V}} \text{ εἰς Npm} \\ \text{Ἡ ἀριθμὸς: } n_u &= 20 \log \frac{U_x}{0,775 \text{ V}} \text{ εἰς dBm} \end{aligned} \right\} (5.4)$$

Ἡ ἀπόλυτος στάθμη ἐντάσεως εἰς τὸ σημεῖον x εἶναι:

$$\left. \begin{aligned} \text{Ἡ ἀριθμὸς: } n_i &= \ln \frac{I_x}{1,29 \text{ mA}} \text{ εἰς Npm} \\ \text{Ἡ ἀριθμὸς: } n_i &= 20 \log \frac{I_x}{1,29 \text{ mA}} \text{ εἰς dBm} \end{aligned} \right\} (5.5)$$

Ἡ ἀπόλυτος στάθμη ἰσχύος εἰς τὸ σημεῖον X εἶναι:

'Ο αριθμός:  $n_p = \frac{1}{2} \ln \frac{P_x}{1 \text{ mW}}$  εἰς Npm  
 (5.6)  
 ἢ 'Ο αριθμός:  $n_p = 10 \log \frac{P_x}{1 \text{ mW}}$  εἰς dBm

- 'Ο δείκτης  $n$  εἰς τὰς ἐκφράσεις Npm, dBm χαρακτηρίζει τὰς ἀπολύτους στάθμας, ἥτοι καθορίζει ὡς ὄρον συγκρίσεως τὸ ἀντίστοιχον μέγεθος τῆς κανονικῆς γεννητρίδας.

Διὰ τὴν μετατροπὴν τῶν dB εἰς Np καὶ ἀνάπαλιν πρέπει νὰ χρησιμοποιεῖται ἡ σχέση:

1 Neper ἰσοῦται πρὸς 8,686 decibel.

Ἐὰν εἶναι γνωστοί οἱ λόγοι:  $\frac{U_x}{U_A}$ ,  $\frac{P_x}{P_A}$ ,  $\frac{U_x}{0,775 \text{ V}}$ ,  $\frac{P_x}{1 \text{ mW}}$ , εἶναι εὐκόλον, τῇ βοήθειᾳ τοῦ πίνακος τῆς ἐναντιοσειλίδος, νὰ εὑρεθοῦν αἱ σχετικαὶ καὶ αἱ ἀπόλυτοι στάθμαι τάσεως καὶ ἰσχύος. Ἐστὼ, π.χ. ὅτι  $U_A = 2,325 \text{ V}$ ,  $P_A = 4,1 \text{ mW}$ ,  $U_x = 25,575 \text{ V}$  καὶ  $P_x = 3,321 \text{ W}$ .

α)  $\frac{U_x}{U_A} = \frac{25,575 \text{ V}}{2,325 \text{ V}} = 11$ . 'Ο λόγος αὐτός, συμφώνως πρὸς τὸν πίνακα, ἀντιστοιχεῖ εἰς σχετικὴν στάθμην τάσεως 21 dBx, ἢ 2,4 Npx.  $\frac{P_x}{P_A} = \frac{3,321 \text{ W}}{4,1 \cdot 10^{-3} \text{ W}} = 81$  καὶ ἐκ τῶν πινάκων προκύπτει ὅτι ἡ σχετικὴ στάθμη ἰσχύος εἶναι 19,1 dBx ἢ 2,2 Npx.

β)  $\frac{U_A}{0,775 \text{ V}} = \frac{2,325 \text{ V}}{0,775 \text{ V}} = 3$ . Ἦτοι, ἡ ἀπόλυτος στάθμη τάσεως εἰς τὴν ἀρχὴν A τοῦ συστήματος εἶναι 9,6 dBm ἢ 1,1 Npm.

$\frac{P_A}{1 \text{ mW}} = \frac{4,1 \text{ mW}}{1 \text{ mW}} = 4,1$ . Ἦτοι, ἡ ἀπόλυτος στάθμη ἰσχύος εἰς τὴν ἀρχὴν A τοῦ συστήματος εἶναι 6,1 dBm ἢ 0,7 Npm.

# ΠΙΝΑΞ

παρέχων την σχετικήν και όμοιο τον σταθμν  
 ευαρθήσε: του λόγου ισχύων  $\frac{P_1}{P_2}$  και τάσεων  $\frac{U_1}{U_2}$

Np	$\frac{P_1}{P_2}$	$\frac{U_1}{U_2}$	dB	V
60	162000	403	52.1	312
58	109000	330	50.4	296
56	73180	270	48.6	289
54	49000	221	46.9	171
52	32900	181	45.2	140
50	22000	149	43.4	115
48	14800	122	41.7	94.2
46	9900	100	40.0	77.1
44	6600	81.5	38.2	63.1
42	4450	66.7	36.5	51.7
40	2980	54.6	34.7	42.3
38	2000	44.7	33.0	34.6
36	1340	36.6	31.3	28.4
34	900	30.0	29.5	23.2
32	602	24.5	27.8	19.0
30	403	20.1	26.1	15.6
28	270	16.4	24.3	12.7
26	181	13.6	22.6	10.4
24	122	11.0	21.0	8.5
22	81	9.0	19.1	7.0
20	55	7.4	17.4	5.7
19	44.7	6.69	16.5	5.18
18	36.6	6.05	15.6	4.69
17	30.0	5.48	14.8	4.24
16	24.5	4.95	13.9	3.84
15	20.1	4.48	13.0	3.47
14	16.4	4.06	12.2	3.14
13	13.6	3.67	11.3	2.84
12	11.0	3.32	10.4	2.57
11	9.0	3.00	9.6	2.33
10	7.4	2.72	8.7	2.11
9.9	6.1	2.46	7.8	1.81
9.8	5.0	2.23	7.0	1.73
9.7	4.1	2.01	6.1	1.56
9.6	3.3	1.82	5.2	1.41
9.5	2.7	1.65	4.3	1.28
9.4	2.2	1.49	3.5	1.16
9.3	1.8	1.33	2.6	1.05
9.2	1.5	1.22	1.7	0.95
9.1	1.2	1.11	0.9	0.86
9	1.0	1.00	0	0.78

Np	$\frac{P_1}{P_2}$	$\frac{U_1}{U_2}$	dB	mV
-0.1	0.815	0.905	-0.9	781
-0.2	0.670	0.849	-1.7	694
-0.3	0.546	0.791	-2.6	624
-0.4	0.447	0.730	-3.5	549
-0.5	0.366	0.666	-4.3	469
-0.6	0.300	0.600	-5.2	425
-0.7	0.245	0.547	-6.1	385
-0.8	0.201	0.499	-6.9	348
-0.9	0.164	0.457	-7.8	313
-1.0	0.135	0.420	-8.7	285
-1.1	0.110	0.385	-9.6	258
-1.2	0.090	0.351	-10.4	233
-1.3	0.074	0.319	-11.3	211
-1.4	0.061	0.287	-12.2	191
-1.5	0.049	0.253	-13.0	173
-1.6	0.040	0.232	-13.9	156
-1.7	0.033	0.212	-14.8	141
-1.8	0.027	0.195	-15.6	128
-1.9	0.022	0.180	-16.5	116
-2.0	0.018	0.165	-17.4	105
-2.2	12200	11.0	-19.1	86
-2.4	8200	9.0	-20.9	70
-2.6	5510	7.43	-22.6	58
-2.8	3700	6.08	-24.3	47
-3.0	2500	4.98	-26.1	39
-3.2	1800	4.08	-27.8	32
-3.4	1320	3.44	-29.5	26
-3.6	945	2.73	-31.3	21
-3.8	692	2.24	-33.0	17
-4.0	536	1.88	-34.7	14
-4.2	225	15.0	-36.5	12
-4.4	152	12.5	-38.2	9.5
-4.6	101	10.1	-40.0	78
-4.8	692	8.2	-41.7	64
-5.0	493	6.7	-43.4	52
-5.2	362	5.3	-45.2	43
-5.4	287	4.5	-46.9	35
-5.6	196	3.7	-48.6	29
-5.8	50	3.0	-50.4	23
-6.0	63	2.5	-52.1	19
-6.5	2.3	1.5	-56.6	12
-7.0	0.8	0.9	-60.0	0.7
-7.5	0.3	0.6	-65.3	0.4
-8.0	0.1	0.3	-69.5	0.3



$$\gamma) \frac{U_x}{0,775V} = \frac{25,575 V}{0,775 V} = 33. \text{ 'Η τιμή αυτή, ως φαίνε-}$$

ται ἐκ τοῦ πίνακος ἀντιστοιχεῖ εἰς ἀπόλυτον στάθμην τά-  
σεως εἰς τὸ σημεῖον X κειμένην μεταξύ 29,5-31,3 dBm ἢ  
3,4-3,6 Npm.

$$\frac{P_x}{1mW} = \frac{3,321 W}{1mW} = 3321. \text{ Τὸ πηλίκον αὐτό, ἀντιστοιχεῖ εἰς}$$

ἀπόλυτον στάθμην ἰσχύος εἰς τὸ σημεῖον X κειμένην μετα-  
ξύ 34,7-36,5 dBm ἢ 4 ἔως 4,2 Npm.

#### 5.4. Προσδιορισμὸς τῆς ἀπολύτου στάθμης ἰσχύος ἐκ τῆς ἀπολύτου στάθμης τάσεως.

Αἱ σχέσεις (5.6) δίδουν τὴν ἀπόλυτον στάθμην ἰσχύ-  
ος εἰς τι σημεῖον X:

$$\left. \begin{aligned} n_p &= \frac{1}{2} \ln \frac{P_x}{1mW} \text{ εἰς Npm} \\ n_p &= 10 \log \frac{P_x}{1mW} \text{ εἰς dBm} \end{aligned} \right\} (5.6)$$

Ἀλλὰ ἐκ τῆς ἡλεκτροτεχνίας εἶναι γνωστὸν ὅτι:

$$P_x = \frac{U_x^2}{Z_x}. \text{ Συνεπῶς: } 1mW = \frac{0,775^2 V}{600 \Omega}$$

Δι' ἀντικατάστασιν εἰς τὰς σχέσεις (5.6) προκύπτει:

$$\begin{aligned} n_p &= \frac{1}{2} \ln \frac{\frac{U_x^2}{Z_x}}{\frac{0,775^2}{600}} = \frac{1}{2} \ln \frac{U_x^2}{0,775^2} \cdot \frac{600}{Z_x} \text{ καὶ } n_p = 10 \log \frac{\frac{U_x^2}{Z_x}}{\frac{0,775^2}{600}} \\ &= 10 \log \frac{U_x^2}{0,775^2} \cdot \frac{600}{Z_x} \end{aligned}$$

$$\eta \quad n_p = \frac{1}{2} \ln \frac{U_x^2}{0,775^2} + \frac{1}{2} \ln \frac{600}{Z_x} = \frac{2}{2} \ln \frac{U_x}{0,775} + \frac{1}{2} \ln \frac{600}{Z_x}$$

$$n_p = 10 \log \frac{U_x^2}{0,775^2} + 10 \log \frac{600}{Z_x} = 2 \cdot 10 \log \frac{U_x}{0,775} + 10 \log \frac{600}{Z_x}$$

Τελικώς προκύπτει:

$$\begin{aligned} n_p &= \ln \frac{U_x}{0,775 \sqrt{V}} + \frac{1}{2} \ln \frac{600 \Omega}{Z_x} \\ n_p &= 20 \log \frac{U_x}{0,775 \sqrt{V}} + 10 \log \frac{600 \Omega}{Z_x} \end{aligned} \quad (5.7)$$

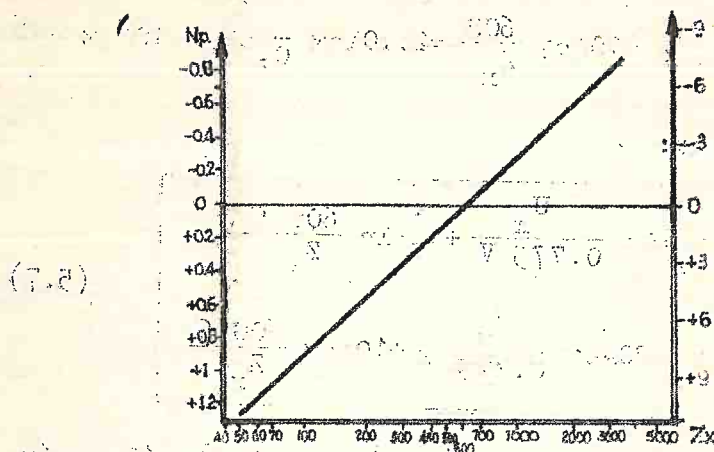
Ο πρώτος προσθετός των εξισώσεων (5.7) δίδει την απόλυτον στάθμην τάσεως (βλέπε σχέσεις 3.4), ενώ ο δευτερός προσθετός δίδει την ποσότητα διορθώσεως Δ, ή ποσά προστιθεμένη εις την απόλυτον στάθμην τάσεως, δίδει την απόλυτον στάθμην ισχύος. Εάν π.χ. η αντίστασις εις τό σημείον X είναι 600 Ω, ή ποσότης αυτή λαμβάνει την τιμήν:  $10 \log \frac{600}{600} = 10 \log 1 = 0$ . Τοῦτο σημαίνει ὅτι ἐάν εις ἓν σημείον X ή αντίστασις είναι 600 Ω, τότε ή απόλυτος στάθμη ισχύος ισοῦται μέ την απόλυτον στάθμην τάσεως.

Αἱ εὑρεθεῖσαι σχέσεις (5.7) ἔχουν λίαν σημαντικήν ἐφαρμογήν, διότι, εις τήν συνηθεστέραν περίπτωσιν αἱ συσκευαί μετρήσεως τῆς στάθμης είναι βολτόμετρα, τά δὲ ποῖα μετροῦν τήν απόλυτον στάθμην τάσεως. Διὰ νά εὑρεθῇ ή απόλυτος στάθμη, πρέπει νά είναι γνωστή ή τιμή τῆς ἀντιστάσεως εις τό σημείον μετρήσεως (συνήθως δίδεται ὑπό τῶν κατασκευαστῶν τῶν Φ/Σ), ὅτε ἐφαρμόζονται αἱ σχέσεις (5.7).

Τό σχ. 9 βοηθεῖ εἰς τήν ἐξεύρεσιν τῆς ποσότητος διορθώσεως Δ ἐάν είναι γνωστή ή αντίστασις  $Z_x$ . Εάν π.χ. ή  $Z_x$  είναι 150 Ω, τότε ή Δ εἶναι +6dB ή +0,7 Np. Δηλαδή,



είς τήν απόλυτον στάθμην τάσεως, ἡ ὁποία θά μετρηθῇ ὑπό τοῦ ὀργάνου μετρήσεως στάθμης, θά προστεθοῦν 6 dB ἢ 0,7 Np, διὰ νά ἐξευρεθῇ ἡ απόλυτος στάθμη ἰσχύος.



Σχ. 9. Διὰ τόν ὑπολογισμόν τῆς ποσότητος διορθώσεως Δ

#### 5.5. Στάθμη μετρήσεως

Ἐν διαφόρων μετρήσεων ἔχει προκύψει ὅτι ἡ μέση ἰσχύς τῆς ὁμίλλας, εἰς τήν ἀρχήν τοῦ συστήματος μεταδόσεως (δηλαδή εἰς τό σημεῖον, εἰς τό ὅποιον ἡ σχετική στάθμη εἶναι 0Np ἢ 0dB), ἀνέρχεται εἰς 22 μW. Ἐπὶ πλέον προστίθενται καί 10 μW ἕαν ληφθῇ ὑπ' ὄψιν καί ἡ παρουσία σηματοδοτήσεων (κλήσεις, παλμοί ἐπιλογῆς, παλμοί κρεάσεως κλπ.).

Ἐν τούτοις, κατὰ τὰς μετρήσεις διὰ τήν ρύθμισιν τῆς στάθμης εἰς τὰ διάφορα σημεῖα τοῦ συστήματος μεταδόσεως, ἐφαρμόζεται εἰς τήν ἀρχήν τούτου τό σῆμα μετρήσεως, δηλαδή ἡ κανονική γεννήτρια συχνότητος, διὰ τήν Εὐρώπην, 800 Hz. Ἐπειδή αὕτη παρέχει ἰσχύϊν 1 mW ἐπὶ ἀντιστάσεως 600 Ω, συμπεραίνεται ὅτι ἡ φόρτισις μιᾶς διοδεύσεως κατὰ τὰς μετρήσεις εἶναι σημαντικῶς μεγαλύτερα, ἐν σχέσει πρὸς τήν μέσιν φόρτισιν κατὰ τήν διάρκειαν μιᾶς συνδιαλέξεως. Δεδομένου ὅτι οἱ ἐνισχυταί, διαμορφωταί καὶ λοιπαί διατάξεις τοῦ συστήματος μεταδόσεως ἔχουν ὑπολογισθῇ ἐπὶ τῇ βάσει τῆς μέσης ἰσχύος τῶν 32 μW, καθίσταται

φανερὸν ὅτι δὲν ἐπιτρέπεται:

α) Ἡ ἐπὶ μακρὸν χρόνον φόρτισις μιᾶς διοδεύσεως διὰ τῆς κανονικῆς γεννητρίδας ὅταν τὸ σύστημα ἔχει τεθῇ εἰς ἐκμετάλλευσιν, διότι τοῦτο ἐνδέχεται νὰ προκαλέσῃ ἐνόχλησιν εἰς τὰς ὑπολοίπους διοδεύσεις τοῦ συστήματος.

β) Ἡ ταυτόχρονος φόρτισις πολλῶν διοδεύσεων τοῦ αὐτοῦ συστήματος, ἔστω καὶ ἐάν τοῦτο δὲν εὐρίσκεται εἰς ἐκμετάλλευσιν.

- Στάθμη μετρήσεως εἰς οἰονδήποτε σημεῖον τοῦ συστήματος μεταδόσεως καλεῖται ἡ ἀπόλυτος στάθμη τάσεως εἰς τὸ σημεῖον τοῦτο ὅταν, ὡς ἀναφέρεται ἀνωτέρω εἰς τὴν ἀρχὴν τοῦ συστήματος μεταδόσεως ἐφαρμόζεται ἡ κανονικὴ γεννητρία δηλαδὴ πηγὴ HE4 1,55 Volt καὶ πραγματικῆς ἐσωτερικῆς ἀντιστάσεως 600 Ω. Εἰς τὴν περίπτωσιν αὐτὴν, εἰς τὴν ἀρχὴν τοῦ συστήματος μεταδόσεως, ἀντιστάσεως 600 Ω-δηλαδὴ εἰς σημεῖον σχετικῆς στάθμης 0 dB- ἡ ἀπόλυτος στάθμη ἰσχύος εἶναι 0 dBm. Ἐπομένως εἰς τὰ διάφορα σημεία τοῦ συστήματος μεταδόσεως ἡ ἀπόλυτος στάθμη ἰσχύος τοῦ σήματος μετρήσεως ἔχει τὴν αὐτὴν τιμὴν μὲ πλὴν σχετικὴν στάθμην (dBm).

- Εἰς τὰς περιγραφὰς καὶ σχέδια τῶν φερουσῶν συστημάτων, παρέχονται αἱ σχετικαὶ στάθμαι καὶ αἱ ἀντιστάσεις τῶν διαφόρων σημείων δοκιμῆς. Ὅταν ἡ ἀντίστασις τοῦ σημείου δοκιμῆς ἰσοῦται πρὸς 600 Ω, ἡ στάθμη μετρήσεως ἰσοῦται μὲ τὴν σχετικὴν στάθμην, διότι εἰς τὰς σχέσεις (5.7) ἀφ' ἑνὸς μὲν μὴ δενίζεται ἡ ποσότης Δ καὶ ἀφ' ἑτέρου ἡ στάθμη μετρήσεως ἰσοῦται, ἐξ ὁρισμοῦ, μὲ τὴν ἀπόλυτον στάθμην τάσεως. Ὅταν ἡ ἀντίστασις τοῦ σημείου μετρήσεως διαφέρει τῶν 600 Ω, πρέπει νὰ ὑπολογισθῇ ἡ διαφορὰ μεταξὺ σχετικῆς στάθμης καὶ στάθμης μετρήσεως ἐκ τοῦ διαγράμματος τοῦ σχ. 9.

## 5.6. Στάθμη ἀναφορᾶς (dBm)

Πολλὰς φορές εἶναι σκόπιμον νὰ γίνῃ σύγκρισις μεταξὺ τῆς ἰσχύος  $P_x$  οἰουδήποτε σήματος (κλήσεων, θορύβου, ὁδηγῶν συχνότητων κλπ.) καὶ τῆς ἰσχύος τοῦ σήματος με-



τρήσεως  $P_M$  εἰς τὸ αὐτὸ σημεῖον.

Ἡ ἀντίστοιχος διαφορά στάθμης δίδεται εἰς dBm:

$$n_o = 10 \log \frac{P_x}{P_M} \text{ dBm}$$

\*Αν ἀμφότερα τὰ μέλη τοῦ κλάσματος διαιρεθοῦν διὰ 1mW προκύπτει:

$$n_o = 10 \log \frac{\frac{P_x}{1\text{mW}}}{\frac{P_M}{1\text{mW}}} = 10 \log \frac{P_x}{1\text{mW}} - 10 \log \frac{P_M}{1\text{mW}}$$

Ἀλλὰ ὁ ὅρος  $10 \log \frac{P_x}{1\text{mW}}$  δίδει εἰς dBm τὴν ἀπόλυτον στάθμην ἰσχύος  $n_m$  τοῦ σήματος εἰς τὸ ὑπόδειγμα σημείον,

ἐνῶ ὁ ὅρος  $10 \log \frac{P_M}{1\text{mW}}$  δίδει τὴν ἀπόλυτον στάθμην ἰσχύος τοῦ σήματος μετρήσεως, ἡ ὁποία, ὡς ἀνεφέρθη εἰς τὴν παράγραφον 5.5, ἰσοῦται μετὰ τὴν σχετικὴν στάθμην  $n_r$ .

Ἐπομένως:

$$n_o(\text{dBm}) = n_m(\text{dBm}) - n_r(\text{dBm})$$

Παραδείγματα: α) Εἰς τόνος +36 dBm μετρούμενος εἰς σημείον σχετικῆς στάθμης +19 dBm, εἶναι ἰσοδύναμος πρὸς +17 dBm.

β) Ἡ στάθμη ἀναφορᾶς τῆς ὁδηγοῦ συχνότητος 84,08 KHz μιᾶς πρωτομάδος εἶναι -20 dBm. Τοῦτο σημαίνει ὅτι εἰς ἓν σημείον σχετικῆς στάθμης -36,5 dBm, ἡ ἀπόλυτος στάθμη ἰσχύος τῆς ὁδηγοῦ θὰ εἶναι:

$$n_m = n_o + n_r = -20 - 36,5 = -56,5 \text{ dBm}$$

Ἐὰν ἡ ἀντίστασις εἰς τὸ σημείον μετρήσεως εἶναι 150 Ω, τότε ἡ ποσότης  $\Delta = 6 \text{ dB}$  κατ' ἐκ τῆς σχέσεως (5.7) προκύπτει:

$$20 \log \frac{U}{0,775V} = p - \Delta = 56,5 - 6 = 62,5 \text{ dBm}$$

Δηλαδή η στάθμη μετρήσεως της δδηγοῦ είναι: -62,5 dBm

## II. ΒΑΣΙΚΑ ΚΥΚΛΩΜΑΤΑ ΤΗΣ ΦΕΡΕΣΥΧΝΟΥ ΤΕΧΝΙΚΗΣ

### 6. ΔΙΑΜΟΡΦΩΤΗΣ:

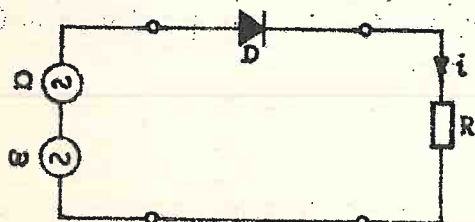
Όπως ἐλέχθη ἤδη εἰς τὸ Κεφ. 2, σκοπὸς τῆς διαμορφώσεως εἶναι ἡ μετατόπισις τῶν ρευμάτων ὁμιλίας συχνότητος 300-3400 Hz εἰς ἑλλην, ὑψηλοτέραν, περιοχὴν συχνότητων. Ἡ διαμόρφωσις πραγματοποιεῖται εἰς τὴν πλευρὰν ἐκπομπῆς τῶν Φ/Σ. Εἰς τὴν πλευρὰν λήψεως λαμβάνει χώρα ἀντίστροφος διαδικασίᾳ καλουμένη ἀποδιαμόρφωσις. Δηλαδή, ἐκ τῶν λαμβανομένων ρευμάτων ὑψηλῆς συχνότητος, ἀναπαράγονται τὰ χαμηλῆς συχνότητος ρεύματα ὁμιλίας 300-3400 Hz.

Αἱ ἐν λόγῳ ἐργασίαι τῆς διαμορφώσεως - ἀποδιαμόρφώσεως ἐκτελοῦνται ὑπὸ κυκλωμάτων, τὰ ὅποια βασίζονται ἐπὶ τῆς αὐτῆς θεωρητικῆς ἀρχῆς. Διὰ τοῦτο, εἰς τὰ ἐπόμενα, θὰ ἀναφέρεται τὸ ἐν ἑξ αὐτῶν: ὁ διαμορφωτής, ὅστις εἰς τὰ σύγχρονα Φ/Σ κατασκευάζεται εἴτε διὰ διόδων γερμανίου εἴτε διὰ τρανζίστορ.

Κατωτέρω θὰ ἐξετασθοῦν τὰ συνήθως χρησιμοποιούμενα κυκλώματα διαμορφώσεως.

#### 6.1. Διαμορφωτὴς διὰ διόδων.

##### 6.1.1. Διαμορφωτῆς ἄνευ ἰσοσταθμίσεως.



Εἰς τὸν διαμορφωτὴν αὐτοῦ τοῦ τύπου δύο πηγὰί, συχνότητος  $\omega$  καὶ  $\Omega$ , συνδέονται ἐν σειρά μετὰ τῆς διόδου  $D$  καὶ τῆς ἀντιστάσεως φορτίου  $R$  (σχ.10)

Σχ. 10. Διαμορφωτῆς ἄνευ ἰσοσταθμίσεως

Εἰς τό ἐν λόγω κύκλωμα, ὡς καί εἰς τά ἐπόμενα, διὰ τοῦ  $\omega$  παρίσταται ἡ συχνότης τοῦ πρὸς μετάδοσιν σήματος καί διὰ τοῦ  $\Omega$  ἡ συχνότης τῆς φέρουσας φέρουσα, εἶναι ἡ ἐναλλασσομένη τάσις, εἰς τὴν περιοχὴν συχνότητος τῆς δ-ποίας πρόκειται νὰ μετατοπισθῇ, διὰ τῆς διαμορφώσεως, ἡ συχνότης τοῦ σήματος.

Διὰ μαθηματικῆς ἀναλύσεως ἀποδεικνύεται ὅτι τό ρεῦμα  $i$ , τό ὁποῖον θά κυκλοφορήσῃ διὰ τῆς ἀντιστάσεως φορτίου, ἀποτελεῖται ἀπὸ ἄπειρον πλῆθος ἡμιτονικῶν ρευμάτων συχνότητων:

$$\pm \zeta \Omega \pm \xi \omega$$

(ὅπου  $\zeta, \xi$  ὅλοι οἱ ἀκέραιοι ἀριθμοὶ ἀπὸ 0 ἕως  $+\infty$ ).

Τὰ ρεύματα ταῦτα εἶναι δυνατόν νὰ διαχωρισθῶν εἰς 4 ομάδας, ἀναλόγως τῆς συχνότητός των, ὡς κατωθι:

$$\pm \kappa \cdot \Omega \pm \lambda \cdot \omega$$

$$\pm \kappa \cdot \Omega \pm \nu \cdot \omega$$

$$\pm \mu \cdot \Omega \pm \lambda \cdot \omega$$

$$\pm \mu \cdot \Omega \pm \nu \cdot \omega$$

ὅπου:  $\kappa, \lambda$  οἱ ἄρτιοι ἀριθμοὶ 0, 2, 4, 6, ...  
καὶ  $\mu, \nu$  οἱ περιτοὶ ἀριθμοὶ 1, 3, 5, 7, ...

Ἀποδεικνύεται (1) ὅτι τό πρόσημον ἐκάστου ἐκ τῶν τεσσάρων τούτων ρευμάτων ἐξαρτᾶται ἐκ τῆς πολικότητος τῶν ΗΕΔ τῆς φέρουσας καί τοῦ σήματος, αἱ ὁποῖαι ἐφαρμόζονται ἐπὶ τῆς διόδου, ὡς δεικνύεται εἰς τὸν πίνακα τοῦ σχ. 11, εἰς τὸν ὁποῖον ἀναγράφεται τό πρόσημον τῶν ἐπὶ μέρους 4 ρευμάτων δι' ὅλους τοὺς δυνατός συνδυασμούς πολικότητος φέρουσας καί σήματος. Ἡ πολικότης τῆς ΗΕΔ (φέρουσας ἢ σήματος) θεωρεῖται θετικὴ ὅταν αὕτη προκαλεῖ τὴν κυκλοφορίαν ρεύματος ὁμορροῦ πρὸς τὴν φοράν ἀγωγιμότητος τοῦ ἀνορθωτοῦ (περί τούτου βλέπε κεφάλαιον 6.1.5 καὶ ἀρνητικὴ ὅταν τό ρεῦμα τοῦτο εἶναι ἀντίρροπον.

Ἡ τρίτη ἐκ τῶν ἀνωτέρω ομάδων διὰ  $\mu=1$  καὶ  $\lambda=0$  δίδει  $\Omega$ , ἐνῶ ἡ δευτέρα διὰ  $\kappa=0$  καὶ  $\nu=1$  δίδει  $\omega$ . Δηλαδή διὰ τοῦ φορτίου κυκλοφοροῦν καὶ ρεύματα, τὰ ὁποῖα ἔχουν τὴν συχνότητα τῆς φέρουσας  $\Omega$  καὶ τὴν συχνότητα τοῦ σήματος  $\omega$ .

Πλέον ἐνδιαφέρουσα, διὰ τὰς πρακτικὰς ἐφαρμογὰς, εἶναι ἡ τετάρτη ομάδα, ἡ ὁποία διὰ  $\mu=\nu=1$  δίδει ρεύματα συχνότητος  $\Omega+\omega$  καὶ  $\Omega-\omega$ .

(1) A. Schmid: "Wirkungsweise der Ringmodulatoren"  
Veröff. Nachr-Techn. 6 (1936).



Πολιτικότητας των επί της διόδου δρώντων ΗΕΔ		Πρόσημον των επί μέρους ρευμάτων			
		$l \pm k\Omega \pm \lambda\omega$	$l \pm k\Omega \pm n\omega$	$l \pm m\Omega \pm \lambda\omega$	$l \pm m\Omega \pm n\omega$
Φέρουσα	Θετική	+	+	+	+
Σήμα	Θετικόν				
Φέρουσα	Θετική	+	-	+	-
Σήμα	Αρνητικόν				
Φέρουσα	Αρνητική	+	+	-	-
Σήμα	Θετικόν				
Φέρουσα	Αρνητική	+	-	-	+
Σήμα	Αρνητικόν				
Διά	Προκύπτει	Συνεχές	Σήμα	Φέρουσα	Παράπλευροι ζώναι
$\lambda, \lambda=0$		ρεύμα			
$\mu, \mu \neq 1$	Συχνότητας	$\theta$	$\omega$	$\Omega$	$\Omega \pm \omega$

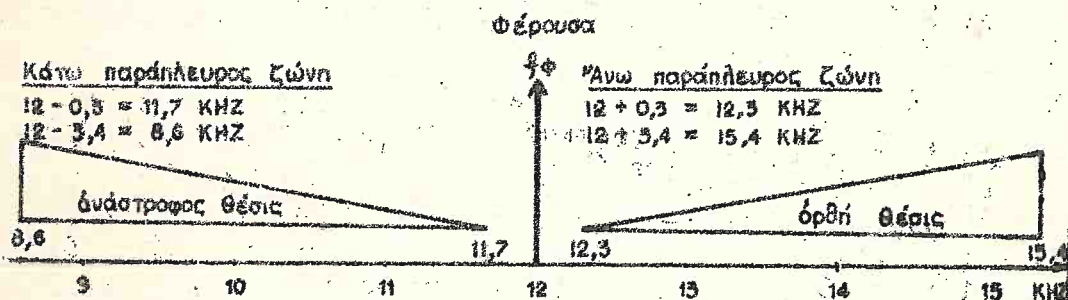
Σχ. 11. Πρόσημον των επί μέρους ρευμάτων εξαρτώμενον ἐκ τῆς πολιτικότητος τῶν ἐπὶ μιᾷ διόδου δρώντων ΗΕΔ.

$\mu, \nu$  = περιττοὶ ἀριθμοί: 1, 3, 5, ...

$\kappa, \lambda$  = ἄρτιοι ἀριθμοί 0, 2, 4, ...

$\Omega$  = κυκλική συχνότης τῆς φεροῦσας

$\omega$  = " " τοῦ σήματος



Σχ. 12. Παράδειγμα ἄνω καὶ κάτω παραπλεύρου ζώνης.

Ούτως, εάν ή τάσις τοῦ σήματος καταλαμβάνη μίαν περιοχὴν συχνοτήτων ἀπὸ 300 ἕως 3400 Hz (ὅπως τὰ ρεύματα ὁμιλίας) καὶ ή φέρουσα ἔχει συχνότητα 12 KHz, τὰ ἀνωτέρω ρεύματα θὰ καλύψουν δύο περιοχὰς συχνοτήτων, αἱ ὁποῖαι καλοῦνται ἔνω καὶ κάτω παράπλευρος ζώνη.

Ἀνω παράπλευρος ζώνη:

$$(\Omega + 300\text{Hz}) \text{ ἕως } (\Omega + 3400\text{Hz}) = (12\text{KHz} + 300\text{Hz}) \text{ ἕως } (12\text{KHz} + 3400\text{Hz}) = 12,3 \text{ ἕως } 15,4 \text{ KHz.}$$

Κάτω παράπλευρος ζώνη:

$$(\Omega - 300\text{Hz}) \text{ ἕως } (\Omega - 3400\text{Hz}) = (12\text{KHz} - 300\text{Hz}) \text{ ἕως } (12\text{KHz} - 3400\text{Hz}) = 11,7 \text{ ἕως } 8,6 \text{ KHz.}$$

Ἡ φέρουσα καὶ αἱ δύο παράπλευροι ζῶναι παρίστανται εἰς τὸ σχ. 12. Ὅπως φαίνεται εἰς τὸ σχῆμα τοῦτο, εἰς τὴν ἔνω παράπλευρον ζώνην ή χαμηλότερα συχνότης ὁμιλίας τῶν 300 Hz ἔχει μετατοπισθῇ εἰς τὴν χαμηλότεραν συχνότητα τῆς ζώνης, ἐνῶ ή ὑψηλότερα συχνότης ὁμιλίας τῶν 3400 Hz ἔχει μετατοπισθῇ εἰς τὴν ὑψηλότεραν συχνότητα. Τοῦτο ἐκφράζεται διὰ τοῦ ὅρου ὀρθή θέσις. Ἀντιθέτως ή κάτω παράπλευρος ζώνη ἔχει τὴν ἀνέστροφον θέσιν.

Ἐν τῶν προκείμενων 4 ὁμάδων συχνοτήτων ἐπιλέγεται διὰ φίλτρου καὶ μεταδίδεται πρὸς τὸν ἔναντι σταθμὸν ή μία μόνον παράπλευρος ζώνη διότι αὕτη περιέχει ὅλα τὰ στοιχεῖα διὰ τὴν ἀναπαραγωγὴν τοῦ σήματος εἰς τὸν λαμβάνοντα σταθμὸν. Ἐπομένως, ή μετάδοσις καὶ τῶν ὑπολοίπων ὁμάδων συχνοτήτων θὰ ἀπέβαινεν εἰς βάρος τῆς διαθεσίμου ζώνης συχνοτήτων τοῦ φορέως.

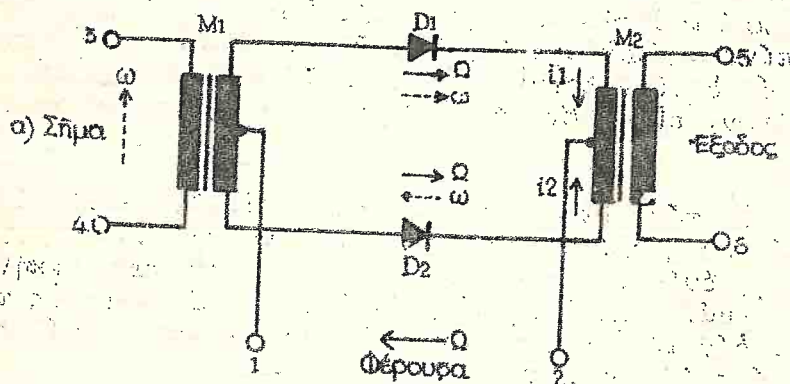
Ὁ διαμορφωτὴς ἄνευ ἰσοσταθμίσεως δὲν χρησιμοποιεῖται εἰς τὴν πράξιν διότι μεταξύ τῶν προϊόντων τῆς διαμορφώσεως ὑφίστανται ἀνεπιθύμητα ρεύματα, τῶν ὁποίων ὁ διαχωρισμὸς ἐν τῶν ὠφελίμων ρευμάτων εἶναι δύσκολος ή καὶ ἀδύνατος. Οὕτω, εἰς τὸ παράδειγμα τοῦ σχ. 12 διὰ  $\omega = 1 \text{ KHz}$ , ἐν τῆς πρώτης ὁμάδος συχνοτήτων (διὰ  $n=0$  καὶ  $\lambda=14$ ) προκύπτει ή ἀνεπιθύμητος συχνότης 14 KHz, ήτις κεῖται ἐντὸς τῆς ἔνω παραπλευροῦς ζώνης.

Ἐπὶ πλέον διὰ τῆς ἰσοσταθμίσεως καταστέλλεται μετὰ τῶν ἄλλων ή φέρουσα καὶ οὕτω καθίσταται εὐχερεστέρα ή κατασκευὴ τῶν φίλτρων, διότι ὡς φαίνεται καὶ εἰς

το παράδειγμα του σχ. 12 ή απόστασις μεταξύ των δύο παραπλευρών ζωνών ίσοῦται πρὸς 600 Hz, ἐνῶ ἡ απόστασις μεταξύ ἐκδοῦς τῶν παραπλευρῶν ζωνῶν καὶ αἰθῆς φέρουσας εἶναι 300 Hz.

### 6.1.2. Διαμορφωτῆς ἀπλῆς ἰσοσταθμίσεως

Ὁ διαμορφωτῆς ἀπλῆς ἰσοσταθμίσεως ἀποτελεῖται ἐκ δύο διόδων  $D_1$ ,  $D_2$  καὶ δύο μετασχηματιστῶν  $M_1$ ,  $M_2$  (σχ. 13α)



β)

	Συμβολική φορά	Πρόσημον καὶ πραγματική φορά τῶν ἐπὶ μέρους ρευμάτων			
		$i \pm k\Omega \pm \lambda\omega$	$i \pm k\Omega \pm \nu\omega$	$i \pm \mu\Omega \pm \lambda\omega$	$i \pm \mu\Omega \pm \nu\omega$
Ρεύμα τῆς $D_1$ $i_1$	↓	+ ↓	+ ↓	+ ↓	+ ↓
Ρεύμα τῆς $D_2$ $i_2$	↑	+ ↑	- ↓	+ ↑	- ↓
Ρεύμα ἐξόδου		.	↓	.	↓

Σχ. 13. Διαμορφωτῆς ἀπλῆς ἰσοσταθμίσεως

Ἡ φέρουσα  $\Omega$  ἐφαρμόζεται εἰς τὰς μεσαίας λήψεις τῶν μετασχηματιστῶν, τὸ σῆμα  $\omega$  εἰς τὸ πρωτεύον τοῦ  $M_1$ , ἐνῶ ἡ ἐ-



Ξοδος λαμβάνεται ἐκ τοῦ δευτερεύοντος τοῦ  $M_2$ .

Συμφώνως πρὸς τὰ ἀναφερθέντα εἰς τὸ προηγούμενον κεφάλαιον ἐκδοτὴ τῶν διόδων  $D_1, D_2$  δύναται νὰ θεωρηθῇ ὅτι εἶναι μία πηγή, ἡ ὅποια προκαλεῖ τὴν κυκλοφορίαν τῶν ρευμάτων  $i_1$  καὶ  $i_2$ , ἕκαστον τῶν ὁποίων δύναται νὰ χωρισθῇ εἰς 4 ἐπὶ μέρους ρεύματα.

Ἐστὼ ὅτι ἡ πολιότητα σήματος καὶ φερούσης εἶναι ἡ δεικνυμένη εἰς τὸ σχῆμα 13α, δηλαδὴ διὰ τὴν δόδον  $D_1$  ἡ πολιότης τῆς φερούσης καὶ τοῦ σήματος εἶναι θετική ἐνῶ διὰ τὴν δόδον  $D_2$  ἡ πολιότης τῆς φερούσης εἶναι θετική καὶ — σήματος ἀρνητική. Ἐπὶ τῇ βάσει τούτου καὶ τοῦ πλ. 11, προκύπτει ὁ πλ. τοῦ σχ. 13β, εἰς τὸν ὁποῖον δεικνύεται τὸ πρόσημον τῶν 4 ἐπὶ μέρους ρευμάτων, εἰς τὸ ἀναλύεται ἕκαστον τῶν ρευμάτων  $i_1$  καὶ  $i_2$ .

Εἰς τὸν αὐτὸν πλ. (σχ. 13β), ἀπεικονίζονται αἱ φοραὶ τῶν 4 ἐπὶ μέρους ρευμάτων διὰ τοῦ πρωτεύοντος τοῦ  $M_2$ , ἐνθα αἱ φοραὶ τούτων ἔχουν τὴν συμβατικὴν φορὰν τῶν ρευμάτων  $i_1$  ἢ  $i_2$  (ὡς αὕτη ἀπεικονίζεται εἰς τὸ σχ. 13α), ἐὰν τὸ ἀντίστοιχον πρόσημον εἶναι + ἀντίθετον δὲ ἐὰν τὸ πρόσημον εἶναι —.

Τὸ ρεῦμα ὅμως τῆς ἐξόδου προκαλεῖται ἀπὸ τὴν μαγνητικὴν ροήν, τὴν ὅποیان δὲ δημιουργήσουν τὰ 4 ἐπὶ μέρους ρεύματα. Ἀλλὰ εἰς τὴν περίπτωσιν τῶν ρευμάτων συχνότητων  $\pm n.\omega \pm \lambda.\omega$  καὶ  $\pm \mu.\omega \pm \lambda.\omega$  ἡ ροή αὕτη εἶναι μηδενική, ἐνῶ διὰ τὰ ρεύματα συχνότητων  $\pm n.\omega \pm \nu.\omega$  καὶ  $\pm \mu.\omega \pm \nu.\omega$  ἡ ροή εἶναι σιπλῶσα ἐκείνης, τὴν ὅποیان δημιουργεῖ τὸ ἀντίστοιχον ρεῦμα μιᾶς μόνον διόδου.

Οὕτω, εἰς τὴν ἐξοδὸν ἐμφανίζονται ρεύματα συχνότητων:

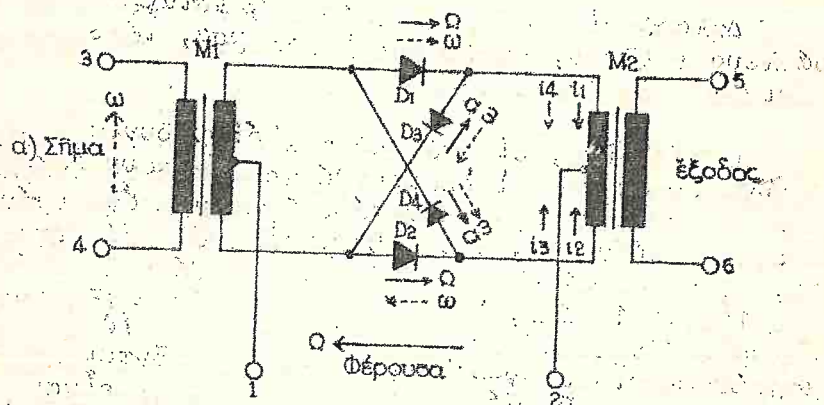
$$\pm n.\omega \pm \nu.\omega$$

$$\pm \mu.\omega \pm \nu.\omega$$

Ἐν τῇ δευτέρᾳ τῶν ὁμάδων τούτων διὰ  $\mu=\nu=1$  προκύπτουν αἱ δύο παράπλευροι ζῶναι  $\omega \pm \omega$ , ἐνῶ εἰς οὐδεμίαν τῶν ὁμάδων ἐμφανίζεται ἡ φέρουσα. Πάντως, ἐκ τῆς πρώτης ὁμάδος διὰ  $n=0$  καὶ  $\nu=1, 3, 5, \dots$  προκύπτουν τὸ σήμα καὶ αἱ περιττῆς τάξεως ἁρμονικαὶ τούτου, αἱ ὁποῖαι δυνατόν νὰ προκαλέσουν ἐνόχλησιν εἰς τὰς παραπλεύρους ζῶνας.

### 6.1.3. Διαμορφωτής διπλής ίσοσταθμίσσεως

Είς τό σχ. 14α δεικνύεται ὁ διαμορφωτής δακτυλίου, ὅστις εἶναι εἰς ἐν τῶν συνηθέστερον χρησιμοποιουμένων τύπων τοῦ διαμορφωτοῦ διπλῆς ἰσοσταθμίσσεως.



	Συμβολι- κή φορά	Πρόσημον, καὶ πραγματικὴ φορά τῶν ἐπὶ μέρους ρευσμάτων			
		$i \pm k\omega \pm \eta\omega$	$i \pm k\omega \pm \nu\omega$	$i \pm \mu\omega \pm \eta\omega$	$i \pm \mu\omega \pm \nu\omega$
Ρεῦμα τῆς D1	↓	+ ↓	+ ↓	+ ↓	+ ↓
Ρεῦμα τῆς D2	↑	+ ↑	- ↓	+ ↑	- ↓
Ρεῦμα τῆς D3	↑	+ ↑	+ ↑	- ↓	- ↓
Ρεῦμα τῆς D4	↓	+ ↓	- ↑	- ↑	+ ↓
Ρεῦμα ἐξόδου		•	•	•	•

Σχ. 14. Διαμορφωτής διπλῆς ἰσοσταθμίσσεως

Ὁ πίναξ τοῦ σχ. 14β προέκυψεν κατὰ τὴν ἰδίαν μεθο-

δολογίαν ως και ο αντίστοιχος πίναξ του σχ. 13β.

Όπως φαίνεται ἐν τοῦ πίνακος τούτου τὸ ρεῦμα ἐξόδου εἰς τὸν διαμορφωτὴν διπλῆς ἰσοσταθμίσεως ἀποτελεῖται ἀπὸ ἄθροισμα ἡμιτονικῶν ρευμάτων συχνότητων:

$$\pm \mu \cdot \Omega \pm \nu \cdot \omega$$

Δηλαδή εἰς τὸ ρεῦμα ἐξόδου ὑφίστανται αἱ δύο παράπλευροι ζώναι, οὐχὶ ὅμως ἡ φέρουσα, τὸ σῆμα καὶ αἱ ἀρμονικαὶ τοῦ σήματος.

Παρά ταῦτα, εἰς τὸ ρεῦμα ἐξόδου δυνατόν νὰ ἐμφανισθοῦν συχνότητες αἱ ὁποῖαι θὰ προκλήσουν ἐνοχλήσιν. Αἱταὶ προκύπτουν π.χ. ὅταν τὸ  $\omega$  ἔχει μικρὰν τιμὴν καὶ εἶναι  $\mu=1$  καὶ  $\nu=1, 3, 5, \dots$ . Οὕτω, εἰς τὸ παράδειγμα τοῦ σχ. 12, ὅταν τὸ  $\omega=1$  KHz θὰ ὑφίσταται, διὰ  $\nu=3$ , καὶ ἡ συχνότης  $1+3 \cdot 1=15$  KHz, ἡ ὁποία καίται ἐντὸς τῆς ἄνω παραπλεύρου ζώνης. Τὰ ἐνοχλήτικα ταῦτα προϊόντα τῆς διαμορφώσεως εἶναι ἀναπόφευκτα καὶ θεωροῦνται ὡς θόρυβος τοῦ διαμορφωτοῦ. Πάντως ὁ θόρυβος οὗτος εἶναι μικρὰς σχετικῶς τιμῆς, ὡς δεικνύεται ἐν τῶν κάτωθι ἐνδεικτικῶν τιμῶν:

Θόρυβος ἐν τοῦ διαμορφωτοῦ διόδου: 400 pW (ἰσχύς δμιλίας 22  $\mu$ W).

" " " " βασικῆς πρωτομάδος: 100 pW

" " " " βασικῆς δευτερομάδος: 100 pW

#### 6.1.4. Ἀσυμμετρία τοῦ διαμορφωτοῦ

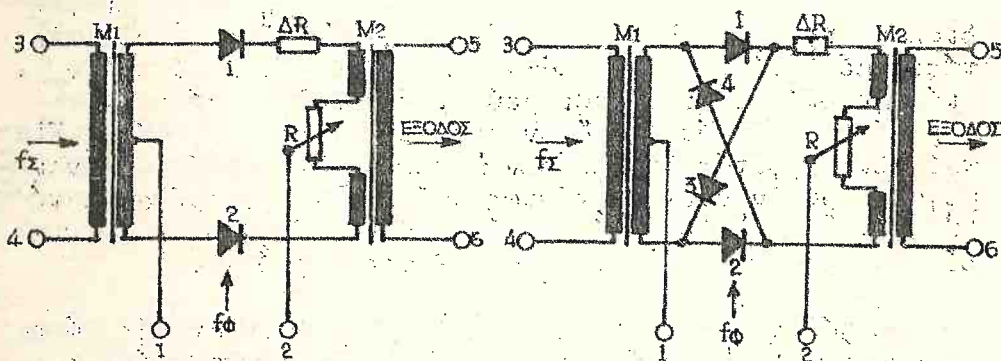
Εἰς ἀμφοτέρας τὰς ἐξετασθείσας περιπτώσεις διαμορφωτῶν, ἡ ἰσοσταθμίσις ἀπλῆ ἢ διπλῆ καὶ ἐπομένως ἡ καταστολή τῶν ἀνεπιθυμητῶν προϊόντων τῆς διαμορφώσεως εἶναι τόσον τελειότερα, ὅσον ἡ διαφορὰ ἀντιστάσεων τῶν ἐπὶ μέρους κλάδων τοῦ διαμορφωτοῦ εἶναι μικρότερα.

Ἡ ἰσότης ὅμως τῶν ἀντιστάσεων δὲν εἶναι πρακτικῶς ἐφικτή, διότι καὶ εἰς τὰ τυλίγματα τῶν μετασχηματιστῶν θὰ ὑφίσταται ἀσυμμετρία ἀλλὰ καὶ οἱ ἀνορθωταὶ ἐν κατα-



σμευής ή λόγω γήρατος ή λόγω διαφορᾶς ἐφαρμοζομένης τάσεως ἐμφανίζουν ἀνισότητα ἀντιστάσεων. Πάντως, ἐπασαι αἱ διαφοραὶ ἀντιστάσεων τῶν ἀγωγίων κλάδων δύνανται νὰ παρασταθοῦν ὑπὸ μιᾶς ἀντιστάσεως  $\Delta R$ , προστιθεμένης εἰς τὸν ἕνα κλάδον (σχ. 15). Ἡ ὑπαρξίς τῆς  $\Delta R$  εἰς τὸν διαμορφωτὴν ἔχει ὡς ἀποτέλεσμα τὴν ἀνισότητα τῶν ἐπὶ μέρους ρευμάτων καὶ ἐπομένως τὴν ἐμφάνισιν ἀνεπιθύμητων προϊόντων λόγω ἀτελοῦς ἰσοσταθμίσεως. Μεταξὺ τούτων ἰδιαιτέραν σημασίαν ἔχει ἡ ἐμφάνισις τῆς φερούσης εἰς τὴν ἔξοδον. Ἡ διαρροή αὕτη τῆς φερούσης εἶναι γενικῶς ἀνεπιθύμητον φαινόμενον διότι ἀυξάνεται ὁ θόρυβος εἰς τὴν ἐπικοινωνίαν. Πράγματι, ἡ ἔκτασις φόρτισις τῶν ἐνισχυτῶν καὶ λοιπῶν διατάξεων τοῦ συστήματος μεταδόσεως λόγω διαρροῆς τῶν φερουσῶν ὁδηγεῖ εἰς ἐνδοδιαμορφώσεις καὶ ἐπομένως αὐξήσιν τοῦ θορύβου. Ἐπὶ πλέον, ἡ συχνότης ἀπὸ τὴν διαρροὴν μιᾶς φερούσης διαμορφουμένη περαιτέρω εἶναι δυνατόν νὰ δώσῃ γέναν συχνότητα ἐμπέπουσαν εἰς τὸ φάσμα ὁμιλίας π.χ. ἡ φέρουσα 16 KHz θὰ γίνῃ εἰς τὴν ἐκπομπήν:  $84-16=68$  KHz καὶ ἐν συνεχείᾳ εἰς τὴν λήψιν:  $84-68=16$  KHz καὶ  $20-16=4$  KHz.

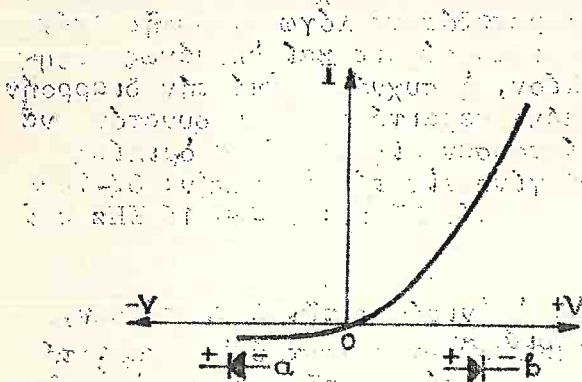
Διὰ νὰ ἀντιμετωπῇ ἡ ἀνισότης τῶν ἀντιστάσεων, προστίθεται εἰς τὸ κύκλωμα τοῦ διαμορφωτοῦ ἡ μεταβλητὴ ἀντίστασις  $R$  (σχ. 15), διὰ ρυθμίσεως τῆς ὁποίας ἐξισοῦνται αἱ ἀντιστάσεις τῶν δύο κλάδων.



Σχ. 15. Καταστολή τῆς φερούσης τῇ βοήθειᾳ τῆς  $R$ .

### 6.1.5. Κυματομορφή του σήματος έξόδου εἰς τὸν διαμορφωτήν.

Ἐστὼ ὅτι ζητεῖται νὰ εὐρεθῇ ἡ ἰσχύς ἢ ἡ μορφήν θὰ ἔχῃ τὸ σήμα εἰς τὴν ἔξοδον τοῦ διαμορφωτοῦ. Ἡ ἀναλυτικὴ διερεῦνσις τοῦ προβλήματος τούτου εἶναι ἀρκετὰ περίπλοκος, διότι ὁ διαμορφωτής εἶναι μὴ γραμμικὸν κύκλωμα. Ὡς ἐκ τούτου ἐπιτίθεται κατωτέρω μὲς γραφικὴ μέθοδος διὰ τῆς ὁποίας προκύπτει ἡ κυματομορφή τῆς τάσεως ἔξοδου ὅταν ὁ διαμορφωτής εἶναι ἄνευ φορτίου. Ἡ αὕτη κυματομορφή ἰσχύει καὶ διὰ τὴν τάσιν ἢ τὸ ρεῦμα ἔξοδου ὅταν ὁ διαμορφωτής τερματίζεται ὑπὸ ὁμοίου φορτίου.



Εἰς τὸ σχ. 16 δεικνύεται ἡ χαρακτηριστικὴ καμπύλη μιᾶς διόδου, ἐκ τῆς ὁποίας φαίνεται ὅτι ὅταν εἰς τὴν δίοδον ἐφαρμοσθῇ τάσις μὲ πολινοῦτητα, ὡς εἰς τὴν περίπτωσιν α, διέρχεται διὰ ταύτης ρεῦμα ἴσων

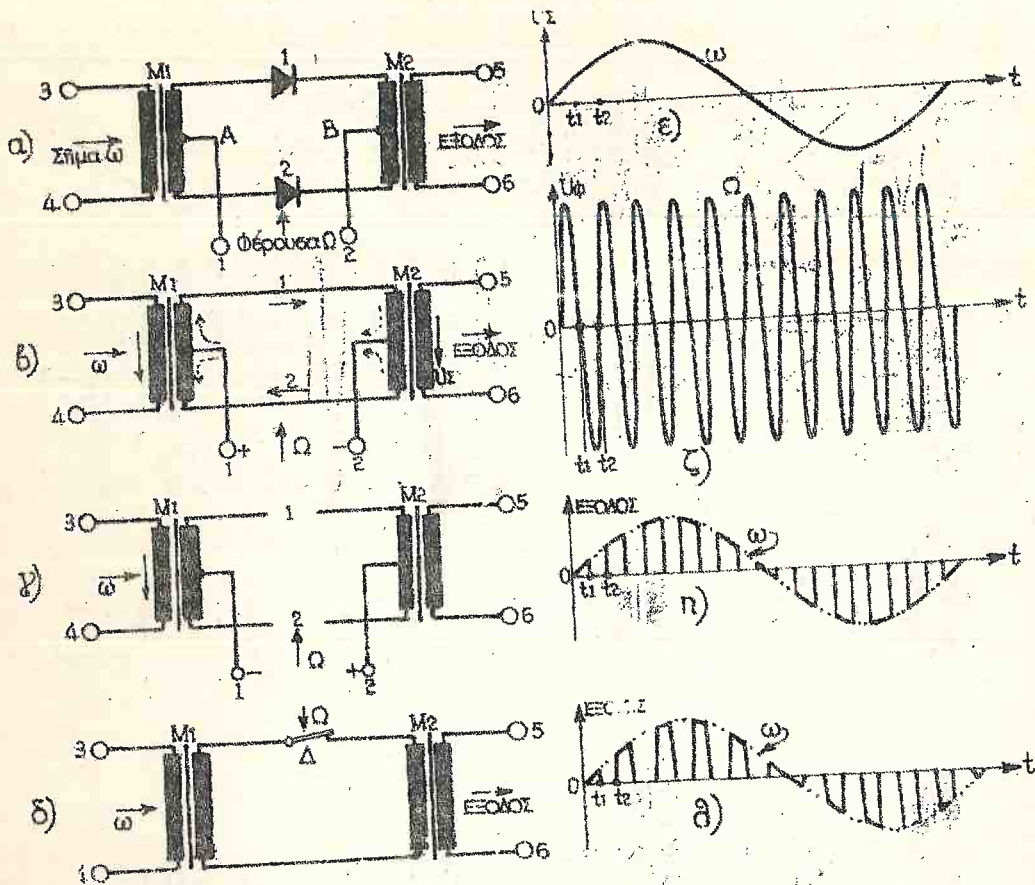
Σχ. 16. Χαρακτηριστικὴ καμπύλη διόδου μικρᾶς ἐντάσεως. ἢ δίοδος

διακρίπτεται, πρακτικῶς, τὸ κύκλωμα. Ἐάν ὅμως ἐφαρμοσθῇ τάσις μὲ ἀντίθετον πολινοῦτητα, ὡς εἰς τὴν περίπτωσιν β, διὰ τῆς διόδου διέρχεται ρεῦμα, τὸ ὁποῖον, μάλιστα, εἶναι τόσο μὲγαλύτερον ὅσον μεγαλύτερα εἶναι ἡ τάσις. Εἰς τοὺς διαμορφωτὰς διὰ διόδων ἡ τάσις τῆς φερούσης εἶναι μεγαλύτερα ἐναντι τῆς τάσεως τοῦ σήματος (περίπου κατὰ 20 dB), ὥστε ἡ ἀγωγιμότης τῶν διόδων νὰ ἐξαρτᾶται σχεδὸν ἀποκλειστικῶς ἐκ τῆς τάσεως τῆς φερούσης.

Κατόπιν τούτου κατὰ τὴν μίαν ἡμιπερίοδον τῆς τάσεως φερούσης, εἰς τὸν διαμορφωτὴν ἀπλῆς ἰσοσταθμίσσεως, εἶναι ἀγωγιμοὶ ἀμφότεραι αἱ δίοδοι  $D_1$  καὶ  $D_2$  (σχ. 17β) ἐνῶ κατὰ τὴν ἄλλην ἡμιπερίοδον (σχ. 17γ) αἱ δίοδοι δὲν εἶναι ἀγωγιμοί.

Ἡ δρᾶσις αὕτη τῆς φερούσης εἶναι ὁμοία πρὸς τὴν δρᾶσιν ἑνὸς διακρίπτου Δ (σχ. 17δ), ὅστις διακρίπτει καὶ ἀποκαθιστᾷ τὸ κύκλωμα τοῦ διαμορφωτοῦ εἰς τὸν ρυθμὸν

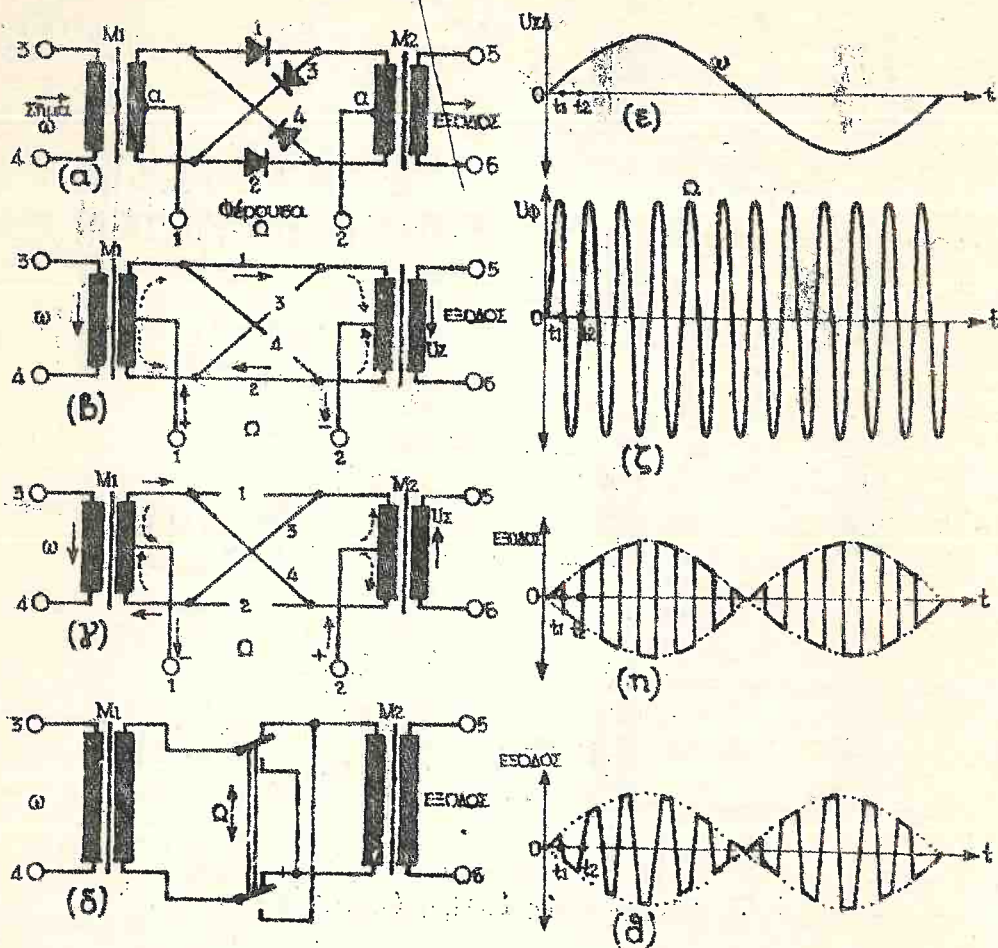




Σχ. 17. Διαμορφωτής απλής τροφοδοσίας

της φέρουσας. Επομένως μεταξύ  $0-t_1$  (σχ. 17η) θα εμφανισθῇ ἐν μικρὸν τμήμα τοῦ σήματος εἰς τὴν ἐξοδον, ἐνῶ μετὰ  $t_1-t_2$  οὐδὲν σήμα θα ἐμφανισθῇ κ.ο.κ. Ἐνταῦθα τονίζεται ὅτι εἰς τὴν ἐξοδον δὲν ἐμφανίζεται αὐτοῦσιον τὸ σήμα, ἀλλὰ μικρὰ τμήματα τούτου, ἡ περιβάλλουσα τῶν δόσεων ἔχει τὴν μορφήν τοῦ σήματος  $\omega$ . Διὰ νὰ προκύψῃ ἡ κυματομορφή τοῦ σχ. 17η ὑποτέθη δτι οἱ ἀνορθωταὶ καθίστανται ἀγώγιμοι καὶ μὴ ἀγώγιμοι ἀποτόμως δηλ. ὑπέθετο δτι ἡ τάσις τῆς φέρουσας λαμβάνει ἀκαριαίως τὴν μεγίστην τῆς τιμήν. Τοῦτο θὰ συνέβαινε ἐάν ἡ φέρουσα ἦταν τετραγωνικῆς μορφῆς. Εἰς τὴν πρᾶξιν ὅμως αἱ χρησιμοποιούμεναι εἰς τὰ  $\Phi/\Sigma$  φέρουσαι εἶναι συνήθως ἡμιτονικαὶ καὶ ἡ κυματομορφή ἐξόδου εἶναι ὡς εἰς τὸ σχ. 17θ ἐνθα αὐτὰ πλάγια πλευρὰ ἐμφανίζονται ἐλαφρῶς κλίσινα.





Σχ. 18. Διαμορφωτής δακτυλίου

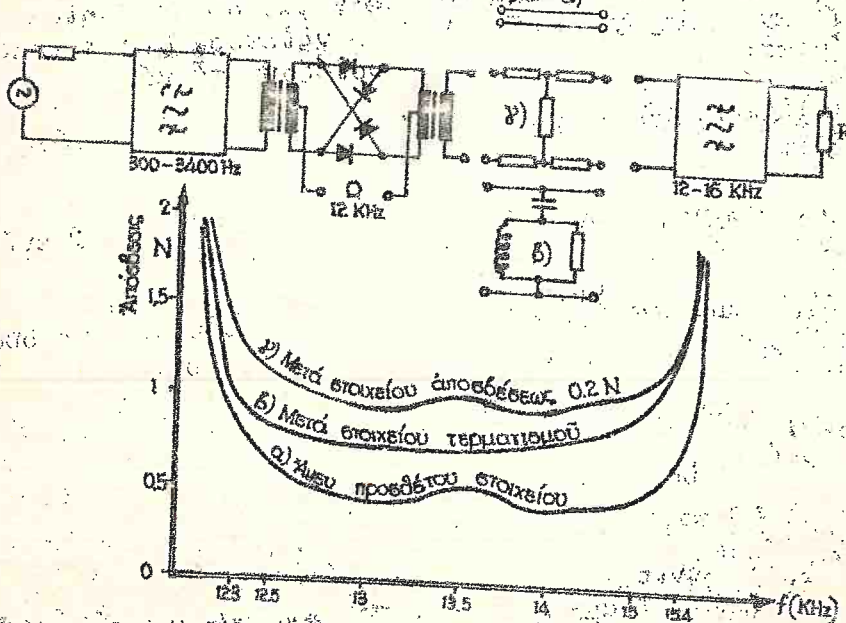
Κατ' ανάλογον ακριβώς τρόπον προκύπτει καί η κυματομορφή εἰς τὴν ἐξοδὸν τοῦ διαμορφωτοῦ δακτυλίου (σχ. 18). Ἡ δράσις τῆς φερούσης ὁμοιάζει πρὸς τὴν δράσιν ἐνός μεταγωγικοῦ διακόπτου, ὅστις, εἰς τὸν ρυθμὸν τῆς φερούσης, ἀντιστρέφει τὴν φοράν τοῦ ρεύματος εἰς τὸ πρῶτεῦν τοῦ μετασχηματιστοῦ  $M_2$  (σχ. 18 δ).

Εἰς τὸ σχ. 18η περὶσταται ἡ κυματομορφή ἐξόδου δ-

ταν ή φέρουσα είναι τετραγωνική καί εις τό σχ. 18 ή αὐτή κυματομορφή όταν ή φέρουσα είναι ήμιτονική.

#### 6.1.6. Σύνδεσις διαμορφωτοῦ μετά φίλτρου.

Προκειμένου, ἐν τῶν προϊόντων τῆς διαμορφώσεως, νά μεταδοθῇ ἡ ἐπιθυμητή ζώνη, τοποθετεῖται εἰς τήν ἔξοδον τοῦ διαμορφωτοῦ ἐν φίλτρον ζώνης (βλέπε κεφ. 8.1), τό ὁποῖον ἐπιτρέπει τήν διέλευσιν αὐτῆς καί ἀποκόπτει τά λοιπά προϊόντα τῆς διαμορφώσεως. Ἡ τοποθέτησις ὁμῶς τοῦ φίλτρου τούτου, ὡς καί τοῦ ἐτέρου φίλτρου εἰς τήν εἴσοδον τοῦ διαμορφωτοῦ δημιουργεῖ ὠριμένα προβλήματα ἐξ ὧν ὁποῖον τό κυριώτερον, εἶναι παραμόρφωσις πλάτους, ἡ ὁποία εἰσάγεται ἐν τῆς διατάξεως διαμορφωτοῦ καί φίλτρων. Πράγματι, τά καταστελλόμενα προϊόντα τῆς διαμορφώσεως ἰδίως ἡ ἑτέρα παράπλευρος ζώνη, ἡ ὁποία ἔχει τό μεγαλύτερον πλάτος - ἀνακλῶνται ἐπὶ τοῦ φίλτρου, λόγω κακοῦ φιλτράριου εἰς τήν εἴσοδον τοῦ διαμορφωτοῦ καί διαμορφοῦται ἐν νέου. Μερικά ἐν τῶν προϊόντων τῆς νέας αὐτῆς διαμορφώσεως κείνται, ἐντός τῆς πρὸς μετάδοσιν ζώνης συχνοτήτων καί προστιθέμενα, ὑπὸ διαφοράν ἢ ταυτότητα φάσεως, μετά τῶν ὠφελίμων σημάτων θά δημιουργήσουν ὄρη ἢ κοιλίας εἰς τήν καμπύλην ἀποκρίσεως τῆς διατάξεως, ὡς φαίνεται εἰς τήν καμπύλην α τοῦ σχ. 19. α)



Σχ. 19. Καμπύλη ἀποκρίσεως...

Πρός αντιμετώπισιν ταύτου χρησιμοποιούνται δύο μέθοδοι:

α) Μεταξύ διαμορφωτοῦ καὶ φίλτρου παρεμβάλλεται στοιχείον ἀποσβέσεως (βλέπε καφ. 8.3) 0,2 Ηρ περίπου, δι' αὐτοῦ ἐξασθενοῦνται τὰ ἀνακλόμενα σήματα καὶ συνεπῶς ἡ ὁρὰς τῶν ἐπὶ τῶν ὠφελίμων σημάτων περιορίζεται. Βεβαίως, διὰ τῆς μεθόδου ταύτης ἀξιάγεται ἡ ὀλίγη ἀποσβέσις τῆς διατάξεως ἀλλὰ βελτιοῦται ἡ καμπύλη ἀποκρίσεως ταύτης (καμπύλη γ εἰς τὸ σχ. 19).

β) Μεταξύ διαμορφωτοῦ καὶ φίλτρου τοποθετεῖται ἐν στοιχείον τερματισμοῦ, τὸ ὁποῖον διὰ τὰ ὑπόλοιπα προϊόντα τῆς διαμορφώσεως καὶ ἰδίως διὰ τὴν μὴ ἐπιθυμητὴν παράπλευρον ζώνην ἐμφανίζει σύνθετον ἀντίστασιν τῆς αὐτῆς τιμῆς πρὸς τὴν σύνθετον ἀντίστασιν, τὴν ὁποῖαν ἐμφανίζει τὸ φίλτρον διὰ τὴν ὠφέλιμον παράπλευρον ζώνην. Ὅττω καὶ διὰ τὰ σήματα ταῦτα ὑφίσταται τερματισμὸς ἐπὶ τῆς ὀρθῆς συνθέτου ἀντιστάσεως καὶ συνεπῶς δὲν ἐμφανίζονται φαινόμενα ἀνακλάσεως (καμπύλη β εἰς τὸ σχ. 19).

## 6.2. ΔΙΑΜΟΡΦΩΤΗΣ ΔΙΑ ΤΡΑΝΖΙΣΤΟΡ

Εἰς τὰ σύγχρονα  $\Phi/\Sigma$  ἐπετείνεται συνεχῶς ἡ χρησιμοποίησις τῶν διαμορφωτῶν διὰ τρανζίστορ, οἱ ὅποιοι ἐναντὶ τῶν ξηρῶν ἀνορθωτῶν παρουσιάζουν τὰ κάτωθι πλεονεκτήματα:

α) Ἀπαιτοῦν σαφῶς μικροτέραν ἰσχὺν τῆς φερούσης συχνότητος.

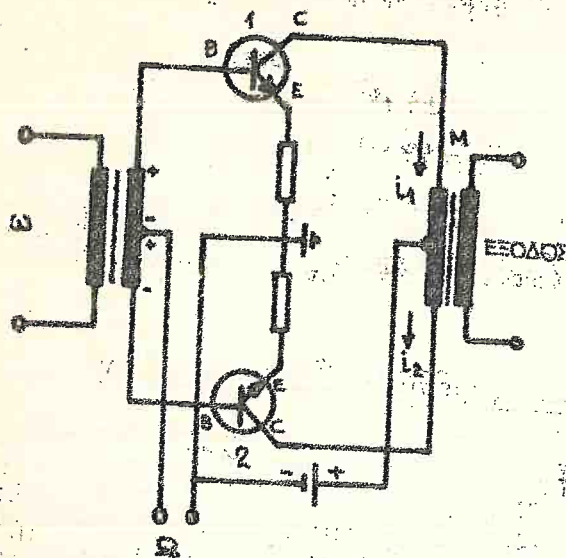
β) Παρουσιάζουν μικροτέραν ἀποσβέσιν (ἢ καὶ ἐνέσχυσιν εἰς τοὺς ἐνεργητικοὺς διαμορφωτάς).

Οἱ διαμορφωταὶ διὰ τρανζίστορ διαιροῦνται εἰς δύο κατηγορίας:

α) Παθητικοὶ διαμορφωταί: Ἐνθα τὰ προϊόντα τῆς διαμορφώσεως ὑφίστανται ἀποσβέσιν εἰς τὸν διαμορφωτὴν.

β) Ἐνεργητικοὶ διαμορφωταί: Ἐνθα τὰ προϊόντα τῆς διαμορφώσεως ἐνισχύονται εἰς τὸν διαμορφωτὴν (σχ. 20). Εἰς τὸν ἐν λόγῳ διαμορφωτὴν, ἡ φέρουσα εἶναι μικροτέρας ἰσχύος ἐναντι τῆς φερούσης εἰς τὸν διαμορφωτὴν διὰ διδ-





Σχ. 20. Ένεργητικός διαμορφωτής

είς τόν διαμορφωτήν, δεδομένου ότι τὰ τρανζίστορ είναι μονόδρομα στοιχεία. Ούτω, ἡ καμπύλη ἀποκορύψεως τοῦ ἐνεργητικοῦ διαμορφωτοῦ, ἐν σχέσει πρὸς ἐνέλευσιν τοῦ διαμορφωτῆος εἰς μεγάλην περιοχὴν συχνότητων καὶ διὰ τοῦτο χρησιμοποιεῖται εἰς τὴν διαμόρφωσιν σημάτων, τὰ ὅποια καταλαμβάνουν μεγάλο εὖρος συχνότητων. Ἡ λειτουργία τοῦ ἐνεργητικοῦ διαμορφωτοῦ (σχ. 20) ὁμοιάζει με τὴν λειτουργίαν τοῦ διαμορφωτοῦ ἀπλῆς ἰσοσταθμίσεως, διότι εἰς τὸν διαμορφωτὴν αὐτὸν τὰ τρανζίστορ 1 καὶ 2 καθίστανται ταυτοχρόνως ἀγώγιμα κατὰ τὴν μίαν ἡμιπερίοδον τῆς φερούσης, ἐνῷ τὸ σῆμα  $\omega$  εἰς μίαν δεδομένην χρονικὴν στιγμήν ἐφαρμόζεται με ἀντίθετον πολικότητα εἰς τὰς βάσεις B τῶν τρανζίστορ 1 καὶ 2. Ἀρα τὰ ἀντίστοιχα πρὸς τὸ σῆμα ρεύματα ἐξόδου  $i_1$  καὶ  $i_2$  τῶν δύο τρανζίστορ διαρρέουν κατὰ τὴν αὐτὴν κατεύθυνσιν τὸ δευτερεύον τοῦ M καὶ ἐπομένως ὑφίσταται εἰς τὴν ἐξόδον σῆμα. Κατὰ τὴν ἑλλήν ἡμιπερίοδον τῆς φερούσης, τὰ τρανζίστορ ἀποκόπτονται καὶ εἰς τὴν ἐξόδον δὲν θὰ ἐμφανισθῇ σῆμα. Ἐν τῶν ἀνωτέρω συμπερα-

δων διότι ἡ ἰσχύς, τὴν ὁποῖαν ἀπαιτεῖ τὸ κύκλωμα βάρσεως τῶν τρανζίστορ τοῦ διαμορφωτοῦ διὰ νὰ καταστήσῃ ταῦτα ἀγώγιμα εἶναι μικροτέρα, ἐκείνης τὴν ὁποῖαν ἀπαιτοῦν αἱ δόδοι.

Ἐπὶ πλέον, τὰ ἀνάμεικτα ἐπὶ τοῦ ἀπολογουμένου φιλτρου μὴ ἐπιθυμητὰ προϊόντα τῆς διαμορφώσεως δὲν δύνανται νὰ ἐπιστρέψουν

νεται, ότι η κυματομορφή έξόδου θα είναι όμοια προς την του σχήμ. 17θ, δηλαδή θα περιέχει ήμιτονιακή συνιστώσα, συχνότητας:

$$\kappa.\Omega \pm \nu.\omega$$

$$\mu.\Omega \pm \nu.\omega$$

Είς τὰ Φ/Σ χρησιμοποιούνται επίσης ενεργητικοί διαμορφωτές διπλής ίσοσταθμίσσεως (4 τρανζίστορ), είς τήν έξοδον τών όποίων υφίστανται ήμιτονιακή συνιστώσα συχνότητας  $\mu.\Omega \pm \nu.\omega$ .

### 6.3. Ομαδοποιήσις τών φερουσυχνικών διοδεύσεων

\* Η CCITT\* αποβλέπouσα είς τήν τυποποίησιν τών φερουσυχνών συστημάτων, ίνα καταστή δυνατή ή συνεργασία μεταξύ συστημάτων διαφόρων κατασκευαστών, ως επίσης ή διασύνδεσις καί απομάστευσις τηλεφωνικών διοδεύσεων (βλέπε σχετικόν κεφάλαιον), προέβη είς τās κάτωθι ομαδοποιήσεις τών φερουσυχνικών διοδεύσεων.

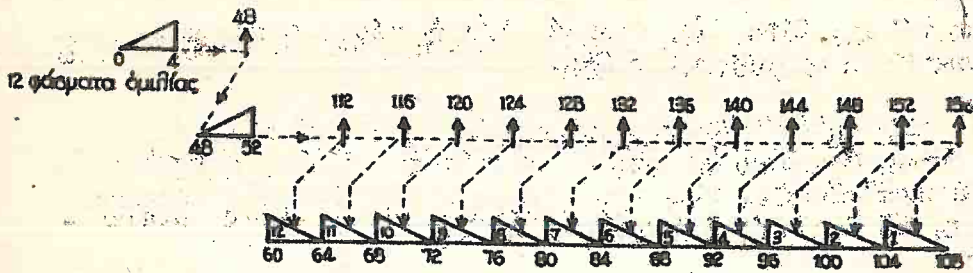
#### α) Βασιική πρωτομάς

Σχηματίζεται διά καταλλήλου μετατοπίσεως τοῦ φάσματος όμιλίας 12 τηλεφωνικών διοδεύσεων, ώστε ταῦτα νά καταλάβουν τήν ζώνην 60 - 108 KHz.

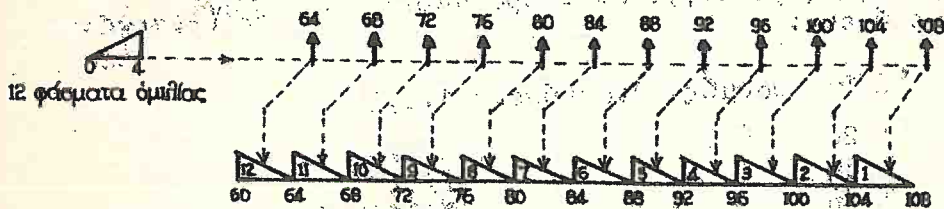
Τό φάσμα τῆς βασιικής πρωτομάδος είναι ανάστροφον καί δύναται νά προέλθῃ διά τριών κυρίως μεθόδων:

1) Διά προδιαμορφώσεως: Τά φάσματα όμιλίας καί τών 12 διοδεύσεων μετατοπίζονται είς τήν περιοχήν τῆς αὐτῆς φερούσης (π.χ. 48 KHz), καταλαμβάνοντα τήν ζώνην 48-52 KHz. Ἐν συνεχείᾳ έκαστον τών 12 φασμάτων, μετατοπίζεται είς τήν περιοχήν διαφορετικῆς φερούσης, ως φαίνεται.

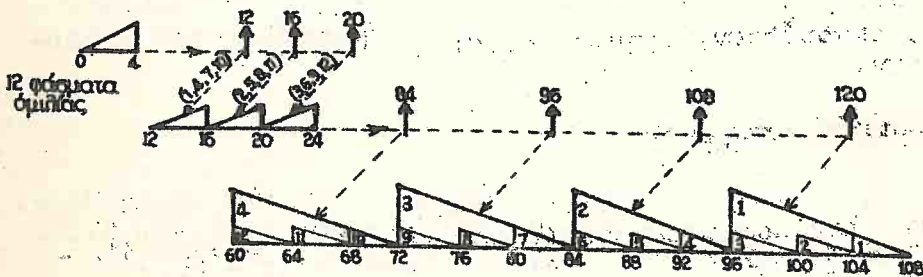
\* CCITT: Comité Consultatif International Télégraphique et Téléphonique (Διεθνής συμβουλευτική Ἐπιτροπή Τηλεγραφίας καί Τηλεφωνίας). Πρόκειται περί διεθνούς Ἐπιτροπῆς έδρευούσης είς Γενεύην, ή όποία έπείξεργάζεται συστάσεις ως πρός τās τεχνικās προϋποθέσεις, τās όποίās δέον νά πληροῦν αἱ τηλεπικοινωνιακά συσκευαί, ως καί επί τοῦ καλύτερου τρόπου έκμεταλλεύσεως αὐτῶν.



α) Διά προδιαμορφώσεως



β) Διά απ' ευθείας διαμορφώσεως



γ) Διά σχηματισμού προτομάδας



Σχ.21. Τρόποι σχηματισμού της βασικής προτομάδας (12 διοδεύσεις). (Αι συχνότητες δίδονται εις ΚΗz).



είς τό σχ. 21α. Είς μερινά  $\Phi/\Sigma$  ή φέρουσα προδιαμορφώσεως έχει συχνότητα 8 KHz.

ii) Δι' ἐπ' εὐθείας διαμορφώσεως: Κατά τήν μέθοδον ταύτην, ἑκάστον ἐκ τῶν 12 φασμάτων διμιλίας μετατοπίζεται κατ' εὐθείαν εἰς τήν περιοχὴν τῆς βασικῆς πρωτομάδος, τῇ βοηθεῖα ἰδιαιτέρας φεροῦσης (σχ. 21β).

iii) Διὰ σχηματισμοῦ προομάδων. Τῇ βοηθεῖα τῶν φερουσῶν 12, 16, 20 KHz σχηματίζονται 4 προομάδες (ἐκάστη ἐκ 3 διοδεύσεων) εἰς τήν περιοχὴν 12 - 24 KHz. Ἐν συνεχείᾳ ἑκάστη προομάς μετατοπίζεται εἰς τήν περιοχὴν τῆς βασικῆς πρωτομάδος διὰ χρησιμοποίησεως ἰδιαιτέρας φεροῦσης (σχ. 21γ). Αἱ 4 προομάδες ἀποτελοῦνται ἀπὸ τὰς διοδεύσεις:

Ἡ 1η προομάς: Διοδεύσεις 1, 2, 3

" 2α	"	"	4, 5, 6
" 3η	"	"	7, 8, 9
" 4η	"	"	10, 11, 12.

Αἱ διοδεύσεις 1, 4, 7, 10 χρησιμοποιοῦν τήν αὐτὴν φέρουσαν 12 KHz, αἱ 2, 5, 8, 11 τήν φέρουσαν 16 KHz καὶ αἱ 3, 6, 9, 12 τήν φέρουσαν 24 KHz.

Εἰς μερινά  $\Phi/\Sigma$  ἀντὶ νὰ σχηματισθοῦν 4 προομάδες τῶν 3 διοδεύσεων, σχηματίζονται 3 προομάδες τῶν 4 διοδεύσεων.

### β) Βασικὴ δευτερομάς

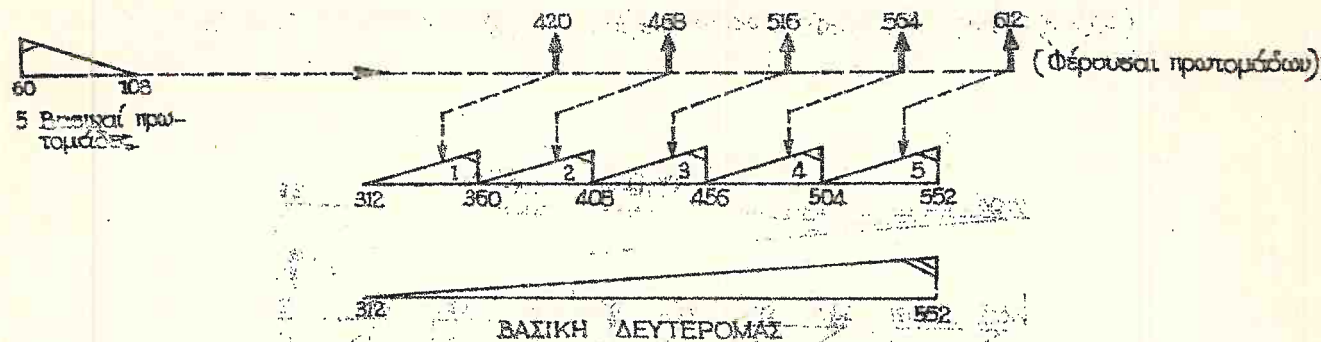
Προέρχεται ἐκ τῆς συνθέσεως 5 βασικῶν πρωτομάδων, ἑκάστη τῶν ὁποίων μετατοπίζεται εἰς τήν περιοχὴν 312 - 552 KHz τῇ βοηθεῖα ἰδιαιτέρας φεροῦσης (σχ. 22).

Τὸ φάσμα τῆς βασικῆς δευτερομάδος εἶναι ὀρθόν.

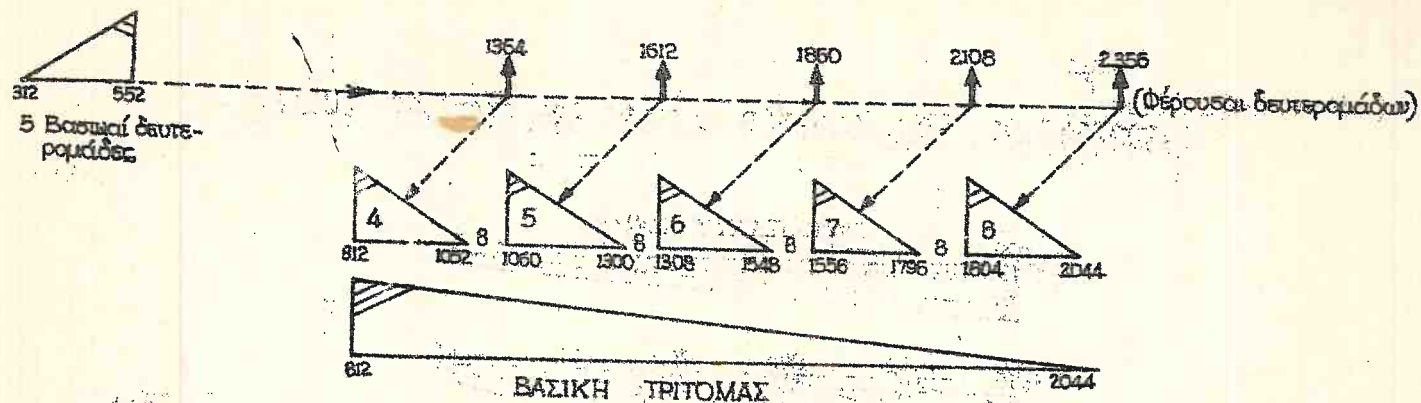
### γ) Βασικὴ τριτομάς

Προέρχεται ἐκ τῆς συνθέσεως 5 βασικῶν δευτερομάδων (σχ. 23).

Τὸ φάσμα τῆς βασικῆς τριτομάδος 812 - 2044 KHz εἶναι ἀνάστροφον.

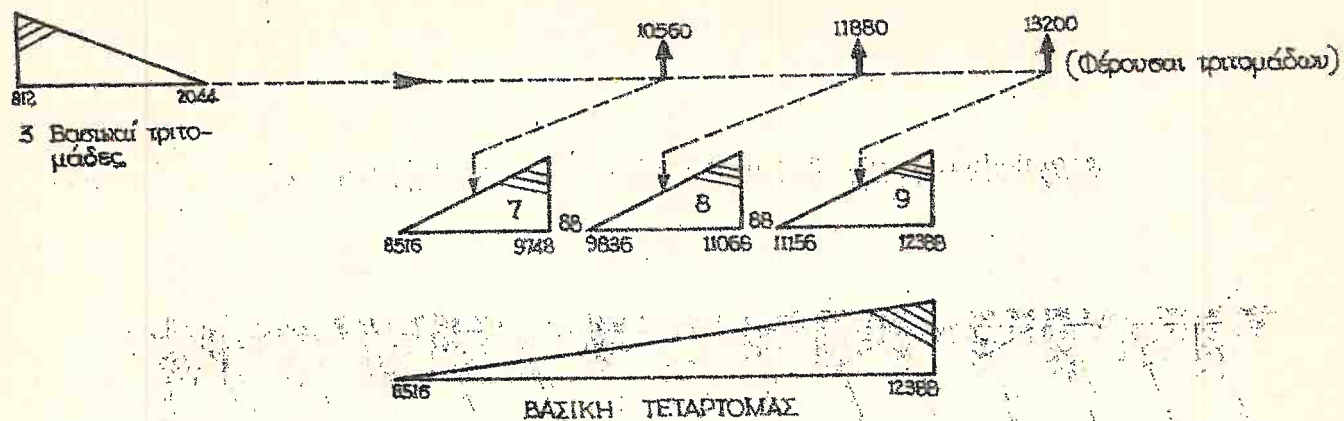


Σχ. 22. Σχηματισμός βασικής δευτερομάζας (60-διαιρέσεις)

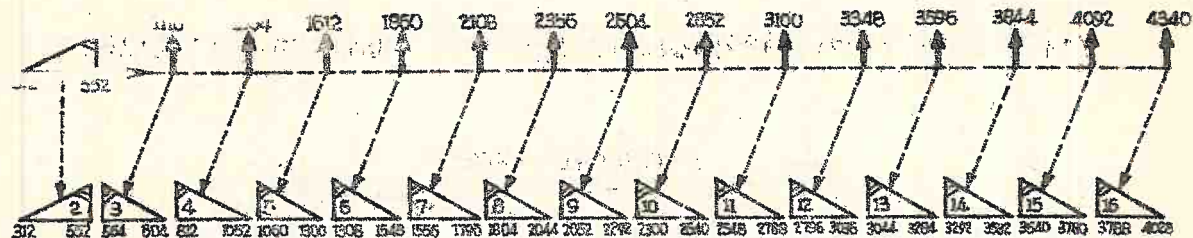


Σχ. 23. Σχηματισμός βασικής τριτομάδος (300 διαιρέσεις)





Σχ. 24. Σχηματισμός βασικής τεταρτομάδος (900-διοδεύσεις)



Σχ. 25. Σχηματισμός συγκροτήματος 15 δευτερομάδων





### δ) Βασική τεταρτομάδα

Προέρχεται ἐκ τῆς συνθέσεως 3 βασικῶν τριτομάδων καὶ καταλαμβάνει τὴν ζώνην 8516 - 12388 KHz εἰς ὁρθὸν φάσμα (σχ. 24).

### ε) Βασικὸν συγκροτήμα 15 δευτερομάδων.

Παράγεται διὰ μετατοπίσεως τοῦ φάσματος 15 δευτερομάδων εἰς τὴν περιοχὴν 312 - 4028 KHz, ὡς δεικνύεται εἰς τὸ σχ. 25.

Εἰς τὸ σχ. 26 ἐπαναλαμβάνεται, ὑπὸ ἄλλην μορφήν, ὁ τρόπος σχηματισμοῦ τῶν βασικῶν ὁμάδων καὶ ἐμφαίνεται ὁ τρόπος σχηματισμοῦ τῶν διαφορῶν συστημάτων (κατὰ CCITT).

Ὑπὸ τῆς CCITT ἔχουν τυποποιηθῇ καὶ αἱ ζῶναι τῶν Φ/Σ τριῶν διοδεύσεων. Αὗται ἀναφέρονται εἰς τὴν περιγραφὴν τοῦ συστήματος PST-L3.

Σημειώσεις: Ἡ χρῆσις πρωτομάδων καὶ δευτερομάδων εἶναι ὑποχρεωτικὴ ὑπὸ τῆς CCITT. Διὰ συστήματα μεγάλου τέρας χωρητικότητος εἶναι προαιρετικὴ ἡ χρῆσις τριτομάδων, τεταρτομάδων, βασικοῦ συγκροτήματος 15 δευτερομάδων ἢ μικτὴ μέθοδος.

## 7. ΠΕΡΙΟΡΙΣΤΗΣ ΠΛΑΤΟΥΣ

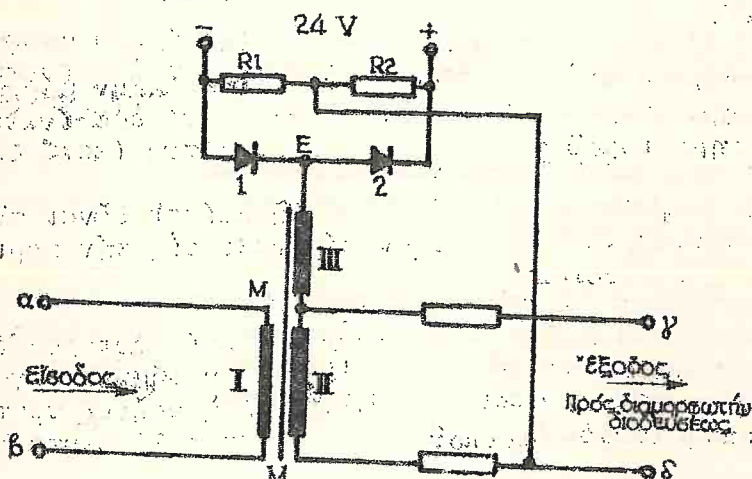
Ἡ στάθμη τῆς ὁμιλίας εἰς τὴν εἴσοδον τοῦ διαμορφωτοῦ διοδεύσεως ἔχει συγκεκριμένην τιμὴν, ἴσην, συνήθως, πρὸς -17,4 dBr (ὑπὸ τῆς CCITT ἐνέκρινθη ἐσχάτως πρότασις τροποποιήσεως εἰς -14 dBr). Ἡ τιμὴ αὕτη ἐξυπηρετεῖ δύο σκοπούς:

α) Εἰς τὸ κεφάλαιον περὶ διαμορφώσεως ἀνεφέρθη ὅτι ἡ στάθμη τῆς ὁμιλίας πρέπει νὰ εἶναι ἀρκετὰ χαμηλοτέρα ἀπὸ τὴν στάθμην τῆς φερούσης, ὥστε ἡ ἀγωγιμότης τῶν ἀνορθωτῶν εἰς τὸν διαμορφωτὴν νὰ ἐξαρτᾶται μόνον ἀπὸ τὴν στάθμην τῆς φερούσης.

β) Οἱ πάσης φύσεως ἐνισχυταί, οἱ ὁποῖοι ἀκολουθοῦν τὸν διαμορφωτὴν, ἔχουν ὑπολογισθῇ διὰ μέγιστην στάθμην ὁμιλίας εἰς τὴν εἴσοδον τοῦ διαμορφωτοῦ διοδεύσεως ἴσην

πρός  $-17,4$  dBt. Τυχόν υπέρβασις τῆς τιμῆς ταύτης ὁδηγεῖ εἰς υπερδιέγερσιν τῶν ἐνισχυτῶν, με ἀποτέλεσμα τὴν αὐξήσιν τοῦ θορύβου καὶ τῆς διαφωνίας εἰς τὰς διοδεύσεις.

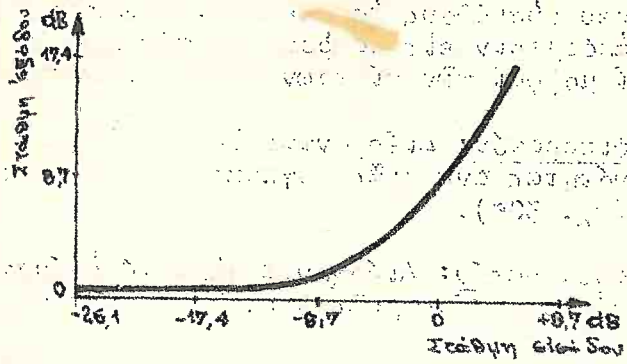
Ἡ ὁμιλία ὅμως δὲν ἔχει σταθεράν στάθμην καὶ μάλιστα εἶναι δυνατόν νὰ παρουσιάσῃ αἰχμὰς ἄνω τῆς ἐπιτρεπτῆς στάθμης. Διὰ νὰ ἐμποτραποῦν τὰ ἐν τῶν αἰχμῶν στάθμης δυσάρεστα ἀποτελέσματα, τοποθετεῖται πρὸ τοῦ δια-



Σχ. 27. Περιοριστὴς πλάτους

μορφωτοῦ διοδεύσεως ὁ περιοριστὴς πλάτους (σχ. 27). Οἱ ἀνορθωταὶ 1 καὶ 2 εὑρίσκονται ὑπὸ τάσιν πολώσεως  $24$  V, ἀλλὰ με πολικότητα ἀνὰστροφον τὴν τῆς ἀγωγίμου. Συνεπῶς, τὰ ρεύματα ὁμιλίας, τὰ ὁποῖα ἐπάγονται εἰς τὸ τύλιγμα III τοῦ μετασχηματιστοῦ M, δὲν κλείουν κύκλωμα πρὸς τὸ ἄκρον δ. Εἰς αἰχμὰς ὅμως τῆς ὁμιλίας ἡ τάσις τῆς θά γένη μεγαλυτέρα τῆς τάσεως πολώσεως καὶ οἱ ἀνορθωταὶ 1 καὶ 2 θὰ καταστοῦν ἀγωγιμοί. Κατὰ τὴν μίαν ἡμιπερίοδον τῆς τάσεως ὁμιλίας θὰ κλείῃ τὸ κύκλωμα: ε, ἀνορθωτῆς 1,  $R_1$ , δ, ἐνῶ, κατὰ τὴν ἑλλην ἡμιπερίοδον, τὸ κύκλωμα: ε, ἀνορθωτῆς 2,  $R_2$ , δ. Ἡ ἐναλλὰξ ὑπαρξίς τῶν ἀνωτέρω δύο κυκλωμάτων ἐν παραλλήλῳ πρὸς τὴν δόδν ὁμιλίας προναλεῖ τὸν περιορισμὸν τῶν αἰχμῶν ταύτης, διότι τὸ προστιθέμενον ἐν παραλλήλῳ κύκλωμα, ἀπορροφᾷ τιμὴν τῆς ἐνεργείας τοῦ δήματος.

Η απόσβεσις, την οποίαν παρεμβάλλει ο περιοριστής πλάτους συναρτῆσει τῆς στάθμης εἰσόδου φαίνεται εἰς τὸ σχ. 28. Ἐάν π.χ. ἡ ὁμιλία παρουσιάσῃ μίαν αἰχμὴν ἴσην πρὸς 0 dB, δηλαδὴ ἔχει στάθμην μεγαλυτέραν κατὰ 17,4 dB τῆς ὀφειλομένης τιμῆς τῶν -17,4 dB, ὁ περιοριστής πλάτους

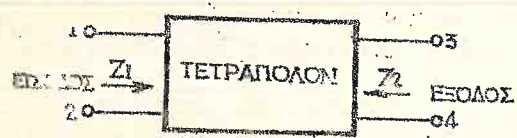


Σχ. 28. Καμπύλη λειτουργίας τοῦ περιοριστοῦ πλάτους.

θα προσθέσῃ ἀπόσβεσιν 8,7 dB καί, οὕτω, εἰς τὸν διαμορφωτὴν διοδεύσεως θα εἰσέλθῃ ἡ ὁμιλία μέ στάθμην -8,7 dB.

### 8. ΠΑΘΗΤΙΚΑ ΤΕΤΡΑΠΟΛΑ

Τὰ τετράπολα εἶναι δικτυώματα διὰ τὴν μεταφορὰν τῆς ἡλεκτρικῆς ἐνεργείας, αποτελούμενα ἀπὸ τυχόντα συνδυασμὸν καταναλωτῶν (ἀντιστάσεων, αὐτεπαγωγῶν, πυκνωτῶν) καὶ πηγῶν ἡλεκτρικῆς ἐνεργείας. Ἐν τετράπολον ἔχει δύο ἀμροδέκτας εἰσόδου καὶ δύο ἀμροδέκτας ἐξόδου (σχ. 29). Εἰς πᾶν τετράπολον διακρίνεται ἡ σύνθετος ἀντίστασις εἰσόδου  $Z_1$  καὶ ἡ σύνθετος ἀντίστασις ἐξόδου  $Z_2$ .



Σχ. 29. τετράπολον

Εἰς τὰ ἐκπόμενα ἐξετάζονται 4 τύποι τετράπολων: φίλτρα, μετασχηματισταὶ προσαρμογῆς, στοιχεῖα ἀποσβέσεως καὶ στοι-



χεῖρα ἐξισορροπήσεως. Τὰ ἐν λόγῳ τετράπολα καλοῦνται εἰδιωότερον "παθητικά" διότι δὲν προκαλοῦν ἐνίσχυσιν τῶν δι' αὐτῶν διαβιβαζομένων ρευμάτων.

### 8.1. Φίλτρα.

Τὰ φίλτρα εἶναι τετράπολα, τὰ ὅποια ἐπιτρέπουν τὴν διέλευσιν τῶν ρευμάτων μιᾶς συγκεκριμένης περιοχῆς συχνότητων ἔνευ οὐσιώδους ἀποσβέσεως, ἐνῷ παρεμβάλλουν σημαντικὴν ἀπόσβεσιν εἰς τὰ ρεύματα τῶν λοιπῶν συχνότητων. Αἱ βασικαὶ μορφαὶ τῶν φίλτρων εἶναι αἱ κάτωθι:

α) Ὑψιπερατόν: Διέρχονται ὅλα τὰ ρεύματα, τὰ ὅποια ἔχουν συχνότητας ἔνω μιᾶς συγκεκριμένης ὁριακῆς συχνότητος  $f_0$  (σχ. 30α).

β) Βαθυπερατόν: Διέρχονται ὅλα τὰ ρεύματα, τὰ ὅποια ἔχουν συχνότητας κάτω μιᾶς ὁριακῆς συχνότητος  $f_0$  (σχ. 30β).

γ) Φίλτρον διελεύσεως ζώνης: Διέρχονται ὅλα τὰ ρεύματα, τὰ ὅποια ἔχουν συχνότητας κειμένas μεταξύ δύο ὁριακῶν συχνότητων  $f_1$ ,  $f_2$  (σχ. 30γ).

δ) Φίλτρον ἀποκοπῆς ζώνης: Παρεμβάλλουν μεγάλην ἀπόσβεσιν εἰς ὅλας τὰς συχνότητας τὰς κειμένas μεταξύ τῶν ὁριακῶν συχνότητων  $f_1$  καὶ  $f_2$  (σχ. 30δ).

Εἰς τὸ σχ. 30 δεικνύονται ἐπίσης αἱ βασικαὶ μορφαὶ φίλτρων LC (βλέπε 8.1α) μὲ τὰς ἀντιστοιχοῦς περιοχὰς διελεύσεως καὶ ἀποκλεισμοῦ.

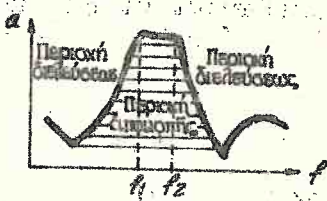
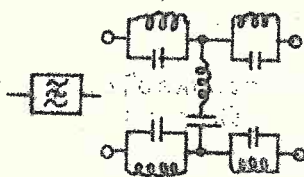
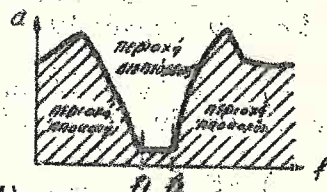
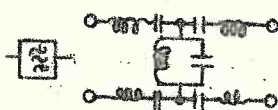
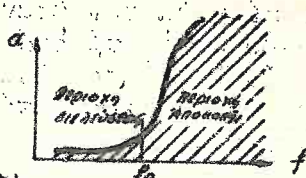
Ἐν φίλτρον καλῶς κατασκευασμένον πρέπει νὰ πληροῖ τὰς κάτωθι βασικὰς ἀπαιτήσεις:

α) Ἡ ἀπόσβεσις εἰς τὴν περιοχὴν διελεύσεως νὰ εἶναι ὅσον τὸ δυνατόν χαμηλὴ καὶ τῆς αὐτῆς τιμῆς.

β) Ἡ καμπύλη τῆς ἀποσβέσεως πλησίον τῆς ὁριακῆς συχνότητος νὰ ἀνέρχεται ὅσον τὸ δυνατόν ἀποτόμως, διότι ἄλλως θὰ ἐπιτρέπεται καὶ ἡ διέλευσις ρευμάτων καὶ ἄλλων συχνότητων.

Ἡ δαπάνη κατασκευῆς ἐνός φίλτρου ἐξαρτᾶται ἐκ τοῦ συντελεστοῦ ποιότητος αὐτοῦ, ὃ ὁποῖος ὑπολογίζεται ὡς

α) Υψηλερατών  
β) Χαμηλερατών  
γ) Διαφρευσίας ζώνης  
δ) Αποκοπής ζώνης



ΣΧ. 30 Βασικές μορφές φίλτρων L-C

δεξιά: "Εστω ότι η φέρουσα του διαμορφωτού είναι  $f_{\Phi} = 12 \text{ KHz}$  και επιδιώκεται διά του φίλτρου του σχ. 30 γ ή διέλευσις της άνω παράπλευρου ζώνης. Η  $f_1 = 12,3 \text{ KHz}$  και η  $f_2 = 15,4 \text{ KHz}$  (προέκυψαν εκ του συνδυασμού των σχ. 12 και 30γ). "Εστω ότι είναι επιθυμητή μία μεγάλη απόσβεσις τιμής α dB δι' α μίαν συχνότητα μεγαλύτεραν της  $f_2$  κατά  $\Delta f = 0,6 \text{ KHz}$ .

Ο συντελεστής ποιότητας του φίλτρου δίδεται εκ του λόγου:

$$\frac{f_{\Phi}}{\Delta f} = \frac{12}{0,6} = 20$$

Εάν όμως η φέρουσα ήτο 80 KHz, ο συντελεστής ποιότητας δια την αυτήν απόσβεσιν α dB εις συχνότητα μεγαλύτε-  
ραν της  $f_2$  κατά  $\Delta f = 0,6$  KHz είναι:

$$\frac{f_{\Phi}}{\Delta f} = \frac{80}{0,6} = 133$$

Μεγάλος όμως συντελεστής ποιότητας ενός φίλτρου σημαίνει και μεγάλην κατασκευαστική δαπάνην. Το γεγονός τουτο δίδει μίαν ἐκ τῶν ἀπαντήσεων εἰς τὸ ἐρώτημα τὸ ὅποιον θὰ προκύψῃ εἰς τὰ ἐπόμενα κεφάλαια: διὰτί οἱ κατασκευασταὶ τῶν Φ/Σ ἐφαρμόζουν διαδοχικὰς διαμορφώσεις, προκειμένου νὰ σχηματισθῇ τὸ φάσμα τῶν συχνοτήτων τῆς γραμμῆς μεταδόσεως.

γ) Ἡ απόσβεσις νὰ εἶναι ὅσον τὸ δυνατόν μεγαλυτέρα εἰς τὴν περιοχὴν ἀποκλεισμοῦ.

δ) Αἱ ἀντιστάσεις  $Z_1$  καὶ  $Z_2$  τοῦ φίλτρου νὰ διατηροῦν σταθεράν τιμὴν εἰς τὴν περιοχὴν διελεύσεως.

ε) Τὰ ἡλεκτρικὰ χαρακτηριστικὰ τοῦ φίλτρου νὰ μὴ μεταβάλλωνται μὲ τὴν πάροδον τοῦ χρόνου, ὥστε νὰ μὴ μετατοπίζωνται αἱ ὁριακαὶ συχνότητες καὶ ἀλλάσσουν τιμὴν αἱ ἀποσβέσεις.

Ἀπὸ ἀπόφωσ ὑλικῶν κατασκευῆς, ὑφίστανται ἐν χρήσει αἱ κατωθι κατηγορίαι φίλτρων:

α) Φίλτρα L-C:

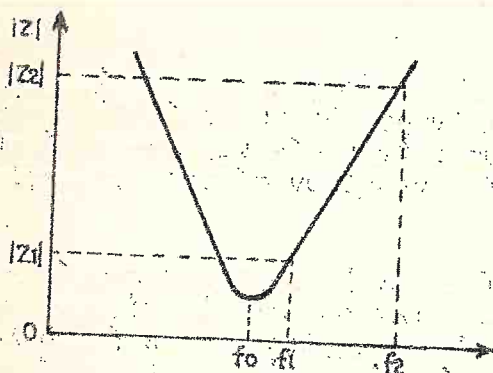
Ὡς γνωστὸν, ἡ ἀντίδρασις τὴν ὅποیان ἐμφανίζει πηγὸν αὐτεπαγωγῆς L δίδεται ὑπὸ τῆς σχέσεως  $2\pi fL$ , ἐνῶ ἡ ἀντίδρασις πυκνωτοῦ C ὑπὸ τῆς σχέσεως  $1/2\pi fC$ .

Ἐκ τῶν σχέσεων τούτων προκύπτει ὅτι ἡ αὐτεπαγωγικὴ ἀντίδρασις αὐξάνει μετὰ τῆς συχνότητος, ἐνῶ ἡ χωρητικὴ ἀντίδρασις μειοῦται. Ἐκ τούτου συμπεραίνεται ὅτι δι' ἐν κύκλωμα περιλαμβάνον αὐτεπαγωγὴν καὶ πηγὸν ὑπάρχει μία συχνότης  $f_0$ , διὰ τὴν ὅποیان ἡ αὐτεπαγωγικὴ ἀντίδρασις ἰσοῦται μὲ τὴν χωρητικὴν. Ἡ συχνότης αὕτη καλεῖται συχνότης συντονισμοῦ καὶ παρέχεται ὑπὸ τῆς σχέσεως:

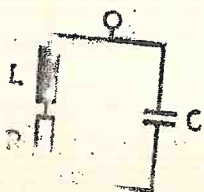
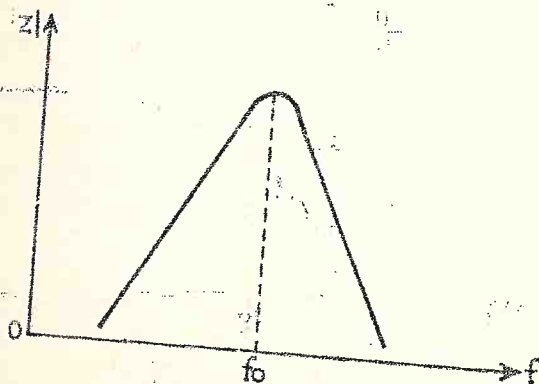
$$f_0 = \frac{1}{2\pi\sqrt{LC}}$$



Εἰς τὰ σχήματα 31 καὶ 32 δεικνύεται ἡ μεταβολὴ τοῦ μέτρου τῆς συνθέτου ἀντιστάσεως  $Z$  συναρτήσει τῆς συχνότητος διὰ κυκλώματα περιέχοντα αὐτεπαγωγὴν καὶ πυκνωτὴν ἐν σειρᾷ καὶ ἐν παραλλήλῳ. Εἰς τὰ σχήματα ταῦτα ἡ ἀντίστασις  $R$  παρίστα τὸ ἄθροισμα τῆς ὁμικῆς ἀντιστάσεως τοῦ



Σχ. 31. Κύκλωμα L-C ἐν σειρᾷ



πηγίου καὶ τῶν πρὸς τῆς φύσεως ὁμικῶν ἀπώλειων τοῦ κυκλώματος. Τὸ μέγεθος τῆς ὁξυότητος τῶν καμπυλῶν εἰς τὰ σχήματα ταῦτα ἐξαρτᾶται ἀπὸ τὸν συντελεστὴν ποιότητος  $Q$  τῶν κυκλωμάτων, ὁ ὅποιος παρέχεται ἀπὸ τὰς σχέσεις:

$$Q = 1/2\pi f_0 \cdot CR = \frac{2\pi f_0 \cdot L}{R}$$

Ἐκ τῆς παρατήρησεως τῶν ἐν λόγω καμπυλῶν προκύπτει ὅτι, διὰ κατὰλλήλου ἐκλογῆς τιμῶν τῶν πηγῶν καὶ πυκνωτῶν, εἶναι δυνατόν, διὰ μίαν συγκεκριμένην ζώνην συχνότητων, νὰ ἐπιτευχθῇ ἐλαττωσις (ἡ μεγιστοποίηση) τοῦ μέτρου τῆς  $Z$  ἐνῷ διὰ τὰς ὑπολοίπους συχνότητάς τοῦτο νὰ λαβῇ ἄν ὑψηλὰς (ἡ χαμηλὰς) τιμὰς.

Οὕτω, προκύπτουν τὰ φίλτρα L-C, τῶν ὁποίων

α) 4 βασικές μορφές δεικνύονται εἰς τὸ σχ. 30.

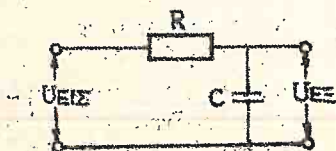
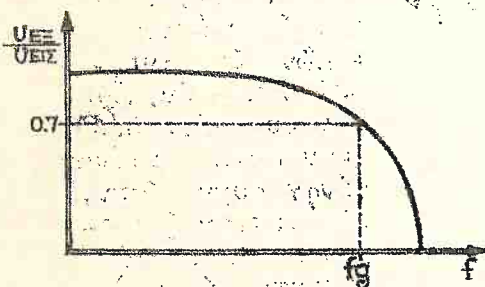
β) Φίλτρα R-C:

Ἡ ἐφαρμογή τῶν φίλτρων τούτων ἐπεξεύρεται συνεχῶς ὡς μετὰ τὴν εἰσαγωγὴν τῆς τεχνικῆς τῶν "ἑλικοκληρωμένων κυκλωμάτων".

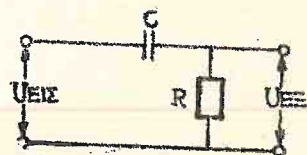
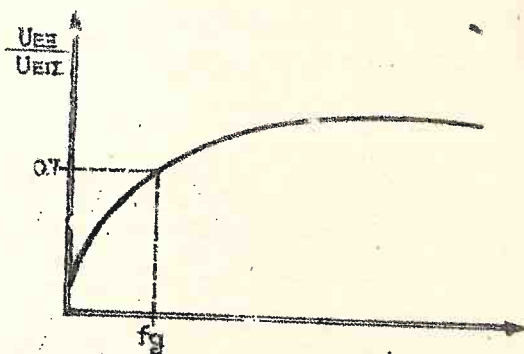
Τὰ βάσει τῆς τεχνικῆς ταύτης κατασκευαζόμενα φίλτρα, χαρακτηρίζονται ὡς ἐνεργὰ διότι ἐντὸς τῆς αὐτῆς ἐνιαίας μονάδος υφίστανται ἀντιστάσεις, πυκνωταί, δίοδοι καὶ τρανζίστορ, τὰ ὁποῖα ἐνισχύουν τὰ διὰ τοῦ φίλτρου διερχόμενα σήματα.

Εἰς τὸ σχ. 33 παρίσταται ἡ μορφή τῆς καμπύλης διελύσεως ἑνὸς βαθυπερατοῦ φίλτρου καὶ εἰς τὸ σχ. 34 ἑνὸς ὑψιπερατοῦ. Ἡ συχνότης  $f_g$ , διὰ τὴν ὁποῖαν ὁ λόγος τῆς τάσεως ἐξόδου πρὸς τὴν τάσιν εἰσόδου ὑποβιβάζεται εἰς τὰ 0,7 δίδεται ὑπὸ τῆς σχέσεως:

$$f_g = \frac{1}{2\pi RC}$$



Σχ. 33. Βαθυπερατόν φίλτρον  
R - C

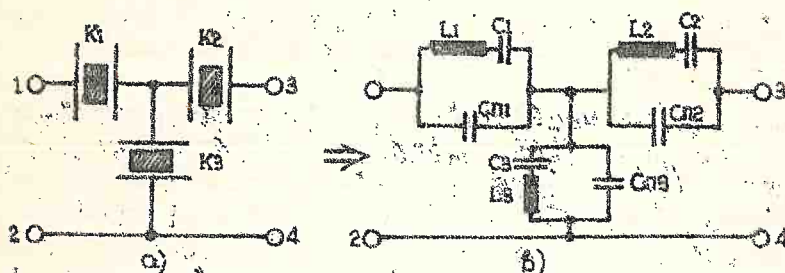


Σχ. 34. Ὑψιπερατόν φίλτρον  
RC

### γ) Κρυσταλλινά φίλτρα.

Είς τὰ φίλτρα ταῦτα χρησιμοποιοῦνται πιεζοηλεκτρικοὶ κρυστάλλοι, οἱ ὁποῖοι, ὡς ἀναφέρεται καὶ εἰς τὸ Κεφ. 11, 1 εἶναι ἰσοδύναμοι πρὸς κυκλῶμα αὐτεπαγωγῆς καὶ πυκνωτοῦ ἐν σειρᾷ, ἂν ὑψηλοῦ συντελεστοῦ ποιότητος  $Q$ . Ἀλόγῳ τοῦ ὑψηλοῦ  $Q$ , αἱ καμπύλαι τῶν κρυσταλλινῶν φίλτρων ἔχουν ἄν ἂν ἐποτόμοις τὰς κατακορύφους πλευρὰς καὶ, ὡς ἐν τούτῳ, ταῦτα εἶναι κατὰλληλα διὰ τὴν ἐπιλογὴν ἢ ἀπόρριψιν ἂν στενῶν ζωνῶν συχνοτήτων.

Εἰς τὸ σχ. 35α παρῶνται κρυσταλλινὸν φίλτρον δι-ελεύσεως ζώνης καὶ εἰς τὸ σχ. 35 β τὸ ἡλεκτρικὸν ἰσοδύ-



Σχ. 35. Κρυσταλλινὸν φίλτρον διελεύσεως ζώνης

ναμον τούτου. Τὰ ἐν σειρᾷ κυκλῶματα  $L_1-C_1$ ,  $L_2-C_2$ ,  $L_3-C_3$ , παριστοῦν τὸ ἰσοδύναμον τῶν κρυστάλλων, ἐνῶ διὰ τῶν πυκνωτῶν  $Op_1$ ,  $Op_2$  καὶ  $Op_3$  παρίστανται αἱ χωρητικότητες τῶν μεταλλικῶν πλακῶν στερεώσεως τῶν κρυστάλλων.

Τὸ κόστος τῶν κρυσταλλινῶν φίλτρων εἶναι ὑψηλότερον ἐν σχέσει πρὸς τὸ κόστος τῶν φίλτρων L-C ἢ R-C.

### δ) Μηχανικά φίλτρα.

Ἐσχάτως ἤρχισεν ἡ χρησιμοποίησις μηχανικῶν φίλτρων εἰς τὴν τεχνικὴν τῶν φερουσῶν. Τὰ μηχανικά φίλτρα, ἐναντι τῶν φίλτρων L-C, ἔχουν βελτιωμένα ἡλεκτρικὰ χαρακτηριστικά, μικρότερον ὄγκον καὶ εἶναι οἰκονομικώτερα ὅταν κατασκευάζονται εἰς μεγάλον ἀριθμὸν.

Ἡ λειτουργία των βασίζεται εἰς τὴν ἰδιότητα τῶν



μεταλλικῶν ἐλασμάτων ἢ ράβδων νὰ ταλαντοῦνται μηχανικῶς ὅταν διεγείρονται ὑπὸ ἐξωτερικοῦ αἰτίου. Τὸ πλάτος τῶν ταλαντώσεων γίνεται μέγιστον, ὅταν ἡ συχνότης τῆς ἐξωτερικῆς διεγέρσεως ἔχει τὴν αὐτὴν τιμὴν μὲ τὴν ἰδιοσυχνότητα τοῦ ἐλασματος. Ἡ ἰδιοσυχνότης ἐξαρτᾶται ἀπὸ τὸ ὕλινόν καὶ τὰς γεωμετρικὰς διαστάσεις τοῦ ἐλασματος.

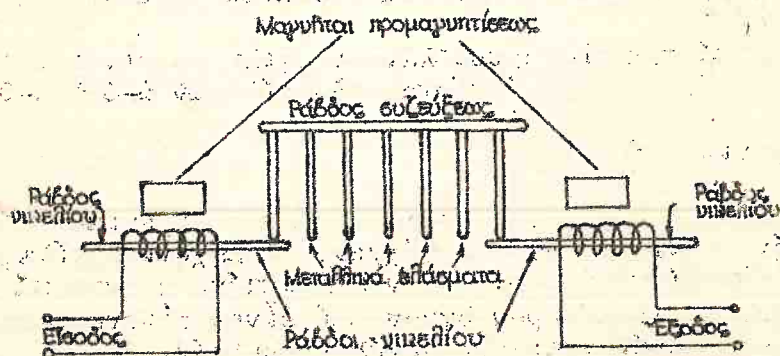
Ἐν μηχανικόν φίλτρον διακρίνεται εἰς τὰ κάτωθι κύρια μέρη:

α) Τὸ τμήμα εἰσόδου, ἐνθα αἱ ἠλεκτρικαὶ μεταβολαὶ μετατρέπονται εἰς μηχανικὰς.

β) Τὸ τμήμα τῶν μηχανικῶς συντονιζομένων ἐλασμάτων.

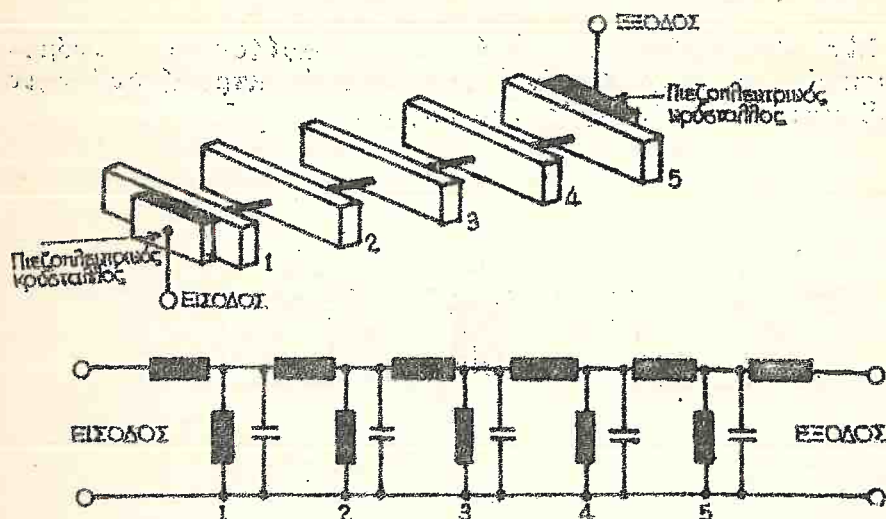
γ) Τὸ τμήμα ἐξόδου, εἰς τὸ ὁποῖον αἱ μηχανικαὶ μεταβολαὶ μετατρέπονται εἰς ἠλεκτρικὰς.

Τὸ σχ. 36 ἀπεικονίζει ἓν μηχανικόν φίλτρον, ἔχον μαγνητικὰ κυκλώματα εἰσόδου-ἐξόδου. Ἡ ράβδος νικελίου εἰς τὸ τμήμα εἰσόδου ἐκτελεῖ κινήσεις τῆς αὐτῆς συχνότητος ὡς ἡ συχνότης τῶν ρευμάτων εἰσόδου. Αἱ κινήσεις αὗται μεταβιβάζονται, πρὸς τὰ μεταλλικὰ ἐλάσματα, τὰ ὁποῖα εἶναι μηχανικῶς συνεζευγμένα. Αἱ κινήσεις, αἱ ὁποῖαι συμπίπτουν πρὸς τὴν ἰδιοσυχνότητα τῶν ἐλασμάτων, θὰ διεγείρουν τὴν ράβδον νικελίου εἰς τὸ κύκλωμα ἐξόδου, ἐνῶ αἱ λοιπὰ θὰ ἀποσβεσθοῦν ὑπὸ τοῦ μηχανικοῦ τμήματος. Ἡ κίνηση τῆς ράβδου εἰς τὸ τμήμα ἐξόδου, προκαλεῖ μεταβολὴν τοῦ μαγνητικοῦ πεδίου καὶ ἐπομένως τὴν ἀνάπτυξιν ρευμάτων ὁμοίας συχνότητος εἰς τὸ κύκλωμα ἐξόδου.



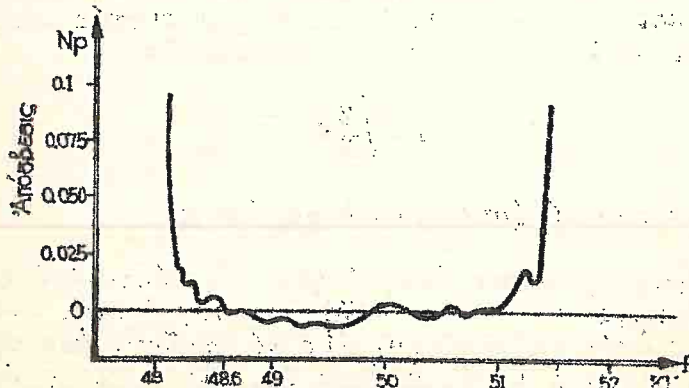
Σχ. 36. Ἀρχὴ λειτουργίας μηχανικοῦ φίλτρου, ἔχοντος μαγνητικὰ κυκλώματα εἰσόδου-ἐξόδου.

Εἰς τὸ σχ. 37 παρίσταται ἕτερον μηχανικὸν φίλτρον, εἰς τὸ ὁποῖον τὰ τμήματα εἰσόδου-ἐξόδου ὑποτελοῦνται ἀπὸ πιεζοηλεκτρικοῦς κρυστάλλους (ἡ σχετικῶς κεφ. 11.1).



Σχ. 37. Μηχανικὸν φίλτρον (ἔνω) καὶ τὸ ἡλεκτρικὸν του ἰσοδύναμον (κάτω)

Εἰς τὸ σχ. 38 δεῖνυνται ἡ καμπὴ ἀποσβέσεως ἑνὸς μηχανικοῦ φίλτρον τῆς ἐν λόγω μορφῆς. Τὸ φίλτρον τοῦτο προορίζεται διὰ διαμορφωτὰς διοδεύσιν, εἰς τοὺς ὁποίους ἡ βασικὴ πρωτομάς σχηματίζεται διὰ τοδιαμορφώσεως.

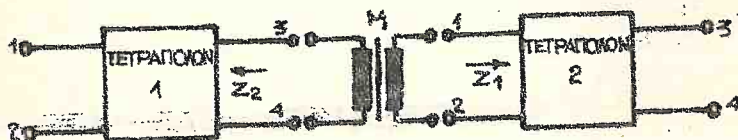


Σχ. 38. Καμπὴ ἀποσβέσεως μηχανικοῦ φίλτρον

### 8.2. Μετασχηματιστής προσαρμογής

Μία πηγή εσωτερικής αντίστασης  $R_1$  και είς καταναλωτής αντίστασης  $R_2$  εύρισκονται υπό συνθήκας προσαρμογής όταν  $R_1 = R_2$ .

Είς τήν περίπτωσιν αὐτήν δέν ἐμφανίζονται φαινόμενα ἀνακλάσεως, δηλαδή δέν ἐπιστρέφει ἠλεκτρικὴ ἐνέργεια ἐκ τοῦ καταναλωτοῦ πρὸς τήν πηγήν.



Σχ. 39. Μετασχηματιστής προσαρμογής

Είς τὰ τηλεπικοινωνιακά συστήματα μεταδόσεως συνδέονται διαδοχικῶς τετράπολα διαφόρων τύπων, τὰ ὁποῖα πρέπει νὰ εἶναι προσηρμοσμένα μεταξύ των. Ἐὰν πρόκει-ται νὰ συνδεθοῦν τὰ τετράπολα 1 καὶ 2 καὶ συμβαίνει ἡ σύνθετος ἀντίστασις ἐξόδου  $Z_2$  τοῦ τετραπόλου 1 νὰ εἶναι διάφορος τῆς συνθέτου ἀντιστάσεως εἰσόδου  $Z_1$  τοῦ τετραπόλου 2, παρεμβάλλεται μεταξύ των ἓν τρίτον τετράπολον· ὁ μετασχηματιστής προσαρμογῆς (M) τῶν συνθέτων ἀντιστάσεων  $Z_2$  καὶ  $Z_1$  (σχ. 39). Ὁ μετασχηματιστής προσαρμογῆς πρέπει νὰ ἔχῃ λόγον μετασχηματισμοῦ:

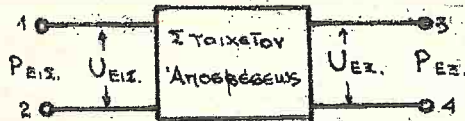
$$n = \sqrt{\frac{Z_2}{Z_1}}$$

### 8.3. Ἐξασθενητάς (στοιχεῖα ἀποσβέσεως)

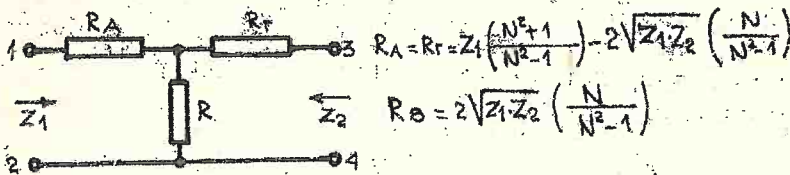
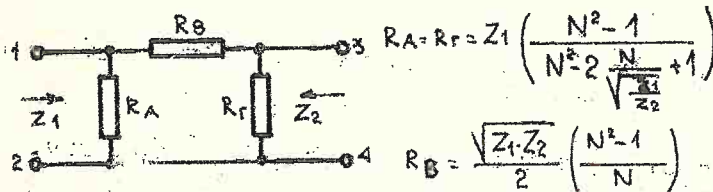
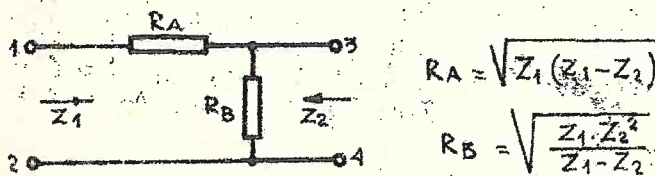
Εἰς τὰ συστήματα μεταδόσεως ἐπιδιώκεται συχνάκις ἡ ἀπόσβεσις τῆς ἠλεκτρικῆς ἐνεργείας. Τοῦτο ἐπιτυγχάνεται διὰ τῆς παρεμβολῆς ἐνός τετραπόλου, εἰς τὸ ὁποῖον, ἀνεξαρτήτως τῆς συχνότητος, ἡ ἰσχύς ἐξόδου  $P_{\text{ΕΞ}}$  εἶναι μικροτέρα τῆς ἰσχύος εἰσόδου  $P_{\text{ΕΙΣ}}$ . (σχ. 40) κατὰ ὁρισμένον λόγον.



Ἡ ἀπόδοσις χαρακτηρίζεται διὰ τοῦ γράμματος α καὶ παρέχεται εἰς dB ἢ ἢr ἐν τῶν ἀκολουθῶν σχέσεων:



Σχ. 40.

Σχ. 41 (τύπου "T<sub>α</sub>")Σχ. 42 (τύπου "Π<sub>α</sub>")Σχ. 43 (τύπου "L<sub>α</sub>")

$$\left. \begin{aligned} \alpha &= 10 \log \frac{P_{\text{ΕΙΣ.}}}{P_{\text{ΕΞ.}}} = 20 \log \frac{U_{\text{ΕΙΣ.}}}{U_{\text{ΕΞ.}}} + 10 \log \frac{Z_{\text{ΕΞ.}}}{Z_{\text{ΕΙΣ.}}} \text{ εἰς dB} \\ \alpha &= \frac{1}{2} \ln \frac{P_{\text{ΕΙΣ.}}}{P_{\text{ΕΞ.}}} = \ln \frac{U_{\text{ΕΙΣ.}}}{U_{\text{ΕΞ.}}} + \frac{1}{2} \ln \frac{Z_{\text{ΕΞ.}}}{Z_{\text{ΕΙΣ.}}} \text{ εἰς Np} \end{aligned} \right\} (8.2)$$

Τό προαναφερθέν τετράπολόν καλεῖται ἐξασθενητής ἢ στοιχεῖον ἀποσβέσεως καὶ ἀποτελεῖται μόνον ὑπὸ ἀντιστάσεις. Ἐν στοιχεῖον ἀποσβέσεως δυνατόν νά ἔχη διαφορετικές τὰς ἀντιστάσεις εἰσόδου καὶ ἐξόδου, ὅτε δύναται νά χρησιμοποιηθῇ καὶ ὡς στοιχεῖον προσαρμογῆς ἀντὶ τοῦ μετασχηματιστοῦ προσαρμογῆς.

Αἱ βασικαὶ ἰδιότητες, αἱ ὁποῖαι ἀναμένονται ὑπὸ ἑνὸς ἐξασθενητοῦ καλῆς κατασκευῆς εἶναι:

α) Νά παρουσιάζῃ τὴν προκαθορισθεῖσαν ἀντίστασιν εἰσόδου.

β) Νά παρουσιάζῃ τὴν προκαθορισθεῖσαν ἀντίστασιν ἐξόδου.

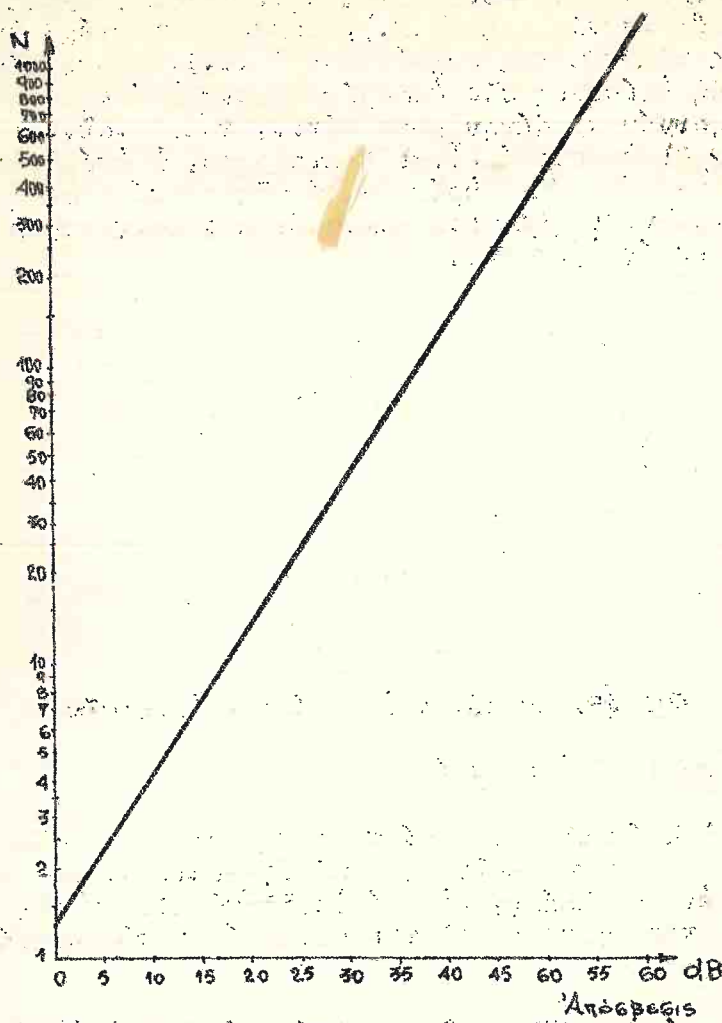
γ) Νά προκαλῇ τὴν προκαθορισθεῖσαν ἀπόσβεσιν.

Εἰς τὰ σχήματα 41, 42, 43 δίδονται οἱ τρεῖς κυριώτεροι τύποι στοιχείων ἀποσβέσεως καὶ παραπλευρῶς ἐκαστοῦ στοιχείου αἱ σχέσεις διὰ τὸν ὑπολογισμὸν τῶν ἀντιστάσεων. Εἰς τὰς σχέσεις αὐτάς  $Z_1$  καὶ  $Z_2$  εἶναι αἱ συνθετοὶ ἀντιστάσεις εἰσόδου καὶ ἐξόδου τοῦ στοιχείου καὶ  $N$  ποσότης ἐξαρταμένη ἐκ τῆς ἀποσβέσεως, τὴν ὁποῖαν ὀφείλῃ νά προκαλῇ τὸ στοιχεῖον ἀποσβέσεως. Ἀηλαδή ὁ  $N$  ἐμφράζει τὸν λόγον:

$$N = \sqrt{\frac{P_{\text{ΕΙΣ.}}}{P_{\text{ΕΞ.}}}} = \frac{U_{\text{ΕΙΣ.}}}{U_{\text{ΕΞ.}}}$$

Διὰ τὴν ἀπλοῦστευσιν τῶν ὑπολογισμῶν ὁ  $N$  δύναται νά ὑπολογισθῇ εὐκόλως τῇ βοηθεῖα τῆς καμπύλης τοῦ σχ. 44 (π.χ. διὰ ἀπόσβεσιν 20 dB, ὁ  $N$  ἰσοῦται πρὸς 10).

Τὸ στοιχεῖον τύπου L χρησιμοποιεῖται διὰ τὴν προσαρμογὴν δύο τετραπῶλων ὑπὸ τὴν μικροτέραν δυνατὴν ἀπόσβεσιν. Βεβαίως, ἡ χρησιμοποίησις τοῦ μετασχηματιστοῦ



Σχ. 44. Διά τόν ὑπολογισμόν τοῦ Ν

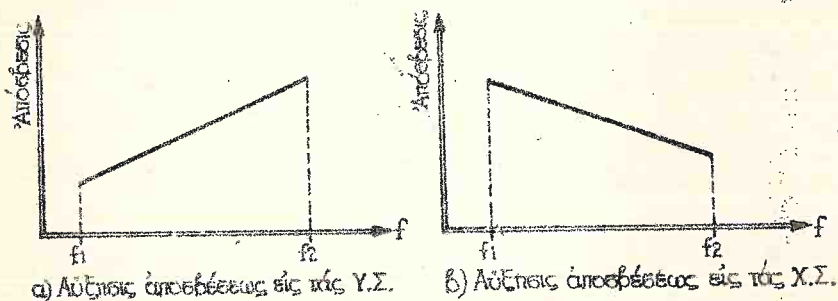
προσαρμογῆς προλαβεῖ ἔτι μικροτέραν ἀπόσβεσιν ἀλλὰ τό κόστος τοῦ μετασχηματιστοῦ προσαρμογῆς εἶναι πολλαπλάσιον τοῦ κόστους ἑνὸς στοιχείου τύπου L.

#### 8.4. Ἐξισωταί

Ἡ ἀπόσβεσις τῶν γραμμῶν, ἐνισχυτῶν καὶ λοιπῶν τηλε-



πικοινωνιακῶν διατάξεων ἐξαρτᾶται γενικῶς ἐν τῇς συχνότητος. Π.χ. ἡ ἀποσβέσις μιᾶς καλωδιακῆς γραμμῆς εἰς τὰς ὑψηλὰς συχνότητας (Υ.Σ.), εἶναι μεγαλυτέρα ἐν σχέσει πρὸς τὰς χαμηλὰς συχνότητας (Χ.Σ.). Προκειμένου νὰ ἐπιτευχθῇ ἐξίσωσις τῆς ἀποσβέσεως εἰς ὁλόκληρον τὴν χρησιμοποιηομένην ζώνην συχνότητων, τοποθετοῦνται οἱ ἐξισωταί. Οἱ ἐξισωταί εἶναι διευκυσματὰ, ἡ ἀποσβέσις τῶν ὁποίων μεταβάλλεται εὐρέως μετὰ τῆς συχνότητος (σχ. 45) καὶ διαίρουνται εἰς τετραπολικούς καὶ ἐπιγεφυρωμένους τετραπολικούς ἐξισωτάς.



Σχ. 45. Καμπύλαι ἀποσβέσεως ἐξισωτῶν

α) Τετραπολικοί ἐξισωταί

Αἱ ὑπλούτεραι μορφαί τετραπολικῶν ἐξισωτῶν δύνανται νὰ πραγματοποιηθοῦν τῇ βοηθεῖς διευκυσμάτων L-Ο ἐν σειρᾷ ἢ ἐν παραλλήλῳ, εἰς τὰ ὁποῖα τὸ μέτρον τῆς συνθέτου ἀντιστάσεως μεταβάλλεται συναρτήσει τῆς συχνότητος (σχ. 31, 32).

Εἰς τὰ κύκλωματα τῶν σχ. 46 καὶ 47, οἱ ἐξισωταί L-Ο ἔχουν τοποθετηθῇ ἐν σειρᾷ καὶ ἐν παραλλήλῳ, ἀντιστοίχως, πρὸς τὸ ὅλον κύκλωμα. Ἐστὼ ὅτι, διὰ τὸ κύκλωμα τοῦ σχ. 46, Ε εἶναι ἡ τάσις εἰσόδου, Η τάσις ἐξόδου διὰ τὰς χαμηλὰς καὶ τὰς ὑψηλὰς συχνότητας θὰ δίδεται ὑπὸ τῶν σχέσεων:

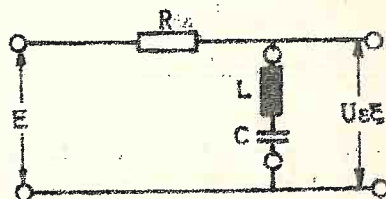
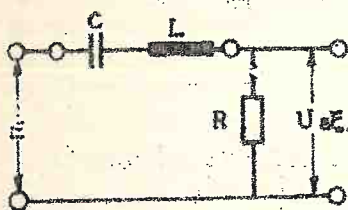
$$U_{\text{ἐξ. Χ.Σ.}} = E \frac{R}{|Z_1| + R}$$

$$U_{\text{ἐξ. Υ.Σ.}} = E \frac{R}{|Z_2| + R}$$

Επειδή, ως φαίνεται εις τό σχ. 31,  $|Z_1| < |Z_2|$  επε-  
ται ότι  $U_{\text{εξ.Χ.Σ.}} > U_{\text{εξ.Υ.Σ.}}$ .

Αηλαδή, ή καμπύλη αποσβέσεως τοῦ κυκλώματος τοῦ  
σχ. 46 θα ὁμοιάζει πρὸς τήν καμπύλην τοῦ σχ. 45α.

Ὀμοίως προκύπτει ὅτι ή καμπύλη αποσβέσεως τοῦ κυ-  
κλώματος τοῦ σχ. 47 ὁμοιάζει πρὸς τήν καμπύλην τοῦ σχ.  
45β.

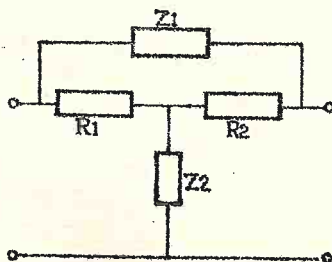


Σχ. 46. τετραπολινοῦς  
ἐξισωτῆς ἐν σειρά.

Σχ. 47. τετραπολινοῦς  
ἐξισωτῆς ἐν παραλλήλῳ.

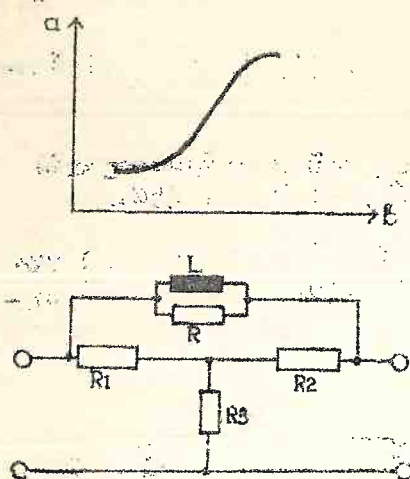
### β) Ἐπιγεφυρωμένοι τετραπολινοῦς ἐξισωταί

Εἰς τό σχ. 48 παρίσταται μία ἀπό τὰς πλέον συνη-  
θεις μορφὰς τετραπολινοῦ ἐξισωτοῦ (ἐπιγεφυρωμένου T),  
ἐνθα ἡ  $Z_1$ , ἡ  $Z_2$  ἢ καὶ ἀμφότεραι εἶναι σύνθετοι ἀντιστά-  
σεις.

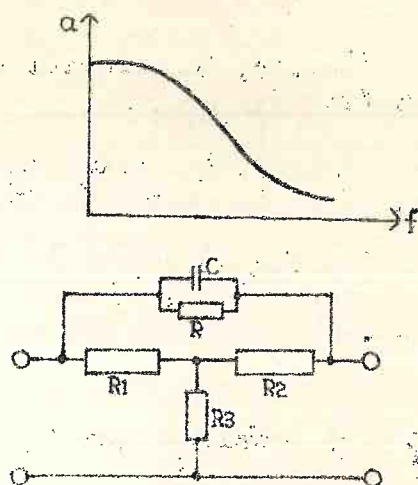


Σχ. 48. Τετραπολινοῦς ἐξισωτῆς

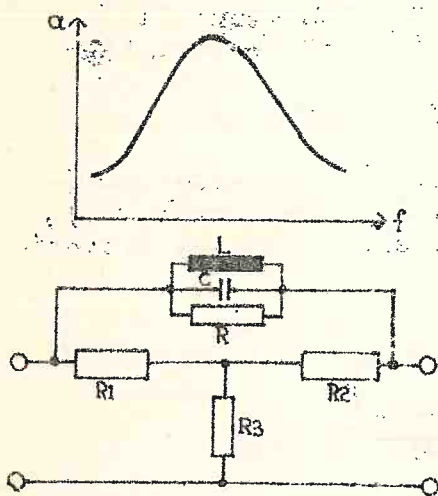
Π.χ. Ἐάν μόνον ἡ  $Z_1$  εἶναι σύνθετος ἀντίστασις, τό-  
τε προκύπτουν 4 εἴδη ἐξισωτῶν, ὡς φαίνεται εἰς τὰ σχ.  
49, 50, 51 καὶ 52.



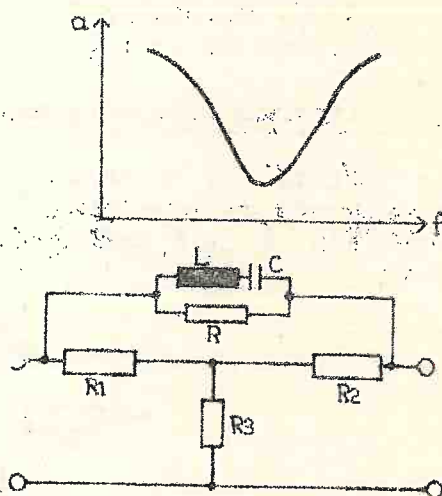
Σχ.49. Αύξεις αποσβέσεως  
εἰς τὰς Υ.Σ.



Σχ.50. Αύξεις αποσβέ-  
σεως εἰς τὰς Χ.Σ.



Σχ.51. Αύξεις αποσβέσεως  
εἰς ἐνδιάμεσον ζώνην συχνότητων



Σχ.52. Αύξεις αποσβέσεως  
εἰς τὰ δύο ἄκρα τῆς χρησιμ.  
ζώνης συχνότητων

Οἱ τετραπολικοὶ ἐξισωταὶ τοποθετοῦνται, συνήθως εἰς τὰ κυκλώματα εἰσόδου ἢ ἀνασυζεύξεως τῶν ἐνισχυτῶν, ἐνῶ οἱ ἐπίγεφυραμένοι τετραπολικοὶ παρεμβάλλονται εἰς τὸ τηλεπικοινωνιακὸν σύστημα ὡς καὶ τὰ ἄλλα τετράπολα.



Ἐάν ἡ ἀντίστασις  $R$  τῶν προηγουμένων κυκλωμάτων κα-  
ταστή μεταβλητή, τότε προκύπτουν οἱ μεταβλητοὶ ἐξισωταί  
οἱ ὅποιοι χρησιμοποιοῦνται εἰς τὰς διατάξεις αὐτομάτου  
ἐξισώσεως (Κεφ. 10. ).

## 9. ΤΕΡΜΑΤΙΚΑΙ ΔΙΑΤΑΞΕΙΣ

Δισύρματος λειτουργία. Πρόκειται περὶ τῆς ἀμφιπλευ-  
ρου μεταδόσεως τῶν ρευμάτων ὁμιλίας τὰ ὅποια παράγονται  
ὑπὸ τῶν διατάξεων μετατροπῆς, μέσῳ φορέως ἐν δύο ἀγωγῶν.  
Π.χ. προκείμενου περὶ τηλεφωνίας τὰ ρεύματα ταῦτα εἶναι  
χαμηλῆς συχνότητος 300–3400 Hz. Ὡς παράδειγμα δισυσμα-  
του λειτουργίας ἀναφέρεται ἡ ζεύξις τοῦ τηλεφώνου ἐνὸς  
συνδρομητοῦ μετὰ τοῦ κέντρου. Ἡ ἔννοια τῆς δισυσματου  
λειτουργίας ἐξακολουθεῖ ὑφίσταμένη καὶ εἰς τὰς περιπτώ-  
σεις ὑπάρξεως περισσοτέρων τῶν δύο μὲν πλὴν ὅμως βοηθη-  
τικῶν ἀγωγῶν. Π.χ. εἰς τὰς τηλεφωνικὰς συσκευὰς δευτε-  
ρευουσῶν ἐγκαταστάσεων, ὑφίσταται καὶ τρίτος ἀγωγὸς γει-  
ώσεως (ζεύξις τρίκλωνος).

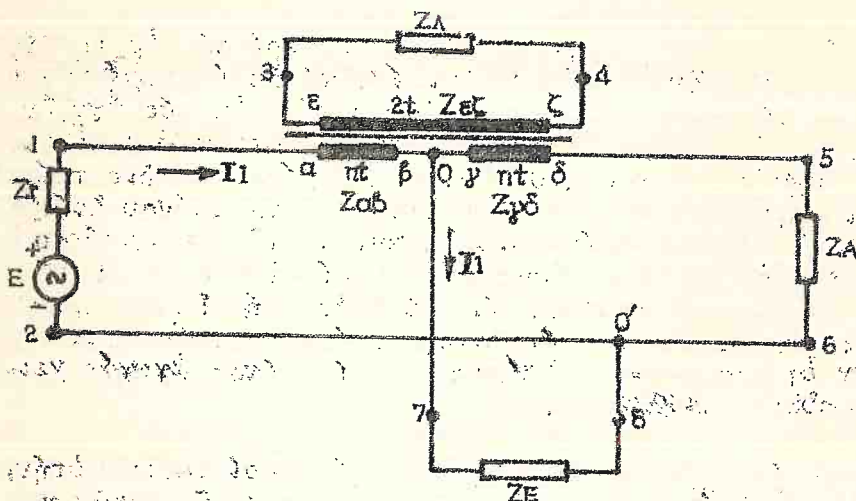
Τετρασύρματος λειτουργία. Εἰς τὴν περίπτωσιν αὐτήν,  
τὰ ρεύματα ὁμιλίας ἐν τῶν διατάξεων μετατροπῆς κυκλοφο-  
ροῦν ἐπὶ ἰδιαιτέρου, δι' ἐκδοτὴν κατεύθυνσιν μεταδόσεως  
ζεύγους.

Ὡς ἐλέχθη ἀνωτέρω, ἡ μετάδοσις τῶν ρευμάτων ὁμιλί-  
ας, ἀπὸ τοῦ τηλεφώνου τοῦ συνδρομητοῦ ἕως τὰς συσκευὰς  
Φ/Σ γίνεται ἀμφιπλευρῶς ἐπὶ ἐνὸς ζεύγους ἀγωγῶν. Εἰς  
τὰ φερέσυχνα συστήματα, ὅμως, ἡ μὲν κατεύθυνσις μεταδό-  
σεως (δόδος ἐμπομπῆς) εἶναι διάφορος τῆς ἐτέρας (δόδου  
λήψεως). Ὡς ἐν τούτῳ διὰ τὴν σύνδεσιν τῆς γραμμῆς συν-  
δρομητοῦ καὶ τῶν συσκευῶν Φ/Σ εἶναι ἀπαραίτητος ἡ παρεμ-  
βολή τερματικῆς διατάξεως, διὰ τῆς ὁποίας ἡ δισύρματος  
(ἀμφιπλευρος) σύνδεσις τῆς συνδρομητικῆς γραμμῆς θὰ με-  
τατρέπεται εἰς τετρασύρματον (δύο μονοπλευροὺς συνδέ-  
σεις).

### 9.1. Διαφορικὸς μετασχηματιστής.

Εἰς τὸ σχ. 53 δεικνύεται ὁ βασικὸς τύπος μιᾶς τερ-  
ματικῆς διατάξεως, ἡ ὁποία ἀποτελεῖται ἀπὸ μετασχηματι-  
στὴν τριῶν πυλινμάτων. Ὁ μετασχηματιστής οὗτος καλεῖ-  
ται διαφορικὸς μετασχηματιστής καὶ συνδέεται μετὰ τῶν  
ὑπολοίπων κυκλωμάτων ὡς ἐξῆς (σχ. 53):

- \* Ορια 1-2: Γραμμή συνδρομητικού (ἀντίστασις  $Z_T$ ).  
 \* Ορια 3-4: Οδός λήψεως τοῦ Φ/Σ (ἀντίστασις  $Z_A$ ).  
 \* Ορια 5-6: Δικτύωμα ἀπομιμήσεως (ἀντίστασις  $Z_A$ ).  
 \* Ορια 7-8: Οδός ἐκπομπῆς τοῦ Φ/Σ (ἀντίστασις  $Z_E$ ).



Σχ. 53. Διαφορινός μετασχηματιστής

Ο σκοπός, διὰ τὸν ὁποῖον τοποθετεῖται ἡ τερματικὴ διάταξις, ὁδηγεῖ εἰς τὴν διατύπωσιν τῶν κάτωθι ἰδιοτήτων, τὰς ὁποίας πρέπει νὰ ἐμφανίσῃ ὁ διαφορινός μετασχηματιστής, ὡς καὶ πᾶσα ἑλλη τερματικὴ διάταξις:

α) Τὰ προερχόμενα ἐκ τῆς συνδρομητικῆς γραμμῆς ρεύματα ὁμιλίας (ὄρια 1-2) πρέπει νὰ ἐμφανισθοῦν εἰς τοὺς ἀκροδέκτας ἐκπομπῆς 7-8.

β) Τὰ προερχόμενα ἐκ τῆς ὁδοῦ λήψεως (ὄρια 3-4) ρεύματα ὁμιλίας πρέπει νὰ ἐμφανισθοῦν εἰς τὰ ὄρια τῆς συνδρομητικῆς γραμμῆς 1-2 καὶ

γ) Τὰ ρεύματα ταῦτα δὲν πρέπει νὰ ἐμφανισθοῦν εἰς τὴν ὁδὸν ἐκπομπῆς, διότι τότε θὰ ἀφίχθουν εἰς τὸν συνδρομητήν, ὁ ὁποῖος τὰ ἐξέπεμψε. Ἐάν, μάλιστα, εἰς τὸ ἔτερον κέντρον διαρρέουν ὁμοίως πρὸς τὴν ὁδὸν ἐκπομπῆς,

τότε ή ανώμαλος αὕτη κατάστασις θα δημιουργήσῃ πλῆθος ἑτέρων ανωμαλιῶν ("σφυρίγματα", υπερφορτίσεις ἐνισχυτῶν, ἐπιδράσεις εἰς ἕτερα κυκλώματα κ.λ.π.).

"Εστω ὅτι ἕκαστον τῶν τυλιγμάτων α-β καὶ γ-δ τοῦ διαφορικοῦ μετασχηματιστοῦ ἔχει  $n \cdot t$  σπείρας καὶ τὸ τυλιγμα ε-ζ ἔχει  $2t$  σπείρας. Τότε ὁ λόγος μετασχηματισμοῦ θα εἶναι:

$$\frac{\text{Σπείραι πρωτεύοντος (α-β, γ-δ)}}{\text{Σπείραι δευτερεύοντος (ε-ζ)}} = \frac{n \cdot t + n \cdot t}{2t} = \frac{2nt}{2t} = n$$

Αἱ σύνθετοι ἀντιστάσεις τῶν τυλιγμάτων α-β, γ-δ καὶ ε-ζ συμβολίζονται ἀντιστοίχως διὰ τῶν  $Z_{αβ}$ ,  $Z_{γδ}$ ,  $Z_{εζ}$ .

Κατωτέρω θα ἐξετασθοῦν αἱ προϋποθέσεις, ὑπὸ τὰς ὁποίας ὁ διαφορικός μετασχηματιστὴς πληροῖ τὰς προαναφερθεῖσας τρεῖς ἰδιότητες.

α) Ἡ πηγή Ε συνδέεται μετὰ τῶν ὀρίων 1-2 (σχ. 53).

"Εστω ὅτι διὰ τῆς  $Z_A$  δὲν διέρχεται ρεῦμα. Τοῦτο σημαίνει ὅτι τὸ δυναμικὸν  $V_5$  τοῦ ὀρίου 5 εἶναι τὸ αὐτὸ μὲ τὸ δυναμικὸν  $V_6$  τοῦ ὀρίου 6. Δηλαδή:

$$V_5 - V_6 = 0 \quad (9.1)$$

Ἐπειδὴ ἰσχύει ἡ σχέση (9.1) συμπεραίνεται ὅτι τὸ κυκλωμα εἰς τὰ ὅρια 5-6 εἶναι ἀνοικτὸν καὶ συνεπῶς αἱ ἀντιστάσεις  $Z_T$ ,  $Z_{αβ}$ ,  $Z_E$  διαρρέονται ἐν σειρᾷ ὑπὸ τοῦ ρεύματος  $I_1$ .

Ἡ σχέση (9.1) γράφεται καὶ ὡς ἑξῆς:

$$V_5 - V_6 = (V_5 - V_0) + (V_0 - V_6) = 0 \quad (9.2)$$

Τὰ τυλίγματα α-β καὶ γ-δ ἔχουν τὸν αὐτὸν ἀριθμὸν καὶ φορὰν περιελίξεως σπειρῶν καὶ ἐπομένως εἰς τὰ ἄκρα τῶν ἀναπτύσσεται ἡ αὐτὴ τάσις. Ἀρα:

$$V_5 - V_0 = V_0 - V_1 \quad (9.3)$$

Ἡ ἀντίστασις  $Z_A$  φαίνεται ἐν τῶν ἄκρων α-β τοῦ με-



τεσχηματιστού ως έχουσα τιμήν:

$$Z_{\alpha\beta} = Z_{\Lambda} \left( \frac{nt}{2t} \right)^2 = Z_{\Lambda} \frac{n^2}{4} \quad (9.4)$$

Ἡ διαφορά δυναμικοῦ μεταξύ τῶν σημείων α καὶ β εἶναι:

$$V_{\alpha} - V_{\beta} = V_1 - V_0 = I_1 \cdot Z_{\alpha\beta} = I_1 \cdot Z_{\Lambda} \frac{n^2}{4}$$

Ἡ ἀντίθετος διαφορά δυναμικοῦ εἶναι:

$$V_0 - V_1 = I_1 \cdot Z_{\Lambda} \frac{n^2}{4} \quad (9.5)$$

Διὰ συγκρίσεως τῶν σχέσεων (9.3) καὶ (9.5) προκύπτει:

$$V_5 - V_0 = I_1 \cdot Z_{\Lambda} \frac{n^2}{4} \quad (9.6)$$

Ἡ διαφορά δυναμικοῦ μεταξύ τῶν σημείων 0 καὶ 6 εἶναι:

$$V_0 - V_6 = I_1 \cdot Z_E \quad (9.7)$$

Δι' ἀντικατάστασεως τῶν (9.6) καὶ (9.7) εἰς τὴν (9.2) προκύπτει:

$$-I_1 \left( Z_{\Lambda} \frac{n^2}{4} \right) + I_1 \cdot Z_E = 0$$

$$I_1 \left( Z_{\Lambda} \frac{n^2}{4} \right) = I_1 \cdot Z_E$$

Ἐκ ταύτης προκύπτει ἡ σχέση ἥτις πρέπει νὰ ὑφίσταται μεταξύ  $Z_{\Lambda}$  καὶ  $Z_E$ :

$$Z_{\Lambda} \frac{n^2}{4} = Z_E \quad (9.8)$$

$$2 \cdot Z_E = \frac{n^2}{2} \cdot Z_{\Lambda} \quad (9.9)$$

Συμφώνως πρὸς σχετιὸν θεώρημα, μία πηγή εὐρίσκειται ὑπὸ συνθήκας προσαρμογῆς (δηλαδή δὲν ἀνακλᾶται ἡ λευκρινὴ ἐνέργεια ἐκ τοῦ φορτίου πρὸς τὴν πηγήν), ὅταν

ή εσωτερική αντίστασις τῆς πηγῆς ἰσοῦται πρὸς τὴν ἀντίστασιν τοῦ φορτίου. Εἰς τὴν περίπτωσιν τοῦ σχ. 53, νὰ εἶναι ἡ πηγὴ Ε προσηρμοσμένη, πρέπει:

$$Z_T = Z_{AB} + Z_E$$

Ἡ, λόγῳ τῶν (9.4) καὶ (9.8):

$$Z_T = Z_A \cdot \frac{n^2}{4} + Z_E = Z_E + Z_E$$

Ἄρα:

$$2 \cdot Z_E = Z_T \quad (9.10)$$

Λόγῳ τῆς συμμετρίας τοῦ κυκλώματος, ἐὰν ἡ πηγὴ Ε τοποθετηθῇ μεταξύ τῶν ὁρῶν 5-6, θὰ προκύψῃ ἡ σχέση:

$$2 \cdot Z_E = Z_A \quad (9.11)$$

Ἐκ τῶν σχέσεων (9.9), (9.10) καὶ (9.11) προκύπτουν αἱ σχέσεις (9.12), αἵτινες συνδέουν τὰς ἀντιστάσεις τερματισμοῦ τοῦ διαφορικοῦ μετασχηματιστοῦ:

$$Z_A = Z_T = 2 \cdot Z_E = \frac{n^2}{2} \cdot Z_A \quad (9.12)$$

β) Ἡ πηγὴ Ε συνδέεται μεταξύ τῶν ἀκροδεκτῶν 3-4 (σχ. 54)

Ἐστω ὅτι ἡ πηγὴ Ε συνδέεται μεταξύ τῶν ἀκροδεκτῶν τῆς ὁδοῦ λήψεως. Λόγῳ ἐπαγωγῆς, εἰς τὰ ἄκρα ἐκατέρου τῶν τυλιγμάτων τοῦ πρωτεύοντος θὰ ἀναπτυχθῇ ἡ αὐτὴ ΗΕΔ Ε<sub>1</sub>, ἐπειδὴ τὰ τυλιγμὰ ταῦτα εἶναι ἀπολύτως ὁμοία. Ἐστω ὅτι ἀμφότεραι αἱ ΗΕΔ προκαλοῦν διὰ τῶν ἀντιστάσεως Z<sub>T</sub>, Z<sub>E</sub> καὶ Z<sub>A</sub> τὴν κυκλοφορίαν τῶν ρευμάτων I<sub>1</sub>, I<sub>x</sub> καὶ I<sub>1</sub>-I<sub>x</sub> ἀντιστοίχως (ἴδε σχ. 54). Ἐὰν ἐφαρμοσθῇ ὁ 2ος κανὼν τοῦ KIRCHHOFF εἰς τοὺς βρόχους Α καὶ Β, προκύπτει τὸ σύστημα τῶν ἐξισώσεων:

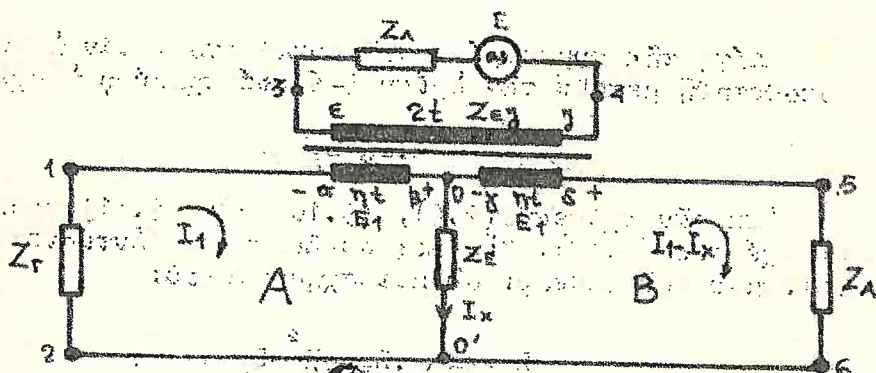
$$\left. \begin{aligned} E_1 &= Z_E \cdot I_x + Z_T \cdot I_1 \\ E_1 &= Z_A (I_1 - I_x) - Z_E \cdot I_x \end{aligned} \right\} \quad (9.13)$$

Διὰ συγκρίσεως τῶν ἐξισώσεων τούτων προκύπτει:

$$Z_E \cdot I_x + Z_\Gamma \cdot I_1 = Z_A \cdot (I_1 - I_x) - Z_E \cdot I_x$$

Η εξίσωσις αυτή επιλυομένη ως προς  $I_x$  δίδει:

$$I_x = \frac{Z_A - Z_\Gamma}{2 \cdot Z_E + Z_A} \cdot I_1 \quad (9.14)$$



Σχ. 54

Εν ταύτης προκύπτει ότι, διά να ικανοποιηθῇ ἡ γ' συνθήκη, δηλαδή τὸ ρεύμα  $I_x$  διὰ τῆς  $Z_E$  νὰ εἶναι μηδέν, πρέπει:

$$Z_A = Z_\Gamma \quad (9.15)$$

Ἡ πηγή  $E$  θὰ εὐρίσκειται ὑπὸ προσαρμογῇ, ότανι:

$$Z_A = Z_E = (Z_\Gamma + Z_A) \cdot \left( \frac{2t}{2nt} \right)^2$$

$$Z_A = 2 \cdot Z_\Gamma \cdot \frac{1}{n^2}$$

$$Z_\Gamma = \frac{n^2}{2} Z_A$$

(9.16)



Διὰ γὰρ εἶναι προσηρμοσμένη ἡ πηγὴ, ὅταν συνδεθῇ με-  
ταξὺ τῶν ὀρίων 0-0, πρέπει νὰ ἰσχύῃ ἡ σχέσις:

$$Z_E = \frac{Z_A \cdot Z_T}{Z_A + Z_T}$$

Ἐπειδὴ  $Z_E = Z_T$ , ἔπεται, ὅτι:

$$Z_E = \frac{Z_T}{2}$$

$$2Z_E = Z_T$$

(9.17)

Διὰ συγκρίσεως τῶν (9.15), (9.16) καὶ (9.17) προ-  
κύπτουν αἱ εὐραθεῖσαι καὶ εἰς τὴν α' περιπτώσιν σχέσεις  
(9.12):

$$Z_A = Z_T = 2 \cdot Z_E = \frac{n^2}{2} Z_A \quad (9.12)$$

Ἐπομένως, ὁ διαφορικὸς μετασχηματιστὴς παρουσιάζει  
τὰς ιδιότητας α, β, γ, ἐὰν μεταξὺ τῶν ἀντιστάσεων τερματι-  
σμοῦ τοῦ ἰσχύουν αἱ σχέσεις (9.12).

Ἐν τῶν σχέσεων τούτων παρατηρεῖται, ὅτι ἡ ἀντίστα-  
σις  $Z_A$  ἰσοῦται πρὸς τὴν ἀντίστασιν τῆς γραμμῆς  $Z_T$  (ἐκ  
τοῦ λόγου τούτου προκύπτει καὶ ἡ ὀνομασία τῆς  $Z_A$  ὡς δι-  
κτυώματος ἀπομιμήσεως).

Εἰς τὴν πρᾶξιν ἐπιτυγχάνεται ἡ ἰσότης  $Z_A = Z_T$  διὰ με-  
ταβολῆς τῆς ἀντιστάσεως τοῦ δικτυώματος ἀπομιμήσεως. Ἐ-  
ὰν δὲν ἐπιτευχθῇ τελεῖα ἰσότης, τότε θὰ παρατηρηθῇ δια-  
φυγὴ τῶν ρευμάτων λήψεως πρὸς τὴν ὁδὸν ἐκπομπῆς.

Εἰς τὴν α' περιπτώσιν παρατηρεῖται ὅτι, ἡ ἰσχύς τῆς  
πηγῆς  $P_\pi$  καταναλίσκεται ἐπὶ τῶν δύο ἰσῶν ἀντιστάσεων  $Z_E$   
καὶ  $\frac{n^2}{4} Z_A$ . Ἐπίσης, εἰς τὴν β' περιπτώσιν ἡ ἰσχύς  $P_\pi$   
καταναλίσκεται ἐπὶ τῶν δύο ἰσῶν ἀντιστάσεων  $Z_A$  καὶ  $Z_T$ .

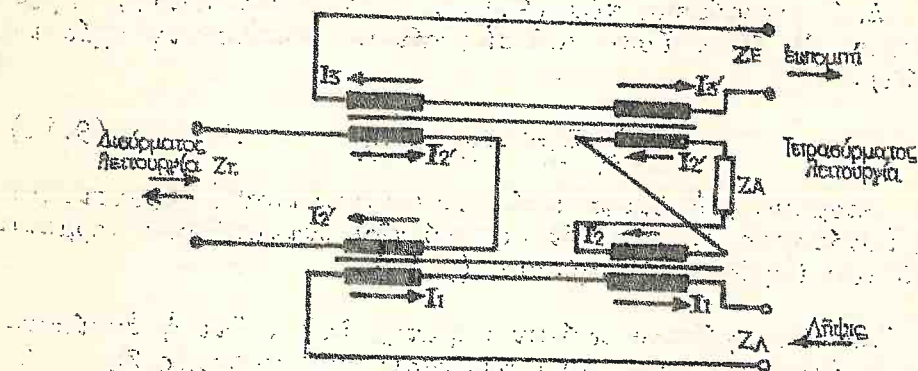
Ἐν τῶν δύο τούτων παρατηρήσεων συνάγεται τὸ συμπέρασμα,  
ὅτι εἰς ἀμφοτέρας τὰς περιπτώσεις, ἡ ὠφέλιμος ἰσχύς  $P_\omega$   
ἰσοῦται πρὸς τὸ ἡμῖσι τῆς ἰσχύος τῆς πηγῆς. Συνεπῶς, ἡ

απόδοσις ισχύος  $\alpha_p$ , τήν ὁποίαν εἰσάγει ὁ διαφορινὸς μετασχηματιστής, θὰ εἶναι:

$$\alpha_p = 10 \log \frac{P_p}{P_\omega} = 10 \log \frac{2 \cdot P}{P_\omega} = 10 \log 2 = 3 \text{ dB}$$

## 9.2. Τερματικὴ διάταξις 2 μετασχηματιστῶν

Εἰς τὰ Θ/Σ χρησιμοποιεῖται ἐπίσης ὡς τερματικὴ διάταξις συμμετρικὸν κύκλωμα δύο μετασχηματιστῶν, οἱ ὁποῖοι συνδεσμολογοῦνται ὡς εἰς τὸ σχ. 55.



Σχ. 55. Τερματικὴ διάταξις ἐν δύο μετασχηματιστῶν

Ὑπὸ τοῦ κυκλώματος τούτου πληροῦνται αἱ βασικαὶ ἰδιότητες  $\alpha, \beta, \gamma$ , τὰς ὁποίας πρέπει νὰ ἐμφανίσῃ μὲν τερματικὴ διάταξις. Π.χ., εἰς τὴν ὁδὸν λήψεως κυκλοφορῇ τὸ ρεῦμα  $I_1$ , εἰς τὴν ὁδὸν ἐμπομπῆς κυκλοφοροῦν τὰ δύο ἴσα καὶ ἀντίθετα ρεύματα  $I_3$  καὶ  $I_3'$ , τὰ ὁποῖα ἀλληλοεξουδετεροῦνται. Τὸ ρεῦμα  $I_2$  κυκλοφορεῖ πρὸς τὴν δισύνδεσμον γραμμὴν  $Z_T$  ἐνῶ τὸ  $I_2$  κυκλοφορεῖ διὰ τοῦ δικτύματος τῆς ἐμπομπήσεως  $Z_A$ .

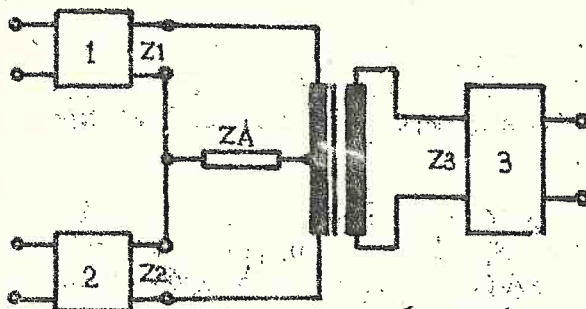
Λόγω τῆς ὁμοιότητος τῶν τυλιγμάτων καὶ τῆς ἰσότητος τῶν ἀντιστάσεων  $Z_A$  καὶ  $Z_T$ , συνάγεται ὅτι ἡ ὠφέλιμος ἰσχύς ἐπὶ τῆς  $Z_T$  ἰσοῦται πρὸς τὸ ἥμισυ τῆς προσερχομένης ἰσχύος ἐν τῇ ὁδοῦ λήψεως. Συνεπῶς, ἡ ἀπόδοσις

εις ισχύος και εις αυτόν τον τύπον της τερματικής διατάξεως ισοϋται προς 3dB.

### 9.3. Διάταξις αποζεύξεως (Ζεύκτης)

Είς διάφορα σημεία του κυκλώματος των Φ/Σ απαιτείται ή συνδέσεις της εξόδου δύο τετραπόλων 1 και 2 προς την είσοδον ενός τετραπόλου 3, υπό την προϋπόθεσιν ότι θα είναι δυνατή ή μετάδοσις ενέργειας εκ των 1 και 2 προς τό 3, αλλά θα αποκλείεται ή μετάδοσις ενέργειας εκ του 1 προς τό 2 και αντιστρόφως.

Διά να επιτευχθή αυτό τό είδος της ζεύξεως, χρησιμοποιείται ο διαφορικός μετασχηματιστής, όστις χαρακτηρίζεται ειδικότερον ως διάταξις αποζεύξεως (σχ. 56).



Σχ. 56. Ζεύκτης

Αι σχέσεις μεταξύ των  $Z_1$ ,  $Z_2$ ,  $Z_A$  και  $Z_3$  προκύπτουν, διά καταλλήλων αντικαταστάσεων, εκ των εξισώσεων (9.12).

$$Z_1 = Z_2 = 2Z_A = \frac{n^2}{2} Z_3 \quad (9.18)$$

Διά μαθηματικής ανάλυσεως αποδεικνύεται ότι αι ιδιότητες του ζεύκτη (επομένως και του διαφορικού μετασχηματιστού) επιτυγχάνονται, άνομη και όταν είναι διάφοροι αι αντιστάσεις  $Z_1$ ,  $Z_2$  των τετραπόλων 1 και 2, διά καταλλήλου έκλογής των λόγων σπειρών ( $\beta$ )/(εξ) και ( $\gamma\delta$ )/(εξ) (σχ. 53).



Επομένως ὁ ζεύκτης δύναται νὰ χρησιμοποιηθῇ ἀνόμη καὶ ὅταν  $Z_1 \neq Z_2$ .

## 10. ΕΝΙΣΧΥΤΑΙ

Οἱ ἐνισχυταὶ ἔχουν ὡς σκοπὸν τὴν αὐξήσιν τοῦ μεγέθους τῆς κυματομορφῆς εἰσόδου, ἄνευ αἰσθητῆς ἀλλαγῆς τῆς μορφῆς τῆς, ὥστε αὕτη νὰ ἀποκτήσῃ τιμὴν κατὰλληλον διὰ τὴν λειτουργίαν τῶν εἰς τὴν ἔξοδον τῶν ἐνισχυτῶν συνδεδεμένων διατάξεων. Ἡ ἐνίσχυσις ἐπιτυγχάνεται διὰ τρανζίστορ καὶ παλαιότερον δι' ἡλεκτρονικῶν λυχνιῶν τῶν ὁποίων ἡ χρῆσις ἐγκατελήφθη λόγῳ τῶν κάτωθι κυρίως πλεονεκτημάτων τῶν τρανζίστορ ἐναντι τῶν λυχνιῶν:

α) Τὰ τρανζίστορ ἔχουν θεωρητικῶς ἀπεριόριστον χρονικὸν ὄριον λειτουργίας, ἐνῷ ἡ διάρκεια "ζωῆς" τῶν λυχνιῶν κυμαίνεται περίξ τῶν 10.000 ὥρων λειτουργίας.

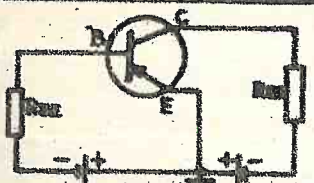
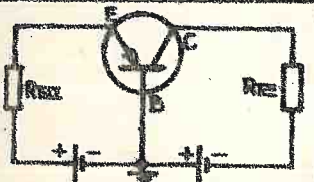
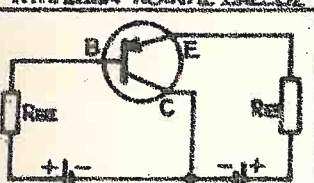
β) Αἱ ἡλεκτρονικαὶ λυχνίαι ἀπαιτοῦν τὴν κατανάλωσιν μεγαλυτέρας ἡλεκτρικῆς ἐνεργείας λόγῳ, κυρίως, τῆς ἀνάγκης θερμάνσεως τῆς καθόδου, διὰ νὰ προκληθῇ ἐκπομπὴ ἡλεκτρονίων.

γ) Τὰ τρανζίστορ εἶναι ἔτοιμα διὰ ἐργασίαν, εὐθὺς ὡς ἡ συσκευή τεθῇ εἰς λειτουργίαν διὰ τοῦ διακόπτου τῆς, ἐνῷ εἰς τὰς λυχνίας μεσολαβεῖ ὁ χρόνος θερμάνσεως τῆς καθόδου.

δ) Τὰ τρανζίστορ καταλαμβάνουν σαφῶς μικρότερον ὄγκον καὶ βάρος καί, οὕτω, περιορίζονται σημαντικῶς αἱ διαστάσεις τῶν συσκευῶν. Μάλιστα ἡ νέα τεχνικὴ τῆς κατασκευῆς τῶν "ἠλοκληρωμένων" κυκλωμάτων (IC εἰς τὴν Ἀγγλικήν, IS εἰς τὴν Γερμανικὴν βιβλιογραφίαν) ἐπιτρέπει τὴν κατασκευὴν πολλῶν τρανζίστορ, διόδων καὶ ἀντιστάσεων εἰς ἐνιαίαν μονάδα περιορισμένου χώρου. Ὡς παράδειγμα ἀναφέρεται τὸ "ἠλοκληρωμένον" κύκλωμα TAA 191, τὸ ὁποῖον εἶναι ἐνισχυτὴς μεγάλου συντελεστοῦ ἐνισχύσεως. Ὁ ἐνισχυτὴς αὗτος εἰς συνολικὸν ὄγκον περίπου  $430 \text{ mm}^3$  περιλαμβάνει 11 τρανζίστορ, 23 ἀντιστάσεις καὶ 5 διόδους.

Ἐν τῇς ἑξῆς ἐντεταμένης θεωρητικῆς ἀναπτύξεως τῶν σχετιῶν πρὸς τοὺς ἡμιαγωγούς καὶ τὰ τρανζίστορ εἰδικώτερον θεμάτων, κρίνεται σκόπιμος ἡ παράθεσις ἐνταῦθα τοῦ σχ. 57, εἰς τὸ ὁποῖον ἀναφέρονται τὰ τρία βασικά κυ-

κλώματα και οι αντίστοιχοι ιδιότητες των τρανζίστορ τύπου pnp.

ΕΙΔΟΣ ΚΥΚΛΩΜΑΤΟΣ	ΑΝΤΙΣΤΑΣΗ ΕΙΣΟΔΟΥ	ΑΝΤΙΣΤΑΣΗ ΕΞΟΔΟΥ	ΕΝΙΣΧΥΣΗ ΡΕΥΜΑΤΟΣ	ΕΝΙΣΧΥΣΗ ΤΑΣΕΩΣ	ΕΝΙΣΧΥΣΗ ΙΣΧΥΟΣ
 ΚΥΚΛΩΜΑ ΚΟΙΝΟΥ ΕΙΣΟΔΟΥ	$10^1 + 10^4 \Omega$	$10^4 + 10^5 \Omega$	$10^1 + 2 \cdot 10^2$	$10^2 + 10^4$	$10^5 + 10^4$
 ΚΥΚΛΩΜΑ ΚΟΙΝΗΣ ΒΑΣΕΩΣ	$10^1 + 10^2 \Omega$	$10^5 + 10^6 \Omega$	$< 1$	$10^2 + 10^4$	$10^2 + 10^3$
 ΚΥΚΛΩΜΑ ΚΟΙΝΟΥ ΣΥΛΛΕΚΤΟΥ	$10^5 + 10^6 \Omega$	$10^1 + 10^2 \Omega$	$10^1 + 2 \cdot 10^2$	1	$10^1 + 2 \cdot 10^2$

Σχ. 57. Βασικά κυκλώματα και ιδιότητες τρανζίστορ pnp

### 10.1. Παραμορφώσεις εις τους ενισχυτάς.

Τό περιεχόμενον τοῦ παρόντος κεφαλαίου αναφέρεται συγκεκριμένως εις τοὺς ενισχυτάς, ἀλλ' ἐφαρμόζεται κατ' ἀνάλογον τρόπον, καὶ εις ὅλα τὰ γνωστὰ εἴδη παθητικῶν ἢ ἐνεργητικῶν τετραπῶλων. (π.χ. φίλτρα, γραμμάς μεταδόσεως, ἐξισωτάς κ.λ.π.).

Εἰς ἐνισχυτῆς παραμορφώνει τό πρὸς ἐνίσχυσιν σῆμα ὅταν ἡ μορφή τοῦ σήματος τοῦτου εἰς τὴν ἐξοδὸν τοῦ ἐνι-

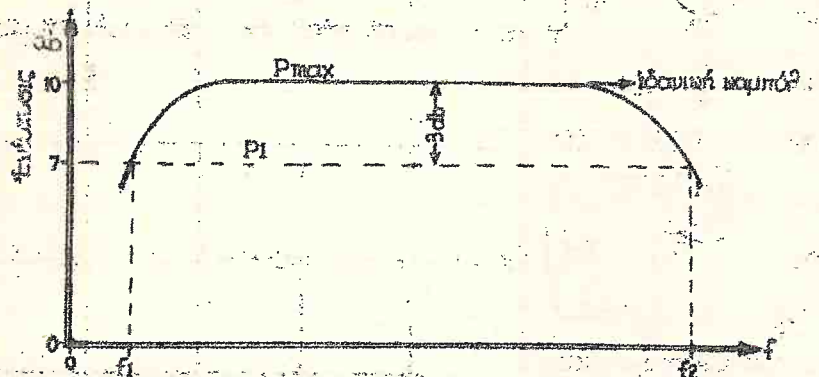
σχυτοῦ εἶναι διάφορος τῆς μορφῆς τοῦ σήματος εἰσόδου.

Αἱ παραμορφώσεις εἰς τοὺς ἐνισχυτὰς διακρίνονται εἰς γραμμικὰς καὶ μὴ γραμμικὰς.

Αἱ γραμμικαὶ παραμορφώσεις εἶναι:

α) Παραμορφώσεις πλάτους.

Εἰς ἐνισχυτὴς εἶναι ἀπηλλαγμένος παραμορφώσεων πλάτους ὅταν παρουσιάζει τὴν αὐτὴν ἐνίσχυσιν εἰς ὁλόκληρον τὴν περιοχὴν τῶν πρὸς ἐνίσχυσιν συχνοτήτων. Διὰ νὰ διαπιστωθῇ ἡ ὑπαρξὶς παραμορφώσεων πλάτους χαράσσεται ἡ καμπύλη ἀποκρίσεως τοῦ ἐνισχυτοῦ, ἡ ὁποία παρουσιάζει τὴν μεταβολὴν ἐνισχύσεως τοῦ ἐνισχυτοῦ συναρτήσει τῆς συχνότητος (σχ. 58).



Σχ. 58. Καμπύλη ἀποκρίσεως ἐνισχυτοῦ

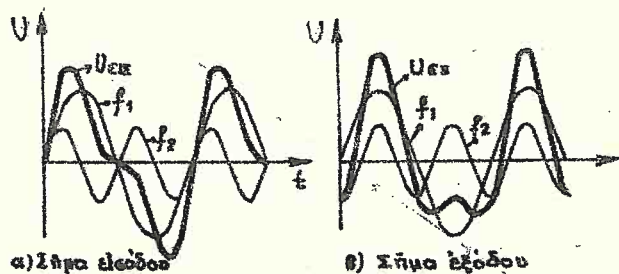
Ἡ ἰδανικὴ καμπύλη ἀποκρίσεως εἶναι μὴ εὐθεῖα παράλληλος πρὸς τὸν ἔξονα τῶν συχνοτήτων. Ἐν τοῦτοις διὰ τὰς πρακτικὰς ἐφαρμογὰς θεωρεῖται χρησιμὸς ἡ ζώνη ἡμισείας ἰσχύος  $\Delta f = f_2 - f_1$  ἔνθα  $f_1, f_2$  αἱ συχνότητες εἰς τὰς ὁποίας ἡ ἰσχύς  $P_1$  τοῦ σήματος εἰσόδου ἰσοῦται πρὸς τὸ ἡμῖον τῆς ἰσχύος  $P_{max}$  τοῦ σήματος, εἰς τὸ ὁποῖον παρατηρεῖται ἡ μεγίστη ἐνίσχυσις τοῦ ἐνισχυτοῦ. Δηλαδή εἰς τὰς συχνότητας  $f_1, f_2$  ἡ ἐνίσχυσις τοῦ ἐνισχυτοῦ υποβιβάζεται κατὰ 3dB.



(διότι:  $10 \log \frac{P_{\max}}{P_1} = 10 \log \frac{P_{\max}}{\frac{P_{\max}}{2}} = 10 \log 2 = 3 \text{ dB}$ )

### β) Παραμορφώσεις φάσεως

Αι έν λόγω παραμορφώσεις προηαλούνται όταν ο χρόνος διαδρομής μέσω του ένισχυτοϋ είναι διαφορετικός διά σήματα διαφορετικών συχνοτήτων. Συνεπεία τοϋ διαφορετικού χρόνου διαδρομής τροποποιείται είς τήν έξοδον τοϋ ένισχυτοϋ ή φασική σχέσις των σημάτων διαφόρων συχνοτήτων ως πρός τήν φασικήν σχέσιν των αϋτών σημάτων είς τήν είσοδον. Τοϋτο έχει ως αποτέλεσμα τήν παραμόρφωσιν τής μορφής τοϋ σήματος έξοδου, ως φαίνεται καί είς τό παράδειγμα τοϋ σχ. 59, ένθα ή τάσις τοϋ σήματος είσόδου  $U_{\text{ΕΙΣ}}$  έχει άνελυθῇ είς δύο συνιστώσας  $f_1$ ,  $f_2$  (σχ. 59α). Λόγω



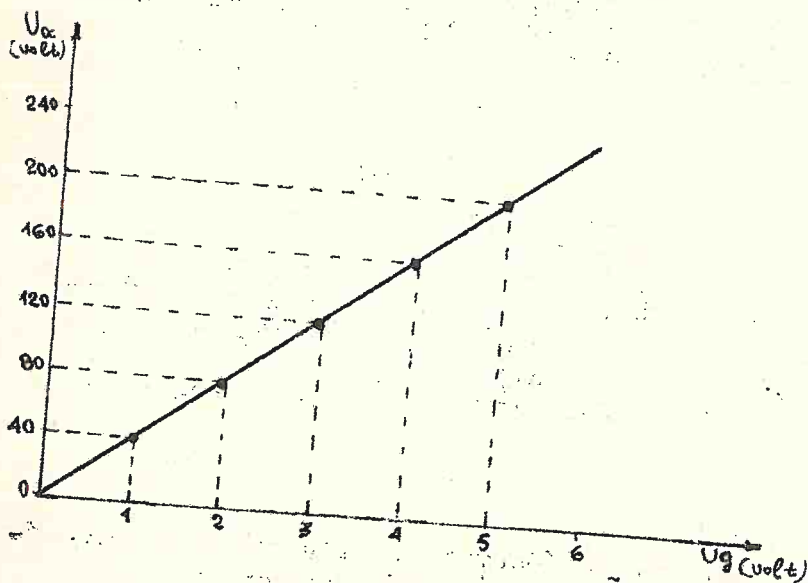
Σχ. 59. Παράδειγμα διά τήν παραμόρφωσιν φάσεως είς τούς ένισχυτάς

τής παραμορφώσεως φάσεως, τήν όποίαν είσάγει ό ένισχυτής, τροποποιείται ή φασική σχέσις των  $f_1$ ,  $f_2$  είς τήν έξοδον, μέ αποτέλεσμα τήν παραμόρφωσιν τής τάσεως έξοδου:  $U_{\text{ΕΚ}} \neq U_{\text{ΕΙΣ}}$ . (σχ. 59β).

Αι μή γραμμικά παραμορφώσεις, τάς όποιάς είσάγουν οι ένισχυτάς όφείλονται είς τήν μή γραμμικότητα τούτων.

Ο ενισχυτής θεωρείται 100% γραμμικός, εάν παρουσιάζει τον αυτόν βαθμό ενισχύσεως εις πάσας τὰς στιγμιαίας τιμὰς τάσεως τοῦ σήματος εἰσόδου.

Παράδειγμα: Ἐστω ὅτι εἷς ενισχυτής ἔχει συντελεστήν ενισχύσεως τάσεως  $A=40$ . Ἐάν τὸ σῆμα εἰσόδου ἔχῃ στιγμιαίαν τιμὴν τάσεως  $U_g=1V$ , τὸ σῆμα ἐξόδου θὰ ἔχῃ στιγμιαίαν τιμὴν τάσεως ἐξόδου  $U_a=40V$ . Ἐάν ἡ  $U_g$  γίνῃ  $2V$ , τότε ἡ  $U_a=80V$  κ.ο.κ. Τὸ ἐν λόγω παράδειγμα δύναται νὰ παρασταθῇ γραφικῶς ὑπὸ τῆς γραμμῆς τοῦ σχ. 60. Εἰς τὴν πρᾶξιν, οἱ ενισχυταὶ δὲν ἔχουν χαρακτηριστικὴν γραμμικότητος τελείως ἰδανικὴν, ὥς ἡ τοῦ σχ. 60 καὶ τοῦτο διότι αἱ ἡλεκτρονικαὶ λυχνίαι καὶ τὰ τρανζίστορ δὲν εἶναι τελείως γραμμικὰ στοιχεῖα.



Σχ. 60. Διὰ τὴν γραμμικότητα ενισχυτοῦ

Αἱ μὴ γραμμικαὶ παραμορφώσεις, αἱ ὁποῖαι εἰσάγονται λόγῳ τῆς μὴ γραμμικότητος τοῦ ενισχυτοῦ εἶναι:

- α) Ἡ ἁρμονικὴ παραμόρφωσις, δηλαδὴ κατὰ τὴν διεγερσιν ἑνὸς ενισχυτοῦ διὰ ἡμιτονικῶν σημάτων ἐμφανίζεται εἰς τὴν ἐξοδὸν καὶ ἄλλα σήματα μὲ συχνότητα πολλα-

πλάσσαν έκείνης του σήματος είσόδου (έμφάνις 2ας, 3ης, 4ης κλπ. έρμονιής).

β). Η ένδοδιαμόρφωσις, δηλαδή ή έμφάνις είς την έξοδον καί συχνότητων  $k_1 \cdot f_1 \pm k_2 \cdot f_2$  ( $k_1, k_2$  άνέραιοι), δταν ό ένισχυτής διέγείρεται έν τών δύο σημάτων  $f_1$  καί  $f_2$ .

Τό ποσοστόν τών ξένων αύτών σημάτων έν σχέσει πρός τό έπιθυμητόν σήμα έκφράζεται υπό του συντελεστού παραμορφώσεως, ό όποτος είς τους ένισχυτάς ύψηλής πιστότητος πρέπει νά είναι μικράς τιμής. Έν τή πράξει πρέπει νά αποφεύγεται ή ύπερφόρτισις τών ένισχυτών, δηλαδή ή έφαρμογή είς την είσοδον του ένισχυτοϋ σημάτων έχόντων ισχύν μεγαλυτέραν έκείνης την όποαν προτείνει ό κατασκευαστής. Η ύπερφόρτισις ενός ένισχυτοϋ όδηγεί είς αύξησιν του συντελεστοϋ παραμορφώσεως.

## 10.2. Οί ένισχυταί είς τά Φ/Σ.

Οί ένισχυταί τών Φ/Σ δύνανται νά διαιρεθοϋν είς δύο κατηγορίας: είς τους ένισχυτάς χαμηλών συχνότητων (Χ.Σ.) καί είς τους ένισχυτάς εύρέως φάσματος.

### 10.2.1. Ένισχυταί χαμηλών συχνότητων (Χ.Σ.).

Οί ένισχυταί οϋτοι τοποθετοϋνται είς την όδον λήψεως έκείνης διοδεύσεως καί έχουν ως προορισμόν την άνύψωσιν τής στάθμης τών σημάτων είς την περιοχήν τών χαμηλών συχνότητων (έως 4 ΚΗz), ώστε νά εξασφαλισθή ικανοποιητική άκουστότης. Ο συντελεστής παραμορφώσεως διά την 2αν έρμονιήν ενός σήματος πρέπει νά είναι μικρότερος του 3%, ένω διά την 3ην έρμονιήν πρέπει νά είναι μικρότερος του 1%. Η ένίσχυσις τών ένισχυτών Χ.Σ. ρυθμίζεται, συνήθως, χειροκινήτως καί ή στάθμη τών σημάτων είς την έξοδον των άνέρχεται, διά τά περισσότερα Φ/Σ, είς την τιμήν τών +8,7 dBr (είς την CCITT ένεκρίθη προσφάτως πρότασις τροποποιήσεως τής έν λόγφ στάθμης είς τά +6 dBr).

### 10.3. Ένισχυταί εύρέως φάσματος.

Οί ένισχυταί οϋτοι πρέπει νά παρέχουν σταθεράν ένίσχυσιν του σήματος είσόδου είς έναν μεγάλην ένταση συν-



χνοτήτων και στάθμης. Είς την τεχνικήν των τηλεπικοινωνιών, οί ένισχυτάς εύρέως φάσματος καλούνται νά ένισχύσουν τό φάσμα πολλαπλού σήματος όπως π.χ. τό φάσμα πρωτομάδος, δευτερομάδος, γραμμής κ.λ.π. ή σήματα υπό μορφήν παλμών όπως π.χ. τά σήματα των συστημάτων PCM (π.χ. τό φάσμα μιξς πρωτομάδος είναι 48 KHz, ένω τό φάσμα γραμμής ένός συστήματος 10800 διοδεύσεων είναι 60 MHz)

Είς τους ένισχυτάς εύρέως φάσματος συναντώνται δύο σκολίαι, άναφερόμεναι κυρίως:

α) Είς τό μέγεθος της ένισχύσεως, δεδομένου ότι ή μεγίστη ένισχυσις του ένισχυτού μειούται αύξανόμενης της συχνότητος.

β) Είς την παραμόρφωσιν πλάτους (βλέπε κεφ. 10.1) ή όποια όφείλεται είς την ύπαρξιν παρασιτικών χωρητικότητων των ένεργών στοιχείων του ένισχυτού και αύξάνεται μετά της συχνότητος.

γ) Είς την μη γραμμικότητα του ένισχυτού (βλέπε Κεφ. 10.1), δεδομένου ότι, λόγω του εύρέως φάσματος, είναι λίαν πιθανόν μία άρμονική χαμηλής συχνότητος, παραγομένη έξ αίτίας μη γραμμικότητος του ένισχυτού, νά έμπίπτη έντός του ώφελίμου φάσματος.

δ) Είς την σταθερότητα της ένισχύσεως, δεδομένου ότι αυτή έξαρτάται, εκ της θερμοκρασίας, της γηράνσεως των ένεργών κυρίως στοιχείων, της αντίστασεως φόρτου κ.λ.π.

ε) Είς τον συντελεστήν θορύβου. Η κατάσχυρή ένισχυ των χαμηλού συντελεστού θορύβου είναι ίδια έρω, άπαράτητος είς τους ένισχυτάς λήψεως, ένθα ή στάθμη του θορύβου είναι συγκρίσιμος ως πρός τό ώφέλιμον σήμα, λόγω της άποσβέσεως, την όποιαν υπέστη αυτό κατά την διάδοσιν του μέσω του φορέως. Επί πλέον δέ ο θόρυβος είναι εύθέως ένέλογος του εύρους φάσματος.

Αί δύο πρώται δυσκολίαι αντιμεταπίζονται διά της βελτιώσεως του αριθμού άξίας του ένισχυτού, δηλαδή του γινομένου  $A_{\max} \Delta f$  ένθα  $A_{\max}$  ή μεγίστη ένισχυσις του ένισχυτού και  $\Delta f$  τό εύρος ήμισείας ισχύος (βλέπε κεφ. 10.1) Αποδεικνύεται όμως ότι είς ένα ένισχυτήν ή  $A_{\max}$  είναι

ανάλογος τῆς ἀντιστάσεως φόρτου  $R_L$  καὶ ἡ  $\Delta f$  ἀντιστρόφως ἀνάλογος ταύτης, δηλαδή:

$$A_{\max} = k_1 \cdot R_L$$

$$\Delta f = k_2 \frac{1}{R_L \cdot C}$$

ἔνθα  $k_1, k_2$  = σταθεραὶ καὶ  $C$  = παρασιτικαὶ χωρητικότητες τῶν ἐνεργῶν στοιχείων.

Ἐκ τῶν σχέσεων τούτων προκύπτει ὅτι εἶναι δυνατόν νὰ αὐξηθῇ τὸ εὖρος ἡμισειᾶς ἰσχύος  $\Delta f$  τοῦ ἐνισχυτοῦ διὰ μειώσεως τῆς  $R_L$ , ἀλλὰ τότε μειοῦται ἡ  $A_{\max}$  καὶ ἀντιστρόφως. Συνεπῶς τὸ γινόμενον  $A_{\max} \cdot \Delta f$  χαρακτηρίζει τὴν χρησιμότητα ἑνὸς ἐνισχυτοῦ εὐρείας ζώνης.

Διὰ τὴν βελτίωσιν τοῦ ἀριθμοῦ ἁξίας τοῦ ἐνισχυτοῦ χρησιμοποιοῦνται ἀντισταθμιστικὰ διευρώματα, ἐκ τῶν ὁποίων τὸ ἀπλοῦστότερον εἶναι ἐν πηγὴν  $L$  παραλληλιζόμενον πρὸς τὰς παρασιτικὰς χωρητικότητας  $C$  ὥστε νὰ δημιουργηθῇ φαινόμενον συντονισμοῦ εἰς τὰς ὑψηλὰς συχνότητας εἰς τὰς ὁποίας ὑποβιβάζεται ἡ ἐνίσχυσις τοῦ ἐνισχυτοῦ. Δηλαδή διὰ τῆς αὐτέπαγωγῆς  $L$  ἀντισταθμίζεται ἡ δράσις τῆς χωρητικότητος  $C$  εἰς τὴν σχέσιν

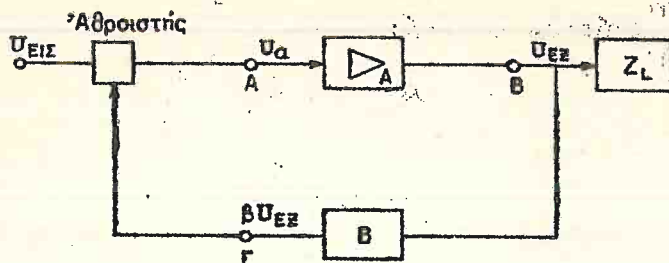
$$\Delta f = k_2 \frac{1}{R_L \cdot C}$$

### 10.3.1. Ἀνάδρασις.

Τὰ ἀναφερθέντα εἰς τὸ Κεφ. 10.3 γ, δ, καὶ ε προβλήματα εἰς τοὺς ἐνισχυτὰς εὐρέως φάσματος ἀντιμετωπίζονται διὰ διευρωμάτων ἀνάδρασεως, τὰ ὁποῖα δὲν μεταβάλλουν τὸν βαθμὸν ἁξίας τοῦ ἐνισχυτοῦ.

Ἀνάδρασις εἶναι τὸ φαινόμενον κατὰ τὸ ὁποῖον μέρος τοῦ σήματος ἐξόδου ἐνισχυτοῦ ἐπιστρέφει εἰς τὴν εἴσοδον αὐτοῦ, ὅποτε ἡ διέγερσις τοῦ ἐνισχυτοῦ εἶναι συνάρτησις τοῦ σήματος τῆς πηγῆς καὶ τοῦ σήματος ἐξόδου.

Εἰς τὸ σχ. 61 δεικνύονται τὰ βασικὰ τμήματα ἑνὸς



Σχ. 61. Σύστημα ανάδρασεως απλού βρόχου

συστήματος ανάδρασεως απλού βρόχου, ήτοι: Πηγή σήματος  $U_{EIΣ}$  - άθροιστής - ενισχυτής (συντελεστού ενισχύσεως  $A$ ) - δίκτυωμα συζεύξεως  $B$  - φορτίον  $Z_L$ .

Εάν  $U_α$  είναι η τάσις εις την είσοδον του ενισχυ-  
του, η τάσις εξόδου  $U_{EΞ}$  θα είναι:  $U_{EΞ} = A \cdot U_α$ , αλλά, η  
 $U_α = U_{EIΣ} + \beta U_{EΞ}$ . (ένθα  $\beta$  τό ποσοστόν της τάσεως εξόδου  
τό όποϊον επιστρέφει εις την είσοδον).

Δι' αντικαταστάσεως προκύπτει:  $U_{EΞ} = A(U_{EIΣ} + \beta U_{EΞ})$   
καί δι' επίλυσεως ως προς  $U_{EΞ}$  λαμβανόμεν:  $U_{EΞ} = \frac{A}{1 - \beta A} U_{EIΣ}$

$$U_{EΞ} = U_{EIΣ} \cdot \frac{A}{1 - \beta A}$$

Εκ της σχέσεως ταύτης προκύπτει ο λόγος μεταφορᾶς του  
ένισχυτου  $\gamma$ .

$$\gamma = \frac{U_{EΞ}}{U_{EIΣ}} = \frac{A}{1 - \beta A}$$

(10.1)

α) Εάν  $|1 - \beta A| > 1$  τότε υφίσταται αρνητική ανάδρα-  
σις, η δέ ενίσχυσις του συστήματος μετ' ανάδρασεως εί-  
ναι μικρότερα εκείνης του ενισχυτου άνευ ανάδρασεως, ή-  
τοι:

$$|\gamma| = \frac{|A|}{|1 - \beta A|} < |A|$$



β) 'Εάν  $|βΑ| \gg 1$  τότε  $1-βΑ \approx βΑ$  και η σχέση (10.1)

γίνεται:

$$\gamma \approx \frac{A}{\beta A} \quad \text{ή} \quad \gamma \approx \frac{1}{\beta}$$

Δηλαδή ο λόγος μεταφοράς του συστήματος μετ' αναδράσεως δεν εξαρτάται έν τοῦ βαθμοῦ ενισχύσεως τοῦ ενισχυτοῦ ἀλλὰ μόνον ἐν τοῦ β, τό ὅποῖον ὁμῶς εἶναι εὐκολώτερον νά τηρηθῇ σταθερόν, ἐπειδή καθορίζεται ἀπό παθητικόν τετραπὸν.

Ἡ ἀρνητικὴ ἀνάδρασις ἐφαρμόζεται εἰς τοὺς ἐνισχυτάς εὐρέως φάσματος λόγῳ τῶν κάτωθι πλεονεκτημάτων:

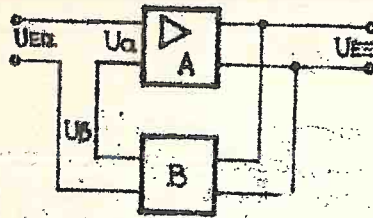
1) Ἡ ἐνίσχυσις τοῦ συστήματος μετ' ἀναδράσεως γ δέν ἐπηρεάζεται αἰσθητῶς ἐν τῶν μεταβολῶν εἰς τὴν ἐνίσχυσιν Α τοῦ ἐνισχυτοῦ. Αἱ ἐν λόγῳ μεταβολαὶ τῆς ἀπολαβῆς Α δυνατόν νά προέλθουν λόγῳ:

- α) γηράνσεως τῶν τρανζίστορ καὶ λοιπῶν εξαρτημάτων.
- β) μεταβολῶν τῆς θερμοκρασίας
- γ) μεταβολῶν τοῦ φορτίου
- δ) μὴ γραμμικότητος
- ε) ἐξαρτήσεως ἐν τῆς συχνότητος.

2) Ἡ ζώνη ἡμισείας ἰσχύος τοῦ συστήματος αὐξάνεται κατὰ τὸν συντελεστὴν ἀναδράσεως  $1-βΑ$ , ἀλλὰ κατ' αὐτὸν τὸν συντελεστὴν μειοῦται ἡ μεγίστη ἀπολαβὴ τοῦ συστήματος, διατηρουμένου οὕτω σταθεροῦ τοῦ ἀριθμοῦ ἀξέλας.

3) Μειοῦνται κατὰ τὸν συντελεστὴν ἀναδράσεως διαφοροὶ παρασιτικαὶ κυμάνσεις (θόρυβος προερχόμενος ἐν τοῦ ἐνισχυτοῦ, θόρυβος ἐν κυματώσεως τοῦ τροφοδοτικοῦ, ἀρμονικαὶ προερχόμεναι ἐν τοῦ ἐνισχυτοῦ λόγῳ μὴ γραμμικότητος κ.λ.π.)

Εἰς τὰ σχ. 62, 63, 64 καὶ 65 ἀπεικονίζονται αἱ 4 δυνατόαι μορφαὶ συστημάτων ἀναδράσεως, ὡς καὶ αἱ διέπουσαι ταῦτα σχέσεις.



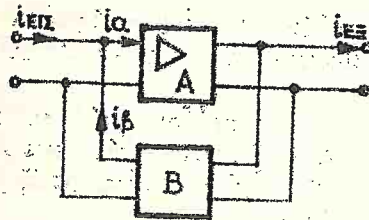
Συνδέσεις εισόδου: εν σειρά  
Συνδέσεις εξόδου: εν παραλληλία

$$U_A = U_{EE} + U_B, \quad U_B = \beta \cdot U_{EE}$$

$$A_U = \frac{U_{EE}}{U_A}, \quad \beta_U = \frac{U_B}{U_{EE}}$$

$$\gamma_U = \frac{U_{EE}}{U_{EE}}$$

Σχ. 62



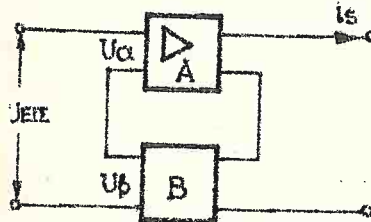
Συνδέσεις εισόδου: εν παραλληλία  
Συνδέσεις εξόδου: εν σειρά

$$I_A = I_{EE} + I_B, \quad I_B = \beta \cdot I_{EE}$$

$$A_I = \frac{I_{EE}}{I_A}, \quad \beta_I = \frac{I_B}{I_{EE}}$$

$$\gamma_I = \frac{I_{EE}}{I_{EE}}$$

Σχ. 63



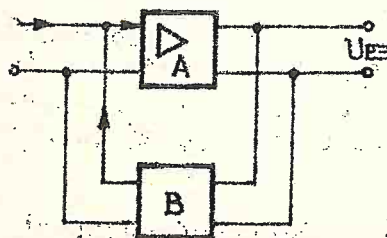
Συνδέσεις εισόδου: εν σειρά  
Συνδέσεις εξόδου: εν σειρά

$$U_A = U_{EE} + U_B, \quad U_B = \beta \cdot U_{EE}$$

$$A_g = \frac{U_{EE}}{U_A}, \quad \beta_g = \frac{U_B}{U_{EE}}$$

$$\gamma_g = \frac{U_{EE}}{U_{EE}}$$

Σχ. 64



Συνδέσεις εισόδου: εν παραλληλία  
Συνδέσεις εξόδου: εν παραλληλία

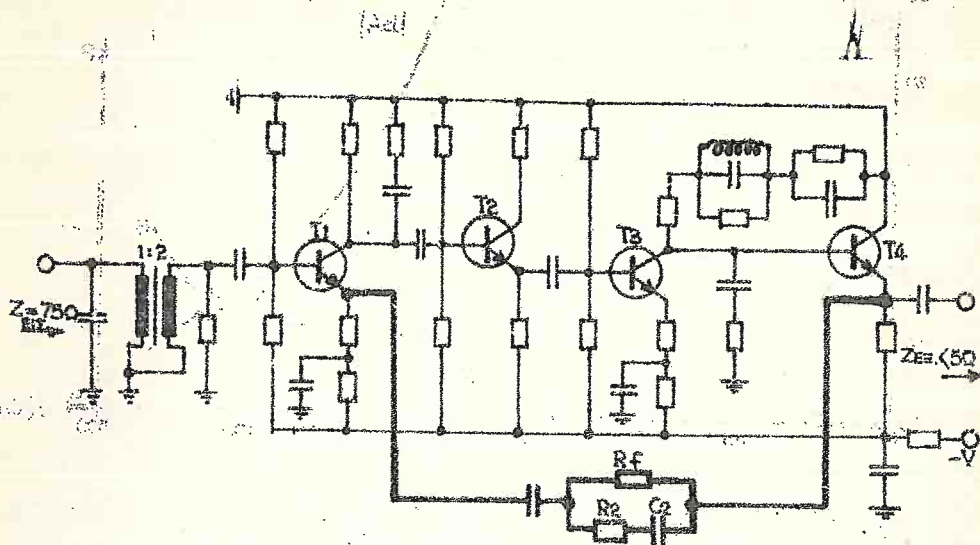
$$I_A = I_{EE} + I_B, \quad I_B = \beta \cdot I_{EE}$$

$$\alpha_z = \frac{I_{EE}}{I_A}, \quad \beta_g = \frac{I_B}{I_{EE}}$$

$$\gamma_z = \frac{I_{EE}}{I_{EE}}$$

Σχ. 65

Είς τό σχ. 66 απεικονίζεται τό κύκλωμα ενός ενισχυ-  
τοῦ εὐρέως φάσματος (12,5 MHz) διά τήν ἐνίσχυσιν τῆς ζώ-  
νης 312-12388 MHz εἰς τήν ἔξοδον τοῦ διαμορφωτοῦ ἐνός  
συστήματος 2700 διοδεύσεων.



Σχ. 66. Ἐνισχυτής εὐρέως φάσματος

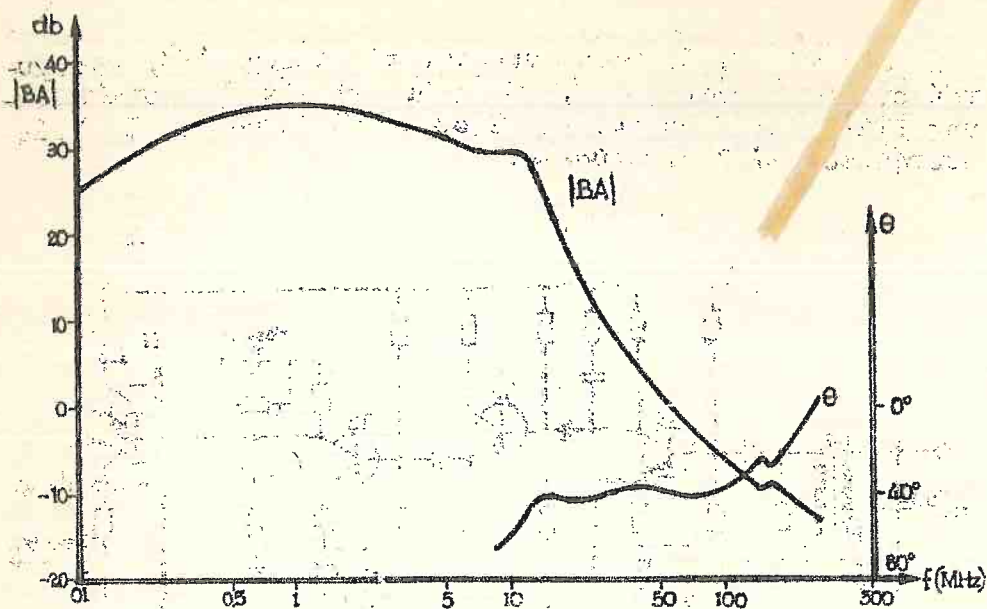
Εἰς τόν ενισχυτήν τοῦτον ἐφαρμόζεται ἀρνητική ἀνα-  
δρασίς ἐν παραλλήλῳ μέσω τοῦ δικτυώματος  $R_F$ ,  $R_2$ ,  $C_2$ .

Εἰς τὰ σχ. 67 καί 68 παρίστανται αἱ καμπύλαι ἀπο-  
κρίσεως τοῦ ενισχυτοῦ κατὰ μέγεθος καί φάσιν. Αἱ καμπύ-  
λαι τοῦ σχ. 67 ἀναφέρονται εἰς τό γινόμενον  $BA$ , τό ὁποῖ-  
ον καλεῖται λόγος μεταφοῶς τοῦ βρόχου καί παρέχουν οὐ-  
σιαστικῶς τήν ἀπόκρισιν τοῦ ενισχυτοῦ ἄνευ ἀναδράσεως.  
Αἱ καμπύλαι τοῦ σχ. 68 δίδουν τήν ἀπόκρισιν τοῦ ενισχυ-  
τοῦ μετ' ἀναδράσεως. Ἐν τῆς συγκρίσεως τῶν καμπυλῶν τοῦ-  
των ἐμφαίνεται ἡ βελτίωσις ἥτις ἐπιτυγχάνεται εἰς  
τήν ἀπόκρισιν τοῦ ενισχυτοῦ (κατὰ μέγεθος καί φάσιν) λό-  
γω ἐφαρμογῆς τῆς ἀρνητικῆς ἀναδράσεως.

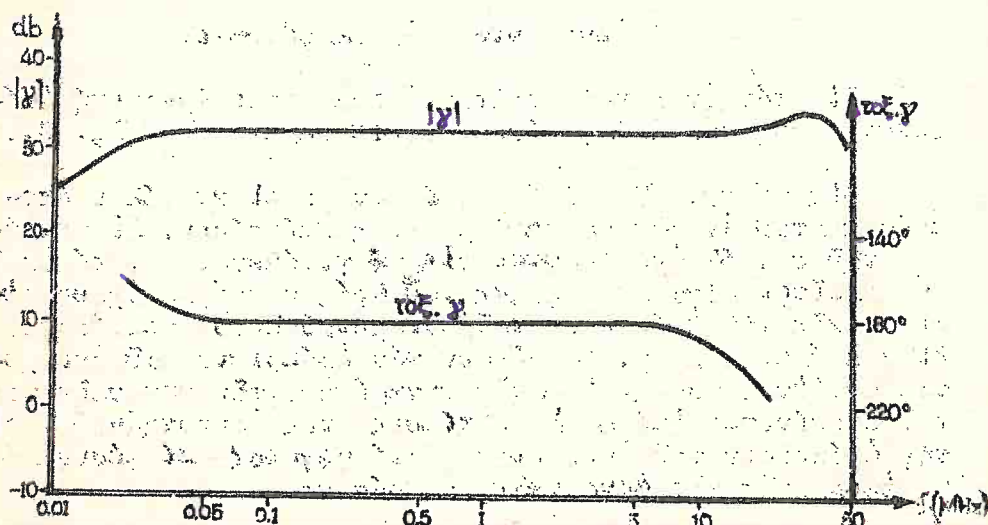
### 10.3.2. Ἐνισχυταί γραμμῆς

Μεταξύ τῶν ενισχυτῶν εὐρέως φάσματος, ἰδιαιτέραν  
σπουδαιότητα ἔχουν οἱ ενισχυταί γραμμῆς, οἱ ὁποῖοι δι-  
αιροῦνται περαιτέρω, εἰς τοὺς ενισχυτάς ἐπιτομῆς καί





Σχ. 67. Καμπύλαι αποκρίσεως ενισχυτοῦ εὐρέως φάσματος κατὰ μέγεθος καὶ φάσιν ἄνευ ἀναδράσεως

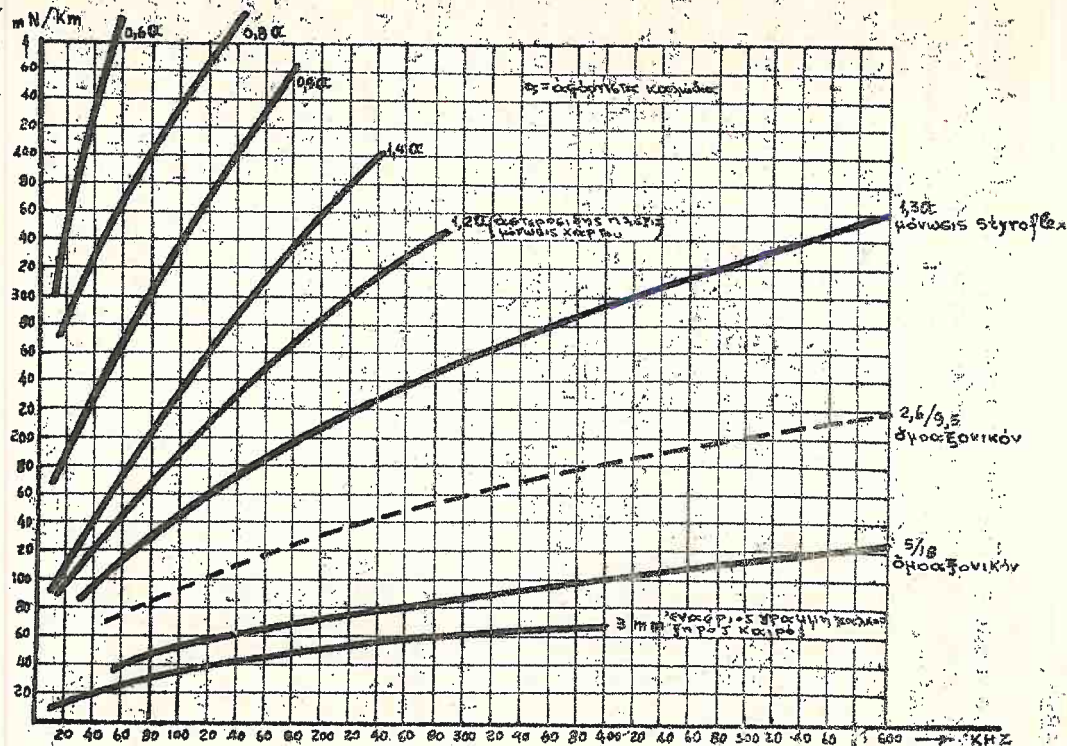


Σχ. 68. Καμπύλαι αποκρίσεως ενισχυτοῦ εὐρέως φάσματος κατὰ μέγεθος καὶ φάσιν μετ' ἀναδράσεως

είς τούς ένισχυτάς λήφews. Οι ένισχυτάς έκπομπής έχουν ως προορισμόν τήν όμοιόμορφον ένίσχυσιν τών σημάτων όλων τών διοδεύσεων τοῦ Φ/Σ, ώστε ταῦτα νά εμφανισθοῦν εἰς τήν εἴσοδον τῆς γραμμῆς μεταδόσεως μέ τήν αὐτήν στάθμην (π.χ. διά τά Φ/Σ ἐπὶ έναέρων γραμμῶν ἢ στάθμη τών σημάτων εἰς τήν έξοδον τοῦ ένισχυτοῦ έκπομπής εἶναι +17,4 dBr).

Προορισμός τών ένισχυτῶν λήφews εἶναι ἡ ένίσχυσις τών σημάτων όλων τών διοδεύσεων τοῦ Φ/Σ, τά όποῖα ὑπέστησαν ἀπόβρeσιν κατὰ τήν διέλευσίν των μέσω τῆς γραμμῆς μεταδόσεως. Ἐπειδή όμως ἡ ἀπόβρeσις τών γραμμῶν μεταδόσεως δέν εἶναι ἡ αὐτή διά τά σήματα τών διαφορών συχνοτήτων, ὥς δεινύεται εἰς τό σχ. 69, διά τοῦτο πρέπει καί ὁ ένισχυτής λήφews νά προκαλῇ ἀνάλογον ένίσχυσιν, ώστε εἰς τήν έξοδόν του τά σήματα όλων τών διοδεύσεων νά έχουν τήν αὐτήν στάθμην. Συγκεκριμένως, ὁ ένισχυτής λήφews πρέπει νά ένισχύη περισσότερον τά σήματα τών ὑψηλῶν συχνοτήτων ἀπό ὅτι τά σήματα τών χαμηλῶν. Ἡ τοιαύτη δράσις τών ένισχυτῶν λήφews καλεῖται ἐξίσωσις ἢ ἀπο-παραμόρφωσις ἀποβέσεως τῆς γραμμῆς μεταδόσεως καί ἐπι-τυγχάνεται βασικῶς μέσω διευτυωμάτων ἐξισωτῶν (ἴδε κεφ. 8.4), τά όποῖα περιέχει ὁ ένισχυτής λήφews. Οι ένισχυτάς λήφews πρέπει νά ἀντιμετωπίσουν καί τό ἐξῆς πρόβλημα: Ἡ ἀπόβρeσις τών γραμμῶν μεταδόσεως ἐξαρτάται καί ἀπό τὰς καιρικῆς συνθήκας, αἵτινες ἐπικρατοῦν κατὰ μήκος αὐτῶν. Π.χ. εἰς μέγ. έναέριον γραμμήν, ἡ όποῖα ἔχει καλυφθῇ ὑπό πάγου, ἡ ἀπόβρeσις αὐξάνει εἰς μεγαλύτερον βαθμόν εἰς τὰς ὑψηλὰς συχνότητας ἀπό ὅτι εἰς τὰς χαμηλὰς. Οι συνδρομηταί, όμως, ἐπινοινωνοῦντες π.χ. μέσω τηλεφωνικοῦ Φ/Σ, πρέπει νά ἀκούουν μέ τήν αὐτήν ἔντασιν, ἀνεξαρτήτως τών καιρικῶν μεταβολῶν. Προκύπτει, λοιπόν, ἐξ αὐτοῦ ἡ ἀνάγκη τῆς μεταβλητῆς ένισχύσεως καί τῆς μεταβλητῆς ἐξισώσεως τών ένισχυτῶν λήφews. Εἰς τά περισσότερα τών Φ/Σ αἱ δύο ἀνωτέρω μεταβληταί δράσεις τών ένισχυτῶν λήφews προκαλοῦνται αὐτομάτως, μέσω εἰδικῶν συχνοτήτων, τῶν ὁδηγῶν συχνοτήτων, αἱ όποῖαι ἐκπρίπονται ὁμοῦ μετά τῆς μεταβιβαζομένης ζώνης συχνοτήτων τών διοδεύσεων.

Εἰς τό σχ. 70 παρίσταται τό σχηματικόν διάγραμμα αὐτομάτου ρυθμίσεως στάθμης διά Φ/Σ 12 διοδεύσεων ἐπὶ έναέρων γραμμῶν. Ἐξ ἐκαστοῦ σταθμοῦ (π.χ. ἐκ τοῦ Α) ἐκπέμπονται ὑπό σταθεράν στάθμην πρὸς τόν ἕτερον αἱ δύο ὁδηγοί συχνοτήτες: Ἡ ὁδηγός F (Flat) διά τήν ρύθμισιν τῆς

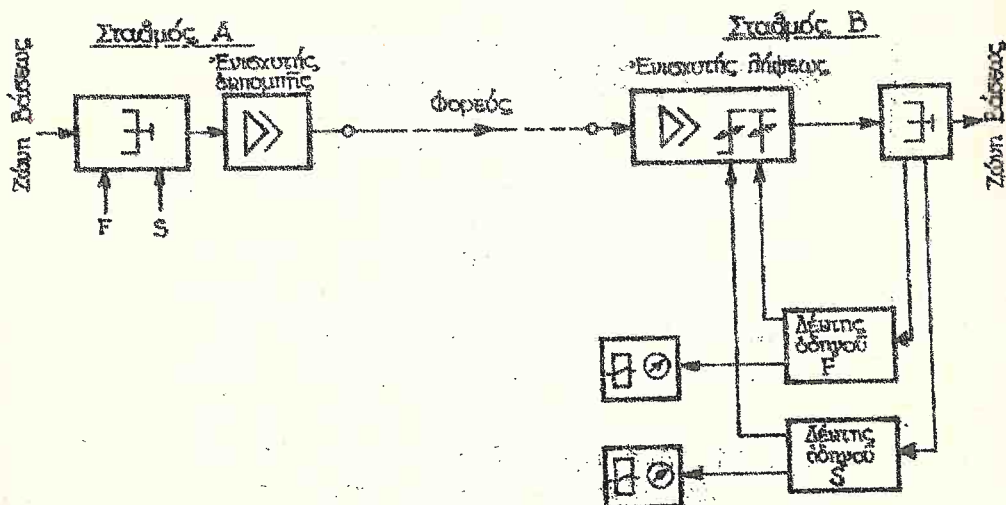


Σχ. 69. Η ανά km απόσβεσις διαφόρων γραμμών συναρτήσει της συχνότητας.



ἀπολαβῆς καὶ ἡ ὁδηγός S (Slope) διὰ τὴν ρύθμισιν τῆς ἐξισώσεως. Εἰς τὸν σταθμὸν Β, αἱ δύο ὁδηγοὶ ἐκ τῆς ἐξόδου τοῦ ἐνισχυτοῦ λήφειας εἰσάγονται εἰς τοὺς ἀντιστοίχους δέκτας ὁδηγῶν, ὅπου ἡ στάθμη των ὑφίσταται σύγκρισιν πρὸς τοπικὸν πρότυπον, ἀναλόγως δὲ πρὸς τὴν διαφορὰν τοῦτων προκύπτει ἔξοδος συνεχοῦς τάσεως.

Ἡ ἔξοδος συνεχοῦς τάσεως ἐκ τοῦ δέκτου F ἐπηρεάζει καταλλήλως τὸν ἐνισχυτὴν λήφειας καὶ ρυθμίζει αὐτομάτως μεταβλητὸν στοιχεῖον ἀποσβέσεως, ἐνῶ ἡ ἔξοδος ἐκ τοῦ δέκτου S ρυθμίζει αὐτομάτως μεταβλητὸν στοιχεῖον ἐξισώσεως, μέχρις ἐξισώσεως τῆς στάθμης τῆς λαμβανομένου ὁδηγοῦ καὶ τοῦ τοπικοῦ προτύπου. Ἐπίσης ἑτέρα ἔξοδος ἐξ ἐκείνου δέκτου, ὁδηγεῖται εἰς ὄργανον ἐνδείξεως τῆς στάθμης καὶ εἰς διάταξιν σηματοδοτήσεως.

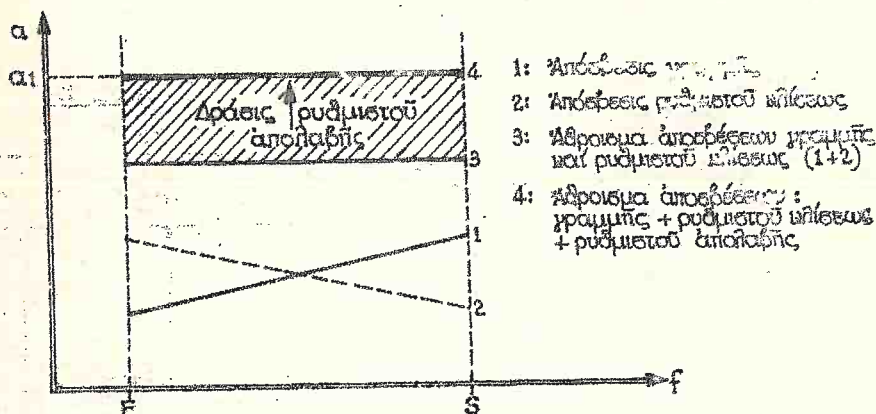


Σχ. 70. Σχηματικὸν διάγραμμα συστήματος αὐταμέτου ρυθμίσεως στάθμης

Ἐπειδὴ ὅμως αἱ δύο ὁδηγοὶ κατὰ τὴν μετάδοσιν των διὰ τοῦ φορέως ὑπέστησαν ὁμοίαν ἀπώσιν ὥς καὶ τὸ φάσμα τῶν συχνοτήτων ὁμιλίας, ἡ δράσις των ἐπὶ τῶν ρυθμιζομένων στοιχείων τοῦ ἐνισχυτοῦ λήφειας θὰ εἶναι τοιαύτη ὥστε ἡ στάθμη τῶν σημάτων ὁμιλίας εἰς τὴν ἔξοδον τοῦτου γὰρ διατηρῆται σταθερά. Τοῦτο σημαίνει ὅτι, ἀνὰ πᾶσαν χρονικὴν στιγμήν, τὸ ἔθροισμα τῶν ἀποσβέσεων τῆς γραμμῆς

καὶ τῶν μεταβλητῶν στοιχείων ἀποσβέσεως καὶ ἐξισώσεως πρέπει νὰ εἶναι σταθερόν (π.χ. ἴσον πρὸς  $a_1 < 1$ ). Ὅταν ἐπιτευχθῇ τοῦτο, ἡ στάθμη τῶν συχνοτήτων διηλεκτρικῆς εἰς τὴν ἔξοδον τοῦ ἐνισχυτοῦ λήψεως θὰ εἶναι σταθερά, δεδομένου ὅτι ὁ βαθμὸς ἐνισχύσεως τοῦτου εἶναι σταθερός.

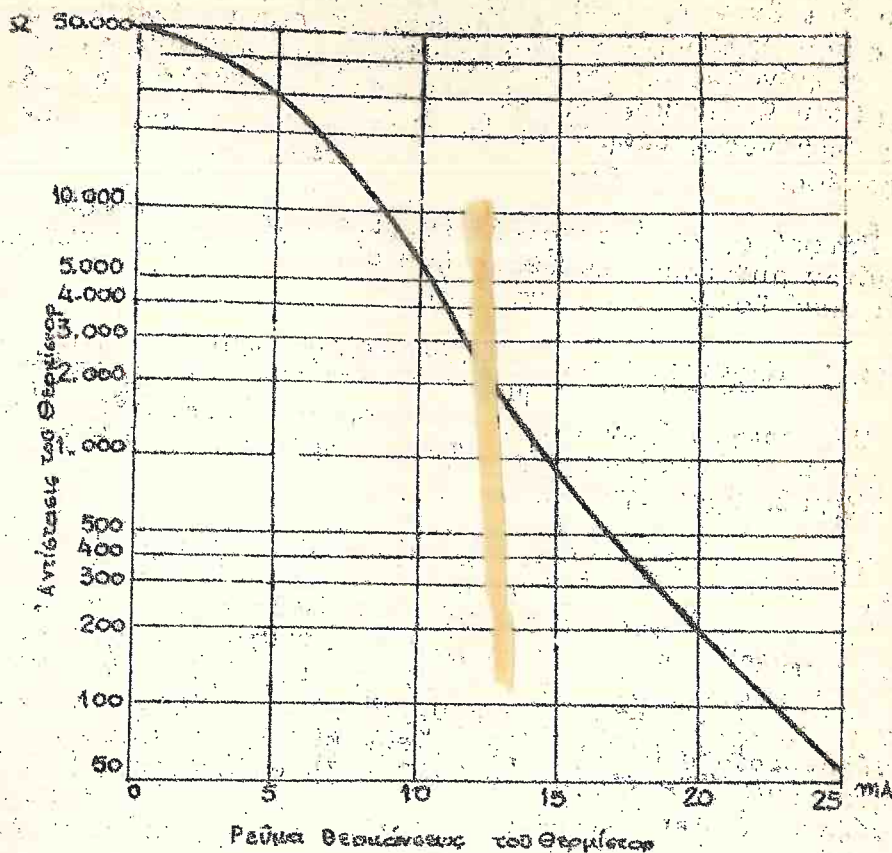
Εἰς τὸ σχ. 71 φαίνεται ἡ δρᾶσις τοῦ συστήματος αὐτομάτου ρυθμίσεως στάθμης. Ἐστω ὅτι ἡ ἀπόσβεσις τῆς γραμμῆς παρίσταται ὑπὸ τῆς εὐθείας 1. Ἡ ὁδηγὸς S ἐπεμβαίνει ἐπὶ τοῦ ἐξισωτοῦ κατὰ τρόπον ὥστε ἡ ἀπόσβεσις τοῦ νὰ δίδεται ὑπὸ τῆς εὐθείας 2. Οὕτως, τὸ ἄθροισμα τῶν ἀποσβέσεων γραμμῆς καὶ ἐξισωτοῦ (1+2) δίδεται ὑπὸ τῆς 3, ἡ ὁποία εἶναι, παράλληλος πρὸς τὸν ἄξονα τῶν συχνοτήτων. Ἐν



Σχ. 71. Διὰ τὴν δρᾶσιν τοῦ συστήματος αὐτομάτου ρυθμίσεως στάθμης.

συνεχεῖα, ἡ ὁδηγὸς F ἐπεμβαίνει ἐπὶ τοῦ μεταβλητοῦ στοιχείου ἀποσβέσεως, τοῦ ὁποίου ἡ ἀπόσβεσις λαμβάνει τὴν αὐτὴν τιμὴν ὥστε ἡ 3 νὰ μετατοπισθῇ εἰς τὴν θέσιν 4. Κατ' αὐτὸν τὸν τρόπον τὸ ἄθροισμα τῶν ἀποσβέσεων τῆς γραμμῆς, τοῦ στοιχείου ἀποσβέσεως καὶ τοῦ στοιχείου ἐξισώσεως κατέστη ἴσον πρὸς  $a_1$ .

Τὸ ρυθμιζόμενον τμήμα εἰς τὰ στοιχεῖα ἀποσβέσεως καὶ κλίσεως εἶναι, ἀναλόγως τοῦ κατασκευαστοῦ, εἴτε μεταβλητὴ ἀντίστασις, τῆς ὁποίας ὁ δρομεὺς κινεῖται ὑπὸ κινητήρος, εἴτε θερμίστορ ἐμμέσου, συνήθως, θερμάνσεως.



Σχ. 72. Μεταβολή της αντίστασης ενός θερμίστορ συναρτήσει του ρεύματος θερμάνσεως

Η αντίσταση, ενός θερμίστορ μεταβάλλεται σημαντικώς συναρτήσει της θερμοκρασίας του περιβάλλοντος. Εάν, λοιπόν, μεταβληθῇ ὁ ρεύμα θερμάνσεως τοῦ θερμίστορ, θὰ μεταβληθῇ ἡ θερμοκρασία τοῦ περιβάλλοντος καὶ συνεπῶς θὰ μεταβληθῇ καὶ ἡ αντίστασις τοῦ θερμίστορ. Τὰ θερμίστορ χαρακτηρίζονται ἀπὸ τὸν συντελεστὴν θερμοκρασίας, ὁ ὁποῖος δυνατόν νὰ εἶναι θετικὸς (αὐξήσει τῆς θερμοκρασίας συνεπάγεται αὐξήσει τῆς ἀντιστάσεως) ἢ ἀρνητικὸς (αὐξήσει θερμοκρασίας = μείωσις ἀντιστάσεως). Εἰς τὸ σχ. 72 δεικνύεται ἡ καμπύλη μεταβολῆς τῆς ἀντιστάσεως ἐνός θερμίστορ ἀρνητικοῦ συντελεστοῦ θερμοκρασίας, συναρτήσει



τοῦ ρεύματος θερμάνσεως. Εἰς τὴν καμπύλην ταύτην παρατηρεῖται ὅτι, ὅταν τὸ ρεῦμα θερμάνσεως εἶναι  $0\text{mA}$ , ἡ ἀντίστασις τοῦ θερμίστορ ἀνέρχεται εἰς  $50.000\ \Omega$ , ἐνῶ διὰ ρεῦμα θερμάνσεως  $25\text{mA}$ , ἡ ἀντίστασις κατέρχεται εἰς τὰ  $60\text{ περίπου}\ \Omega$ . Πρακτικῶς, εἰς τὰ  $\Phi/\Sigma$  ἡ μεταβολὴ τοῦ ρεύματος θερμάνσεως ἐξαρτᾶται ἐκ τῶν μεταβολῶν ἀποσβύσεως τοῦ φορέως.

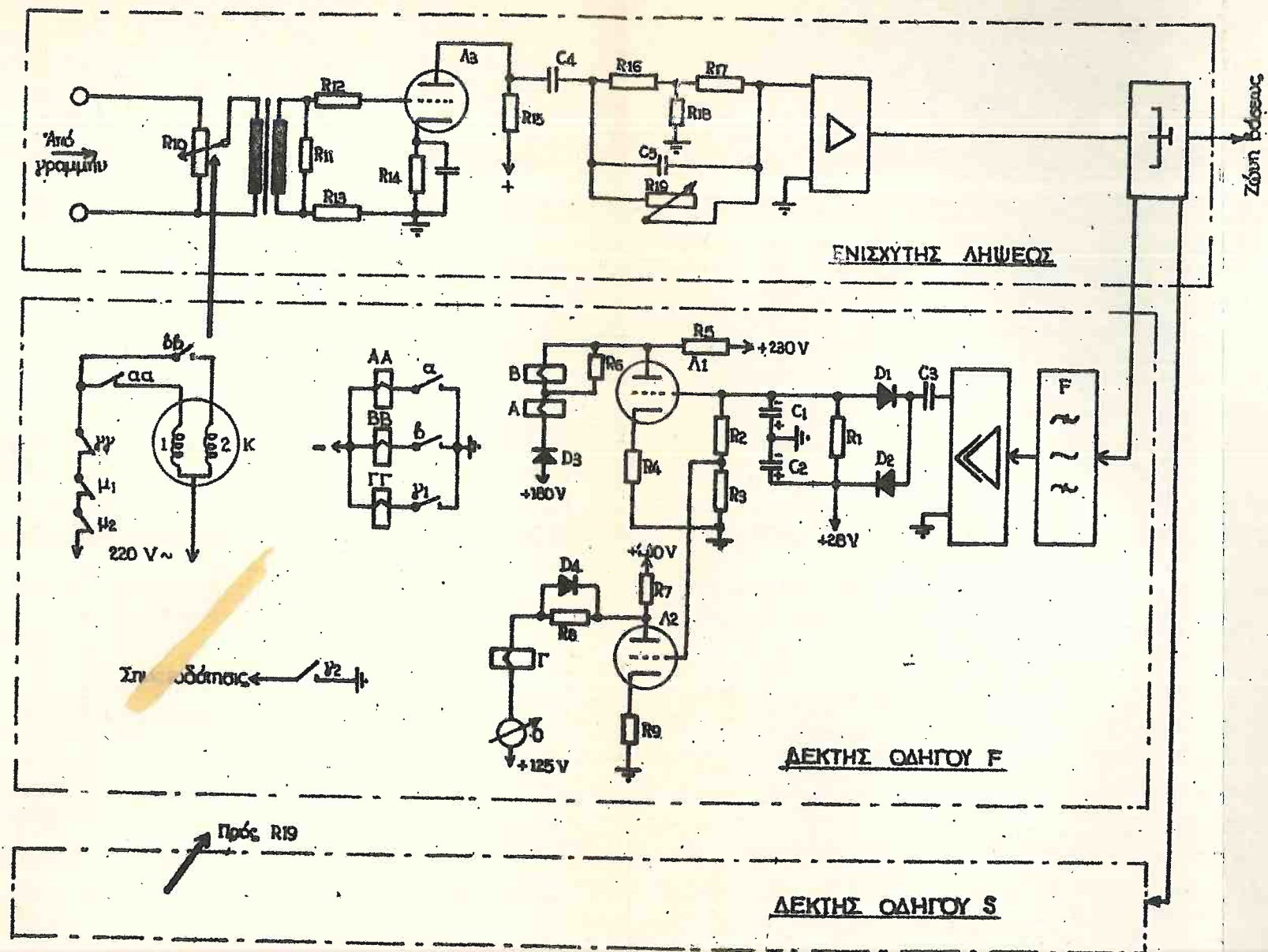
Κατωτέρω, θὰ ἐξετασθοῦν ἐνδεικτικῶς δύο συστήματα αὐτομάτου ρυθμίσεως στάθμης, ἐνῶ εἰς τὸ II μέρος ἀναφέρονται καὶ ἕτερα.

#### 10.3.2.1. Μηχανικὸν σύστημα αὐτομάτου ρυθμίσεως στάθμης.

Τὸ περιγραφόμενον κατωτέρω σύστημα ὑφίσταται εἰς συστήματα παλαιότερας τεχνικῆς, δεδομένου ὅτι ἡ τεχνικὴ τῶν λυχνιῶν ἔχει ἐγκάταλι.

Ὅπως φαίνεται εἰς τὸ σχ. 73, ἐκκιστὴ ὁδηγὸς (π.χ. ἡ F) ἐπιλέγεται, μέσω φίλτρου καὶ ὁδηγεῖται ἐκ τῆς ἐξόδου τοῦ ἐνισχυτοῦ λήψεως εἰς διβάθμιον ἐνισχυτήν. Εἰς τὴν ἕξοδον τοῦ ἐνισχυτοῦ τούτου εὑρίσκεται δικτύωσις ἀνορθώσεως - διπλασιασμοῦ τάσεως ( $D_1, D_2, C_1, C_2$ ). Κατὰ τὴν μίαν ἡμιπερίοδον τῆς ὁδηγοῦ, ὅταν εἶναι ἀγωγίμος ἡ  $D_1$  φορτίζεται ὁ  $C_1$  μέτῃν εἰς τὸ σχ. 73 δεικνυομένην πολικότητα, ἐνῶ κατὰ τὴν ἑλλήν ἡμιπερίοδον (ἀγωγίμος ἡ  $D_2$ ) φορτίζεται ὁ  $C_2$ . Ἡ τάσις αὕτη ἐφαρμόζεται εἰς τὸ ὁδηγὸν πλέγμα τῆς  $A_1$ , ἐνθα ἐφαρμόζεται ἐπίσης καὶ ἡ σταθερὰ τάσις  $+28\text{V}$ , παρεχομένη ἀπὸ εἰδικὸν σταθεροποιητήν τάσεως. Ἐπομένως, ἡ τάσις πλέγματος τῆς  $A_1$  καὶ κατὰ συνέπειαν καὶ τὸ ἀνοδικὸν τῆς ρεῦμα θὰ ἐξαρτῶνται ἐκ τῆς διαφορᾶς τῶν δύο τούτων τάσεων. Ἀλλ' ἐπειδὴ ἡ τάσις  $+28\text{V}$  εἶναι σταθερὰ, συμπεραίνεται, ὅτι τὸ ἀνοδικὸν ρεῦμα τῆς  $A_1$  θὰ μεταβάλλεται συναρτήσει τῶν μεταβολῶν τῆς ὁδηγοῦ συχνότητος. Εἰ διαισώτερον, ἐάν ἡ στάθμη τῆς ὁδηγοῦ εἶναι μικροτέρα τῆς κανονικῆς τὸ ἀνοδικὸν ρεῦμα τῆς  $A_1$  αὐξάνη, ἐνῶ μειοῦται, ὅταν ἡ στάθμη τῆς ὁδηγοῦ εἶναι μεγαλύτερα.

Ὅταν ἡ στάθμη τῆς ὁδηγοῦ ἔχει τὴν ὀνομαστικὴν τῆς τιμὴν, ἡ τάσις εἰς τὴν ἀνοδον τῆς  $A_1$  εἶναι τοιαύτη ὥστε ἡ  $D_3$  νὰ εἶναι ἀγωγίμος. Οὕτως, διεγείρεται ὁ ρωστήρ A, ἐνῶ ὁ B, λόγῳ τῆς ἐν παραλλήλῳ ἀντιστάσεως  $R_6$ , εὑρίσκειται εἰς ἡρεμίαν. Μέσω τῆς ἐπαφῆς α διεγείρεται ὁ AA, τοῦ



Σχ. 73 Μηχανισμός αυτόματου πυρηνικού σφάλματος



όπου η επαφή α διακρίνεται το κύκλωμα τροφοδοτήσεως του τυλιγματος 1 του κινητήρος Κ. Ούτω και ο κινητήρ Κ παραμένει εις ήρεμίαν.

Όταν μειωθή η στάθμη της όδηγοῦ, αυξάνει το άνοδόν ρεύμα της Α, και επομένως μειούται η τάσις εις την άνοδόν της. Διά της D<sub>3</sub> διέρχεται μεγαλύτερον ρεύμα, διεγείρομένου, ούτως, και του Β. Ο Β, διά της β, διεγείρει τον ΒΒ, του όπου η επαφή ΒΒ τροφοδοτεί το τυλιγμα 2 του κινητήρος Κ, όστις στρέφεται προς την μίαν κατεύθυνσιν.

Όταν αύξηθῇ η στάθμη της όδηγοῦ, μειούται το άνοδόν ρεύμα της Α, και επομένως αυξάνεται η τάσις εις την άνοδόν της. Το ρεύμα διά της D<sub>3</sub> μειούται και ο άνω ρωστήρ Α αποδιεγείρεται. Μέσω της α αποδιεγείρεται ο ΑΑ και τροφοδοτείται το τυλιγμα 1 του Κ, όστις στρέφεται προς την έτεραν κατεύθυνσιν.

Ο κινητήρ του δέκτου Ε μεταβάλλει την θέσιν του άνω άκρος της μεταβλητής αντίστασεως R<sub>10</sub>, ενώ ο κινητήρ του δέκτου Σ μεταβάλλει την θέσιν του άνω άκρος της R<sub>19</sub>, η όποις αποτελεί τμήμα του έξω σκευόυ R<sub>16</sub>, R<sub>17</sub>, R<sub>18</sub>, R<sub>15</sub>.

Όταν ο άνω άκρος φθάσῃ εις το πέρας της διαδρομής του, αναστείλει μία ἐν τῶν μηχανικῶν ἐπαφῶν μ<sub>1</sub>, μ<sub>2</sub> και διακρίνεται η τροφοδοτήσις του κινητήρος.

Το κύκλωμα της λυχνίας Α<sub>2</sub> χρησιμεύει διά σηματοδότησιν και ένδειξιν της στάθμης της όδηγοῦ (μέσω του όργάνου Ο).

Όταν η στάθμη της όδηγοῦ μεταβληθῇ απότομως κατά  $\pm a$  dB (π.χ. κατά  $\pm 2$  dB ή κατά  $\pm 8,7$  dB), τότε διεγείρεται ο άνω ρωστήρ Γ, του όπου η επαφή γ<sub>1</sub> διεγείρει τον ΓΓ. Ούτως, μέσω της γγ διακρίνεται η τροφοδοτήσις του κινητήρος. Ταυτοχρόνως, διά της γ<sub>2</sub>, παρέχεται σηματοδότησις διά να ειδοποιηθῇ το προσωπικόν συντηρήσεως.

Ο άνω ρωστήρ Γ διεγείρεται ως εξής: Όταν η στάθμη της όδηγοῦ δέν έχει υπεربῇ τά  $+a$  dB, το ρεύμα, το όποιον κυκλοφορεῖ δέν εἶναι ικανόν να διεγείρῃ τον Γ. Όταν η στάθμη της όδηγοῦ υπεربῇ τά  $+a$  dB, τότε αυξάνεται η τάσις εις την άνοδόν της Α<sub>2</sub> και το ρεύμα το όποιον κυκλοφορεῖ



διὰ τῆς  $R_3$  (ἡ  $D_4$  δὲν εἶναι ἀγώγιμος), διεγείρει τὸν  $\Gamma$ . Ὅταν ἡ στάθμη τῆς ὀδηγοῦ κατέλθῃ κάτω τῶν  $-a$  dB, τότε μειοῦται ἡ τάσις εἰς τὴν ἄνοδον τῆς  $\Lambda_2$  καὶ ἡ  $D_4$  καθίσταται ἀγώγιμος. Τὸ διὰ τῆς  $D_4$  ρεῦμα (ἀντίθετον τῆς προηγουμένης περιπτώσεως) διεγείρει ἐν νέου τὸν ρωστήρα  $\Gamma$ .

### 10.3.2.2. Σύστημα αὐτομάτου ρυθμίσεως στάθμης διὰ θερμίστορ.

Εἰς τὸ σχ. 74 δὲν ἀναφέρεται, διὰ λόγους ἀπλουστεύσεως, ἡ διάταξις σηματοδότησεως καὶ ἐνδεξέως τῆς στάθμης τῆς ὀδηγοῦ. Ὅπως φαίνεται εἰς τὸ σχῆμα τοῦτο, ἐκδοτὴ ὀδηγός, π.χ. ἡ  $S$  ἐπιλέγεται ὑπὸ φίλτρου ζώνης, ἐνισχύεται καὶ ἀνορθοῦται ὑπὸ τῶν  $D_1, D_2$ . Ἡ τάσις εἰς τὴν βάσιν τοῦ  $T_2$  ἰσοῦται πρὸς τὴν διαφορὰν τῆς ἀνορθωμένης τάσεως τῆς ὀδηγοῦ καὶ τῆς σταθερᾶς τάσεως  $-V_Z$ . Ἐπομένως, τὸ ρεῦμα συλλέκτου τοῦ  $T_2$ , τὸ ὁποῖον κυκλοφορεῖ διὰ τοῦ νήματος θερμάνσεως τοῦ θερμίστορ, ἐξαρτᾶται ἀπὸ τὰς μεταβολὰς στάθμης τῆς ὀδηγοῦ. Ἡ ἐνίσχυσις τοῦ  $T_1$  ἐξαρτᾶται ἀπὸ τὰς τιμὰς τῶν ἐν παραλλήλῳ ἀντιστάσεων  $R_3, Z$  (τοῦ πυκνωτοῦ  $\Theta_1$  καὶ τοῦ ἐξισωτοῦ) καὶ τοῦ θερμίστορ  $\Theta_2$ . Ἐκ τούτων ἡ  $Z$  ἐξαρτᾶται ἐκ τῆς συχνότητος, ἐνῷ ἡ  $\Theta_2$  ἐξαρτᾶται ἐκ τῆς στάθμης τῆς ὀδηγοῦ  $S$ . Κατόπιν αὐτῶν συμπεραίνεται ὅτι:

α) Ἡ ἐνίσχυσις τοῦ  $T_1$  εἶναι διάφορος εἰς τὰς διαφοροὺς συχνότητας

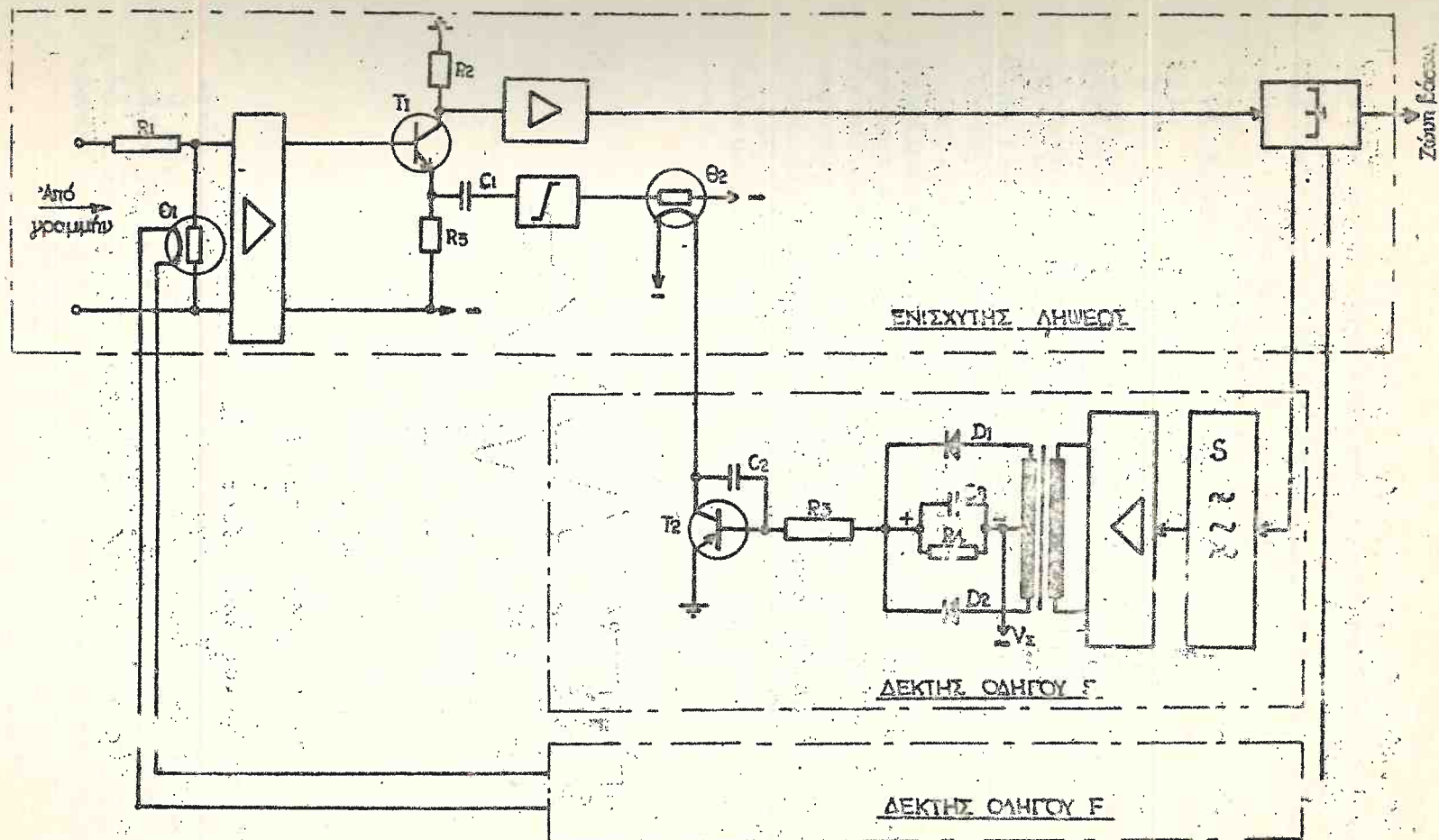
β) Ἡ ἐνίσχυσις τοῦ  $T_1$  ἐξαρτᾶται ἐκ τῆς στάθμης τῆς ὀδηγοῦ  $S$ .

Τὸ ρεῦμα συλλέκτου τοῦ  $T_2$  εἰς τὸν δέκτην τῆς ὀδηγοῦ  $\Gamma$ , διέρχεται διὰ τοῦ νήματος θερμάνσεως τοῦ θερμίστορ  $\Theta_1$ , τὸ ὁποῖον μετὰ τῆς  $R_1$  σχηματίζει διαιρέτην τάσεως εἰς τὴν εἰσοδὸν τοῦ ἐνισχυτοῦ λήψεως.

## 11. ΠΑΡΑΓΩΓΗ ΦΕΡΟΥΣΩΝ ΣΥΧΝΟΤΗΤΩΝ.

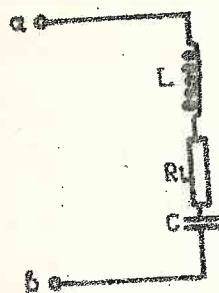
### 11. 1. Βασικὴ γεννήτρια.

\*Ὡς ἀνεπτύχθη εἰς τὸ Κεφ. 6, ἡ λειτουργία τῆς διαμορφώσεως - ἀποδιαμορφώσεως ἐπιτυγχάνεται μέσω τῶν φερουσῶν συχνότητων.



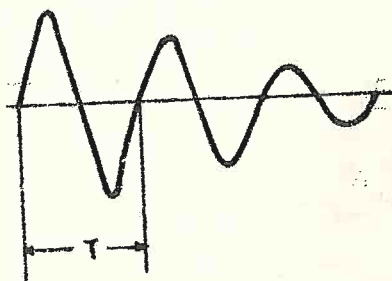
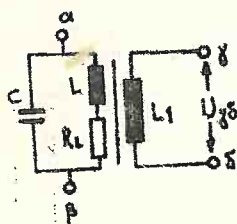
Σχ. 74 Σύστημα αυτόματου ρυθμισμού ισχύος διά thyristor

Βασικόν κύκλωμα εἰς τὴν παραγωγὴν τῶν ταλαντώσεων ἀποτελεῖ ὁ συνδυασμὸς αὐτεπαγωγῆς  $L$  καὶ πυκνωτοῦ  $C$  εἴτε ἐν σειρᾷ (σχ. 75) εἴτε ἐν παράλλῃ (σχ. 76). Ἐστὼ ὅτι



Σχ. 75 κύκλωμα  $L-C$  ἐν σειρᾷ

εἰς τὰ ὅρια  $\alpha, \beta$  τοῦ ἐν παράλλῃ κυκλώματος (σχ. 76), ἐφαρμόζεται πηγὴ συνεχοῦς τάσεως, ὅτε ὁ πυκνωτὴς  $C$  θὰ φορτισθῇ εἰς τὴν τάσιν τῆς πηγῆς ταύτης. Μετὰ τὴν φόρτισιν τοῦ πυκνωτοῦ, ἀποσυνδέεται ἡ πηγὴ καὶ βραχυκυκλώνονται τὰ  $\alpha, \beta$ , ὁπότε ὁ πυκνωτὴς θὰ ἐκφορτισθῇ βαθμιαίως μέσῳ τῆς αὐτεπαγωγῆς  $L$  (ἢ  $R_L$  παριστᾷ τὴν ὁμικτὴν ἀντίστασιν τῆς αὐτεπαγωγῆς). Ἡ κυκλοφορία, μέσῳ τῆς αὐτεπαγωγῆς, τοῦ μεταβαλλομένου ρεύματος ἐκφορτίσεως τοῦ πυκνωτοῦ, προκαλεῖ τὴν δημιουργίαν εἰς τὰ ἄκρα ταύτης μιᾶς ἡλεκτρικῆς δυνάμεως (ΗΕΔ) ἐξ αὐτεπαγωγῆς, ἡ ὁποία προκαλεῖ τὴν κυκλοφορίαν ρεύματος μέσῳ τοῦ πυκνωτοῦ. Τὸ ρεῦμα τοῦτο φορτίζει ἐν νέου τὸν



Σχ. 76. Κύκλωμα  $L-C$  ἐν παράλλῃ

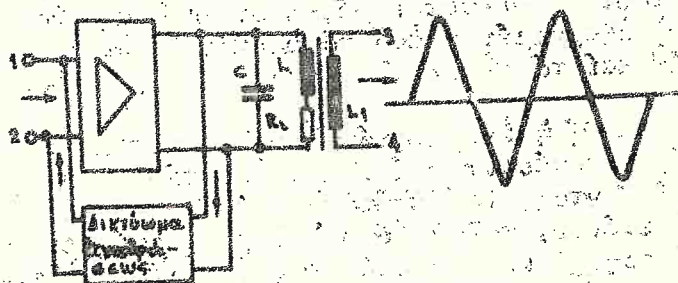
πυκνωτὴν, ὁ ὁποῖος ἐκφορτίζεται ἐν νέου μέσῳ τῆς αὐτεπαγωγῆς κ.ο.κ. Ἐὰν ἐν μαγνητικῇ συζεύξει πρὸς τὴν  $L$  τοποθετηθῇ ἑτέρα αὐτεπαγωγὴ  $L_1$ , θὰ ἀναπτυχθῇ εἰς τὰ ἄκρα τῆς  $\gamma-\delta$  μιᾶς ἡμιτονικῆς μορφῆς ΗΕΔ ἐξ ἐπαγωγῆς, ὁφειλομένη εἰς τὸ μεταβαλλόμενον ρεῦμα, τὸ ὁποῖον κυκλο-



πορεί μέσω της  $L$ . Η συχνότητα της τάσεως  $U_{\gamma\delta}$  εξαρτάται  
 έν των  $L$  και  $C$  και δίδεται υπό της σχέσεως:

$$f = \frac{1}{2\pi\sqrt{LC}} \text{ και η περίοδος της υπό της σχέσεως: } T = \frac{1}{f}$$

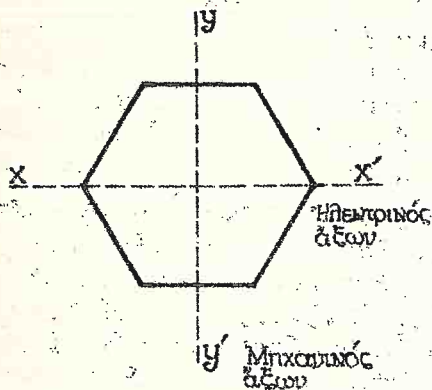
Η μέγιστη όμως τιμή της τάσεως  $U_{\gamma\delta}$  μειούται συνεχώς  
 λόγω απωλειών (κυρίως θερμικά απώλεια εις τας ωμικάς  
 αντιστάσεις των πηνίων). Είναι προφανές ότι εάν εις τό  
 τέλος έκδοσης περιόδου  $T$ , τροποδοτείται έν νέου τό κύκλω-  
 μα  $L, C$  δι' ηλεκτρικής ενέργειας, ή οποία θα αντισταθμίξη  
 τας απώλειας, τότε ή μέγιστη τιμή της  $U_{\gamma\delta}$  θα παραμένη  
 σταθερά. Τήν έργασίαν ταύτην αναλαμβάνει έν τή πράξει να  
 επιτελέση ενισχυτική βαθμής (σχ. 77). Είς τόν ενισχυτήν  
 τοῦ σχ. 77 έχει εφαρμοσθή, μέσω καταλλήλου διευρώματος,  
 θετική ανάδρασις (βλέπε κεφ. 10.3.1.), δηλαδή έν ποσο-  
 στόν έν τοῦ σήματος έξόδου επίστρέφει εις τήν είσοδον  
 τοῦ ενισχυτοῦ κατ' τρόπον ώστε  $|1 - \beta A| < 1$  και συνεπώς  
 $|A| > |A|$ . Η θετική ανάσούξευξις εξασφαλίζει τήν αντιστά-  
 θμισιν τών απωλειών εις κανονικόν ρυθμόν και τήν συντή-  
 ρησιν τών ταλαντώσεων υπό σταθεράν μέγιστην τιμήν.



Σχ. 77. Συντήρησις ταλαντώσεων μέσω διευρώματος  
 θετικής ανάδρασεως

Βασική απαίτησις εις έν φερέσυχρον σύστημα είναι αι  
 φέρουσαι να έχουν ακρίβειαν και σταθερότητα εις τήν συ-  
 χνότητα και τό πλάτος. Δι' να επιτευχθή μεγάλη σταθερότης  
 συχνότητος, χρησιμοποιούνται ταλαντωταί, οί οποίοι εις

τὸ κύκλωμα ἀνασυζεύξεως ἔχουν κρύσταλλον (συνήθως χαλα-  
ζόν). Ὁ κρύσταλλος ἀντιστοιχεῖ ἡλεκτρικῶς πρὸς λίαν  
ὕψηλῃς ποιότητος (Q) κύκλωμα αὐτεπαγωγῆς καὶ πυκνωτοῦ  
ἐν σειρᾷ καὶ ἡ λειτουργία του βασίζεται ἐπὶ τοῦ πιεζο-  
ηλεκτρικοῦ φαινομένου. Εἰς ἕκαστον κρύσταλλον διακρίνον-



Σχ. 78. Τομή κρυστάλλου

ται δύο κάθετοι ἄξονες:  
ὁ μηχανικὸς καὶ ὁ ἡλε-  
κτρικὸς (σχ. 78). Ἐάν  
ὁ κρύσταλλος πιεσθῇ μη-  
χανικῶς κατὰ τὴν διεύ-  
θυνσιν τοῦ μηχανικοῦ ἄ-  
ξονος, ἐμφανίζεται ἡλε-  
κτρικὴ τάσις εἰς τὰ ἄκρα  
τοῦ ἡλεκτρικοῦ ἄξονος,  
ἀνάλογος τῆς πίεσεως.  
Ἀντιθέτως, ἐάν εἰς τὰ  
ἄκρα τοῦ ἡλεκτρικοῦ ἄ-  
ξονος ἐφαρμοσθῇ τάσις,  
τὸ μήκος τοῦ κρυστάλλου  
μεταβάλλεται κατὰ τὸν  
μηχανικὸν ἄξονα ἀναλό-  
γως. Ἐάν ἡ τάσις εἶναι  
ἐναλλασσομένη, ὁ κρύσταλ-

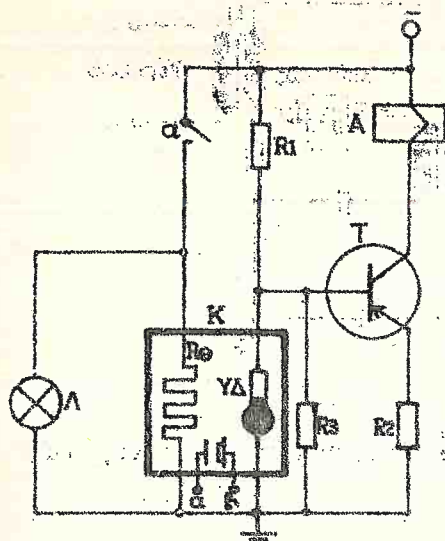
λος θὰ ταλαντοῦται μηχανικῶς κατὰ τὴν διεύθυνσιν τοῦ  
μηχανικοῦ ἄξονος μέ πλάτος ἐξαρτώμενον ἐκ τῆς συχνότη-  
τος. Τοῦτο καθίσταται μέγιστον διὰ συχνότητα (ἰδιοσυ-  
χνότης) ἐξαρτωμένην ἐπὶ τὸ ὅλκιον, τὰς διαστάσεις, τὴν  
μορφήν καὶ τὸ εἶδος τῆς τομῆς τοῦ κρυστάλλου.

Ἐπειδὴ ἡ ἰδιοσυχνότης τοῦ κρυστάλλου ἐξαρτᾶται ἀ-  
πὸ τὰς διαστάσεις καὶ αὗται ἐπὶ τὴν θερμοκρασίαν τοῦ  
περιβάλλοντος, διὰ τοῦτο ὁ κρύσταλλος τοποθετεῖται ἐν-  
τὸς κλιβάνου, τοῦ ὁποῦ ἡ θερμοκρασία διατηρεῖται στα-  
θερά μέσω εἰδιμοῦ κυκλώματος (σχ. 79). Οὕτως, ἐπιτυγχά-  
νεται μεγάλη σταθερότης συχνότητος (π.χ. εἰς διάστημα  
3 μηνῶν ἡ συχνότης μεταβάλλεται μόνον κατὰ

$$\frac{1}{1.000.000} = 10^{-6}$$

ἢτοι κατὰ 0,0001 %).

Ὅπως φαίνεται εἰς τὸ σχ. 79, ἐντὸς τοῦ κλιβάνου  
τοποθετοῦνται ὁ κρύσταλλος, ἡ ἀντίστασις θερμάνσεως R,



Σχ. 79. Κύκλωμα ρυθμίσεως της θερμοκρασίας του κλιβάνου

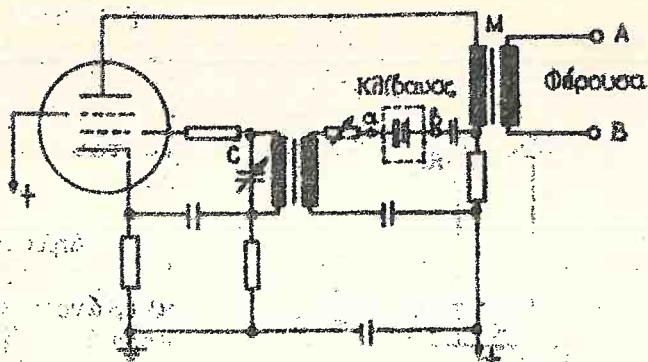
καί ὁ ὑδραργυριῖος διακόπτης ΥΔ. Ὁ διακόπτης ΥΔ ἐλέγχει τήν ἀγωγιμότητα τοῦ τρανζίστορ Τ.

Δηλαδή, ὅταν ἡ θερμοκρασία τοῦ κλιβάνου εἶναι μικρότερα τῆς κανονικῆς (συνήθως τιμὴ 60° ἢ 70° C), ὁ ΥΔ εἶναι ἀνοιχτός καί τὸ τρανζίστορ Τ εἶναι ἀγώγιμον. Τὸ ρεῦμα συλλέκτου διεγείρει τὸν ρωστήρα Α, τοῦ ὁποῦ ἡ ἐπαφὴ α ἀποκαθιστᾷ τὸ κύκλωμα τῆς ἀντιστάσεως θερμάνσεως  $R_4$ .

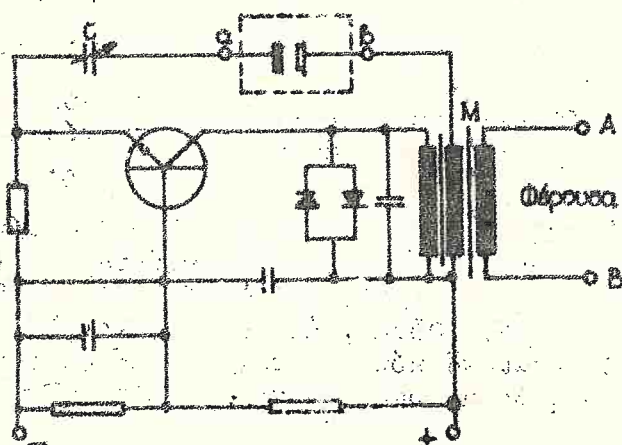
Ὅταν ἡ θερμοκρασία τοῦ κλιβάνου φθάσῃ τὴν κανονικὴν τιμὴν, τότε κλείει ὁ ΥΔ καί τὸ τρανζίστορ ὀδηγεῖται εἰς ἀποκοπήν, διότι ὁ ἐμπομπὸς καί ἡ βάση ἀποικοῦν τὸ αὐτό, περίπου, δυναμικόν. Οὕτως, ἀποδιεγείρεται ὁ Α καί μέσῳ τῆς α διακόπτεται τὸ κύκλωμα τῆς  $R_4$ , τὸ ὁποῖον θά ἀποκατασταθῇ ὅταν ἡ θερμοκρασία κατέλθῃ κάτω τῆς κανονικῆς κ.ο.κ.

Οἱ κρυσταλλινὸς ταλαντωτὰς κατεσκευάζοντο παλαιότερον διὰ λυχνίων (σχ. 80), ἀλλὰ σήμερον προτιμῶνται τὰ κυκλώματα διὰ τρανζίστορ (σχ. 81). Εἰς τὰ κυκλώματα αὐτὰ ὁ μεταβλητὸς πυκνωτὴς  $C$  ἐπιτρέπει μικρὰν διόρθωσιν τῆς ὑπὸ τοῦ κρυστάλλου παραγομένης συχνότητος, ἐνῶ ἡ φέρουσα λαμβάνεται εἰς τὰ ἑνὶν Α, Β τοῦ μετασχηματιστοῦ Μ.





Σχ. 80. Κρυσταλλικός ταλαντωτής διά λυχνίας



Σχ. 81. Κρυσταλλικός ταλαντωτής διά τρανζίστορ

### 11.2. Παραγωγή φερουσών διά πολλαπλασιασμού-διαιρέσεως τῆς συχνότητος τῆς βασικῆς γεννητρίδας.

Ὡς εἶναι εὐνόητον, ἡ κατασκευὴ ἑνὸς κρυσταλλικοῦ ταλαντωτοῦ ἀπαιτεῖ σημαντικὴν οἰκονομικὴν δαπάνην καὶ θὰ ἦτο ἀσύμφορον, ἐκάστη φέρουσα ἑνὸς συστήματος νὰ παράγεται ὑπὸ ἰδιατέρου κρυσταλλικοῦ ταλαντωτοῦ. Διὰ τοῦ-

το εἰς τὰ Φ/Σ ὑπάρχει εἰς (ἢ δύο) βασικός κρυσταλλινός ταλαντωτής καὶ αἱ φέρουσαι παράγονται εἴτε διὰ πολλαπλασιασμοῦ εἴτε διὰ διαιρέσεως τῆς συχνότητος τοῦτου.

Πέραν τῶν οικονομικῶν, ἡ χρησιμοποίησις μιᾶς βασικῆς γεννητρίας συνιστάται καὶ διὰ τοὺς κάτωθι λόγους:

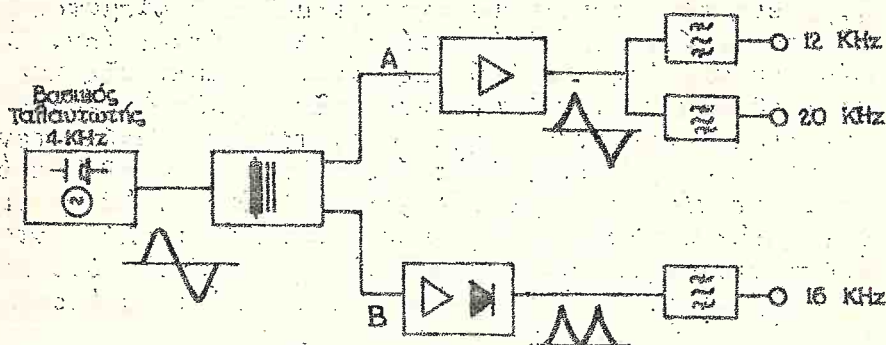
α) Ἡ ἀπόστασις συχνότητος μεταξύ τῶν φερουσῶν τοῦ αὐτοῦ σταθμοῦ διαμορφώσεως πρέπει νὰ διατηρῆται σταθερὰ ὥστε νὰ μὴν προκύβουν φάσματα ἀμοιβαίως ἐπικαλυπτόμενα. Π.χ. εἰς τὴν περίπτωσιν σχηματισμοῦ τοῦ φάσματος βασικῆς πρωτομάδος διὰ ἀπ' εὐθείας διαμορφώσεως (σχ. 21β), ἡ φέρουσα τῆς 1ης διοδεύσεως εἶναι 64 KHz, τῆς 2ας διοδεύσεως 68 KHz κ.ο.κ. Ἐὰν ἀντὶ τῶν 68 KHz ἡ φέρουσα τῆς 2ας διοδεύσεως ἦταν π.χ. 69 KHz, τότε θὰ προέκυπτεν τὸ φάσμα 65 - 69 KHz, τοῦ ὁποῦ ἡ ἄκρη 68 - 69 KHz ἐμπέπει εἰς τὴν περιοχὴν τῆς 3ης διοδεύσεως. Ἡ χρησιμοποίησις μιᾶς βασικῆς γεννητρίας ἐξασφαλίζει πλέον σταθερὰν ἀπόστασιν συχνότητος μεταξύ τῶν φερουσῶν, ὅτιοι παράγονται φέρουσαι, αἱ ὁποῖαι εἶναι πολλαπλάσια ἢ ὑποπολλαπλάσια τῆς αὐτῆς βασικῆς γεννητρίας.

β) Αἱ συστάσεις τῆς CCITT ὁρίζουν ὅτι μεταξύ δύο τερματικῶν σταθμῶν, ἡ μέγιστη ἀποκλίσις τῆς συχνότητος 1000 Hz δὲν πρέπει νὰ ὑπερβαίῃ τοὺς  $\pm 2$  Hz. Τοῦτο σημαίνει ὅτι ἡ συχνότης φεροῦσης τοῦ διαμορφωτοῦ εἰς τὸν ἕνα σταθμὸν πρέπει νὰ ισοῦται μὲ τὴν συχνότητα φεροῦσης τοῦ ἀντιστοίχου ἀποδιαμορφωτοῦ εἰς τὸν ἕτερον σταθμὸν. Διὰ νὰ ἐκανοποιηθῇ ἡ ἐν λόγω ἀπαιτήσις πρέπει νὰ συγχρονισθοῦν αἱ γεννήτριαι τῶν δύο τερματικῶν.

Κατὰ τὸν συγχρονισμόν, αἱ φέρουσαι τοῦ ἐνὸς σταθμοῦ ρυθμίζονται οὕτως ὥστε νὰ ἀποκτήσουν τὴν αὐτὴν τιμὴν συχνότητος πρὸς τὰς φέρουσας τοῦ ἑτέρου σταθμοῦ, ἔστω καὶ ἂν αὗται ἀποκλίνουν ὀλίγον ἐκ τῆς ὀνομαστικῆς τιμῆς. Εἶναι προφανές ὅτι ὁ συγχρονισμός ἐπιτυγχάνεται ταχύτερον καὶ ἀκριβέστερον διὰ ρυθμίσεως μιᾶς μόνον βασικῆς γεννητρίας.

Εἰς τὸ σχ. 82 ἐμφαίνεται παράδειγμα πολλαπλασιασμοῦ συχνότητος. Ἡ μέ μεγάλην ἀκρίβειαν καὶ σταθερότητα συχνότητος τᾶσις ἐξόδου τοῦ βασικοῦ κρυσταλλινοῦ ταλαντωτοῦ 4 KHz ὁδηγεῖται εἰς ἕν πηνίον μὲ σιδηροπυρῆνα, ἔνθα

υφίσταται ισχυράν παραμόρφωσιν, έπειδή τό μαγνητικόν πεδόν τοῦ σιδηρόπυρῆνος φθάνει άποτόμως εἰς κατάστασιν κόρου. Τό παραμορφωμένον τοῦτο σήμα όδηγεῖται εἰς δύο κλάδους Α καί Β. Εἰς τόν κλάδον Α τό σήμα ένισχύεται καί εἰς τήν έξοδον τοῦ ένισχυτοῦ επιλέγονται διά φίλτρων αἱ περιττῆς τάξεως άρμονικαί 12 καί 20 KHz. (Διά μαθηματικής αναλύσεως, κατά FOURIER, άποδεικνύεται ότι τό σήμα



Σχ. 82. Παραγωγή τῶν φερουσῶν διοδεύσεων

τοῦ κλάδου Α περιέχει μόνον περιττῆς τάξεως άρμονικάς τῶν 4 KHz, δηλαδή τάς  $3 \times 4 = 12$  KHz,  $5 \times 4 = 20$  KHz κ.ο.κ.). Τό σήμα εἰς τόν κλάδον Β ένισχύεται, άνορθοῦται καί διά φίλτρου επιλέγεται ἡ άρμονική άρτίας τάξεως 16 KHz. Ἐπί τῇ βάσει τῆς ἰδίαις τεχνικῆς εἶναι δυνατόν νά παραχθοῦν φέρουσαι ὑψηλοτέρων συχνότητων. Π.χ. ἡ παραχθεῖσα ἤδη φέρουσα 12 KHz, όδηγεῖται εἰς ἕτερον κύκλωμα παραμόρφώσεως, εἰς τήν έξοδον τοῦ όποιοῦ επιλέγονται διά φίλτρων αἱ φέρουσαι προομᾶδων (σχ. 83):

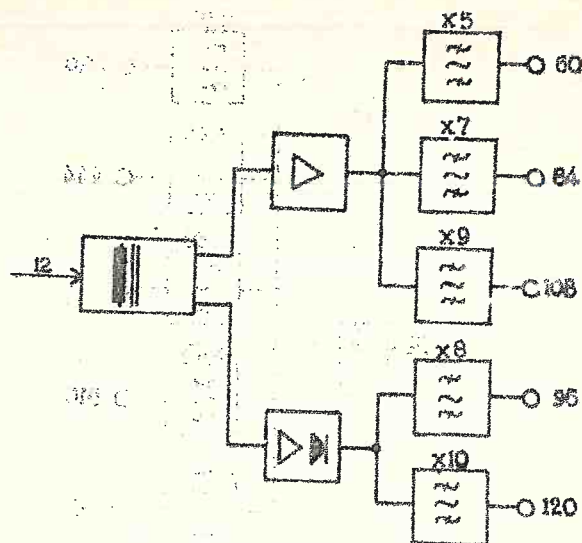
$$12 \times 10 = 120 \text{ KHz}$$

$$12 \times 9 = 108 \text{ KHz}$$

$$12 \times 8 = 96 \text{ KHz}$$

$$12 \times 7 = 84 \text{ KHz}$$





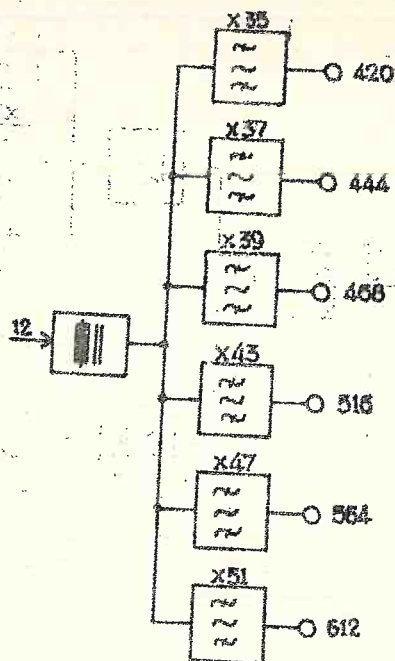
Σχ. 83. Παραγωγή τών φερουσών προομάδων

Όμοίως, διά πολλαπλασιασμού τῆς συχνότητος 12 KHz παράγονται αἱ φέρουσαι, διά τὴν διαμόρφωσιν τών βασικῶν πρωτομάδων (σχ. 84).

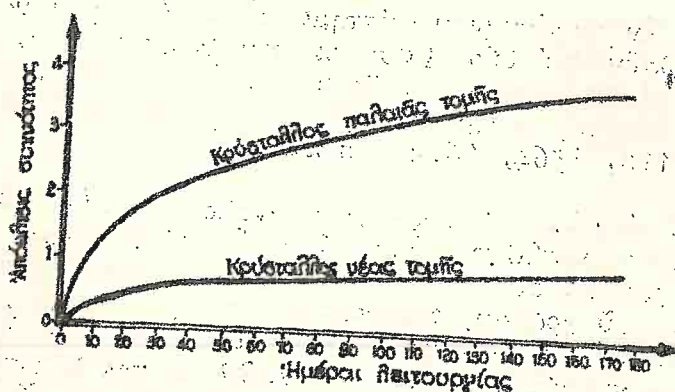
Εἰς ἓν φερέσυχνον σύστημα εἶναι ἐνδεχόμενον νὰ χρησιμοποιηθοῦν καὶ δύο βασικαὶ γεννήτριαι. Π.χ. εἰς τὸ σύστημα V1260 χρησιμοποιεῖται καὶ ἡ βασικὴ γεννήτρια 124 KHz διά τὴν παραγωγὴν τών φερουσών τών βασικῶν δευτερομάδων (1116, 1364, 1612 KHz κ.λ.π.).

Διά τῆς ἀναπτύξεως τῆς τεχνολογίας εἰς τὰς μεθόδους τομῆς τών κρυστάλλων, ἐπετεύχθη ἓν νέον εἶδος τομῆς, ἡ ὁποία παρουσιάζει μεγαλύτεραν σταθερότητα συχνότητος συναρτῆσει τοῦ χρόνου, ἐναντι τῆς παλαιᾶς τομῆς. Ὡς φαίνεται εἰς τὸ σχ. 85, μετὰ ἀπό λειτουργίαν 90 ἡμερῶν ἡ ἀπόκλισις συχνότητος τοῦ κρυστάλλου παλαιᾶς τομῆς εἶναι τετραπλάσια ἀπὸ ἐκείνην τοῦ κρυστάλλου νέας τομῆς.

Διά τῆς νέου τύπου τομῆς παράγονται κρύσταλλοι, οἱ ὅποιοι ταλαντοῦνται εἰς συχνότητας ἕως τῶν 1000 KHz. Ἡ



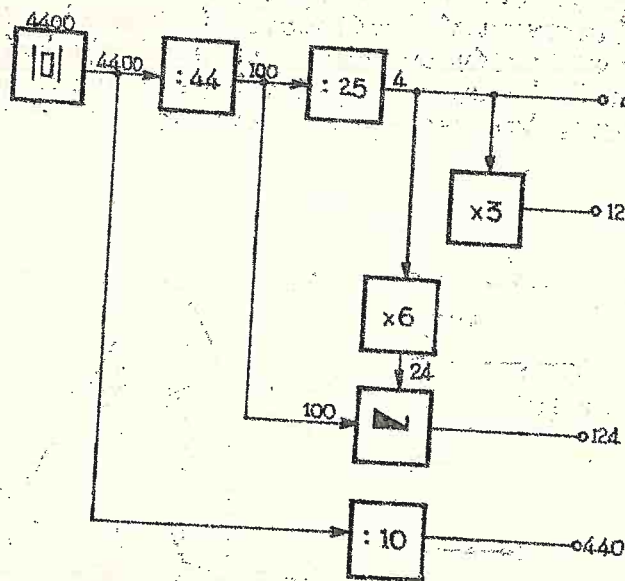
Σχ. 84. Παράγωγή φερουσών βασικών πρωτομάδων



Σχ. 85. Σύγκρισις σταθερότητας συχνότητας δύο κρυστάλλων διαφορετικών τομών

χρησιμοποίησις τῶν ἐν λόγῳ κρυστάλλων παρέχει ἐπὶ πλέον τὸ πλεονέκτημα τῆς χρησιμοποίησός μιᾶς μόνον βασικῆς γεννητρίας. Σχετικὸν παράδειγμα δεικνύεται εἰς τὸ σχ. 86, ἐνθα διὰ διαιρέσεων τῆς συχνότητος τῆς βασικῆς ταλαντώτριας προκύπτουν αἱ συχνότητες 4 καὶ 440 KHz (ἡ συχνότης τῶν 440 KHz χρησιμοποιεῖται διὰ τὴν παραγωγὴν φερουσῶν τῶν βασικῶν τεταρτομάδων).

Διὰ πολλαπλασιασμοῦ τῆς συχνότητος τῶν 4 KHz προκύπτει ἡ συχνότης 12 KHz. Ἡ συχνότης 124 KHz προκύπτει ὡς ἄνω πλευρική συχνότης ἐκ τῆς διαμορφώσεως τῶν 100 καὶ 24 KHz. Ἐν συνεχείᾳ, αἱ συχνότητες 4, 12, 124 καὶ 440 KHz ὁδηγοῦνται εἰς ἕτερα κυκλώματα ἐνθα διὰ πολλαπλασιασμοῦ παράγονται αἱ ἐπιθυμηταί φέρουσαι.



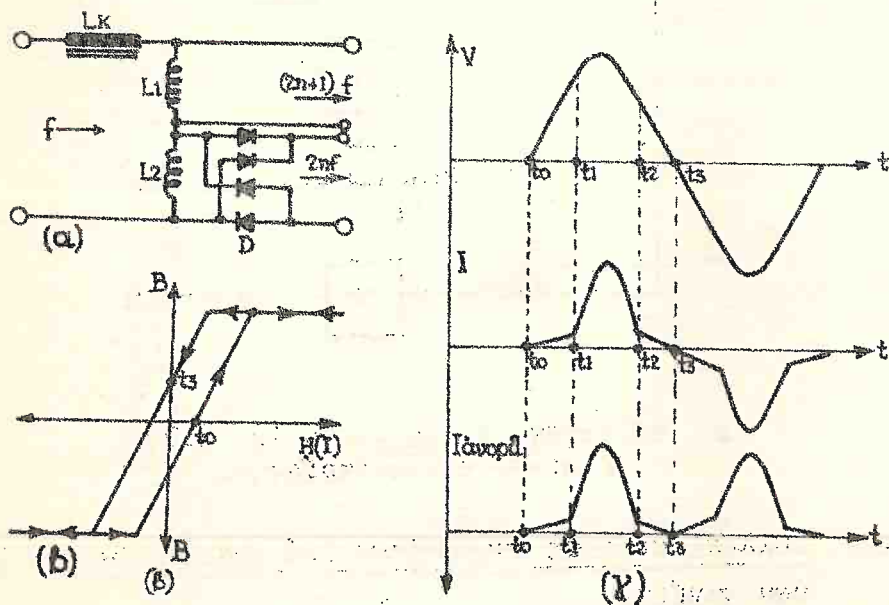
Σχ. 86 παραγωγή φερουσῶν ἐκ μιᾶς βασικῆς ταλαντώτριας.

### 11.3. Πολλαπλασιασμός συχνότητων διὰ χρήσεως κεικορεσμένων πηνίων.

Πολλοί κατασκευασταὶ Φ/Σ χρησιμοποιοῦν, εἰς τὰς διατάξεις πολλαπλασιασμοῦ συχνότητων, κεικορεσμένα πηνία (σχ. 87α).



Όπως φαίνεται εις τήν καμπύλην μαγνητίσεως τοῦ  $L_k$  (σχ. 87β), ἡ μαγνητικὴ ἐπαγωγὴ  $B$  λαμβάνει, μᾶλλον ἀποτόμως, μίαν μεγίστην, σταθεράν τιμὴν. Εἶναι γνωστὸν, ὁμῶς, ὅτι ὅταν ἡ μαγνητικὴ ἐπαγωγὴ διατηρεῖται σταθερά, ἡ αὐτεπαγωγικὴ ἀντίδρασις μηδενίζεται. Εἰς τὰς καμπύλας τοῦ σχ. 87 δεικνύεται ἡ συμπεριφορὰ τοῦ  $L_k$  ὅταν εἰς τήν εἴσοδον τοῦ κυκλώματος δόγηθῇ τάσις  $V$ , συχνότητος  $f$ . Κατὰ τὸ χρονικὸν διάστημα  $t_0-t_1$ , ἡ μαγνητικὴ ἐπαγωγὴ  $B$  αὐξάνει καὶ ἐπομένως ἡ αὐτεπαγωγικὴ ἀντίδρασις τοῦ  $L_k$  λαμβάνει σημαντικὴν τιμὴν. Τοῦτο σημαίνει ὅτι τὸ διὰ τοῦ κυκλώματος ρεῖμα  $I$  θὰ εἶναι ἡμιτονικὸν, μικροῦ πλάτους. Μεταξὺ  $t_1-t_2$ , ἡ  $B$  διατηρεῖται σταθερά ἄρα ἡ ἀντίδρασις τοῦ  $L_k$  μηδενίζεται καὶ ἐπομένως τὸ  $I$  θὰ μεταβάλλεται ἡμιτονικῶς, ἀλλὰ μὲ πολὺ μεγαλύτερον πλάτος τοῦ προηγουμένου. Μεταξὺ  $t_2-t_3$ , ἡ  $B$  μειοῦται καὶ ἐπομένως ἡ αὐτεπαγωγικὴ ἀντίδρασις αὐξάνεται ἐκ νέου. Ἀνάλογα φαινόμενα λαμβάνουν χώραν καὶ κατὰ τήν ἐτέραν ἡμιπερίοδον τῆς  $V$ . Ἡ κυματομορφή τοῦ ρεύματος  $I$  (σχ. 87 γ) ἀποδεικνύεται ὅτι περιέχει ἁρμονικὰς περιττῆς τάξεως  $(2n+1)f$ .



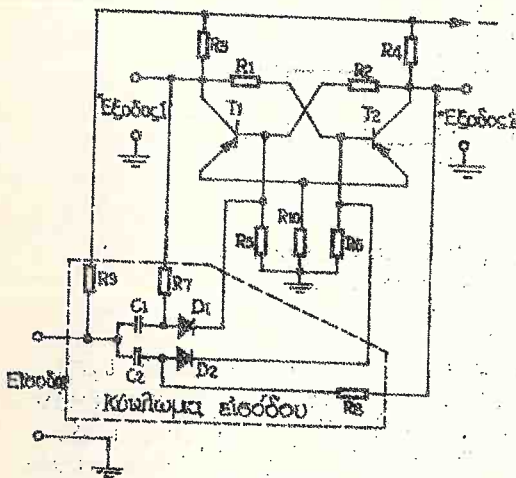
Σχ. 87. Κύκλωμα παραγωγῆς ἁρμονικῶν διὰ χρησιμοποίησης νεκορέσμενου πηνίου

Όταν η έξοδος ἐκ τοῦ πηνίου  $L_2$  ὁδηγηθῇ εἰς κύκλωμα διπλῆς ἂννορθώσεως (ὁδοὶ D), τότε τὸ προκύπτον ρεῦμα I ἂννορθ. (σχ. 87γ) ἐποδεικνύεται ὅτι περιέχει ἁρμονικὰς ἄρτιας τάξεως  $2nf$ .

#### 11.4. Διαίρεσις συχνότητων διὰ χρήσεως δισταθῶν πολυδονητῶν.

Γενικῶς, ὑφίσταται μεγάλη ποικιλία κυλωμάτων διαίρεσεως, ἐξ ὧν θὰ ἐναπυχθῇ κατωτέρω τὸ κύκλωμα τοῦ δισταθοῦς πολυδονητοῦ, ἀφ' ἑνὸς μὲν διότι χρησιμοποιεῖται εὐρέως εἰς τὰς διατάξεις διαίρεσεως καὶ ἀφ' ἑτέρου διότι ὁ πολυδονητὴς παρουσιάζει γενικώτερον ἐνδιαφέρον.

Ὁ δισταθὴς πολυδονητὴς εἶναι κύκλωμα παραγωγῆς τετραγωνικῶν παλμῶν, τὸ ὁποῖον ἀπαιτεῖ ἐξωτερικὴν διέγερσιν (σχ. 88).

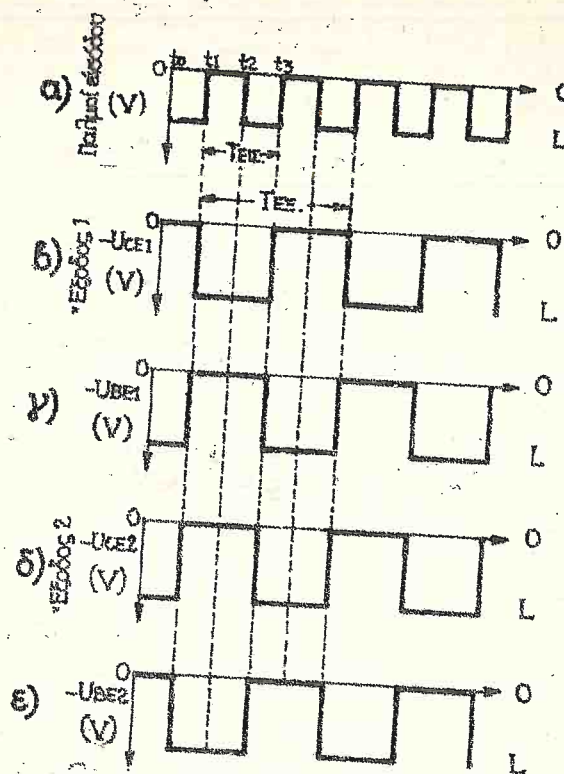


σχ. 88. Λειτουργίας πολυδονητῆς

τῶν συλλέκτου  $U_{CE_2}$  (σχ. 89δ) ἰσοῦται μὲ τὴν τάσιν τῆς πηγῆς. Τὸ αὐτὸ δυναμικὸν ἔχει καὶ ἡ βάση τοῦ  $T_1$  ( $U_{BE_1}$ ) διότι αὕτη συνδέεται μετὰ τοῦ συλλέκτου τοῦ  $T_2$  μέσω τῆς  $R_2$ . Οὕτω, τὸ τρανζίστορ  $T_1$  διατηρεῖται ἄγωγιμον διότι εἰς τὴν βάση του ἐφαρμόζεται τὸ ἀρνητικὸν δυναμικὸν τῆς

Όταν τὸ ἐν τρανζίστορ τοῦ πολυδονητοῦ εἶναι ἄγωγιμον, τὸ ἕτερον εὐρίσκεται εἰς ἀποκοπήν. Πράγματι, ἔστω ὅτι μετὰξὺ  $t_0$ - $t_1$  (σχ. 89α) εἶναι ἄγωγιμον τὸ  $T_1$ . Τοῦτο σημαίνει ὅτι ὁ συλλέκτης τοῦ  $T_1$  θὰ ἔχῃ τὸ δυναμικὸν τῆς γῆς (σχ. 89β). Ἀλλὰ, ὁ συλλέκτης τοῦ  $T_1$  συνδέεται, μέσω τῆς  $R_1$ , μετὰ τῆς βάσεως τοῦ  $T_2$  καὶ οὕτω τὸ  $T_2$  διατηρεῖται εἰς ἀποκοπήν, διότι ἡ βάση του λαμβάνει δυναμικὸν γῆς

Ἐφ' ὅσον τὸ  $T_2$  εἶναι εἰς τὴν ἀποκοπήν, ἡ



Σχ. 89. Κυματομορφές λειτουργίας διόσταθου πολυδονητού.

πηγής. Έν τών ανωτέρω συμπεραίνεται ότι μεταξύ  $t_0-t_1$ , υφίσταται είς την έξοδον 1 (σχ. 89β) σήμα 0 (δυναμικόν  $\gamma\eta\varsigma$ ) καί είς την έξοδον 2 (σχ. 89δ) σήμα L (άρνητικόν δυναμικόν). Η διευθέτησις τοῦ κυκλώματος εἰσόδου εἶναι τοιαύτη ὥστε μόνον κατά την ἐναλλαγὴν τῶν παλμῶν εἰσόδου (σχ. 89α) ἀπὸ L εἰς 0 νὰ ἀνατρέπεται ἡ κατάστασις λειτουργίας τοῦ πολυδονητοῦ, διότι κατὰ την ἐναλλαγὴν ταύτην δημιουργεῖται θετικὸς παλμός, ὁ ποῖος δρᾷ ἐπὶ τοῦ ἀγωγίμου ἐλάστωτε τρανζίστορ. Πράγματι ὅταν μεταξύ  $t_0-t_1$  εἶναι ἀγωγίμον τὸ  $T_1$ , εἰς τὸν δεξιὸν ὀπλισμὸν τοῦ  $C_1$  ὁδηγεῖται μέσω τῆς  $R_7$  τὸ δυναμικὸν τῆς  $\gamma\eta\varsigma$ , δεδομένου ὅτι ἡ  $R_5$  (καθὼς καὶ ἡ  $R_6$ ) εἶναι μικρᾶς τιμῆς. Εἰς τὸν ἀριστερὸν ὀπλισμὸν τοῦ  $C_1$  ὁδηγεῖται τὸ ἀρνητικόν



δυναμικόν τοῦ σήματος εἰσόδου καὶ ἐπομένως ὁ πυκνωτής  $C_1$  φορτίζεται εἰς τὸ δυναμικόν τοῦτο. Ἀντιθέτως ὁ  $C_2$  παραμένει ἀφόρτιστος διότι εἰς ἀμφοτέρους τοὺς ὀπλισμοὺς του ὑφίσταται ἀρνητικὸν δυναμικόν (εἰς τὸν ἀριστερὸν ὀπλισμὸν τὸ σῆμα εἰσόδου καὶ εἰς τὸν δεξιὸν ἢ τὰς συλλέκτου τοῦ  $T_2$  μέσω τῆς  $R_8$ ).

Κατὰ τὴν ἐναλλαγὴν τῶν παλμῶν εἰσόδου ἀπὸ  $L$  εἰς  $O$  (χρονικὴ στιγμή  $t_1$ ) δημιουργεῖται διὰ τῆς ἐκφορτίσεως τοῦ  $C_1$  εἰς θετικὸς παλμὸς, ὅστις, μέσω τῆς  $D_1$ , ὁδηγεῖται εἰς τὴν βάσιν τοῦ  $T_1$ . Τὸ  $T_1$  ὁδηγεῖται ἀμέσως εἰς τὴν ἀποκοπὴν διότι εἰς τὴν βάσιν του ἐφαρμόζεται ὁ θετικὸς τοῦτος παλμὸς. Οὕτω ὁ συλλέκτης τοῦ  $T_1$  ἀποκτὰ τὸ ἀρνητικὸν δυναμικόν τῆς πηγῆς, τὸ ὁποῖον, μέσω τῆς  $R_1$ , ὁδηγεῖται εἰς τὴν βάσιν τοῦ  $T_2$  καὶ τὸ καθίστᾷ ἀγῶγιμον. Τὸ πλάτος τοῦ παλμοῦ ὅστις ἔθεσε εἰς τὴν ἀποκοπὴν τὸ  $T_1$  μειοῦται συνεχῶς διότι ἀκολουθεῖ τὸν νόμον ἐκφορτίσεως τοῦ  $C_1$ . Τὸ  $T_1$  ὅμως παραμένει εἰς ἀποκοπὴν διότι εἰς τὴν βάσιν του ἐφαρμόζεται μέσω τῆς  $R_2$  τὸ δυναμικόν τῆς γῆς, δεδομένου ὅτι τὸ  $T_2$  κατέστη ἀγῶγιμον.

Μεταξὺ  $t_1$ - $t_2$  φορτίζεται ὁ  $C_1$  δι' ἀντιθέτου δυναμικοῦ ἀπὸ ὅτι μεταξὺ  $t_0$ - $t_1$ , διότι εἰς τὸν ἀριστερὸν ὀπλισμὸν του ὑφίσταται σῆμα  $O$  καὶ εἰς τὸν δεξιὸν ὀπλισμὸν τοῦ σῆμα  $L$ . Κατὰ τὸ αὐτὸ χρονικὸν διάστημα ὁ  $C_2$  παραμένει ἀφόρτιστος, διότι ἐπ' ἀμφοτέρων τῶν ὀπλισμῶν του ὑφίσταται σῆμα  $O$ .

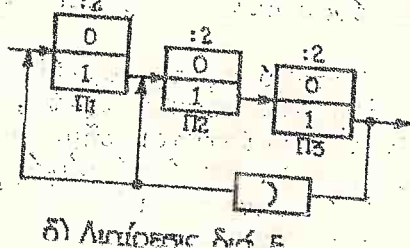
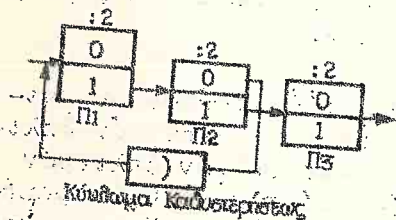
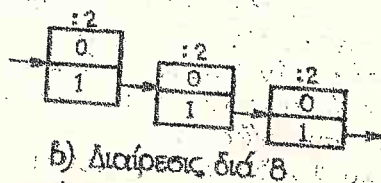
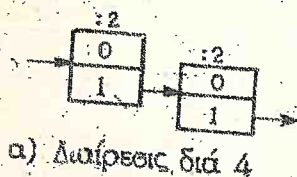
Κατὰ τὴν χρονικὴν στιγμήν  $t_2$  (ἐναλλαγὴ τῶν παλμῶν εἰσόδου ἀπὸ  $O$  εἰς  $L$ ) δημιουργοῦνται δύο ἀρνητικοί παλμοί ἀφ' ἑνὸς μὲν λόγῳ φορτίσεως τοῦ  $C_2$  καὶ ἀφ' ἑτέρου λόγῳ ἐκφορτίσεως τοῦ  $C_1$ . Οἱ παλμοὶ οὗτοι δὲν ἀνατρέπουν τὴν κατὰ τὰς τῶν πολυδονητοῦ, διότι ἡ διέλευσις των πρὸς τὰ τρανζίστορ  $T_1$  καὶ  $T_2$  ἐμποδίζεται ὑπὸ τῶν διόδων  $D_1$  καὶ  $D_2$  ἀντιστοίχως.

Μεταξὺ  $t_2$ - $t_3$  ὁ  $C_1$  παραμένει ἀφόρτιστος διότι ἐπ' ἀμφοτέρων τῶν ὀπλισμῶν του ὑφίσταται δυναμικόν  $L$ , ἐνῶ ὁ  $C_2$  φορτίζεται ὅπως εἶχεν φορτισθῇ ὁ  $C_1$  μεταξὺ  $t_0$ - $t_1$ . Οὕτω, κατὰ τὴν νῆαν ἐναλλαγὴν τῶν παλμῶν ἀπὸ  $L$  εἰς  $O$  (χρονικὴ στιγμή  $t_3$ ) θὰ ἀνατράπῃ ἡ κατὰ τὰς λειτουργίας τοῦ  $T_2$  ἀκριβῶς ὅπως ἀνετράπη τὴν χρονικὴν στιγμήν  $t_1$ , ἡ κατὰ τὰς τῶν  $T_1$ .

\*Ὅπως φαίνεται εἰς τὰ σχ. 89α,β,δ, ἡ περίοδος τῶν

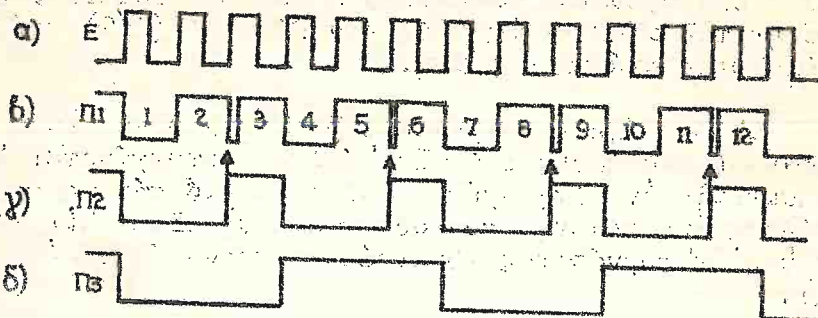
παλμών εξόδου ( $T_{ΕΕ}$ ) είναι διπλάσια της περιόδου των παλμών εισόδου ( $T_{ΕΙ}$ ). Επομένως, ο δισταθής πολυδονητής εκτελεί διαιρέσειν διὰ δύο.

Αν συνδεθούν δύο πολυδονηταί εν σειρά ή διάταξις θα εκτελέση διαιρέσειν διὰ 4 (σχ. 90α). Ομοίως, αν συνδεθούν 3 πολυδονηταί θα προκύψη διαιρέσειν διὰ 8 (σχ. 90β) και γενικώς, διὰ συνδέσεως  $n$  πολυδονητών θα προκύψη διαιρέσειν διὰ  $2^n$ .



Σχ. 90. Παραδείγματα χρησιμοποίησης πολυδονητών εις κυκλώματα διαιρέσεως

Διὰ νὰ ἐπιτευχθοῦν διαιρέσεις καὶ διὰ τῶν ὑπολοίπων ἀκεραίων ἀριθμῶν (π.χ. διὰ 3, 5, 6, 7, 9 κλπ.) χρησιμοποιούνται κυκλώματα ἐπιστροφῆς παλμῶν ἐν τῇ ἐξόδῳ εἰς τὴν εἰσοδόν. Εἰς τὸ σχ. 90γ δεικνύεται παράδειγμα διαιρέσεως διὰ 6 καὶ εἰς τὸ σχ. 90δ παράδειγμα διαιρέσεως διὰ 5. Κατωτέρω ἐπεξηγεῖται ἡ λειτουργία τοῦ κυκλώματος τοῦ σχ. 90γ. Ὅπως φαίνεται εἰς τὸ σχ. 91, μετὰ τὸν δεῦτερον παλμὸν τοῦ πολυδονητοῦ  $\Pi_1$ , ἔπρεπε νὰ ἀκολουθήσῃ ἀρνητικὸς παλμὸς. Τοῦτο ὁμῶς δὲν συμβαίνει διότι ἐν τῷ μεταξύ εἰς τὴν εἰσοδὸν τοῦ  $\Pi_1$  ἀφίπνυται ὁ θετικὸς παλμὸς ἐν τοῦ  $\Pi_2$ , ὅστις διατηρεῖ τὸν  $\Pi_1$  εἰς τὴν προτέραν τοῦ κατὰστασιν. Τὸ αὐτὸ συμβαίνει καὶ μεταξύ 5ου - 6ου παλμοῦ κ.ο.κ. Ἡ δημιουργουμένη μέσω εἰδινοῦ



Σχ. 91. Διά την επεξήγησιν τοῦ διαιρέτου διὰ 6.

κυκλώματος (συνήθως R-C ἐν σειρά) χρονική καθυστέρησις εἶναι ἀπαραίτητος, διότι ὁ παλμός ἐκ τοῦ Π<sub>2</sub> πρέπει νά ἀφίχθῃ εἰς τόν Π<sub>1</sub>, ὅταν θά εἶναι ἐγώγιμον τό τρανζίστορ Τ<sub>1</sub>, ὥστε νά τοῦ ἀνστρέψῃ τήν κατάστασιν ἐγωγιμότητος.

## 12. ΔΙΑΤΑΞΕΙΣ ΠΕΡΙΟΡΙΣΜΟΥ ΤΩΝ ΘΟΡΥΒΩΝ

### 12.1. Γενικά

Μία τηλεφωνική συνδιάλεξις εἶναι δυνατόν νά παρενοχληθῇ ἐκ διαφόρων θορύβων, ὅπως εἶναι οἱ θόρυβοι τοῦ περιβάλλοντος καί τοῦ μικροφώνου ἢ ἕτεροι θόρυβοι προερχόμενοι ἐξ ἡλεκτρικῶν σημάτων τυχαίου πλάτους καί συχνότητος.

Αἱ κυριώτεραι πηγαί τῶν τελευταίων τούτων θορύβων εἶναι: Δυσχέαι, τροφοδοτικαί διατάξεις, διαφωναί, διακόπται, ὑπερφόρτισις τῶν ἐνισχυτῶν, θερμικός θόρυβος, ἐπιδράσεις ἐκ ρευμάτων ὑψηλῆς τάσεως κ.λ.π.

Εἰς τὰς τηλεπικοινωνίας ἐνδιαφέρει κυρίως ὁ λόγος μεταξὺ τοῦ σήματος καί τοῦ θορύβου, διότι ἔχει ἀποδειχθῇ ὅτι ἡ καταληπτότης αὐξάνεται διὰ τῆς αὐξήσεως τοῦ ἀνωτέρου λόγου. Πράγματι κατὰ τὰς διακοπὰς τῆς συνδιαλέξεως ἢ ὅταν τό ὠφέλιμον σῆμα εἶναι ἀσθενές, τό οὗς τοῦ ἀκροατοῦ ἐνοχλεῖται καί ἀπό θόρυβον χαμηλῆς στάθμης. Ὅταν ὁμως ἡ στάθμη τοῦ σήματος αὐξηθῇ, τό οὗς καθίσταται ὀλι-



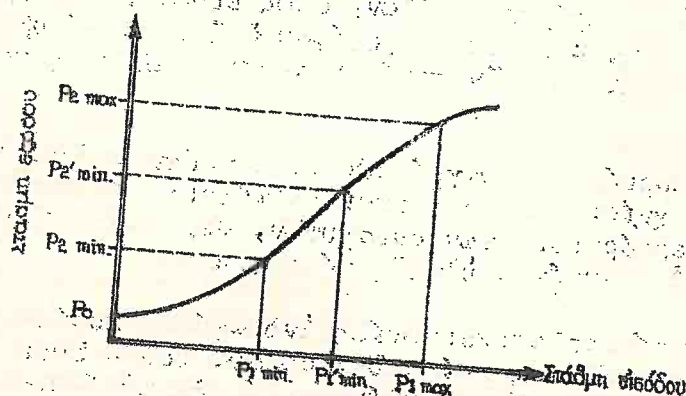
γώτερον ευαίσθητον έναντι του θορύβου και ο ακροατής δεν ενοχλείται, εστω και εάν ο θόρυβος είναι ισχυρότερος του προηγούμενου. Επομένως, πρακτικήν σημασίαν έχει η σχέση του σήματος ως προς τον θόρυβον ( $S/O$ ) και όχι η απόλυτος στάθμη θορύβου.

Αι διατάξεις περιορισμού των θορύβων είναι ήλεκτρονικαί διατάξεις διά των οποίων επιτυγχάνεται ή βελτίωσις της έν λόγῳ σχέσεως είτε εἰς τὰ σήματα χαμηλῆς στάθμης (κυκλώματα συστοδιαστολέων) είτε εἰς τὰ σήματα ὑψηλῆς συχνότητος (διεκτυώματα προεμφάσεως-ἀποεμφάσεως).

## 12.2. Κυκλώματα συστοδιαστολέων

Ἡ ἐφαρμογή των διατάξεων τούτων βασίζεται ἐπὶ των κάτωθι δεδομένων:

α) Εἰς τὸ σχ. 92 δεικνύεται ἡ χαρακτηριστικὴ καμπύλη ἐνός συστήματος μεταδόσεως. Εἰς τὸν ὀριζόντιον ἕξονα ἔχουν τοποθετηθῇ αἱ στάθμαι εἰσόδου  $P_1$ , εἰς τὴν ἀρχὴν καὶ εἰς τὸν κατακόρυφον ἕξονα αἱ στάθμαι ἐξόδου  $P_2$  εἰς τὸ ἑναντι ἕκρον τοῦ συστήματος μεταδόσεως. Ἐν τῆς καμπύλης ταύτης φαίνεται, ὅτι, εἰ μὴ δεινῇ ἡ στάθμη εἰσόδου  $P_1$ , εἰς τὴν ἕξοδον θὰ ἐμφανισθῇ ἡ στάθμη  $P_0$ , ἡ ὁποία ὀφείλεται εἰς τὸν θόρυβον τοῦ συστήματος μεταδόσεως. Εάν ἡ στάθμη εἰσόδου εἴναι  $P_{1min}$ , ἡ στάθμη ἐξόδου



Σχ. 92. Σχέσις μεταξὺ στάθμης εἰσόδου-στάθμης ἐξόδου.

θα είναι  $P_{2min}$  και μεταξύ της στάθμης ταύτης και του θορύβου θα υπάρχει η διαφορά  $\Delta P_1 = P_{2min} - P_0$ .

Εάν όμως αύξηθῇ ἡ στάθμη  $P_{1min}$  καὶ γίνῃ  $P'_{1min}$ , τότε ἡ στάθμη ἐξόδου θα γίνῃ  $P'_{2min}$  καὶ ἡ ἀνωτέρω διαφορά θα γίνῃ  $\Delta P_2 = P'_{2min} - P_0$ . Εἶναι προφανές ὅτι  $\Delta P_2 > \Delta P_1$ .

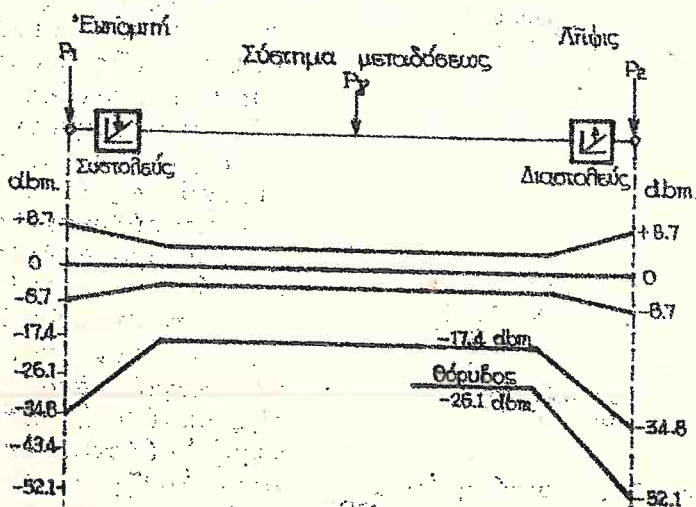
β) Ὁ θόρυβος καθίσταται περισσότερο ἐνοχλητικὸς κατὰ τὸ διάστημα τῶν διακοπῶν τῆς συνδιαλέξεως, ὁπότε καὶ ἀπαιτεῖται ἰδιαίτερα μείωσις τούτου.

Ἐπὶ τῇ βάσει τῶν ἐν λόγῳ δεδομένων, αἱ προϋποθέσεις, αἵτινες πρέπει νὰ τηροῦνται ὑπὸ τοῦ συστοδιαστολέως, εἶναι βασικῶς αἱ κατωθί:

α) Εἰς τὴν ὁδὸν ἐπιπομπῆς πρέπει νὰ υποβιβάζωνται τὰ ἰσχυρὰ καὶ νὰ ἐνισχύωνται τὰ ἀσθενῆ ρεύματα ὁμιλίας.

β) Εἰς τὴν ὁδὸν λήψεως πρέπει νὰ υποβιβάζεται ὁ θόρυβος κατὰ τὴν διάρκειαν τῶν διακοπῶν τῆς συνδιαλέξεως.

γ) Τὸ σύστημα τοῦ συστοδιαστολέως δὲν πρέπει νὰ εἰσάγῃ παραμορφώσεις.

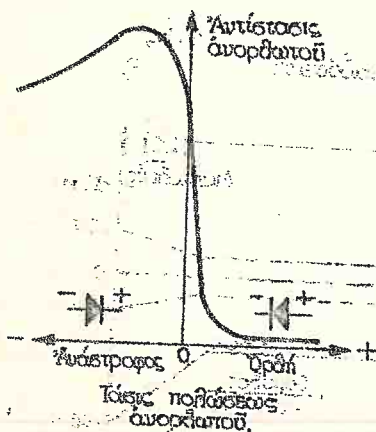


Σχ. 93. Καμπὸι λειτουργίας συστήματος συστοδιαστολέως

Είς τό σχ. 93 δεικνύονται αἱ χαρακτηριστικαί καμπύλαι λειτουργίας ἑνὸς συστήματος συστοδιαστολέως. Εἰς τὴν ὁδὸν ἐκπομπῆς τοποθετεῖται ὁ συστολεύς (COMPRESSOR), ὅστις ἐνισχύει τὰ ἀσθενῆ καὶ υποβιβάζει τὰ ἰσχυρὰ ρεύματα εἰσόδου ( $P_1$ ) μὲ λόγον συστολῆς 2:1. Π.χ. σῆμα ἔχον στάθμην  $P_1 = 34,8 \text{ dBm}$ , θὰ ἐμφανισθῇ εἰς τὴν ἔξοδον τοῦ συστολέως μὲ στάθμην  $P = 17,4 \text{ dBm}$ . Εἰς τὴν ὁδὸν λήψεως τοποθετεῖται ὁ διαστολεύς (EXPANDOR), ὅστις ἐργάζεται μὲ λόγον διαστολῆς 1:2, ὥστε νὰ διορθωθῇ πλήρως ἡ παραμόρφωσις, τὴν ὁποῖαν εἰσήγαγεν εἰς τὴν ἐκπομπὴν ὁ συστολεύς. Π.χ. τὸ ἑνωτέρω σῆμα θὰ φθάσῃ εἰς τὴν εἰσόδον τοῦ διαστολέως μὲ στάθμην  $-17,4 \text{ dBm}$ , ἐνθα θὰ ὑποδιπλασιασθῇ. Συνεπῶς, εἰς τὴν ἔξοδον τοῦ διαστολέως θὰ ἔχῃ τὴν αὐτὴν στάθμην ὡς καὶ εἰς τὴν ἀρχὴν τοῦ συστήματος μεταδόσεως, δηλαδή  $P_2 = P_1 = 34,8 \text{ dBm}$ .

Κατὰ τὰς διακοπὰς τῆς συνδιαλέξεως, ὁ θόρυβος τῆς γραμμῆς ὑποδιπλασιάζεται, εἰς τὸν διαστολέα. Π.χ. ἐάν εἰς τὴν γραμμὴν εἶχεν τιμὴν  $-26,1 \text{ dBm}$ , εἰς τὴν ἔξοδον τοῦ διαστολέως θὰ γίνῃ  $-52,1 \text{ dBm}$ .

Ἡ πραγματοποίησις τῶν κυκλώματων τῶν συστοδιαστολέων βασίζεται ἐπὶ τῆς γνωστῆς ἰδιότητος τῶν διόδων νὰ μειώνουν τὴν ἀντίστασίν των, ὅταν αὐξάνεται ἡ ὀρθή τάσις πολώσεώς των (σχ. 94).



Σχ. 94. Καμπύλη ἀντιστάσεως μιᾶς διόδου.

Εἰς τό σχ. 95 δεικνύεται τὸ βασικὸν διάγραμμα μιᾶς διατάξεως συστοδιαστολέως διὰ τὴν μίαν κατεύθυνσιν μεταδόσεως μιᾶς τηλεφωνικῆς διοδεύσεως (εἰς τὴν ἑλὴν κατεύθυνσιν τοποθετεῖται ὁμοία διάταξις). Τὸ κύκλωμα μεταξύ τῶν μετασχηματιστῶν  $M_1$  καὶ  $M_2$  ἀποτελεῖ στοιχεῖον μεταβλητῆς ἀποσβέσεως, τῆς ὁποίας ἡ ἐλάχιστη τιμὴ ὀρίζεται ἐκ τῆς τάσεως ὀρθῆς πολώσεως τῶν διόδων α καὶ β.

Εἰς τό κύκλωμα τοῦ συστολέως αἱ δίοδοι αὗται εἶναι



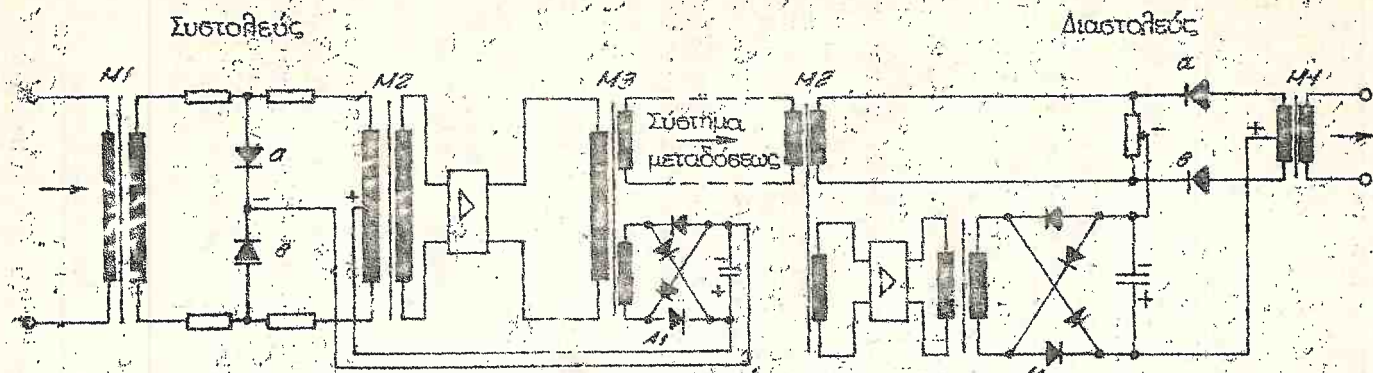
τοποθετημέναι ἐν σειρᾷ, ἐνῷ εἰς τὸ κυκλωμα τοῦ διαστολέως εἶναι ἐν παραλλήλῳ. Εἰς τὸν διαστολέα λαμβάνεται μέρος τοῦ μετασχηματιστοῦ  $M_2$  ἐν μέρος τῶν πρὸς τὴν γραμμὴν μεταδόσεως ἐμπειπομένων ρευμάτων ὁμιλίας καί, ἀφοῦ ἀνορθωθῇ ὑπὸ τῆς γεφύρας  $A_1$ , ἐφαρμόζεται ὡς τάσις πολώσεως εἰς τὰ διόδους  $\alpha$  καί  $\beta$ . Ἐὰν ἡ στάθμη τῶν ρευμάτων ὁμιλίας εἶναι ὑψηλὴ, ἡ τάσις πολώσεως θὰ εἶναι μεγάλη καὶ συνεπῶς ἡ ἀντίστασις τῶν διόδων  $\alpha, \beta$  θὰ μειωθῇ. Ἀλλὰ, ὅταν μειοῦνται ἡ ἐν παραλλήλῳ ἀντίστασις ἐνὸς κυκλώματος ἀυξάνεται ἡ ἀπόσβεσις του. Ἀντιθέτως, τὰ χαμηλῆς στάθμης ρεύματα ὁμιλίας προκαλοῦν αὐξήσιν τῆς ἐν παραλλήλῳ ἀντιστάσεως δηλαδὴ ἐλάττωσιν τῆς ἀποσβέσεως. Εἰς τὸ κυκλωμα τοῦ διαστολέως ἡ δρᾶσις τῶν διόδων  $\alpha, \beta$  εἶναι ἀντίθετος, διότι αὗτοι εἰς τὸ κυκλωμα μεταβλητῆς ἀποσβέσεως εἶναι τοποθετημέναι ἐν σειρᾷ. Ἡ τάσις πολώσεως τῶν διόδων παρέχεται ὑπὸ τῆς γεφύρας  $A_1$ , εἰς τὴν ὅπου ἀνορθοῦνται τὰ προσερχόμενα ρεύματα ὁμιλίας. Ἐὰν ἡ στάθμη τῶν ρευμάτων τούτων εἶναι ὑψηλὴ, ἡ τάσις πολώσεως θὰ εἶναι μεγάλη καὶ συνεπῶς ἡ ἀντίστασις τῶν  $\alpha, \beta$  θὰ εἶναι μικρά. Ὅταν ὅμως μειοῦνται ἡ ἐν σειρᾷ ἀντίστασις ἐνὸς κυκλώματος, μειοῦνται καὶ ἡ ἀπόσβεσις του. Ἀντιθέτως, τὰ χαμηλῆς στάθμης ρεύματα ὁμιλίας καθὼς καὶ ὁ θόρυβος παρέχουν μικρὰν τάσιν πολώσεως, ἡ ὅπου συνεπάγεται μεγάλην τιμὴν τῆς ἐν σειρᾷ ἀντιστάσεως τῶν διόδων καί, συνεπῶς, αὐξήσιν τῆς ἀποσβέσεως τοῦ κυκλώματος μεταξύ  $M_1$  καὶ  $M_2$ .

Σημειωτέον ὅτι κατὰ τὴν διάρκειαν τῆς ὁμιλίας, ὁ θόρυβος υποβιβάζεται ὀλιγώτερον ἀπὸ ὅ,τι κατὰ τὰς διακοπὰς ταύτης, διότι ἡ πόλωσις τῶν διόδων  $\alpha, \beta$  τοῦ διαστολέως ἐξαρτᾶται εἰς τὴν πρώτην περίπτωσιν ἀπὸ τὴν στάθμην τῆς ὁμιλίας, ἥτις εἶναι μεγαλυτέρα ἀπὸ τὴν στάθμην τοῦ θορύβου, ἡ ὅπου παρέχει τὴν πόλωσιν εἰς τὴν δευτέραν περίπτωσιν.

Ἡ χρησιμοποίησις συστοδιαστολέων ἐνδείκνυται εἰς τηλεφωνικὰς διοδεύσεις μεγάλου μήκους, εἰς  $\Phi/\Sigma$  ἐπὶ ἐγερῶν γραμμῶν, τὰ ὅποια εἶναι ἰδιαίτερος εὐαίσθητα εἰς τὴν περισύλληψιν θορύβων καὶ εἰς φερέσυχνα ραδιοφωνικὰ συστήματα, εἰς τὰ ὅποια ἀπαιτεῖται ἐξαιρετικῶς μειωμένη στάθμη θορύβου.

### 12.3. Διευτρώματα προεμφάσεως - ἀποεμφάσεως.

Ὅπως ἐλέχθη εἰς τὸ Κεφ. 12.1 τὰ διευτρώματα ταῦτα βελτιώνουν τὴν σχέσιν τοῦ σήματος ὡς πρὸς τὸν θόρυβον



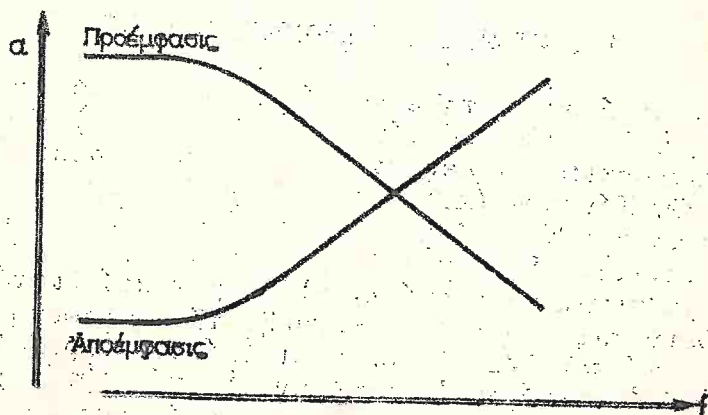
Σχ. 95. Συστοδιαστολέως

εἰς τὴν περιοχὴν τῶν ὑψηλῶν συχνοτήτων, εἰς τὰς ὁποίας, εἶναι ἠδξημένη ἡ ἐπίδρασις τοῦ θορύβου, διὰ τοὺς κάτωθι λόγους:

α) Ἡ ἀπόσβεσις τῶν ὑψηλῶν συχνοτήτων κατὰ τὴν μετάδοσιν τῶν εἶναι μεγαλυτέρα ἐναντι τῶν χαμηλῶν συχνοτήτων καὶ συνεπῶς ὁ λόγος  $\Sigma/\Theta$  μειοῦται εἰς τὴν περιοχὴν τῶν Υ.Σ., λόγῳ μειώσεως τῆς στάθμης τῶν σημάτων.

β) Αἱ ἐνισχυτικαὶ καὶ λοιπαὶ διατάξεις τοῦ συστήματος μεταδόσεως, δὲν εἶναι τελείως γραμμικὰ στοιχεῖα καὶ ὡς ἐκ τούτου παράγονται ἀρμονικαὶ τῶν διαφορῶν συχνοτήτων τοῦ φάσματος μεταδόσεως. Αἱ ἀρμονικαὶ ὅμως τῶν Χ.Σ. τοῦ φάσματος ἐμπίπτουν εἰς τὴν περιοχὴν τῶν Υ.Σ., ἐμφανιζόμεναι, ὡς θόρυβος. Ἐπομένως - καὶ ἐκ τῆς αἰτίας ταύτης - μειοῦται ὁ λόγος  $\Sigma/\Theta$  λόγῳ αὐξήσεως τοῦ θορύβου.

Τὸ δικτυῶμα προεμφάσεως τοποθετεῖται, πρὸ τοῦ ἐνισχυτοῦ ἐκπομπῆς καὶ παρεμβάλλει μεγάλην ἀπόσβεσιν εἰς τὰς Χ.Σ. (σχ. 96). Ἐπομένως εἰς τὴν ἔξοδον τοῦ ἐνισχυτοῦ ἐκπομπῆς αἱ Υ.Σ. θὰ ἐμφανισθοῦν μὲ ἠδξημένην στάθμην ἐναντι τῶν Χ.Σ.



Σχ. 96. Καμπύλη ἀποσβέσεως δικτυωμάτων προεμφάσεως καὶ ἀποεμφάσεως

Εἰς τὴν ὁδὸν λήψεως, τοποθετεῖται τὸ δικτυῶμα ἀποεμφάσεως, τὸ ὁποῖον παρουσιάζει ἀντίστροφον καμπύλην ἀ-



ποικίσεως τοῦ τῆς προεμφάσεως (σχ. 96).

Οὕτως, ἐπανερχεται εἰς τὴν ἀρχικὴν τοῦ τιμῆν τὸ πλάτος τοῦ φάσματος μεταδόσεως, τὸ ὅποion εἶχεν ὑποστῇ παραμόρφωσιν πλάτους λόγῳ τῆς τοποθετήσεως τῆς προεμφάσεως εἰς τὴν ὁδὸν ἐμπομπῆς.

Ὅπως φαίνεται εἰς τὰ σχηματικὰ διαγράμματα τῶν συστημάτων V960 καὶ V2700 (βλέπε σχετικὰ κεφάλαια) ἡ προεμφάσις τοποθετεῖται:

- α) Πρὸ τοῦ ἐνισχυτοῦ λήψεως.
- β) Μετὰ τὴν τελευταίαν διαμόρφωσιν.
- γ) Πρὸ τῆς εἰσαγωγῆς τῶν ὁδηγῶν συχνότητων.

Τὸ δικτύωμα ὑποεμφάσεως τοποθετεῖται:

- α) Μετὰ τὰς διατάξεις αὐτομάτου ρυθμίσεως στάθμης.
- β) Πρὸ τοῦ πρώτου ἀποδιαμορφωτοῦ.

Ὡς δίκτυώματα προεμφάσεως-ὑποεμφάσεως χρησιμοποιοῦνται συνήθως ἐξισωταὶ ἐπιγεφυρωμένου T (βλέπε κεφ. 8.4).

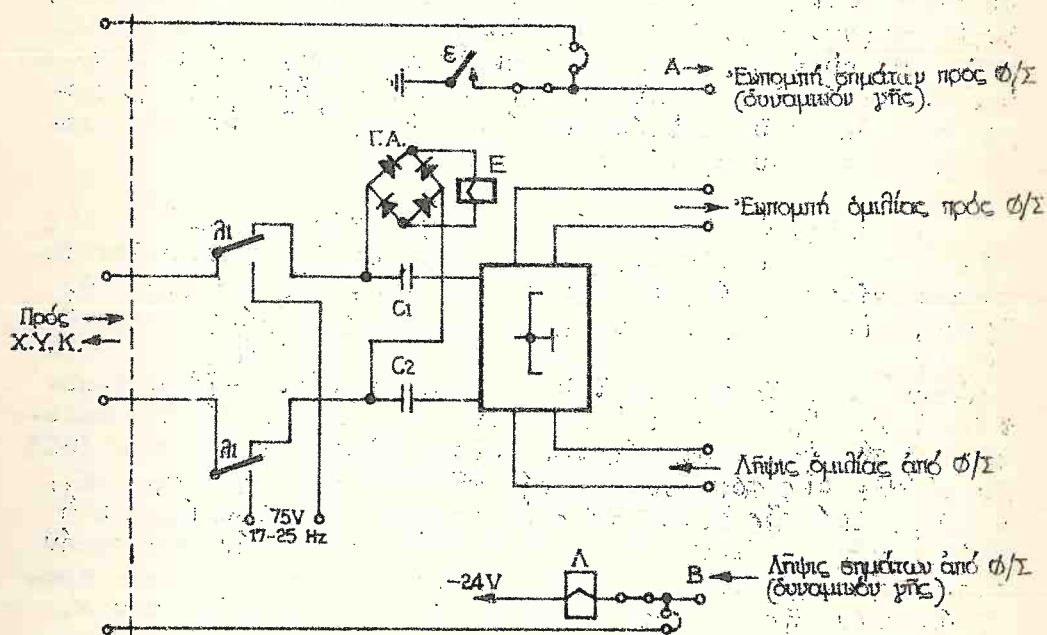
### 13. ΣΥΣΤΗΜΑ ΜΕΤΑΔΟΣΕΩΣ ΣΗΜΑΤΩΝ

Μία φερέσυχνος τηλεφωνικὴ διόδευσις δύναται νὰ χρησιμοποιηθῇ βασικῶς διὰ τὴν ἐξυπηρέτησιν: α) τῆς χειροκινήτου ὑπεραστικῆς τηλεφωνίας μέσω τῶν Χειροκινήτων Ὑπεραστικῶν Κέντρων (Χ.Υ.Κ.) καὶ β) τῆς αὐτομάτου ὑπεραστικῆς τηλεφωνίας μέσω τῶν Αὐτομάτων Ὑπεραστικῶν Κέντρων (Α.Υ.Κ.). Εἰς τὴν πρώτην περίπτωσιν τῆς χειροκινήτου ὑπεραστικῆς τηλεφωνίας, αἱ τερματικαὶ διατάξεις διὰ τὴν ζευξίν τῆς δισυρμάτου γραμμῆς τῆς τηλεφωνητρίας τοῦ Χ.Υ.Κ. μετὰ τοῦ Φ/Σ εὐρίσκονται ἐπὶ τῶν ἰκριαμάτων τῶν Φ/Σ ἢ ἐπὶ ἰδιαιτέρων ἰκριαμάτων εἰς τὸν αὐτὸν χώρον. Εἰς τὴν δευτέραν περίπτωσιν αἱ τερματικαὶ διατάξεις, αἱ ὁποῖαι ζευγνύουν τὴν δισύρματον γραμμὴν τοῦ συνδρομητοῦ μετὰ τοῦ φερεσύχνου εὐρίσκονται εἰς τὰ Α.Υ.Κ.

Διὰ τοῦ γενικοῦ ὅρου: "σήματα", θὰ ἐννοοῦνται τὰ πάσης φύσεως κριτήρια, τὰ ὅποια εἶναι ἀπαραίτητα διὰ τὴν ἐπίτευξιν τῆς συνδέσεως δύο συνδρομητῶν πρὸς διεξα-

γωγήν τῆς συνδιαλέξεως. Π.χ. κλήσεις, παλμοί ἐπιλογῆς, παλμοί χρέωσης, σήματα πέρατος συνδιαλέξεως κ.λ.π.

Ἐάν ἡ τηλεφωνήτρια ἑνὸς Χ.Υ.Κ. ἐπιθυμῇ νὰ καλέσῃ τὴν τηλεφωνήτριαν τοῦ ἐναντι Κέντρου, ἀποστέλλει κλήσεις πρὸς τὸ δισφραγιστικὸν σιῆλος τῆς τερματικῆς διατάξεως, δηλαδὴ ρεῦμα ἐναλλασσομένης τάσεως 60-75 V, συχνότητος 17-25 Hz (σχ. 97). Τὸ ρεῦμα τοῦτο διέρχεται ἀπὸ τὰς ἐν ἡ-ρεμῖα ἐπαφὰς τοῦ ρωστήρος Λ καὶ ἀνορθοῦται ἀπὸ τὴν γέφυ-



Σχ. 97. Μετατροπεὺς κλήσεων μετὰ τῆς τερματικῆς διατάξεως.

ραν ἀνορθώσεως Γ.Α. Τὸ ἀνορθωμένον ρεῦμα προκαλεῖ τὴν δι-έγερσιν τοῦ ρωστήρος Ε, τοῦ ὁποῦ μὴ ἐπαφὴ ἀποστέλλει πρὸς τὸ φερέσυχρον παλμοὺς συνεχοῦς τάσεως (δυναμικὸν γῆς) μέσῳ τοῦ ἀγωγοῦ Α (σχ. 97 καὶ σχ. 98).

Ἐάν ὁ συνδρομητὴς ἑνὸς αὐτομάτου ἀστικοῦ Κέντρου ἐπιθυμῇ νὰ καλέσῃ τὸν συνδρομητὴν μιᾶς ἄλλης πόλεως μέ-σῳ τοῦ Α.Υ.Κ., προκαλεῖ, διὰ τῆς ἐπιλογῆς, τὴν ἔμπομπὴν παλμῶν πρὸς τὸ Α.Υ.Κ., τὸ ὁποῖον μετατρέπει τούτους εἰς παλμοὺς δυναμικοῦ γῆς. Οἱ παλμοὶ οὗτοι ἀφαινοῦνται εἰς τὸ φερέσυχρον μέσῳ τοῦ ἀγωγοῦ Α (σχ. 98).



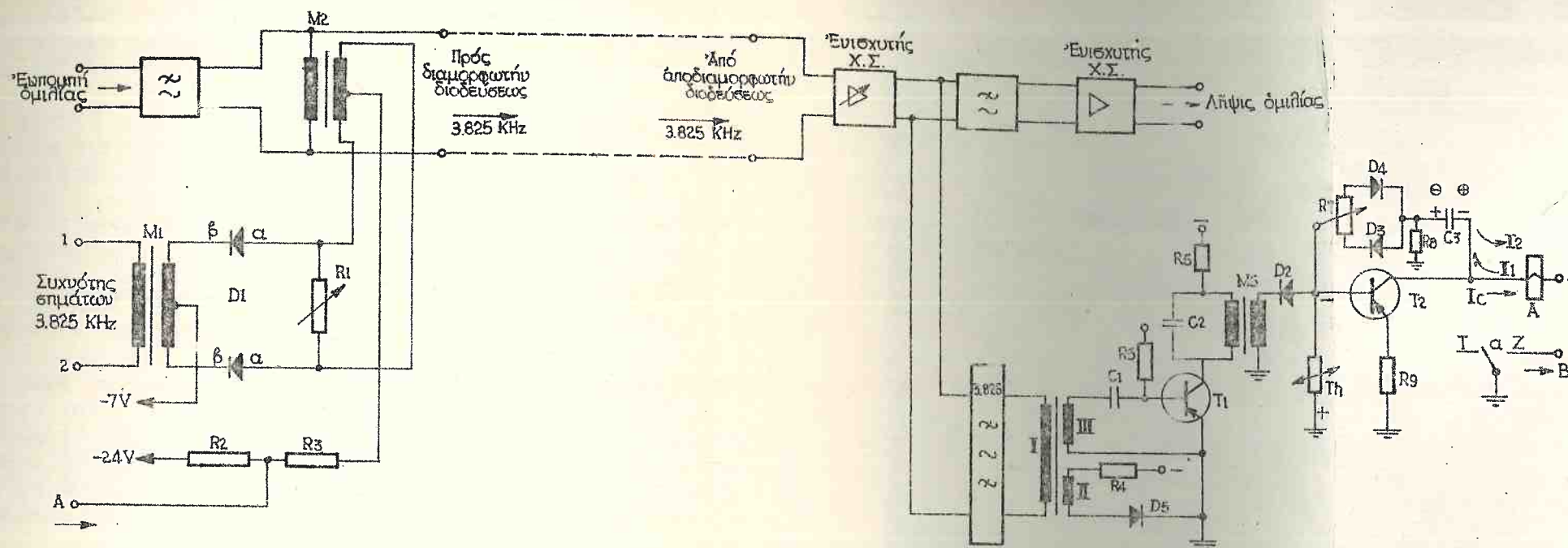
Επίσης είς μίαν ἐκ τῶν μεθόδων τῆς τηλεφωνητριακῆς τηλεπιλογῆς, τὰ κριτήρια ἐπιλογῆς μεταβιβάζονται δι' ἐ-  
δαιτέρων ἀγωγῶν. Εἰς τὴν περίπτωσιν αὐτὴν, τὰ ἐν λόγῳ  
κριτήρια ἀφικνοῦνται ἐπίσης, εἰς τὸ ὄριον Α (σχ. 98)...

Οἱ πυκνωταὶ φραγῆς κλήσεων  $\Theta_1, \Theta_2$  (σχ. 97), υποβι-  
βάξουν τὴν τάσιν τῶν κλήσεων πρὸς τὴν πλευρὰν ἐμπομπῆς  
τοῦ  $\Phi/\Sigma$  διὰ νὰ προστατευθοῦν αἱ διατάξεις τούτου.

Εἰς τὰ ὅρια 1, 2 τοῦ μετασχηματιστοῦ  $M_1$  ὑπάρχει μο-  
νίμως ἡ τάσις σημάτων συχνότητος 3825 Hz ἢ παλαιότερον  
3850 Hz (σχ. 98). Ὅταν δὲν ἐμπέμπωνται σήματα, αἱ δέ-  
οδοι  $D_1$  εὐρίσκονται πολωμέναι ἐναστρόφως, διότι τρέφονται  
ὑπὸ διαφορὰν δυναμικοῦ -17 V, δεδομένου ὅτι εἰς τὴν με-  
σαίαν λήψιν τοῦ  $M_1$  ὑπάρχει τάσις -7 V, ἐνῷ εἰς τὴν με-  
σαίαν λήψιν τοῦ  $M_2$  τάσις -24 V.

Συνεπῶς, ἡ ὁδὸς, διὰ νὰ φθάσῃ ἡ τάσις σημάτων εἰς  
τὸν μετασχηματιστὴν  $M_2$ , εἶναι διςμενομένη. Ὅταν ἐμπέμ-  
πωνται σήματα καὶ γειοῦται τὸ ὄριον Α, αἱ δέοδοι  $D_1$   
ἔχουν, εἰς τὸ κίρον των α, δυναμικὸν γῆς (μέσῳ ἀντιστά-  
σεως  $R_3$  καὶ μεσαίας λήψεως τοῦ  $M_2$ ). Εἰς τὸ κίρον β τῶν  
δεξῶν  $D_1$  ἐξακολουθεῖ ὑφισταμένη ἡ τάσις -7V καὶ, οὐ-  
τω, αἱ  $D_1$  εὐρίσκονται ὑπὸ τάσιν 7 V, ἐλλὰ κατὰ τὴν πολι-  
κότητα τῆς ἀγωγιμότητος των. Οὕτως, ἡ τάσις σημάτων 3825  
Hz φθάνει εἰς τὸν διαμορφωτὴν τῆς διοδεύσεως μέσῳ  $M_1$ ,  
 $D_1, M_2$ . Διὰ τῆς μεταβλητῆς ἀντιστάσεως  $R_1$  ρυθμίζεται ἡ  
στάθμη τῶν σημάτων, ὥστε αὕτη νὰ ἀποκτήσῃ τὴν κανονικὴν  
τῆς τιμὴν -4,3 dBm0. Ἡ ἀντίστασις  $R_2$  ἐμποδίζει τὴν βρα-  
χυκύκλωσιν τῆς τάσεως -24V ἀπὸ τὴν γῆν εἰς τὸ ὄριον Α.  
Ἡ τάσις σημάτων 3825 Hz, εἰσερχομένη εἰς τὸν διαμορφω-  
τὴν διοδεύσεως, ἀκολουθεῖ τὴν αὐτὴν ὁδὸν (διαμορφώσεως,  
ἐποδιαμορφώσεως κ.λ.π.) μὲ τὴν ὁμίλιν καὶ φθάνει εἰς  
τὸ ἐναντι Κέντρον. Μετὰ τὸν ἀποδιαμορφωτὴν τῆς ἀντιστοί-  
χου διοδεύσεως ἡ τάσις σημάτων ἔχει καὶ πάλιν συχνότητα  
3825 Hz. Ἀκολουθεῖ δ' ἐνισχυτὴς  $K, \Sigma$ , εἰς τὴν ἐξοδον  
τοῦ ὁποίου εἰδικὸν φίλτρον ζώνης ἐπιλέγει τὴν συχνότητα  
σημάτων 3825 Hz καὶ τὴν ὁδηγεῖ πρὸς ἐνίσχυσιν εἰς τὸ  
τρανζίστορ  $T_1$ . Τὸ δικτύωμα:  $R_4$ , τύλιγμα II τοῦ  $M_4$ , ὁλο-  
δος  $D_2$  δρᾷ ὡς περιοριστὴς τῶν σημάτων. Μετὰ τὴν ἐνίσχυ-  
σιν ὑπὸ τοῦ τρανζίστορ  $T_1$ , ἡ τάσις σημάτων ἀνορθοῦται  
ὑπὸ τῆς  $D_2$  καὶ ἡ προκύπτουσα συνεχὴς τάσις, ἐφαρμοζομέ-  
νη μεταξὺ βάσεως-ἐμπομποῦ, καθιστᾷ ἀγώγιμον τὸ τρανζί-  
στορ  $T_2$ . Οὕτω, τὸ ρεῦμα συλλέκτου  $I_c$  τοῦ  $T_2$  αὐξάνεται





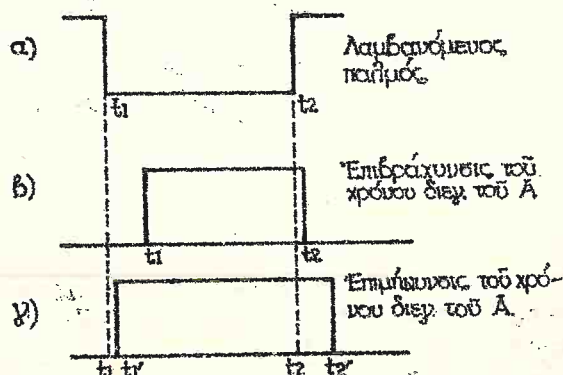
Σχ. 98 Σύστημα εξωζώνου μεταδόσεως σημάτων

καὶ προκαλεῖ τὴν διέγερσιν τοῦ ρωστήρος Α. Ὁ Α διεγερ-  
 ρόμενος, ἐφαρμόζει, διὰ τῆς ἐπαφῆς α, δυναμικὸν γῆς εἰς  
 τὸ ὄριον Β. Ἡ γῆ αὕτη, ἐάν πρόκειται περὶ συνδέσεως μέ-  
 τὰ Α.Υ.Κ. διεγέρει τὰς ἐπιλογιστὰς βαθμίδας τοῦ Κέντρου,  
 ἐνῶ, ἐάν πρόκειται περὶ χειροκινήτου συνδέσεως, ἐφαρμό-  
 ζεται εἰς τὸ ὄριον Β τοῦ μετατροπέως κλήσεων (σχ. 97),  
 προκαλοῦσα τὴν διέγερσιν τοῦ ρωστήρος Α. Αὐτὴ ἐπαφὴ τοῦ-  
 του λ1, λ2 ἀποστέλλουν ἐναλλασσομένην τάσιν 75 V, συ-  
 χνότητος 17-25 Hz πρὸς τὸ Χ.Υ.Κ., ὥστε νὰ εἰδοποιηθῇ ἡ  
 τηλεφωνήτρια τοῦ Κέντρου ὅτι καλεῖται ὑπὸ τῆς τηλεφωνη-  
 τρίας τοῦ ἐναντι Κέντρου.

Μεταξύ συλλέπτου - βάσεως τοῦ  $T_2$  ἔχει τοποθετηθῇ  
 διάταξις διορθώσεως τῆς διάρκειας τῶν λαμβανομένων παλ-  
 μῶν ἐπιλογῆς.

Ἡ διορθώσις ἐπιτυγχάνεται διὰ ἀλγεβρικῆς προσθέσε-  
 ως ἐπὶ τοῦ ρεύματος  $I$  - τὸ ὁποῖον προκαλεῖ τὴν διέγερ-  
 σιν τοῦ Α - τοῦ ρεύματος ἐκφορτίσεως τοῦ πυκνωτοῦ  $C_3$ .  
 Ὅταν δὲν λαμβάνονται σήματα δ  $C_3$  εἶναι φορτισμένος ὑπὸ  
 τάσιν +, - ὡς δεικνύεται εἰς τὸ σχ. 98.

Κατὰ τὴν χρονικὴν στιγμήν τῆς ἀποκαταστάσεως τοῦ  
 μετώπου τοῦ λαμβανομένου παλμοῦ  $t_1$  (σχ. 99), ἐφαρμόζε-  
 ται εἰς τὰ ἄκρα τοῦ  $C_3$ , μέσω τῆς  $D_3$ , ἡ τάσις τοῦ παλμοῦ  
 τούτου. Ἐπειδὴ ὅμως ἡ τάσις αὕτη εἶναι ἐλαστρόφου πολι-  
 νότητος ἐν σχέσει πρὸς τὴν ἐπικρατοῦσαν εἰς τὰ ἄκρα τοῦ  
 $C_3$  τάσιν, οὗτος θὰ ἐκφορτισθῇ μέσω τοῦ κυκλώματος: ἡλεν-



Σχ. 99. Διὰ τὴν ἐπεξήγησιν τοῦ κυκλώμα-  
 τος διορθώσεως τῶν παλμῶν τηλεπιογῆς

τρονόμος  $A, D_3, R_7, Th$ . Το ρεύμα έκφορτίσεως  $I_1$  είναι αντίθετον του ρεύματος  $I_c$  (σχ. 98) και επομένως η χρονική στιγμή  $t_1$ , καθ' ην θα διεγερθῇ ὁ  $A$  έπεται τῆς χρονικής στιγμῆς  $t_1$ . Ἡ διαφορά  $t_1 - t_1$  καθίσταται μέγιστη ὅταν ἐντὸς τοῦ κυκλώματος έκφορτίσεως τεθῇ ὁδὸκληρος ἡ μεταβλητὴ ἀντίστασις  $R_7$ .

Κατὰ τὴν διάρκειαν τοῦ παλμοῦ, ὁ  $C_3$  φορτίζεται ἐκ νέου ἀλλὰ μὲ ἀντίθετον πολικότητα  $\ominus, \oplus$  (σχ. 98). Ὁταν φθάσῃ τὸ μέτωπον λήξεως τοῦ παλμοῦ (χρονική στιγμή  $t_2$ ), ὁ  $C_3$  εκφορτίζεται διότι εἰς τὰ ἄκρα του ἐφαρμόζεται ἡ ἀντιστροφή τῆς πηγῆς τροφοδοτήσεως. Τὸ νέον ρεύμα εκφορτίσεως  $I_2$  μέσω τοῦ κυκλώματος: ἡλεκτρονόμος  $A, D_4, R_7, Th$  είναι ὁμόροπον, τοῦ  $I_1$  καὶ επομένως καθυστερεῖ ἢ ἐποδιέγερσις τοῦ  $A$  (χρονική στιγμή  $t_2$ ). Ἡ διαφορά  $t_2 - t_2$  καθίσταται ἐλάχιστη ὅταν ἡ μεταβλητὴ ἀντίστασις  $R_7$  τεθῇ ἐντὸς τοῦ κυκλώματος εκφορτίσεως ( $A, D_4, R_7, Th$ ).

Ἐκ τῶν ἀνωτέρω προκύπτει ὅτι ἡ θέσις τοῦ δρομεύς τῆς  $R_7$  προκαλεῖ μείωσιν ἢ αὐξήσιν τῆς διάρκειας τοῦ χρόνου διαγέρσεως τοῦ  $A$ , διὰ συνδεδεασμένης δράσεως εἰς τὴν ἀρχὴν καὶ εἰς τὸ πέρας τοῦ παλμοῦ. Πράγματι ἐάν ἐπιθυμεῖται ἐπιβράχυνσις τοῦ χρόνου διεγέρσεως τοῦ  $A$ , ὁ δρομεύς τῆς  $R_7$  θα τεθῇ εἰς τὴν ἄνω θέσιν. Τότε ἡ διαφορά  $t_1 - t_1$  καθίσταται μέγιστη καὶ ἡ διαφορά  $t_2 - t_2$  ἐλάχιστη (σχ. 199 β). Ἀντιθέτως, ὅταν ὁ δρομεύς τῆς  $R_7$  τεθῇ εἰς τὴν κάτω θέσιν ἐπιμηδύνεται ὁ χρόνος διεγέρσεως τοῦ  $A$  διότι ἡ διαφορά  $t_1 - t_1$  καθίσταται ἐλάχιστη καὶ ἡ διαφορά  $t_2 - t_2$  ἐλάχιστη (σχ. 99 γ).

Τὸ ἀνωτέρω σύστημα μεταδόσεως σημάτων καλεῖται ἐξώζωνον διότι ἡ συχνότης τῶν σημάτων 3825 Hz κείται ἐντὸς τῆς ζώνης ὁμιλίας 300-3400 Hz.

Εἰς τὸ ἐξώζωνον σύστημα ὑφίστανται αἱ κάτωθι παραλλαγαι:

α) Ἡ συχνότης σημάτων ἐκτέμπεται μὲ ὑψηλὴν στάθμην μόνον κατὰ τὴν μετάδοσιν τῶν σημάτων (ὡς ἡ προηγουμένως ἀναφερθεῖσα περίπτωσις).

Ἡ παραλλαγή αὕτη χαρακτηρίζεται ὡς ἐκπομπή ὑψηλῆς στάθμης ἐργασίας.



β) Η συχνότης σημάτων εκπέμπεται με χαμηλήν στάθμην μόνον κατά τήν μετάδοσιν τών σημάτων (έκπομπή χαμηλής στάθμης έργασίας).

γ) Η συχνότης σημάτων εκπέμπεται συνεχώς με χαμηλήν στάθμην καί διακοπτεται μόνον κατά τήν μετάδοσιν τών σημάτων (έκπομπή χαμηλής στάθμης ήρεμίας).

Πέραν τών άνωτέρω, ύφίστανται καί συστήματα έσωζώνου μετάδοσεως σημάτων, τά όποια χρησιμοποιούν τās συχνότητας 3000, 2600, 2400, 2280, 2040 2000 ή 500/20 Hz (συχνότης 500 Hz διακοπτομένη είς τόν ρυθμόν τών 20 Hz). Τά έν λόγω συστήματα χρησιμοποιούν είδικάς διατάξεις προφυλάξεως έν τών ρευμάτων όμιλίας, τά όποια, έλλως, θά ήτο δυνατόν νά διεγείρουν τό σύστημα λήψεως σημάτων. Είς τό σχ. 100 παρίσταται ό δέκτης σημάτων είς έσωζώνον σύστημα καθώς καί ή διάταξις προστασίας (ή όδος έκπομπής δέν διαφέρει έκείνης τοϋ σχ. 98).

α) Δέκτης σημάτων: Μετά τόν άποδιαμορφωτήν τής δι-οδεύσεως, ή ζώνη 300 - 3400 Hz είσάγεται είς τόν ένισχυτήν Χ.Σ. Είς τήν έξοδον τοϋ ένισχυτοϋ, τοποθετείται τό τυλίγμα I τοϋ μετασχηματιστοϋ  $M_1$ . 'Ο μετασχηματιστής ού-τος διαθέτει τρία δευτερεύοντα. Μέσω τοϋ τυλίγματος IV όδηγούνται τά ρεύματα όμιλίας πρός τήν πλευράν λήψεως τής τερματικής διατάξεως. 'Η συχνότης σημάτων ένισχυέ-ται υπό τοϋ τρανζίστορ  $T_1$  καί άνορθοϋται υπό τής γεφύ-ρας  $\Gamma_1$ . 'Η προκύπτουσα συνεχής τάσις πολώνει άγωγίμως τό τρανζίστορ  $T_2$ , τοϋ όποίου τό ρεύμα συλλέκτου διεγεί-ρει τόν ήλεκτρονόμον Α. 'Η έπαφή τούτου α, έφαρμόζει δυ-ναμισμόν γής είς τό όριον Β.

β.) Διάταξις προστασίας.

Τά ρεύματα όμιλίας επάγονται καί επί τών τυλιγμάτων II καί III τοϋ  $M_1$ . Τά ρεύματα όμιλίας, έν τοϋ τυλίγματος II, ένισχύονται από τό τρανζίστορ  $T_3$  καί άνορθοϋνται άπό τής γεφύρας  $\Gamma_2$ . 'Η προκύπτουσα συνεχής τάσις πολώνει κατά τήν όρθήν φοράν τās διόδους  $D_1$ ,  $D_4$ , τών όποίων, οϋ-δή ή άντίστασις σχεδόν μηδενίζεται. Αλλά, αί όδοι  $D_1$ ,  $D_4$  είναι τοποθετημένοι έν παραλλήλῳ πρός τό κύκλωμα είσόδου τοϋ τρανζίστορ  $T_1$ . Επομένως, κατά τήν διάρκει-αν τής όμιλίας, τό κύκλωμα είσόδου τοϋ  $T_1$  είναι έν βρα-χυκυκλώσει καί, κατά συνέπεια, δέν είναι δυνατόν νά δι-εγερθῇ ό ρωστήρ Α.

Κατά τήν διάρκειαν λήψεως τῶν σημάτων, ταῦτα ἐπα-  
γονται καί εἰς τό τύλιγμα II. Τό κύκλωμα, ὅμως,  $L_1$ -ὅ εἴ-  
ναι συντονισμένον εἰς τήν συχνότητα σημάτων. Ἄρα τοῦτο  
παρουσιάζει μεγάλην ἀντίστασιν εἰς τήν συχνότητα τῶν ση-  
μάτων (σχ. 32), τὰ ὅποια, οὕτως, δέν εἶναι εἰς θέσιν  
νά παράγουν τάσιν ἱκανήν ὥστε νά πολωθοῦν αἱ δίοδοι  
 $D_1 - D_4$  καί νά βραχυκυκλώσουν τήν ἐξοδον τοῦ  $T_1$ .

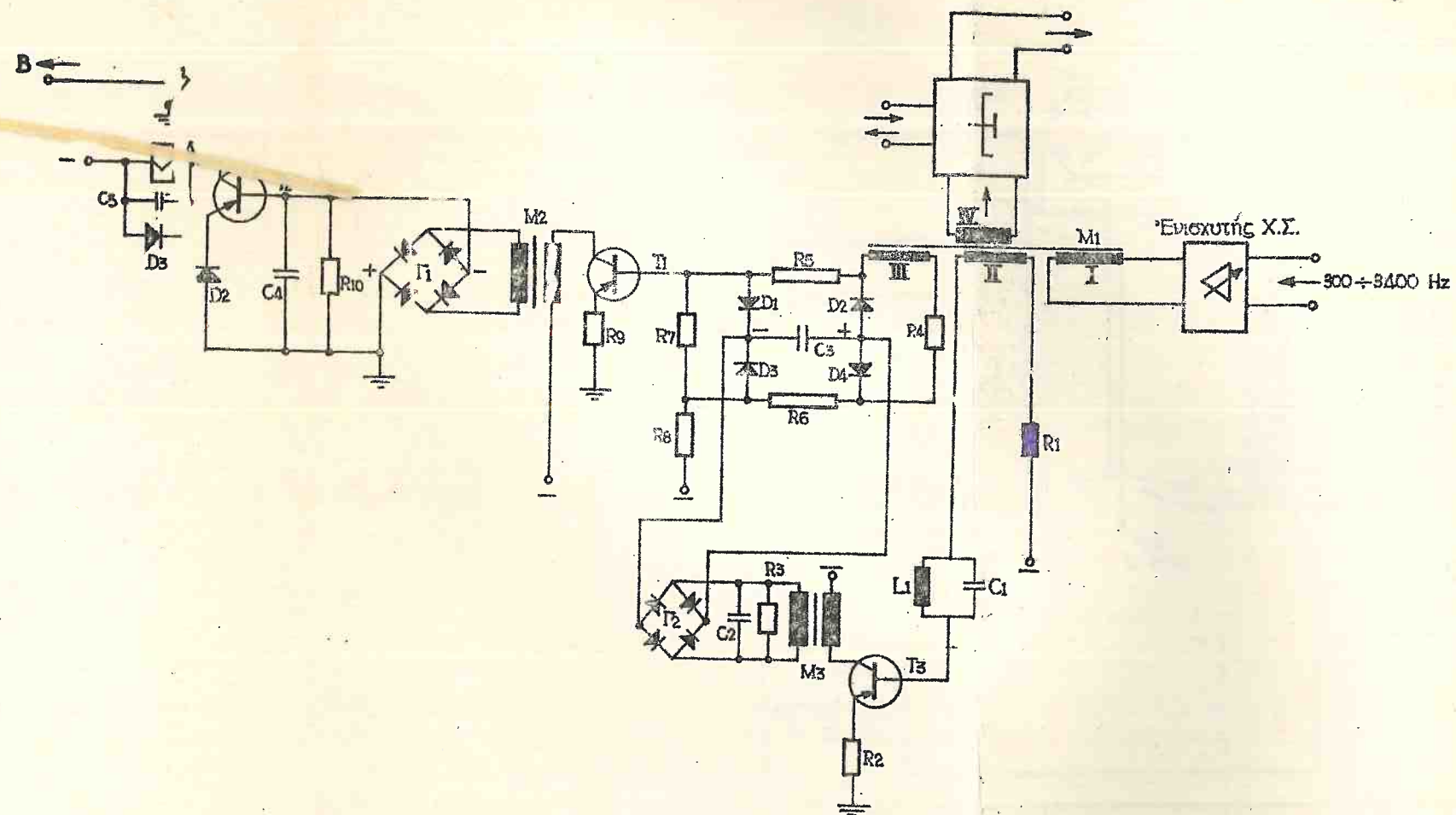
#### 14. ΔΙΑΤΑΞΕΙΣ ΤΗΛΕΦΩΝΗΤΡΙΑΚΗΣ ΤΗΛΕΠΙΛΟΓΗΣ

Αἱ διατάξεις τηλεφωνητριακῆς τηλεπιλογῆς χρησιμο-  
ποιοῦνται διά τήν ἡμιαυτόματον σύνδεσιν δύο Κέντρων. Μέ-  
σω τῶν διατάξεων τούτων ὁ ὑπεραστινός μεταλλάκτικος μιᾶς  
πόλεως A καθίσταται ἄστινός συνδρομητικῆς τοῦ ἄστινοῦ (ἢ  
μικροαστινοῦ) Κέντρου τῆς πόλεως B. Διά νά ἐπιτευχθῇ  
τοῦτο, ἔχουν προταθεῖ μερικοί μέθοδοι, ἐξ ὧν περιγράφε-  
ται κατωτέρω μία, ἡ ὅποια ἔχει εὐρεῖαν ἐφαρμογήν παρ'  
ἡμῖν. Δέον νά τονισθῇ ὅτι ἡ ἐν συνεχείᾳ περιγραφομένη  
διάταξις δέν ἀποτελεῖ τμήμα τοῦ Φ/Σ ἔστω καί ἐάν εἰς  
πολλὰς περιπτώσεις τοποθετεῖται ἐπ' τοῦ ἰδίου ἰκρίωμα-  
τος.

Εἰς τό Κέντρον τῆς πόλεως A τοποθετεῖται ὁ μεταφο-  
ρεύς 590, ἐνῶ εἰς τό ἕτερον Κέντρον τοποθετεῖται ὁ με-  
τασχηματιστής  $M_2$ , ὅστις συνδέεται πρὸς τόν προεπιλογέα  
(ἢ τόν συνδρομητικόν παροχέα) τοῦ ἄστινοῦ (ἢ μικροαστι-  
νοῦ) Κέντρου. Ἐπ' πλέον, εἰς τό Κέντρον αὐτό ἡ ἐπαφή α  
τοῦ ρωστήρος λήψεως κλήσεων συνδεσμολογεῖται ὡς εἰς τό  
σχ. 101.

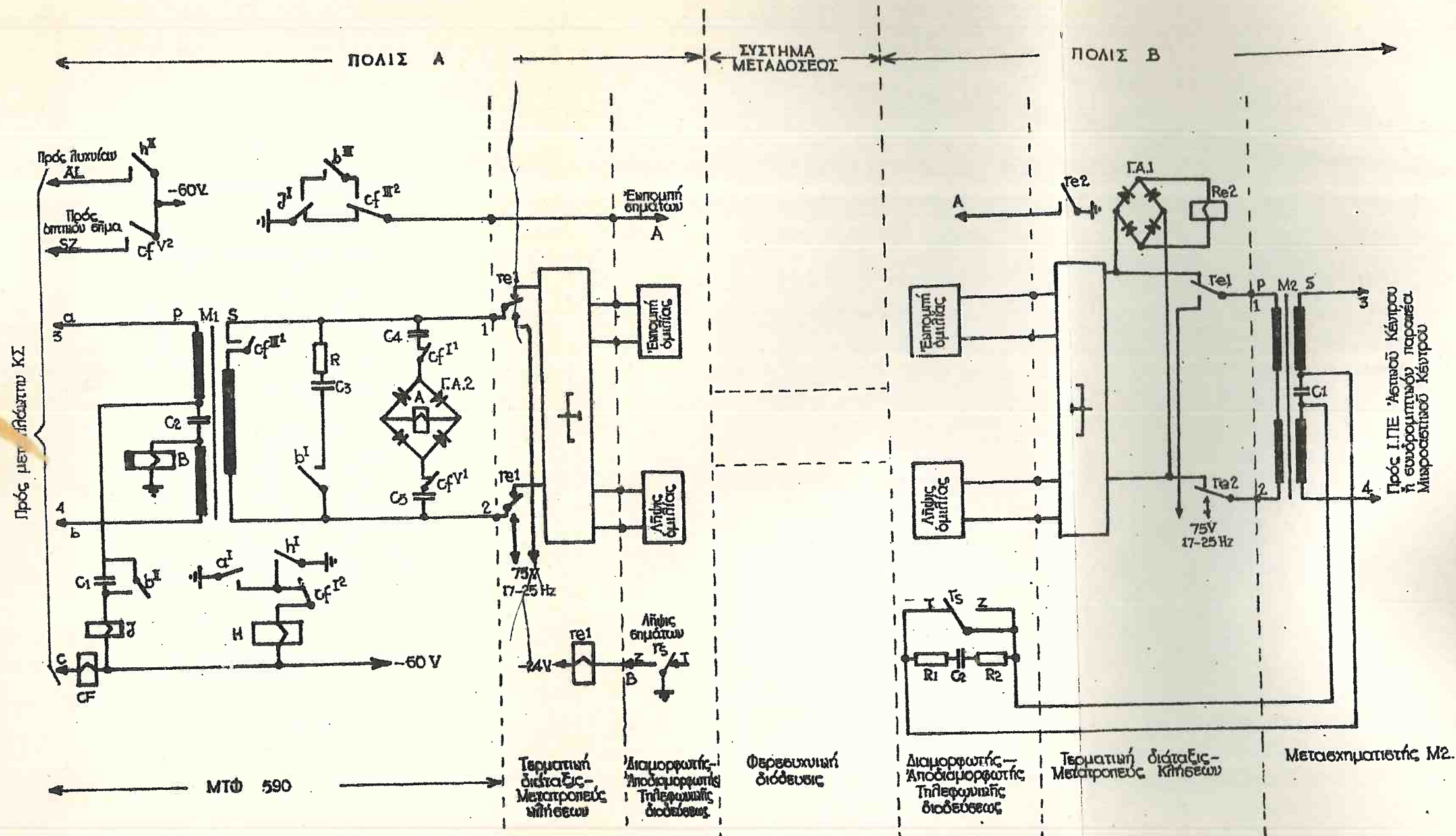
Ἐπενθυμίζεται ὅτι τὰ κυριώτερα ἐπιλογικά κριτήρια  
διά μίαν αὐτόματον σύνδεσιν εἶναι ἡ κατάληψις, ἡ ἐπιλο-  
γή καί ἡ ἀπόλυσις. Τὰ κριτήρια ταῦτα μεταβιβάζονται μέ-  
σω παλμῶν, οἱ ὅποιοι ἐμπέμπονται διά διακοπῆς καί ἀπο-  
καταστάσεως τοῦ συνδρομητικοῦ βρόχου. Εἰς τήν περίπτω-  
σιν τῆς τηλεφωνητριακῆς τηλεπιλογῆς ὡς συνδρομητικὸς  
βρόχος θεωρεῖται τὸ δευτερεῦον S τοῦ μετασχηματιστοῦ  $M_2$ .

Κατωτέρω θά ἐξετασθῇ ἡ μεταβίβασις τῶν ἐν λόγῳ κρι-  
τηρίων καί διά τὰς δύο κατευθύνσεις ἐπικοινωνίας.



Σχ 10) Δέκτης σημείου μετά διατάξεως προστασίας του των ρευμάτων όμολας  
 C<sub>5</sub> σύστημα θεώων η μεταδόσεως κηρίσεως





Σχ. 101 Διάταξη τηλεφωνικής τηλεμετρίας σε μετακίνητων κεντρικών συστημάτων

# 14.1. Μεταλλεικής Κεντρικής συστοιχίας

## 14.1.1. Κατεύθυνσις Α προς Β

### Κατάστασις ήρεμίας

Είς τήν κατάστασιν ήρεμίας υφίσταται τό κάτωθι κύκλωμα (1):

(1): Γή είς ΜΤΦ 590-έπαφή  $J^I$ -έπαφή  $cf^{III^2}$ -Α έμπομπή σημάτων - έφίξις σημάτων 3825 Hz είς Κέντρον Β-διέγερσις ρωστήρος Α-μεταγωγή έπαφής α είς θέσιν Ζ.

Λόγω του κύκλωματος αυτού, ό συνδρομητικός βρόχος (δευτερεύον του  $M_2$ ) είναι άνοικτός.

### Κατάληψις

Η τηλεφωνήτρια εισάγει τό βύσμα είς τήν κυψέλην, ότε εφαρμόζεται γή είς άγωγόν C. Ούτω διεγείρεται ό ρωστήρ CF είς τό κύκλωμα (2).

(2): Γή είς άγωγόν C-ρωστήρ CF-τάσις-60V.

Η έπαφή  $cf^{III^1}$  συνδέει τό δευτερεύον S του  $M_2$ .

Η έπαφή  $cf^{V^2}$  διεγείρει τό όπτιόν σήμα SZ καταλήψεως τής γραμμής.

Αί έπαφαι  $cf^{I^1}$  καί  $cf^{V^1}$  διακόπτουν τό κύκλωμα διεγέρσεως του ρωστήρος λήψεως κλήσεων  $A_1$ .

Η έπαφή  $cf^{I^2}$  διακόπτει τό κύκλωμα διεγέρσεως του ρωστήρος H.

Η έπαφή  $cf^{III^2}$  διακόπτει τό κύκλωμα (1), μεταγομένης ούτω τής έπαφής α είς τό κέντρον Β είς τήν θέσιν T. Κατόπιν αυτού βραχυκυκλοῦται, ό πυκνωτής  $C_1$  είς τόν  $M_2$  καί συνεπώς, άποκαθίσταται ό συνδρομητικός βρόχος. Διά τής άποκατάστασεως του βρόχου καταλαμβάνεται ή πρώτη έπιλογική βαθμής είς τό αυτόματον Κέντρον. Η κατάληψις αύτη αναγγέλεται είς τήν τηλεφωνήτριαν διά του σήματος έλευθέρας έπιλογής, τό όποιον, προσρχόμενον έν του αυτούματου Κέντρου, εφαρμόζεται είς τό δευτερεύον του  $M_2$ . Έν συνεχείᾳ τό σήμα αυτό άκολουθεϊ τήν γνωστήν όδόν έμπομ-

πῆς - λήψεως διηλίας καὶ φθάνει εἰς τὰ ὅρια 3-4 τοῦ ΜΤΦ 590. Ἐάν δὲν καταληφθῇ ἡ πρώτη ἐπιλογικὴ βαθμὶς, τότε ἐκ τοῦ ἀστικοῦ κέντρου ἐκπέμπεται τὸ γνωστὸν σῆμα "κατεilahμμένον".

### Ἐπιλογή

Ὅταν ἡ τηλεφωνήτρια κατὰ τὴν ἐπιλογὴν ἐνὸς ψηφίου στρέφει τὸν δίσκον ἐπιλογῆς ἐφαρμόζεται δυναμικὸν τάσεως εἰς τὸν ἄγωγόν B καὶ διεγείρεται ὁ ρωστήρ B, ὅστις, ἐπειδὴ εἶναι βραδύπτωτος, παραμένει ἐν διεγέρσει καθ' ὅλην τὴν διάρκειαν τῆς μεταβιβάσεως τῶν παλμῶν τοῦ ἐπιλογέντος ψηφίου.

Κατὰ τὴν ἐπιστροφὴν τοῦ δίσκου ἐπιλογῆς διακρίνεται καὶ ἀποκαθίσταται δυναμικὸν γῆς εἰς τὸν ἄγωγόν α. Ὁ ἀριθμὸς τῶν διακρίσεων καὶ ἀποκαταστάσεων ἀντιστοιχεῖ πρὸς τὸ ἐπιλεγέν ψηφίον. Διὰ τοῦ τρόπου αὐτοῦ διακρίνεται καὶ ἀποκαθίσταται τὸ κύκλωμα διεγέρσεως τοῦ ρωστήρος J:

(3): -60V-ρωστήρ J-ἐπαφὴ B<sup>II</sup>-ἄγωγός α (διακροτομένη γῆ).

Ἡ διεγερσις καὶ ἀποκατάστασις τοῦ J διακρίνεται καὶ ἀποκαθίσταται τὸ κύκλωμα (4):

(4): Γῆ εἰς ΜΤΦ 590-ἐπαφὴ J<sup>I</sup>-ἐπαφὴ B<sup>III</sup>-ἐπαφὴ OF<sup>III</sup>-ἐκπομπὴ σημάτων - λήψις σημάτων εἰς κέντρον B-μεταγωγὴ τῆς ἐπαφῆς α.

Μέσω τῆς ἐπαφῆς α διακρίνεται καὶ ἀποκαθίσταται ὁ συνδρομητικὸς βρόχος καὶ πραγματοποιεῖται ἡ ἐπιλογή.

Κατὰ τὴν διάρκειαν τῆς συνδιαλέξεως τὸ κύκλωμα (4) εἶναι διακεκομμένον καὶ, συνεπῶς, ἡ ἐπαφὴ α εἰς τὴν θέσιν T.

### Ἀπόλυσις

Ἡ τηλεφωνήτρια ἐξάγει τὸ βύσμα ἀπὸ τὴν κυψέλην καὶ ἀπολύεται ὁ ἠλεκτρονόμος OF. Ὅπως, ἀποκαθίσταται τὸ κύκλωμα (1), τὸ ὁποῖον ἀντιστοιχεῖ εἰς τὴν κατάστασιν ἡ-ρεμίας.



#### 14.1.2. Κατεύθυνσις B πρὸς A

##### Κατάστασις ἡρεμίας

Δέν ἐκπέμπονται κλήσεις 3825 Hz πρὸς τὴν κατεύθυνσιν B-A.

Ἀστικός συνδρομητής τῆς πόλεως B καλεῖ τὸν ὑπεραστι-  
κὸν μεταλλάντην τῆς πόλεως A.

Εἰς τὴν περίπτωσιν αὐτὴν, μέσω τοῦ καταληφθέντος τελικοῦ ἐπιλογέως, ἐφαρμόζονται κλήσεις 75V εἰς τὰ ὅρια 3-4 τοῦ μετασχηματιστοῦ  $M_2$ .

Αἱ κλήσεις ἀνορθοῦνται ὑπὸ τῆς γεφύρας τῶν ἀνορθω-  
τῶν ΓΑ<sub>1</sub> καὶ προκαλοῦν τὴν διέγερσιν τοῦ ρωστήρος B. Ἡ  
ἐπαφή τούτου ἐφαρμόζει δυνάμικόν γῆς εἰς τὸ ὅριον ἐμπο-  
πῆς σημάτων. Τὰ σήματα συχνῶς 3825 Hz φθάνουν εἰς τὸ Κέν-  
τρον B καὶ προκαλοῦν τὴν διέγερσιν τοῦ ρωστήρος A. Ἡ ἐ-  
παφή α διεγείρει τὸν A, τοῦ ὁποῦ αἱ ἐπαφαὶ λ<sub>1</sub>, λ<sub>2</sub> ἐ-  
φαρμόζουν κλήσεις 75V εἰς τὰ ὅρια 1-2 τοῦ ΜΤΦ 590. Αἱ  
κλήσεις ἀνορθοῦνται ὑπὸ τῆς ΓΑ<sub>2</sub> καὶ διεγείρουν τὸν ρω-  
στήρα A<sub>1</sub>. Ἡ ἐπαφή τούτου α<sub>1</sub> προκαλεῖ τὴν διέγερσιν τοῦ  
H εἰς τὸ κύκλωμα (5).

(5): Τάσις -60V- ρωστήρ H-ἐπαφή α<sub>1</sub><sup>I 2</sup> -ἐπαφή α<sub>1</sub><sup>I</sup>-Γ<sub>1</sub>η.

II. Μέσω τῆς H<sup>I</sup> αὐτοσυγκρατεῖται ὁ H ἐνῶ μέσω τῆς I  
H προκαλεῖται ἡ ἀφή τῆς λυχνίας AL, διὰ τὴν εἰδοποιηθῇ  
ἡ τηλεφωνήτρια, ὅτι καλεῖται.

Ἡ τηλεφωνήτρια, διὰ τὴν ἀπάντησιν, εἰσάγει τὸ βύσμα  
εἰς τὴν κυψέλην καὶ προκαλεῖται ἡ διέγερσις τοῦ ρωστήρος  
CF, ὡς εἰς τὸ κύκλωμα (2).

Ἡ ἐπαφή α<sub>1</sub><sup>I 2</sup> προκαλεῖ τὴν ἀποδιέγερσιν τοῦ H (δια-  
νοπή κυκλώματος (5) καὶ, ἐπομένως, σβέσιν τῆς λυχνίας  
AL.

III<sup>a</sup> Ἡ ἐπαφή α<sub>1</sub><sup>III a</sup> προκαλεῖ τὴν διανοπὴν τοῦ κυκλώμα-  
τος (1). Οὕτως, ἡ ἐπαφή α εἰς τὸ Κέντρον B μεταγεται εἰς  
τὴν θέσιν T καὶ ἀποκαθίσταται ὁ συνδρομητικὸς βρόχος. Κα-  
τόπιν αὐτοῦ διακόπτεται ἡ ἀποστολὴ κλήσεων ἐκ τοῦ αὐτο-  
μέτου Κέντρου.

πῆς - λήψεως διηλίας καὶ φθάνει εἰς τὰ ὅρια 3-4 τοῦ ΜΤΦ 590. Ἐὰν δὲν καταληφθῇ ἡ πρώτη ἐπιλογικὴ βαθμὶς, τότε ἐκ τοῦ ἀστικοῦ κέντρου ἐκπέμπεται τὸ γνωστὸν σῆμα "κατελημμένον".

### Ἐπιλογή

Ὅταν ἡ τηλεφωνήτρια κατὰ τὴν ἐπιλογὴν ἐνδὲς ψηφίου στρέφει τὸν δίσκον ἐπιλογῆς ἐφαρμόζεται δυναμικὸν τάσεως εἰς τὸν ἄγωγόν Β καὶ διεγείρεται ὁ ρωστήρ Β, ὅστις, ἐπειδὴ εἶναι βραδύπτωτος, παραμένει ἐν διεγέρσει καθ' ὅλην τὴν διάρκειαν τῆς μεταβιβάσεως τῶν παλμῶν τοῦ ἐπιλογέντος ψηφίου.

Κατὰ τὴν ἐπιστροφὴν τοῦ δίσκου ἐπιλογῆς διακρίνεται καὶ ἀποκαθίσταται δυναμικὸν γῆς εἰς τὸν ἄγωγόν Α. Ὁ ἀριθμὸς τῶν διακρίσεων καὶ ἀποκαταστάσεων ἀντιστοιχεῖ πρὸς τὸ ἐπιλεγέν ψηφίον. Διὰ τοῦ τρόπου αὐτοῦ διακρίνεται καὶ ἀποκαθίσταται τὸ κύκλωμα διεγέρσεως τοῦ ρωστήρος J:

(3): -60V-ρωστήρ J-ἐπαφὴ B<sup>II</sup>-ἄγωγός α (διακοπτομένη γῆ).

Ἡ διεγερσις καὶ ἀποκατάστασις τοῦ J διακρίνεται καὶ ἀποκαθίσταται τὸ κύκλωμα (4):

(4): Γῆ εἰς ΜΤΦ 590-ἐπαφὴ J<sup>I</sup>-ἐπαφὴ B<sup>III</sup>-ἐπαφὴ α<sup>III</sup>-ἐκπομπὴ σημάτων - λήψις σημάτων εἰς κέντρον B-μεταγωγὴ τῆς ἐπαφῆς α.

Μέσω τῆς ἐπαφῆς α διακρίνεται καὶ ἀποκαθίσταται ὁ συνδρομητικὸς βρόχος καὶ πραγματοποιεῖται ἡ ἐπιλογή.

Κατὰ τὴν διάρκειαν τῆς συνδιαλέξεως τὸ κύκλωμα (4) εἶναι διακεκομμένον καὶ, συνεπῶς, ἡ ἐπαφὴ α εἰς τὴν θέσιν T.

### Ἀπόλυσις

Ἡ τηλεφωνήτρια ἐξάγει τὸ βύσμα ἀπὸ τὴν κυψέλην καὶ ἀπολύεται ὁ ἠλεκτρονόμος ΟΦ. Ὀυτως, ἀποκαθίσταται τὸ κύκλωμα (1), τὸ ὁποῖον ἀντιστοιχεῖ εἰς τὴν κατάστασιν ἡ-ρεμίας.

## 14.1.2. Κατεύθυνσις B πρὸς A

## Κατάστασις ἡρεμίας

Δέν ἐκπέμπονται κλήσεις 3825 Hz πρὸς τὴν κατεύθυνσιν B-A.

Ἀστικός συνδρομητής τῆς πόλεως B καλεῖ τὸν υπέρτασιν-κὸν μεταλλάντην τῆς πόλεως A.

Εἰς τὴν περίπτωσιν αὐτήν, μέσω τοῦ καταληφθέντος τελικοῦ ἐπιλογέως, ἐφαρμόζονται κλήσεις 75V εἰς τὰ ὅρια 3-4 τοῦ μετασχηματιστοῦ  $M_2$ .

Αἱ κλήσεις ἀνορθοῦνται ὑπὸ τῆς γεφύρας τῶν ἀνορθωτῶν ΓΑ<sub>1</sub> καὶ προκαλοῦν τὴν διέγερσιν τοῦ ρωστήρος Ε. Ἡ ἐπαφή τούτου ἐφαρμόζει δυνάμιν γῆς εἰς τὸ ὅριον ἐμπομπῆς σημάτων. Τὰ σήματα συχνῶς 3825 Hz φθάνουν εἰς τὸ Κέντρον B καὶ προκαλοῦν τὴν διέγερσιν τοῦ ρωστήρος Α. Ἡ ἐπαφή α διεγείρει τὸν Α, τοῦ ὁποῦ αἱ ἐπαφαὶ λ<sub>1</sub>, λ<sub>2</sub> ἐφαρμόζουν κλήσεις 75V εἰς τὰ ὅρια 1-2 τοῦ ΜΤΦ 590. Αἱ κλήσεις ἀνορθοῦνται ὑπὸ τῆς ΓΑ<sub>2</sub> καὶ διεγείρουν τὸν ρωστήρα Α<sub>1</sub>. Ἡ ἐπαφή τούτου α<sub>1</sub> προκαλεῖ τὴν διέγερσιν τοῦ Η εἰς τὸ κύκλωμα (5).

(5): Τάσις-60V- ρωστήρ Η-ἐπαφή α<sub>1</sub><sup>I 2</sup> -ἐπαφή α<sub>1</sub><sup>I</sup>-Γ<sub>1</sub>ῆ.

II. Μέσω τῆς Η<sup>I</sup> αὐτοσυγκρατεῖται ὁ Η ἐνῶ μέσω τῆς I<sup>I</sup> προκαλεῖται ἡ ἀφή τῆς λυχνίας AL, διὰ νὰ εἰδοποιηθῇ ἡ τηλεφωνήτρια, ὅτι καλεῖται.

Ἡ τηλεφωνήτρια, διὰ νὰ ἀπαντήσῃ, εἰσάγει τὸ βύσμα εἰς τὴν κυψέλην καὶ προκαλεῖται ἡ διέγερσις τοῦ ρωστήρος CF, ὡς εἰς τὸ κύκλωμα (2).

Ἡ ἐπαφή α<sub>1</sub><sup>I 2</sup> προκαλεῖ τὴν ἀποδιέγερσιν τοῦ Η (διανοπὴ κυκλώματος (5) καὶ, ἐπομένως, σβέσιν τῆς λυχνίας AL.

III<sup>a</sup> Ἡ ἐπαφή α<sub>1</sub><sup>III a</sup> προκαλεῖ τὴν διανοπὴν τοῦ κυκλώματος (1). Οὕτως, ἡ ἐπαφή α εἰς τὸ Κέντρον B μεταγεται εἰς τὴν θέσιν T καὶ ἀποκαθίσταται ὁ συνδρομητικὸς βρόχος. Κατόπιν αὐτοῦ διακόπτεται ἡ ἀπροστολή κλήσεων ἐκ τοῦ αὐτομάτου Κέντρου.



Απόλυσις

Ἡ τηλεφωνήτρια ἐξάγει τὸ βύσμα καὶ διακρίπτεται τὸ κύκλωμα συγκρατήσεως τοῦ ρωστήρος CF. Οὕτως, ἀποκαθίσταται τὸ κύκλωμα ἡρεμίας (1).

14.2. Μεταλλάκτης τοπικῆς συστοιχίας

Ἐὰν εἰς τὴν πόλιν Α ὑφίσταται μεταλλάκτης τοπικῆς συστοιχίας, δὲν τοποθετεῖται ΜΤΦ 590, ἀλλὰ μὴ κυψέλη τοῦ μεταλλάντου συνδεσμολογεῖται ὡς εἰς τὸ σχ. 102.

Εἰς τὴν κατάστασιν ἡρεμίας, μέσῳ τοῦ ἀγωγοῦ C τῆς κυψέλης ἀποστέλλεται συνεχῶς ἡ τέσις σημάτων 3825 Hz πρὸς τὸ Κέντρον Β.

Ἐὰν ἡ τηλεφωνήτρια ἐπιθυμῇ νὰ καλέσῃ ἀστυκὸν συνδρομητὴν τῆς πόλεως Β, εἰσάγει βύσμα εἰς τὴν κυψέλην, ὅτε διακρίπτεται, μέσῳ τῶν ἐλασμάτων τῆς κυψέλης, ἡ ἀποστολὴ τῶν κλήσεων. Οὕτω, πραγματοποιεῖται ἡ κατάληψις.

Κατὰ τὴν ἐπιλογὴν, μέσῳ τῆς ἐπαφῆς πρὸς τοῦ ὀρίσκου ἐπιλογῆς ἐφαρμόζονται παλμοὶ γῆς πρὸς τὸ ὄριον ἐκπομπῆς σημάτων Α.

Ἡ ἀπόλυσις ἐπιτυγχάνεται δι' ἐξαγωγῆς τοῦ βύσματος ἐκ τῆς κυψέλης.

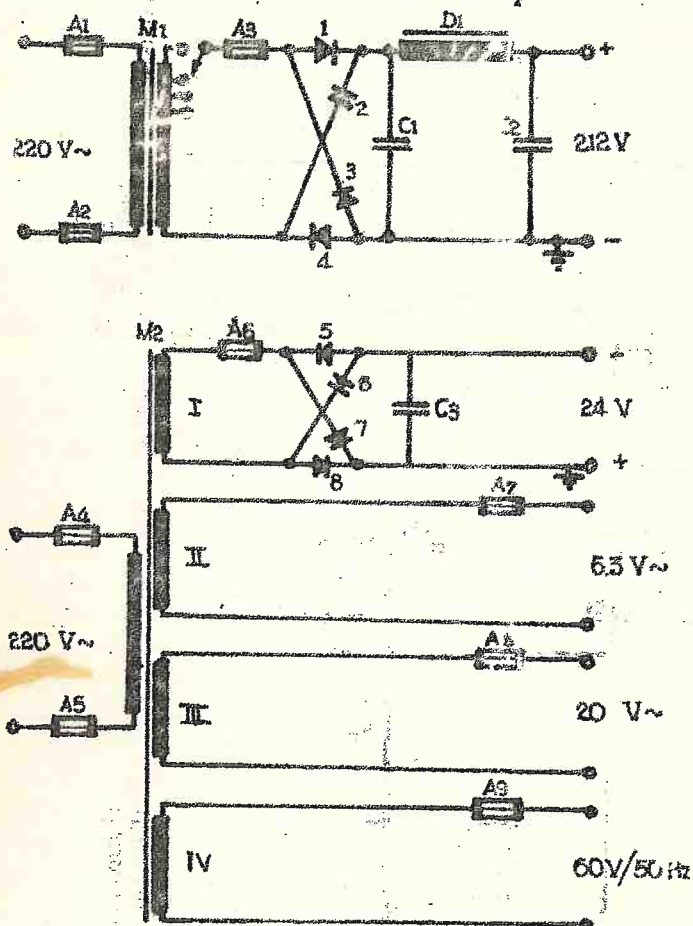
Ὅταν ἡ τηλεφωνήτρια καλῇται ὑπὸ συνδρομητοῦ τῆς πόλεως Β, διεγείρεται ὁ ἀγγελτήρ Α ὑπὸ τῆς τάσεως κλήσεων 75V. Οὕτως, εἰδοποιεῖται ἡ τηλεφωνήτρια ὅτι καλεῖται καὶ εἰσάγει βύσμα εἰς τὴν κυψέλην. Διὰ τῆς ἐνεργείας ταύτης διακρίπτεται ἡ ἀποστολὴ τῆς συχνότητος 3825Hz πρὸς τὸ ἐναντι Κέντρον καὶ συνεπῶς, ἡ ἐπαφὴ α εἰς τὸ Κέντρον αὐτὸ μεταφέρεται εἰς τὴν θέσιν T (σχ. 101). Μέσῳ τῆς α ἀποκαθίσταται ὁ συνδρομητικὸς βρόχος καὶ διακρίπτεται ἡ ἀποστολὴ κλήσεων ἐκ τοῦ αὐτομάτου Κέντρου.

15. ΤΡΟΦΟΔΟΤΙΚΑΙ ΔΙΑΤΑΞΕΙΣ.

Ἡ τροφοδοτήσις τῶν φερεοσυστημάτων πραγματοποιεῖται εἴτε μέσῳ κοινῶν τροφοδοτικῶν διατάξεων μεγάλης ἰσχύος εἴτε μέσῳ ἰδιαιτέρας δι' ἑκαστον ἱκρίωμα Φ/Σ μονάδος τροφοδοτήσεως. Εἰς ἀμφοτέρας τὰς περιπτώσεις, παρέχονται πρὸς τὸ Φ/Σ αἱ ἀπαραίτητοι τάσεις λειτουργίας, ὑπὸ κατ'ἀλληλον ἰσχύν.



Εἰς τὸ σχ. 103 δεινύεται ἡ μονὰς τροφοδοτήσεως ἐνὸς συστήματος 12 τηλεφωνικῶν διοδεύσεων, τὸ ὁποῖον χρησιμοποιεῖ ἡλεκτρονικὰς λυχνίας. Ὁ μετασχηματιστὴς  $M_1$ , ἡ γέφυρα τῶν ἀνορθωτῶν I ἕως 4 καὶ τὸ φίλτρον ἐξομαλύνσεως  $D_1$ ,  $C_1$ ,  $C_2$  παρέχουν τὴν ἀνοδικὴν τάσιν τῶν λυχνιῶν +212 V.



Σχ. 103. Μονὰς τροφοδοτήσεως ἐνὸς Φ/Σ, χρησιμοποιοῦντος ἡλεκτρονικὰς λυχνίας.

Τὰ τυλίγματα II καὶ III παρέχουν τὰς ἐναλλασσομέ-



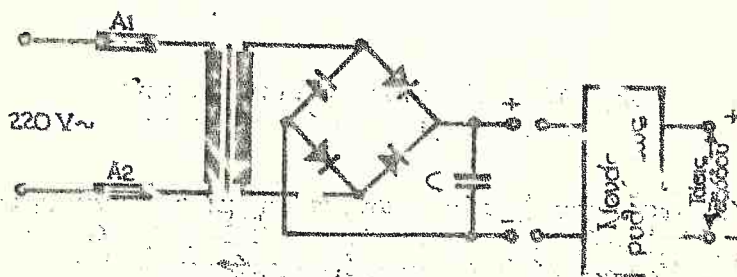
νάς τάσεις 6,3 V καί 20V διά τά νήματα θερμάνσεως τών δύο διαφορετικοῦ τύπου λυχνιῶν, διά τών ὁποίων εἶναι ἐφωδιασμένον τό σόστημα.

Τέλος, τό τύλιγμα IV παρέχει τήν τάσιν κλήσεων 60V/50 Hz.

Τά στοιχεῖα  $A_1 - A_9$  εἶναι ἀσφάλειαι τών ἐπὶ μέρους τμημάτων τῆς τροφοδοτικῆς διατάξεως.

Όταν τό  $\Phi/\Sigma$  ἐργάζεται διά τρανζίστορ, τότε ἡ μονάς τροφοδοτήσεως πρέπει νά παρέχῃ τήν συνεχή τάσιν λειτουργίας τών τρανζίστορ, ἡ ὁποία εἶναι συνήθως μικρᾶς τιμῆς (π.χ. 24V), τήν τάσιν σηματοδοτήσεως καί τήν τάσιν κλήσεων.

Ἡ βαθμὶς, ἡ ὁποία παρέχει τήν τάσιν λειτουργίας τών τρανζίστορ, ἀποτελεῖται ἀπὸ δύο τμήματα: τό τμήμα ἀνορθώσεως τῆς ἐναλλασσομένης τάσεως τοῦ δικτύου καί τήν μονάδα ρυθμίσεως (σχ. 104).

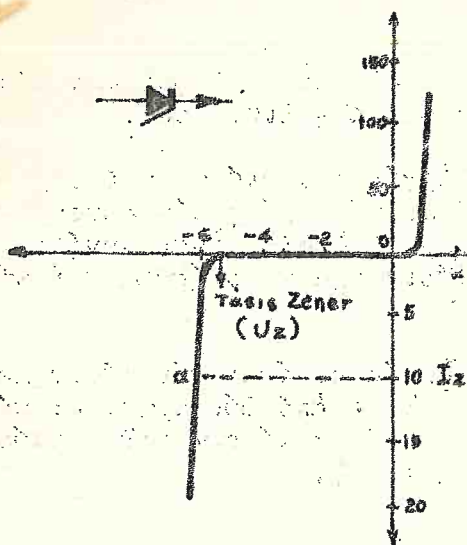


Σχ. 104. Τροφοδοτικόν  $\Phi/\Sigma$ , χρησιμοποιοῦντος τρανζίστορ.

Ἡ μονάς αὕτη ἔχει ὡς προορισμόν νά διατηρῇ σταθεράν τήν τάσιν ἐξόδου, ὅταν τό ρεῦμα τῆς κατανάλωσεως μεταβάλλεται μεταξύ μιᾶς μεγίστης καί μιᾶς ἐλαχίστης τιμῆς.

Ἡ λειτουργία τῆς μονάδος ταύτης βασίζεται, συνηθῶς ἐπὶ τῶν ἰδιοτήτων τῆς διόδου ZENER. Ἡ καμπύλη λειτουργίας μιᾶς διόδου ZENER φαίνεται εἰς τό σχ. 105. Συμφώνως

πρός τήν καμπύλην ταύτην, ἡ δίοδος συμπεριφέρεται ὡς συνήθης δίοδος, όταν εἰς τὰ ἄκρα τῆς ἐφαρμοσθῇ τάσις ὁρθῆς πολικότητος. Κατά τήν ἀναστροφον ὁμοίως πολικότητα



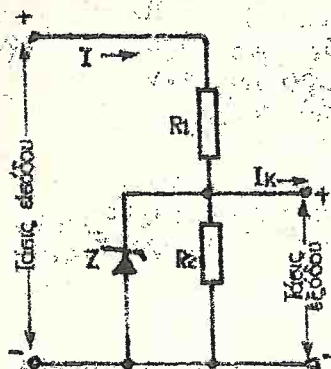
Σχ. 105. Χαρακτηριστική καμπύλη λειτουργίας δίοδου Zener.

καί μάλιστα όταν ἡ τάσις ἀποκτήσῃ μίαν συγκεκριμένην τιμήν  $U_z$ , ἡ ὁποία καλεῖται τάσις ZENER, ἡ δίοδος διαρρέεται ἀποτόμως ὑπό ρεύματος ἀναστροφῆς φορᾶς.

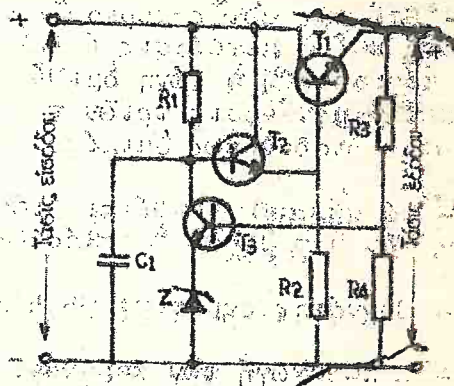
Ἐν ἀπλοῦν κύκλωμα ρυθμίσεως τῆς τάσεως ἐξόδου δια τῆς χρήσεως δίοδου ZENER φαίνεται εἰς τό σχ. 106. Ἡ τάσις ἐξόδου λαμβάνεται εἰς τὰ ἄκρα τῆς ἀντιστάσεως  $R_2$ , ἡ ὁποία μετὰ τῆς  $R_1$  ἀποτελεῖ διαιρέτην τάσεως. Ὄταν ἡ τάσις ἐξόδου ἔχῃ τήν κανονικήν τῆς τιμήν, τότε τό σημεῖον λειτουργίας τῆς δίοδου εὐρίσκεται περίπου εἰς τό μέσον τῆς καμπύλης ἀναστροφῆς φορᾶς (σημεῖον α εἰς σχ. 105). Ἡ δίοδος διαρρέεται τότε ὑπό τοῦ ρεύματος κανονικῆς λειτουργίας, τό ὅποion καλεῖται ρεῦμα ZENER ( $I_z$ ).

Ἐάν π.χ. τό ρεῦμα τῆς κατανάλωσεως  $I_H$  αὐξηθῇ, τότε

θα αύξηθῃ καὶ τὸ ρεύμα  $I$  καὶ θα μειωθῇ ἡ τάσις εἰς τὰ ἄκρα τῆς  $R_2$ . Συνεπῶς, ἡ ἀνάστροφος τάσις, ἡ ὁποία ἐφαρμόζεται ἐπὶ τῆς ZENER, θα αύξηθῇ καὶ δι' αὐτῆς θα διέλθῃ ρεύμα μικροτέρας ἐντάσεως. Οὕτω, τὸ συνολικὸν ρεύμα  $I$  ἐπανέρχεται εἰς τὴν κανονικὴν του τιμὴν καὶ, ἐπομένως, ἡ τάσις ἐξόδου θα διατηρηθῇ σταθερά.



Σχ. 106. Ἀπλοῦν κύκλωμα χρησιμοποιοῦ-  
σεως Zener



Σχ. 107. Σταθεροποι-  
ησις τάσεως μέσῳ Ze-  
ner.

Εἰς τὴν πρᾶξιν δὲν χρησιμοποιεῖται τὸ ἀπλοῦν κύκλωμα τοῦ σχ. 106, διότι τὸ ρεύμα τὸ ὁποῖον ἐπιτρέπεται νὰ διέλθῃ διὰ τῆς ZENER, εἶναι μικρὰς συνήθως τιμῆς καὶ δὲν ἐπαρκεῖ διὰ τὰς ἀνάγκας τῆς κατανάλωσews. Διὰ τοῦτο χρησιμοποιεῖται διάταξις ἐνισχύσεως διὰ τρανζίστορ, ἡ ὁποία ἐπιτρέπει τὴν ἐπιτετάλλευσιν τοῦ φαινόμενου ZENER εἰς μεγάλας τιμὰς ρεύματος (σχ. 107).

### III. ΠΕΡΙΓΡΑΦΑΙ ΦΕΡΕΣΥΣΤΗΝΩΝ ΠΗΛΕΚΟΝΙΚΩΝ ΣΥΣΤΗΜΑΤΩΝ

#### 16 Φ/Σ 3 ΔΙΟΔΕΥΣΕΩΝ ΤΥΠΟΥ PST-L3

##### 16.1. Γενικὰ χαρακτηριστικά.

- Διὰ τοῦ Φ/Σ PST-L3 ἐπιτυγχάνεται ἡ μετάδοσις μέσῳ ἑναερίου γραμμῆς, τριῶν διοδοδεύσεων. Τὸ τερματικὸν Κέντρον, τὸ ὁποῖον ἐκπέμπει τὴν ζώνην συχνοτήτων 4-16



KHz και λαμβάνει την ζώνη 18-31 KHz καλείται Κέντρον Α, ενώ το έτερον Κέντρον, το όποιον εκπέμπει την ζώνη 18-31 KHz και λαμβάνει την ζώνη 4-16 KHz, καλείται Κέντρον Β.

- Μεγίστη απόστασις μεταξύ των δύο τερματικών Κέντρων 300 Km.

- Η επί της αὐτῆς περιοχῆς συχνότητων 4-31 KHz εἶναι δυνατή καὶ ἡ μετάδοσις 6 τηλεγραφικῶν διοδοῦσεων, ἐνῶ, εἰάν περιορισθῇ ἡ ζώνη ὀμίλιας 300-3400 Hz, εἶναι δυνατή καὶ ἡ μετάδοσις τριῶν τηλεγραφικῶν διοδοῦσεων μέσῳ ἐκδοτικῆς διοδοῦσεως ὀμίλιας.

- Τὸ σύστημα διαθέτει διάταξιν αὐτομάτου ἐξισορροπήσεως τῶν μεταβολῶν ἀποσβέσεως τῆς ἐναερίου γραμμῆς.

- Συχνότης σημάτων: 3825 Hz.

- Ἡ παραγωγή τῶν φερουσῶν συχνότητων ἐπιτυγχάνεται διὰ διαιρέσεως τῆς συχνότητος ἐνός κρυσταλλικοῦ ταλαντωτοῦ 248 KHz.

#### 16.2. Σχέδιον συχνότητων (σχ. 108).

Εἰς τοὺς διαμορφωτὰς διοδοῦσεων χρησιμοποιοῦνται αἱ φέρουσαι 96, 92, 88, KHz (ἀντιστοίχως, διὰ τὰς διοδοῦσεις 1, 2, 3) καὶ ἐπιλέγεται ἡ κατὰ παρά πλευρος ζώνη. Σχηματίζεται, οὕτως, ἡ ζώνη συχνότητων 84-96 KHz, ἡ ὅποια διαμορφώνει τὴν φέρουσαν τοῦ διαμορφωτοῦ γραμμῆς διὰ τὴν πρᾶκτικὴν ἡ ζώνη ἐκπομπῆς. Ἡ φέρουσα αὕτη, ἔχει διαφορετικὴν τιμὴν συχνότητος, ἐξαρτωμένην ἀπὸ τὸν τερματικὸν σταθμὸν (Α ἢ Β) καὶ ἀπὸ τὸν τύπον μετάδοσεως, ὁ ὅποιος χρησιμοποιοῦται. Ὡς δεικνύεται εἰς τὸ σχ. 108, ὑπάρχουν 4 τύποι (E, F, G, H). Ἡ ὑπαρξίς τῶν 4 τύπων εἰς τὰ ἐναέρια κυκλώματα τῆς αὐτῆς ἀρτηρίας καθιστᾷ τὴν διάφωσιν ἀνεπὶληπτον. Διὰ τὴν κατανόησιν τοῦτου, ἔστω τὸ κατωθι παράδειγμα: Εἰς τὸν διαμορφωτὴν τῆς καὶ διοδοῦσεως ἐνός Β τερματικοῦ τύπου E, ἔστω ὅτι εἰσέρχεται συχνότης 2000 Hz, ἡ ὅποια διαμορφώνει τὴν φέρουσαν 96 KHz. Εἰς τὴν ἔξοδον τοῦ διαμορφωτοῦ θὰ ἐμφανισθῇ ὡς συχνότης:  $96 - 2 = 94$  KHz, ἐνῶ εἰς τὴν ἔξοδον τοῦ διαμορφωτοῦ γραμμῆς ὡς συχνότης:  $114 - 94 = 20$  KHz.

Ἐστὼ, ὅτι ἡ συχνότης τῶν 20 KHz εἰσέρχεται, λόγῳ

ήν ζώνην 18-31 KHz καλείται Κέντρον  
ντרון, τό όποϊόν εκπέμπει τήν ζώνην  
ναι τήν ζώνην 4-16 KHz, καλείται Κέν-

σις μεταξύ τών δύο τερματικών Κέντρων

περιοχής συχνοτήτων 4-31 KHz είναι  
σις 6 τηλεγραφικών διοδεύσεων, ένψ,  
νη δμιλίας 300-3400 Hz, είναι δυνα-  
τριών τηλεγραφικών διοδεύσεων μέσφ  
δμιλίας.

θέτει διάταξιν αὐτομάτου εξισορροπή-  
σποσβέσεως τής έναερίου γραμμής.

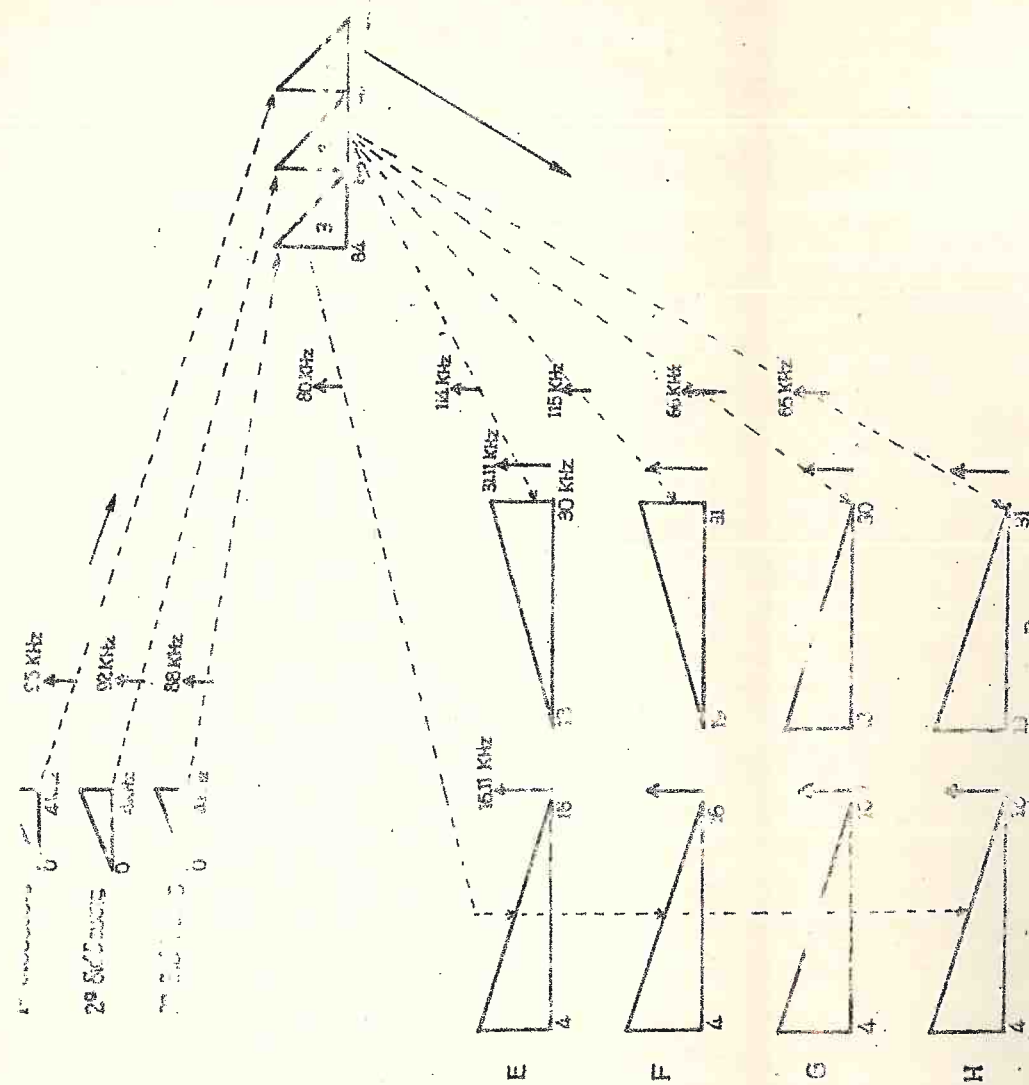
ων: 3825 Hz.

φερουσών συχνοτήτων επιτυγχάνεται  
συχνότητος ενός κρυσταλλικού ταλαντω-

τήτων (σχ. 108).

ρρωτάς διοδεύσεων χρησιμοποιούνται  
88, KHz (άγτιστοίχως, διά τας διο-  
έπιδόγεται ή κάτω παράπλευρος ζώνη.  
ή ζώνη συχνοτήτων 84-96 KHz, ή δ-  
ν, φέρουσαν τοῦ διαμορφωτοῦ γραμμής  
ψη εκπομπής. Η φέρουσα αὕτη έχει  
συχνότητων, εξαορτωμένην ἀπό τόν τε-  
ή B) καί ἀπό τόν τύπον μεταδόσεως  
ται. Ως δεικνύεται εἰς τό σχ. 108,  
I, F, G, H). Η ὕπαρξις τών 4 τύπων εἰς  
α τής αὐτῆς ἀρτηρίας καθιστά τήν δια-  
Διά τήν κατανόησιν τούτου, ἔστω τό  
Εἰς τόν διαμορφωτήν τής 1ης διοδεύ-  
μοῦ τύπου E, ἔστω ὅτι εἰσέρχεται  
ή ὁποία διαμορφώνει τήν φέρουσαν 96.  
τοῦ διαμορφωτοῦ θά ἐμφανισθῇ ὡς συχ-  
ένψ εἰς τήν ἔξοδον τοῦ διαμορφωτοῦ  
: 114-94=20 KHz.

χνότης τών 20 KHz εἰσέρχεται, λόγω



Σχ. 103 Στάθμω φρεσίνου PSI-L3 (αίματος πρὸς  
τῆς αὐτῆς τῆς αὐτῆς)



διαφωνίας, εις τὸ ἐναέριον κύβητα ἐνός ἑλλου φερουσίου  
 τοῦ τύπου F. Αὕτη θὰ ἀποδιαμορφωθῇ εἰς τὸν ἀποδιαμορφώ-  
 τήν γραμμῆς μέ φέρουσιν 115 KHz καὶ εἰς τὴν ἔξοδον τοῦ  
 ἀποδιαμορφωτοῦ θὰ ἐμφανισθῇ ὡς συχνότης:  $115 - 20 = 95$  KHz.  
 Ἡ συχνότης αὕτη θὰ ἀποδιαμορφωθῇ εἰς τὸν ἀποδιαμορφωτήν  
 τῆς 1ης διοδεύσεως τῇ βοηθεῖα τῆς φερύσης 96 KHz καὶ  
 θὰ προκύβῃ ἡ χαμηλὴ συχνότης:  $96 - 95 = 1$  KHz. Δηλαδή, μία  
 συχνότης ὁμιλίας 2 KHz εἰς τὸ σύστημα τύπου E ἐνέφαν-  
 σθη, λόγῳ διαφωνίας, εἰς τὸ σύστημα τύπου F ὡς συχνό-  
 τος 1 KHz. Τοῦτο σημαίνει, ὅτι ἡ ὑφισταμένη διαφωνία  
 κατέστη ἀκατάληπτος.

### 16.3. Ὁδὸς ἐκπομπῆς (σχ. 109)

Τὰ ἐκ τοῦ συνδρομητοῦ ἐπιτεμπόμενα ρεύματα ὁμιλίας  
 φθάνουν εἰς τὰ ὅρια τῆς τερματικῆς διατάξεως καὶ μέ-  
 σω τοῦ σιέλους ἐκπομπῆς ταύτης εἰς μετασχηματιστήν. Ἐπι-  
 τρεπομένη στάθμη εἰς τὴν εἰσοδὸν τοῦ μετ/τοῦ ἀπὸ -14 dB  
 ὡς +4 dB. Ἀκολουθοῦν: στοιχεῖον ἀποσβέσεως, περιοριστῆς  
 καὶ δύο στοιχεῖα ἀποσβέσεως. Τὸ ἐπόμενον φίλτρον ζώνης  
 ἐπιτρέπει τὴν εἰσοδὸν εἰς τὸν διαμορφωτὴν διοδεύσεως  
 τῶν σημάτων ὁμιλίας, τὰ ὅποια καταλαμβάνουν τὴν περιοχὴν  
 συχνότητων 300-3400 Hz. Εἰς τὸν διαμορφωτὴν εἰσάγεται  
 καὶ ἡ φέρουσα 96 KHz καὶ οἱ ἀπὸ τοῦ ἀκολουθοῦντος φίλτρου  
 ἐπιλέγεται ἡ ἐνω παράπλευρος ζώνη 92-96 KHz. Αἱ ἔξοδοι  
 τῶν ἐντιστοιχῶν φίλτρων καὶ τῶν ἑλλων διοδεύσεων ἐνοῦν-  
 ται, σχηματιζομένης οὕτω τῆς ζώνης συχνότητων 84-96 KHz  
 (στάθμη -46 dB). Ἡ ζώνη αὕτη ἐνισχύεται καὶ εἰσάγεται  
 εἰς τὸν διαμορφωτὴν γραμμῆς, ἐνθα εἰσάγεται καὶ ἡ κατὰ  
 ἄλλος φέρουσα (βλέπε ἐνωτέρω σχέδιον συχνότητων). Ἀκολου-  
 θοῦν ἐν φίλτρον διελεύσεως ζώνης, τὸ ὅποῖον ἐπιλέγει τὴν  
 ἐπιθυμητὴν παράπλευρον ζώνην, καὶ εἰς ἐνισχυτῆς. Εἰς τὴν  
 εἰσοδὸν τοῦ ἐνισχυτοῦ εἰσάγεται καὶ ἡ ὁδηγὸς συχνότης  
 διὰ τὴν αὐτόματον ρύθμισιν τῆς ἐξισώσεως. Μετὰ τὸν ἐνι-  
 σχυτὴν ἀκολουθεῖ ἐν διητύμα, διὰ τὴν διόρθωσιν τῶν ἀ-  
 νωμασιῶν εἰς τὰ ἔκτρα τῆς καμπύλης διελεύσεως τοῦ φίλτρου  
 κατευθύνσεως ἐκπομπῆς. Πρὸ τοῦ τελικοῦ ἐνισχυτοῦ ἐκπομ-  
 πῆς ὑπάρχει στοιχεῖον ἀποσβέσεως, ρυθμιζόμενον ἀπὸ 0 ἕ-  
 ως 7,5 dB εἰς βήματα τοῦ 0,5 dB. Τὸ φίλτρον κατευθύνσε-  
 ως ἐκπομπῆς ἐπιτρέπει, ἐν συνδυασμῷ μετὰ τοῦ φίλτρου κα-  
 τευθύνσεως λήψεως, τὸν διαχωρισμὸν τῆς ὁδοῦ ἐκπομπῆς ἀ-  
 πὸ τὴν ὁδὸν λήψεως. Εἰς τὸν τερματικὸν Α, τὸ φίλτρον κα-  
 τευθύνσεως ἐκπομπῆς εἶναι βαθυπερατὸν καὶ τὸ φίλτρον κα-  
 τευθύνσεως λήψεως ὑπερατὸν. Εἰς τὸν τερματικὸν Β, τὰ



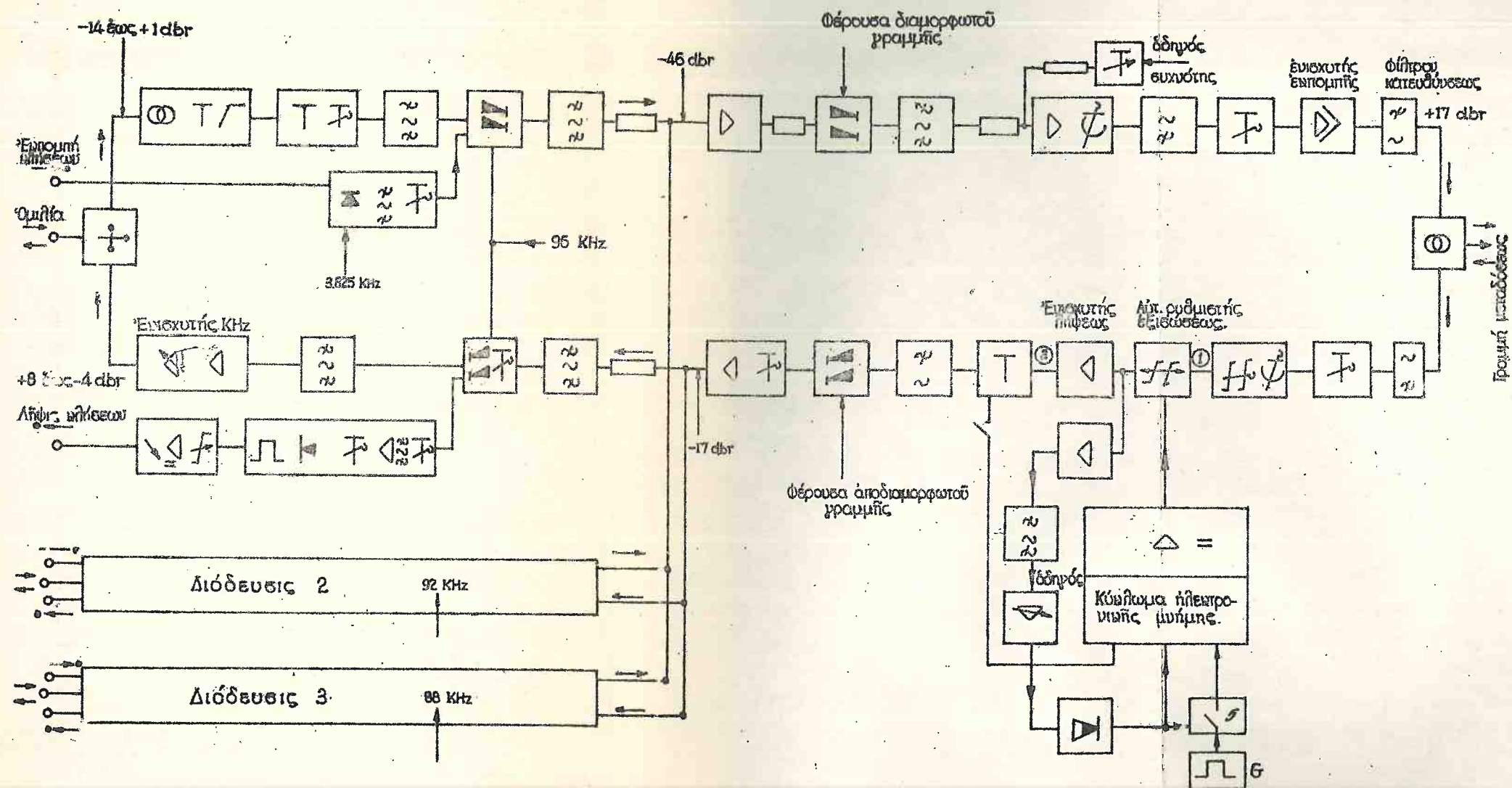
δύο φίλτρα αντιμετατίθενται. Μεταξύ των φίλτρων κατευθύνσεως και της γραμμής μεταδόσεως υπάρχει εις μετασχηματιστής προσαρμογής (στάση εις την έξοδον του μετασχηματιστού προσαρμογής: +17 dB).

#### 16.4. Όδος λήψεως (σχ. 109).

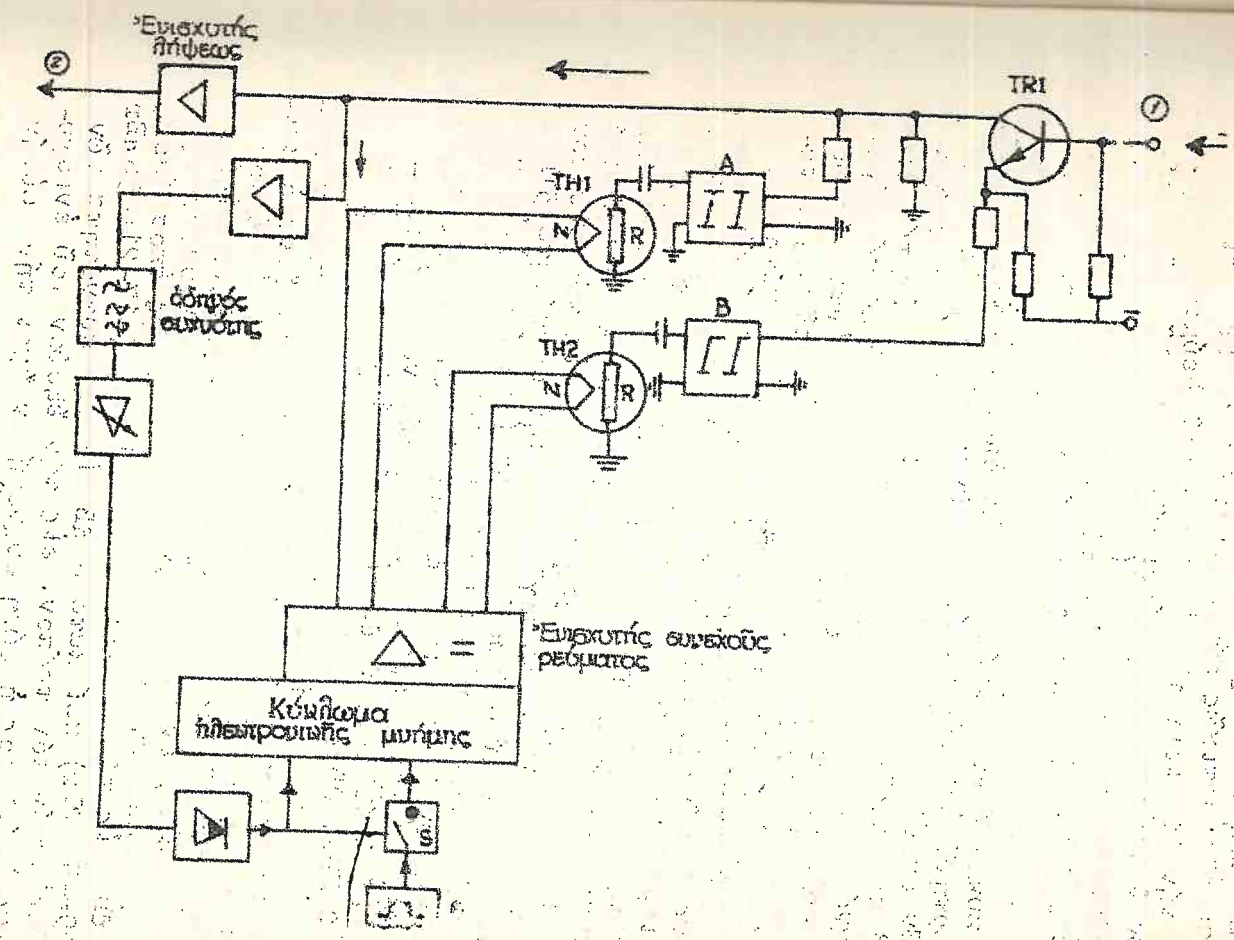
Τά έκ του ένάντι τερματινού Κέντρου έμπεμπόμενα σήματα φθάνουν, μέσω της έναερλου γραμμής, εις τόν μετασχηματιστήν προσαρμογής και διέρχονται από τό φίλτρον κατευθύνσεως λήψεως, διά να οδηγηθούν εις χειροκινήτως ρυθμιζόμενον στοιχείον έποσβέσεως (συνολικής ρυθμίσεως 31 dB εις βήματα 1 dB). Ακολουθεϊ χειροκινήτως ρυθμιζόμενον στοιχείον έξισώσεως και δ αυτόματος έξισωτής (ή λειτουργία του έξηγεϊται εις τό κεφ. 16.5). Μετά τόν ένισχυτήν λήψεως, δ έποδιαμορφωτής γραμμής μετατοπίζει την λαμβανόμενην ζώνην συχνοτήτων εις την περιοχήν 84-96 KHz. Τόν έποδιαμορφωτήν γραμμής ακολουθεϊ και έτερος, εις την έξοδον του όποιου (στάση -17 dB) εύρίσκονται έν παραλλήλῳ τέ τρίς φίλτρα ζώνης των τριών διοδεύσεως. Τό φίλτρον ζώνης της διοδεύσεως 1 επιλέγει την περιοχήν 92-96 KHz και την οδηγεί εις τόν έποδιαμορφωτήν διοδεύσεως. Η έποδιαμόρφωσις λαμβάνει χώραν τῇ βοηθείᾳ της φερούσης 96 KHz, ένῳ τό φίλτρον ζώνης, τό όποιον ακολουθεϊ, επιλέγει την κάτω παράπλευρον ζώνην 0-4 KHz, δηλαδή την ζώνην όμιλίας. Η ζώνη όμιλίας μέσω του ένισχυτού χαμηλών συχνοτήτων (στάση εις την έξοδον τούτου από +8 έως -4 dB) και της τερματικής διατάξεως φθάνει εις τά όρια και έκείθεν εις τόν συνδρομητήν.

#### 16.5. Αυτόματος ρύθμισις έξισώσεως (Α.Ρ.Ε.)

Διά την Α.Ρ.Ε. αποστέλλεται συνεχώς έξ ένάστου τερματινού σταθμού ή οδηγός συχνότης. Η οδηγός υφίσταται τās άποσβέσεις και τās μεταβολάς άποσβέσεων, τās όποιās υφίσταται και ή ζώνη έμπομπής του τερματινού και φθάνει εις την βάση του τρανζίστορ TR<sub>1</sub> του έτέρου τερματινού μαζί με την ζώνην όμιλίας (σημείον 1 εις τά σχέδια 109 και 110). Εις την έξοδον του TR<sub>1</sub> ή οδηγός ένισχύεται, επιλέγεται δι' ένός φίλτρου, ένισχύεται έν νέου και άνορθοῦται. Όταν ή στάση της οδηγού μεταβληθῇ κατά ±0,5 dB ή άνωρρωμένη τάσις ταύτης προκαλεϊ την λειτουργίαν του ήλεκτρονικού διακόπτου S και, οὔτως, οί τετραγωνικοί παλμοί της γεννητρίας G εισάγονται εις τό κύκλωμα της ήλεκτρονικής μνήμης (σχ. 110). Η διάταξις αύτη



Σχ. 109 Φέρουσων σήματα PST-L3



Σχ. 110. Αυτόματος ρύθμιση τάσης του PST-12



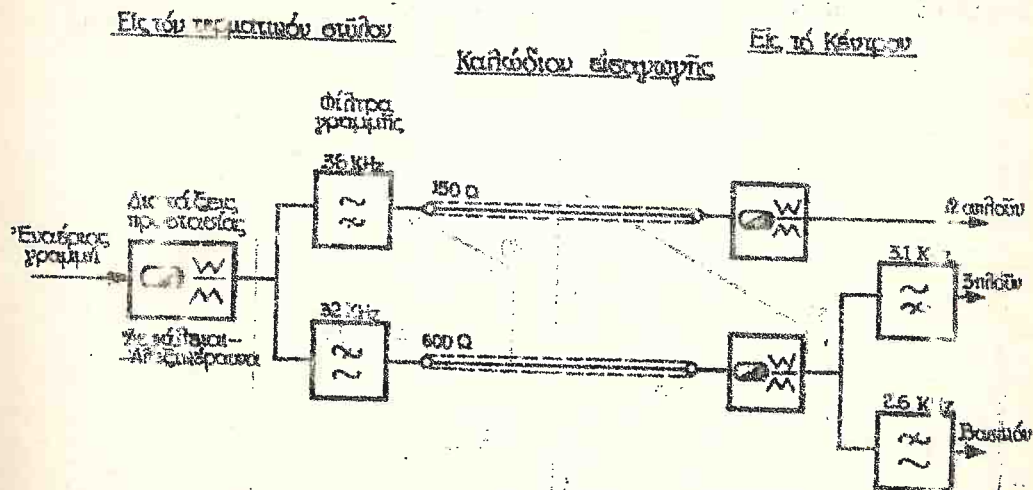
νική μνήμη παρέχει αντίστοιχον συνεχή τάσιν, ή οποία ενισχύεται υπό ενός ενισχυτοῦ συνεχούς τάσεως. Ἡ έξοδος τοῦ ενισχυτοῦ τούτου παρέχει τό ρεύμα διά τήν θέρμανσιν τῶν θερμίστορ  $TH_1$  καί  $TH_2$ . Τό κυκλωμα τῆς ηλεκτρονικῆς μνήμης εἶναι ἐξαιρετικῶς σύνθετον καί ἔχει ὡς βασικόν προορισμόν τήν ῥύθμισιν τῆς ἐντάσεως τοῦ ρεύματος θέρμανσεως τῶν θερμίστορ συναρτήσῃ τῶν μεταβολῶν τῆς στάθμης τῆς ὁδηγοῦ. Ὡς ἀνεφέρθη εἰς τό κεφ. 10.3.2.2. ἡ ἀντίστασις  $R$  τῶν θερμίστορ ἐξαρτᾶται ἀπό τό ρεύμα θέρμανσεως τό διερχόμενον διά τῶν νημάτων θερμάνσεως  $N$ . Τά θερμίστορ  $TH_1$  καί  $TH_2$  εἶναι τοποθετημένα εἰς τήν έξοδον δύο κυκλωμάτων ἐξισώσεως, τῶν ὁποίων ἡ τελική δράσις θά ἐξαρτηθῇ ἀπό τήν τιμήν τῆς ἀντιστάσεως τῶν θερμίστορ  $R$ . Ἐν συνόψει, δύναται νά λεχθῇ, ὅτι τά διευκυσματά  $A$  καί  $B$  προκαλοῦν διαφορετικὴν ἀπόσβεσιν εἰς τὰς διαφορούς συχνότητας τῆς λαμβανομένης ζώνης, ἀλλὰ τό μέγεθος τῆς ἀποσβέσεως ταύτης ἐξαρτᾶται ἐκ τῆς ἀντιστάσεως τῶν θερμίστορ. Ἡ ἀντίστασις ὁμως αὕτη ἐξαρτᾶται, ἐν τελικῇ ἀναλύσει, ἀπό τήν στάθμην τῆς ὁδηγοῦ συχνότητος. Ἡ δράσις τοῦ συστήματος  $A.P.E.$  παρίσταται, υπό τῶν καμπυλῶν 1 ἕως 6 τοῦ σχ. 111. Ὁλόκληρος ἡ ζώνη συχνότητων ἐκπέμπεται μέ τήν αὐτὴν στάθμην  $+17$  dBr (καμπύλη 1). Ἡ ἀπόσβεσις τῆς ἐναέρου γραμμῆς εἰς τήν συχνότητα 31 KHz μεταβάλλεται μεταξύ 30 (ξηρός καιρός) καί 60 dB (γραμμὴ μέ πάγον) (καμπύλη 2). Συνεπῶς ἡ στάθμη εἰς τήν εἰσοδον τοῦ μετασχηματιστοῦ προσαρμογῆς διά τήν συχνότητα 31 KHz θά κυμαίνεται μεταξύ  $-43$  καί  $-13$  dBr (καμπύλη 3). Ὁ μετασχηματιστῆς προσαρμογῆς καί τό φίλτρον κατευθύνσεως λήψεως προκαλοῦν ἀποσβεσιν 1 dB εἰς ὁλόκληρον τήν ζώνην (καμπύλη 4). Ὁ χειροκίνητος μεταβαλλόμενος ἐξισωτής προκαλεῖ ἀποσβεσιν 0 dB εἰς τοὺς 31 KHz καί 35 dB εἰς τοὺς 0 KHz. Οὕτω προκύπτει εἰς τήν εἰσοδον τοῦ αὐτομέτου ἐξισωτοῦ ἡ καμπύλη 5. Εἰς τήν καμπύλην ταύτην, ἡ ἐστιγμένη γραμμὴ παρίστανται τήν στάθμην, ὅταν ὁ καιρός εἶναι ξηρός καί ἡ συνεχῆς γραμμὴ, ὅταν ἡ ἐναέριος γραμμὴ ἔχη καλυφθῇ, υπό πάγου. Ὁ αὐτόματος ἐξισωτής (διευκυσματά  $A$  καί  $B$ ) ἐν συνδυασμῷ μετὰ τοῦ ἀκολουθοῦντος ενισχυτοῦ, προκαλοῦν συνολικὴν μεταβολήν τῆς ἀποσβέσεως κατὰ 30 dB εἰς τήν συχνότητα τῶν 31 KHz ( $-17-21=-38$  dBr καί  $-47+9=-38$  dBr) καί κατὰ 6 dB εἰς τήν συχνότητα τῶν 0 KHz. Κατ' αὐτόν τόν τρόπον, εἰς τήν έξοδον τοῦ ενισχυτοῦ λήψεως ὁλόκληρος ἡ ζώνη συχνότητων ἔχει τήν αὐτὴν τιμήν ἀπολύτου στάθμης (καμπύλη 6).

# 17. Φ/Σ 12 ΔΙΟΔΕΥΣΕΩΝ ΤΥΠΟΥ PST-L12

## 17.1. Γενικά χαρακτηριστικά

Διὰ τοῦ ἐν λόγω Φ/Σ ἐπιτυγχάνεται ἡ μετάδοσις 12 τηλεφωνικῶν διοδεύσεων μέσω ἐναέρου γραμμῆς, ἡ ὁποία δύναται νὰ παρουσιάξῃ μεγίστην ἀπόσβεσιν 74 dB εἰς τὴν συχνότητα 145 KHz.

Διὰ τὴν μετάδοσιν τῶν 12 διοδεύσεων χρησιμοποιεῖται ἡ περιοχὴ συχνοτήτων 36-143 KHz, ἐνῶ εἰς τὴν περιοχὴν 4-32 KHz εἶναι δυνατόν νὰ μεταδοθῶν τρεῖς ἐπὶ πλέον διοδεύσεις μέσω ζπλοῦ Φ/Σ. Ἀπομένει ἡ ζώνη 0-4 KHz, ἡ ὁποία χρησιμοποιεῖται διὰ τὴν μετάδοσιν μιᾶς ἐπὶ πλέον τηλεφωνικῆς ἀνταποκρίσεως. Οὕτω, ἐάν γίνῃ πλήρης ἐκμετάλλευσις μιᾶς ἐναέρου γραμμῆς, εἶναι δυνατόν νὰ μεταδοθῶν καὶ τοσούτως 16 συνδιαλέξεις. Ὁ διαχωρισμὸς τῶν ἐνωτέρω περιοχῶν συχνοτήτων ἐπιτυγχάνεται μέσω φίλτρων, τὰ ὁποῖα τοποθετοῦνται ὡς εἰς τὸ σχ. 112. Ἡ ἐνα-



Σχ. 112. Φίλτρα γραμμῆς καὶ διατάξεις προστασίας

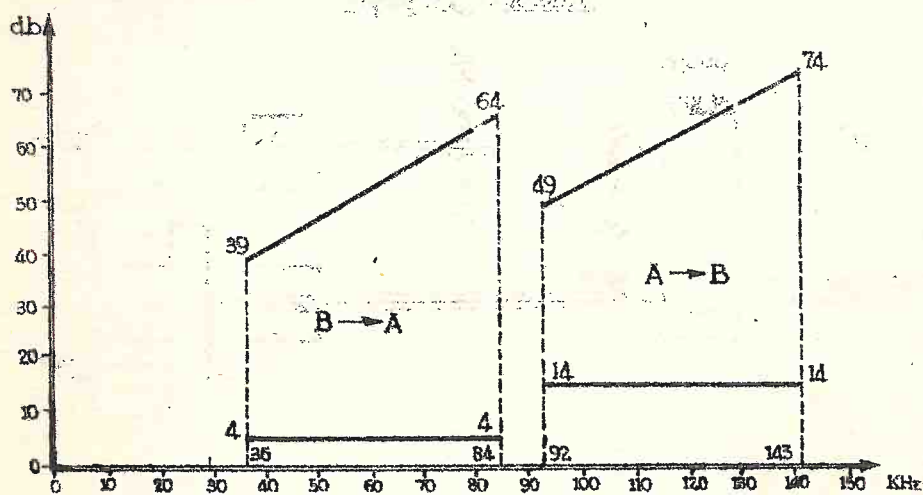
έριος γραμμή καταλήγει, μέσω προστατευτικῶν διατάξεων (ἀσφάλεια, λεξιμέρανα), εἰς τὰ φίλτρα γραμμῆς. Ἐν ὑψηλερῶν φίλτρον ἐπιτρέπει τὴν διέλευσιν ὅλων τῶν συχνοτήτων ἄνω τῶν 36 KHz, ἐνῶ ἐν βεθυπερῶν φίλτρον



επιτρέπει την ελεύθεση όλων των συχνοτήτων κάτω των 32 KHz. Οι έξοδοι των φίλτρων μέσω καταλλήλου ζεύγους του καλωδίου εισαγωγής συνδέονται προς τις προστατευτικές διατάξεις του Κέντρου. Η άνω των 36 KHz ζώνη οδηγείται μετά τις προστατευτικές διατάξεις εις τό 12πλοῦν Φ/Σ. Η έτέρα ζώνη οδηγείται εις δύο φίλτρα τοποθετημένα έν πα-  
ραλλήλῳ, τὰ ὁποῖα συνήθως τοποθετοῦνται ἐπὶ τοῦ ἱκριώμα-  
τος τοῦ ζπλοῦ Φ/Σ. Τὰ φίλτρα τὰυτα διαχωρίζουν τήν ζώ-  
νην τοῦ βασικοῦ κυκλώματος ὁμιλίας (κάτω τῶν 2,6 KHz) ἀ-  
πὸ τήν ζώνην τοῦ ζπλοῦ Φ/Σ (ἄνω τῶν 3,1 KHz).

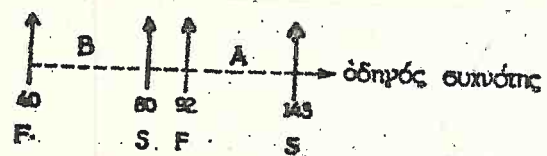
Εἰς ἀρκετά Φ/Σ τὰ φίλτρα γραμμῆς δέν τοποθετοῦνται ἐπὶ τοῦ τερματικοῦ στύλου, ἀλλ' ἐντός τοῦ κέντρου ἐπὶ τοῦ ἱκριώματος τοῦ 12πλοῦ Φ/Σ. Εἰς τήν περίπτωσην αὕτην χρησιμοποιεῖται ἓν μόνον ζεύγος τοῦ καλωδίου εισαγωγῆς.

- Τό σύστημα διαθέτει διατάξιν αὐτομάτου διορθώσεως τῶν μεταβολῶν ἀποσβέσεως τῆς γραμμῆς (A.P.E.), ἐφ' ὅσον αἱ ἐν λόγῳ μεταβολαί μεῖνται ἐντός τῶν περιθωρίων, τὰ ὁποῖα ὀρίζονται ὑπὸ τῶν καμπύλων τοῦ σχ. 113 (π.χ. διὰ τήν συχνότητα τῶν 143 KHz εἶναι δυνατόν νά διορθωθοῦν μεταβολαί ἀποσβέσεως ἀπὸ 14 ἕως 74 dB).

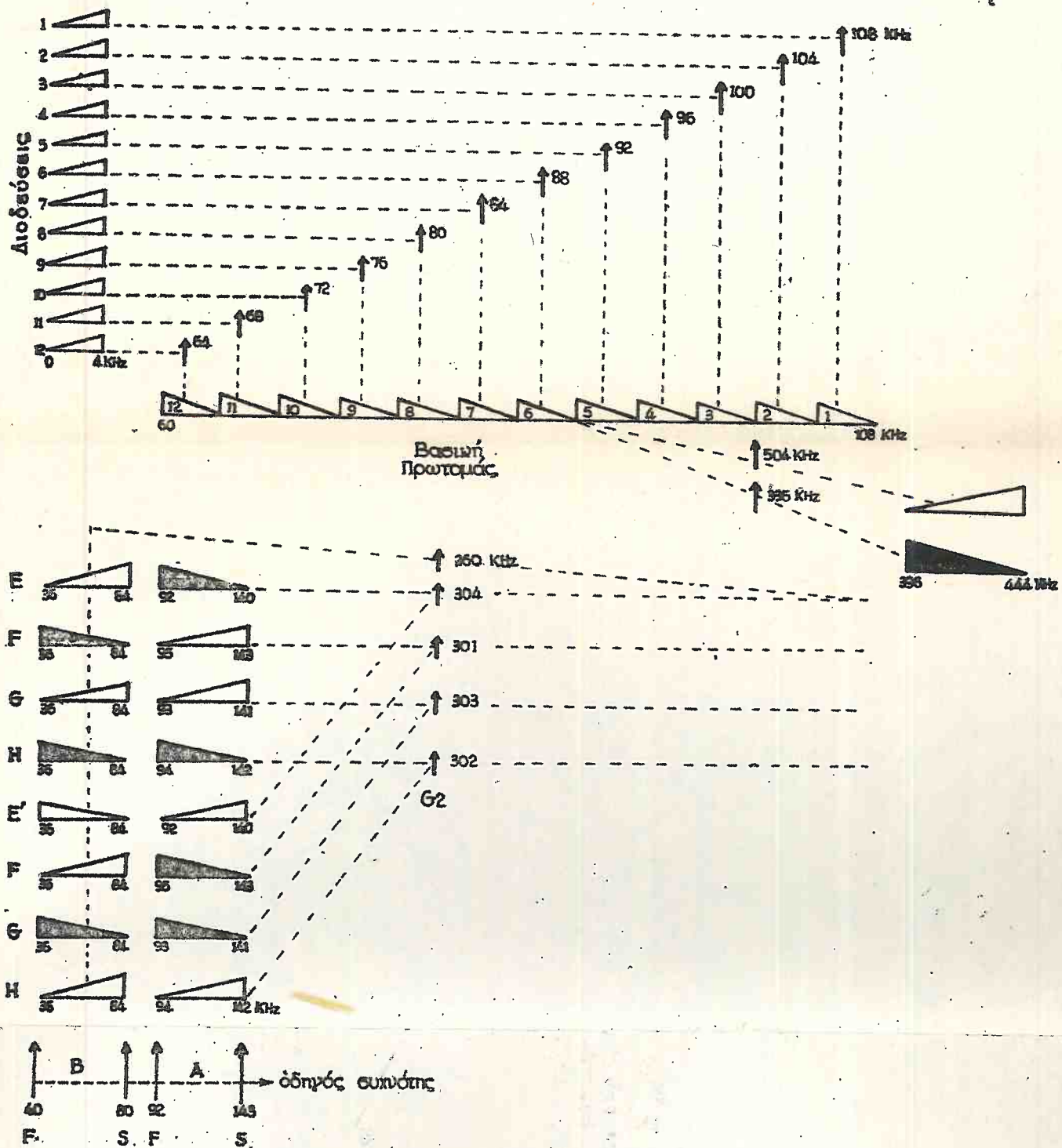


Σχ. 113. Περιθώρια ρυθμίσεως τοῦ συστήματος A.P.E. εἰς PST - D12.





**Σχ. Π4.** Σχέδιο συχνότητας του PST-L12 (συμφωνεί προς τας ανατάσεις της CCITT).



Σχ. 114. Σχέδιο συνόρων του PST-L12 (συμφωνεί προς τις εισόδους της CCITT).

## 17.2. Σχέδιον συχνότητων

Ως φαίνεται εἰς τὸ σχέδιον συχνότητων τοῦ σχ. 114, εἶναι δυνατὴ ἡ δημιουργία 8 τύπων εἰς τὰς ζώνας συχνότητων ἐπὶ τῆς ἐναερίου γραμμῆς. Ἐάν μέσῳ τῆς αὐτῆς ἀρτηρίας ἐναερίων κυκλωμάτων συνδέωνται 12 πλᾶ Θ/Σ περισσότερα τοῦ ἐνός, εἶναι δυνατὴ ἡ ἐκλογή τοῦ καταλλήλου τύπου εἰς τὰς ζώνας τῶν συχνότητων γραμμῆς, ὥστε νὰ καταστή ἀνατάλητος ἡ διαφωνία (ἴδε σχετ. κεφ. 16.2). Εἰς τὸ σύστημα τοῦτο χρησιμοποιοῦνται τρεῖς στάδια διαμορφώσεως. Εἰς τὸ πρῶτον στάδιον, ἡ ζώνη τῶν συχνότητων ὁμιλίας 0-4 KHz μετατίθεται εἰς τὴν περιοχὴν συχνότητων 60-108 KHz. Ἡ διαμόρφωσις ἐπιτυγχάνεται μέσῳ δώδεκα διαφορετικῶν φερουσῶν συχνότητων καὶ ἐπιλέγεται ἡ κατὰ παράπλευρον ζώνη. Οὕτω σχηματίζεται ἡ προβλεπομένη ὑπὸ τῆς CCITT βασικῇ πρωτομάς 60-108 KHz. Ἡ βασικὴ πρωτομάς μετατίθεται ἐν συνεχείᾳ εἰς τὴν περιοχὴν 396-444 KHz διὰ διαμορφώσεως μετὰ τῆς φερούσης  $G_1$ . Ἐάν ὡς  $G_1$  χρησιμοποιηθῇ ἡ φερουσα 504 KHz, προκύπτει ἡ ὀρθὴ ζώνη 396-444 KHz (ἡ 1η διόδουσις εἰς τὴν χαμηλὴν περιοχὴν), ἐνῶ ἐν χρησιμοποιηθῇ ἡ φερουσα 336 KHz, προκύπτει ἡ ἐνἄστροφος ζώνη. Ἀκολουθεῖ τὸ τρίτον στάδιον διαμορφώσεως, εἰς τὸ τοῖον χρησιμοποιεῖται μὴ ἀπὸ τὰς φερούσας  $G_2$ . Εἰς τὸ στάδιον τοῦτο, ἐπιτυγχάνεται ἡ μετάθεσις τῆς ζώνης 396-444 KHz εἰς τὴν περιοχὴν τῶν συχνότητων γραμμῆς. Τὸ τερματικὸν ἱκρίωμα, τὸ ὅποion ἐκπέμπει τὴν χαμηλὴν ζώνην συχνότητων καὶ λαμβάνει τὴν ὑψηλὴν ζώνην, χαρακτηρίζεται εἰς Β τερματικόν, ἐνῶ τὸ ἐναντι ἱκρίωμα χαρακτηρίζεται ὡς Α (ἐκπέμπει τὴν ὑψηλὴν καὶ λαμβάνει τὴν χαμηλὴν περιοχὴν συχνότητων).

## 17.3. Ὁδὸς ἐκπομπῆς.

Εἰς τὰς περιγραφὰς τῶν Θ/Σ, αἱ ὁποῖαι θὰ ἀκολουθῶσιν, δέν θὰ ἀναφέρεται ἡ τερματικὴ διάταξις, ἀλλὰ ὁ ἐναγνώστης θὰ πρέπει νὰ ἔχη ὑπ' ὄψιν ὅτι ἐάν μὴ διόδουσις χρησιμοποιηθῇ εἰς τὴν χειρὸκίνητον τηλεφωνίαν, ἡ τερματικὴ διάταξις τοποθετεῖται συνήθως ἐπὶ τοῦ ἱκρίωματος τοῦ φερεσύχνου. Ἐάν, ἐντιθέτως, χρησιμοποιηθῇ εἰς τὴν αὐτόματον ὑπεραστικὴν τηλεφωνίαν, ἡ τερματικὴ διάταξις ἐγκαθίσταται εἰς τὸ αὐτόματον ὑπεραστικὸν κέντρον. Εἶναι ἐπίσης δυνατόν μὴ τηλεφωνικῇ διόδουσις νὰ χρησιμοποιηθῇ, ἔνευ τερματικῆς διατάξεως, διὰ τὴν μετάδοσιν τηλεωτογραφικῶν ἢ διὰ τὴν ὑπερθεσιν φερεσύχνου τηλεγραφικοῦ συστήματος κ.λ.π.



Τὰ ρεύματα δμιλίας φθάνουν εἰς τὴν εἰσοδὸν τοῦ φ  
καὶ δύνανται νὰ ἔχουν στάθμην κυμαινομένην ἀπὸ +1 ἔω  
-14 dBx (σχ. 115). Πρῶτον στοιχεῖον τοῦ κυκλώματος εἶ  
ναι εἰς μετασχηματιστῆς ἀκολουθοῦμενος ἀπὸ μεταβλητόν  
στοιχεῖον ἐποσβέσεως καὶ ἀπὸ τὸν περιοριστὴν. Ἀκολουθεῖ  
ἕτερον στοιχεῖον ἐποσβέσεως καὶ φίλτρον ζώνης, τὸ ὁποῖ  
ον περιορίζει τὰ ρεύματα δμιλίας εἰς τὴν περιοχὴν 300  
ἕως 3400 Hz. Μετὰ τὸν διαμορφωτὴν διόδουσεως καὶ τὸ φ  
τρον ζώνης, τὸ ὁποῖον ἐπιλέγει τὴν κάτω παράπλευρόν ζ  
νην, σχηματίζεται ἡ βασικὴ πρωτομάς 60-108 KHz. Ἡ β  
σικὴ πρωτομάς, ἡ ὁποία ἔχει στάθμην -37 dBx, ἐνισχύεται  
διέρχεται ἀπὸ μεταβλητόν στοιχεῖον ἐποσβέσεως καὶ ἀπὸ  
δύο διατάξεις ἀποξέυσεως (χρησιμοποιοῦνται διὰ τὰς με  
τρήσεις) καὶ εἰσέρχεται εἰς δύο φίλτρα κατεστολῆς ζών  
Τὰ φίλτρα ταῦτα τοποθετοῦνται διὰ τὸν ἑξῆς λόγον: Εἶνα  
δυνάτουν ὠρισμέναι συχνότητες τῆς περιοχῆς 60-108 KHz,  
διαμορφούμεναι περαιτέρω, νὰ δώσουσι τελικὴν συχνότητα,  
ἡ ὁποία νὰ συμπίπτῃ μὲ τὰς συχνότητας τῶν δύο ὁδηγῶν.  
Οὕτως, ἡ στάθμη τῶν ὁδηγῶν εἰς ἐκυμαίνεται καὶ θὰ παρηγο  
λουθῇ τὰς μεταβολὰς στάθμης τῆς δμιλίας. Διὰ νὰ ἀποφευ  
χθῇ τοιοῦτον ἐνδεχόμενον, τοποθετοῦνται τὰ ἐν λόγω φίλ  
τρα κατεστολῆς ζώνης, τὰ ὁποῖα ἐμποδίζουν τὰς ἀνωτέρω  
συχνότητας. Μετὰ τὰ φίλτρα ἀκολουθοῦν δύο στάδια διαμο  
ρφώσεως, εἰς τὰ ὁποῖα χρησιμοποιοῦνται αἱ φέρουσαι  $G_1$  καὶ  
 $G_2$ , διὰ νὰ σχηματισθῇ ἡ ζώνη τῶν συχνοτήτων γραμμῆς. Ἡ  
ζώνη αὕτη εἰσάγεται εἰς ζεύκτην εἰς τὸν ὁποῖον εἰσάγον  
ται καὶ αἱ δύο ὁδηγοὶ συχνότητες. Ἀκολουθεῖ διατάξις  
διορθώσεως τῆς καμπύλης διευθύνσεως τῶν φίλτρων κατευθύ  
σεως καὶ ὁ ἐνισχυτὴς ἐμπομπῆς, ὁ ὁποῖος ἀναβιβάζει τὴν  
στάθμην τῆς ἐκπεμπομένης ζώνης συχνοτήτων εἰς τὴν τιμὴν  
τῶν +18 dBx. Μετὰ τὸν ἐνισχυτὴν ἐμπομπῆς ἀκολουθεῖ τὸ  
φίλτρον κατευθύνσεως ἐμπομπῆς καὶ εἰς μετασχηματιστῆς,  
ὁ ὁποῖος προσαρμόζει τὴν ἐντάστασιν τῶν φίλτρων κατευ  
θύνσεως πρὸς τὴν ἀντίστασιν τῆς γραμμῆς μεταδόσεως. Εἰς  
τὸν σταθμὸν B τὸ φίλτρον κατευθύνσεως ἐμπομπῆς εἶναι β  
θυπερατόν καὶ τὸ φίλτρον κατευθύνσεως λήψεως ὑπερατό  
Εἰς τὸν σταθμὸν A τὰ δύο φίλτρα ἀντιμετατίθενται.

#### 17.4. Ὁδὸς λήψεως

Ἡ ζώνη συχνοτήτων (36-64 KHz εἰς τὸν A' τερματικὸν  
ἢ 92-143 KHz εἰς τὸν B' τερματικόν), τὴν ὁποῖαν ἐκπέμ  
πει τὸ ἔναντι κέντρον, διέρχεται ἀπὸ τὸν μετασχηματι  
στὴν προσαρμογῆς, ἀπὸ τὸ φίλτρον κατευθύνσεως λήψεως





καί ἀπὸ ἐν ἐπιπρόσθετον φίλτρον ζώνης. Τὸ φίλτρον τοῦτο, εἰς τὸν Α' τερματικόν, προσθῆται ἐπὶ πλεον ἀπόσβεσιν εἰς τὴν περιοχὴν συχνότητων ἐνὸς τριπλοῦ συστήματος, τὸ ὅποιον πιθανόν νὰ ἐργάζεται ἐπὶ τῆς αὐτῆς ἐναερίου γραμμῆς. Εἰς τὸν Β' τερματικόν προσθῆται ἀπόσβεσιν εἰς τὴν ἐνῶ τῶν 150 KHz περιοχὴν συχνότητων καί οὕτως ἐμποδίζονται ἐπιδράσεις ἀπὸ ραδιοφωνικοὺς στάθμους μακρῶν κυμάτων. Ἀκολουθεῖ τὸ σύστημα αὐτομάτου ρυθμίσεως τῆς ἐξισώσεως (A.P.E.), τὸ ὅποιον θὰ περιγραφῇ εἰς τὸ ἐπόμενον κεφάλαιον. Εἰς τὴν ἔξοδον τοῦ συστήματος A.P.E. ἡ λαμβανομένη ζώνη συχνότητων ἔχει στάθμην -37 dBr. Ἐπὶ ταῖς δύο στάδια ἀποδιαμορφώσεως (χρησιμοποιοῦνται αἱ φέρουσαι  $G_2$  καί  $G_1$ ) καί, μετὰ ταῦτα, δύο φίλτρα ἀποιοπῆς ζώνης συχνότητων, τὰ ὅποια ἐμποδίζουν τὴν ἀποδιαμόρφωσιν τῶν ὁδηγῶν συχνότητων καί τὴν παρεμβολὴν τῶν εἰς τὴν ζώνην ἑμιλλίας. Μετὰ τὰς δύο ἀποδιαμορφώσεις ἔχει σχηματισθῇ ἡ βασικὴ πρωτομάς 60-108 KHz μὲ στάθμην -30 dBr. Ἐν τῇ ζώνῃ ταύτῃ ἐπιλέγεται μέσῳ φίλτρων διελεύσεως ζώνης ἡ ἀντίστοιχος δι' ἐκάστην διόδουσιν περιοχὴ συχνότητων, ἡ ὅποια ἀποδιαμορφοῦται καί ἐν τῶν προϊόντων τῆς ἀποδιαμορφώσεως λαμβάνεται ἡ ζώνη ἑμιλλίας 300-3400 Hz. Ἡ ζώνη αὕτη ἐνισχύεται εἰς τὸν ἐνισχυτὴν X.S., ὥστε εἰς τὴν ἔξοδον τῆς ὁδοῦ λήψεως νὰ ἀποικτῇ στάθμην ρυθμιζομένην μεταξὺ +8 ἕως -4 dBr.

#### 17.5) Αὐτόματος ρύθμισις ἐξισώσεως

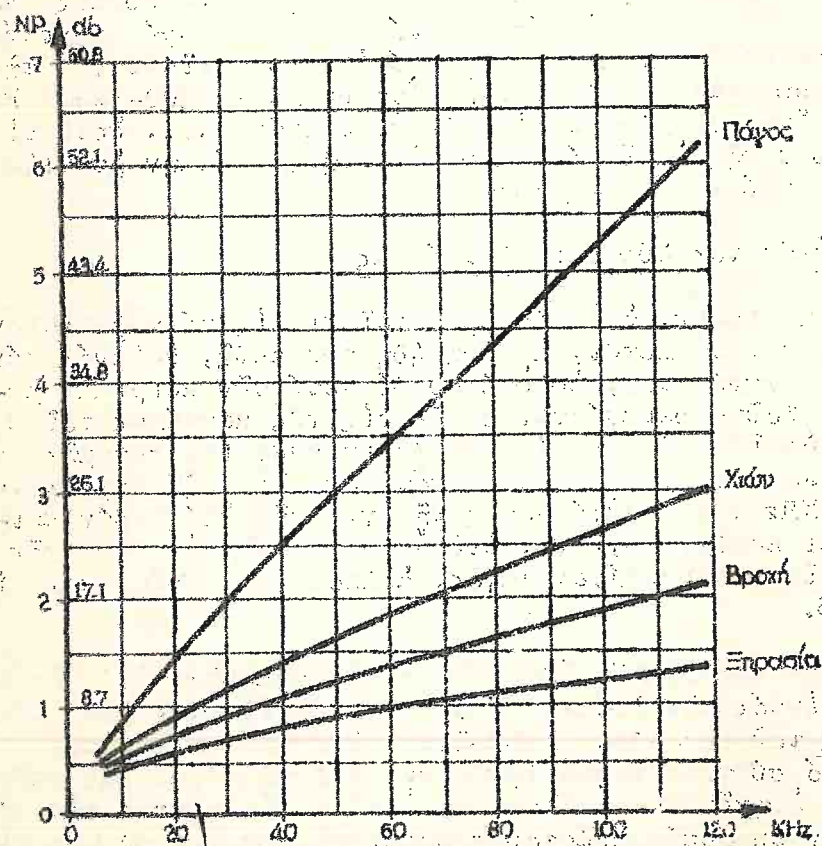
Ἡ ἀπόσβεσις, ἡ ὅποια προκαλεῖται εἰς μίαν ἐναερίον γραμμὴν, μεταβάλλεται, ὡς ἔχη ἤδη ἀναφερθῇ, ἀφ' ἐνὸς μὲν μετὰ τῆς συχνότητος, ἀφ' ἐτέρου δὲ μετὰ τῶν καιρικῶν μεταβολῶν. Τοῦτο δεικνύεται σαφῶς εἰς τὰς καμπύλας τοῦ σχ. 116, αἱ ὅποια δίδουν τὴν ἀπόσβεσιν ἐναερίου γραμμῆς μήκους 70 Km συνάρτησιν τῆς συχνότητος. Εἰς τὴν συχνότητα τῶν 120 KHz π.χ. ἡ ἀπόσβεσις τῆς γραμμῆς ὑπὸ ξηρὰν καιρὸν εἶναι περίπου 8,7 dB, ἐνῷ ὅταν ἐπὶ τῶν ἀγωγῶν τῆς γραμμῆς ἔχει ἐπικαθίσει πάχος, ἡ ἀπόσβεσις ἀνέρχεται εἰς τὰ 53 dB.

Αἱ μεταβολαὶ τῶν ἀποσβέσεων τῆς γραμμῆς, ἐφ' ὅσον κεῖνται ἐντὸς τῶν ὁρίων, τὰ ὅποια καθορίζονται ὑπὸ τῆς καμπύλης τοῦ σχ. 113, διορθοῦνται ὑπὸ τοῦ συστήματος A.P.E. Τὸ σύστημα τοῦτο ἐργάζεται ἐπὶ τῇ βάσει τῆς στάθμης δύο ὁδηγῶν συχνότητων, αἱ ὅποια εἰσάγονται εἰς τὸν ἐνισχυτὴν ἐπιτομῆς ἐκαστοῦ τερματικοῦ (40 καί 80 KHz εἰς τὸν Β' τερματικόν καί 92,143 KHz εἰς τὸν Α' τερματικόν).

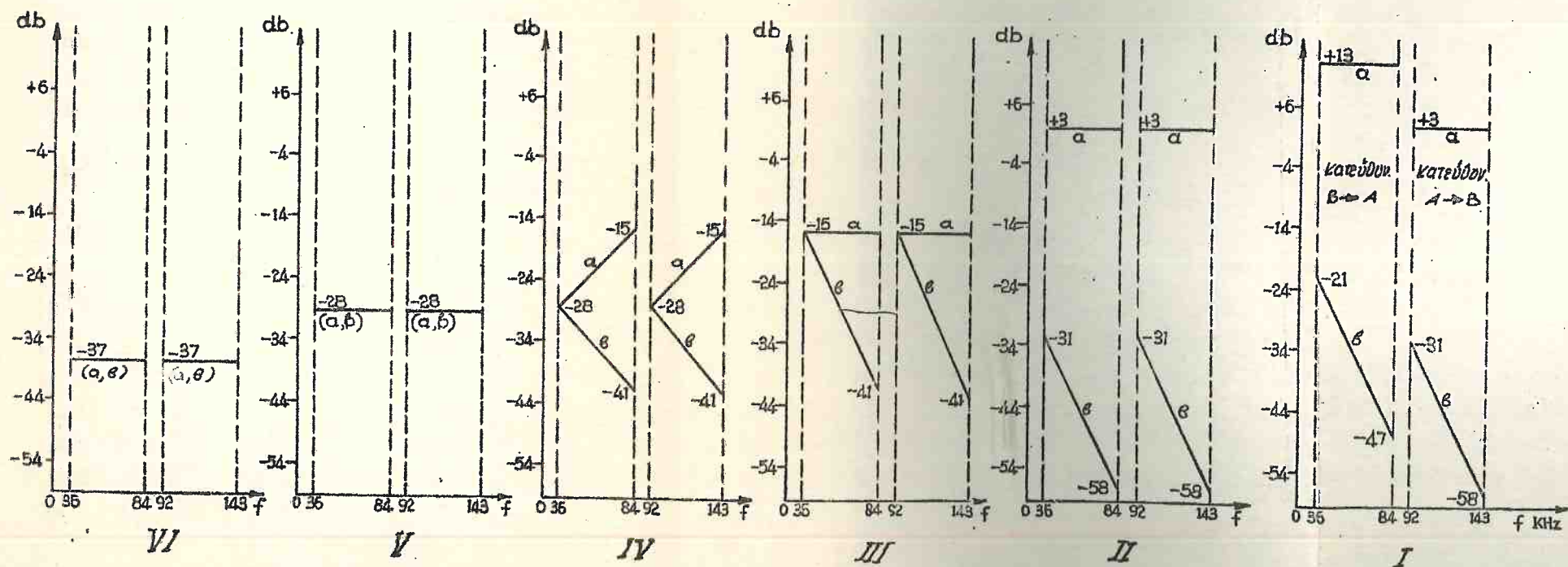
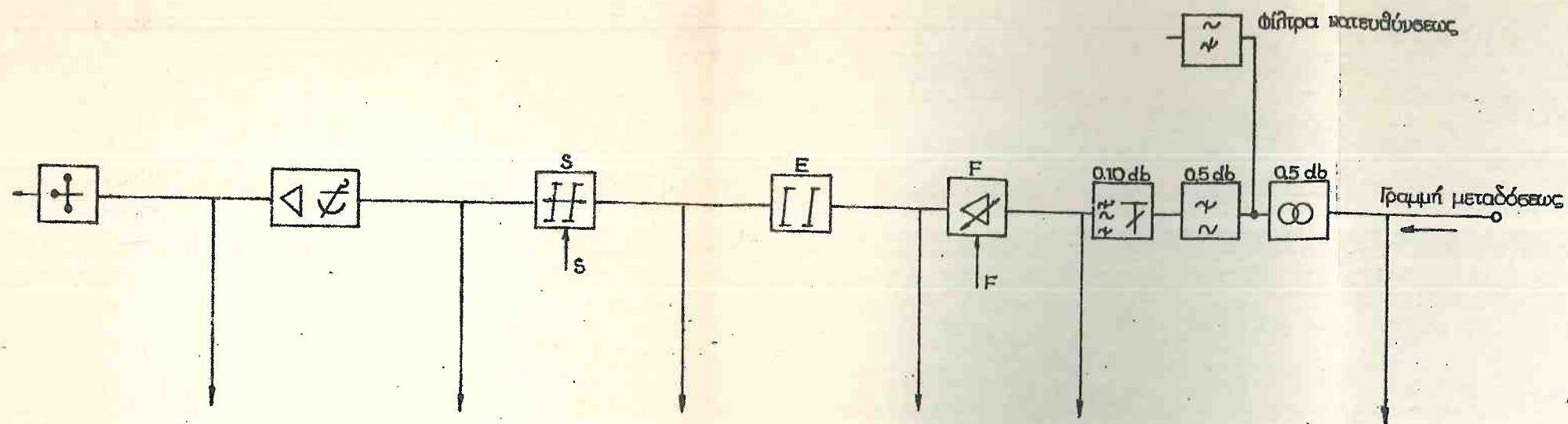


Είς τήν έξοδον τοῦ συστήματος Α.Ρ.Ε. ἐκαστοῦ τερματικοῦ, αἱ δύο ὁδηγοί συχνότητες ἐπιλέγονται μέσῳ κρυσταλλικῶν φίλτρων, ἐνισχύονται καί ἐνορθοῦνται (σχ. 115). Τό προκύπτον συνεχές ρεῦμα δι'εγείρει τό κύκλωμα ἡλεκτρονικῆς μνήμης, τό ὁποῖον παρέχει τό ρεῦμα διά τήν θέρμανσιν τῶν θερμίστορ τοῦ αὐτομάτου ρυθμιστοῦ (βλέπε περιγραφὴν συστήματος PST-L3). Τά θερμίστορ, τά ὁποῖα ἀντιστοιχοῦν εἰς τήν ὁδηγόν F ρυθμίζουν τήν ἐνίσχυσιν τοῦ ἐνισχυτοῦ F, ἐνῶ τά θερμίστορ τῆς ὁδηγοῦ S ρυθμίζουν τήν ὁρῶσιν τοῦ ἐξισωτοῦ S.

- Ἡ διαδικασία τῆς αὐτομάτου ρυθμίσεως δεικνύεται εἰς τὰς καμπύλας τοῦ σχ. 117. Αἱ καμπύλαι 1 δεικνύουν τὰς ἐπιτρεπομένας τιμὰς τῆς στάθμης εἰς τό τέρμα τῆς ἐναερίου γραμμῆς. Ἡ γραμμὴ α ἀντιστοιχεῖ εἰς τὰς εὐμενεστέ-

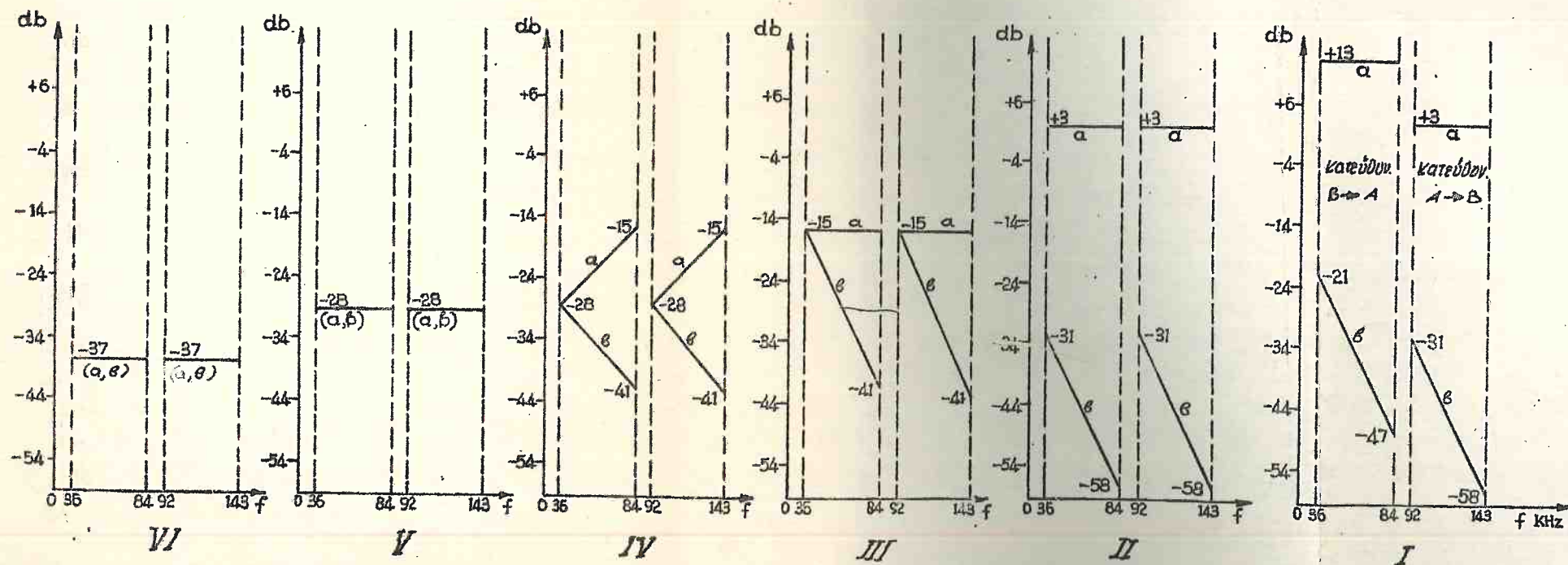
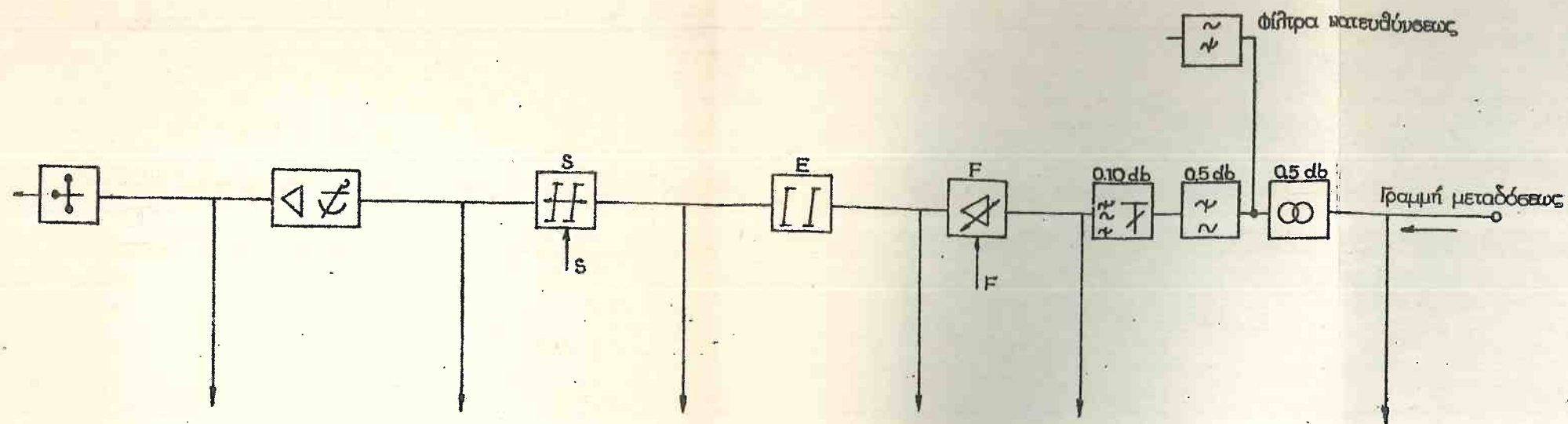


Σχ. 116. Μεταβολή τῆς ἀποσβέσεως μιᾶς ἐναερίου γραμμῆς 70 χιλιομέτρων



Σχ 117 Η δράσεις του συστήματος αυτόματου ρυθμίσεως της εξισώσεως εις σύστημα PST-L12





Σχ 117 Η δράσεις του συστήματος αυτόματου ρυθμίσεως της εξόδου σε σύστημα PST-L12



ρας και η β' εις τας δυσμενεστερας καιρικας συνθηκας. Αι καμπύλαι II δεικνύουν τας στάθμας εις την έξοδον του επι-προσθέτου φίλτρου. Το στοιχείον αποσβέσεως, το όποιον προηγείται του φίλτρου, ρυθμίζεται ώστε να παρεμβάλη απόσβεσιν 10 dB εις τον Α' και 0 dB εις τον Β' τερματικόν. Η ένισχυσις του ένισχυτοϋ F ρυθμίζεται αυτόματως επί τη βάσει της στάθμης της οδηγού F, ώστε εις πάσαν καιρικήν μεταβολήν ή στάθμη της χαμηλοτέρας συχνότητος 36 ή 92 KHz) να έχη τιμήν -15 dBr (καμπύλαι III). Ακολουθεί ο σταθερός έξισωτής Η (καμπύλαι IV), ο όποιος παρεμβάλλει 13 dB απόσβεσιν εις την χαμηλοτέραν (36 ή 92 KHz) και 0 dB εις την ύψηλοτέραν συχνότητα (84 ή 143 KHz). Έπεται ο αυτόματως ρυθμιζόμενος έξισωτής S, του όποιου ή δράσις ρυθμίζεται επί τη βάσει της οδηγού S. Ο έξισωτής S δρά εις τας ύψηλοτέρας συχνότητας, ένω εις την χαμηλήν συχνότητα (36 ή 92 KHz) παρεμβάλλει μονίμως ένισχυσιν 6 dB. Εις την έξοδον του S αι δύο γραμμαί α και β έχουν συμπέσει εις την τιμήν της έπολύτου στάθμης -28 dBr (καμπύλαι V). Μετά τς διορθωτικόν στοιχείον και τον ένισχυτήν, του όποιου ή έξοδος αποτελεί τό πέρας του συστήματος A.P.E., ή έπόλυτος στάθμη έχει τιμήν -37 dBr (καμπύλαι VI).

18. Φ/Σ 12 ΔΙΟΔΕΥΣΕΩΝ Z12 K

18.1) Γενικά χαρακτηριστικά - σχέδιον συχνοτήτων.

- Το έν λόγω Φ/Σ προορίζεται διά την μετάδοσιν 12 δι-οδεύσεων μέσφ ενός ζεύγους συμμετρικοϋ καλωδίου διαμέ-τρου 0,9 έως 1,4 mm.

- Αι 12 διοδεύσεις εις την κατεύθυνσιν Α-Β καταλαμβάνουν την ζώνην συχνοτήτων 6-54 KHz, ένω διά την έτεραν κατεύθυνσιν Β-Α, την ζώνην 60-108 KHz. Ούτως, ο τερματι-κός Α επέμπει την χαμηλήν και λαμβάνει την ύψηλήν ζώ-νην συχνοτήτων, ένω εις τον Β' τερματικόν συμβαίνουν τά αντίθετα.

- Διά να προκύψουν αι άνωτέρω δύο περιοχαί συχνοτή-των, είναι δυνατόν να χρησιμοποιηθοϋν δύο σχέδια συχνο-τήτων, ως δεικνύεται εις τό σχ. 118. Η διαφορά των δύο τούτων σχεδίων έγκνείται εις τον τρόπον σχηματισμοϋ της βασικής πρωτομάδος 60-108 KHz. Εις τό σχέδιον I, αι 12 διοδεύσεις άπαρτίζουν, άνα 3 διοδεύσεις, 4 προομάδας, έ-

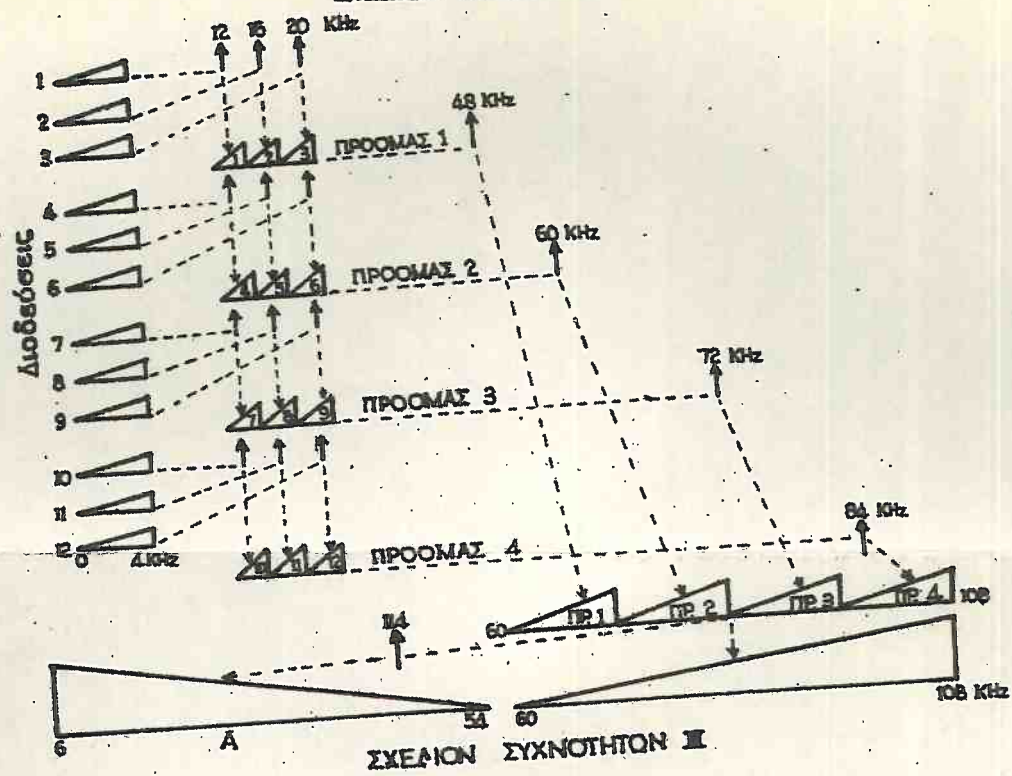
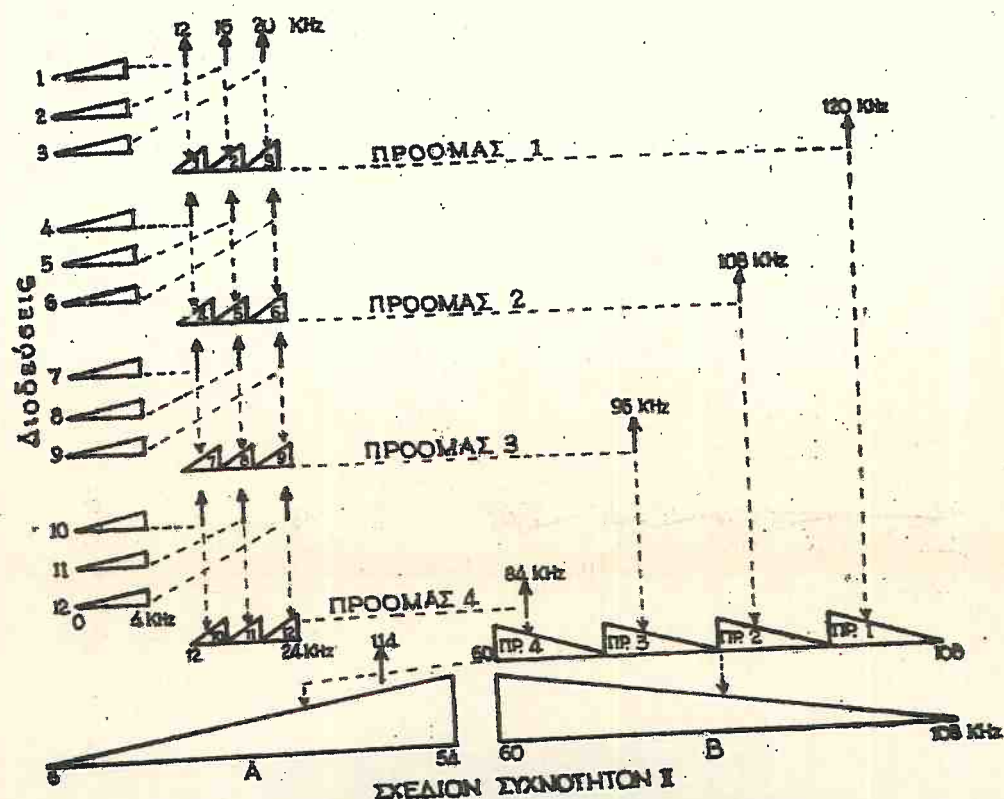
κάστη τῶν ὁποίων καταλαμβάνει τὴν περιοχὴν συχνοτήτων 12-24 KHz. Διὰ τὴν προκύψη ἡ ζώνη αὕτη, ἐκ τῶν προϊόντων τῆς διαμορφώσεως τῶν διοδεύσεων, λαμβάνεται ἡ ἔνω παρά- πλευρος ζώνη. Οὕτως, ἡ 1η διοδευσις διαμορφώνει τὴν φέ- ρουσαν 12 KHz, ἡ 2α διοδευσις τὴν φέρουσαν 16 KHz καὶ ἡ 3η διοδευσις τὴν φέρουσαν 20 KHz. Διὰ τὴν προκύψη ἡ ζώνη τῆς δευτέρας προομάδος, ἡ 4η διοδευσις διαμορφώνει τὴν φέρουσαν 12 KHz, ἡ 5η διοδευσις τὴν φέρουσαν 16 KHz, ἡ 6η διοδευσις τὴν φέρουσαν 20 KHz καὶ οὕτω καθ' ἑξῆς διὰ τὰς λοιπὰς προομάδας. Ἐν συνεχείᾳ ἐκάστη προομάς διαμορφώνει διαφορετικὴν φέρουσαν καὶ λαμβάνεται ἡ κάτω παράπλευρος ζώνη, ὥστε νὰ προκύψη ἡ βασικὴ πρωτομάς 60-108 KHz, εἰς τὴν ὁποίαν ἡ 1η διοδευσις καταλαμβάνει τὴν περιοχὴν 104-108 KHz (ἐνᾶντροπος θέσις). Εἰς τὸν Α' τερ- ματικὸν ἡ βασικὴ πρωτομάς-διαμορφώνουσα τὴν φέρουσαν 114 KHz-ὀφίσταται μίαν εἰσέτι μετάθεσιν συχνότητος, διὰ τὴν προκύψη ἡ ζώνη 6-54 KHz, ἐνῶ εἰς τὸν Β' τερματικὸν ἡ βασικὴ πρωτομάς, ἐκπέμπεται ἄνευ περαιτέρω διαμορφώ- σεως. Κατὰ τὸ σχέδιον συχνοτήτων II, αἱ φέρουσαι εἰς τοὺς διαμορφωτὰς προομάδων εἶναι 48, 60, 72 καὶ 84 KHz καὶ ἐκ τῶν προϊόντων τῆς διαμορφώσεως λαμβάνεται ἡ ἔνω παράπλευρος ζώνη. Σχηματίζεται οὕτως ἡ βασικὴ πρωτομάς 60-108 KHz, εἰς τὴν ὁποίαν ἡ 1η διοδευσις καταλαμβάνει τὴν περιοχὴν 60-64 KHz (ὀρθή θέσις).

- Τὸ σύστημα ἐργάζεται ἄνευ ἐνισχυτικοῦ σταθμοῦ εἰάν ἡ μεγίστη τιμὴ ἀποσβέσεως τῆς καλωδιακῆς γραμμῆς εἶναι 73,8 dB εἰς τὴν συχνότητα 108 KHz. Ἡ ἀπόσβεσις αὕτη ἀντιστοιχεῖ εἰς 38 Km καλωδίου τῆς γραμμῆς διαμέτρου ἄγω- γῶν 1,4 mm (μὲ μόνωσιν χάρτου).

## 18.2) Ὁδὸς ἐκπομπῆς.

Τὰ ρεύματα ὁμιλίας εἰσάγονται εἰς τὸ Θ/Σ μὲ στάθμην -17,4 dBx καὶ διέρχονται ἀπὸ περιοριστὴν πλάτους, μονο- βάθμιον ἐνισχυτὴν, φίλτρον διὰ τὴν ἀποκοπὴν τῶν ρευμά- των ὁμιλίας, τὰ ὁποῖα ἔχουν τὴν συχνότητα κλήσεων καὶ ὑπερπερατὸν φίλτρον, τὸ ὁποῖον ἀποκόπτει τοὺς θορυβοὺς χαμηλῶν συχνοτήτων (σχ. 119). Ἀκολουθεῖ δὲ διαμορφωτὴς διοδεύσεως καὶ ἓν φίλτρον ἐπιλογῆς τῆς ἔνω παραπλεύρου ζώνης. Διὰ τῆς ἐγνώσεως τῶν διοδεύσεων ἔνα τρεῖς, σχημα- τίζονται 4 προομάδες 12-24 KHz. Ἡ ζώνη ἐκάστης προομά-δος διαμορφώνει τὴν φέρουσαν προομάδος, διὰ τὴν προκύψη ἡ βασικὴ πρωτομάς 60-108 KHz. Ἀκολουθοῦν: φίλτρον ἀπο- κοπῆς τῶν συχνοτήτων ὁμιλίας, αἱ ὁποῖαι θὰ παρηγοήσουν





Σχ. 118

Σχέδιον ακουστικού συστήματος Z12K



περαιτέρω τήν οδηγόν συχνότητα, εἰς ζεύκτης, καί εἰς ἐνισχυτή, εἰς τήν ἔξοδον τοῦ ὁποῦ ἡ βασική πρωτομάς ποιεῖ στάθμην  $-36,5 \text{ dBr}$ . Εἰς τόν Α' τερματικόν ἔπεται διαμορφωτῆς ομάδος, διὰ νά σχηματισθῇ ἡ ζώνη  $6-54 \text{ KHz}$ , ἐνῶ εἰς τόν Β' τερματικόν τοποθετεῖται σταθερόν στοιχείον ἀποσβέσεως (ἡ ἀποσβέσις τοῦ (σοῦται μέ τήν ἀποσβέσιν τοῦ διαμορφωτοῦ ομάδος καί τοῦ φίλτρου ζώνης, τὰ ὅποια δέν υπάρχουν εἰς τόν Β' τερματικόν). Ὁ ἐνισχυτής ἐπιτομῆς ἀναβιβάζει τήν στάθμην τῆς ἐπιεμπνεύμενης ζώνης, ὥστε εἰς τήν ἔξοδον τοῦ φίλτρου κατευθύνσεως ἐπιτόμῆς νά ἔχη τιμὴν  $+6,95 \text{ dBr}$ .

### 18.3) Ὁδὸς λήψεως

Ἡ ἐκ τοῦ ἐναντι τερματικοῦ ἐπιεμπνεύμενη ζώνη, ἀφοῦ διέλθῃ ἀπὸ τὸν μετασχηματιστὴν προσαρμογῆς καί τὸ φίλτρον κατευθύνσεως λήψεως, εἰσάγεται εἰς μεταβλητὸν στοιχείον ἀποσβέσεως, τοῦ ὁποῦ ἡ ἀποσβέσις ρυθμίζεται ἀναλόγως τοῦ μήκους τοῦ καλωδίου, ἀπὸ 0 ἕως  $32,4 \text{ dB}$ , εἰς βήματα τῶν  $2,174 \text{ dB}$ . Ἀκολουθεῖ μεταβλητὸν στοιχείον ἀποσβέσεως Ε, τὸ ὅποιον παρεμβάλλει ἀποσβέσιν εἰς τήν χαμηλὴν περιοχὴν συχνότητων. Τὸ στοιχείον τοῦτο ρυθμίζεται, ἀναλόγως τοῦ μήκους τοῦ καλωδίου, εἰς 15 βήματα. Τὸ ἐπιπρόσθετον στοιχείον ἀποσβέσεως Ε, τὸ ὅποιον ἀκολουθεῖ, προσθετεῖ ἀποσβέσιν εἰς τήν περιοχὴν  $6-30 \text{ KHz}$  καὶ συμπληρῶναι τήν δράσιν τοῦ ἀξιοπλοῦ Ε. Ἡ μετὰ τῶν  $6 \text{ KHz}$  καί ἡ ἐλάχιστη εἰς τοὺς  $30 \text{ KHz}$ . Ε, συνάγει εἰς τόν Β' τερματικόν λαμβάνει χώραν ἀποδιαμόρφωσιν τῆς λαμβανομένης ζώνης, διὰ νά προκύψῃ ἡ βασική πρωτομάς  $60-108 \text{ KHz}$ , ἐνῶ εἰς τόν Α' τερματικόν ἀντὶ τοῦ ἀποδιαμορφωτοῦ τίθεται σταθερόν στοιχείον ἀποσβέσεως. Ἡ ἐνισχυσις τοῦ ἀκολουθοῦντος ἐνισχυτοῦ λήψεως ρυθμίζεται αὐτομάτως μέσῳ τῆς οδηγοῦς συχνότητος, ὥστε εἰς τήν ἔξοδον τοῦ ἐπιπράτῃ στάθμῃ  $-30,5 \text{ dBr}$ . Ἐκ τῆς βασικῆς πρωτομάδος ἐπιποδιαμορφουμένη παρέχει τήν ζώνην  $12-24 \text{ KHz}$ . Ἐπεται ἡ ἀποδιαμόρφωσις τῆς ζώνης ἐκδοῦς διόδουσεως καί ἡ ἐπιλογή διὰ βαθυπεράτου φίλτρου τῆς ἀκουστικῆς περιοχῆς  $300-3400 \text{ Hz}$ . Ἐπειδὴ ὑπὸ τοῦ φίλτρου τούτου δέν καταπνίγεται πλήρως ἡ συχνότης σημάτων  $3825 \text{ Hz}$ , τοποθετεῖται τὸ ἐπόμενον φίλτρον καταστολῆς ζώνης. Ὁ ἐνισχυτής Χ.Σ. τῆς διόδουσεως ἀναβιβάζει τήν στάθμην ὀμίλιας εἰς τὰ  $+8,7 \text{ dBr}$ .

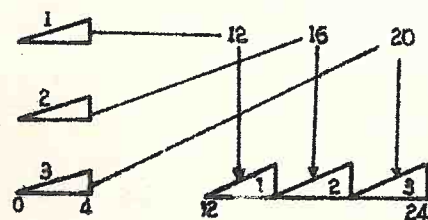
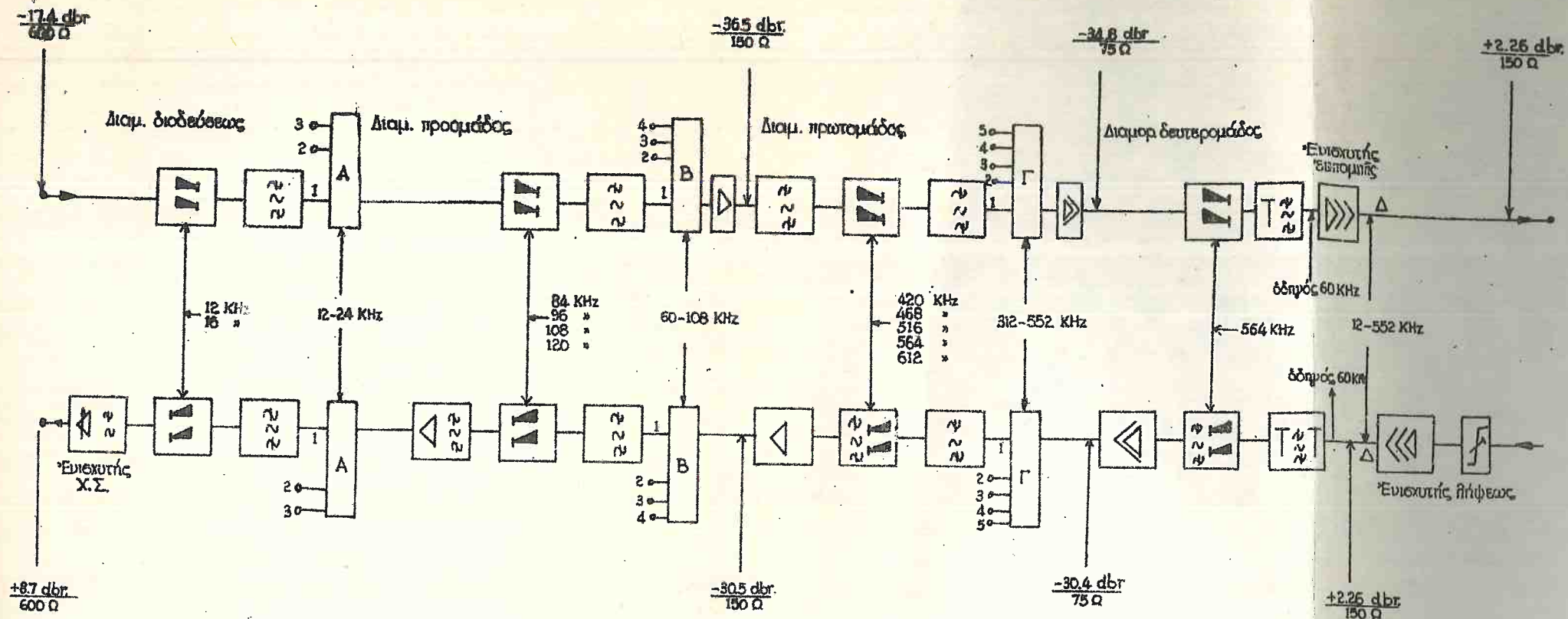
18.4) Αυτόματος ρυθμιστής στάθμης

Τό σύστημα αυτόματου ρυθμίσεως στάθμης εκτελεί δύο βασικώς έργασις: α) Διορθώνει μεταβολάς εις την απόδοσιν της καλωδιακής γραμμής, τριμεινομένης μεταξύ  $-3,904$  έως  $+3,904$  dB. β) Εάν η απόδοσις της γραμμής αυξηθῇ ὑπὸ τῶν  $4,34$  dB, τοποθετεῖται αυτόματως δυναμικὸν γῆς εἰς τὸν ἄγωγόν λήψεως σημάτων ὅλων τῶν διοδεύσεων, ὥστε εἰς τὸ σύστημα χρησιμοποιεῖται εἰς τὴν αυτόματον υπεραστικὴν τηλεφώνειαν νὰ πραγματοποιηθῇ φραγὴ τῶν διοδεύσεων καὶ νὰ μὴ δύνανται νὰ καταληφθοῦν ἐπιδόπως ὑπὸ τῶν συνδρομητῶν. Ταῦτο χρόνως διακόπτεται ρυθμικῶς καὶ ἡ ἐπιπομπή τῆς ὁδηγοῦ συχνότητος πρὸς τὸ ἔναντι Κέντρον, ὥστε νὰ πραγματοποιηθῇ φραγὴ καὶ εἰς αὐτὸ τὸ Κέντρον. Εἰς ἀμφοτέρω τὰ Κέντρα ἐκδηλοῦται ἐπίσης σχετικὸν σῆμα, διὰ νὰ εἰδοποιηθῇ τὸ προσοπικὸν συντηρήσεως. Σημειοῦται ὅτι διὰ συστημάτων φραγῆς πρέπει νὰ εἶναι ἐφωδιασμένα ὅλα τὰ  $\Phi/\Sigma$ , τὰ ὅποια χρησιμοποιοῦνται εἰς τὴν αυτόματον υπεραστικὴν τηλεφώνειαν.

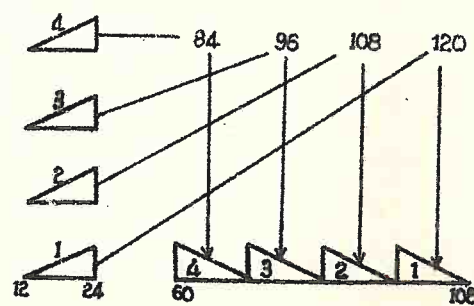
Διὰ νὰ πραγματοποιηθοῦν αἱ ἐνωτέρω ἐργασίαι, ἐξ ἐκαστοῦ τερματινοῦ ἐκπέμπεται ἡ ὁδηγὸς συχνότης  $84,08 \text{ KHz}$ . Ἡ ὁδηγὸς εἰσάγεται εἰς τὴν ὁδὸν ἐπιπομπῆς μέσω ζεύγους ἀφου προηγουμένως διέλθει ὑπὸ περιοριστὴν πλάτους, ἀπὸ μεταβλητὸν στοιχεῖον ἐποσβέσεως καὶ ἀπὸ κύκλωμα ἐνὸς τρανζίστορ  $T_2$ , τὸ ὁποῖον ὁρᾷ ὡς ἀνορθωτής. Τὸ τρανζίστορ  $T_2$  εἶναι ἀγώγιμον ὑπὸ κενονικᾶς συνθήκας λειτουργίας (σχ. 119). Εἰς τὸ ἔναντι Κέντρον ἡ ὁδηγὸς ἐπιλέγεται μέσω φίλτρου ἀπὸ τὴν ζώνην  $60-108 \text{ KHz}$  καὶ ἐνισχύεται εἰς τετραβάθμιον ἐνισχυτὴν P. Ὁ ἐνισχυτὴς οὗτος ἔχει δύο ἐξόδους. Τὸ ἐκ τῆς ἐξόδου 1 τῆμα τῆς ὁδηγοῦ ἀνορθοῦται καὶ διεγείρει δύο ἐνισχυτάς συνεχοῦς ρεύματος, οἱ ὅποιοι μέσω δύο ρωστήρων ρυθμίζουν τὴν κίνησιν τοῦ κινητήρος M. Εἰς τὸν ἄξονα τοῦ κινητήρος προσαρμύζεται ὁ δρομεὺς ροοστάτου, ὃ ὁποῖος εὐρίσκεται εἰς τὸν ἐνισχυτὴν λήψεως. Ὅταν ἡ ἀπόδοσις τῆς γραμμῆς μεταβληθῇ κατὰ  $\pm 0,521$  dB, στρέφεται ὁ κινητὴρ ἀναλόγως, ἀριστεροστροφῶς ἢ δεξιόστροφῶς καὶ ὁ μετακινούμενος δρομεὺς τοῦ ροοστάτου μεταβάλλει τὴν ἐνίσχυσιν τοῦ ἐνισχυτοῦ λήψεως, ὥστε νὰ προέλθῃ ἡ διόρθωσις τῆς στάθμης.

Εἰάν ἡ στάθμη τῆς ὁδηγοῦ μειωθῇ τοῦλάχιστον κατὰ  $4,34$  dB ἢ ἐκ τῆς ἐξόδου 2 τοῦ ἐνισχυτοῦ P ὁδηγὸς συχνότης, ἀνορθοῦται καὶ μέσω τῶν ἐνισχυτῶν συνεχοῦς ρεύματος BI καὶ BII ὁδηγεῖται εἰς τὸν ἐνισχυτὴν  $H_1$ . Εάν ἡ

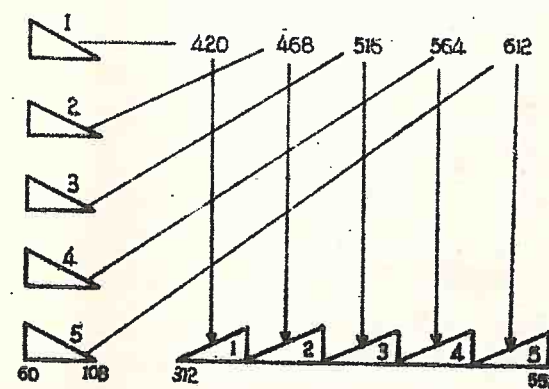




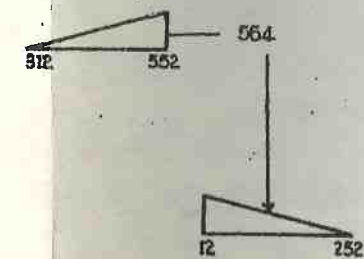
3 διόδους σηματοδότη 1 προαμμό  
Α. Σχηματισμός προαμμό



4 προαμμοί σηματοδότη 1 πρωταμμό  
Β. Σχηματισμός πρωταμμό



5 πρωταμμοί σηματοδότη 1 δευτεροαμμό  
Γ. Σχηματισμός δευτεροαμμό



Δ. Διαμορφωτής γραμμής



στάση της οδηγού μειωθεί τολάχιστον κατά 4,34 αΒ, ή πα-  
ρεχομένη υπό των ενισχυτών συνεχούς τάσης θέτει εις λει-  
τουργίαν τον ενισχυτήν  $E_1$ . Ούτως μέσω του ενισχυτού ελ-  
νικοί παλμοί της γεννητρίδας G και να τὸ οδηγήσουν εἰς  
τὴν ἀποκοπήν. Τοῦτο ἔχει ὡς συνέπειαν τὴν διακοπήν τῆς  
ἐμπειπομένης οδηγού εἰς τὸν ρυθμὸν τῶν τετραγωνικῶν παλ-  
μῶν (80 ms διακοπή, 200 ms ἐμπρομή τῆς οδηγού). Ὁ ενισχυ-  
τὴς BII ἔχει καὶ ἑτέραν ἑξοδον, ἡ ὁποία οδηγεῖται εἰς  
τὸν ενισχυτήν συνεχούς  $E_2$ . Ἡ ἑξοδος τοῦ ενισχυτοῦ τοῦ  
του διεγείρει τὸν ρωστήρα G, τοῦ ὁποῦ αἱ ἐπαφαὶ  $g_1$ ...  
...  $g_{12}$  θέτουν δυναμικὸν γῆς εἰς τὸν ἄγωγόν λήψεως σημά-  
των ὧν τῶν διόδευσεων τοῦ συστήματος διὰ τὴν πραγματο-  
ποίησιν τῆς φραγῆς πρὸς τὸ αὐτόματον ὑπεραστίνον Κέντρον.

## 19. ΠΕΡΕΣΥΣΚΟΝ ΣΥΣΤΗΜΑ V60

### 19.1) Γενικά χαρακτηριστικά

- Διὰ τοῦ συστήματος V60 μεταδίδονται 60 διόδευσεις  
μέσω δύο ζευγῶν καλωδίου διαμέτρου 1,2 ἢ 1,3 mm.

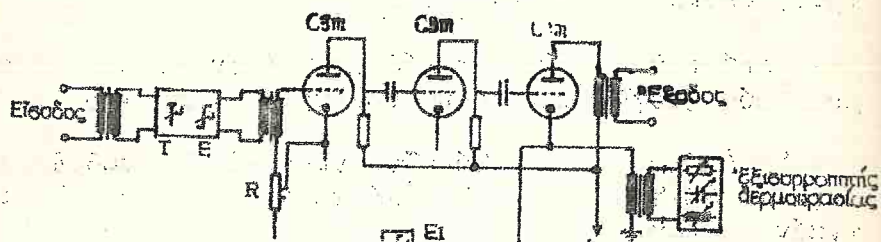
- Ἡ ἀπόστασις μεταξύ τῶν ενισχυτικῶν σταθμῶν κυμαίνε-  
ται ἀπὸ 15 ἕως 21 Km. Ἡ ἀπόστασις αὕτη καλεῖται ενισχυ-  
τικὸν πεδίου.

### 19.2. Σχέδιον συχνότητων - ἀρχὴ λειτουργίας

Εἰς τὸ σχ. 120 δεικνύεται ἡ ἀρχὴ λειτουργίας καὶ  
τὸ σχέδιον συχνότητων τοῦ συστήματος. Μετὰ τὸν διαμορφω-  
τὴν διόδευσεως, τρεῖς διόδευσεις, εἰσαγόμεναι εἰς τὴν  
διάταξιν ἀποξέδεως A, σχηματίζουν μίαν προομάδα εἰς τὴν  
περιοχὴν συχνότητων 12-24 KHz. Ἀκολουθεῖ ὁ διαμορφωτὴς  
προομάδος καὶ ὁ ζεύκτης B, εἰς τὸν ὁποῖον εἰσάγονται 4  
προομάδες σχηματίζουσαι μίαν βασικὴν πρωτομάδα (60-108  
KHz). Ἐκαστὴ πρωτομάς ενισχύεται καὶ εἰσάγεται εἰς τὸν  
διαμορφωτὴν πρωτομάδος. Εἰς τὸν ζεύκτην Γ εἰσάγονται πέν-  
τε πρωτομάδες σχηματίζουσαι μίαν δευτερομάδα 312-552 KHz.  
Ἀκολουθεῖ διβάθμιος ενισχυτὴς καὶ ὁ διαμορφωτὴς γραμμῆς,  
εἰς τὸν ὁποῖον εἰσάγεται ἡ φέρουσα 564 KHz. Ἐκ τῶν προ-  
ϊόντων τῆς διαμορφώσεως ἐπιλέγεται ἡ κάτω παράπλευρος  
ζώνη 12-252 KHz, ἡ ὁποία εἰσάγεται εἰς τὸν ενισχυτὴν ἐν-  
πομπῆς. Εἰς τὸν ενισχυτὴν αὐτὸν εἰσάγεται καὶ ἡ οδηγὸς  
συχνότης 60 KHz, ἡ ὁποία χρησιμεύει διὰ τὴν ἐπίβλεψιν

τῆς καλωδιακῆς γραμμῆς. Εἰς τὴν ἔξοδον τοῦ ἐνισχυτοῦ ἐμπομπῆς ἡ στάθμη τῆς ζώνης 12-252 KHz εἶναι +2,26 dB.

Πρῶτη βαθμὶς εἰς τὴν ὁδὸν λήψεως εἶναι ὁ ἐνισχυτὴς λήψεως (ἰδίου τύπου ἐνισχυτῆς χρησιμοποιεῖται καὶ εἰς τοὺς ἐνισχυτικοὺς σταθμοὺς), εἰς τὴν ἔξοδον τοῦ ὁποῦ οὐλοκληροῦς ἡ λαμβανομένη ζώνη 12-252 KHz ἔχει στάθμην +2,26 dB. Εἰς τὸ σημεῖον αὐτὸ διαχωρίζεται καὶ ἡ ὁδηγὸς συχνότητος 60 KHz διὰ τὴν ἐπὶ βλεψὶν τῆς καλωδιακῆς γραμμῆς (κυρίως παροχὴ σημάτων εἰς περιπτώσιν μειώσεως τῆς στάθμης λήψεως). Ἀκολουθοῦν 4 στάδια ἀποδιαμορφώσεως, ἀντίστοιχα πρὸς τὰ στάδια διαμορφώσεως κατὰ τὴν ἐμπομπήν καὶ τὸ σύστημα τερματίζεται εἰς τὸν ἐνισχυτὴν Χ.Σ. τῶν διοδεύσεων, εἰς τὴν ἔξοδον τοῦ ὁποῦ ἡ περιοχὴ συχνότητων 300-3400 Hz ἔχει στάθμην +8,7 dB. Ὁ ἐνισχυτὴς λήψεως (σχ. 121) ἐποτελεῖται βασικῶς ἀπὸ τριβά-



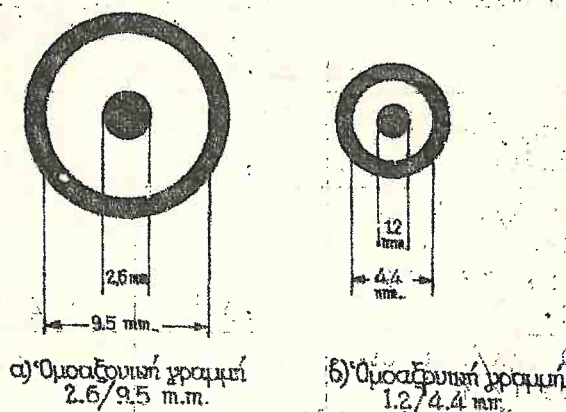
Σχ. 121. Ὁ ἐνισχυτὴς λήψεως τοῦ συστήματος νδϋ

θμιον ἐνισχυτὴν, ὁ ὁποῖος ἐνισχύει τὴν ἀνωτέραν συχνότητα τῆς ζώνης (252 KHz) κατὰ 43,4 ἕως 60,8 dB. Τὸ στοιχεῖον ἀποσβέσεως T ρυθμίζεται εἰς βήματα τῶν 11,3 dB καὶ ἡ ἀντίστασις R ρυθμίζει τὴν ἐνίσχυσιν τοῦ ἐνισχυτοῦ εἰς βήματα τῶν 0,87 dB. Ἡ ἐξίσωσις τῆς γραμμῆς μεταδόσεως ἐπιτυγχάνεται μέσθ τῶν διατάξεων ἐξισώσεως E καὶ E<sub>1</sub>. Ἡ μεταβολὴ τῆς θερμοκρασίας κατὰ  $\pm 10^\circ\text{C}$  εἰς τὴν περιοχὴν τοῦ καλωδίου μεταβάλλει τὴν ἀπόσβεσιν τοῦ καλωδίου κατὰ  $\pm 34,8$  dB εἰς τὴν συχνότητα τῶν 252 KHz καὶ κατὰ  $\pm 26,1$  dB εἰς τὴν συχνότητα τῶν 12 KHz. Ἡ ἐν λόγῳ παραμόρφωσις ἀποσβέσεως διορθοῦται ἀπὸ τὸν ἐξισωτὴν θερμοκρασίας.



## 20. Φ/Σ ΠΠ ΟΜΟΑΞΟΝΙΚΩΝ ΒΑΛΩΔΙΩΝ

Η μέθοδος μεγάλου αριθμού διοδεύσεων μέσω φερουσών συστημάτων εργαζομένων επί έναερτων ή καλωδιακών γραμμών δεν είναι γενικώς έφικτή λόγω της μεγάλης απόσβεσεως, την οποίαν παρουσιάζουν οι εν λόγω γραμμές εις τας υψηλάς συχνότητας. Ούτως, η μέγιστη χωρητικότητα μιας έναερτου γραμμής ανέρχεται εις 16 διοδεύσεις καί



Σχ. 122. Τομή όμοαξονικών σωλήνων

μιας συμμετρικής καλωδιακής γραμμής εις 120 διοδεύσεις. Εάν ως γραμμές μεταδόσεως χρησιμοποιηθούν όμοαξονικά γραμμές, η χωρητικότητα των φερουσών συστημάτων αυξάνει σημαντικώς, γεγονός, τό οποίον συνεπάγεται την μείωσιν του κόστους κατασκευής καί συντηρήσεως μιας τηλεφωνικής διοδεύσεως. Τούς δύο άγωγούς μιας όμοαξονικής γραμμής αποτελούν εις άγωγίμος σωλήν, εις τόν άξονα του οποίου εφύσσεται ο έτερος άγωγός στηρίζομενος επί μονωτικών δακτυλίων. Αι διαστάσεις των δύο άγωγών έχουν τυποποιηθεΐ διεθνώς καί σήμερα κατασκευάζονται δύο τύποι όμοαξονικών γραμμών, οι οποίοι δεικνύονται εις τό σχ. 122 εν τομή.

Η ζεύξις των Φ/Σ μέσω των όμοαξονικών γραμμών επιτυγχάνεται μέσω ενός ζεύγους σωλήνων, δηλαδή δι' έκαστην κατευθύνσιν μεταδόσεως χρησιμοποιείται εις όμοαξονικώς σωλήν. Πρός άμφοτέρας τας κατευθύνσεις μεταδίδεται η αύτή ζώνη συχνοτήτων.

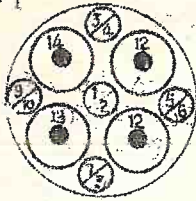


- Μεταξύ τῶν δύο τερματικῶν Κέντρων τοποθετοῦνται ἐνδιάμεσοι ἐνισχυτικοὶ σταθμοὶ εἰς κανονικὰς ἀποστάσεις, τῶν ὁποίων τὸ μῆκος ποικίλλει ἀναλόγως τοῦ εἴδους τῆς ὁμοαξονικῆς γραμμῆς καὶ τοῦ πλήθους τῶν διοδεύσεων. Ὁ κατωτέρω πῖναξ δίδει τὰς ἐν λόγῳ ἀποστάσεις μεταξύ τῶν ἐνισχυτικῶν σταθμῶν (ἢ ἄλλως, τὸ μῆκος τῶν ἐνισχυτικῶν πεδίων).

ΣΥΣΤΗΜΑ	ΠΕΡΙΕΚΤΙΚΟΤΗΣ	ΟΜ. ΣΩΛΗΝ 2,6/9,5mm ἐνδ. ἐνι- σχυτικοί ἀνὰ	ΟΜ. ΣΩΛΗΝ 1,2/4,4 mm ἐνδ. ἐνισχυτι- κοί ἀνὰ
V 300	300 τηλ/καὶ δι- οδεύσεις	18,6 Km	8 Km
V 960	960 τηλ/καὶ δι- οδεύσεις ἢ 1 πρόγρ. τηλεορά- σεως.	9,3 "	4 "
V 1260	1260 τηλ/καὶ δι- οδεύσεις ἢ 1 πρόγρ. τηλεοράσε- ως.	9,1 "	4 "
V 2700	2700 τηλ/καὶ δι- οδεύσεις ἢ 1200 τηλ/καὶ διοδεύ- σεις καὶ 1 προγρ. τηλεοράσεως	4,65 "	2 "
V 10800	10800 τηλ/καὶ διοδεύσεις	1,55 "	-

- Οἱ ὁμοαξονικοὶ σωλῆνες τοποθετοῦνται ἐντὸς τοῦ αὐτοῦ ὁμοαξονικοῦ καλωδίου, τὸ ὅποτον δύναται νὰ περιέχῃ καὶ ζεύγη συμμετρικῶν γραμμῶν. Εἰς τὸ σχ. 123 δεικνύονται ἐν τομῇ τρεῖς τύποι ὁμοαξονικῶν καλωδίων.

Τύπος 14 f

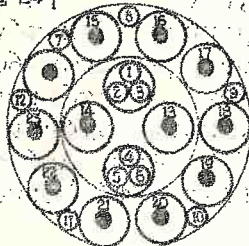


- 10 συμμετρικά ζεύγη (καθαρός 0.9 mm Ø)  
κατάλληλα διά μετάδοσιν σημάτων.

- 4 Ομοαξονικοί γραμμάι 2.5/9.5 mm Ø  
κατάλληλοι διά συστήματα.

V 960, V 1260, V 2700, V 10800

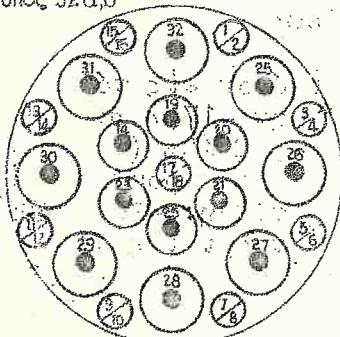
Τύπος 24 f



- 6 συμμετρικά ζεύγη (καθαρός 0.6 mm Ø  
μόνοις κάρτου) κατάλληλα διά μετά-  
δοσιν σημάτων με πολυπλάκη χει-  
ρισμού.

- 6 συμμετρικά ζεύγη (καθαρός 0.9 mm Ø  
μόνοις κάρτου) διά υπηρεσιονόας γραμ-  
μάς

Τύπος 32 α, β



- 12 Ομοαξονικοί γραμμάι 1.2/4.4 mm Ø  
κατάλληλοι διά συστήματα V 300, V 960

- 16 συμμετρικά ζεύγη (καθαρός 0.6 mm Ø  
μόνοις κάρτου)

- 2 συμμετρικά ζεύγη (καθαρός 0.9 mm Ø)

- 6 Ομοαξονικοί γραμμάι 1.2/4.4 mm Ø  
διά V 300, V 960

- 8 Ομοαξονικοί γραμμάι 2.5/9.5 mm Ø  
διά V 960, V 1260, V 2700, V 10800.

#### Επεξηγήσεις

○ Συμμετρικών ζεύγος

⊘ 2 Συμμετρικά ζεύγη

⊙ Ομοαξονική γραμμή 1.2/4.4

⊙ Ομοαξονική γραμμή 2.5/9.5 mm Ø

Εχ. 123: Μερικοί τύποι ομοαξονικών καλωδίων

## 21. ΣΥΣΤΗΜΑ V1260

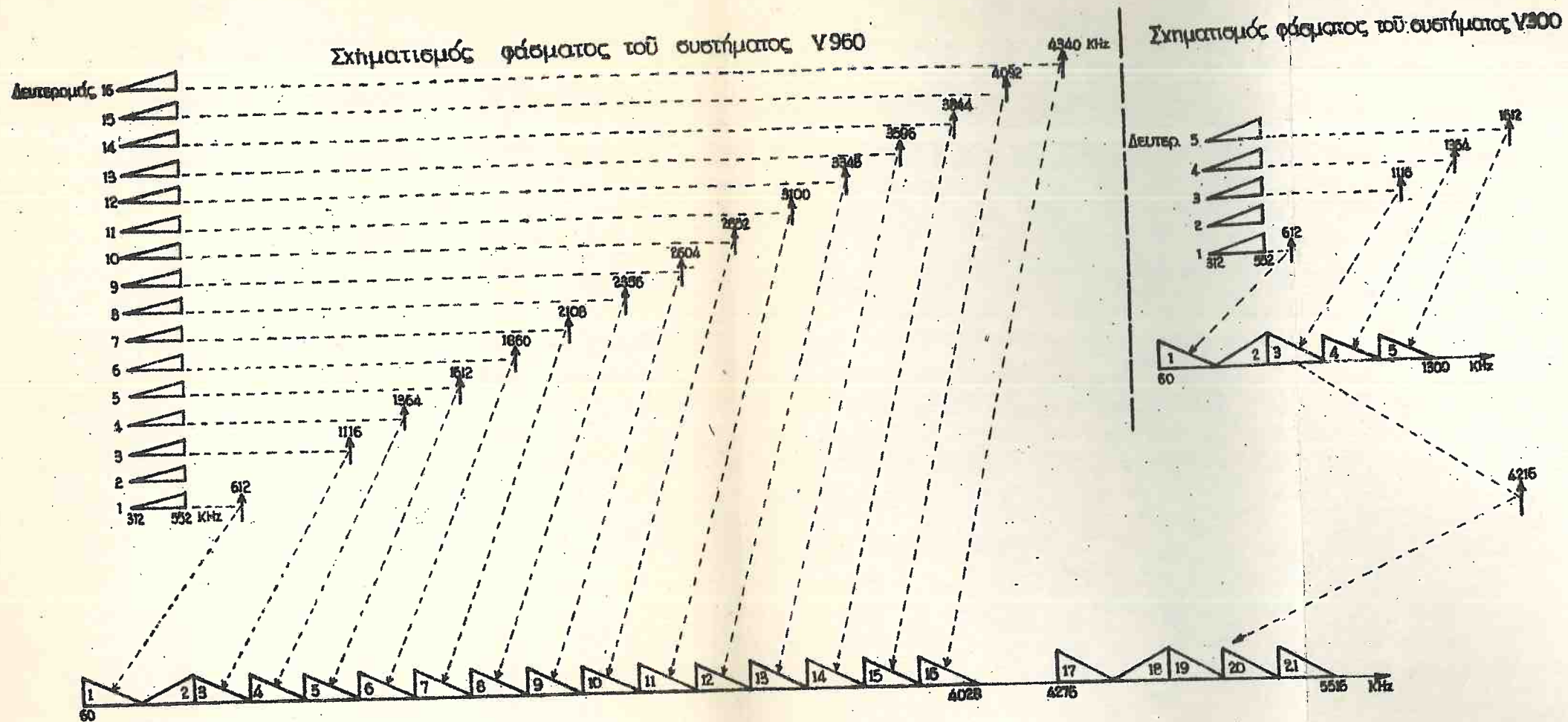
## 21. 1. Σχηματισμός ζώνης μεταδόσεως.

Ός δεικνύεται εις τὸ σχ. 124, τὸ ἐν λόγῳ σύστημα συντίθεται βασικῶς ἐκ δύο συστημάτων V960 καὶ V300. Ὁ σχηματισμὸς τῆς ζώνης μεταδόσεως τοῦ V1260 ἐπιτυγχάνεται ὡς ἐξῆς: 16 δευτερομάδες 312-552 KHz μετατοπίζονται διὰ διαμορφώσεως εἰς τὴν ζώνην τοῦ V960, ἥτοι τὴν περιοχὴν συχνοτήτων 60-4028 KHz (ἢ ὑπ' ἄριθμ. 2 δευτερομάς καταλαμβάνει τὴν θέσιν εἰς τὴν ζώνην μεταδόσεως ἄνευ διαμορφώσεως). Τὸ σύστημα V300 προκύπτει ἐκ πέντε δευτερομάδων, αἱ ὁποῖαι καταλαμβάνουν τὴν ζώνην 60-1300 KHz. Ἡ ζώνη αὕτη, ὑφισταμένη μίαν εἰσέτι μετατόπισιν συχνοτήτος μέσῳ τῆς φερούσης 4216 KHz, καταλαμβάνει εἰς τὸ φάσμα μεταδόσεως τὴν ζώνην 4276-5516 KHz. Διὰ τῆς ἀθροίσεως τῶν δύο τούτων ζωνῶν σχηματίζεται τὸ ὅλινδν φάσμα μεταδόσεως 60-5516 KHz.

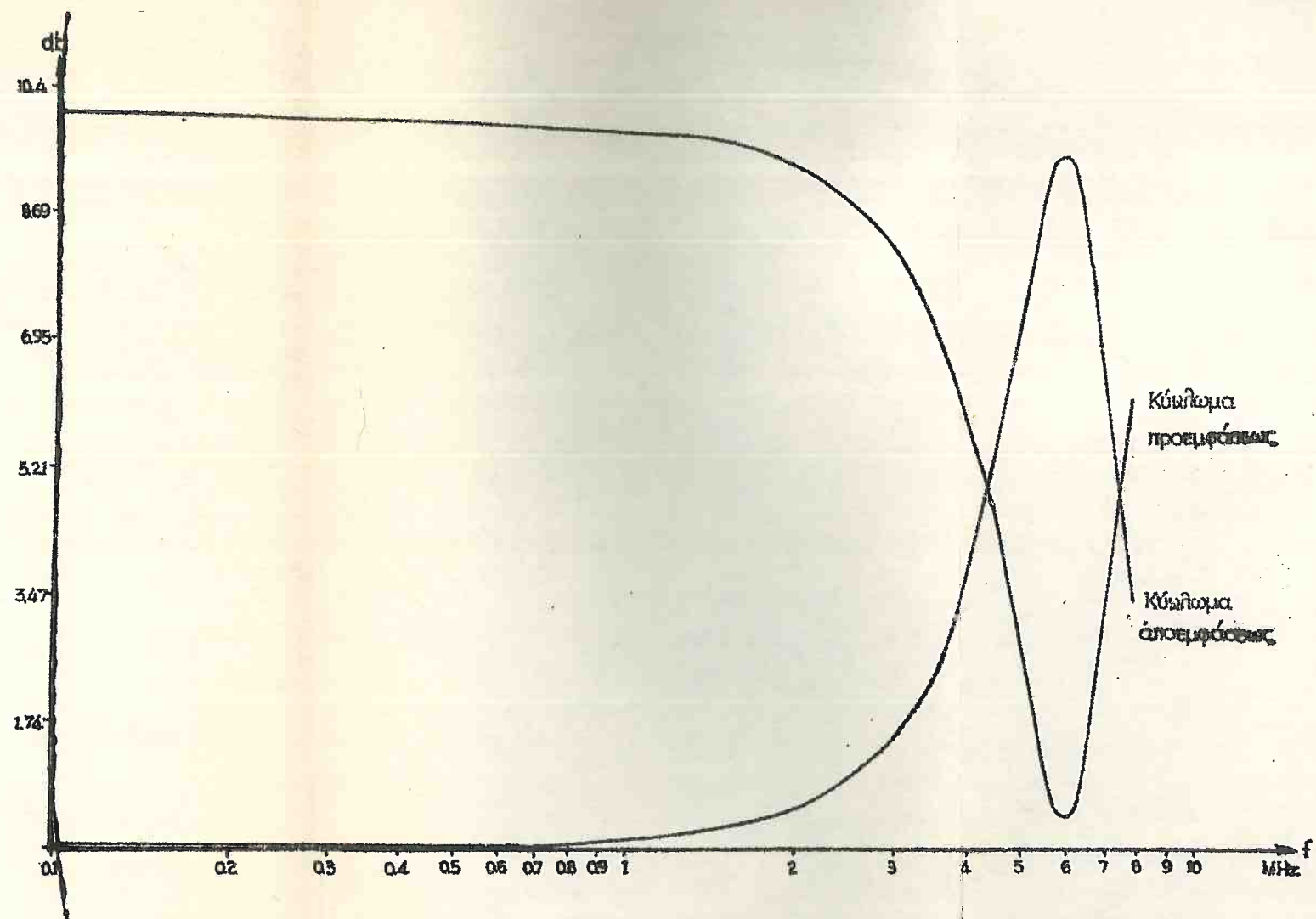
## 21.2. Ὁδὸς ἐκπομπῆς - ὁδὸς λήψεως

Ἡ ὁδὸς ἐκπομπῆς, ἀπὸ τῆς εἰσόδου εἰς τὸν διαμορφωτὴν τῶν ρευμάτων ὁμιλίας μὲ στάθμην -17,4 dBr ἕως τοῦ σχηματισμοῦ τῆς δευτερομάδος 312-552 KHz (-34,8 dBr) καὶ ἡ ὁδὸς λήψεως ἀπὸ τῆς εἰσόδου τῆς δευτερομάδος εἰς τὸ ἱκρίωμα διαμορφωτῶν πρωτομάδων (στάθμη: -30,4 dBr) ἕως τῆς ἐξόδου ἐκ τοῦ Φ/Σ τῶν ρευμάτων ὁμιλίας μὲ στάθμην +8,7 dBr, εἶναι αἱ αὐταὶ μὲ τὰς ἀντιστοιχοῦς τοῦ συστήματος V60 (σχ. 125). Εἰς τὸ ἱκρίωμα διαμορφωτῶν δευτερομάδων τοῦ V960 αἱ φέρουσαι τῶν δευτερομάδων διαμορφοῦνται ὑπὸ τῶν δευτερομάδων 1 ἕως 16 καὶ προκύπτει ἡ ζώνη 60-4028 KHz. Εἰς τὸ ἱκρίωμα διαμορφωτῶν δευτερομάδων τοῦ V300, αἱ δευτερομάδες 17 ἕως 21 μετατίθενται εἰς τὴν ζώνην 60-1300 KHz. Ἡ ζώνη αὕτη εἰς τὸ ἱκρίωμα διαμορφωτοῦ V300/1260 ὑφίσταται μίαν περαιτέρω μετατόπισιν συχνοτήτος διὰ διαμορφώσεως μετὰ τῆς φερούσης 4216 KHz. Προκύπτει οὕτως ἡ ζώνη 4276-5516 KHz, ἡ ὁποία προστίθεται μέσῳ ζεῦκτου μετὰ τῆς ζώνης τοῦ V960, διὰ νὰ προκύψῃ ἡ ζώνη μεταδόσεως τοῦ V1260. Ἡ ζώνη αὕτη κατέχει τὴν περιοχὴν 60-5516 KHz καὶ εἰσέρχεται εἰς τὸ ἱκρίωμα τοῦ ἐνισχυτοῦ ἐκπομπῆς μὲ στάθμην = 23 dBr. Πρῶτον στοιχεῖον τοῦ ἱκριώματος τούτου εἶναι ὁ ἐξισωτής (I) τῆς καλωδίσεως, ἡ ὁποία συνδέει τὸ ἱκρίωμα τοῦ διαμορφωτοῦ V300/1260 μετὰ τοῦ ἱκριώματος τοῦ ἐνισχυτοῦ ἐκπομπῆς.





Σχ. 124 Σχηματισμός φάσματος του συστήματος V1260 διά της προσθήκης των φασμάτων V960 + V300



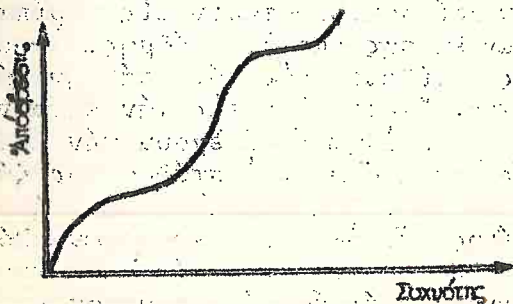
Δλ. 126, Καμπύλες προεμφόσεως - αποεμφόσεως εις V1260

Ακολουθεῖ τὸ κύβλωμα προεμφάσεως 2, τὸ ὁποῖον παρεμβάλλει ἀποσβέσιν τῆς τάξεως τῶν 9 dB περίπου εἰς τὴν περιοχὴν τῶν χαμηλῶν συχνοτήτων τῆς ζώνης μεταδόσεως καὶ σημαντικῶς μικροτέραν ἀποσβέσιν εἰς τὴν περιοχὴν μεταξύ 4-6 MHz (ἰδὲ καμπύλην εἰς σχ. 126). Τὸ κύβλωμα τῆς προεμφάσεως τοποθετεῖται διὰ νὰ βελτιωθῇ ἡ στάθμη τοῦ θορύβου εἰς τὴν περιοχὴν συχνοτήτων τῶν δευτερομάδων 17-21. Εἰς τὴν ὁδὸν λήψεως, πρὸ τῆς εἰσόδου τῆς ζώνης 60-5516 KHz εἰς τὸ ἱκρίωμα τοῦ διαμορφωτοῦ V300/1260, τοποθετεῖται τὸ κύβλωμα τῆς ἀποεμφάσεως (8), τὸ ὁποῖον ἔχει ἀντίθετον καμπύλην ἀποσβέσεως ὥστε νὰ ἐπανεέλθῃ ὁλόκληρος ἡ ζώνη εἰς τὴν φυσικὴν τῆς θέσιν ἀπὸ ἀπόψεως στάθμης.

Εἰς τὸ πεδίον (3) εὐρίσκονται σταθερόν στοιχεῖον ἀποσβέσεως καὶ ἐξιωσέως καὶ φίλτρον ἀποκοπῆς τῆς συχνότητος 0,308 MHz, διὰ νὰ μὴ ἐπηρεάζεται ἡ ἀντίστοιχος ὁδηγὸς ἐκ τῶν ρευμάτων ὁμιλίας. Εἰς τὴν ἑξοδὸν τοῦ ἐνισχυτοῦ ἐκπομπῆς, ὁλόκληρος ἡ ζώνη συχνοτήτων δὲν ἔχει τὴν αὐτὴν στάθμην λόγῳ τοῦ κύβλωματος προεμφάσεως.

Εἰς τὴν ὁδὸν λήψεως, τὸ πεδίον I ἀποτελεῖ μίαν τεχνικὴν γραμμὴν, ἥτις τοποθετεῖται ὅταν ἡ ἀπόστασις μεταξύ τοῦ κέντρου καὶ τοῦ τελευταίου ἐνισχυτικοῦ εἶναι μικρότερα τῶν 9,1 Km. Ὁ ἐνισχυτὴς 2 ἀποτελεῖ μέρος τοῦ τμήματος αὐτομάτου ἐξιωσέως, τὸ ὁποῖον θὰ περιγραφῇ κατωτέρω.

Ἡ καμπύλη ἀποσβέσεως τῆς ὁμοαξονικῆς γραμμῆς παρουσιάζει αἰχμὰς καὶ βυθίσεις, αἱ ὁποῖαι ἔχουν μίαν συχνότητα ἐπαναλήψεως διαφέρονσαν ἀπὸ γραμμῆς εἰς γραμμὴν (σχ. 127). Ὁ ἐξιωτὴς γραμμῆς 3, ὁ ὁποῖος ρυθμίζεται



Σχ. 127



κατά τήν ἐγκατάστασιν τοῦ συστήματος, ἔχει τήν δυνατότητα διορθώσεως αὐτῶν τῶν ἀνωμαλιῶν μέσῳ 25 κυκλωμάτων ἐξισώσεως (ἤ, ἄλλως, κυκλωμάτων ἡχοῦς). Αἱ καμπύλαι λειτουργίας τῶν 5 πρώτων κυκλωμάτων ἡχοῦς δεικνύονται εἰς τό σχ. 128. Ἐν τοῦ σχήματος τούτου φαίνεται ὅτι ἐκάστη ἡχώ ἔχει δύο καμπύλας καί ἡ ἐκλογή τῶν καταλλήλων κυκλωμάτων, τὰ ὅποια θά δράσουν διὰ τήν ἐξίσωσιν ἐξαρτᾶται ἐν τῆς καμπύλης ἀποσβέσεως τῆς ὑπ' ὄψιν ὁμοαξονικῆς γραμμῆς.

Ὁ ἐξισωτής τῶν ὁδηγῶν συχνότητων (4) ἐπιτρέπει τήν λεπτομερῆ ρύθμισιν τῆς στάθμης τῶν ὁδηγῶν συχνότητων, ὥστε αὕτη νά ἔχη τήν ἀκριβῆ τιμήν εἰς τήν εἴσοδον τῶν ἀντιστοίχων δεικτῶν.

Ἀκολουθοῦν δύο ἐνισχυταί ἐπιπέδου ἐνισχύσεως (5) καί (7) καί μεταξὺ αὐτῶν οἱ αὐτομάτως ρυθμιζόμενοι ἐξισωταί (6).

Τελευταῖον στοιχεῖον τοῦ κυκλώματος ἐνισχυτοῦ λήψεως εἶναι τό φίλτρον (9), τό ὅποιον ἐμποδίζει τήν διέσπασιν τῆς ὁδηγοῦ συχνότητος 0,308 MHz πρὸς τὰ ἐπόμενα κυκλώματα.

### 21.3. Αὐτόματος ρύθμισις ἐξισώσεως

Αὕτη ἐπιτυγχάνεται μέσῳ τριῶν ὁδηγῶν 6,2-4,092 καί 0,308 MHz αἱ ὁποῖαι εἰσάγονται εἰς τήν εἴσοδον τοῦ ἐνισχυτοῦ ἐμπομπῆς (σχ. 125) δηλαδή μετὰ τήν προέμφασιν. Συνεπῶς, εἰς τήν ἔξοδον τοῦ κυκλώματος ἐμπομπῆς καί αἱ τρεῖς ὁδηγοί θά ἔχουν τήν αὐτὴν στάθμην. Εἰς τήν ἔξοδον τοῦ ἐνισχυτοῦ ἐμπομπῆς ἔχουν τοποθετηθῇ τρεῖς δένται ὁδηγῶν συχνότητων διὰ τήν παρακολούθησιν τῆς στάθμης ἐμπομπῆς τῶν ὁδηγῶν καί σηματοδότησιν εἰς περίπτωσιν ἀποκλίσεως τῶν ὁδηγῶν ἐκ τῆς ὥστῃς στάθμης. Ἐπειδὴ ἡ αὐτόματος ἐξίσωσις βασίζεται εἰς τήν στάθμην λήψεως τῶν ὁδηγῶν συχνότητων, ἔπεται ὅτι εἰς τήν ἔξοδον τοῦ ἐνισχυτοῦ 7 ( $G_2$ ) αἱ τρεῖς ὁδηγοί θά ἔχουν τήν αὐτὴν στάθμην, ἀλλά, λόγῳ τῆς προεμφάσεως, ἡ στάθμη τῆς ζώνης μεταδόσεως εἰς τήν περιοχὴν τῶν χαμηλῶν συχνότητων θά εἶναι μικροτέρα ἐκείνης τῶν ὑψηλῶν συχνότητων. Τό κύκλωμα ἀποεμφάσεως (8) διορθώνει αὐτὴν τήν κατάστασιν, διότι εἰσάγει ἀποσβέσιν εἰς τὰς ὑψηλὰς συχνότητας (βλέπε σχ. 126). Συνεπῶς, εἰς τήν ἔξοδον τοῦ κυκλώματος ἐνισχυτοῦ





λήψεως δολοκλήρος ή ζώνη 60-5516 KHz θά έχη τήν αὐτήν στάθμην -24 dBz.

Εἰς τό λκρίωμα τοῦ ἐνισχυτοῦ λήψεως αἱ τρεῖς ὁδηγοί ἐπιλέγονται μετὰ τόν ἐνισχυτήν 7 μέσῳ φίλτρων καί ὁδηγοῦνται εἰς τοὺς ἀντιστοίχους δέκτας. Ἐκάστη ὁδηγός ἐνισχύεται εἰς τόν δέκτην καί ἐν συνεχείᾳ ἀνορθοῦται. Τό προκίῤπτον συνεχές ρεῦμα ἀφ' ἐνός μὲν παρέχει ἐνδειξιν τῆς στάθμης τῆς ὁδηγοῦ, ἀφ' ἐτέρου δέ ἐνισχύεται εἰς τόν ἐνισχυτήν συνεχοῦς ρεύματος. Τό ἐνισχυμένον τοῦτο ρεῦμα προκαλεῖ τήν κίνησιν κινητήρος, ὁ ὁποῖος ἐπιδρᾷ ἐπὶ μεταβλητοῦ μετασχηματιστοῦ. Ἡ τάσις ἐξόδου τοῦ μεταβλητοῦ μετ/τοῦ παρέχει τό ρεῦμα θερμάνσεως εἰς τὰ θερμίστορ τῆς ἀντιστοίχου διατάξεως αὐτομάτου ἐξισώσεως. Ὅταν, συνεπῶς, μεταβληθῇ ή στάθμη τῆς ὁδηγοῦ, ὁ κινητήρ κινεῖται καί μεταβάλλει τήν θέσιν τοῦ μεταβλητοῦ μετασχηματιστοῦ. Τοῦτο προκαλεῖ ἀλλαγὴν τοῦ ρεύματος θερμάνσεως τῶν θερμίστορ καί, συνεπῶς, μεταβολήν τῆς δράσεως τοῦ αὐτομάτου ἐξισωτοῦ.

Ἡ ὁδηγός συχνότης 6,2 MHz προορίζεται διὰ τήν ρύθμισιν τῶν μεταβολῶν ἀποσβέσεως τῆς γραμμῆς λόγῳ ἀλλαγῆς τῆς θερμοκρασίας εἰς τό ἔδαφος. Ἡ ἀλλαγὴ τῆς στάθμης τῆς ὁδηγοῦ ταύτης προκαλεῖ μεταβολήν τῆς δράσεως ἐνός ἐξισωτοῦ, ὅστις εὐρίσκεται εἰς τόν ἐνισχυτήν 2(Η). Τὰ περιθώρια ρυθμίσεως τοῦ ἐνισχυτοῦ "Η" δεικνύονται εἰς τήν καμπύλην τοῦ σχ. 129.

Ἡ μεταβολὴ τῆς θερμοκρασίας τοῦ περιβάλλοντος, εἰς τό ὁποῖον εὐρίσκονται οἱ ἐνισχυτικοί σταθμοί καί τὰ терματικά κέντρα, προκαλεῖ ἀλλαγὴν εἰς τήν συνολικὴν ἀπόσβεσιν τοῦ συστήματος, ή ὁποία διορθοῦται μέσῳ τῆς ὁδηγοῦ συχνότητος 0,308 MHz. Ὁ ἀντίστοιχος ἐξισωτής εἰς τό λκρίωμα ἐνισχυτοῦ λήψεως παρουσιάζει χαρακτηριστικὰς καμπύλας, καταλλήλους διὰ τήν ἀπαιτουμένην διόρθωσιν στάθμης, ὅταν ή θερμοκρασία τοῦ περιβάλλοντος μεταβληθῇ ἀπὸ  $-12^{\circ}$  C ἕως  $+ 50^{\circ}$  (σχ. 130).

Τέλος, μέσῳ τῆς ὁδηγοῦ συχνότητος 4,092 MHz ἐπιτυγχάνεται ή διόρθωσις στάθμης, ήτις ἀπαιτεῖται εἰς περίπτωσιν "γῆρατος" τῶν λυχνιῶν. Ὅταν αἱ ἡλεκτρονικαί λυχνίαι χρησιμοποιηθοῦν ἐπὶ μακρόν χρόνον, μεταβάλλεται μετὰξὺ τῶν ἄλλων καί ή διαγωγιμότης των. Ὁ ἐξισωτής, ὅστις ἐλέγχεται ἀπὸ τήν ὁδηγόν 4,092 MHz, εἶναι εἰς θέσιν νά διορθώσῃ μεταβολὰς στάθμης, αἱ ὁποῖαι θά προέλ-



θουν λόγω μεταβολής της διαγωγιμότητας από 12 mA/V έως  $> 16,3 \text{ mA/V}$  (σχ. 134).

#### 21.4) Ένδιάμεσοι ενισχυτικοί σταθμοί

Ως ήδη ανεφέρθη, οι ενδιάμεσοι ενισχυτικοί σταθμοί του συστήματος V1260 εγκαθίστανται ανά 9,1 Km.

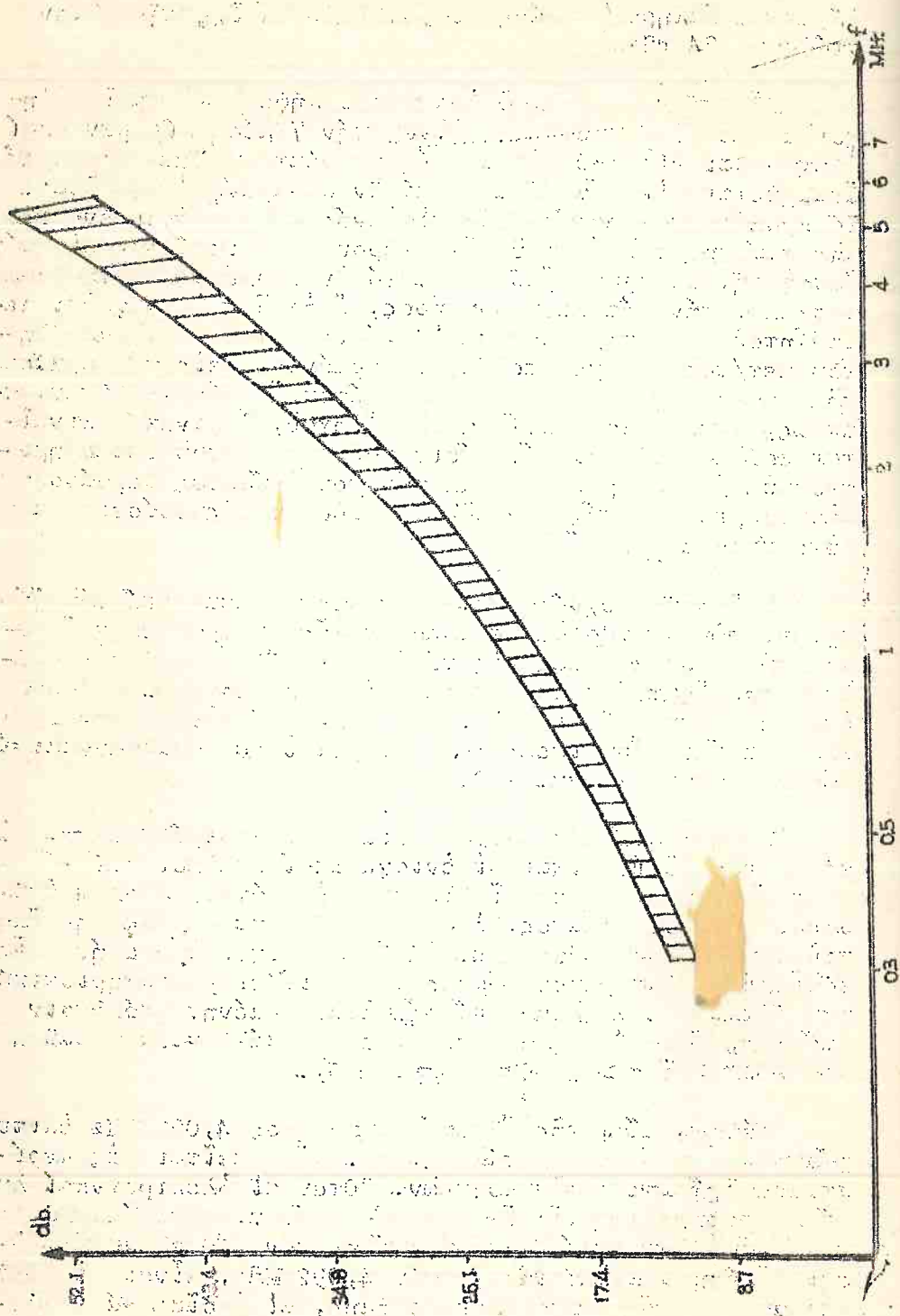
Βασικώς, υπάρχουν δύο τύποι ενισχυτικών σταθμών.

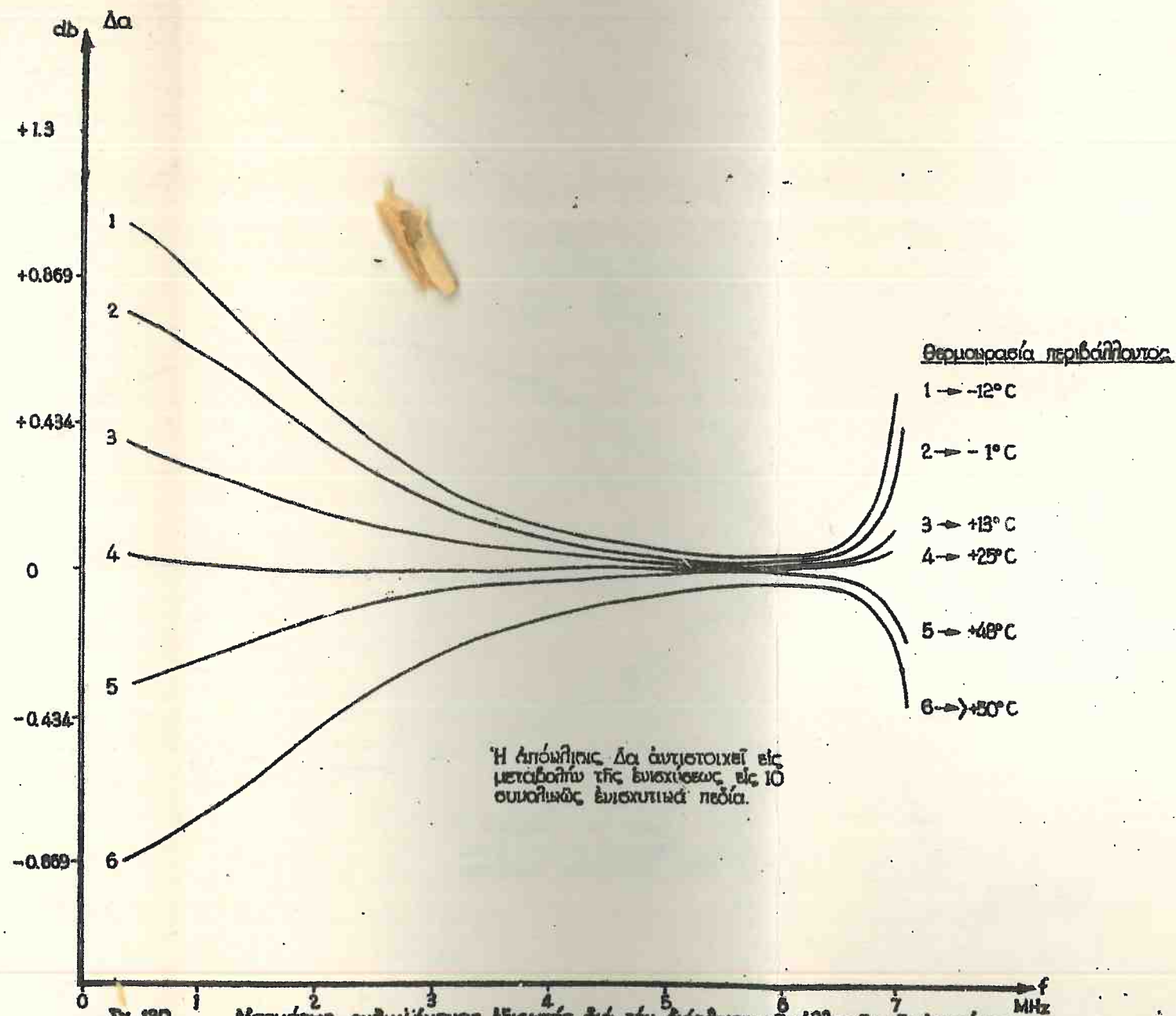
α) Ένισχυτικός σταθμός δι' εγκατάστασιν εις ανεπιβλεπτον Κέντρον.

β) Ένισχυτικός σταθμός δι' εγκατάστασιν εις επιβλεπόμενον Κέντρον.

Τό σχηματικόν διάγραμμα του πρώτου τύπου δι' ενάστην κατεύθυνσιν μεταδόσεως δεικνύεται εις τό σχ. 132α. Ούτος περιλαμβάνει τό στοιχείον επιμηγύνσεως της όμοαξονικής γραμμής (I), τόν ενισχυτήν τύπου "E" καί τόν δέκτην της όδηγοϋ συχνότητος 6,2 MHz. Μέσω του δέκτου τουτου ό ενισχυτής προβαίνει εις μερικήν διόρθωσιν των μεταβολών της αποσβέσεως ενός ενισχυτικοϋ πεδίου. Η περιόχη ρυθμίσεως του ενισχυτοϋ "E" δεικνύεται εις τό σχ. 129.

Είς τό σχ. 132β δεικνύεται τό σχηματικόν διάγραμμα διά μίαν κατεύθυνσιν μεταδόσεως του ενισχυτικοϋ, όστις, εγκαθίσταται εις τά έπηνδρωμένα Κέντρα. Ούτος περιλαμβάνει τήν επιμήκυνσιν της γραμμής (I), τόν ενισχυτήν τύπου "E", τόν έξισωτήν της γραμμής (3), τόν έξισωτήν των όδηγών συχνοτήτων (4), τόν ενισχυτήν επιπέδου ενισχύσεως (5), τούς αυτόματως ρυθμιζομένους έξισωτάς (6), τό στοιχείον αποσβέσεως 14,8 dB καί τόν ενισχυτήν επιπέδου ενισχύσεως (8). Πέραν αυτών, υπάρχουν τρείς δέκται όδηγών συχνοτήτων, καθώς καί τά λοιπά απαραίτητα κυκλωματικά στοιχεΐα διά τήν πλήρη αυτόματον ρύθμισιν στάθμης (όπως εις τό λικρίωμα ενισχυτοϋ λήψεως των τερματικών κέντρων). Αί λειτουργίαι των επί μέρους στοιχείων του ενισχυτικοϋ τούτου σταθμοϋ, ως καί αί σχετικές χαρακτηριστικάς καμπύλαι, έχουν ήδη αναφερθή εις τήν περιγραφήν του λικριώματος ενισχυτοϋ λήψεως.





Σχ. 130

Απομείνω ρυθμιζόμενος εξισωτής διά την διόρθωσιν των ἀλλογαῶν της έντατος λόγω ἀλλαγῆς της θερμοκρασίας τοῦ περιβάλλοντος. (δόνης συχνότης 0.808 MHz)



θουν λόγω μεταβολής της διαγωγιμότητας από  $12 \text{ mA/V}$  έως  $> 16,3 \text{ mA/V}$  (σχ. 131).

#### 21.4) Ένδιαμέσοι ενισχυτικοί σταθμοί

Ός ήδη ανέφερθη, οι ενδιάμεσοι ενισχυτικοί σταθμοί του συστήματος V1260 εγκαθίστανται ανά  $9,1 \text{ Km}$ .

Βασικώς, υπάρχουν δύο τύποι ενισχυτικών σταθμών.

α) Ένισχυτικός σταθμός δι' εγκατάστασιν εις ανεπλήρως Κέντρον.

β) Ένισχυτικός σταθμός δι' εγκατάστασιν εις επιβλεπόμενον Κέντρον.

Τό σχηματικόν διάγραμμα του πρώτου τύπου δι' ένα στην κατεύθυνσιν μεταδόσεως δεικνύεται εις τό σχ. 132α. Ούτος περιλαμβάνει τό στοιχείον επιμηνύσεως της όμοια-ξονικης γραμμής (I), τόν ενισχυτήν τύπου "E" καί τόν δέκτην της όδηγού συχνότητος  $6,2 \text{ MHz}$ . Μέσω του δέκτου του-του ό ενισχυτής προβαίνει εις μερικην διόρθωσιν των μεταβολών της αποσβέσεως ενός ενισχυτικού πεδίου. Η περι-οχή ρυθμίσεως του ενισχυτού "E" δεικνύεται εις τό σχ. 129.

Εις τό σχ. 132β δεικνύεται τό σχηματικόν διάγραμμα διά μίαν κατεύθυνσιν μεταδόσεως του ενισχυτικού, ό-στις, εγκαθίσταται εις τά επηνδρωμένα Κέντρα. Ούτος περιλαμβάνει τήν επιμήκυνσιν της γραμμής (I), τόν ενισχυ-τήν τύπου "E", τόν έξισωτήν της γραμμής (3), τόν έξισω-τήν των όδηγών συχνότητων (4), τόν ενισχυτήν επιπέδου ενισχύσεως (5), τούς αυτόμάτως ρυθμιζομένους έξισωτάς (6), τό στοιχείον αποσβέσεως  $14,8 \text{ dB}$  καί τόν ενισχυτήν επιπέδου ενισχύσεως (8). Πέραν αύτών, υπάρχουν τρεΐς δέκται όδηγών συχνότητων, καθώς καί τά λοιπά απαραίτη-τα κυκλωματικά στοιχεΐα διά τήν πλήρη αυτόματον ρύθμι-σιν στάθμης (όπως εις τό Ικρίωμα ενισχυτού λήψεως των τερματικών κέντρων). Αί λειτουργΐαι των επί μέρους στοι-χείων του ενισχυτικού τούτου σταθμού, ως καί αι σχετι-καί χαρακτηριστικά καμπύλαι, έχουν ήδη αναφερθῇ εις τήν περιγραφήν του Ικριώματος ενισχυτού λήψεως.

133β) Η απόλυτος στάθμη τάσεως συναρτήσει της συχνότητας εἰς πῆν ἔξοδον τοῦ ἐνισχυτοῦ  $G_2$  δεικνύεται εἰς τό σχ. 133β. Η αὐτή καμπύλη τῆς ἀπολύτου στάθμης τάσεως ἰσχύει καί εἰς τήν ἔξοδον τοῦ ἱκριώματος ἐμπομπῆς τῶν τερματικῶν κέντρων. Ἐπομένως σκοπός τοῦ ἐνισχυτικοῦ σταθμοῦ πλήρους ρυθμίσεως εἶναι νά ἐπαναφέρῃ τήν στάθμην δλων τῶν διοδεύσεων εἰς τήν αὐτήν τιμήν, τήν ὅποιαν εἶχον κατὰ τήν ἔξοδόν των ἐκ τοῦ ἱκριώματος ἐμπομπῆς.

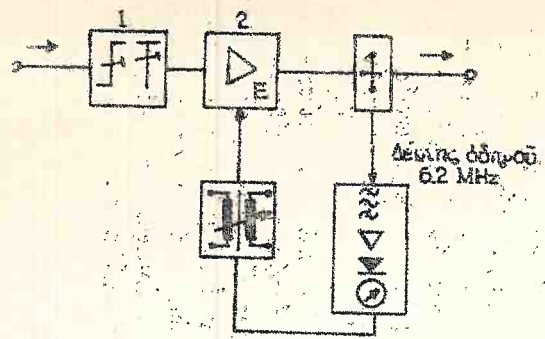
## 21.5.) Τηλετροφοδοτήσις ἐνδιαμέσων ἐνισχυτικῶν ἀνεπιβλέπτων Κέντρων.

Ἡ ἡλεκτρική ἐνέργεια, ἥτις εἶναι ἀπαραίτητος διὰ τήν λειτουργίαν τῶν ἐνδιαμέσων ἐνισχυτικῶν σταθμῶν τῶν μὴ ἐπηνδρωμένων κέντρων, παρέχεται ἐκ τοῦ μακρόθεν, εἴτε ὑπὸ τῶν τερματικῶν Κέντρων εἴτε ὑπὸ τῶν ἐνδιαμέσων σταθμῶν πλήρους ρυθμίσεως.

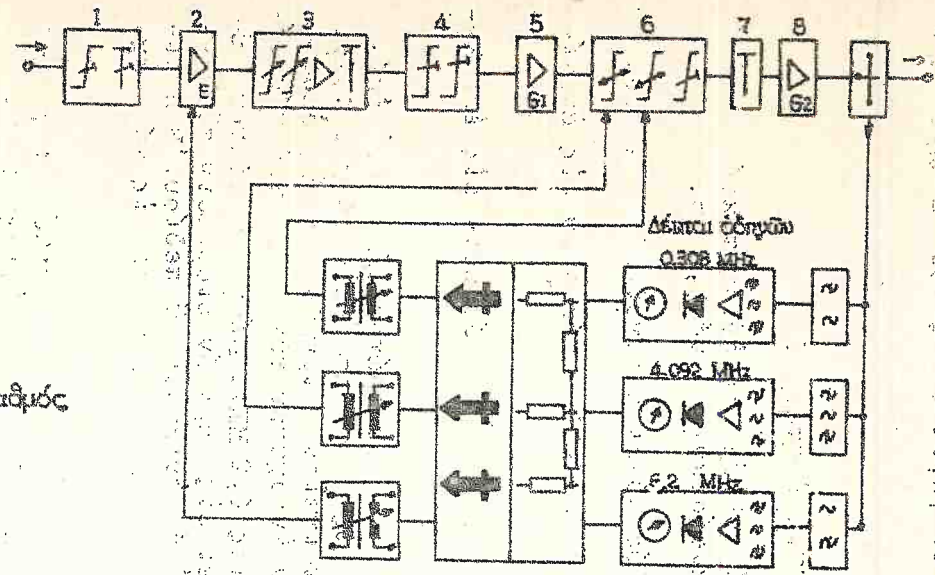
Τό σχηματικόν διάγραμμα τῆς τηλετροφοδοτήσεως δεικνύεται εἰς τό σχ. 134. Εἰς τόν τηλετροφοδοτοῦντα σταθμόν, ἡ τάσις τῶν 220V-50 Hz ἀνυφοῦται μέσῳ μετασχηματιστοῦ εἰς τήν τιμήν τῶν 2x600V (μεταξύ τῆς μεσαίας λήψεως τοῦ μετασχηματιστοῦ καί ἐκάστου τῶν ἄκρων του ἐπικρατεῖ τάσις 600V). Ἡ τάσις αὕτη εἰσάγεται εἰς τήν ὁμοαξονικήν γραμμήν μέσῳ καταλλήλων βαθυπερατῶν φίλτρων. Εἰς τόν 1ον ἐνισχυτικόν σταθμόν ἡ τάσις τῶν 2x600 V ἐπιλέγεται μέσῳ βαθυπερατῶν φίλτρων καί ὁδηγεῖται εἰς τόν μετασχηματιστήν τροφοδοτήσεως. Ὁ μετασχηματιστής οὗτος ἐκτελεῖ δύο ἐργασίας: α) Δι' ἐνός τυλίγματος ὑποβιβάζει τήν τάσιν εἰς τήν τιμήν τῶν 220V, ἥτις χρησιμοποιεῖται διὰ τήν λειτουργίαν τῶν διατάξεων τοῦ ἐνισχυτικοῦ σταθμοῦ. β) Δι' ἐτέρου τυλίγματος ἀναβιβάζει τήν τάσιν εἰς τήν τιμήν τῶν 2x600 V, διότι, ὡς εἶναι προφανές, αὕτη θά ἔχῃ μειωθῇ λόγῳ πτώσεως τάσεως ἐπὶ τῆς ὁμοαξονικῆς γραμμῆς. Συνεπῶς, πρὸς τόν δεύτερον ἐνισχυτικόν σταθμόν ὁδηγεῖται, μέσῳ βαθυπερατῶν φίλτρων, τάσις 2x600 V.

Ἡ κατανάλωσις ἐκάστου ἐνισχυτικοῦ εἶναι τῆς τάξεως τῶν 235 VA καί ὁ μέγιστος ἀριθμός τῶν τηλετροφοδοτούμενων σταθμῶν εἶναι ὅσῳ (δύναται νά φθάσῃ τοὺς 12, ἂν αὐξηθῇ ἡ ἰσχύς τῶν διατάξεων τηλετροφοδοτήσεως).

Εἰς τόν τελευταῖον σταθμόν ἐκάστης κατευθύνσεως



α) Επιδοτέριος ενδιάμεσος ενισχυτικός σταθμός V1250 (μερικής ρυθμίσεως).

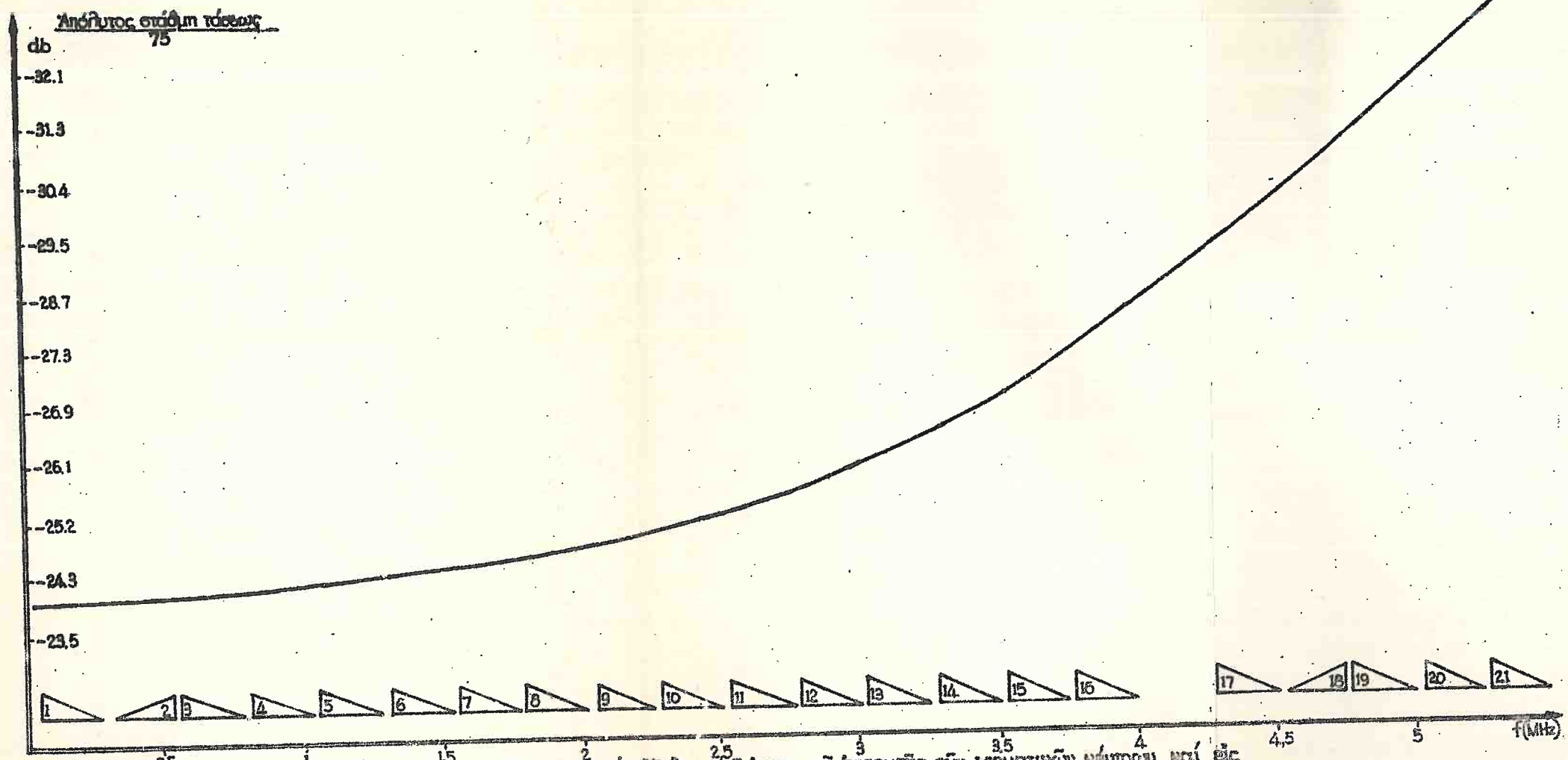


β) Επιδοτέριος ενδιάμεσος ενισχυτικός σταθμός V1250 (πληρους ρυθμίσεως).

1. Επιδοτέριος γραμμή
2. Ενισχυτής "E"
3. Εξισωτής γραμμή
4. Εξισωτής οδού ενισχυτή
5. Ενισχυτής "G1"
6. Αυτόματος ρυθμιζόμενος εξισωτής
7. Στοιχείο 14.5 Mc.
8. Στοιχείο 6.

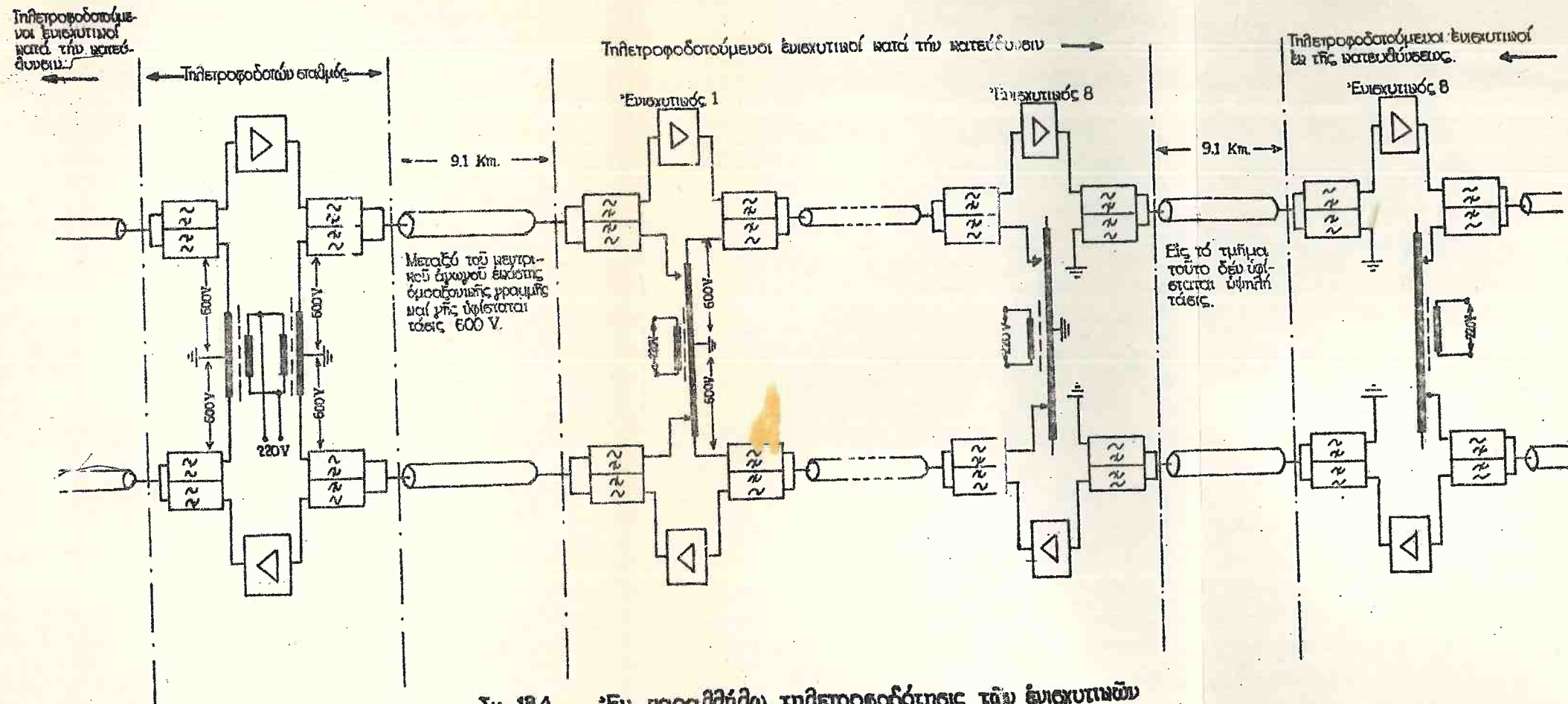
Σχ. 132. Ενδιάμεσοι ενισχυτικοί σταθμοί συστήματος V1260





Σχ. 139

Απόλυτος στάθμη ισχύος της είσοδου του ενισχυτή υπολογιζόμενη ως η ισχύς που λαμβάνεται από την έξοδο του ενισχυτή G<sub>2</sub> με πλήρως ρυθμιζόμενον ενισχυτή στάθμης



Σχ. 194

Εν παρατηρήσει τηλετροφοδότης των ενισχυτικών σταθμών του συστήματος V1260

Η απόλυτος στάθμη τάσεως συναρτήσεται της συχνότητας εἰς πῆν ἔξοδον τοῦ ἐνισχυτοῦ  $G_2$  δεικνύεται εἰς τό σχ. 133. Η αὐτὴ καμπύλη τῆς ἀπολύτου στάθμης τάσεως ἰσχύει καὶ εἰς τὴν ἔξοδον τοῦ ἱκρίωματος ἐκπομπῆς τῶν τερματικῶν κέντρων. Ἐπομένως σκοπὸς τοῦ ἐνισχυτικοῦ σταθμοῦ πλήρους ρυθμίσεως εἶναι νὰ ἐπαναφέρῃ τὴν στάθμην ὄλων τῶν διοδεύσεων εἰς τὴν αὐτὴν τιμὴν, τὴν ὁποῖαν εἶχον κατὰ τὴν ἔξοδον των ἐκ τοῦ ἱκρίωματος ἐκπομπῆς.

21.5.) Τηλετροφοδότησις ἐνδιαμέσων ἐνισχυτικῶν ἀνεπιβλέπτων Κέντρων.

Ἡ ἡλεκτρικὴ ἐνέργεια, ἥτις εἶναι ἀπαραίτητος διὰ τὴν λειτουργίαν τῶν ἐνδιαμέσων ἐνισχυτικῶν σταθμῶν τῶν μὴ ἐπληδρωμένων κέντρων, παρέχεται ἐκ τοῦ μακρόθεν, εἴτε ὑπὸ τῶν τερματικῶν Κέντρων εἴτε ὑπὸ τῶν ἐνδιαμέσων σταθμῶν πλήρους ρυθμίσεως.

Τό σχηματικὸν διέγραμμα τῆς τηλετροφοδοτήσεως δεικνύεται εἰς τό σχ. 134. Εἰς τὸν τηλετροφοδοτοῦντα σταθμόν, ἡ τάσις τῶν 220V-50 Hz ἀνυψοῦται μέσῳ μετασχηματιστοῦ εἰς τὴν τιμὴν τῶν 2x600V (μεταξὺ τῆς μεσαίας λήψεως τοῦ μετασχηματιστοῦ καὶ ἐκάστου τῶν ἄκρων τοῦ ἐπικρατεῖ τάσις 600V). Ἡ τάσις αὕτη εἰσάγεται εἰς τὴν ὁμοαξονικὴν γραμμὴν μέσῳ καταλλήλων βαθυπερατῶν φίλτρων. Εἰς τὸν 1ον ἐνισχυτικὸν σταθμόν ἡ τάσις τῶν 2x600 V ἐπιλέγεται μέσῳ βαθυπερατῶν φίλτρων καὶ ὁδηγεῖται εἰς τὸν μετασχηματιστὴν τροφοδοτήσεως. Ὁ μετασχηματιστὴς οὗτος ἐκτελεῖ δύο ἐργασίας: α) Δι' ἐνὸς τυλίγματος ὑποβιβάζει τὴν τάσιν εἰς τὴν τιμὴν τῶν 220V, ἥτις χρησιμοποιεῖται διὰ τὴν λειτουργίαν τῶν διατάξεων τοῦ ἐνισχυτικοῦ σταθμοῦ. β) Δι' ἑτέρου τυλίγματος ἀναβιβάζει τὴν τάσιν εἰς τὴν τιμὴν τῶν 2x600 V, διότι, ὡς εἶναι προφανές, αὕτη θὰ ἔχῃ μειωθῇ λόγῳ πτώσεως τάσεως ἐπὶ τῆς ὁμοαξονικῆς γραμμῆς. Συνεπῶς, πρὸς τὸν δεῦτερον ἐνισχυτικὸν σταθμόν ὁδηγεῖται, μέσῳ βαθυπερατῶν φίλτρων, τάσις 2x600 V.

Ἡ κατανάλωσις ἐκάστου ἐνισχυτικοῦ εἶναι τῆς τάξεως τῶν 235 VA καὶ ὁ μέγιστος ἀριθμὸς τῶν τηλετροφοδοτούμενων σταθμῶν εἶναι ὅσῳ (δύναται νὰ φθάσῃ τοὺς 12, ἂν αὐξηθῇ ἡ ἰσχύς τῶν διατάξεων τηλετροφοδοτήσεως).

Εἰς τὸν τελευταῖον σταθμόν ἐκάστης κατευθύνσεως



τηλετροφοδοτήσεως δέν μεταβιβάζεται περαιτέρω ή τάσις των 2x600 V καί, συνεπώς, είς τό τμήμα τοῦ δομᾶλλονίου καλωδίου μεταξύ τῶν δύο τελευταίων σταθμῶν δέν υφίσταται ὑψηλή τάσις.

-22 Φ/Σ V 2700

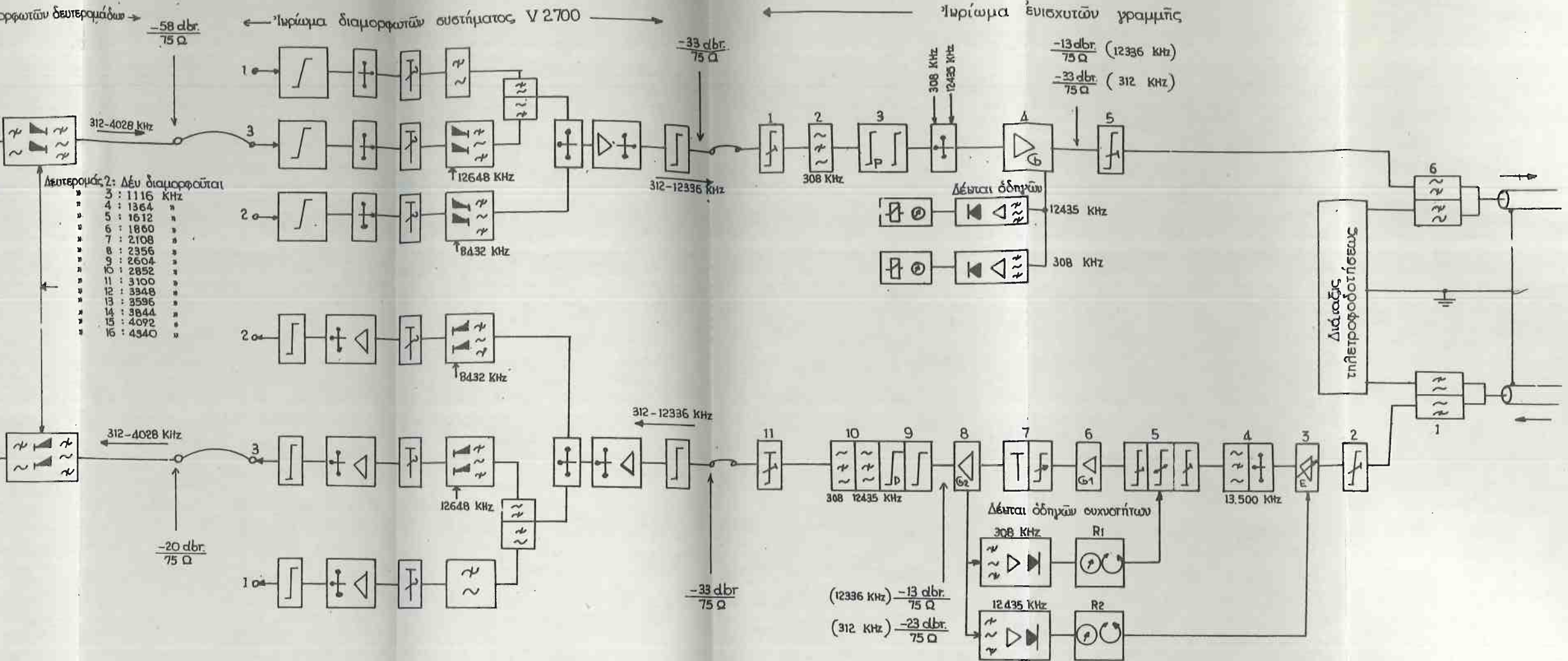
## 22.1) Σχέδιον συχνότητων

Διά τόν σχηματισμόν τῆς ζώνης συχνότητων μεταδόσεως ἔχουν προταθῇ ὑπό τῆς CCITT τρεῖς μέθοδοι, ἐκ τῶν ὁποίων ἔχει υἱοθετηθῇ παρ' ἡμῖν ἡ κάτωθι: Διά τῆς μετατοπίσεως τῆς ζώνης 15 δευτερομάδων 313-552 KHz προκύπτει μία τεταρτομάς καλύπτουσα τήν περιοχὴν 312-4028 KHz (σχ. 135). Πρὸς σχηματισμόν τῆς τεταρτομάδας λαμβάνονται αἱ δευτερομάδες 2-16 τοῦ συστήματος V960. Διά συνθέσεως τριῶν τεταρτομάδων σχηματίζεται ἡ ζώνη μεταδόσεως τοῦ ὑπ' ὄψιν συστήματος. Ἡ πρώτη τεταρτομάς ἐκπέμπεται ἄνευ περαιτέρω διαμορφώσεως, ἡ δευτέρα διὰ διαμορφώσεως μετὰ τῆς φερούσης 8432 KHz καλύπτει τήν περιοχὴν 4404-8120 KHz καί ἡ τρίτη μέσῳ τῆς φερούσης 12648 KHz μετατοπίζεται εἰς τήν περιοχὴν 8620-12336 KHz. Ἡ οὕτω σχηματιζομένη ζώνη συχνότητων μεταδόσεως τοῦ συστήματος V2700 ἐκτείνεται μεταξύ 312 καί 12336 KHz.

## 22.2) Ὁδὸς ἐμπομπῆς - ὁδὸς ἡψευς

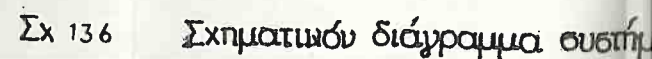
Εἰς τό σχ. 136 δεικνύεται τό πλήρες παραστατικόν διάγραμμα τοῦ V2700, ἑλλὰ ἡ κατωτέρω περιγραφή θά ἀναφέρεται εἰς τὰ μετὰ τό ἱκρίωμα τῶν διαμορφωτῶν δευτερομάδων τμήματα τοῦ συστήματος, δεδομένου ὅτι τὰ προηγούμενα τούτου ἀνεφέρθησαν εἰς τήν περιγραφὴν τοῦ V60 καί V1260.

Εἰς τό ἱκρίωμα τῶν διαμορφωτῶν τοῦ συστήματος V2700 εἰσάγονται τρεῖς τεταρτομάδες 312-4028 KHz, ἐκ τῶν ὁποίων ἡ πρώτη δέν εἰσάγεται εἰς διαμορφωτὴν, ἐνῶ ἡ 2α καί ἡ 3η μετατοπίζονται εἰς τήν ζώνην τῶν συχνότητων μεταδόσεως μέσῳ τῶν φερουσῶν 8432 καί 12648 KHz ἀντιστοίχως. Σχηματίζεται, οὕτως, ἡ ζώνη συχνότητων μεταδόσεως 312-12336 KHz ἡ ὁποία εἰσάγεται εἰς τήν ὁδὸν ἐμπομπῆς τοῦ ἱκρίωματος τῶν ἐνισχυτῶν γραμμῆς. Πρῶτον στοιχεῖον τοῦ κυκλώματος εἶναι ὁ ἐξισωτής τῆς καλωδιώσεως

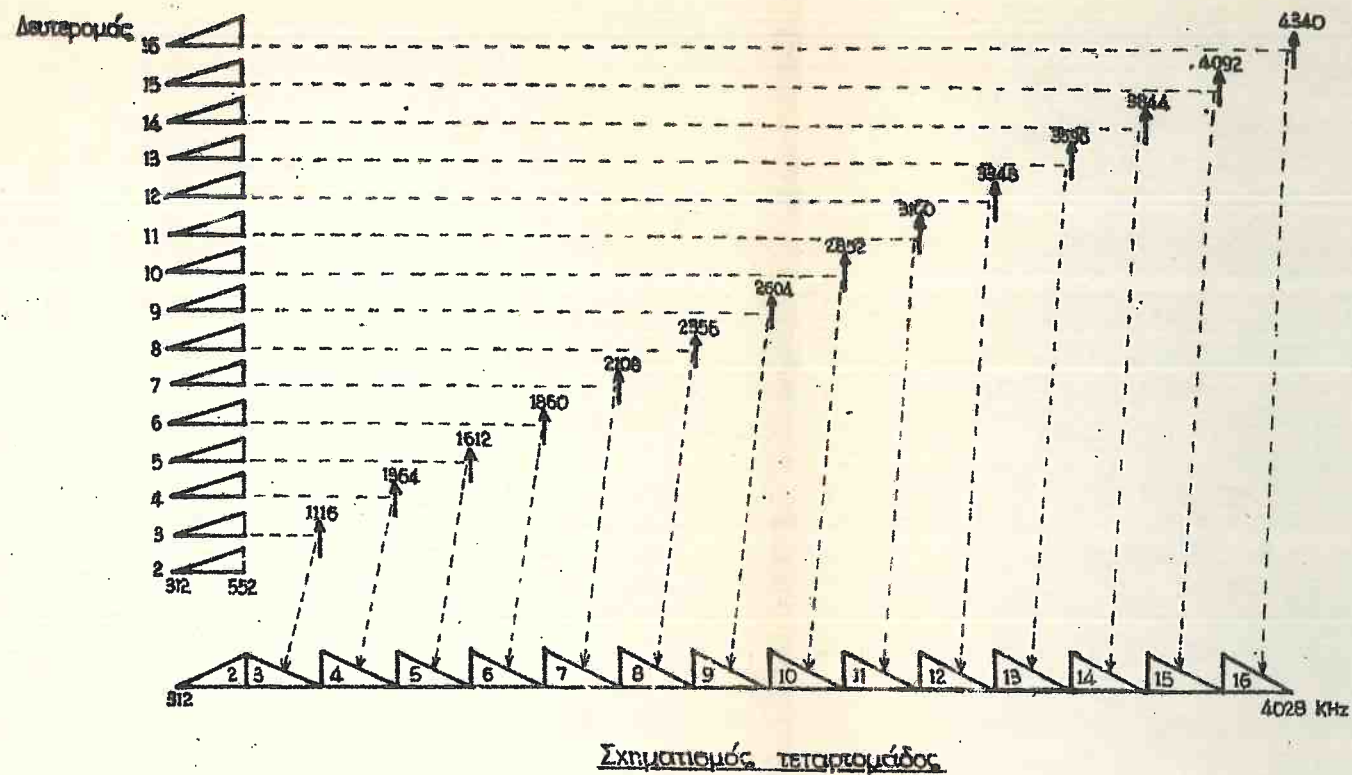




οστήματος V2700  
 z, εκ των δ-  
 ήν, ενῶ ἡ 2α  
 συχνοτήτων  
 48 ΚΗz ἀντι-  
 οτήτων μεταδό-  
 τήν δδόν ἐμπο-  
 πρῶτον στοι-  
 καλωδιώσεως







τοῦ Κέντρου (I) καὶ ἔπονται:

(2). Φίλτρον καταστολῆς τῆς συχνότητος 308 ΚΗz, διὰ τὴν ἣν ἐπηρεάζεται ἡ ὁδηγὸς συχνότης 308 ΚΗz ἐκ τῶν ρευμάτων ὁμιλίας.

(3). Δικτύωμα προεμφάσεως, τοῦ ὁποῦ ἡ καμπύλη ἀποσβέσεως μεταξύ τῶν συχνοτήτων 312 καὶ 12336 ΚΗz παρουσιάζει κλίσιν 10 dB.

(4). Ἐνισχυτὴς ἐκπομπῆς. Ἡ ἐνίσχυσις τοῦ ἐνισχυτοῦ τούτου ἀνέρχεται εἰς 30 dB δι' ὁλόκληρον τὴν ἐκπεμπμένην ζώνην, ἀλλὰ εἰς τὴν ἔξοδόν του, λόγῳ τῆς προεμφάσεως, ἡ στάθμη εἰς τὴν συχνότητα 12336 ΚΗz εἶναι -13 dB, ἐνῶ εἰς τὴν συχνότητα 312 ΚΗz εἶναι κατὰ 10 dB μικρότερα, ἢτοι -23 dB.

(5). Δικτύωμα ἐπιμηκύνσεως τῆς ὁμοαξονικῆς γραμμῆς, τὸ ὁποῖον τοποθετεῖται, ὅταν ἡ ἀπόσβεσις μεταξύ τοῦ τερματικοῦ καὶ τοῦ πρώτου ἐνισχυτικοῦ εἶναι μικρότερα ἀπὸ 37,4 dB εἰς τὴν συχνότητα 12435 ΚΗz.

(6). Φίλτρα διαχωρισμοῦ τοῦ φάσματος ἐκπομπῆς ἀπὸ τὴν πηγὴν τηλετροφοδοτήσεως τῶν ἐνισχυτικῶν σταθμῶν.

Εἰς τὴν εἴσοδον τοῦ ἐνισχυτοῦ ἐκπομπῆς εἰσάγονται καὶ αἱ δύο ὁδηγοὶ συχνότητες 308 καὶ 12435 ΚΗz διὰ τὴν αὐτόματον ρύθμισιν τῆς στάθμης. Διὰ τὴν ἐπίβλεψιν τοῦ ἐνισχυτοῦ ἐκπομπῆς τοποθετοῦνται εἰς τὴν ἔξοδόν του δύο δέκται ὁδηγῶν συχνοτήτων, οἱ ὁποῖοι παρέχουν σηματοδότησιν εἰς ἐκπτώσιν μεταβολῆς τῆς στάθμης ἐκπομπῆς τῶν ὁδηγῶν (π.χ. λόγῳ βλάβης τῆς γεννητρίδας ἢ λόγῳ βλάβης τοῦ ἐνισχυτοῦ ἐκπομπῆς).

Ἡ ἀφικνουμένη εἰς τὴν ὁδὸν λήψεως ζώνη συχνοτήτων 312-12336 ΚΗz, ἀφοῦ διέλθῃ ἀπὸ τὰ φίλτρα διαχωρισμοῦ τοῦ φάσματος λήψεως ἀπὸ τὴν πηγὴν τηλετροφοδοτήσεως (1), ἀκολουθεῖ τὴν ἐξῆς διαδρομὴν εἰς τὴν ὁδὸν λήψεως τοῦ ἰκρίωματος τῶν ἐνισχυτῶν γραμμῆς.

(2). Ἐπιμηκύνσεις ὁμοαξονικῆς γραμμῆς, ἡτις εἶναι ὅμοια πρὸς τὴν ὑπάρχουσαν εἰς τὴν ὁδὸν ἐκπομπῆς.

(3). Ἐνισχυτὴς "B", ρυθμιζόμενος αὐτόματως μέσῳ τῆς ὁδηγοῦ συχνότητος 12435 ΚΗz.

(4). Φίλτρον αποκοπής της συχνότητας 13500 KHz. Η συχνότης αυτή εκπέμπεται (υπό μορφήν παλμών) υπό των τερματικών Κέντρων ή των επηνδρωμένων ενισχυτικών σταθμών διά τον έλεγχον της λειτουργίας των ενδιάμεσων ενισχυτικών σταθμών.

(5). Η μονάς αυτή περιλαμβάνει. α) Δικτύωμα έξι-σώσεως της σταθεράς κλίσεως εις την καμπύλην αποσβέσεως της ομοαξονικής γραμμής, τό όποϊον ρυθμίζεται κατά την εγκατάστασιν του συστήματος. β) Έξισωτήν ρυθμιζόμενον αυτόματως μέσω της οδηγού 308 KHz. γ) Έξισωτήν, μέσω του όποϊου ρυθμίζεται ή στάθμη των οδηγών συχνοτήτων εις βήματα των 0,22 dB.

(6). Ένισχυτής επιπέδου ενισχύσεως ( $G_1$ ) 30 dB.

(7). Έξισωτής ομοαξονικής γραμμής (ρρυθμίζεται κατά την εγκατάστασιν του συστήματος). Περιλαμβάνει 27 κυκλώματα έξισώσεως (ήχοις) καί προορίζεται διά την διόρθωσιν των αίχμων καί των βυθίσεων, τώς όπως παρουσιάζει ή καμπύλη αποσβέσεως της ομοαξονικής γραμμής (βλέπε σχετικώς 21.2.).

(8). Ένισχυτής επιπέδου ενισχύσεως ( $G_2$ ) 30 dB.

(9). Κύκλωμα αποεμφάσεως.

(10). Φίλτρα καταστολής των οδηγών συχνοτήτων 308, 12435 KHz.

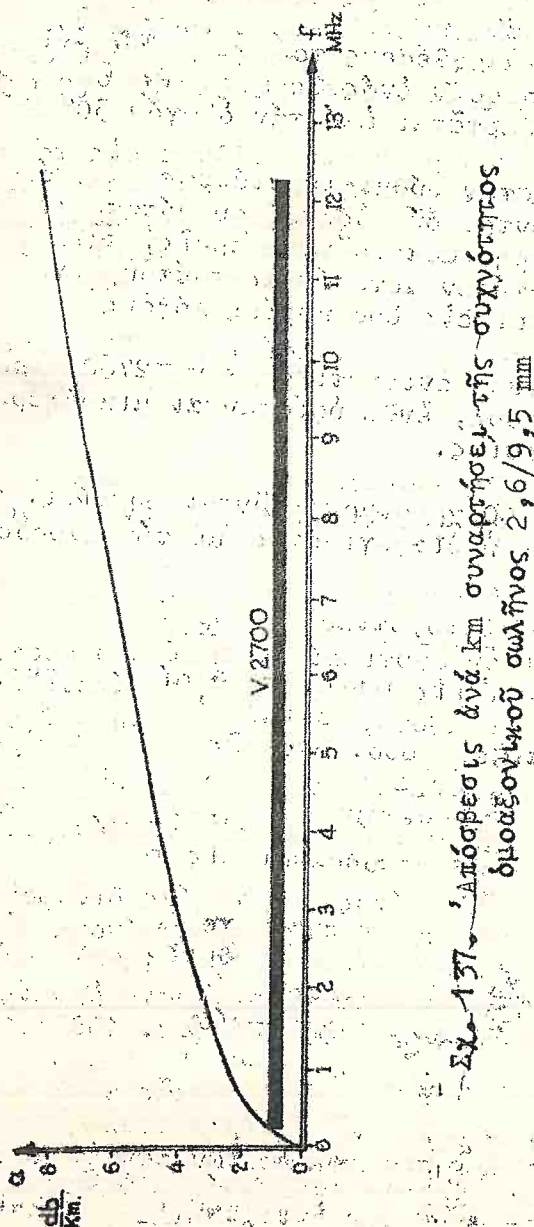
(11). Έξισωτής της καλωδίσεως του Κέντρου.

22.3) Αυτόματος ρύθμισις έξισώσεως (A.P.E.).

Διά την λειτουργίαν του συστήματος A.P.E. χρησιμοποιούνται αί οδηγοί συχνότητες 308 καί 12435 KHz, αί όποϊαι εισάγονται πρός μετάδοσιν εις την είσοδον του ενισχυτού έμπομπής. Είς τό έναντι Κέντρον αί όδηγοί επιλέγονται εις την έξοδον του ενισχυτού ( $G_2$ ) (σχ. 136) καί οδηγούνται εις τους αντίστοιχους δέκτας οδηγών συχνοτήτων, ένθα ενισχύονται καί ανυρδοϋνται. Αί προκύπτουσαι συνεχείς τάσεις έλέγχουν αντίστοιχως την λειτουργίαν των διατάξεων  $R_1$  καί  $R_2$ . Αί διατάξεις αύται εργάζονται ως κυκλώματα "ηλεκτρονικής μνήμης" καί παρέχουν τό ρεύμα



θερμάνσεως τῶν θερμίστορ, τὰ ὁποῖα εἶναι τοποθετημένα εἰς τὰς μονάδας αὐτομάτου ρυθμίσεως (3) καὶ (5). Ἡ ἐνίσχυσις τοῦ ἐνισχυτοῦ (5) μεταβάλλεται συναρτήσας τῆς συχνότητος, ὥστε νὰ διορθοῦνται αἱ διαφοραὶ ἀποσβέσεως τὰς ὁποίας εἰσάγει ἡ ὁμοαξονικὴ γραμμὴ. Ὡς φαίνεται εἰς τὸ σχ. 137 ἡ ἀπόσβεσις τῆς ὁμοαξονικῆς γραμμῆς αὐξάνει ση-



Σχ. 137. Ἀπόσβεσις ἀνά km συναρτήσας τῆς συχνότητος ὁμοαξονικοῦ σωλήνος 2,6/9,5 mm

μαντικώς εις τας ύψηλās συχνότητας. Συνεπεία τούτου ή ένίσχυσις του ένισχυτοϋ "E" είναι μεγαλυτέρā εις τας Υ.Σ. από ότι εις τας Χ.Σ. καί κυμαίνεται μεταξύ 35,3 καί 41,3 dB διά τήν συχνότητα τής όδηγοϋ 12435 KHz.

Ο αϋτομάτως ρυθμιζόμενος έξισωτής (5) έχει ως προορισμόν νά διορθώνη τας μεταβολάς άποσβέσεων, αι όποιαι προκύπτουν λόγω μεταβολής τής θερμοκρασίας του περιβάλλοντος. Η καμπύλη άποσβέσεως του έξισωτοϋ τούτου έξαρτάται από τήν αντίστασιν ενός θερμίστορ, του όποίου τό ρεύμα θερμάνσεως έξαρτάται από τήν όδηγόν 308 KHz.

Διά τήν αϋτόματον ρύθμισιν στάθμης εις τό σύστημα V2700 χρησιμοποιούνται δύο όδηγοί συχνότητες, ένψ εις τό σύστημα V1260 χρησιμοποιούνται τρεῖς, παρ'όλον ότι τό φάσμα τών συχνοτήτων μεταδόσεως τούτου είναι μικρότερον. Τοϋτο όφείλεται εις δύο κυρίως λόγους.

α) Οί ένδιάμεσοι ένισχυτικοί του V2700 τοποθετούνται έντός του έδάφους, ένθα ύφίστανται μικρότεραι διακυμάνσεις θερμοκρασίας.

β) Είς τό V1260 χρησιμοποιούνται λυχνίαι, τών όποιων μεταβάλλεται ή διαγωγιμότης μέ τήν πάροδον του χρόνου.

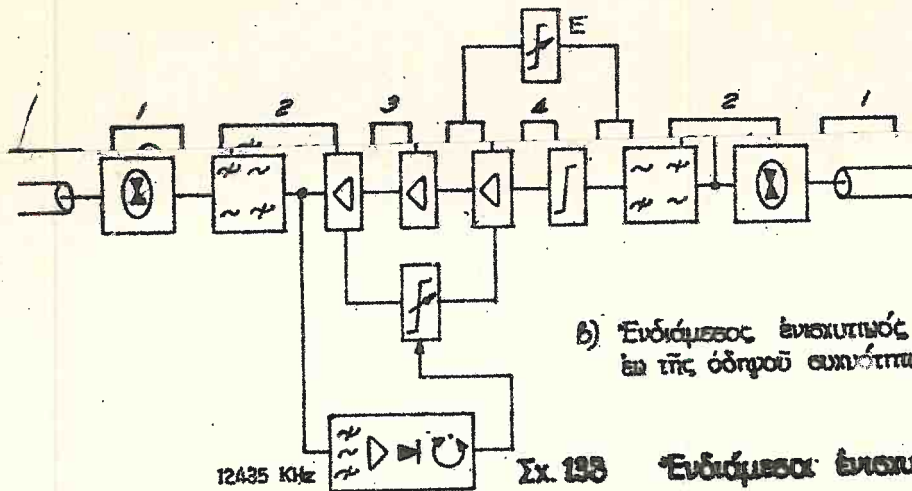
#### 22.4.) Ένδιάμεσοι ένισχυτικοί σταθμοί

Οί ένδιάμεσοι ένισχυτικοί σταθμοί του συστήματος τούτου τοποθετούνται εις κανονικάς άποστάσεις ανά 4,65 Km καί διαιρούνται εις δύο, βασικώς, κατηγορίας.

- Ένισχυτικοί, τοποθετούμενοι έντός του έδάφους.
- Ένισχυτικοί, τοποθετούμενοι εις τά Κέντρα.

Οί ένισχυταί τής πρώτης κατηγορίας διαιρούνται περαιτέρω εις ένισχυτάς τύπου t, ρυθμιζόμενους αϋτομάτως υπό τής θερμοκρασίας του έδάφους (σχ. 138α) καί εις ένισχυτάς τύπου p, τών όποιων ή ένίσχυσις ρυθμίζεται υπό τής όδηγοϋ συχνότητος 12435 KHz (σχ. 138β).

Κατά μήκος τής όμοαξονικής γραμμής τοποθετείται εις ένισχυτικούς τύπου p, ανά 11 ένισχυτικούς τύπου t. Βασική διαφορά μεταξύ τών κυκλωμάτων τών έν λόγω ένισχυτικών είναι ότι εις τόν ένισχυτήν p ύπάρχει διάταξις



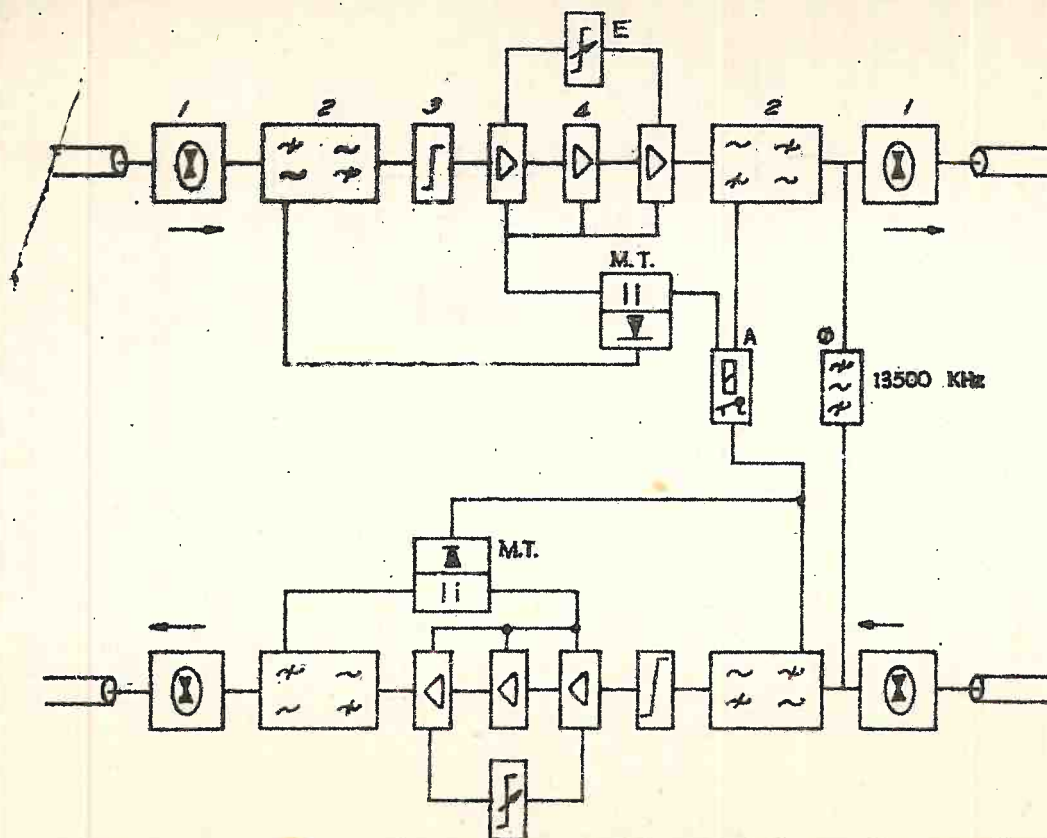
β) Ενδίδμετος ενισχυτής V2700 ρυθμιζόμενος  
 επί της όδου συχνότητας 12435 KHz.

12435 KHz

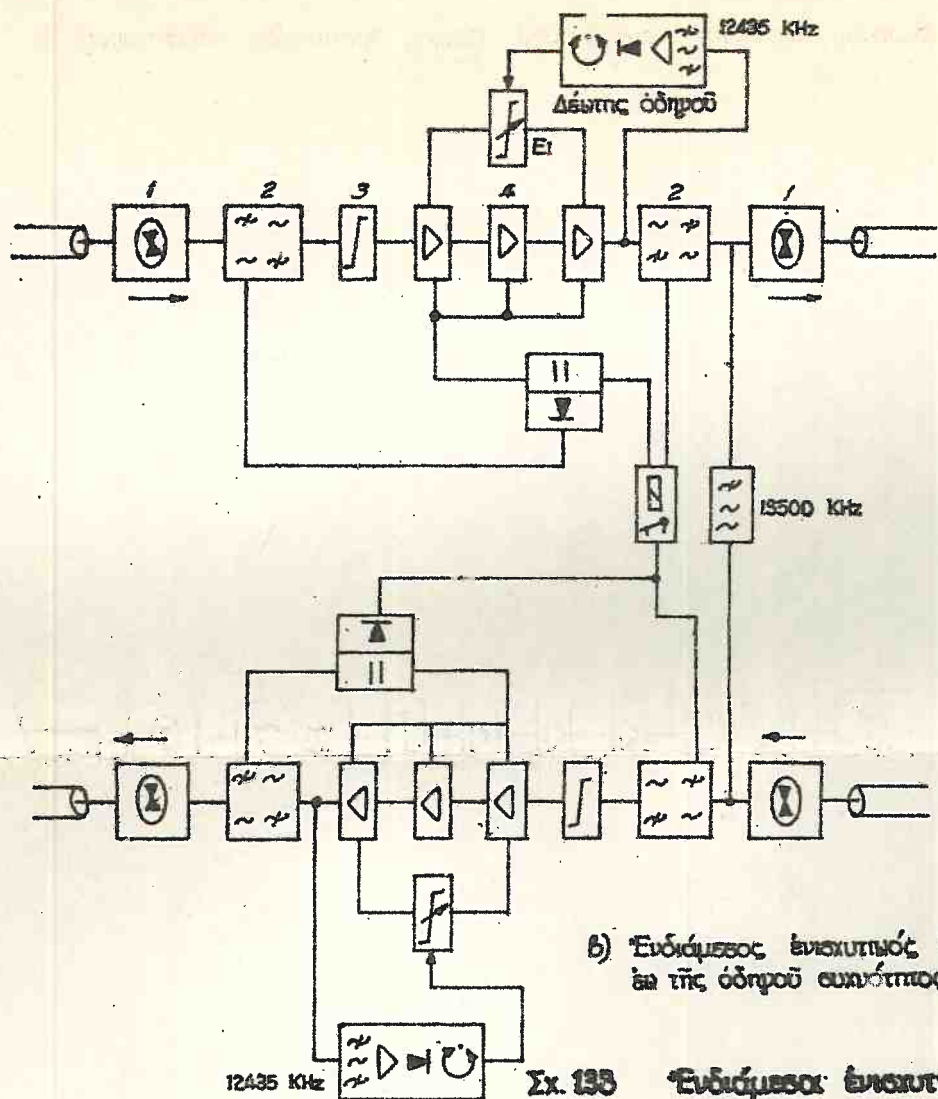
Σχ. 133

Ενδίδμετοι ενισχυτές του V2700





α) Ύψιδόμενος ενισχυτής V2700 ρυθμιζόμενος υπό της θερμοκρασίας έδάφους



β) Ύψιδόμενος ενισχυτής V2700 ρυθμιζόμενος έα της όδης συχνόττος 12435 KHz.

12435 KHz

Σχ. 133

Ύψιδόμενος ενισχυτής πύ V2700

ηλεκτρονικής μνήμης ή οποία παρέχει τό ρεύμα θερμάνσεως εις τό θερμίστορ τοῦ ἐξισωτοῦ  $E_1$ , ἐνῶ εις τούς ἐνισχυτάς  $t$  αἱ μεταβολαί τῆς θερμοκρασίας τοῦ ἐδάφους ἐπηρεάζουν κατ'εὐθείαν μίαν ἀντίστασιν εἰδικῆς κατασκευῆς.

Τά βασικά στοιχεῖα τοῦ κυκλώματος ἐνός ἐνδιαμέσου ἐνισχυτικοῦ δι' ἐκάστην κατεύθυνσιν μεταδόσεως εἶναι τά κάτωθι (σχ. 138α καί 138 β).

1. Διάταξις προστασίας τοῦ ἐνισχυτικοῦ ἀπό ὑπερτάσεις ἐπὶ τοῦ ὁμοαξονικοῦ σωλήνος.

2. Φίλτρα διαχωρισμοῦ τῆς ζώνης 312-12336 KHz ἀπὸ τὴν συνεχῆ τάσιν τηλετροφοδοτήσεως.

3. Προεξισωτής. Ἡ ἀπόσβεσις τοῦ ἐξισωτοῦ τούτου μειοῦται συναρτῆσει τῆς συχνότητος καὶ ἡ δρᾶσις του περιορίζεται εις τὴν περιοχὴν κάτω τῶν 4 MHz.

4. Τριβάθμιος ἐνισχυτής, ὁ ὁποῖος εις τό κύκλωμα ἀνασυζεύξεως ἔχει τόν ἐξισωτήν  $E$  (ἢ  $E_1$ ). Ἡ δρᾶσις τοῦ ἐξισωτοῦ τούτου, συνδυαζομένη μετὰ τῆς δράσεως τοῦ προεξισωτοῦ, παρέχει συνολικὴν καμπύλην ἐνισχύσεως τοῦ ἐνισχυτικοῦ, ἔχουσαν μεγαλύτερον βαθμὸν ἐνισχύσεως εις τὰς ὑψηλὰς ἀπὸ ὅτι εις τὰς χαμηλὰς συχνότητας. Ἡ καμπύλη ἀποσβέσεως τοῦ ἐξισωτοῦ  $E$  (εις τόν ἐνισχυτικὸν τύπου  $t$ ) μεταβάλλεται συναρτῆσει μιᾶς ἀντιστάσεως εἰδικῆς κατασκευῆς, τῆς ὁποίας ἡ τιμὴ ἐξαρτᾶται ἐκ τῆς θερμοκρασίας τοῦ ἐδάφους. Εἰς τόν ἐνισχυτικὸν τύπου  $p$  ἡ καμπύλη ἀποσβέσεως τοῦ ἐξισωτοῦ  $E_1$  ἐξαρτᾶται ἀπὸ τὴν ἀντίστασιν ἐνός θερμίστορ, τοῦ ὁποῖου τό ρεύμα θερμάνσεως μεταβάλλεται συναρτῆσει τῆς στάθμης τῆς ὁδηγοῦ συχνότητος 12435 KHz.

Πέραν αὐτῶν, εις ἕκαστον ἐνισχυτικὸν σταθμὸν ὑπάρχουν.

α) Αἱ μονάδες τροφοδοτήσεως (M.T.), αἱ ὁποῖαι ἐκ τοῦ συνεχοῦς ρεύματος τροφοδοτήσεως ἐξασφαλίζουν τὴν τᾶσιν λειτουργίας τοῦ ἐνισχυτικοῦ.

β) Τὸ φίλτρον  $\Phi$ , τό ὁποῖον ἐπιτρέπει τὴν διέλευσιν τῆς συχνότητος 13500 KHz. Τὸ φίλτρον τοῦτο, τό ὁποῖον τοποθετεῖται μεταξύ προσερχομένης καὶ ἀπερχομένης κατευ-

ηλεκτρονικής μνήμης ή οποία παρέχει τό ρεύμα θερμάνσεως εἰς τό θερμίστορ τοῦ ἐξισωτοῦ  $E_1$ , ἐνῶ εἰς τοὺς ἐνισχυτὰς  $t$  αἱ μεταβολαὶ τῆς θερμοκρασίας τοῦ ἐδάφους ἐπηρεάζουν κατ'εὐθείαν μίαν ἀντίστασιν εἰδικῆς κατασκευῆς.

Τὰ βασικά στοιχεῖα τοῦ κυκλώματος ἐνός ἐνδιαμέσου ἐνισχυτικοῦ δι' ἐκάστην κατεύθυνσιν μεταδόσεως εἶναι τὰ κάτωθι (σχ. 138α καὶ 138 β).

1. Διάταξις προστασίας τοῦ ἐνισχυτικοῦ ἀπὸ ὑπερτάσεις ἐπὶ τοῦ ὁμοαξονικοῦ σωλήνος.

2. Φίλτρα διαχωρισμοῦ τῆς ζώνης 312-12336 KHz ἀπὸ τὴν συνεχῆ τάσιν τηλετροφοδοτήσεως.

3. Προεξισωτής. Ἡ ἀποσβέσις τοῦ ἐξισωτοῦ τούτου μειοῦται συναρτῆσει τῆς συχνότητος καὶ ἡ δρᾶσις του περιορίζεται εἰς τὴν περιοχὴν κάτω τῶν 4 MHz.

4. Τριβάθμιος ἐνισχυτής, ὁ ὁποῖος εἰς τό κύκλωμα ἀνασυζεύξεως ἔχει τὸν ἐξισωτὴν  $E$  (ἢ  $E_1$ ). Ἡ δρᾶσις τοῦ ἐξισωτοῦ τούτου, συνδυαζομένη μετὰ τῆς δρᾶσεως τοῦ προεξισωτοῦ, παρέχει συνολικὴν καμπύλην ἐνισχύσεως τοῦ ἐνισχυτικοῦ, ἔχουσιν ὁμοιότητα μεγαλύτερον βαθμὸν ἐνισχύσεως εἰς τὰς ὑψηλὰς ἀπὸ ὅτι εἰς τὰς χαμηλὰς συχνότητας. Ἡ καμπύλη ἀποσβέσεως τοῦ ἐξισωτοῦ  $E$  (εἰς τὸν ἐνισχυτικὸν τύπου  $t$ ) μεταβάλλεται συναρτῆσει μιᾶς ἀντιστάσεως εἰδικῆς κατασκευῆς, τῆς ὁποίας ἡ τιμὴ ἐξαρτᾶται ἐκ τῆς θερμοκρασίας τοῦ ἐδάφους. Εἰς τὸν ἐνισχυτικὸν τύπου  $p$  ἡ καμπύλη ἀποσβέσεως τοῦ ἐξισωτοῦ  $E_1$  ἐξαρτᾶται ἀπὸ τὴν ἀντίστασιν ἐνός θερμίστορ, τοῦ ὁποῖου τό ρεύμα θερμάνσεως μεταβάλλεται συναρτῆσει τῆς στάθμης τῆς ὁδηγοῦ συχνότητος 12435 KHz.

Πέραν αὐτῶν, εἰς ἕκαστον ἐνισχυτικὸν σταθμὸν ὑπάρχουν.

α) Αἱ μονάδες τροφοδοτήσεως (M.T.), αἱ ὁποῖαι ἐκ τοῦ συνεχοῦς ρεύματος τροφοδοτήσεως ἐξασφαλίζουν τὴν τᾶσιν λειτουργίας τοῦ ἐνισχυτικοῦ.

β) Τὸ φίλτρον  $\Phi$ , τό ὁποῖον ἐπιτρέπει τὴν διέλευσιν τῆς συχνότητος 13500 KHz. Τὸ φίλτρον τοῦτο, τό ὁποῖον τοποθετεῖται μεταξύ προσερχομένης καὶ ἀπερχομένης κατευ-



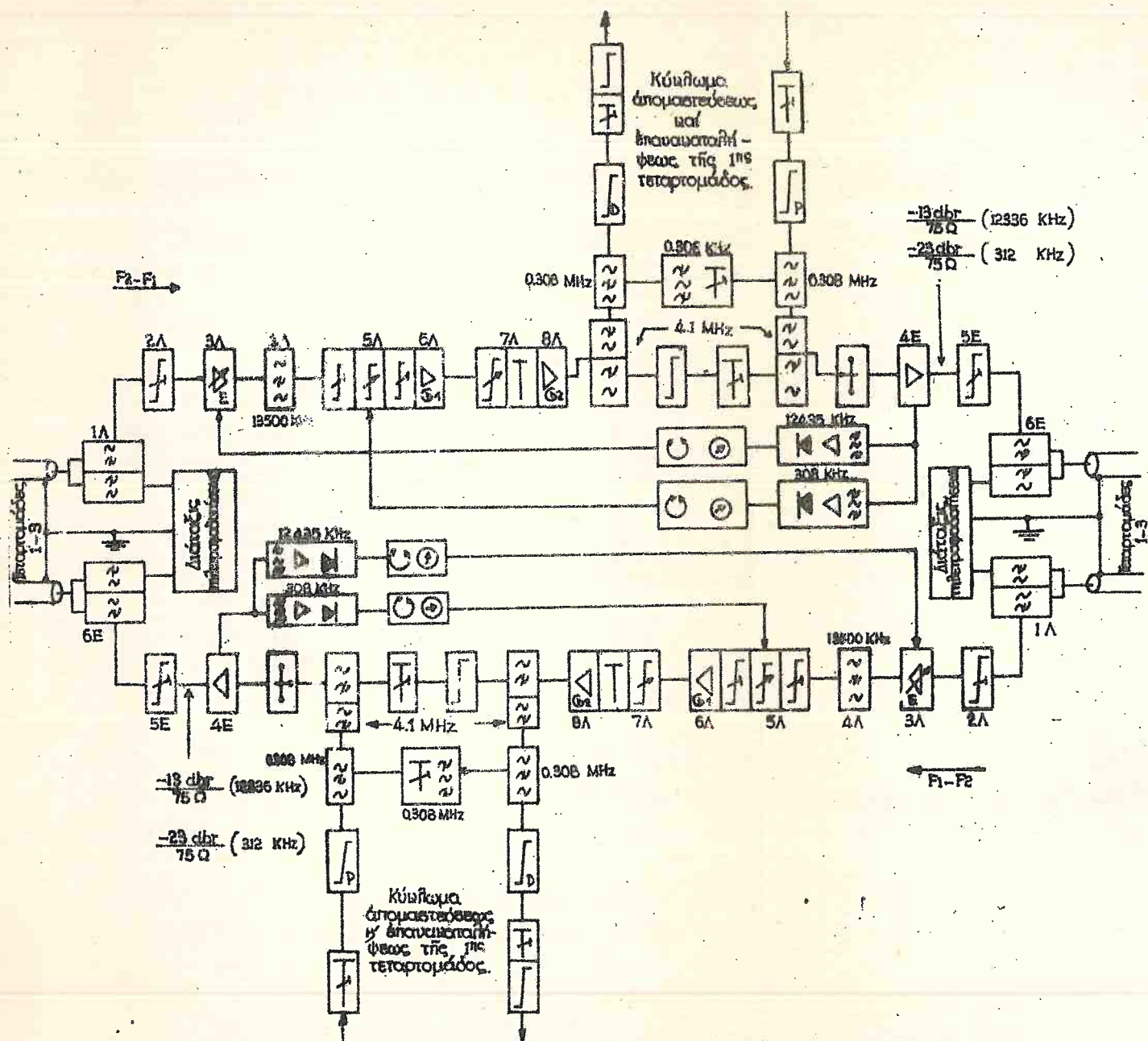
θύνσεως τοῦ ἐνισχυτικοῦ σταθμοῦ, συμμετέχει εἰς τὸν ἐντοπισμὸν τῆς βλάβης ἐνὸς ἐνισχυτικοῦ τῇ βοήθειᾳ παλμῶν συχνότητος 13500 KHz, ἀποστελλομένων ὑπὸ τῶν ἐπιβλεπόντων Κέντρων. Οἱ παλμοὶ οὗτοι διέρχονται ἀπὸ τὸ φίλτρον 13.500 KHz καὶ ἐπιστρέφουν πρὸς τὸ ἐπιβλεπόν Κέντρον. Λόγῳ ὅμως τῆς διαφόρου διαδρομῆς οἱ παλμοὶ ἐπιστρέφουν μὲ διάφορον καθυστέρησιν καὶ συνεπῶς εἶναι δυνατόν νὰ μετρηθοῦν κεχωρισμένως. Ἡ στάθμη τῶν ἐπιστρεφόντων παλμῶν παρέχει πληροφορίας περὶ τῆς ἀποσβέσεως τοῦ βρόχου, τὸν ὁποῖον διέτρεξεν ἐκάστη ὁμάς παλμῶν. Διὰ συγκρίσεως τῆς ἀποσβέσεως ταύτης μετὰ τῆς κανονικῆς τιμῆς εἶναι δυνατόν νὰ ἐξαχθοῦν συμπεράσματα περὶ τῆς λειτουργίας τῶν ἐνισχυτικῶν.

Ὁ ἐνδιάμεσος ἐνισχυτικὸς σταθμὸς, ὁ ὁποῖος τοποθετεῖται εἰς τὰ ἐπηνδρωμένα Κέντρα, ἔχει διατάξεις πλήρους ρυθμίσεως τῆς στάθμης, ἀναλόγους πρὸς τὰς διατάξεις τῶν τερματικῶν Κέντρων. Τὸ παραστατικὸν διάγραμμα τοῦ ἐνισχυτικοῦ τούτου σταθμοῦ δεικνύεται εἰς τὸ σχ. 139. Εἰς ἐκάστην κατεύθυνσιν μεταδόσεως ὑπάρχουν κατ'ἀρχὴν αἱ μονάδες 1Α ἕως 8Α, αἱ ὁποῖαι ἀντιστοιχοῦν πλήρως πρὸς τὰς μονάδας 1 ἕως 8 τῆς ὁδοῦ λήψεως τῶν τερματικῶν Κέντρων. Ἐπονται τὰ κυκλώματα ἀπομαστεύσεως, περὶ τῶν ὁποίων θὰ γίνῃ λόγος εἰς τὸ Κεφ. 23 καί, τελικῶς, ὑπάρχουν αἱ μονάδες 4B ἕως 6B, αἱ ὁποῖαι ἀντιστοιχοῦν πλήρως πρὸς τὰς μονάδας 4 ἕως 6 τῆς ὁδοῦ ἐκπομπῆς τῶν τερματικῶν Κέντρων. Αἱ ἀπόλυτοι στάθμαι εἰς τὴν ἔξοδον τοῦ ἐνισχυτοῦ 4B, δι' ὁλόκληρον τὴν μεταβιβαζομένην ζώνην 312-12336 KHz, εἶναι αἱ αὐταί πρὸς τὰς στάθμας εἰς τὴν ἔξοδον τοῦ ἐνισχυτοῦ ἐκπομπῆς.

Πέραν αὐτῶν, ἕκαστος ἐνισχυτικὸς πλήρους ρυθμίσεως περιλαμβάνει διατάξεις τηλετροφοδοτήσεως καὶ δύο δέκντας ὁδηγῶν συχνότητων δι' ἐκάστην κατεύθυνσιν μεταδόσεως.

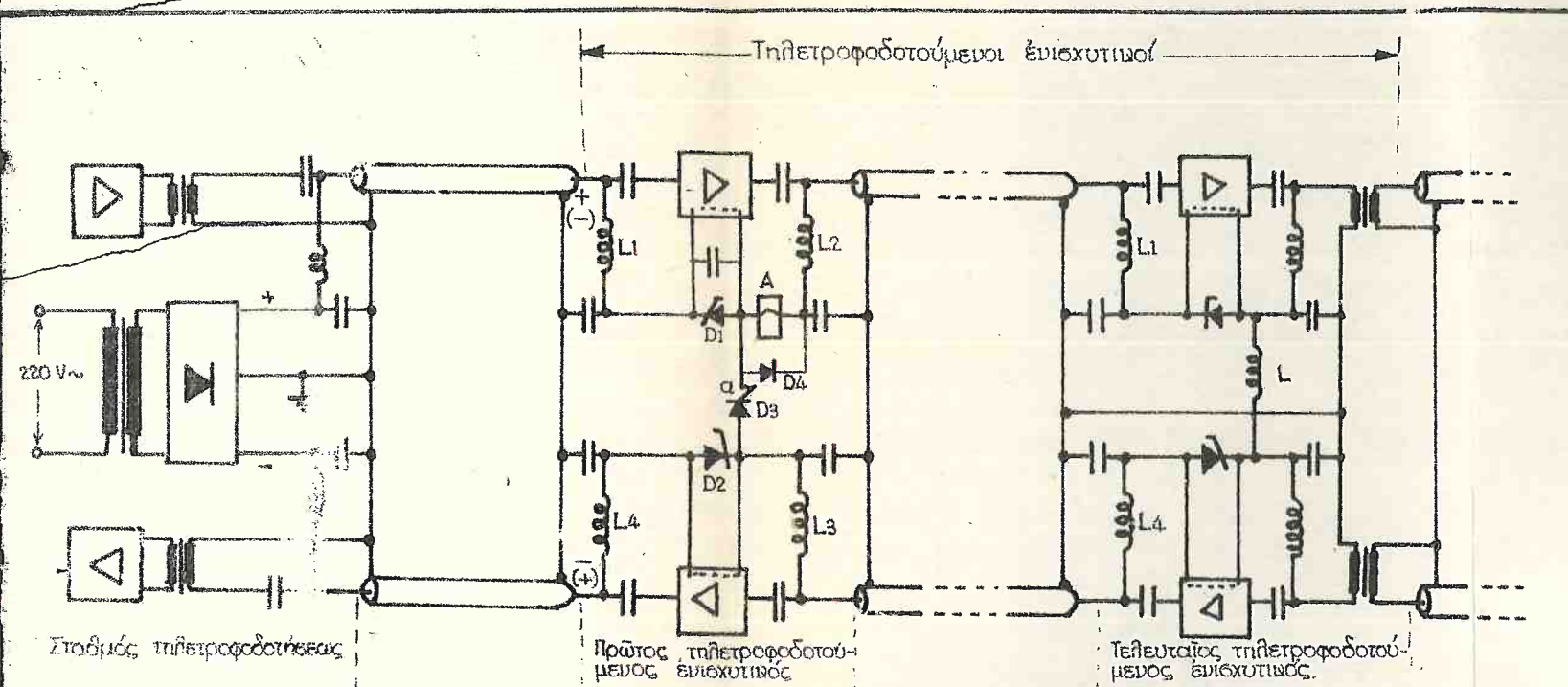
## 22.5) Τηλετροφοδότησις ἐνδιαμέσων ἐνισχυτικῶν σταθμῶν.

Ἡ ἡλεκτρικὴ ἐνέργεια, ἥτις εἶναι ἀπαραίτητος διὰ τὴν λειτουργίαν τῶν ἐνισχυτικῶν σταθμῶν, οἱ ὁποῖοι τοποθετοῦνται ἐντὸς τοῦ ἐδάφους, παρέχεται εἴτε ὑπὸ τῶν τερματικῶν Κέντρων εἴτε ὑπὸ τῶν ἐνδιαμέσων ἐνισχυτικῶν σταθμῶν τῶν ἐπηνδρωμένων Κέντρων (σχ. 140). Εἰς τὸν τηλετροφοδοτοῦντα σταθμὸν ἡ τάσις 220V/50 Hz ἀνορθοῦται



Σχ. 139

Ενδιάμεσος ενισχυτικός σταθμός συστήματος V2700  
(μετά διατάξεις απομακρύνει ή θανασιολήφει της 1ης τεταρτομόδας)



Σχ. 140

Τηλετροφοδότησις ἐν σειρά τῶν ἐνισχυτῶν τοῦ V2700



καί τό προϋπτον συνεχές ρεῦμα διαβιβάζεται πρὸς τοὺς ἐνισχυτικούς σταθμούς ἐν σειρά. Ἡ πηγὴ τῆς συνεχοῦς τάσεως ἐφαρμόζεται εἰς τὸν κεντρικὸν ἀγωγὸν τῶν ὁμοαξονικῶν σωλῆνων καί εἰς τὸν τελευταῖον τηλετροφοδοτούμενον σταθμὸν τὸ στοιχεῖον  $L$  κλείει τὸ κύκλωμα ἐπίστροφῆς τοῦ συνεχοῦς ρεύματος. Διὰ τὴν λειτουργίαν ἐκάστου ἐνισχυτικοῦ ἀπαιτεῖται κατανάλωσις 90 mW ὑπὸ τάσιν 24V.

Τὸ συνεχές ρεῦμα τροφοδοτήσεως τῶν ἐνισχυτικῶν ἀκολουθεῖ τὸ ἐξῆς κύκλωμα: +,  $L_1$ , ἐνισχυτῆς,  $D_4$ ,  $L_2$ , ὁμοαξονικός σωλῆν, διέρχεται ἀπὸ ὅλους τοὺς ἐνδιαμέσους ἐνισχυτικούς καί φθάνει εἰς τὸν τελευταῖον τηλετροφοδοτούμενον σταθμὸν ἔνθα διέρχεται ἀπὸ τὸ  $L_1$ , ἐνισχυτῆν,  $L$ , ἐνισχυτῆν τῆς ἄλλης κατευθύνσεως καί μέσῳ τοῦ  $L_2$  φθάνει εἰς τὸν ὁμοαξ. σωλῆνα. Ἐν συνεχείᾳ τὸ ρεῦμα διέρχεται δι' ὅλων τῶν ἐνδιαμέσων ἐνισχυτικῶν καί φθάνει εἰς τὸν πρῶτον τηλετροφοδοτούμενον ἔνθα διέρχεται ἀπὸ τὸ  $L_3$ , ἐνισχυτῆν,  $L_4$ , -.

Διὰ τὴν ἐπίβλεψιν τοῦ βρόχου τηλετροφοδοτήσεως καί ἐντοπισμὸν ἀνωμαλίας τοῦ ὁμοαξονικοῦ σωλῆνος ἀντιστρέφεται ἡ πολιότῃς τῆς πηγῆς συνεχοῦς ὅτε τὸ ρεῦμα διέρχεται διὰ τῶν διόδων  $D_1$ , καί τῶν ρωστήρων  $A$ , οἱ ὅποιοι διεγείρονται. Εἰς τὸν τελευταῖον ὅμως πρὸ τῆς διακοπῆς τοῦ βρόχου σταθμὸν δέν διεγείρεται ὁ ρωστήρ  $A$  καί ἐπομένως τὸ κύκλωμα συνεχοῦς κλείει μέσῳ τῆς κλειστῆς ἐπαφῆς  $a$  καί τῶν διόδων  $D_3$ ,  $D_2$ . Ἀπὸ τὴν μετρουμένην εἰς τὸν ἐπιβλέποντα σταθμὸν πῶσιν τάσεως προκύπτει, ὁ ἀριθμὸς τῶν παρεμβαλλομένων μέχρι τῆς διακοπῆς ἐνδιαμέσων ἐνισχυτικῶν.

## 23. ΦΕΡΕΣΥΧΝΟΝ ΣΥΣΤΗΜΑ ΜΙΑΣ ΔΙΟΔΕΥΣΕΩΣ ΤΥΠΟΥ TD2

### 23.1. Γενικά χαρακτηριστικά - Σχέδιον συχνότητων.

Τὰ συστήματα μιᾶς διοδεύσεως παρουσιάζουν μερικὰς διαφορὰς ἔναντι τῶν λοιπῶν φερεσύχνων τηλεφωνικῶν συστημάτων καί δι' αὐτὸ ἀναφέρεται εἰς χαρακτηριστικὸς τύπος τούτων εἰς τὸ τέλος τοῦ παρόντος III μέρους.

Τὸ TD2 εἶναι σύστημα κατάλληλον δι' ὑπέρθεσιν ἐπὶ ἑναερίων ἢ καλωδιακῶν γραμμῶν μικρᾶς ἀποστάσεως καί δύνανται νὰ χρησιμοποιηθῇ εἰς τὰς κάτωθι τρεῖς περιπτώσεις:

α) Διά κατ'εθέειαν σύνδεσιν μεταξύ συνδρομητῶν ἢ μεταλλακτῶν εἰς Κέντρα Τοπικῆς ἢ Κεντρικῆς συστοιχίας.

β) Διά τήν ἀΐξιν τῆς ἐμβελείας αὐτομάτων συνδρομητικῶν γραμμῶν.

γ) Διά τήν ζεύξιν αὐτομάτων Κέντρων.

"Αν καί τό σύστημα εἶναι μιᾶς διοδεύσεως, ἐν τούτοις εἶναι δυνατή ἡ ὑπέρθεσις ἐπὶ τῆς αὐτῆς γραμμῆς μέχρι 10 διοδεύσεων, διατηρουμένης ὅμως τῆς αὐτοτελείας ἐκάστης διοδεύσεως. Τοῦτο ἐπιτυγχάνεται διὰ καταλλήλου ἐκλογῆς τῆς φερούσης. Περαιτέρω, ὅταν εἰς ἕτερα ζεύγη τῆς αὐτῆς ἐναερίου ἀρτηρίας ἢ τοῦ αὐτοῦ καλωδίου πρόκειται νά ὑπερτεθοῦν καί φερέσυχνα συστήματα τύπου διαφόρου τοῦ TD2, τότε ἐκλέγεται ὁ κατάλληλος ἐκ τῶν 5 τύπων τοῦ σχεδίου συχνότητων ὥστε ἡ διαφωνία μεταξύ τῶν κυκλωμάτων νά καταστῇ ἀκατάληπτος (βλέπε σχετικὴν ἀνάλυσιν εἰς περιγραφὴν PST-L3 κεφ. 16.2). Ὁ τύπος 1 (σχ. 141) εἶναι κατάλληλος διὰ τήν ζεύξιν συνδρομητῶν καί Κέντρου ὅταν ἐπὶ τῆς ἀρτηρίας ἢ τοῦ καλωδίου δέν ὑφίστανται ἕτερα συστήματα. Οἱ τύποι 2 ἕως 4 χρησιμοποιοῦνται ὅταν ἐπὶ τῆς αὐτῆς ἀρτηρίας ἢ καλωδίου ἐργάζονται καί 12πλᾶ συστήματα. Ὅταν ὅμως πέραν τῶν 12πλῶν ἐργάζονται καί τριπλᾶ συστήματα (4-31 KHZ) τότε χρησιμοποιεῖται ὁ τύπος 2α, διὰ τοῦ ὁποῖου ἐπιτυγχάνεται ἡ μετάδοσις μέχρις 8 διοδεύσεων. Ὁ τύπος οὗτος διαφέρει ἐκ τοῦ τύπου 2 μόνον εἰς τήν κατάργησιν τῆς ζώνης 8-28 KHZ τῶν τριῶν πρώτων διοδεύσεων τῆς μιᾶς κατευθύνσεως (ἡ ζώνη τῆς 8ης διοδεύσεως καταργεῖται ἐξ ἀνάγκης διότι δέν εἶναι δυνατόν νά χρησιμοποιηθῇ μία ζώνη 4 μόνον KHZ).

Τό σύστημα TD2 προσφέρεται εἰς τρεῖς κατασκευάς.

TD2-A1: Μονάς μιᾶς διοδεύσεως.

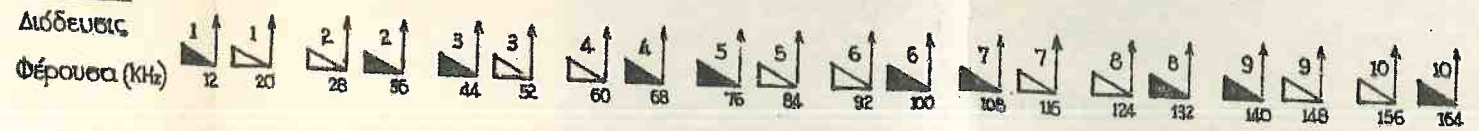
TD2-B1: Πλαίσιον χωρητικότητος 5 διοδεύσεων.

TD2-C1: Ἰκρίωμα μικρῶν διαστάσεων χωρητικότητος 10 διοδεύσεων.

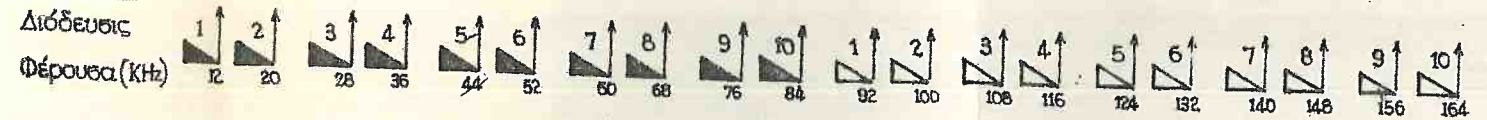
Τά κυκλώματα τοῦ φερεσύχνου λειτουργοῦν ὑπὸ συνεχῆ τάσιν 24 Volt, ἡ ὁποία δύναται νά ληφθῇ ἐκ τῶν ἀκολούθων πηγῶν:

Ἀπὸ τάσιν δικτύου πόλεως 110-240 Volt, συχνότητος 45-60 Hz μέσω καταλλήλου τροφοδοτικοῦ.

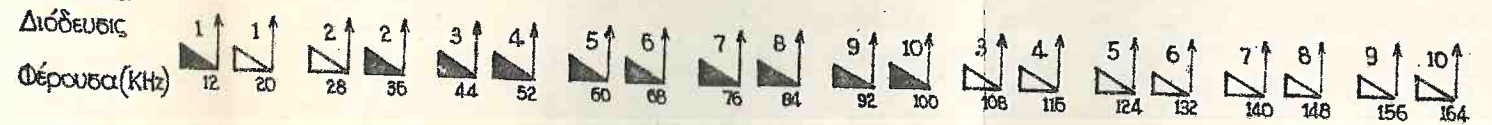
### ΤΥΠΟΣ 1



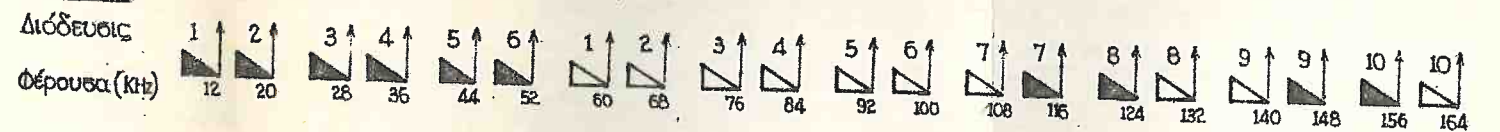
### ΤΥΠΟΣ 2



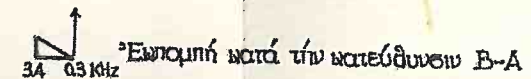
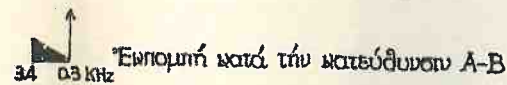
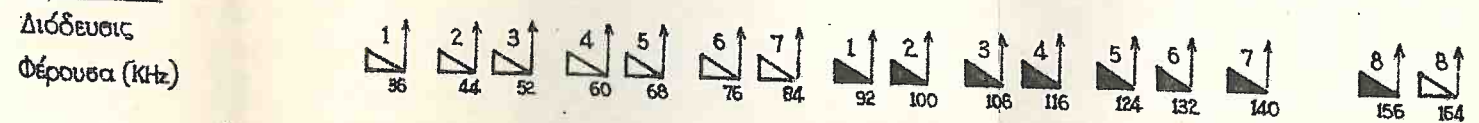
### ΤΥΠΟΣ 3



### ΤΥΠΟΣ 4



### ΤΥΠΟΣ 2<sup>α</sup>



Ο τύπος 2 δύναται να υπερτερεί επί ζεύγους μιας αρτηρίας έχουσας 12 διηγή συστήματα εις την περιοχή 36-140 kHz.  
 » » 3 » » » » » » » » » » 48-156 »  
 » » 4 » » » » » » » » » » 6-108 »  
 » » 2α » » » » » » » » » » 4-143 »



Από συστοιχίαν συσσωρευτῶν τάσεως 48/60 Volt τῇ βο-  
ηθείᾳ μετατροπῆς Σ.Ρ./Σ.Ρ.

Από συστοιχίαν συσσωρευτῶν 24 Volt μέσω καταλλήλου  
φίλτρου τροφοδοτήσεως.

Ἡ κατανάλωσις ἐκάστης διοδεύσεως κατὰ τὴν διάρκει-  
αν ὁμιλίας κυμαίνεται μεταξύ 30 καὶ 55 mA, ἐνῶ κατὰ τὴν  
ἡρεμίαν κατέρχεται εἰς τὰ 8 mA.

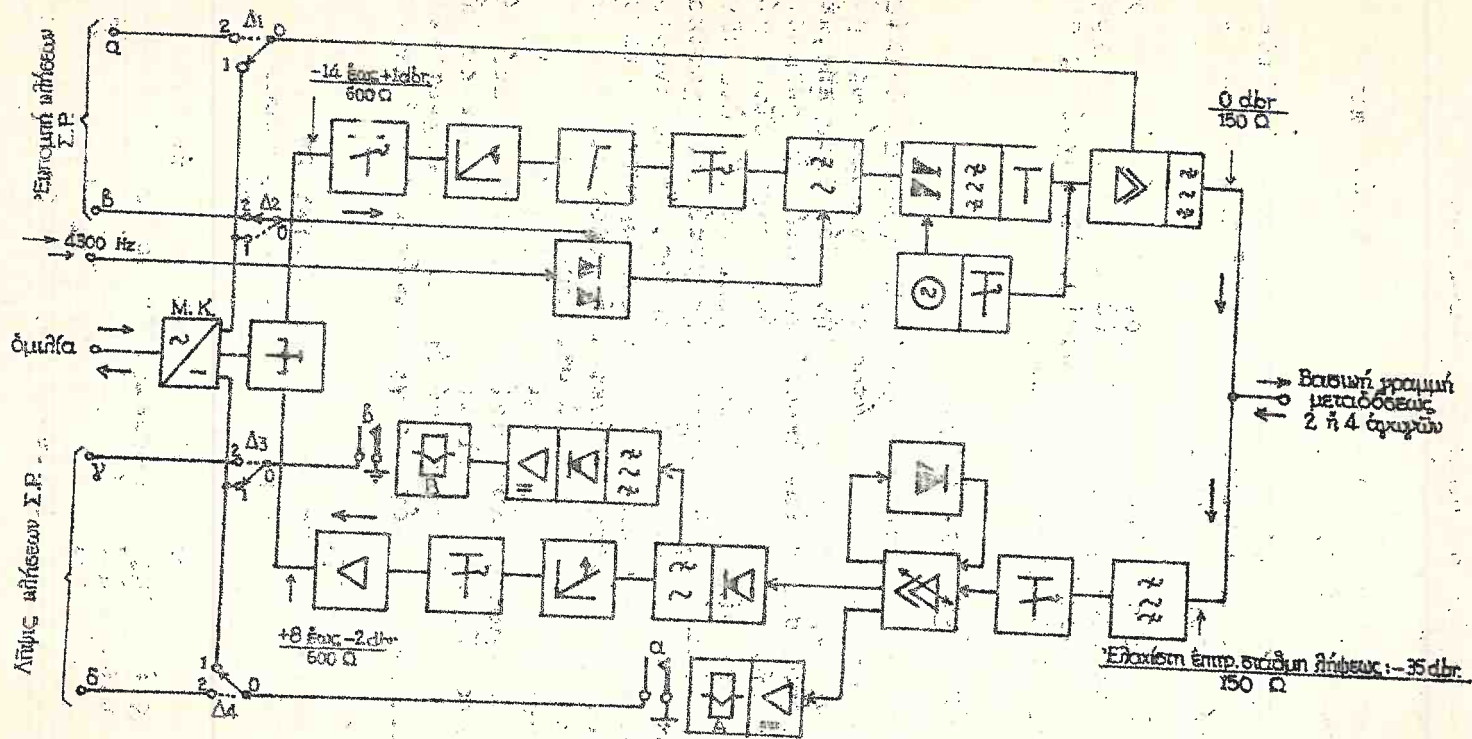
Αἱ φέρουσαι συχνότητες παράγονται ὑπὸ, ἰδιαιτέρων  
δι' ἐκάστην διοδευσιν, ταλαντωτῶν (ἄνω τῶν 52 KHz χρησι-  
μοποιοῦνται κρυσταλλικοὶ ταλαντωταί). Ἡ συχνότης σημά-  
των παράγεται ὑπὸ ταλαντωτοῦ L-C.

## 23.2. Ὁδὸς ὁμιλίας (σχ. 142).

Ἡ ζεῦξις τοῦ συστήματος μετὰ τῶν γραμμῶν ὁμιλίας δύ-  
νεται νὰ γίνῃ εἴτε τετρασυρμάτως εἴτε δισυρμάτως μέσω  
διαφορικοῦ μετασχηματιστοῦ. Εἰς τὴν ὁδὸν ἐκπομπῆς, πέραν  
τῶν ἀπαραιτήτων στοιχείων ἀποσβέσεως διὰ τὴν ρύθμισιν τῆς  
στάθμης εἰς τὴν κανονικὴν τῆς τιμὴν, τοποθετεῖται κύκλω-  
μα περιοριστοῦ, φίλτρον διὰ τὴν ἀποκοπὴν τῶν ἄνω τῶν 3,4  
KHz ρευμάτων ὁμιλίας, ὁ διαμορφωτὴς μετὰ τοῦ σχετικοῦ  
φίλτρου ζώνης καὶ ὁ ἐνισχυτὴς ἐκπομπῆς, ὅστις ἀναβιβάζει  
τὴν στάθμην εἰς τὰ 0 dBr. Εἰς τὸν διαμορφωτὴν καταστέλλε-  
ται ἡ φέρουσα, ἀλλ' αὕτη εἰσάγεται ἐκ νέου εἰς τὴν εἴσο-  
δον τοῦ ἐνισχυτοῦ ἐκπομπῆς μετὰ στάθμην +10 dBm. Τὸ εἶδος  
αὐτῆς τῆς μεταδόσεως χαρακτηρίζεται εἰδικώτερον ὡς ἐκ-  
πομπή μιᾶς πλευρικῆς ζώνης καὶ τῆς φερούσης. Μετὰ τὸν ἐ-  
νισχυτὴν ἐκπομπῆς τοποθετεῖται καὶ ἕτερον φίλτρον ζώνης,  
διὰ τοῦ ὁποίου ἀποκόπτονται μὴ ἐπιθυμηταὶ συχνότητες, ἐμ-  
φανιζόμεναι, κυρίως, λόγω μὴ γραμμικότητος τοῦ ἐνισχυτοῦ.

Διὰ τὴν μετάδοσιν δύναται νὰ χρησιμοποιηθῇ ὡς φορεὺς  
μεταλλικὴ γραμμὴ ἐκ δύο ἢ τεσσάρων ἀγωγῶν τῇ παρεμβολῇ,  
ἐνδεχομένως, καταλλήλου μετασχηματιστοῦ προσαρμογῆς τῶν  
ἀντιστάσεων τοῦ συστήματος καὶ τῆς γραμμῆς.

Ἡ μεγίστη ἀπόσβεσις τῆς γραμμῆς διὰ τὴν συχνότητα  
τῆς φερούσης ἐκάστης διοδεύσεως δέν πρέπει νὰ ὑπερβαίνῃ  
τὰ 35 dB. Συνεπῶς ἡ ἐλαχίστη, ἐπιτρεπτὴ στάθμη λήψεως  
εἶναι -35 dBr. Ὁ ἐνισχυτὴς λήψεως εἶναι ἐφωδιασμένος διὰ  
συστήματος αὐτομάτου ρυθμίσεως τῆς ἀπολαβῆς (AGC), διὰ τοῦ



Σχ. 142. Σύστημα μιας-διόδεύσεως TD2

όπου επιτυγχάνεται αυτόματος διόρθωσις των μεταβολών αποσβέσεως κατά  $\pm 8$  dB.

Διά την αποδιαμόρφωσιν τῆς διοδεύσεως χρησιμοποιεῖται κύκλωμα φωράσεως (βλέπε κεφ. 23.5.).

Ἐάν παρίσταται ἀνάγκη (μεγάλη στάθμη θορύβου) δύναται νά τοποθετηθῇ διάταξις συστοδιαστολέων.

### 23.3. Μετάδοσις σημάτων (σχ. 142).

Ἡ μετάδοσις τῶν σημάτων επιτυγχάνεται κανονικῶς διὰ διακοπῆς τῆς φερούσης (σύστημα κλήσεων μηδενικῆς συχνότητος). Ἐάν ὁμῶς ἐπιθυμεῖται, εἶναι δυνατή ἡ μετάδοσις σημάτων ἐκτός τῆς ζώνης ὁμιλίας τῇ βοήθειᾳ τῆς συχνότητος 4,3 KHz. Ἐάν αἱ κλήσεις ἀπό καί πρὸς τὸ Κέντρον μεταβιβάζονται μέσῳ τῶν ἀγωγῶν ὁμιλίας, τότε πρέπει πρὸ τοῦ διαφορικοῦ μετασχηματιστοῦ νά τοποθετηθῇ ὁ μετατροπεύς κλήσεων (M.K.), ὅστις δύναται νά χρησιμεύσῃ καί ὡς ΜΤΦ τηλεφωνητριακῆς τηλεπιλογῆς, ὅφ' ἣν ἐννοίαν ἀνέπτυχθη εἰς τὸ κεφ. 14.

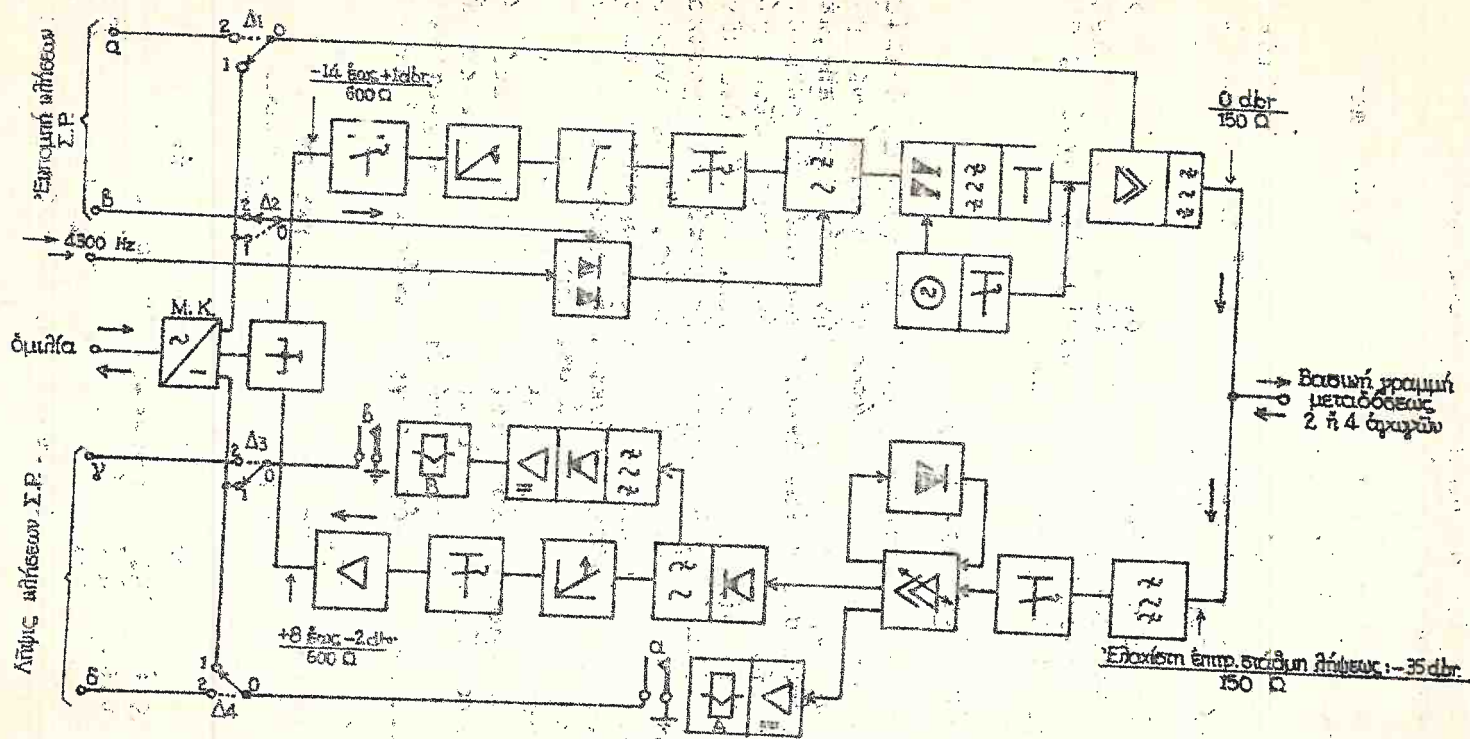
Κατὰ τὴν ἐμπομπὴν σημάτων διὰ διακοπῆς τῆς φερούσης, μέσῳ τοῦ ὀρίου 0 τοῦ Δ<sub>1</sub> ὁδηγεῖται συνεχῶς δυναμικὸν εἰς τὸν ἐνισχυτὴν ἐμπομπῆς, ὅστις τίθεται εἰς ἀποκοπήν. Εἰς τὸ ἐναντι Κέντρον, ἡ διακοπή αὕτη μετατρέπεται, μέσῳ τοῦ ἐνισχυτοῦ συνεχοῦς καί τοῦ ρωστήρος Α, εἰς δυναμικὸν γῆς, ἐφαρμοζόμενον εἰς τὸ ὄριον 0 τοῦ Δ<sub>4</sub>.

Ὅταν χρησιμοποιεῖται ἡ συχνότης κλήσεων 4,3 KHz, τότε ἐφαρμόζεται συνεχές δυναμικὸν εἰς τὸ ὄριον 0 τοῦ Δ<sub>2</sub>, τὸ ὁποῖον θέτει εἰς ἀγωγιμότητα τὸν στάτικόν ρωστήρα. Ὁὕτω ἐκπέμπεται ἡ συχνότης σημάτων 4,3 KHz μετὰ στάθμην, εἰς τὴν ἔξοδον τοῦ συστήματος, -5 dBm.

Εἰς τὴν λῆψιν, ἡ συχνότης αὕτη ἐπιλέγεται διὰ φίλτρου, ἀνορθοῦται καί ὁδηγεῖται εἰς ἐνισχυτὴν συνεχοῦς, ὅστις ἐλέγχει τὸν ρωστήρα Β, τοῦ ὁποῖου ἡ ἐπαφὴ β ἐφαρμόζει δυναμικὸν γῆς εἰς τὸ ὄριον 0 τοῦ Δ<sub>3</sub>.

Διὰ τοποθέτησεως τῶν διακοπτῶν Δ<sub>1</sub>-Δ<sub>4</sub> επιτυγχάνεται ἡ κατάλληλος συνδεσμολογία διὰ τὴν λειτουργίαν εἰς τὸ ἐπιθυμητὸν σύστημα μεταδόσεως σημάτων. Π.χ. ὅταν χρησιμοποιῇται μετατροπεύς κλήσεων καί σηματοδότησις διὰ κατα-





Σχ. 142. Σύστημα μιας-διόδοΰ TD2

ὁποῖου ἐπιτυγχάνεται αὐτομάτως διόρθωσις τῶν μεταβολῶν ἀποσβέσεως κατὰ  $\pm 8$  dB.

Διὰ τὴν ἀποδιαμόρφωσιν τῆς διοδεύσεως χρησιμοποιεῖται κύκλωμα φωράσεως (βλέπε κεφ. 23.5.).

Ἐάν παρίσταται ἀνάγκη (μεγάλη στάθμη θορύβου) δύναται νὰ τοποθετηθῇ διάταξις συστοδιαστολέων.

### 23.3. Μετάδοσις σημάτων (σχ. 142).

Ἡ μετάδοσις τῶν σημάτων ἐπιτυγχάνεται κανονικῶς διὰ διακοπῆς τῆς φερούσης (σύστημα κλήσεων μηδενικῆς συχνότητος). Ἐάν ὁμῶς ἐπιθυμεῖται, εἶναι δυνατὴ ἡ μετάδοσις σημάτων ἐκτός τῆς ζώνης ὁμιλίας τῇ βοήθειᾳ τῆς συχνότητος 4,3 KHz. Ἐάν αἱ κλήσεις ἀπὸ καὶ πρὸς τὸ κέντρον μεταβιβάζονται μέσῳ τῶν ἀγωγῶν ὁμιλίας, τότε πρέπει πρὸ τοῦ διαφορικοῦ μετασχηματιστοῦ νὰ τοποθετηθῇ ὁ μετατροπεὺς κλήσεων (M.K.), ὅστις δύναται νὰ χρησιμεύσῃ καὶ ὡς ΜΤΦ τηλεφωνητριακῆς τηλεπιλογῆς, ὅφ' ἦν ἐννοίαν ἀνεπτύχθη εἰς τὸ κεφ. 14.

Κατὰ τὴν ἐκπομπὴν σημάτων διὰ διακοπῆς τῆς φερούσης, μέσῳ τοῦ ὀρίου 0 τοῦ Δ<sub>1</sub> ὁδηγεῖται συνεχῶς δυναμικὸν εἰς τὸν ἐνισχυτὴν ἐκπομπῆς, ὅστις τίθεται εἰς ἀποκοπὴν. Εἰς τὸ ἐναντι κέντρον, ἡ διακοπὴ αὕτη μετατρέπεται, μέσῳ τοῦ ἐνισχυτοῦ συνεχοῦς καὶ τοῦ ρωστήρος Α, εἰς δυναμικὸν γῆς, ἐφαρμοζόμενον εἰς τὸ ὄριον 0 τοῦ Δ<sub>4</sub>.

Ὅταν χρησιμοποιεῖται ἡ συχνότης κλήσεων 4,3 KHz, τότε ἐφαρμόζεται συνεχὲς δυναμικὸν εἰς τὸ ὄριον 0 τοῦ Δ<sub>2</sub>, τὸ ὁποῖον θέτει εἰς ἀγωγιμότητα τὸν στάτικόν ρωστήρα. Ὁὕτω ἐκπέμπεται ἡ συχνότης σημάτων 4,3 KHz μετὰ στάθμην, εἰς τὴν ἔξοδον τοῦ συστήματος, -5 dBm0.

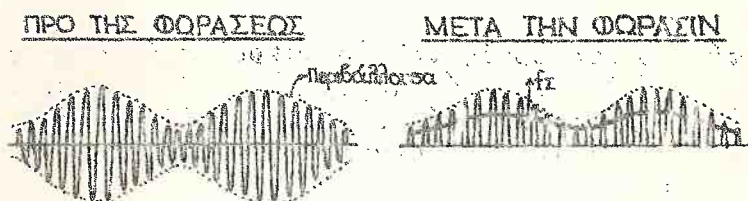
Εἰς τὴν λῆψιν, ἡ συχνότης αὕτη ἐπιλέγεται διὰ φίλτρου, ἀνορθοῦται καὶ ὁδηγεῖται εἰς ἐνισχυτὴν συνεχοῦς, ὅστις ἐλέγχει τὸν ρωστήρα Β, τοῦ ὁποῖου ἡ ἐπαφὴ β ἐφαρμόζει δυναμικὸν γῆς εἰς τὸ ὄριον 0 τοῦ Δ<sub>3</sub>.

Διὰ τοποθετήσεως τῶν διακοπτῶν Δ<sub>1</sub>-Δ<sub>4</sub> ἐπιτυγχάνεται ἡ κατάλληλος συνδεσμολογία διὰ τὴν λειτουργίαν εἰς τὸ ἐπιθυμητὸν σύστημα μεταδόσεως σημάτων. Π.χ. ὅταν χρησιμοποιῇται μετατροπεὺς κλήσεων καὶ σηματοδότησις διὰ κατα-

μάλιστα με την αὐτὴν ἀκριβῶς συχνότητα ὡς καὶ κατὰ τὴν διαμόρφωσιν, προκειμένου νὰ ἐπιτευχθῇ ἡ πιστὴ ἀναπαραγωγή τοῦ σήματος  $f_s$ .

Ἄλλο ἐῖδος ἀποδιαμορφώσεως χαρακτηρίζεται ἰδιαίτερος ὡς φάσεις καὶ δύναται νὰ ἐφαρμοσθῇ εἰς τὰς κάτωθι περιπτώσεις:

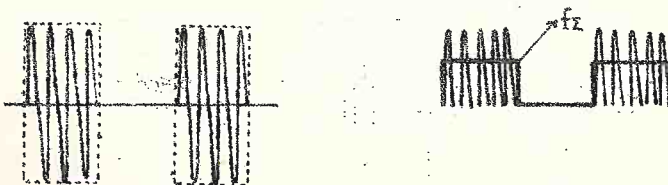
α) Ὄταν ἐκπέμπεται ἡ φέρουσα καὶ αἱ δύο παράπλευροι ζῶναι, ὡς συμβαίνει π.χ. εἰς τοὺς ραδιοφωνικοὺς δέκτας (σχ. 144α).



α) Φέρουσα μετὰ τῶν δύο παραπλευρῶν ζωνῶν



β) Φέρουσα καὶ μία παράπλευρος ζώνη



γ) Δύο παράπλευροι ζῶναι (ἢ  $f_c$  τετραγωνικὴ ἢ ὀρθογωνικὴ)

Σχ. 144. Κυματομορφαὶ εἰς τὴν εἴσοδον καὶ ἐξοδὸν τοῦ φωτατοῦ



στολής της φερούσης, τότε οι  $\Delta_1, \Delta_4$  πρέπει να  
 τήν θέσιν 1.

#### 23.4. Παράδειγμα χρησιμοποίησης του συστήματος

"Εστω ότι μεθ' ενός κέντρου  $K$  επιθυμείται η  
 12 συνδρομητών ( $\Sigma 1-\Sigma 12$ ), οι οποίοι είναι έγκυρα  
 κατά μήκος δύο γραμμών: μιας έναερίου καί μιας  
 (έναερίου + καλωδιακής) γραμμής.

Είς τό κέντρον  $K$ , επί ενός κυκλώματος TD2-C  
 θετοῦνται 10 διοδεύσεις του τύπου 1 (Σχ. 143).

Αί διοδεύσεις του κέντρου  $K$  εκπέμπουν τήν  $\Delta$   
 συχνότητων, ενώ αι διοδεύσεις των συνδρομητών τήν

Ο διαχωρισμός των επί μέρους ζωνών συχνότητων  
 γματοποιείται είς τά κατάλληλα σημεία απομαστεύσεως  
 τῇ βοηθεία φίλτρων. Η απομάστευσις των διαφόρων δ  
 σεων είναι δυνατή λόγω τῆς αὐτοτελείας ἐκάστης διο  
 σεως ἐναντι τῶν ἄλλων (περί απομαστεύσεως γενικῶς β  
 κεφ. 24.2.).

Οί πλέον μεμακρυσμένοι συνδρομηταί συνδέονται ε  
 μέσω των φωνοσύχων κυκλωμάτων είτε μέσω των διοδεύ  
 μέ τήν μικροτέραν συχνότητα φερούσης, είς τήν ὁποίαν  
 ἀπόσβεσις τῆς γραμμῆς είναι μικροτέρα.

#### 23.5. Φώρασις.

Είς τά  $\Phi/\Sigma$ , ἐκ των δύο παραπλεύρων ζωνῶν, εκπέμπε-  
 ται μόνον ἡ μία πρὸς τό ἀπέναντι κέντρον, ἐνθα εἰσάγε-  
 ται είς τόν ἀποδιαμορφωτήν, τοῦ ὁποίου τό κύκλωμα, ὡς ἐ-  
 λέχθη ἤδη, είναι ὅμοιον μέ τό τοῦ διαμορφωτοῦ. Είς τόν  
 ἀποδιαμορφωτήν εἰσάγεται καί ἡ φέρουσα  $f_{\Phi}$  μεταξύ δέ των  
 προϊόντων τῆς ἀποδιαμορφώσεως είναι καί τό σῆμα  $f_{\Sigma}$ . Ἐάν  
 π.χ. κατά τήν ἐκπομπήν ἀπεστάλη ἡ ἄνω παράπλευρος ζώνη  
 $f_{\Phi} + f_{\Sigma}$ , τότε κατά τήν ἀποδιαμόρφωσιν, ἡ κάτω παράπλευρος  
 ζώνη θά είναι τό σῆμα  $f_{\Sigma}$ , διότι:  $|f_{\Phi} - (f_{\Phi} + f_{\Sigma})| = f_{\Sigma}$ .

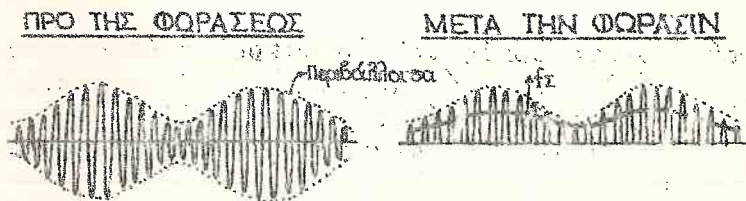
Ἐκ των ἄνωτέρω καθίσταται φανερόν ὅτι διὰ τήν ἀπο-  
 διαμόρφωσιν είναι ἀπαραίτητος ἡ ὑπαρξις τῆς φερούσης καί



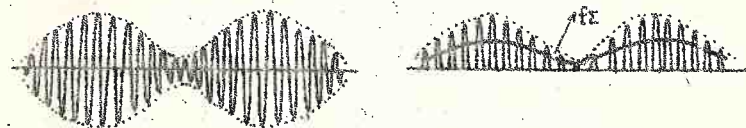
μάλιστα μέ τήν αὐτήν ἀκριβῶς συχνότητα ὡς καί κατὰ τήν διαμόρφωσιν, προκειμένου νά ἐπιτευχθῇ ἡ πιστή ἀναπαραγωγή τοῦ σήματος  $f_{\Sigma}$ .

Ἄτερον εἶδος ἀποδιαμορφώσεως χαρακτηρίζεται ἰδιαίτερως ὡς φάσεις καί δύναται νά ἐφαρμοσθῇ εἰς τὰς κάτωθι περιπτώσεις:

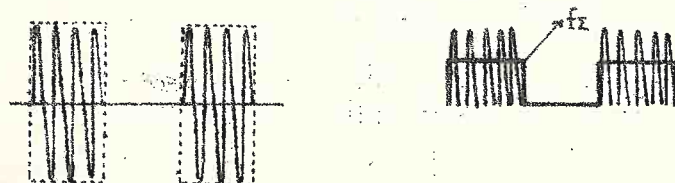
α) Ὄταν ἐκπέμπεται ἡ φέρουσα καί αἱ δύο παράπλευροι ζῶναι, ὡς συμβαίνει π.χ. εἰς τοὺς ραδιοφωνικούς δέκτες (σχ. 144α).



α) Φέρουσα μετά τῶν δύο παράπλευρων ζωνῶν



β) Φέρουσα καί μία παράπλευρος ζώνη



γ) Δύο παράπλευροι ζῶναι (ἡ  $f_z$  τετραγωνική ἢ ὀρθογωνική)

Σχ. 144. Κυματομορφαί εἰς τήν εἰσόδον καί ἐξόδον τοῦ φωτατοῦ

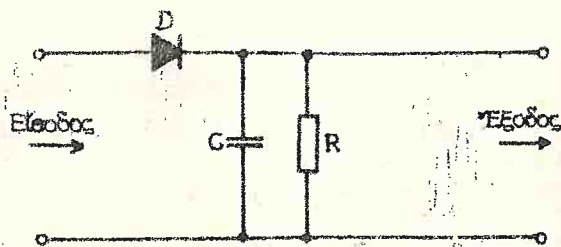


β) Όταν εκπέμπεται η φέρουσα και μία παράπλευρος ζώνη. Η μέθοδος αυτή εφαρμόζεται εις ώρισμα  $\Phi/\Sigma$  μιᾶς διόδου (σχ. 144β).

γ) Όταν εκπέμπονται μόνον αἱ δύο παράπλευροι ζώναι (σχ. 144γ), ἀλλὰ τό σῆμα  $f_{\Sigma}$  ἔχει τετραγωνικήν ἢ ὀρθογωνικήν μορφήν καί ἐπὶ πλέον  $\Sigma$  ἡ ἀγωγιμότης τῶν διόδων ἐξαρτᾶται μόνον ἐπὶ τῇ τάσιν τοῦ σήματος  $f_{\Sigma}$  καί ὄχι τῆς φερούσης. Δηλαδή κατὰ τὴν διαμόρφωσιν ἀντιμετατίθενται τὰ ὅρια, εἰς τὰ ὁποῖα ἐφαρμόζονται ἡ φέρουσα καί τό σῆμα (βλέπε σχετικῶς σχ. 161). Ἡ μέθοδος αὕτη ἐφαρμόζεται εἰς τὰ φερέσυχνα τηλεγραφικὰ συστήματα μέ διαμόρφωσιν πλάτους.

Εἰς τὰς κυματομορφάς τοῦ ἀριστεροῦ τμήματος τοῦ σχ. 144, ἡ ἀρνητική ἢ ἡ θετική "περιβάλλουσα" παριστοῦν τό σῆμα  $f_{\Sigma}$ . Ἐνταῦθα πρέπει νά τονισθῇ, ὅτι ἡ "περιβάλλουσα" δέν εἶναι κάποια ἰδιαιτέρα συχνότης, ἀλλὰ αἱ μεταβολαί πλάτους τῆς φερούσης.

Εἰς τό σχ. 145 παρίσταται ἀπλοῦν κύκλωμα φωρατοῦ, ἔνθα ἡ δίοδος  $D$  ἐπιτρέπει τὴν διέλευσιν τῆς θετικῆς μόνον ἡμιπεριόδου τῆς φερούσης, ἡ ὁποία φορτίζει τόν πυκνωτήν  $C$ . Αἱ τιμαί τῶν  $C$  καί  $R$  ἐκλέγονται καταλλήλως ὥστε: α) Ὁ πυκνωτής νά ἐκφορτίζεται ἐλάχιστα μέσῳ τῆς  $R$  κατὰ τὴν ἀρνητικὴν ἡμιπερίοδον τῆς φερούσης. β) Ὁ χρόνος ἐκφορτίσεως τοῦ πυκνωτοῦ  $C$  μέσῳ τῆς ἀντιστάσεως  $R$  νά εἴναι τοιοῦτος ὥστε τό ρεῦμα ἐκφορτίσεως νά ἀναπτύσῃ ἐπὶ τῆς  $R$  τάσιν ὁμοίαν πρὸς τὴν μορφήν τῆς θετικῆς "περιβάλλουσας" τοῦ σήματος εἰσόδου. Ἀλλά, ὅπως φαίνεται καί



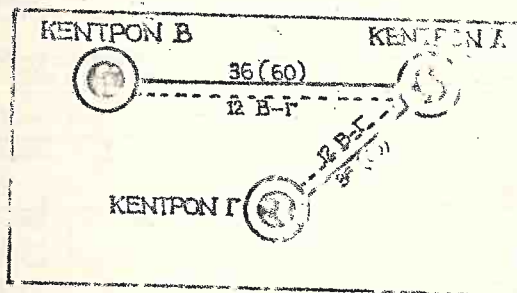
Σχ. 145. Φωρατής

εἰς τό δεξιόν τμήμα τοῦ σχ. 144, ἡ περιβάλλουσα αὕτη ἐπομένως καί ἡ τάσις ἐπὶ τῆς  $R$  εἶναι τό ἀρχικόν σῆμα  $f_{\Sigma}$ .

## 24. Η ΤΕΧΝΙΚΗ ΤΩΝ ΔΙΑΣΥΝΔΕΣΕΩΝ ΚΑΙ ΑΠΟΜΑΣΤΕΥΣΕΩΝ

### 24.1. Η τεχνική τῶν διασυνδέσεων

Ἡ αὐτοματοποιήσις τῆς ὑπεραστικῆς καὶ διεθνοῦς τηλεφωνίας ἐπέβαλε τὴν ἀνάγκην ἐγκαταστάσεως μεταξύ τῶν διαφόρων Κέντρων Φ/Σ μεγάλου ἀριθμοῦ διοδεύσεων. Ἡ τεχνική τῶν διασυνδέσεων καὶ ἀπομαστεύσεων καθιστᾷ περισσότερο εὐέλκτα τὰ ὡς ἄνω συστήματα ἐξ ἀπόψεως καλυτέρας ἐκμεταλλεύσεως τοῦ μεγάλου ἀριθμοῦ τῶν διοδεύσεων. Πρὸς κατανόησιν τούτου, ἔστω τὸ κάτωθι παράδειγμα διασυνδέσεως. Μεταξύ τῶν Κέντρων Α-Β καὶ Α-Γ ὑφίσταται ἀνά ἓν σύστημα V60. Ἐκ τῶν 60 διοδεύσεων ἐκάστου συστήματος ἔστω ὅτι λειτουργοῦν αἱ 36, δηλαδή 3 πρωτομάδες. "Αν ἀπαιτεῖται ἡδη ἡ σύνδεσις 12 διοδεύσεων μεταξύ τῶν Κέντρων Β-Γ (σχ. 146), θὰ προσφέρωνται αἱ κάτωθι λύσεις:



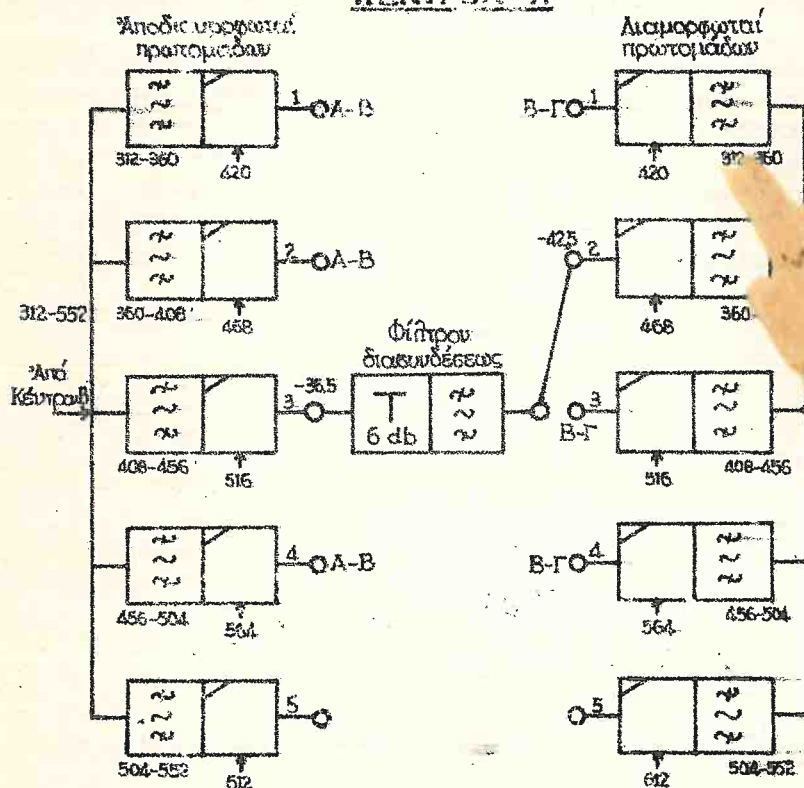
Σχ. 146

α) Νά τοποθετηθῇ ἓν Φ/Σ 12 διοδεύσεων μεταξύ τῶν Κέντρων Β καὶ Γ.

β) Νά συνδεθοῦν 12 ἐκ τῶν διοδεύσεων τοῦ συστήματος Α-Β πρὸς 12 διοδεύσεις τοῦ συστήματος Α-Γ (δηλαδή τὸ σκέλος ἐκπομπῆς ἐκάστης διοδεύσεως νά συνδεθῇ, τῇ παρεμβολῇ καταλλήλου στοιχείου ἀποσβέσεως, μετὰ τοῦ σκέλους λήψεως μιᾶς διοδεύσεως τοῦ ἑτέρου συστήματος κ.ο.κ.).

γ) Εἰς τὸ Κέντρον Α, νά διασυνδεθῇ μία πρωτομάς ὡς δεικνύεται εἰς τὸ σχ. 147. Ἡ 3η πρωτομάς, ἡ ὁποία εἶναι ἐλευθέρη, ὁδηγεῖται ἐκ τῆς ὁδοῦ λήψεως τοῦ συστήματος Α-Β πρὸς τὴν ὁδὸν ἐκπομπῆς τῆς 2ας πρωτομάδος τοῦ συστήματος Β-Γ, μέσῳ στοιχείου ἀποσβέσεως 6 dB καὶ ἑνὸς φίλτρου δι-ελεύσεως ζώνης 60-108 KHz. Τὸ στοιχεῖον ἀποσβέσεως 6 dB τοποθετεῖται εἰς τὴν ὁδὸν ἐκπομπῆς ἐπειδὴ ἡ στάθμη εἰς

## ΚΕΝΤΡΟΝ Α



Σχ. 147. Παράδειγμα διασυνδέσεως πρωτομάδας εις Κέντρον Α



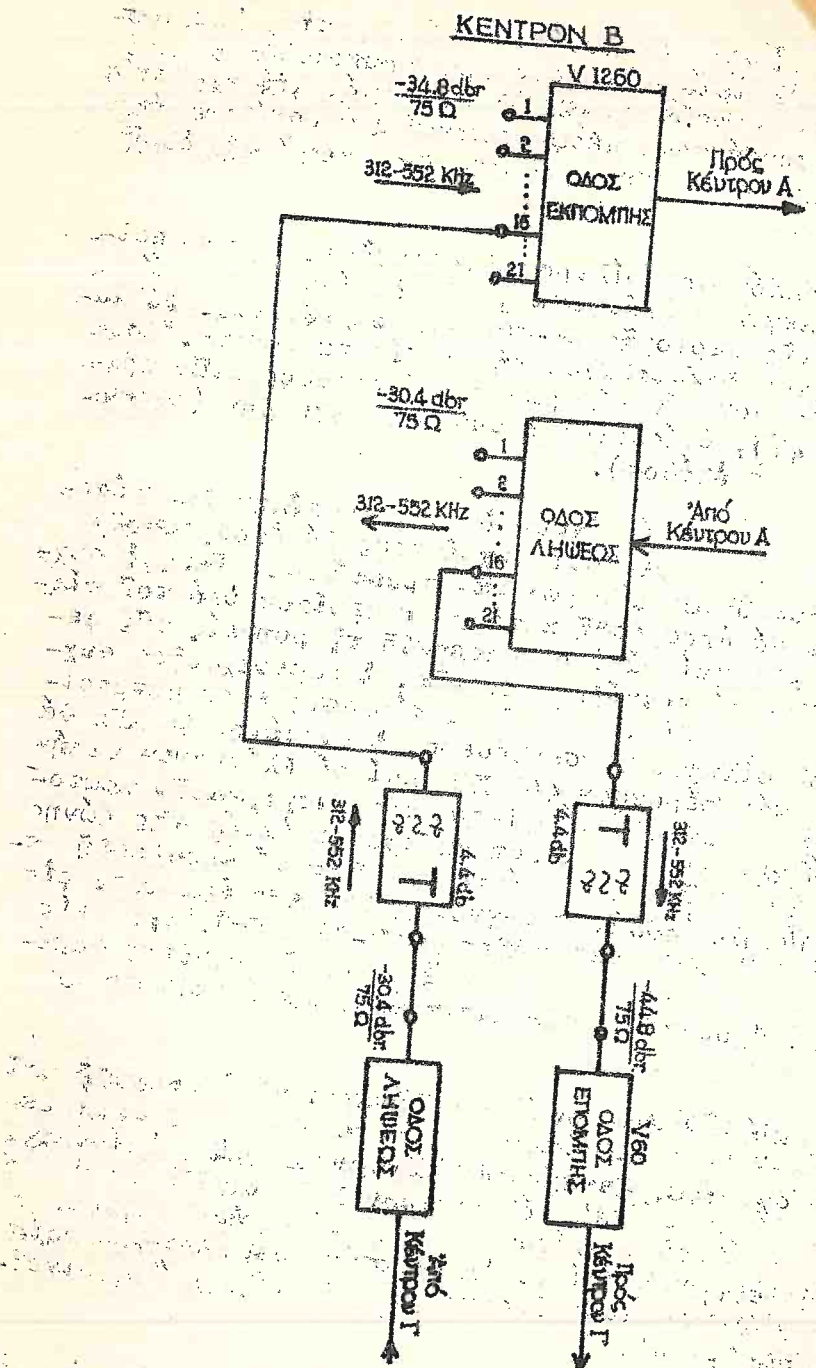
τὴν ὁδὸν λήψεως εἶναι μεγαλύτερα κατὰ 6 dB τῆς ἀπαιτούμενης τοιαύτης. Ἡ ἰδίᾳ σύνδεσις πραγματοποιεῖται καὶ διὰ τὴν ἀντίθετον κατεύθυνσιν. "Ἦτοι ἡ ὁδὸς λήψεως τοῦ συστήματος Β-Γ συνδέεται, μέσῳ στοιχείου ἀποσβέσεως 6dB καὶ φίλτρου διελεύσεως ζώνης 60-108 KHz, μετὰ τῆς ὁδοῦ ἐκπομπῆς τοῦ συστήματος Α-Β.

Τὸ παρεμβαλλόμενον φίλτρον διασυνδέσεως χαρακτηρίζεται ἀπὸ τὴν μεγάλην ἀπόσβεσιν, τὴν ὁποῖαν παρουσιάζει εἰς τὰς ἐκτὸς τῆς περιοχῆς 60-108 KHz συχνότητος. Τὸ κατωτέρω παράδειγμα δικαιολογεῖ τὴν ἰδιότητα ταύτην. "Ἐστω ὅτι εἰς τὴν ἐξοδὸν τῶν φίλτρων τῶν ἀποδιαμορφωτῶν πρωτομάδων (σχ. 147), ὑφίσταται ἡ συχνότης 470 KHz (προερχομένη ἐκ τῆς 4ης ὁμάδος).

Τὰ φίλτρα ταῦτα δὲν ἔχουν ὀξείαν καμπύλην ἀποσβέσεως διότι τυχόν παρενοχλοῦσαι συχνότητες θὰ ἀποσβεσθῶν ὑπὸ τῶν ἀκολουθούντων φίλτρων τῶν προομάδων. Ὅπως, ἡ συχνότης 470 KHz θὰ ἀποσβεσθῇ κατὰ 9 dB περίπου ὑπὸ τοῦ φίλτρου 408-456 KHz καὶ θὰ ἀποδιαμορφωθῇ τῇ βοηθείᾳ τῆς φέρουσας 516 KHz. Θὰ προκύψῃ, συνεπῶς, ἡ παρενοχλοῦσα συχνότης 516-470 = 46 KHz. Ἐὰν ἡ διασύνδεσις ἐπραγματοποιεῖτο ἄνευ τοῦ φίλτρου διασυνδέσεως, ἡ συχνότης 46 KHz θὰ ἐδιαμόρφωνε τὴν φέρουσαν 468 KHz καὶ θὰ ἐλάμβανεν τιμὴν 468-46=422 KHz. Ἐπειδὴ τὰ φίλτρα τῶν διαμορφωτῶν πρωτομάδων ἐμφανίζουν ἐπίσης μικράν ἀπόσβεσιν ἐκτὸς τῆς ζώνης διελεύσεως, διὰ τοῦτο ἡ συχνότης 422 KHz θὰ ἀποσβεσθῇ περίπου κατὰ 17 dB. Ἀλλὰ, ἡ συχνότης 422 KHz ἐμπίπτει εἰς τὴν περιοχὴν τῆς 3ης πρωτομάδος (408-456 KHz). "Αρα εἰς τὴν 3ην πρωτομάδα μετὰ Β-Γ θὰ ἐμφανισθῇ συχνότης θορύβου 422 KHz, ἔχουσα στάθμην μικροτέραν κατὰ  $9+17=26$  dB τῆς κανονικῆς.

Ἡ τεχνικὴ τῶν διασυνδέσεων δύναται νὰ ἐφαρμοσθῇ καὶ διὰ τὴν ζεύξιν 60 διοδεύσεων (1 δευτερομάς), ὡς δεικνύεται εἰς τὸ σχ. 148. Μεταξὺ τῶν Κέντρων Α καὶ Β ὑφίσταται ἓν σύστημα VI260 καὶ εἰς τὸ Κέντρον Β διασυνδέεται ἡ 16η δευτερομάς μετὰ τοῦ συστήματος V60, τὸ ὁποῖον ἐργάζεται μετὰ τῶν Κέντρων Β καὶ Γ. Ἡ διασύνδεσις πραγματοποιεῖται μέσῳ φίλτρων διασυνδέσεως 312-552 KHz καὶ στοιχείου ἀποσβέσεως 4,4 dB.

Τὰ βασικώτερα πλεονεκτήματα, τὰ ὁποῖα παρέχει ἡ τεχνικὴ τῶν διασυνδέσεων, εἶναι:



Σχ. 148. Παράδειγμα διασυνδέσεως μιας δευτεροβάθμιας

- Έξοικονομούνται αἱ διατάξεις, αἱ ὁποῖαι ἀπαιτοῦνται διὰ τὴν διαμόρφωσιν - ἀποδιαμόρφωσιν τῆς ἀκουστικῆς περιοχῆς 300-3400 Hz.

- Καλυτέρα ποιότης τῶν διασυνδεομένων διοδεύσεων λόγω ἐξαλείψεως τοῦ θορύβου, τὸν ὁποῖον εἰσάγουν οἱ ὡς ἔνω διαμορφωταί - ἀποδιαμορφωταί.

- Τὰ μεγάλου ἀριθμοῦ διοδεύσεων  $\Phi/\Sigma$  καθίστανται πλέον εὐέλκτα καί, συνεπῶς, οἰκονομικώτερα.

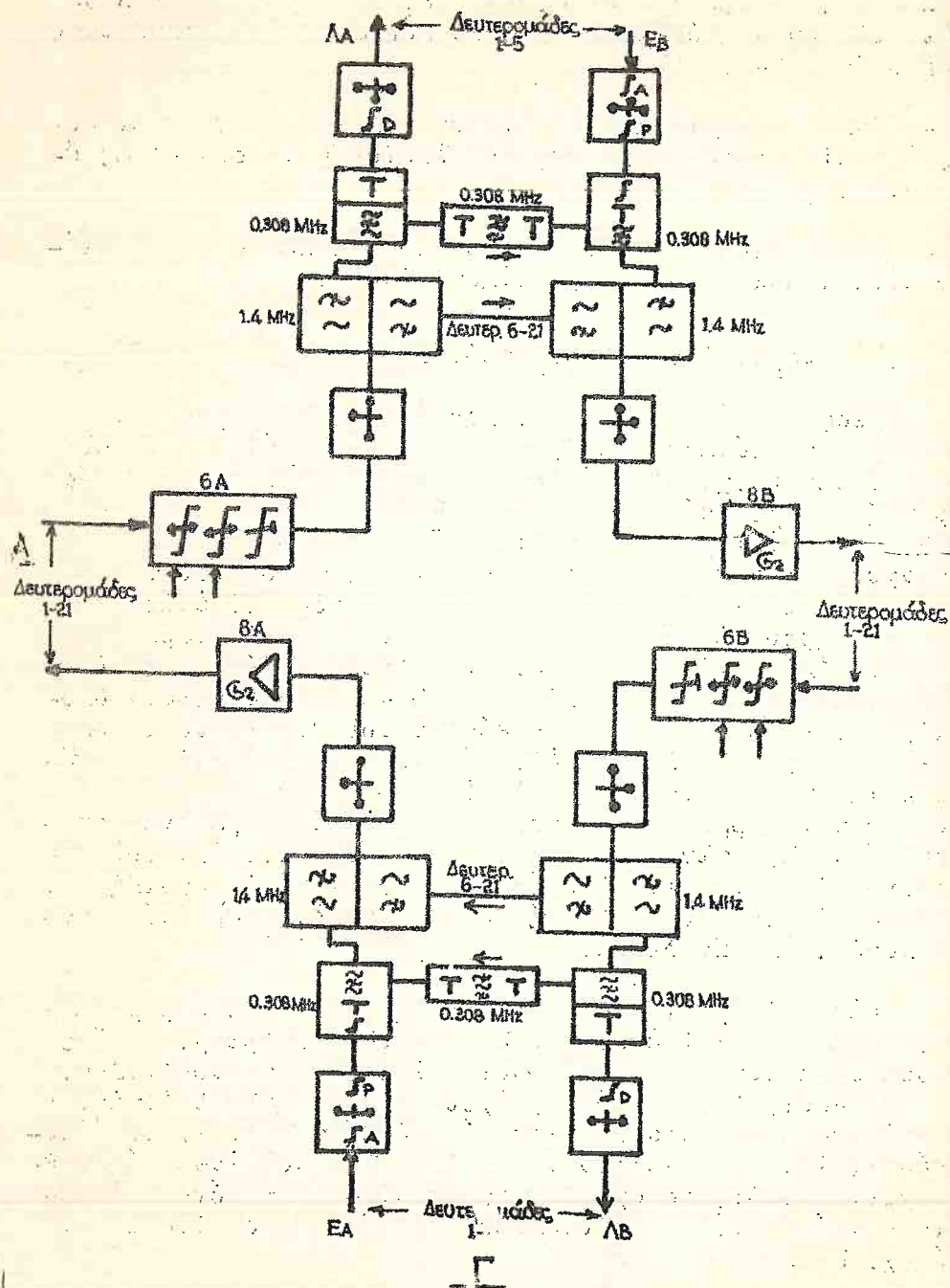
#### 24.2. Ἡ τεχνικὴ τῶν ἀπομαστεύσεων

Μέσω τῆς ἀνωτέρω τεχνικῆς ἐπιλύονται προβλήματα τῶν  $\Phi/\Sigma$  τῆς κάτωθι μορφῆς: Εἰς τὰ  $\Phi/\Sigma$  μεγάλου ἀριθμοῦ διοδεύσεων (π.χ. εἰς τὰ λειτουργοῦντα μέσω δημοξονικῆς γραμμῆς ἢ P/H ζεύξεως) παρεμβάλλονται, ὡς ἤδη ἀνεφέρθη, ἐνδιάμεσοι ἐνισχυτικοὶ μερικῆς ἢ ὁλικῆς ρυθμίσεως. Οἱ ἐνισχυτικοὶ σταθμοὶ μερικῆς ρυθμίσεως τοποθετοῦνται συνήθως εἰς μὴ ἐπιβλεπόμενα Κέντρα ἢ ἐντὸς τοῦ ἐδάφους, ἐνῶ οἱ πλήρους ρυθμίσεως τοποθετοῦνται εἰς ἐπηνδρωμένα Κέντρα. Ἐὰν διὰ τὰς ἀνάγκας τῆς ἐπικοινωνίας μεταξὺ τῶν δύο τερματικῶν Κέντρων δέν ἀπαιτῆται ἡ ἀπασχόλησις ὁλοκλήρου τοῦ ἀριθμοῦ τῶν διοδεύσεων τοῦ συστήματος, προκύπτει ἀμέσως τὸ ἐρώτημα, ἐὰν θά ἦτο δυνατὴ ἡ διάθεσις τῶν ὑπολοίπων διοδεύσεων εἰς τὴν ἐξυπηρέτησιν τῶν ἀναγκῶν μεταξὺ τῶν τερματικῶν Κέντρων καί τῶν ἐπηνδρωμένων σταθμῶν ἢ μεταξὺ τῶν ἐπηνδρωμένων ἐνισχυτικῶν. Ἰκανοποιητικὴν ἀπάντησιν εἰς τὸ ἐρώτημα αὐτὸ δίδει ἡ τεχνικὴ τῶν ἀπομαστεύσεων, ἥτις εἰς τὴν ἐφαρμογὴν ἔχει ἀρκετάς παραλλαγάς, ἐν τῶν ὁποίων θά ἀναφερθοῦν δύο.

Εἰς τὸ σχ. 149 δεικνύεται σχηματικόν διάγραμμα τῆς ἀπομαστεύσεως καί ἐπανακαταλήψεως τῶν ὑπ' ἀριθμ. 1 ἕως 5 δευτερομάδων (300 διοδεύσεις) ἐνός συστήματος V1260. Αἱ διατάξεις ἀπομαστεύσεως ἔχουν τοποθετηθῇ, δι' ἐκάστην κατεύθυνσιν μεταδόσεως, εἰς τὴν θέσιν τοῦ στοιχείου ἀποσβέσεως 14,8 dB (πεδίων 7 εἰς σχ. 132) τοῦ ἐνδιαμέσου ἐνισχυτικοῦ. Εἰς τὸ σχ. 149 ἔχουν σχεδιασθῇ μόνον τὰ πεδία 6 καί 8 διότι, τὰ ὑπόλοιπα πεδία ἀνταποκρίνονται εἰς τὸ σχ. 132,

Ἡ ἀπομάστευσις ἐπιτυγχάνεται βασικῶς μέσω τοῦ ζεύγους τῶν βαθυπερατῶν καί ὑψιπερατῶν φίλτρων, τὰ ὁποῖα ἔ-





Σχ. 149. Ενδοκύβευρος τηλεοπτικός V1260 μετά διατάξεων απομαστεύσεως και επανακαταλήψεως των δευτερομιάδων 1-5

χουν συχνότητα αποκοπής 1,4 MHz. "Εστώ ότι εξετάζεται η απομάστευσις μεταξύ ενός Κέντρου εύρισκομένου εις τήν πλευράν Α καί τοῦ ἐνισχυτικοῦ Γ. Ἡ πλευρά λήψεως ἐκ τοῦ Α πρὸς τὸν Γ ἀκολουθεῖ τήν ἐξῆς ὁδόν: Εἰς τήν ἐξοδὸν τοῦ πεδίου δΑ ἐπιλέγονται μέσῳ τοῦ ὑψιπερατοῦ φίλτρου αἱ δευτερομάδες 6 ἕως 21, αἱ ὁποῖαι διέρχόμεναι καὶ ἕτερον ὑψιπερατὸν φίλτρον ὁδηγοῦνται εἰς τήν εἴσοδον τοῦ ἐνισχυτοῦ 8B, διὰ νὰ συνεχίσουν τήν πορείαν των πρὸς τὸν ἕτερον τερματικόν. Αἱ δευτερομάδες 1 ἕως 5 ἐπιλέγονται ὑπὸ τοῦ βαθυπερατοῦ φίλτρου καὶ ἀφοῦ διέλθουν διὰ τοῦ φίλτρου ἀποκοπῆς τῆς ὁδηγοῦ συχνότητος 0,308 MHz καὶ διὰ τοῦ δικτυώματος ἀποεμφάσεως (D), ὁδηγοῦνται μέσῳ τοῦ Δ πρὸς τὰς διατάξεις ἀποδιαμορφώσεως τοῦ ἐνισχυτικοῦ σταθμοῦ. Ἡ πλευρά ἐκπομπῆς ἐκ τοῦ ἐνισχυτικοῦ Γ πρὸς τήν πλευράν Α ἀρχίζει ἐκ τοῦ Ε, ἔνθα ἀφικνοῦνται αἱ δευτερομάδες 1 ἕως 5, προερχόμεναι ἐκ τῶν διατάξεων διαμορφώσεως τοῦ ἐνισχυτικοῦ. Αἱ δευτερομάδες αὗται, ἀφοῦ διέλθουν τὸ δικτύωμα προεμφάσεως (P), ἐν φίλτρον ἀποκοπῆς 0,308 MHz καὶ τὸ βαθυπερατὸν φίλτρον, ὁδηγοῦνται εἰς τήν εἴσοδον τοῦ ἐνισχυτοῦ 8A, διὰ νὰ κατευθυνθοῦν πρὸς τήν πλευράν Α.

Ἡ ἐπανακατάληψις τῶν πέντε τούτων δευτερομάδων, δηλαδή ἡ λειτουργία των μεταξύ τοῦ ἐνισχυτικοῦ Γ καὶ ἐνός τερματικοῦ Κέντρου ἢ ἐτέρου ἐνισχυτικοῦ εύρισκομένου πρὸς τήν πλευράν Β, ἐπιτυγχάνεται δι' ἀναλόγου ἀκριβῶς τρόπου.

Εἰς τήν ζώνην μεταδόσεως τῶν πέντε ἀπομαστευομένων δευτερομάδων εὐρίσκεται καὶ ἡ ὁδηγὸς συχνότης 0,308 MHz, ὃ ὁποῖα δέν πρέπει νὰ εἰσαχθῇ εἰς τὰς διατάξεις διαμορφώσεως - ἀποδιαμορφώσεως τοῦ ἐνισχυτικοῦ σταθμοῦ Γ, ἀλλὰ νὰ ἀκολουθήσῃ τήν πορείαν της ἐκ τοῦ Α πρὸς Β καὶ ἐκ τοῦ Β πρὸς Α. Τοῦτο ἐπιτυγχάνεται ὑπὸ τῶν φίλτρων ἀποκοπῆς καὶ ὑπὸ τῶν φίλτρων διελεύσεως τῆς ὁδηγοῦ συχνότητος 0,308 MHz.

Εἰς τό σχ. 139 δεικνύεται ὁ τρόπος ἀπομαστεύσεως καὶ ἐπανακαταλήψεως μιᾶς τεταρτομάδος (900 διοδεύσεις) εἰς ἓνα ἐνδιάμεσον ἐνισχυτικόν τοῦ συστήματος V2700. Ἐνταῦθα ἀκολουθεῖται ἡ ἰδίᾳ ἀρχή, ὡς καὶ εἰς τό σύστημα V1260, ἀλλὰ τὰ χρησιμοποιούμενα βαθυπερατά καὶ ὑψιπερατά φίλτρα ἔχουν ὁριακὴν συχνότητα 4,1 MHz. Ἡ χρησιμοποίησις τῶν φίλτρων ἀποκοπῆς τῆς ὁδηγοῦ 0,308 MHz ἀποκλείει τήν εἴσοδόν της εἰς τὰς διατάξεις διαμορφώσεως - ἀποδιαμορφώσεως τοῦ ἐνισχυτικοῦ, ἐνῶ μέσῳ τῶν φίλτρων

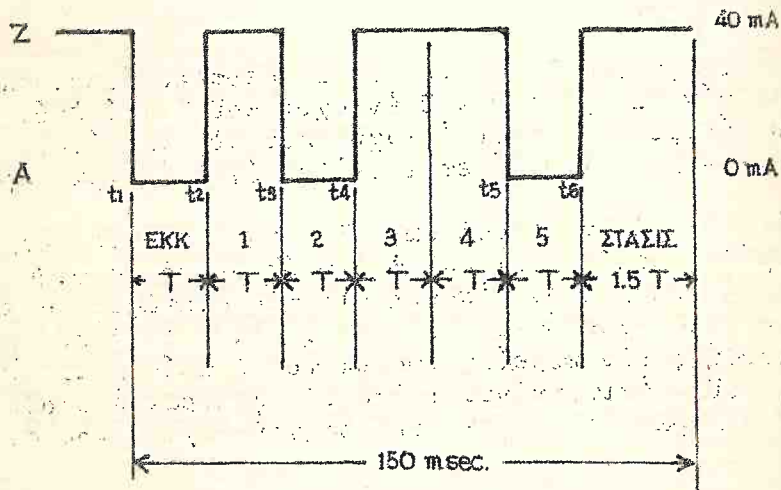
διελεύσεως ζώνης 0,308 KHz δδεύει αὐτή πρὸς τὸ ἔναντι κέντρον.

#### IV. ΦΕΡΕΣΥΧΝΑ ΤΗΛΕΓΡΑΦΙΚΑ ΣΥΣΤΗΜΑΤΑ

##### 25. ΓΕΝΙΚΑΙ ΑΡΧΑΙ.

##### 25.1. Τὰ σήματα τοῦ τηλετύπου.

Διὰ τὴν μετάδοσιν μέσω τηλετύπου τῶν γραμμάτων, ἀριθμῶν καὶ λοιπῶν συμβόλων τοῦ γραπτοῦ λόγου χρησιμοποιεῖται εἰς πενταπλοῦς δυαδικὸς κώδιξ. Δηλαδή ἕκαστον σύμβολον τοῦ γραπτοῦ λόγου μετατρέπεται εἰς κατάλληλον συνδυασμὸν πέντε ρευματικῶν παλμῶν. Ὁ κώδιξ καλεῖται δυαδικὸς διότι τὸ ρεῦμα τῶν παλμῶν δύναται νὰ λάβῃ δύο διακεκριμένας τιμὰς, τὴν Z καὶ τὴν A. Εἰς τὸ σχ. 150 δεικνύεται π.χ. ὁ κωδικὸς συνδυασμὸς τοῦ γράμματος Φ. Οἱ παλμοὶ τοῦ ρεύματος λαμβάνουν δύο διακεκριμένας τιμὰς:

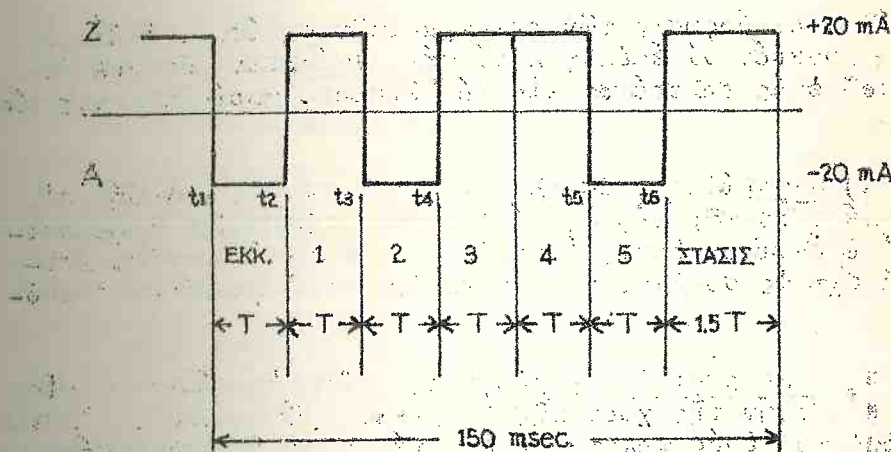


Σχ. 150

εἰς τὴν κατάστασιν Z τὸ ρεῦμα ἔχει τιμὴν 40 mA, ἐνῶ εἰς τὴν κατάστασιν A ἔχει 0 mA. Ἐκαστος παλμὸς (ἢ βῆμα ἢ στοιχεῖον ἔχει διάρκειαν  $T=20$  ms). Πέραν τῶν παλμῶν τοῦ συνδυασμοῦ ἀποστέλλεται, δι' ἕκαστον σύμβολον, ὁ παλμὸς ἐκκινήσεως (ΕΚΚ.) καὶ ὁ παλμὸς στάσεως (ΣΤΑΣΙΣ), διὰ



των οποίων επιτυγχάνεται ο συγχρονισμός μεταξύ εκπέμποντος και λαμβάνοντος τηλετύπου. Ο παλμός εκκινήσεως αντιστοιχεί εις κατάστασιν Α και διαρκεί όσον έν βήμα του συνδυασμού. Ο παλμός στάσεως αντιστοιχεί εις κατάσταση Z και διαρκεί 1, 5T δηλαδή 30 ms. Συνεπώς, διά τήν μετάδοσιν ενός συμβόλου απαιτείται συνολικός χρόνος 150 ms. Πέραν τής κωδικοποιήσεως των συμβόλων εις παλμούς άπλου ρεύματος (ώς εις τό σχ. 150) είναι δυνατή και ή κωδικοποίησις εις παλμούς διπλαυ ρεύματος, ως δεικνύεται εις τό σχ. 151 ένθα ή κατάστασις Z αντιστοιχεί εις ρεύμα +20mA και ή κατάστασις Α εις ρεύμα -20mA.



Σχ. 151

Τά χρονικά σημεία  $t_1 - t_6$  (σχ. 150 και 151), ένθα σημειούται αλλαγή τής χαρακτηριστικής καταστάσεως του συνδυασμού, καλούνται χαρακτηριστικά χρονικά σημεία.

## 25.2. Ταχύτης βήματος (ή τηλεγραφική ταχύτης).

Ός ταχύτης βήματος  $U$  (παιλιότερον, έκαλειτο τηλεγραφική ταχύτης) όρίζεται <sup>8</sup>δ αριθμός των μεταδιδομένων παλμών (ή βημάτων) εις τήν μονάδα του χρόνου (1 sec). Έάν εις χρόνον  $T$  μεταδίδεται έν βήμα, τότε εις 1 sec θά μεταδίδωνται:

$$U = \frac{1}{T} \text{ βήματα} \quad (25.1)$$

Ἡ ταχύτης βήματος ἐκφράζεται εἰς Baud (Bd) πρὸς τὴν μὴν τοῦ Γάλλου Μηχανικοῦ BAUDOT. Οὕτως, ἡ ταχύτης βήματος ἐνὸς τηλετύπου, εἰς τὸ ὁποῖον ἡ διάρκεια τοῦ βήματος εἶναι  $T=20\text{ ms}$ , θά εἶναι:

$$U_s = \frac{1\text{ sec}}{T} = \frac{1\text{ sec}}{20\text{ ms}} = \frac{1\text{ sec}}{20 \cdot 10^{-3}\text{ sec}} = 50\text{ Bd}$$

Τὰ συνήθως χρησιμοποιούμενα σήμερον τηλέτυπα ἔχουν ταχύτητα 50 Bd.

### 25.3. Τηλεγραφικὴ παραμόρφωσις.

Ἡ παραμόρφωσις τῶν τηλεγραφικῶν σημάτων, ἡ ὁποία εἶναι δυνατόν νά ἐπέλθῃ κατὰ τὴν μετάδοσιν τῶν παλμῶν ἀπὸ τοῦ ἐνὸς τηλετύπου εἰς τὸ ἕτερον, χωρίζεται εἰς εἴδη:

α) Μεταβίβασις ἐσφαλμένου συνδυασμοῦ: Δηλαδή εἰς τὸ τηλέτυπον τῆς λήψεως θά ἀφικθῇ συνδυασμός διαφορετικός ἀπὸ ἐκεῖνον ὅστις ἀπεστάλη κατὰ τὴν ἐκπομπήν. Τοῦτο θά ἔχῃ ὡς συνέπειαν τὴν ἐκτύπωσιν ἐσφαλμένου συμβόλου.

β) Τηλεγραφικὴ παραμόρφωσις: Αὕτη ἀναφέρεται εἰς τὴν μεταβολὴν τῆς χρονικῆς διαρκείας τῶν παλμῶν. "Εἴς τὸ ὅτι ὑπὸ τοῦ ἐνὸς τηλετύπου ἀποστέλλεται ὁ συνδυασμός τοῦ σχ. 152α. Ὑπὸ ἰδανικῆς συνθήκης μεταδόσεως, ἕκαστος τῶν παλμῶν, ἀφικνούμενος εἰς τὸ τηλέτυπον λήψεως, πρέπει νά διαρκῇ χρόνον  $T$ . Λόγῳ ὅμως παραμορφώσεων, τὰς ποίας εἰσάγει τὸ σύστημα μεταδόσεως, οἱ παλμοὶ ἀφικνοῦνται πικρῶς εἰς τὸ σχ. 152β ἔνθα ὁ παλμός ΕΚΚ. ἔχει ἐπιμηκυνθῇ ἐνῶ ὁ παλμός 1 ἔχει ἐπιβραχυνθῇ. Ἡ τηλεγραφικὴ παραμόρφωσις ἐκφράζεται ἐπὶ τῇ βάσει τῆς σχέσεως:

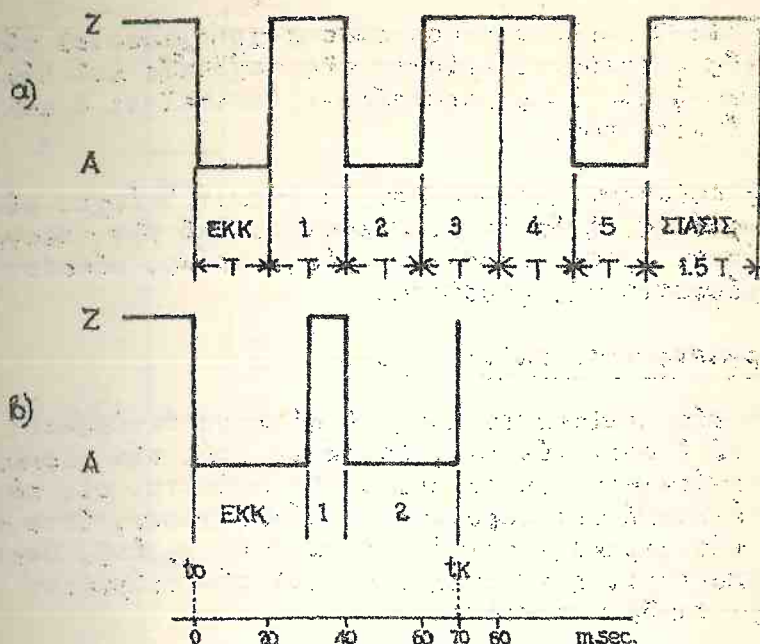
$$\delta = \frac{|t_n - t_0 - KT|_{\max}}{T} \quad (25.2)$$

ἔνθα:  $t_0$  : Ὁ χρόνος ἐνάρξεως τοῦ ἀφικθέντος συνδυασμοῦ

$t_n$  : Ὁ χρόνος, εἰς τὸν ὁποῖον παρατηρεῖται ἡ μὲν γαλυτέρα παραμόρφωσις παλμῶν.

$K$  : Ὁ ἀριθμός τῶν μεσολαβησάντων βημάτων μεταξὺ  $t_0$  καὶ  $t_n$

$T$  : Ἡ χρονικὴ διάρκεια τοῦ βήματος.



Σχ. 152. Διά τόν ὁρισμόν τῆς τηλεγραφικῆς παραμορφώσεως

Π.χ. ἡ τηλεγραφικὴ παραμόρφωσις δ εἰς τό σχ. 152 β θά εἶναι:

$$\delta = \frac{0-70-3.20}{20} = \frac{10}{20} = 0,5 \quad \text{ἢ} \quad 50\%$$

#### 25.4. Μετάδοσις τῶν τηλεγραφικῶν σημάτων:

Ἡ τηλεγραφία, ἀπὸ ἀπόψεως μεταδόσεως τῶν τηλεγραφικῶν σημάτων, δύναται νά χωρισθῇ εἰς δύο κατηγορίας:

##### α) Τηλεγραφία συνεχοῦς ρεύματος

Εἰς τὴν περίπτωσιν αὐτὴν, τὰ τηλεγραφικά σήματα μεταδίδονται δι' ἐγσυρμάτου δικτύου, ὅπως ἀκριβῶς παρήχθησαν ὑπὸ τοῦ πόμποῦ τοῦ τηλετύπου, ἄνευ περαιτέρω ἐπεξεργασίας (σχ. 153α). Ἡ μετάδοσις αὐτοῦ τοῦ τρόπου δύναται νά καλύψῃ μικρὰς σχετικῶς ἀποστάσεις καὶ ὡς ἐκ τούτου χρησιμοποιεῖται διὰ τὰς ἀνάγκας τῆς τοπικῆς ἐπικοινωνίας.



### β) Τηλεγραφία έναλλασσομένου ρεύματος.

Τό είδος αὐτῆς τῆς μεταδόσεως χρησιμοποιεῖ τὰς μεθόδους τῆς φερεσύχνου τηλεφωνικῆς τεχνικῆς καί δύναται νά ἐφαρμοσθῇ εἰς βῆας περιπτώσεις ἀπαιτεῖται ἡ κάλυψις μεγάλων ἀποστάσεων.

Εἰς ἐκάστην τηλεγραφικὴν διόδευσιν ὑπάρχει μία φέρουσα συχνότης, ἡ ὁποία διαμόρφοῦται ὑπὸ τῶν τηλεγραφικῶν σημάτων. Χρησιμοποιοῦνται δύο, κυρίως, μέθοδοι διὰ τὴν διαμόρφωσιν τῆς φερούσης.

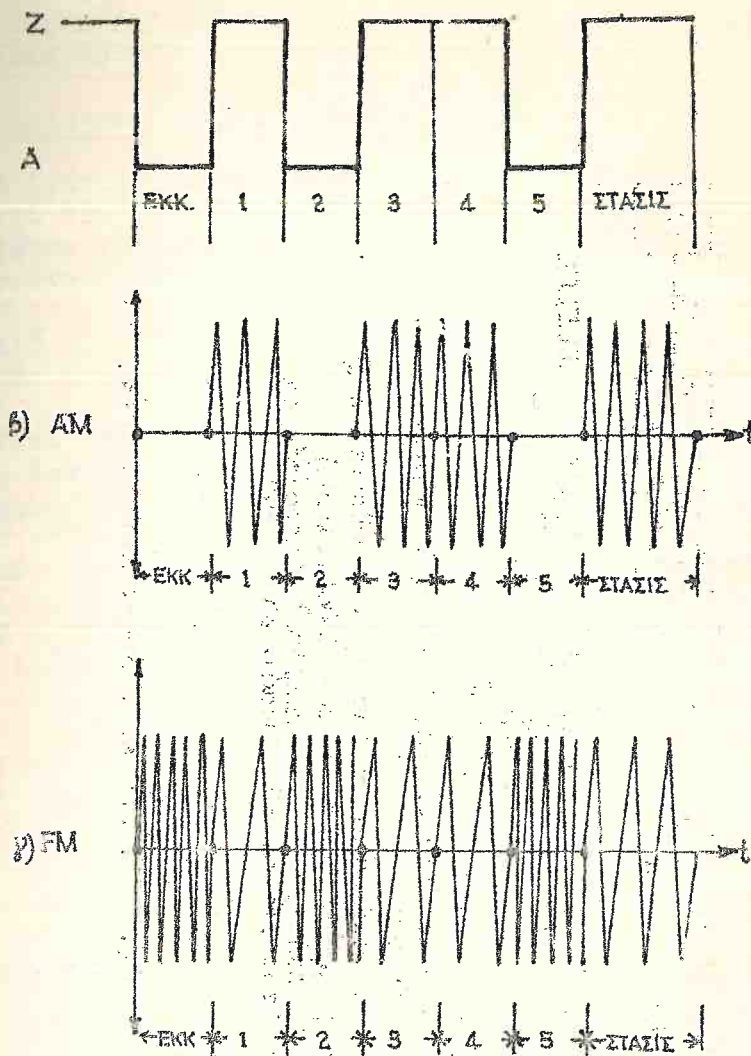
#### - Διαμόρφωσις κατὰ πλάτος (A.M)

Εἰς τὴν περίπτωσιν αὐτὴν ἡ φέρουσα ἐκπέμπεται ἢ ὄχι πρὸς τὸ ἔναντι Κέντρον, ἀναλόγως πρὸς τὴν χαρακτηριστικὴν κατάστασιν τοῦ σήματος. Ὡς φαίνεται εἰς τὸ σχ. 153β, ἡ ἐμπομπή τῆς φερούσης λαμβάνει χώραν, ὅταν τὸ σῆμα ἔχει τὴν χαρακτηριστικὴν κατάστασιν Z, ἐνῶ, ἀντιθέτως, διακόπτεται ἡ ἐμπομπή τῆς κατὰ τὴν διάρκειαν τῆς χαρακτηριστικῆς καταστάσεως A.

#### - Διαμόρφωσις κατὰ συχνότητα (FM)

Εἰς τὴν διαμόρφωσιν αὐτοῦ τοῦ εἴδους δέν μεταβάλλεται τὸ πλάτος, ἀλλὰ ἡ συχνότης τῆς φερούσης  $f_M$ . Ὅτῳ, κατὰ τὴν χαρακτηριστικὴν κατάστασιν A ἐκπέμπεται ἡ συχνότης  $f_{M+\Delta f}$ , ἐνῶ κατὰ τὴν κατάστασιν Z ἐκπέμπεται ἡ συχνότης  $f_{M-\Delta f}$  (σχ. 153 γ). Εἰς τὰ φερέσυχνα τηλεγραφικὰ συστήματα ἡ τιμὴ τῆς  $\Delta f$  εἶναι 30 Hz. Ὅτῳ, ἐάν εἰς μίαν τηλεγραφικὴν διόδευσιν ἡ συχνότης  $f_M$  εἶναι 420 Hz, τότε κατὰ τὴν χαρακτηριστικὴν κατάστασιν A ἐκπέμπεται ἡ συχνότης  $f_A = f_M + \Delta f = 420 + 30 = 450$  Hz ἐνῶ κατὰ τὴν κατάστασιν Z ἡ συχνότης:  $f_Z = f_M - \Delta f = 420 - 30 = 390$  Hz. Πρακτικῶς, δέν ὑφίσταται γεννήτρια φερούσης συχνότητος  $f_M$ , ἀλλὰ μία γεννήτρια, τῆς ὁποίας ἡ συχνότης λαμβάνει τὰς διακεκριμένους τιμὰς  $f_Z$  καί  $f_A$ . Ἡ συχνότης, ἡ ὁποία κεῖται εἰς τὸ μέσον τῶν συχνοτήτων  $f_Z$  καί  $f_A$ , καλεῖται μέση συχνότης  $f_M$  τῆς διοδεύσεως καί προκύπτει ἐκ τῆς σχέσεως:

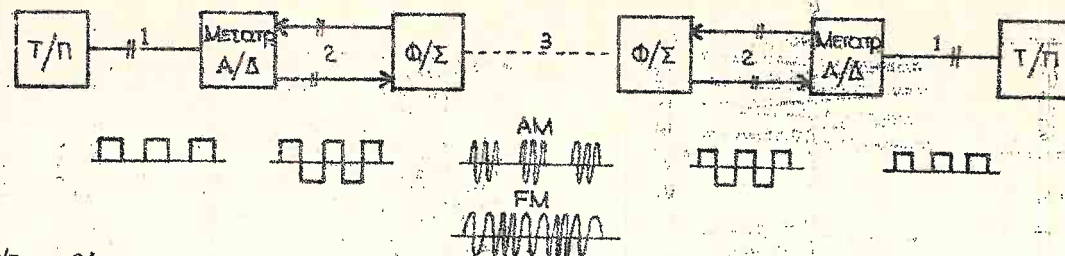
$$f_M = \frac{1}{2} (f_A + f_Z).$$



Σχ. 153. Τρεις βασικοί τρόποι μεταδόσεως των τηλεγραφικῶν σημάτων.

#### 25.5. Βασικόν σχέδιον ζεύξεως τηλετύπων μέσω Φ Σ

Εἰς τό σχ. 154 δεικνύεται τό βασικόν διάγραμμα τῆς συνδέσεως δύο τηλετύπων μέσω φερεσύχνου συστήματος (AM ἢ FM). Ὡς φαίνεται ἐκ τοῦ σχήματος τούτου, ἕκαστον τηλετύπων συνδέεται μέσω δισυρμάτου γραμμῆς μεθ' ἑνός με-



T/Π τηλετύπου

Α/Δ: Μετατροπείς των παλμών διπλού ρεύματος εις παλμούς διπλού ρεύματος

Φ/Σ: Τηλεγραφικόν φέρουσιν

1 : Διεύρματος γραμμή μεταξύ τηλετύπου-κέντρου (σήματα διπλού ρεύματος)

2 : Τετρασύνδεστος γραμμή εις το κέντρον (σήματα διπλού ρεύματος)

3 : Βασική γραμμή μεταδόσεως της τηλεγραφίας διπλού ρεύματος (φέρουσα διαμορφωμένη είτε κατά πλάτος (AM) είτε κατά συχνότητα (FM))

Σχ. 154. Σύνδεσις δύο τηλετύπων μέσω Φ/Σ



τατροπέως άπλου - διπλου ρεύματος. 'Η ζεύξις μεταξύ μετατροπέως Α/Δ ρεύματος καί φερεσύχνου επιτυγχάνεται μέσω τετρασυρμάτου γραμμής.

## 25.6. Μετατροπέυς Α/Δ ρεύματος.

'Η διάταξις αυτή τοποθετείται είς τό τηλετυπικόν κέντρον καί συνδέεται άφ'ένός μέν μετά του τηλετύπου μέσω δισυρμάτου γραμμής, άφ'έτέρου δέ μετά του Φ/Σ μέσω τετρασυρμάτου γραμμής (σχ. 155).

Διά του SK χαρακτηρίζεται είς τό τηλετύπον ή έπαφή έμπομπής καί διά του EM ό μαγνήτης λήψεως τών παλμών.

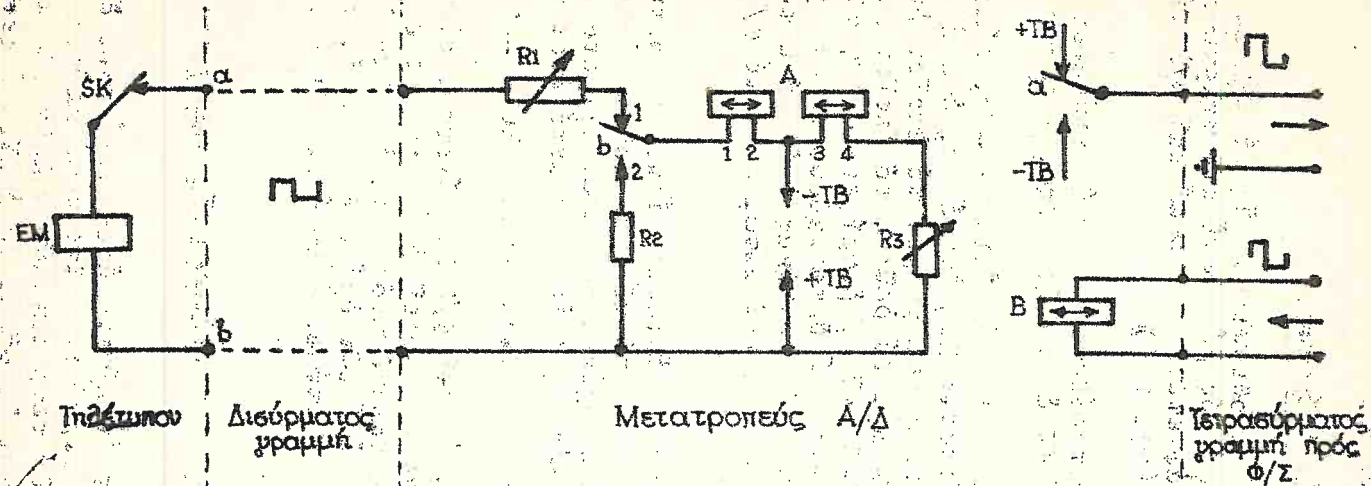
Κατά την ήρεμίαν, είς τό κύκλωμα: -TB, τύλιγμα 1-2 του Α, έπαφή b, αντίστασις R<sub>1</sub>, άγωγός α, έπαφή SK, μαγνήτης EM, άγωγός β, +TB, κυκλοφορεί ρεύμα, τό όποϊον ρυθμίζεται είς τά 40 mA μέσω της R<sub>1</sub>. Τό ρεύμα, τό όποϊον κυκλοφορεί διά του τυλίγματος 3-4 του Α, ρυθμίζεται μέσω της R<sub>2</sub> κατά τοιοϋτον τρόπον, ώστε νά υπερισχύουν τά άμπερελίγματα του Α<sub>1-2</sub>. 'Υπ'αυτάς τάς συνθήκας ή έπαφή α του ρωστήρος Α έφάπτεται είς τό +TB καί οϋτω, πρός τό Φ/Σ αποστέλλεται ρεύμα +20 mA.

Κατά την άπερχομένην επικοινωνίαν, διακόπτεται καί αποκαθίσταται μέσω της SK τό κύκλωμα του τυλίγματος Α<sub>1-2</sub>. Κατά την διακοπήν υπερισχύουν τά άμπερελίγματα του τυλίγματος Α<sub>3-4</sub> καί, οϋτως, ή έπαφή α μεταγέται είς τό -TB. Συνεπώς, πρός τό Φ/Σ εκπέμπεται παλμός -20 mA.

Κατά την λήψιν, έκ του Φ/Σ λαμβάνονται είς τό πεπολωμένον ρωστήρα Β παλμοί διπλου ρεύματος, οί όποιοι προκαλοϋν μεταβολήν της πολικότητός του. 'Η έπαφή τούτου b έφάπτεται άναλόγως επί τών όρίων 1 ή 2 καί, οϋτω, πρός τόν μαγνήτην EM του τηλετύπου αποστέλλονται παλμοί άπλου ρεύματος.

## 25.7. Εϋρος της ζώνης συχνότητων μιās τηλεγραφικής διόδεϋσεως.

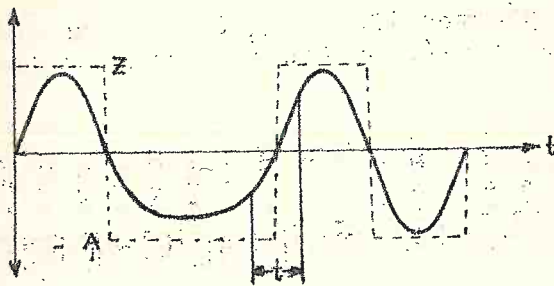
Διά μαθηματικής αναλύσεως άποδεικνύεται, ότι μετά την διαμόρφωσιν της φεράσεως (είτε κατά πλάτος είτε κατά συχνότητα) υπό τών τετραγωνικών παλμών τών τηλετυπικών σημάτων, προκύπτει έν σήμα, τό όποϊον αποτελείται ά-



Σχ. 155. Μετατροπέας Α/Δ ρεύματος

πό τό άθροισμα μεγάλου (θεωρητικώς άπειρου) πλήθους ήμιτονικών συχνοτήτων. Ούτως, εάν θά ήτο έπιθυμητή ή τελείως πιστή μετάδοσις τών τηλεγραφικών σημάτων, θά έπρεπε αι τηλεγραφικαί διοδεύσεις νά έπιτρέπουν τήν διέλευσιν ενός λίαν εύρέος φάσματος συχνοτήτων. Τουτό θά ώδήγει εις προφανώς μή οικονομικήν λύσιν καί διά τοῦτο ό περιορισμός τής ζώνης συχνοτήτων υπήρξεν αντίκειμενον μελέτης. Ο K. Kürfmüller απέδειξεν ότι ή έπιτρεπτός πε-  
ριωρισμένη ζώνη συχνοτήτων B καί ό χρόνος διαβάσεως t από τήν χαρακτηριστικήν κατάστασιν A εις τήν κατάστασιν Z καί αντιστρόφως (σχ. 156) συνδέονται υπό τής σχέσεως:

$$B \cdot t = 1 \quad \text{ή} \quad B = \frac{1}{t} \quad (25.3)$$



Σχ. 156

Τά τηλεγραφικά σήματα υφίστανται παραμορφώσεις τής μορφής των, όφειλομένας, κυρίως, εις αύτεπαγωγικά καί χωρητικά στοιχεία τοῦ συστήματος μεταδόσεως. Συνεπεία τών παραμορφώσεων τούτων, ή διάβασις εκ τής μιᾶς χαρακτηριστικῆς καταστάσεως εις τήν άλλην δέν γίνεται μηδενικόν χρόνον, άλλ' εις χρόνον t (σχ. 156). Έχει υπολογισθῇ, ότι, διά ταχύτητα βήματος 50 Baud ό μαγνήτης λήψεως τοῦ τηλετύπου δύναται νά έργασθῇ κανονικώς μέχρι μεγίστης τιμῆς καθυστερήσεως  $t=12 \text{ ms}$ . Άρα, εκ τής (25.3) προκύπτει:

$$B = \frac{1}{t} = \frac{1}{12 \text{ ms}} = \frac{1}{12 \cdot 10^{-3} \text{ sec}} \approx 83 \text{ Hz}$$

Διά λόγους εξασφαλίσεως τής λειτουργίας τών διατάξεων καί οικονομικῆς κατασκευῆς τών φίλτρων λαμβάνεται  
ώς  $B=120 \text{ Hz}$ .



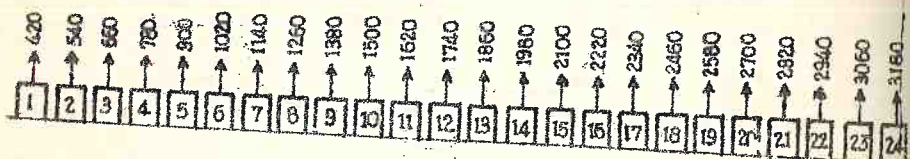
## 25.8. Φορείς μεταδόσεως φερουσώνων τηλεγραφικών συστημάτων.

Ως φορείς μεταδόσεως εις τήν τηλεγραφίαν ἐναλλασσομένου ρεύματος χρησιμοποιούνται κυρίως:

α) Ὀλόκληρος ἡ περιοχή συχνότητων μιᾶς τηλεφωνικῆς διοδεύσεως.

Ὡς ἐλέχθη εἰς τό προηγούμενον κεφάλαιον, ἡ ζώνη συχνότητων μιᾶς τηλεγραφικῆς διοδεύσεως ἔχει εὖρος 120 Hz (εἰς τήν ταχύτητα 50 Baud). Συνεπῶς, ἀντί μιᾶς τηλεφωνικῆς διοδεύσεως εὖρους 3400-300=3100 Hz, δύνανται νά ἐργασθοῦν  $3100:120=25,8$  Τηλεγρ. διοδεύσεις. Εἰς τήν πρᾶξιν, μεταδίδονται 24 διοδεύσεις, τῶν ὁποίων ἡ φέρουσα συχνότης ἢ ἡ ἐνδιάμεσος συχνότης  $f_M$  ἔχουν τὰς τιμὰς τοῦ σχ. 157.

Διὰ ταχύτητα βήματος 100 Baud, τό  $B=240$  Hz καί ἐπομένως ὁ ἀριθμός τῶν διοδεύσεων ὑποδιπλασιάζεται (12 διοδεύσεις)



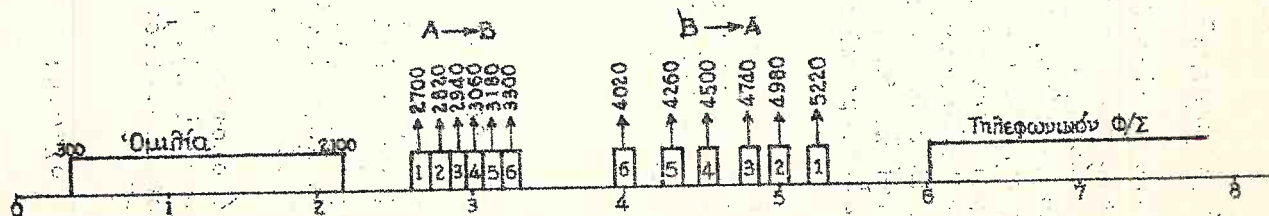
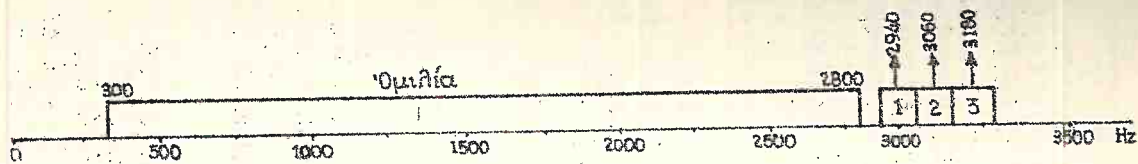
Σχ. 157. Μετάδοσις 24 τηλεγρ. διοδεύσεων μέσῳ 1 τηλεγρ. διοδεύσεως

β) Τμήμα τῆς ζώνης συχνότητων μιᾶς τηλεφωνικῆς διοδεύσεως (σχ. 158).

Εἰς τήν περίπτωσιν αὐτήν ἡ ζώνη συχνότητων τῆς τηλεφωνικῆς διοδεύσεως περιορίζεται, μέσῳ φίλτρου, μεταξύ 300-2800 Hz καί ἡ ἀπομένουσα ζώνη χρησιμοποιεῖται διὰ τήν μετάδοσιν τριῶν τηλεγραφικῶν διοδεύσεων. Ἡ ἐφαρμογή τῆς περιπτώσεως αὐτῆς λέγεται καί ἐσώζωνος τηλεγραφία.

γ) Ἡ περιοχή συχνότητων μεταξύ ζώνης ὁμιλίας καί ζώνης τηλεφωνικοῦ φερουσώνου μιᾶς ἐνσυρμάτου γραμμῆς (ὑπερακουστική ἢ ἐξώζωνος τηλεγραφία).

Μεταξύ τοῦ βασικοῦ κυκλώματος ὁμιλίας καί τῆς ζώνης τοῦ τηλεφωνικοῦ Φ/Σ μιᾶς καλωδιακῆς γραμμῆς μεσολα-



βεῖ μία κενή ζώνη συχνοτήτων, ἡ ὁποία δύναται νά χρησιμοποιηθῇ διά τήν μετάδοσιν 6 τηλεγραφικῶν διοδεύσεων, ὥς δεικνύεται εἰς τό σχ. 159.

### 25.9. Στάθμη ἐκπομπῆς ἀνά διοδευσιν.

Ὡς ἐλέχθη εἰς τό προηγούμενον κεφάλαιον, τά φερέ-  
συχνα τηλεγραφικά συστήματα χρησιμοποιοῦν κυρίως τηλεφω-  
νικάς διοδεύσεις ὡς φορεῖς μεταδόσεως ἢ ἐργάζονται ἐπὶ  
ἐνσυρμάτων δικτύων, ἐπὶ τῶν ὁποίων ἔχουν ὑπερτεθῇ καί  
φερέσυχνα τηλεφωνικά συστήματα. Ἐκ τῶν ἀνωτέρω λόγων  
εἶναι ἀπαραίτητον νά καθορισθῇ ἡ στάθμη ἐκπομπῆς ἀνά τη-  
λεγραφικὴν διοδευσιν, ὥστε αὕτη νά μὴ εἶναι ἀρκετά μεγά-  
λη, διότι τότε θά προκαλέσῃ ὑπερφορτίσεις τῶν ἐνισχυτῶν,  
ἀλλ' οὔτε καί πολύ μικρά, διότι τότε οἱ θόρυβοι τοῦ δι-  
κτύου θά εἶναι μεγαλύτερας στάθμης ἀπὸ τά τηλεγραφικά  
σήματα.

Εἰς ἓν σημεῖον τοῦ συστήματος μεταδόσεως, ἔνθα ἡ  
σχετικὴ στάθμη εἶναι μηδέν, ἡ ἰσχύς ἀνά τηλεγραφικὴν δι-  
οδευσιν τῶν συστημάτων, τά ὁποῖα ἐργάζονται μέ διαμόρ-  
φωσιν πλάτους (AM), ὑπολογίζεται ἐπὶ τῇ βάσει τῆς σχέ-  
σεως:

$$N = \frac{5mW}{n^2} \quad (25.4)$$

Ἐνθα  $n$  ὁ ἀριθμὸς τῶν διοδεύσεων.

Εἰς συστήματα μικροτέρου ἀριθμοῦ διοδεύσεων, τά ὁ-  
ποῖα ὑπερτίθενται ἐπὶ φωνοσύχων μεταλλικῶν κυκλωμάτων,  
ἐπιτρέπεται ἡ ἀβξησις τῆς ἰσχύος ἀνά διοδευσιν. Οὕτως,  
διὰ  $n=6$  ἡ ἐν λόγω ἰσχύς ἐπιτρέπεται νά ὑπερβῇ τὰ  $140\mu W$   
καί διὰ  $n=3$  τὰ  $555\mu W$ .

Εἰς τὰ συστήματα, τὰ ὁποῖα ἐργάζονται μέ διαμόρφω-  
σιν συχνότητος (FM), ἔχει καθορισθῇ μικρότερα τιμὴ ἰσχύ-  
ος ἀνά διοδευσιν, φησὶ τὰ συστήματα αὐτὰ ἐκπέμπουν συ-  
νεχῶς ἐπὶ τῆς γραμμῆς τήν φέρουσαν, ἔστω καί ἐάν δέν ἐρ-  
γάζεται τό τηλέτυπον. Εἰς τήν περίπτωσιν τῶν συστημάτων  
FM ἰσχύει ἡ σχέσις:

$$N_n = \frac{135\mu W}{n} \quad (25.5)$$

Ἐπὶ τῇ βάσει τῶν σχέσεων (25.4) καί (25.5) προκύπτει ὁ  
κάτωθι πίναξ.



Αριθμός διοδεύ- σεων του συστή- ματος..	Συστήματα AM		Συστήματα FM	
	Ισχύς ανά διοδευσιν	Στάθμη	Ισχύς ανά διοδευσιν	Στάθμη
12	35 $\mu$ W	-14,5 dBmO	11,25 $\mu$ W	-19,5 dBmO
18	15 $\mu$ W	-18,5 dBmO	7,5 $\mu$ W	-21,25 dBmO
24	9 $\mu$ W	-20 dBmO	5,6 $\mu$ W	-22,5 dBmO

## 26. ΠΕΡΙΓΡΑΦΑΙ ΦΕΡΕΣΥΧΝΩΝ ΤΗΛΕΓΡΑΦΙΚΩΝ ΣΥΣΤΗΜΑΤΩΝ.

### 26.1. ΣΥΣΤΗΜΑ ΕΞΩΧΩΝΟΥ ΤΗΛΕΓΡΑΦΙΑΣ AM.

#### 26.1.1) Γενική περιγραφή.

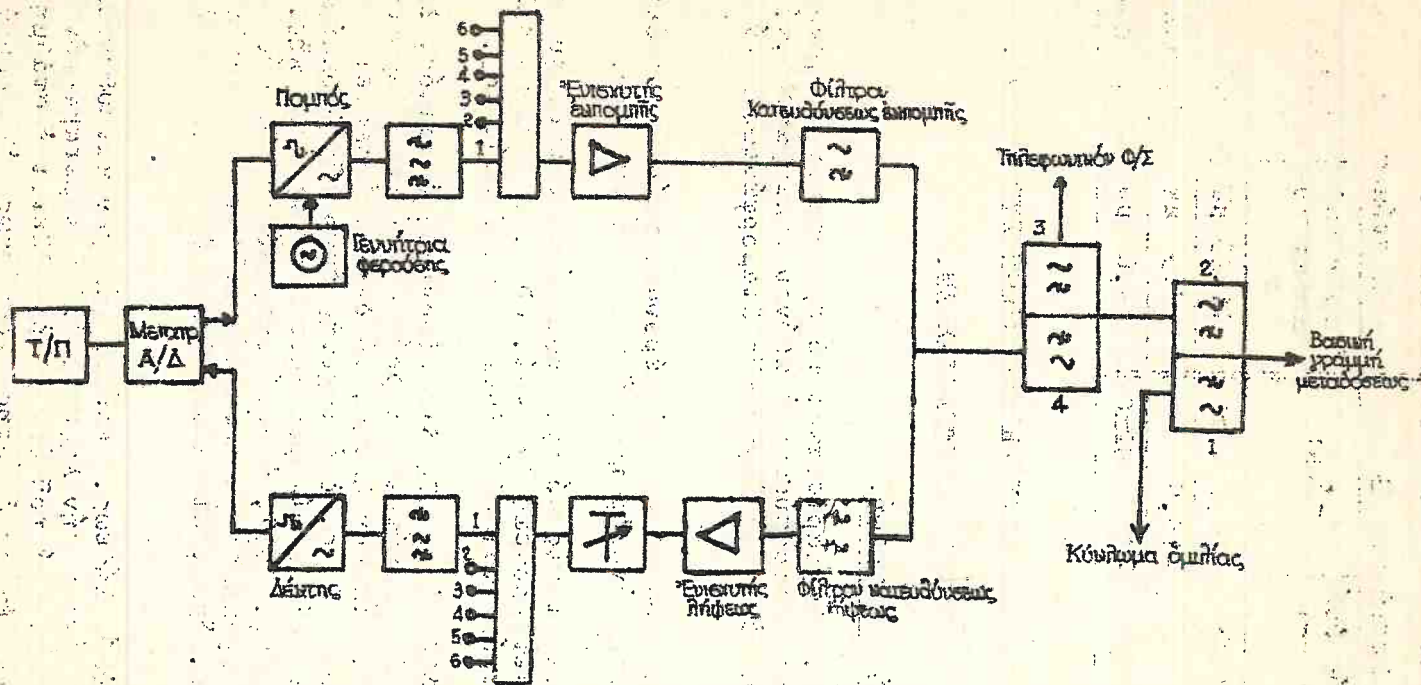
- Είς τό σχ. 160 παρίσταται τό σχηματικόν διάγραμμα ενός συστήματος 6 διοδεύσεων έξωχώνου τηλεγραφίας, τό ὁποῖον ἐργάζεται ἐπὶ τῆς ἀρχῆς τῆς διαμορφώσεως κατὰ πλάτος (AM).

- Ἡ ζώνη μεταδόσεως καί αἱ φέρουσαι ἐκάστης διοδεύσεως τοῦ συστήματος ἀνεφέρθησαν ἤδη εἰς τό σχ. 159.

- Ὅπως φαίνεται εἰς τό σχ. 160, τό τηλέτυπον συνδέεται μετὰ τοῦ μετατροπέως Α/Δ καί, οὕτω, τὰ σήματα ἀπλοῦ ρεύματος μετατρέπονται εἰς σήματα διπλοῦ ρεύματος.

- Εἰς τήν δδόν ἐμπομπῆς διακρίνονται: ὁ πομπός, ὅστις περιλαμβάνει τήν γεννήτριαν φερούσης καί τὴν διαμορφωτὴν τῆς διοδεύσεως, φίλτρον ζώνης, τό ὁποῖον ἐπιλέγει τὰς δύο παραπλεύρους ζώνας, ὁ ἐνισχυτὴς ἐμπομπῆς ολοκληροῦ τοῦ συστήματος καί τό φίλτρον κατευθύνσεως ἐμπομπῆς. Ὡς ἐλέχθη εἰς τό Κεφ. 25.7, ἡ μετάδοσις μόνον τῶν δύο παραπλεύρων ζωνῶν προκαλεῖ παραμόρφωσιν τῶν τηλεγραφικῶν σημάτων, ἡ ὁποία, ὅμως, εἶναι παραδεκτὴ ὡς ἀπέδειξεν ὁ Κ. Kumpfüller.

- Εἰς τήν δδόν λήψεως, μετὰ τό φίλτρον κατευθύνσεως λήψεως καί τὸν ἐνισχυτὴν λήψεως, ὑπάρχει μεταβλητὸν στοιχεῖον ἀποσβέσεως, διὰ τοῦ ὁποῖου ρυθμίζεται ἡ στάθμη πρὸς τήν ἐῤσοδον τοῦ δέκτου ἐκάστης διοδεύσεως. Ἡ πλευρά λή-



Σχ. 160. Σχηματικό διάγραμμα τηλε-συστήματος ΔΗ (έλεγχου, τηλεγραφίας).

ψεως μιᾶς διοδεύσεως περιλαμβάνει τὸ φίλτρον ζώνης, διὰ τοῦ ὁποίου ἐπιλέγεται ἡ ἀντίστοιχος ζώνη συχνότητων καὶ τὸν δέκτην.

— Πέραν αὐτῶν, τὸ ἱκρίωμα τοῦ τηλεγραφικοῦ συστήματος περιέχει καὶ τὰ φίλτρα 1 ἕως 4, διὰ τῶν ὁποίων ἐπιτυγχάνεται ὁ διαχωρισμός τῶν ἐπὶ μέρος ζωνῶν συχνότητων. Ἡ ἐνσύρματος γραμμὴ συνδέεται ἐν παραλλήλῳ πρὸς τὰ φίλτρα 1 καὶ 2, ἐκ τῶν ὁποίων τὸ βαθυπερατόν 1 μὲ συχνότητα ἀποκοπῆς 2,4 KHz ἐπιτρέπει τὴν διέλευσιν τῶν συχνότητων ὀμιλίας, ἐνῶ τὸ ὑψιπερατόν 2, μὲ τὴν αὐτὴν συχνότητα ἀποκοπῆς, ἐπιτρέπει τὴν διέλευσιν τῆς φερεσύχνου ζώνης. Τὰ φίλτρα 3 καὶ 4 διαχωρίζουν τὰς ζώνας τοῦ τηλεφωνικοῦ καὶ τοῦ τηλεγραφικοῦ φερεσύχνου. Οὕτω, τὸ ὑψιπερατόν 3 μὲ συχνότητα ἀποκοπῆς 6 KHz, διαχωρίζει τὴν ζώνην τοῦ τηλεφωνικοῦ φερεσύχνου, ἐνῶ τὸ βαθυπερατόν 4, μὲ τὴν αὐτὴν συχνότητα ἀποκοπῆς διαχωρίζει τὴν ζώνην τοῦ τηλεγραφικοῦ.

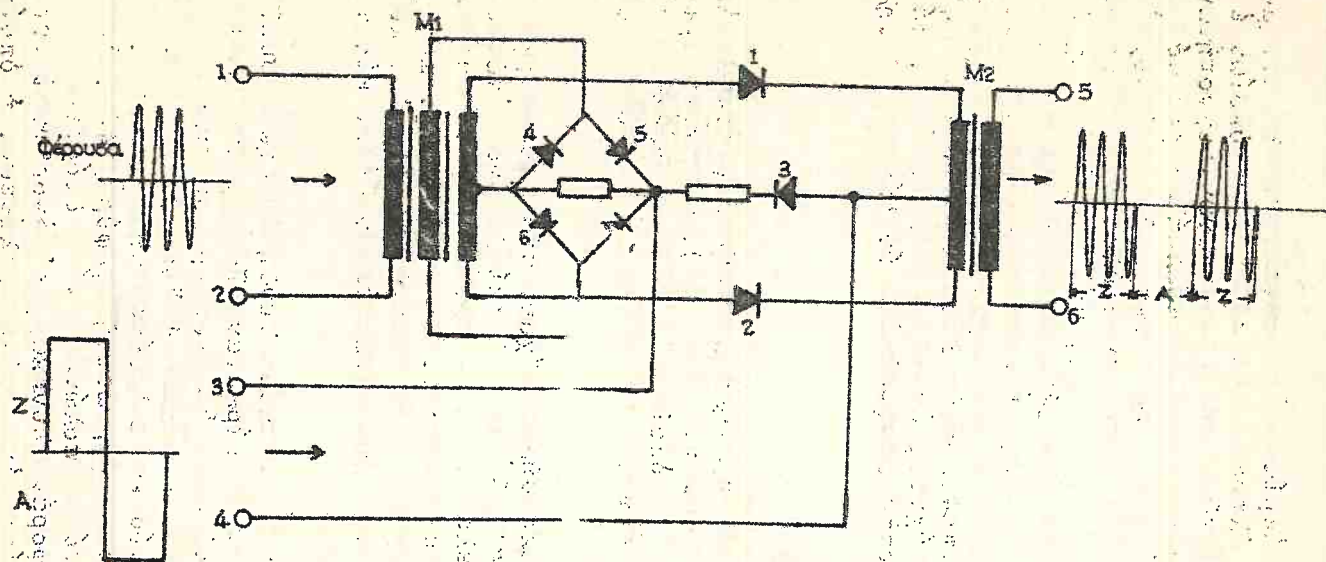
## 26. 1.2. Διαμορφωτής.

Ἡ πλευρὰ ἐκπομπῆς τῆς τηλεγραφικῆς διοδεύσεως ἀποτελεῖται ἀπὸ τὸν διαμορφωτὴν (σχ. 161), τὴν γεννήτριαν φερούσης συχνότητος, τῆς ὁποίας ἡ ἔξοδος συνδέεται εἰς τὰ ὄρια 1 καὶ 2 καὶ τὸ φίλτρον ζώνης, τὸ ὁποῖον συνδέεται εἰς τὰ ὄρια 5-6.

Ὅταν τὰ τηλετυπικὰ σήματα ἔχουν τὴν χαρακτηριστικὴν κατάστασιν Z, τότε αἱ δίοδοι 1 καὶ 2 εἶναι ἀγώγιμοι καὶ ἐπιτρέπεται ἡ διέλευσις τῆς φερούσης ἐκ τοῦ μετασχηματιστοῦ  $M_1$  πρὸς τὸν μετασχηματιστὴν ἐξόδου  $M_2$ . Κατὰ τὴν διάρκειαν τῆς χαρακτηριστικῆς καταστάσεως A, αἱ 1 καὶ 2 ἀποτελοῦν διακοπὴν καὶ οὐδέν ρεῦμα ἐμφανίζεται εἰς τὰ ὄρια ἐξόδου 5-6.

Ἡ ἐξασφάλις ἐτι καλυτέρων συνθηκῶν μηδενισμού τοῦ ρεύματος ἐξόδου κατὰ τὴν διάρκειαν τῆς χαρακτηριστικῆς καταστάσεως A ἐξασφαλίζεται ὑπὸ τοῦ τρίτου τυλίγματος τοῦ  $M_1$  καὶ τῆς γεφύρας τῶν διόδων 4 ἕως 7. Ἐπὶ τοῦ ἐν λόγῳ τυλίγματος ἀναπτύσσεται ἡ τάσις τῆς φερούσης, ἡ ὁποία ἀνορθοῦται ὑπὸ τῆς ἀνορθωτικῆς γεφύρας 4-7. Ἡ οὕτω προκύπτουσα συνεχὴς τάσις πολώνει τὰς διόδους 1 καὶ 2 κατὰ τὴν ἀνάστροφον φοράν. Συνεπῶς, οἱ ἀνορθωταὶ αὗτοι ἔχουν μονίμως μίαν τάσιν ἀνάστροφου πολώσεως, ἡ ὁποία τὰς ὁδηγεῖ εἰς καλυτέρας συνθήκας ἀποκοπῆς.





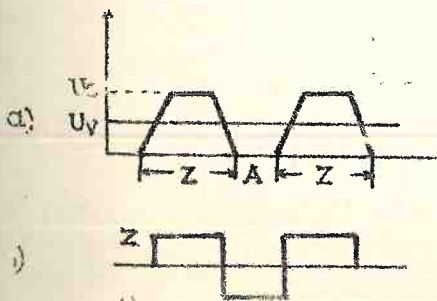
Σχ. 161 ~~Απομορφωτής αυτοπράτος AM~~

- Ἡ φέρουσα συχνότης παράγεται ὑπὸ ἰδιαιτέρας, δι' ἐκαστὴν διόδου τοῦ συστήματος, γεννητρίας, τῆς ὁποίας τὸ κύκλωμα ταλαντώσεων ἀποτελεῖται ἀπὸ στοιχεῖα L-C.

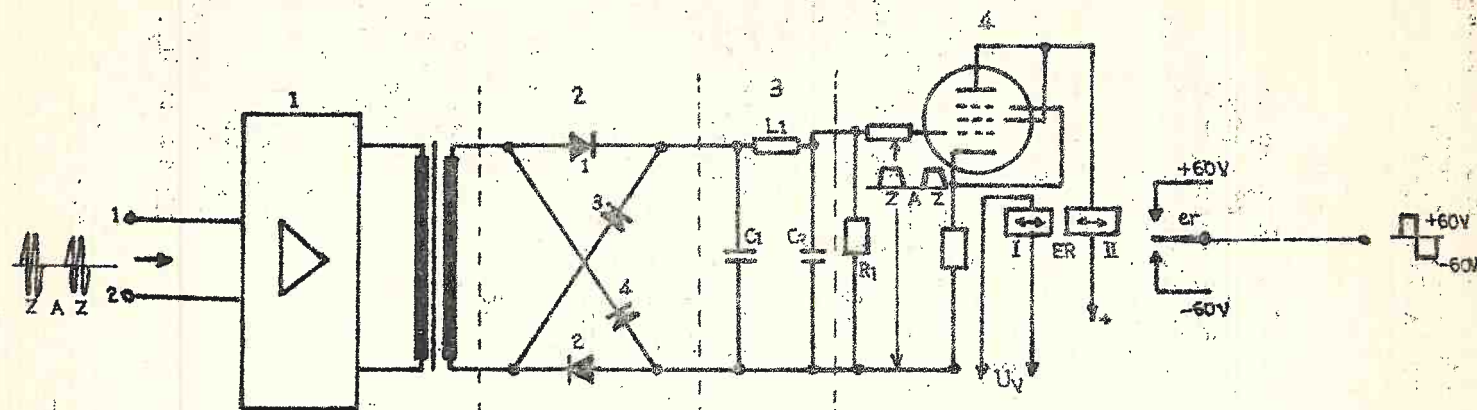
### 26. 1.3) Δέκτης

Τὸ κύκλωμα τοῦ δέκτου τῆς τηλεγραφικῆς διοδεύσεως ἀποτελεῖται: ἀπὸ τὸν ἐνισχυτὴν 1, τὴν γέφυραν τῶν διόδων 1-4, τὸ φίλτρον χαμηλῆς διόδου (πηνίον  $L_1$  καὶ πυκνωταὶ  $C_1, C_2$ ), τὸν ἐνισχυτὴν συνεχοῦς ρεύματος 4 καὶ τὸν πεπολωμένον ρωστήρα ER. (σχ. 162).

Εἰς τὰ ὄρια 1-2 τοῦ ἐνισχυτοῦ 1 φθάνουν οἱ παλμοὶ τῆς φερούσης ἐκ τοῦ ἑναντι Κέντρου, οἱ ὅποιοι, ἀφοῦ ἐνισχυθῶν, ἀνορθοῦνται ὑπὸ τῆς γεφύρας 2. Τὸ φίλτρον 3 ἀπορρίπτει τὰς ἐναλλασσομένας συνιστώσας, αἱ ὁποῖαι ἐμφανίζονται εἰς τὴν ἔξοδον τῆς γεφύρας καί, οὕτω, εἰς τὰ ἄκρα τῆς ἀντιστάσεως  $R_1$  ἀναπτύσσονται παλμοὶ συνεχοῦς τάσεως. Οἱ παλμοὶ οὗτοι ἐφαρμόζονται εἰς τὴν ἔξοδον τῆς λυχνίας 4, τὴν ὁποίαν καθιστοῦν ἀγώγιμον. Ἐπομένως, κατὰ τὴν διάρκειαν τῆς χαρακτηριστικῆς καταστάσεως 3 ἡ λυχνία εἶναι ἀγώγιμος καὶ εἰς τὰ ἄκρα τοῦ τυλίγματος II τοῦ ἠλεκτρονόμου ER ἀναπτύσσονται παλμοὶ τάσεως τιμῆς  $U$  (σχ. 163α). Εἰς τὸ τυλίγμα 1 τοῦ ER ἐφαρμόζεται ἡ συνεχὴς τάσις  $U_V$ , τῆς ὁποίας ἡ τιμὴ ἰσοῦται πρὸς τὸ ἥμισυ τῆς τάσεως τῶν παλμῶν  $U_S$ . Κατὰ τὴν διάρκειαν τῆς χαρακτηριστικῆς καταστάσεως Z ὑπερισχύουν τὰ ἀμπερελίγματα τοῦ τυλίγματος II καὶ ἡ ἐπαφὴ er μετακινεῖται πρὸς τὴν πλευρὰν τοῦ ὀρίου +60V. Κατὰ τὴν διάρκειαν τῆς καταστάσεως A προφοδοτεῖται μόνον τὸ τυλίγμα I καί, οὕτω, ἡ ἐπαφὴ στρέφεται πρὸς τὸ ὄριον -60V. Εἰς τὸ σχ. 163α παρατηρεῖται, ὅτι ἡ χαρακτηριστικὴ κατάστασις Z διαρκεῖ περισσότερο τῆς A. Τοῦτο ὀφείλεται εἰς τὴν παραμόρφωσιν, τὴν ὁποίαν εἰσάγειν τὸ σύστημα μεταδόσεως. Παρ' ταῦτα πρὸς τὸν μετατροπέα A/Δ ἀποστέλλονται οἱ ἰσόχρονοι παλμοὶ τοῦ σχ. 163β καὶ τοῦτο, διότι εἰς τὸν ἠλεκτρονόμον ER ἐπικρατεῖ ἡ κατάστασις Z, ὅταν ἡ τάσις τῶν παλμῶν ὑπερβῇ τὴν συνεχῆ τάσιν  $U_V$ .



Σχ. 163



Σχ. 162. 'Ο δέκτης συστήματος AM



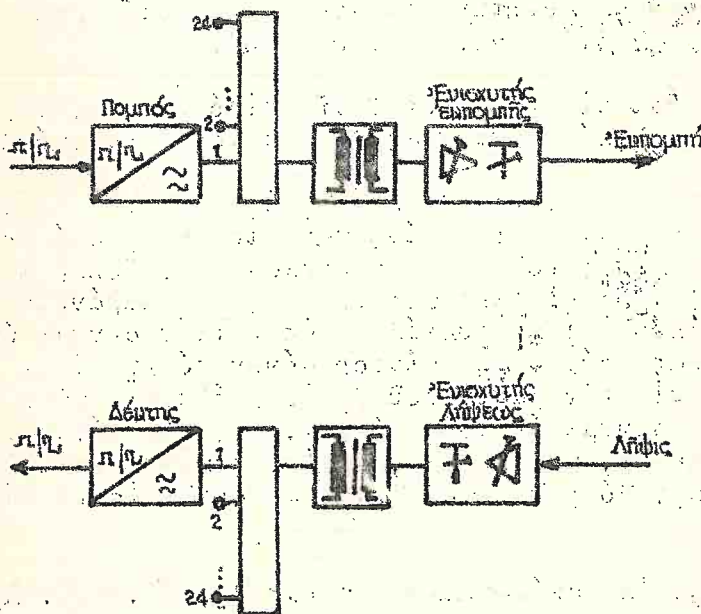
## 26.2. ΦΕΡΕΣΥΧΝΟΝ ΤΗΛΕΓΡΑΦΙΚΟΝ ΣΥΣΤΗΜΑ FM (24 ΔΙΟΔΕΥΣΕΩΝ, ΤΥΠΟΥ WT-FM)

### 26.2.1) Γενική περιγραφή.

- Τό σύστημα WT-FM 24 διοδεύσεων χρησιμοποιεί ως φορέα μίαν τηλεφωνικήν διόδευσιν.

- Τά τηλεγραφικά συστήματα FM, παρουσιάζουν δύο σοβαρά πλεονεκτήματα έναντι τῶν συστημάτων διαμορφώσεως πλάτους: α) Δέν ἐπηρεάζονται ἐκ τῶν μεταβολῶν τῆς ἀποσβέσεως τοῦ συστήματος μεταδόσεως. β) Δέν ἐπηρεάζονται ἐκ τῶν θορύβων καί λοιπῶν παρενοχλήσεων, τὰς ὁποίας εἶναι δυνατόν νά εἰσάγῃ τό σύστημα μεταδόσεως.

- Εἰς τό σχ. 164 δεικνύεται τό σχηματικόν διάγραμμα



Σχ. 164. Τηλεγραφικόν σύστημα FM

τοῦ συστήματος τούτου. Εἰς τήν πλευράν ἑμπομπῆς διακρίνονται τά κυκλώματα τοῦ πομποῦ τῶν 24 διοδεύσεων, ὁ ἐνισχυτής ἑκπομπῆς καί ὁ μετασχηματιστής προσαρμογῆς μετα-

ξύ της έξόδου τῶν πομπῶν καί τῆς εἰσόδου τοῦ ἐνισχυτοῦ ἐκπομπῆς.

Πρώτη βαθμὶς τῆς δδοῦ λήψεως εἶναι ὁ ἐνισχυτὴς λήψεως, ἀκολουθούμενος ἀπὸ τὸν μετασχηματιστὴν προσαρμογῆς καί τοὺς 24 δέκτας τῶν διοδεύσεων.

#### 26.2.2. Ὁ πομπὸς τῆς διοδεύσεως.

Ὁ πομπὸς περιλαμβάνει τρεῖς βαθμίδας (σχ. 165):

α) Τὸν πολυδονητὴν εἰσόδου, εἰς τὸν ὁποῖον τὰ προσερχόμενα σήματα διπλοῦ ρεύματος ἀποκτοῦν ὀρθογωνικὴν μορφήν.

β) Τὴν γεννήτριαν - διαμορφωτὴν τῆς διοδεύσεως.

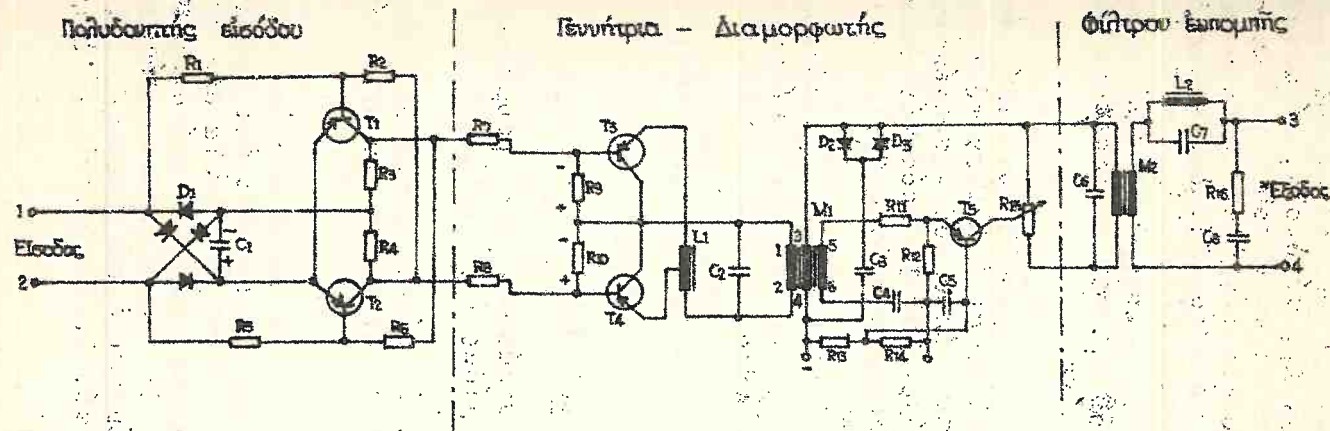
γ) Τὸ φίλτρον ἐκπομπῆς, τὸ ὁποῖον ἐκ τῶν προϊόντων τῆς διαμορφώσεως, ἐπιλέγει τὸ διατιθέμενον διὰ τὴν διόδευσιν φᾶσμα συχνοτήτων (εὔρους 120 Hz διὰ ταχύτητα 50 Baud ἢ 240 Hz διὰ ταχύτητα 100 Baud).

Ἐστω ὅτι εἰς τὸ ὄριον 1 τῆς εἰσόδου (σχ. 165) ἔχει ἐφαρμοσθῇ πολικότης στάσεως  $Z$  (θετικὸν δυναμικόν).

Εἰς τὰ τρανζίστορ  $T_1$  καί  $T_2$  ἐφαρμόζεται ἡ ἀνορθωθεῖσα καί ἐξομαλυνθεῖσα μέσῳ τῶν διόδων  $D_1$  καί τοῦ πυκνωτοῦ  $C_1$ , τάσις τοῦ τοπικοῦ κυκλώματος. Ὅπως φαίνεται εἰς τὸ σχ. 165, οἱ ἐκπομποὶ τῶν  $T_1$ ,  $T_2$  λαμβάνουν θετικόν δυναμικόν καί οἱ συλλέκται ἀρνητικόν δυναμικόν. Ἐκ τῶν δύο ὁμῶς τούτων τρανζίστορ μόνον τὸ  $T_2$  εἶναι ἀγώγιμον διότι εἰς τὴν βάσιν τοῦ  $T_1$  ἐφαρμόζεται, μέσῳ τῆς  $R_1$ , τὸ θετικόν δυναμικόν τοῦ ὁρίου 1, ἐνῶ εἰς τὴν βάσιν τοῦ  $T_2$  ἐφαρμόζεται, μέσῳ  $R_2$ - $R_6$ , τὸ ἀρνητικόν δυναμικόν τοῦ πυκνωτοῦ  $C_1$ . Τὸ ρεῦμα τοῦ  $T_2$  κυκλοφορεῖ εἰς τὸ κάτωθι κύκλωμα:

$C_1$  (+), ἐκπομπὸς-συλλέκτης τοῦ  $T_2$ ,  $R_8$ ,  $R_{10}$ ,  $R_9$ ,  $R_7$ ,  $R_3$ ,  $C_1$  (-).

Ἡ διὰ τοῦ ρεύματος τούτου ἀναπτυσσομένη πῶσις τάσεως ἐπὶ τῶν ἀντιστάσεων  $R_{10}$ ,  $R_{11}$  ἔχει τοιαύτην πολικότητα (σχ. 165), ὥστε πρὸ  $T_1$  νὰ κατastῇ μὴ ἀγώγιμον καί τὸ  $T_2$  ἀγώγιμον. Συνεπῶς, τὸ κύκλωμα ἐκπομποῦ-συλλέκτου



Σχ. 165. Παμπός τηλεγραφικής διαδύσεως WT-FM



τοῦ  $T_4$  παρουσιάζει μεγάλην ἀντίστασιν καὶ τοῦ  $T_3$  μικράν.

Ἡ συχνότης ταλαντώσεων τῆς γεννητρίας  $T_5$  καθορίζεται ἐκ τῶν στοιχείων  $C_2, L_1$ , τὰ ὁποῖα, μέσω τοῦ τυλίγματος 3-4 τοῦ  $M_1$ , ζευγνύονται μετὰ τοῦ κύκλωματος ἀνασυζεύξεως τοῦ ταλαντωτοῦ. Εἰς τὴν ἐξεταζομένην περίπτωσιν (θετικὸν δυναμικὸν εἰς τὸ ὄριον 1), ὁλόκληρος ἡ αὐτεπαγωγή τοῦ  $L_1$  παραλληλίζεται, μέσω τῆς χαμηλῆς ἀντιστάσεως ἐμπομποῦ-συλλέκτου τοῦ  $T_3$ , πρὸς τὸν πυκνωτὴν  $C_2$ . Ἐπομένως, ἡ γεννήτρια παράγει τὴν χαμηλοτέραν συχνότητα  $f_z$ .

Ὅταν εἰς τὸ ὄριον 1 ἐφαρμοσθῇ δυναμικὸν ἐκκινήσεως  $A$  (ἀρνητικόν), τότε καθίσταται ἀγωνίμον τὸ  $T_4$  καί, μέσω τῆς χαμηλῆς ἀντιστάσεως ἐμπομποῦ - συλλέκτου τοῦ  $T_4$ , παραλληλίζεται τμήμα μόνον τοῦ  $L_1$  πρὸς τὸν πυκνωτὴν  $C_2$ . ὅττω, παράγεται ἡ ὑψηλοτέρα συχνότης  $f_A$ .

Αἱ εἰς τὸ κύκλωμα ἀνασυζεύξεως ἐδρискόμεναι δίοδοι  $D_2, D_3$ , περιορίζουν τὸ πλάτος τῶν παραγομένων ταλαντώσεων.

Μέσω τῆς  $R_{15}$  εἶναι δυνατόν νά ρυθμισθῇ ἡ στάθμη ἐκπομπῆς τῆς διοδεύσεως.

### 26.2.3. Ὁ δέκτης τῆς διοδεύσεως.

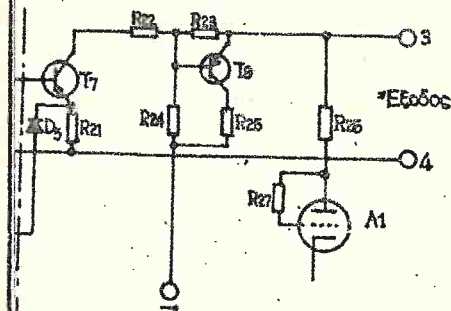
Ἡ ἀναπαραγωγή τῶν σημάτων διπλοῦ ρεύματος, λαμβάνει χώραν εἰς πέντε βαθμίδας (σχ. 166).

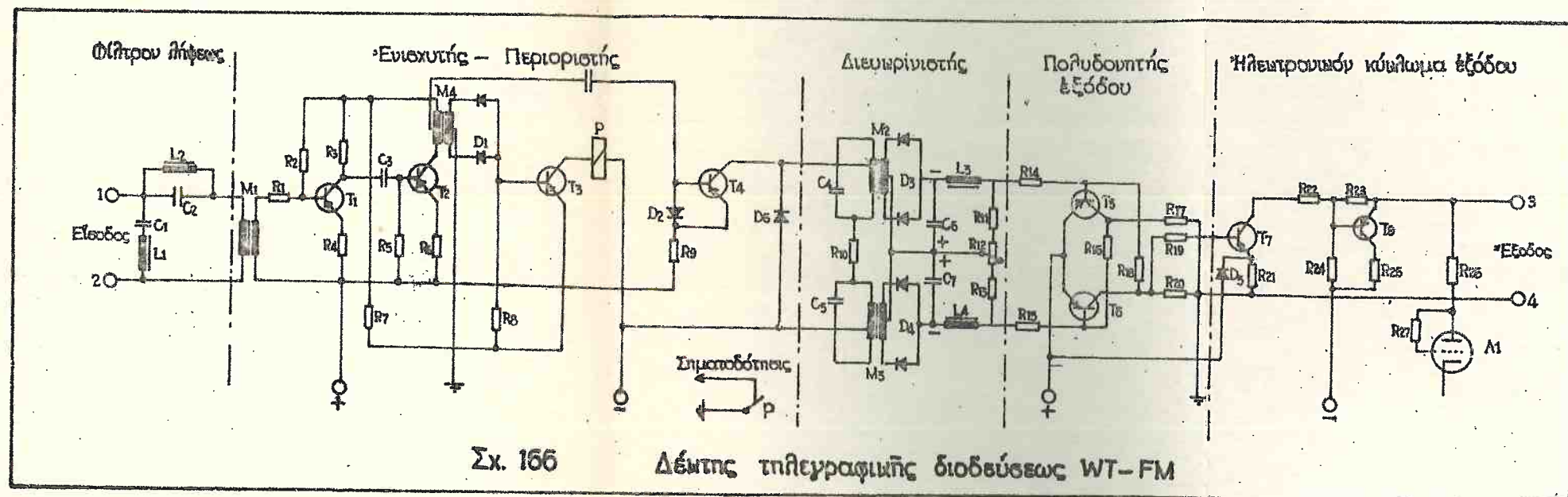
Τὸ φίλτρον λήψεως, ἐπιλέγει ἐκ τοῦ ὁλικοῦ φάσματος λήψεως, τὴν ἀνήκουσαν εἰς τὴν διοδευσιν περιοχὴν συχνοτήτων.

Λόγω ἐπιδράσεων κατὰ τὴν μετάδοσιν ἐκ τοῦ ἐνὸς σταθμοῦ εἰς τὸν ἕτερον, ἔχουν ἐπικαθῆσαι ἐπὶ τῶν λαμβανόμενων σημάτων καὶ ξένα τοιαῦτα, τὰ ὁποῖα οὐσιαστικῶς ἔχουν διαμορφώσει κατὰ πλάτος τὰ κανονικὰ σήματα. Μέσω τοῦ ἐνισχυτοῦ-περιοριστοῦ, ἐξομαλύνονται ὅλαι αἱ διακυμάνσεις πλάτους, αἱ κείμεναι ἐντὸς περιοχῆς  $K$  (-17,4 ἕως +8,7 dBr), ὥστε εἰς τὸν διευκρινιστὴν νά ὁδηγοῦνται σήματα σταθεροῦ πλάτους.

Ἡ πρώτη βαθμὶς ( $T_1$ ) τοῦ περιοριστοῦ-ἐνισχυτοῦ εἰ-

Ηλεκτρονική κύκλωμα εξόδου





Σχ. 156

Δέκτης τηλεγραφικής διοδύσεως WT-FM

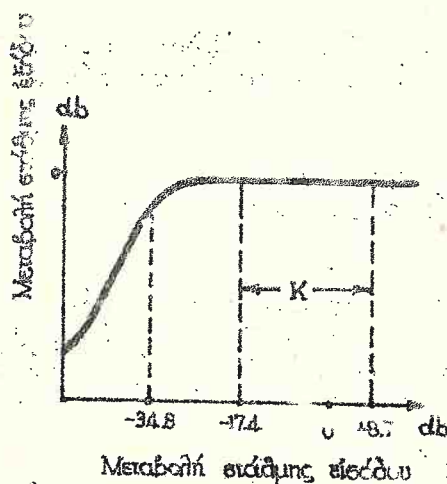


ναι εις ένισχυτής κοινού έμπομπού. Τό σημείον λειτ υρ-  
γίας τής δευτέρας βαθμίδος ( $T_2$ ) έχει επιλεγεί κατά τρό-  
πον ώστε ή βαθμίδα νά ένισχύη μέχρι μιᾶς προκαθορισμένης  
στάθμης καί πέραν ταύτης νά δρά ως περιοριστής. Ἡ τε-  
τάρτη βαθμίδα ( $T_4$ ) εργάζεται μόνον ως περιοριστής διότι  
καί διά τās εξαιρετικώς χαμηλὰς στάθμας.

Ἡ δίοδος  $D_2$  εἶναι εἰς θέσιν νά μεταβάλῃ τās συνθή-  
κας δυναμικῶν τοῦ  $T_4$ , ἀναλόγως πρὸς τās μεταβολὰς πλά-  
τους τοῦ λαμβανομένου σήματος.

Ἡ δίοδος  $D_6$ , εὐρισκόμενη ὑπὸ σταθεράν πόλωσιν, ἐπι-  
τρέπει εἰς τὸν περιοριστὴν νά ἐμφανίζει συνεχῶς ὑψηλὴν  
ἐσωτερικὴν ἀντίστασιν.

Εἰς τό σχ. 167 ἐμφαίνεται ἡ καμπύλη λειτουργίας τοῦ  
περιοριστοῦ. Ἐκ ταύτης διαπιστοῦται ὅτι, ὅταν ἡ στάθμη



Σχ. 167. Καμπύλη δράσεως περιοριστοῦ

εἰσόδου εἰς τὸν περιοριστὴν μεταβληθῇ κατὰ 26,1 dB, ἡ  
στάθμη ἐξόδου παραμένει σταθερά. Οὕτω, μέσω τοῦ κυκλώμα-  
τος τοῦ περιοριστοῦ ἐπιτυγχάνονται τὰ βασικά πλεονεκτή-  
ματα τοῦ συστήματος FM (ὁ δέκτης δὲν ἐπηρεάζεται ἀπὸ με-  
ταβολὰς ἀποσβέσεως καί ἀπὸ θορύβους).

Εἰς τὴν βάσιν τοῦ  $T_3$  (σχ. 166) ὁδηγεῖται, μέσῳ τοῦ  $M_4$  καὶ τῶν  $D_1$ , συνεχῆς τάσις, ἡ ὁποία πολώνει ἀγωγίμως τὸ τρανζίστορ τοῦτο καὶ διεγείρεται ὁ ρωστήρ P. Ὄταν ἡ στάθμη τῶν λαμβανομένων σημάτων μειωθῇ κατὰ  $20,9 \pm 2,6 \text{ dB}$ , τότε τὸ ρεῦμα συλλέκτου τοῦ  $T_3$  μειοῦται καὶ ὁ P ἀποδι-  
εγείρεται. Τότε, μέσῳ τῆς ἐπαφῆς p, παρέχεται σχετική σηματοδότησις.

Ὁ διευκρινιστής, ἀφ' ἑνὸς μὲν μετατρέπει τὰς μεταβολὰς συχνότητος εἰς μεταβολὰς πλάτους καὶ ἀφ' ἑτέρου ἀνορθώνει, μέσῳ τῶν  $D_3, D_4$ , τὰς μεταβολὰς ταύτας. Οἱ προκύπτοντες παλμοὶ ἀπλοῦ ρεύματος ὁδηγοῦνται εἰς τὸν πολυδονητὴν ἐξόδου ( $T_5, T_6$ ), ἔνθα ἀποικοῦν μορφήν καθαρῶς ὀρθογωνικήν. Ἡ ἔξοδος τοῦ πολυδονητοῦ διεγείρει τὸ ἡλεκτρονικὸν κύκλωμα ἐξόδου, τὸ ὁποῖον παρέχει πρὸς τὸ τοπικὸν κύκλωμα παλμοὺς διπλοῦ ρεύματος.

Μέσῳ τῆς  $R_{12}$  μηδενίζεται ἡ ἔξοδος τοῦ δέκτου ὅταν λαμβάνεται ἡ μέση συχνότης  $f_M$  τῆς διοδεύσεως.

Τὸ ἡλεκτρονικὸν κύκλωμα ἐξόδου εἶναι δυνατόν νά παρ-  
ράσῃ πρὸς τὸ τοπικὸν κύκλωμα (ἀντιστάσεως  $1 \text{ K}\Omega$ ) παλμοὺς διπλοῦ ρεύματος  $\pm 20 \text{ mA}$ .

Ἡ ἐνδεικτικὴ λυχνία  $\Lambda_1$  δεικνύει τὴν κατάστασιν λει-  
τουργίας τοῦ κυκλώματος. Αὕτη ἀνάβει ὅταν λαμβάνεται συ-  
νεχῶς σῆμα Z.

Ὁ διευκρινιστής ἐργάζεται κατὰ τὸν ἀκόλουθον τρό-  
πον. Ἀμφότερα τὰ κυκλώματα  $M_2-C_4$  καὶ  $M_3-C_5$  συντονίζον-  
ται ἔνθεν καὶ ἔνθεν τῆς  $f_M$ , ὥστε αἱ προκύπτουσαι συνε-  
χεῖς τάσεις ἐπὶ τῶν  $C_6$  καὶ  $C_7$  νά εἶναι ἄνισοι.

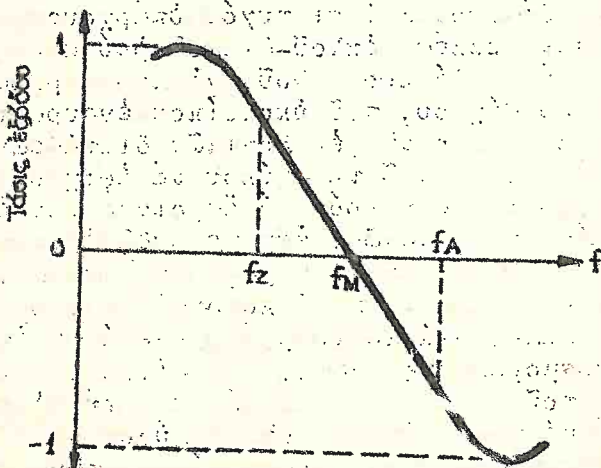
Ἐστω ὅτι λαμβάνεται ἡ συχνότης  $f$  (στάσεως). Τότε ἡ συνεχῆς τάσις ἐπὶ τοῦ  $C_6$  εἶναι μεγαλυτέρα καὶ ἐπομέ-  
νως εἰς τὴν βάσιν τοῦ  $T_5$  ἐφαρμόζεται ἀρνητικὸν δυναμι-  
κὸν (σχ. 166). Τὸ  $T_5$  καθίσταται ἀγωγίμον καὶ τὸ κυκλο-  
φοροῦν ρεῦμα, θέτει εἰς ἀποκοπὴν τὸ  $T_6$  (μέσῳ τῆς  $R_{16}$  ἡ  
βάσις τοῦ  $T_6$  γίνεται θετική). Ἐπίσης τὸ  $T_7$  τίθεται εἰς  
ἀγωγιμότητα, δεδομένου ὅτι μέσῳ τῶν  $R_{10}$  καὶ  $R_{19}$  ἡ βάσις  
τοῦ  $T_7$  λαμβάνει ἀρνητικὸν δυναμικὸν ἐν σχέσει πρὸς τὸν  
ἐκπομπόν. Ὄτῳ, μέσῳ  $+$ ,  $D_5, T_7, R_{22}, R_{23}$ , ὀρίου 3, το-  
πικοῦ κυκλώματος, ὀρίου 4, τῆς κυκλοφορεῖ ρεῦμα πολυ-  
πλοῦς στάσεως διὰ τοῦ τοπικοῦ κυκλώματος. Τὸ  $T_8$ , λ' φ

τῆς πτώσεως τάσεως ἐπὶ τῆς  $R_{23}$  εἶναι εἰς ἀποκοπὴν.

Ὅταν λαμβάνεται ἡ συχνότης  $f_A$  (ἐκκινήσεως), ἡ συν-  
νεχῆς τάσις εἰς τὰ ὅρια τοῦ  $C_7$  εἶναι μεγαλυτέρα. ὅττω,  
καθίσταται ἀγώγιμον τό  $T_6$  ἐνῶ τό  $T_5$  ἀποκόπτεται, διότι  
ὁ συλλέκτης του μέσῳ  $R_{17}$ ,  $R_{20}$  γίνεται θετικός.

Μέσῳ τῆς  $R_{19}$ , ἡ βάση τοῦ  $T_7$  γίνεται θετική καὶ ἐ-  
πομένως τοῦτο ἀποκόπτεται. Ἐπειδὴ διὰ τῆς  $R_{28}$  δὲν κυ-  
κλοφορεῖ ρεῦμα, θὰ κυκλοφορήσῃ ρεῦμα μέσῳ τῆς, ὁρίου 4,  
τοπικοῦ κυκλώματος, ὁρίου 3,  $T_8$ ,  $R_{25}$ , - Ἀλλὰ δὴ ὁ δέ-  
κτης παρέχει ρεῦμα πολικότητος ἐκκινήσεως.

Εἰς τό σχ. 168 δεικνύεται ἡ καμπύλη λειτουργίας τοῦ  
διευκρινιστοῦ. Ἐκ τοῦ σχήματος τούτου φαίνεται ὅτι, ὅ-  
ταν εἰς τὰ ὅρια εἰσόδου 1-2 ὑφίσταται ἡ συχνότης  $f$ , τό-  
τε εἰς τὰ ὅρια 3-4 ἐμφανίζεται παλμός θετικῆς τάσεως.  
Ἀντιθέτως, ὑπὸ συχνότητα εἰσόδου  $f_A$ , ἡ πολικότης τῆς τά-  
σεως ἐξόδου ἀντιστρέφεται.



Σχ. 168. Καμπύλη λειτουργίας διευκρινιστοῦ.



## 27. ΜΕΤΡΗΣΙΣ ΤΗΣ ΠΑΡΑΜΟΡΦΩΣΕΩΣ ΤΩΝ ΤΗΛΕΓΡΑΦΙΚΩΝ ΣΗΜΑΤΩΝ

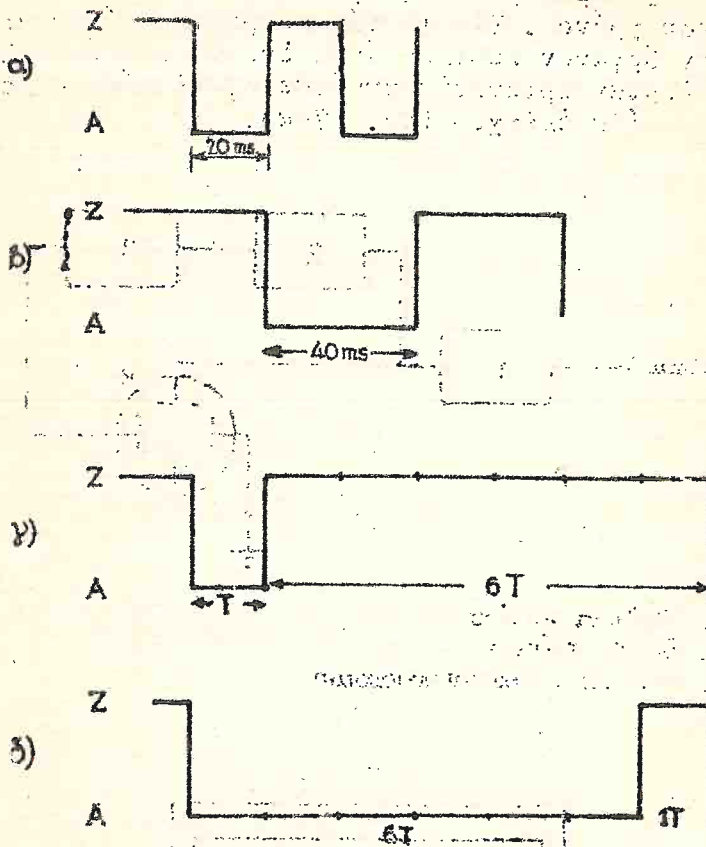
- Ἡ καλή ποιότης ἑνὸς τηλεγραφικοῦ δικτύου διαπιστοῦται ἐκ τοῦ μικροῦ ἀριθμοῦ τῶν λαθῶν, τὰ ὅποια ἐμφανίζονται εἰς τὸ λαμβανόμενον κείμενον. Εἰς τὴν πρακτικὴν ἐκμετάλλευσιν τῶν τηλεγραφικῶν συστημάτων ἐπιτρέπεται ἡ ἐκτύπωσις ἑνὸς λανθασμένου συμβόλου ἀνά 30.000 μεταδιδόμενα σύμβολα (ἡ μετάδοσις 30.000 συμβόλων μέσῳ ἑνὸς τηλετύπου τηλεγραφικῆς ταχύτητος 50 Bd ἀπαιτεῖ 75 λεπτά τῆς ὥρας).

- Διὰ νὰ ἐξασφαλισθῇ ἡ ποιότης τῶν τηλεγραφικῶν κυκλωμάτων, ἀπαιτεῖται ἡ διενέργεια περιοδικῶν μετρήσεων. Αἱ ἐν λόγῳ μετρήσεις ἀναφέρονται λ.χ. εἰς μετρήσεις τῆς στάθμης ἢ τῆς συχνότητος τῶν σημάτων, εἰς τὴν μέτρησιν τοῦ ὑπολοίπου ἀποσβέσεως τῶν τηλεγραφικῶν γραμμῶν, εἰς τὴν μέτρησιν τοῦ θορύβου καὶ τῶν λοιπῶν ἐπιδράσεων κλπ.

- Εἰς τὴν τηλεγραφίαν, πέραν τῶν ἀνωτέρω μετρήσεων, διενεργεῖται καὶ μέτρησις τῆς παραμορφώσεως τῶν τηλεγραφικῶν σημάτων. Γενικῶς, εἰς τὴν εἴσοδον τῶν τηλεγραφικῶν διοδεύσεων ἀφικνοῦνται τὰ τηλεγραφικὰ σήματα μέ παραμόρφωσιν, τὴν ὁποίαν εἰσήγαγον ὁ πομπὸς τοῦ τηλετύπου, τὸ μεσολαβῆσαν δίκτυον καὶ αἱ τυχόν δπάρχουσαι διατάξεις μεταφορέων ἢ μετατροπῶν ἀπλοῦ-διπλοῦ ρεύματος. Εἰς τὴν παραμόρφωσιν ταύτην θά προστεθοῦν αἱ παραμορφώσεις τοῦ τηλεγραφικοῦ φερεσύχνου, τοῦ ὑπολοίπου ἐνσυρμάτου δικτύου καὶ τῶν μεσολαβουσῶν ἐπιλογικῶν διατάξεων καὶ, τελικῶς, εἰς τὸν δέκτην τοῦ τηλετύπου θά ἀφίχθουν σήματα ἔχοντα παραμόρφωσιν ἴσην πρὸς τὸ ἄθροισμα τῶν ἐπὶ μέρους παραμορφώσεων. Συνεπῶς, ἐάν μετρηθῇ ἡ παραμόρφωσις εἰς τὸ σημεῖον λήψεως τῶν τηλεγραφικῶν σημάτων, θά ἐξαχθῇ εὐχερῶς συμπέρασμα, κατὰ πόσον ἡ τηλεγραφικὴ γραμμὴ εἶναι κατάλληλος διὰ λειτουργίαν (μεγίστη ἐπιτρεπομένη τιμὴ παραμορφώσεως: 28%). Δὲν εἶναι δυνατὴ ὅμως ἡ ἐξακρίβωσις τοῦ βαθμοῦ παραμορφώσεως, τὴν ὁποίαν εἰσάγουν τὰ ἐπὶ μέρους τμήματα τοῦ δικτύου. Διὰ νὰ πραγματοποιηθῇ ἡ μέτρησις τῆς παραμορφώσεως τῶν διαφόρων τούτων τμημάτων, εἶναι ἀπαραίτητος ἡ χρησιμοποίησις, πέραν τοῦ ὀργάνου μετρήσεως παραμορφώσεως, καὶ μιᾶς γεννητρίδας, ἡ ὁποία θά παρέχῃ τηλεγραφικὰ σήματα ἀνευ παραμορφώσεως.

Ἡ λειτουργία τῶν χρησιμοποιουμένων σήμερον γεννη-

τριών τηλεγραφικών σημάτων βασίζεται επί καθιερώς ηλεκτρονικών μεθόδων. Αι έν λόγω γεννήτριαι, έν αντιθέσει πρός άλλας παλαιότερου τύπου, δέν διαθέτουν κινούμενα μέρη (ρωστήρας, έπαφάς κλπ.) καί, συνεπώς, είναι καλύτερον εξησφαλισμένη ή παραγωγή τηλεγραφικών σημάτων άνευ παραμορφώσεως. Τά παραγόμενα υπό τών γεννητριών τούτων σήματα είναι τριών ειδών,

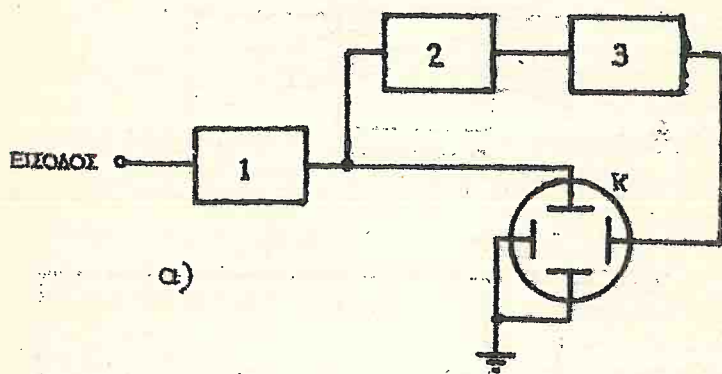


Σχ. 169

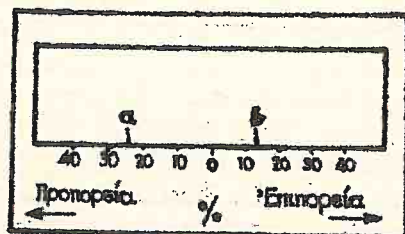
- α) 1:1 Σήματα εις τά όποία έναλλάσσονται αι χαρακτηριστικά καταστάσεις Z καί A. Έκάστη κατάσταση διαρκεί χρόνον  $T=20\text{ ms}$  (σχ. 169α).
- β) 2:2 Όμοίως έναλλάσσονται αι χαρακτηριστικά καταστάσεις, αλλά έκάστη διαρκεί χρόνον  $2T=40\text{ ms}$  (σχ. 169β).

γ) 1:6 καὶ 6:1 Σήματα, εἰς τὰ ὅποια ἡ μία χαρακτηριστική κατάσταση διαρκεῖ χρόνον  $T$  καὶ ἡ ἑτέρα  $6T$  (σχ. 169γ καὶ 169δ).

Ὁ ὁρισμὸς τῆς τηλεγραφικῆς παραμορφώσεως, ὅπως διευκρύνθη εἰς τὸ κεφάλαιον 25, βασίζεται ἐπὶ τῆς χρονικῆς μετατοπίσεως τῶν χαρακτηριστικῶν χρονικῶν σημείων ἐν σχέσει πρὸς τὴν κανονικὴν των θέσιν. Ἐπομένως, ἡ μέτρησις τῆς παραμορφώσεως πρέπει νὰ βασισθῇ ἐπὶ τῆς μετρήσεως τοῦ χρόνου. Τὸ διὰ τὴν μέτρησιν ταύτην χρησιμοποιούμενον ὄργανον περιλαμβάνει ἕνα καθοδικὸν σωλῆνα, μίαν γεννήτριαν πριονωτῶν κυμάτων, τὸ κύκλωμα εἰσόδου καὶ τὴν βαθμίδα ἐλέγχου (σχ. 170α).



1. Κύκλωμα εἰσόδου
2. Βαθμὶς ἐλέγχου
3. Γεννήτρια πριονωτῶν κυμάτων



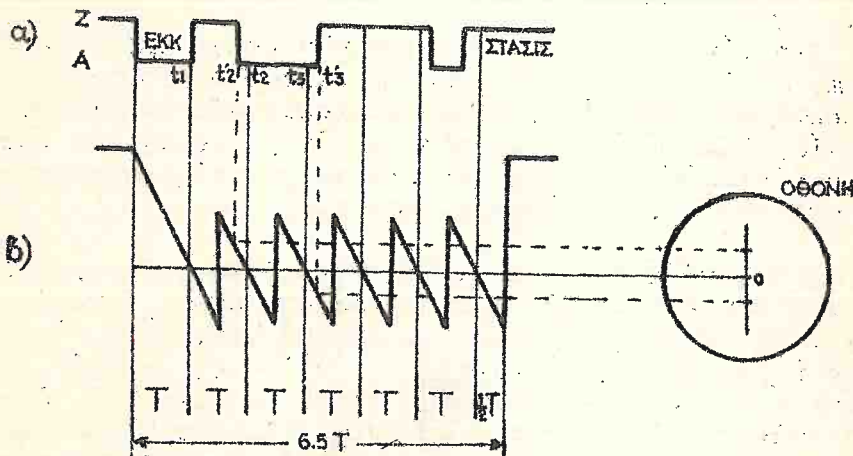
β)

Σχ. 170. Διάγραμμα ὄργανου διὰ τὴν μέτρησιν τῆς τηλεγρ. παραμορφώσεως



Όταν εἰς τὴν εἰσόδον τοῦ ὄργάνου ἐφαρμοσθῇ εἰς τη-  
λεγραφικὸς συνδυασμός (π.χ. ὡς ὁ τοῦ σχ. 171α), τότε ἡ  
βαθμὶς εἰσόδου παράγει παλμούς, τῶν ὁποίων ἡ πολικότης  
καὶ ἡ διάρκεια συμπίπτουν μὲ τὰ ἀντίστοιχα μεγέθη τῶν  
παλμῶν τοῦ ἐφαρμοζομένου συνδυασμοῦ. Οἱ παραγόμενοι παλ-  
μοὶ ὁδηγοῦνται εἰς τὰ πλακίδια κατακορύφου ἀποκλίσεως  
τοῦ σωλήνος.

Ὁ πρῶτος παλμὸς τῆς ἐκκινήσεως διεγείρει, μέσῳ τῆς  
βαθμίδος ἐλέγχου τὴν γεννήτριαν πριονωτῶν κυμάνσεων, ἡ  
περίοδος ἐναλλαγῆς τῶν κυμάνσεων τούτων ἰσοῦται πρὸς  
 $T=20\text{ ms}$ , δηλαδή ἰσοῦται πρὸς τὴν κανονικὴν χρονικὴν δι-  
άρκειαν τῶν τηλεγραφικῶν παλμῶν. Ἡ γεννήτρια τῶν πρι-  
ονωτῶν κυμάνσεων ἐργάζεται ἐπὶ χρόνον  $6,5 T=130\text{ ms}$ , δη-  
λαδή ὅσον διαρκεῖ ὁ συνδυασμός καὶ κατόπιν ἐπανέρχεται  
εἰς τὴν ἡρεμίαν, ἀναμένουσα νέον συνδυασμόν διὰ νὰ ἀρχί-  
σῃ λειτουργοῦσα (σχ. 171β).



Σχ. 171

Ἐάν ἔν χαρακτηριστικὸν χρονικὸν σημεῖον ἀφίχθῃ εἰς  
τὴν κανονικὸν χρόνον, δηλαδή ἄνευ παραμορφώσεως, θὰ ἐμφα-  
νισθῇ, ἐπὶ τῆς ὁθόνης τοῦ καθοδικοῦ σωλήνος ἓν στίγμα  
εἰς τὸ σημεῖον  $\epsilon$ . Τοῦτο λ.χ. συμβαίνει εἰς τὸ σημεῖον  $t_1$   
τοῦ σχ. 171α, τὸ ὁποῖον ἐμφανίζεται 20 ms μετὰ τὴν ἐναρ-

Εἰν τοῦ συνδυασμοῦ. Ἐάν ἐν σημείον  $t_2$  ἔχη χρονικὴν προπορείαν, θά ἐμφανισθῇ στίγμα ἀνωθι τοῦ σημείου 0, ἐνῷ ἐάν ἕτερον σημείον  $t_2$  ἔχη ἐπιπορείαν, θά ἐμφανισθῇ στίγμα κάτωθι τοῦ 0 (αἱ χρονικά στίγματα  $t_2$ ,  $t_3$  ἀνταποκρίνονται εἰς κανονικά χαρακτηριστικά σημεία ἀνευ παραμορφώσεως).

- Ἡ ὁδὸν τοῦ καθοδικοῦ σωλήνος ἔχει τὴν μορφήν τοῦ σχ. 170β. Ἡ ὑπάρχουσα βαθμονόμησις τῆς ὁδοῦ ἐπιτρέπει τὴν κατ'εὐθείαν ἀνάγνωσιν τοῦ βαθμοῦ τῆς παραμορφώσεως. Π.χ. τὸ στίγμα α ἀντιστοιχεῖ εἰς ἀρνητικὴν παραμόρφωσιν (προπορεία) 24%, ἐνῷ τὸ β εἰς θετικὴν παραμόρφωσιν (ἐπιπορεία) 13%.

## ΜΕΤΑΔΟΣΙΣ ΡΑΔΙΟΦΩΝΙΚΩΝ ΠΡΟΓΡΑΜΜΑΤΩΝ

### 28. ΦΕΡΕΣΥΧΝΟΝ ΡΑΔΙΟΦΩΝΙΚΟΝ ΣΥΣΤΗΜΑ 15 ΚΗΖ

#### 28.1. Γενικαί ἀρχαί.

- Διὰ τὴν μετάδοσιν ραδιοφωνικῶν προγραμμάτων μεταξὺ τῶν στούντιο καὶ τῶν σταθμῶν ἐμπομπῆς ἐκρησιμοποιοῦντο πρότερον ζεύγη ἰδιαιτέρων ραδιοφωνικῶν καλωδίων. Τελευταίως ὁμως διὰ τὴν μετάδοσιν τῶν ραδιοφωνικῶν προγραμμάτων γενικεύεται ἡ χρησιμοποίησις φερουσύνων τηλεφωνικῶν συστημάτων, ὡς μέσων μεταδόσεως.

Ἐπεὶ δὲ ἡ μετάδοσις τοῦ ραδιοφωνικοῦ προγράμματος μέσῳ τοῦ τηλεφωνικοῦ συστήματος πραγματοποιεῖται εἰς τὴν περιοχὴν τῆς βασικῆς πρωτομάδος 60-108 ΚΗΖ, εἶναι ἀπαραίτητος ἡ τοποθέτησις ἰδιαιτέρου συστήματος μεταξύ τῶν στούντιο καὶ τοῦ φερουσύνου συστήματος, διὰ τοῦ ὁποῦ ἐπιτυγχάνεται ἡ μετάθεσις τῶν συχνοτήτων τοῦ ραδιοφωνικοῦ προγράμματος εἰς τὴν περιοχὴν τῆς βασικῆς πρωτομάδος.

- Πέραν τούτου τὸ ραδιοφωνικὸν φέρεσυχνον πρέπει νὰ εἶναι ἐφωδιασμένον διὰ κατελλήλων διατάξεων, αἱ ὁποῖαι θά ἐξασφαλίζουν τὴν καλὴν ποιότητα τῆς μεταδόσεως τοῦ μουσικοῦ προγράμματος. Ἡ ποιότης αὕτη ἐξασφαλίζεται, ἐάν μεταδίδεται εὐρεῖα ζώνη συχνοτήτων ὑπὸ μικρὸν βαθμὸν παραμορφώσεων, μεγάλην ἀπόστασιν μεταξύ σήματος καὶ θορύβου καὶ σταθεράν στάθμην λήψεως.



- 'Επί τῇ βάσει τῶν ἀνωτέρω ἀπαιτήσεων τό εὖρος τῶν ραδιοφωνικῶν προγραμμάτων ἔχει καθορισθῇ εἰς 15 KHz (πρό-  
τερον ἐλαμβάνετο ζώνη 10 KHz).

- 'Ἡ αὐξησις τῆς ἀποστάσεως μεταξύ σήματος καί θορύβου ἐξασφαλίζεται διά τῆς χρησιμοποίησεως συστοδιαστολέων καί δικτυωμάτων προεμφάσεως - ἀποεμφάσεως.

- 'Ἡ σταθερότης στάθμης τοῦ λαμβανομένου σήματος ἐπι-  
τυγχάνεται μέσῳ ἰδιαιτέρας διατάξεως αὐτομάτου ρυθμίσε-  
ως στάθμης.

- Διά τοῦ ἐν λόγῳ συστήματος πραγματοποιεῖται εἴτε ἡ μετάδοσις δύο ραδιοφωνικῶν προγραμμάτων εἰς τήν περιο-  
χήν τῆς βασικῆς πρωτομάδος εἴτε ἡ μετάδοσις ἑνός ραδιο-  
φωνικοῦ προγράμματος καί 6 τηλεφωνικῶν διοδεύσεων. 'Ἡ με-  
τάδοσις δύο ραδιοφωνικῶν προγραμμάτων μέσῳ τῆς αὐτῆς βα-  
σικῆς πρωτομάδος ἐξασφαλίζει καλὴν ποιότητα στερεοφωνι-  
κῆς ραδιοφωνικῆς μεταδόσεως.

## 28.2) Σχέδιον συχνοτήτων (Σχ. 172)

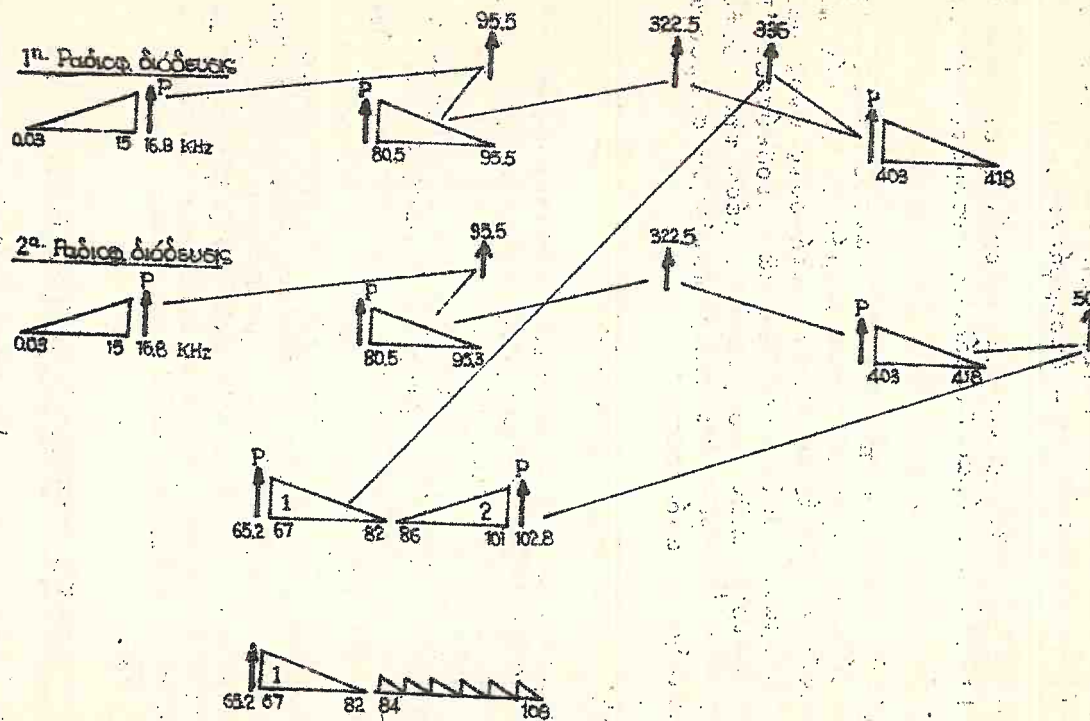
'Ἐκάστη ραδιοφωνικὴ διόδευσις καταλαμβάνουσα τήν πε-  
ριοχήν 30-15000 Hz ὑφίσταται τρεῖς διαδοχικὰς μετατοπί-  
σεις συχνότητος προκειμένου νά τοποθετηθῇ εἰς τήν ζώνην  
60-108 KHz. Ὅπως, ἡ 1η διόδευσις μέσῳ τῆς φερούσης 95,5  
KHz μετατοπίζεται εἰς τήν περιοχήν 80,5-95,5 KHz. 'Ἡ ζώ-  
νη αὕτη ὑφίσταται νέαν μετατόπισιν εἰς τήν περιοχήν 403-  
418 KHz μέσῳ τῆς φερούσης 322,5 KHz. 'Ἡ τελευταία δια-  
μόρφωσις χρησιμοποιεῖ φέρουσαν 336 KHz προκειμένου νά  
ἐπιτευχθῇ ἡ ζώνη μεταδόσεως 67 ἕως 82 KHz. 'Ἡ τελευταία  
διαμόρφωσις τῆς 2ας διοδεύσεως πραγματοποιεῖται τῇ βο-  
ηθείᾳ τῆς φερούσης 504 KHz καί προκύπτει ἡ ζώνη 86-101  
KHz. 'Αντί τῆς δευτέρας ραδιοφωνικῆς διοδεύσεως εἶναι δυ-  
νατή ἡ μετάδοσις 6 τηλεφωνικῶν διοδεύσεων εἰς τήν περι-  
οχήν 84-108 KHz.

## 28.3) 'Ὁδός ἐκπομπῆς-καταστολή θορύβου (σχ. 173).

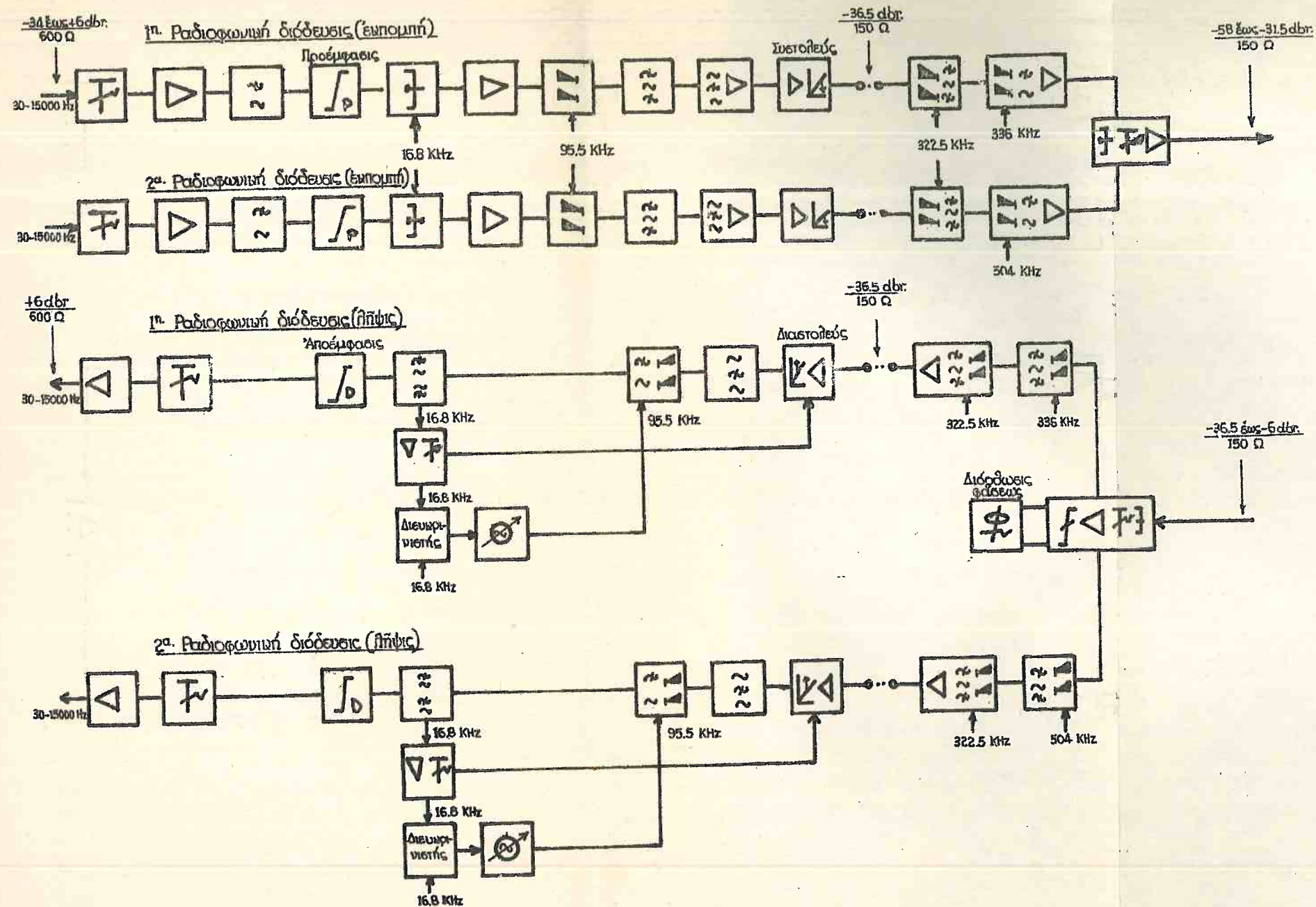
Εἰς τήν ὁδόν ἐκπομπῆς ἐκάστης διοδεύσεως διακρίνον-  
ται, πέραν τῶν προαναφερθέντων τριῶν διαμορφωτῶν, ἡ διά-  
ταξις προεμφάσεως καί ἡ διάταξις τοῦ συστολέως, διά τῶν  
ὁποίων ἐπιτυγχάνεται ἡ καταστολή τοῦ θορύβου.

Αἱ συστάσεις τῆς CCITT διά μίαν ραδιοφωνικὴν ζεύ-





Σχ. 172. Σχέδιον συχνοτήτων ραδιοφωνικού συστήματος

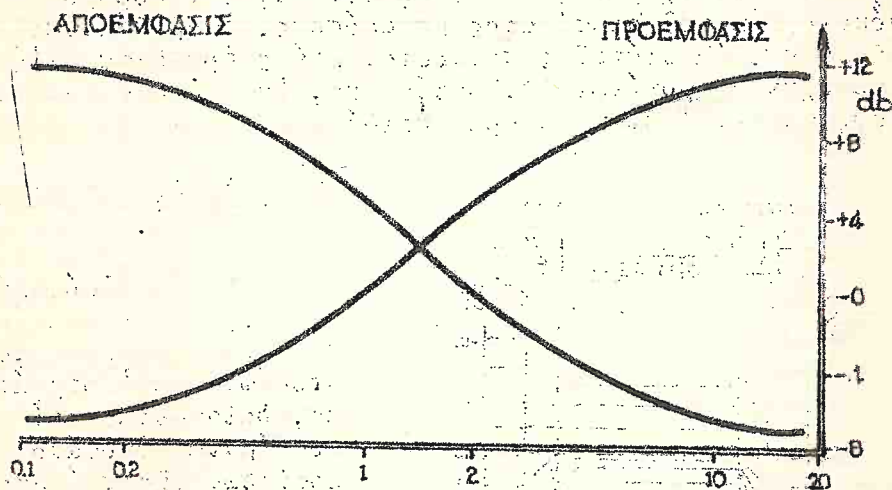


Σχ. 173

Ραδιοφωνικών φερέδων

Ειν μήκους 2500 Km καθορίζουν, ότι η ελάχιστη απόστασις μεταξύ σήματος-θορύβου πρέπει νά ανέρχεται εις 57 dB. Αλλά διά μίαν τηλεφωνικήν ζευξιν τοῦ αὐτοῦ μήκους αἱ συστάσεις τῆς CCITT καθορίζουν τήν ἐν λόγῳ ἀπόστασιν εις 45 dB. Ἐπειδή τό ραδιοφωνικόν πρόγραμμα πρόκειται νά μεταδοθῇ μέσῳ τηλεφωνικῶν συστημάτων, συνάγεται ἐκ τῶν ἀνωτέρω ὅτι ἡ στάθμη τοῦ θορύβου θά εἶναι μεγαλύτερα κατὰ 12 dB τῆς ἐπιτρεπομένης ἔάν; βεβαίως, ὅποτεθῇ ὅτι τό ραδιοφωνικόν σύστημα δέν εἰσάγῃ ἐπὶ πλέον θόρυβον. Ἡ ἀνάγκη αὕτη ἐπέβαλεν τήν τοποθέτησιν τῶν διατάξεων προεμφάσεως-ἀποεμφάσεως καί συστοδιαστολέως, διά τῶν ὁποίων ἐπιτυγχάνεται αὐξησης τῆς ἀποστάσεως μεταξύ σήματος-θορύβου κατὰ 20 dB ἐπὶ πλέον.

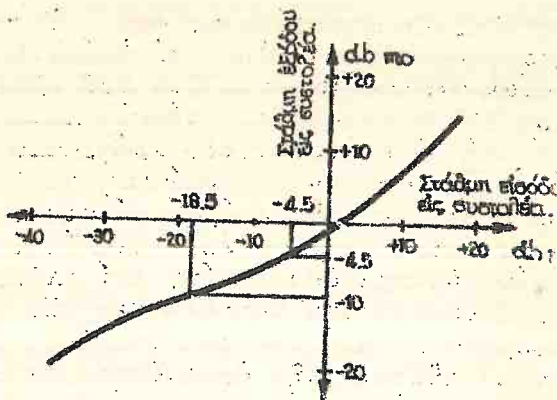
Ἡ καμπύλη λειτουργίας τῶν διατάξεων προεμφάσεως-ἀποεμφάσεως (βλέπε κεφ. 12.3) δεικνύεται εις τό σχ. 174. Ἡ δι' αὐτῶν ἐπιτυγχανομένη βελτίωσις τοῦ λόγου τοῦ σήματος ὡς πρὸς τόν θόρυβον ἀνέρχεται εις 7,5 dB.



Σχ. 174. Καμπύλη προεμφάσεως-ἀποεμφάσεως.

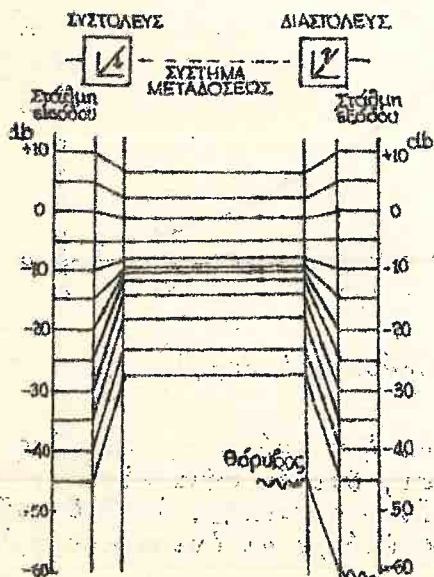
Εἰς τό σχ. 175 δεικνύεται ἡ καμπύλη λειτουργίας τοῦ συστολέως. Ἐκ ταύτης φαίνεται, ὅτι ἐν σῆμα εἰσόδου μέ στάθμην  $-4,5 \text{ dBmO}$  ἐξέρχεται ἄνευ συστολῆς, ἀλλά ἐν σῆμα εἰσόδου μέ στάθμην  $-18,5 \text{ dBmO}$  ἐξέρχεται ἐνισχυμένον, ἥτοι μέ στάθμην  $-10 \text{ dBmO}$ .





Σχ. 175. Καμπύλη λειτουργίας συστολέως

Εἰς τό σχ. 176 παρίστανται αἱ καμπύλαι λειτουργίας ὁλοκλήρου τοῦ συστήματος συστοδιαστολέως (βλέπε κεφ. 12. 3). Ἐκ τοῦ σχήματος τούτου φαίνεται, ὅτι θόρυβος προερχόμενος ἐκ τοῦ συστήματος μεταδόσεως, ὑποβιβάζεται κατὰ 15 dB. Ἡ διάταξις συστοδιαστολέως ἐργάζεται εἰς τὴν περιοχὴν συχνοτήτων 80,5-95,5 KHz, ἔνθα ὁ συστοδιαστολεύς παρουσιάζει καλυτέρας ἐπιδόσεις.



Σχ. 176. Καμπύλαι λειτουργίας συστολέως - διαστολέως

28.4) Ὁδὸς λήψεως (σχ. 173).

Εἰς τὴν ὁδὸν λήψεως, πέραν τῶν διατάξεων ἀποδιαμορφώσεως, διαστολέως καὶ ἀποεμφάσεως, ὑφίστανται καὶ τὰ συστήματα αὐτομάτου δι-ορθώσεως τῆς στάθμης καὶ συγχρονισμοῦ τῶν φερουσῶν συχνοτήτων.

Διὰ τὴν αὐτόματον λειτουργίαν τῶν συστημάτων τούτων ἐκπέμπεται ἕξ ἐκάστου τερματικοῦ ἡ ὁδηγὸς συχνότης 16,8 KHz. Ἡ ὁδηγὸς αὕτη ἀφικνεῖται εἰς τὸν ἑναν-

τι τερματικόν σταθμόν καί επιλέγεται μέσω φίλτρου πρό τοῦ δικτυώματος τῆς ἀποεμφάσεως. Ἐν συνεχείᾳ ἐνισχύεται καί ἀφ' ἑνός μὲν μεταβάλλει, ἀναλόγως τῆς λαμβανομένης στάθμης, τὴν ἐνίσχυσιν τοῦ ἐνισχυτοῦ, ὅστις εὐρίσκεται πρό τοῦ συστολέως, ἀφ' ἑτέρου δέ εἰσάγεται εἰς διάταξιν διευκρινιστοῦ. Εἰς τὸν διευκρινιστὴν εἰσάγεται καί ἡ δ-δηγός συχνότης 16,8 KHz, ἥτις παράγεται τοπικῶς ὑπὸ τοῦ λαμβάνοντος κέντρου. Ἐάν προκύψῃ διαφορά εἰς τὴν συχνότητά τῶν δύο τούτων ὁδηγῶν, ὁ διευκρινιστὴς παρέχει σήμα διὰ τοῦ ὁποίου μεταβάλλεται ἡ συχνότης τῆς γεννητρί-ας τῆς φερούσης 95,5 KHz, μέχρις οὗτο μηδενισθῇ ἡ διαφο-ρά αὕτη.

Ἡ ἀπόκλισις συχνότητος εἰς ἓνα τηλεφωνικὴν διόδευ-σιν δὲν ἐπιτρέπεται νὰ ὑπερβαίῃ τοὺς  $\pm 2$  Hz, συμφώνως πρὸς τὰς συστάσεις τῆς CCITT. Ἡ ἐν λόγω ἀπόκλισις θὰ ᾔ-το ἐπιτρεπτὴ διὰ τὴν μετάδοσιν ἑνός μόνον ραδιοφωνικοῦ προγράμματος. Ἐάν ὅμως πρόκειται νὰ μεταδοθοῦν δύο ρα-διοφωνικὰ προγράμματα διὰ στερεοφωνικὴν ἐκπομπήν, τότε οὐδεμία ἀπόκλισις συχνότητος εἶναι ἐπιτρεπτή. Διὰ τὸν λό-γόν αὐτόν εἶναι ἀπαραίτητος ἡ χρησιμοποίησις τοῦ ἐν λό-γῳ συστήματος αὐτομάτου διορθώσεως τῆς συχνότητος.

Εἰς τὴν στερεοφωνικὴν μετάδοσιν εἶναι ἀπαραίτητος ἐπίσης ἡ ἐπίτευξις μικρᾶς διαφορᾶς φάσεως μεταξύ τῶν δύο διοδεύσεων εἰς ὁλόκληρον τὴν περιοχὴν 30-15000 Hz. Τοῦτο ἐπιτυγχάνεται διὰ καταλλήλου δικτυώματος διορθώσεως φά-σεως, τὸ ὁποῖον τοποθετεῖται εἰς τὴν ὁδὸν λήψεως πρό τοῦ διαχωρισμοῦ τῶν δύο διοδεύσεων.

## VI. ΣΥΣΤΗΜΑΤΑ ΥΠΕΡΘΕΣΕΩΣ ΔΙΑ ΚΑΤΑΝΟΜΗΣ ΧΡΟΝΟΥ

### 29. ΣΥΣΤΗΜΑ ΠΑΛΜΟΚΩΔΙΚΗΣ ΔΙΑΜΟΡΦΩΣΕΩΣ (PCM)

"Αν καί αἱ θεωρητικαί ἀρχαί τοῦ συστήματος τούτου διετυπώθησαν τὸ 1938 ὑπὸ τοῦ "Αγγλου Α.Η. Reeves, ἐν τού-τοις ἡ πρακτικὴ του ἐφαρμογὴ κατέστη δυνατὴ μόλις ἀπὸ τοῦ 1961, ὅτε ἐγκατεστάθη εἰς Η.Π.Α. τὸ πρῶτον σύστημα κατασκευασθὲν ὑπὸ τῆς Bell. "Ἐκτοτε ἡ ἐξάπλωσις του ὑ-πῆρξεν ραγδαία ἰδίως εἰς Η.Π.Α. καί Ἰαπωνίαν (περὶ τὸ τέλος τοῦ 1969 ἐλειτουργοῦν εἰς ΗΠΑ περίπου 24.000 συ-στήματα). Εἰς τὴν Ἑλλάδα ἡ ἐγκατάστασις καί ἡ θέσις εἰς λειτουργίαν συστημάτων PCM ἤρχισεν ἀπὸ τοῦ ἔτους 1972. "Ὅπως θὰ ἀναπτυχθῇ κατωτέρω, ἡ μέθοδος PCM παρουσιάζει



πλεονεκτήματα έναντι της φερεσύχνου τεχνικής. Ἡ βιομηχανική δὲως παραγωγή συστημάτων PCM ἀπέβη οἰκονομικῶς συμφέρουσα μόνον κατόπιν τῆς εὐρείας διαδόσεως τῆς τεχνικῆς τῶν διόδων, τρανζίστορ καὶ κυρίως τῶν ὠλοκληρωμένων κυκλωμάτων.

Ἡ ἐφαρμογή τῶν συστημάτων PCM δὲν περιορίζεται εἰς τὴν μετάδοσιν μόνον τηλεφωνίας, ἀλλ' ἐπεκτείνεται καὶ εἰς τὴν μετάδοσιν ραδιοφωνικῶν, τηλεοπτικῶν κ.λ.π. σημάτων. Π.χ. διὰ τὴν μετάδοσιν φωτογραφιῶν τοῦ "Ἀρέως, μέσω τοῦ δορυφόρου Mariner IV, ἐχρησιμοποιήθη σύστημα PCM.

### 29.1. Ἀναλογικὴ καὶ ψηφιακὴ μετάδοσις.

Χαρακτηριστικὸν γνώρισμα τῆς ἀναλογικῆς μεταδόσεως εἶναι ὅτι ἡ πρὸς μετάδοσιν εἰδησις μετατρέπεται εἰς ἡλεκτρικὸν σῆμα μέσω ἑνὸς ἀναλογικοῦ μετατροπέως. Τοιοῦτος μετατροπέυς εἶναι π.χ. τὸ μικρόφωνόν, τὸ ὁποῖον μετατρέπει τὰς μεταβολὰς πλάτους τῆς ὁμιλίας εἰς ἀναλόγους μεταβολὰς πλάτους τοῦ ρεύματος τροφοδοτήσεως τοῦ μικροφώνου. Παράγεται, οὕτως, ἓν ἡλεκτρικὸν σῆμα, τοῦ ὁποῖου ἡ μορφή εἶναι ἀνάλογος τοῦ ἡχητικοῦ κύματος. Ἡ ἀναλογικὴ μετάδοσις καλύπτει σήμερον τὸ πλεῖστον τῆς τεχνικῆς τῆς μεταδόσεως (π.χ. τηλεφωνία, φερέσυχνος τηλεφωνία) λόγῳ, κυρίως, τῆς ἐν γένει ἀπλοότητος τῆς.

Εἰς τὴν ψηφιακὴν μετάδοσιν, ἐκάστη πληροφορία παρίσταται ἐν προκαθορισμένῳ πλήθους ψηφίων, συμβόλων ἢ χαρακτηριστικῶν καταστάσεων. Μέσω τοῦ τηλετύπου π.χ. ἑκαστον γράμμα τοῦ ἀλφαβήτου μετατρέπεται εἰς πέντε παλμούς "ρεύματος" - "οὐδενός ρεύματος", οἱ ὁποῖοι, ὅταν εἰσέλθουν εἰς φερέσυχνον διόδευσιν FM, μετατρέπονται εἰς συχνότητας  $f_z$  καὶ  $f_A$  (κεφ. 25.4).

Διὰ τὴν παράστασιν τῆς πληροφορίας διὰ ψηφίων, συμβόλων ἢ χαρακτηριστικῶν καταστάσεων εἶναι ἀπαραίτητος ὁ καθορισμὸς ἑνὸς ἀλφαβήτου, δηλαδή ὁ καθορισμὸς τοῦ πλήθους τῶν ψηφίων ἢ συμβόλων. Ἰδιαιτέρως ἀπλοῦν, καὶ ὡς ἐκ τούτου ἐν εὐρείᾳ χρήσει, εἶναι τὸ δυαδικὸν ἀλφάβητον, τὸ ὁποῖον ἀποτελεῖται ἀπὸ δύο μόνον ψηφία, ἢ σύμβολα ἢ χαρακτηριστικῶν καταστάσεις (π.χ. "ἔνα" - "μηδέν" ἢ "ρεῦμα" - "οὐδέν ρεῦμα" ἢ "Ζ" - "Α" κ.λ.π.). Ἡ παράστασις τῆς πληροφορίας διὰ τοῦ καταλλήλου συνδυασμοῦ ἑνὸς συγκεκριμένου πλήθους ψηφίων ἢ συμβόλων βασίζεται ἐπὶ ἑνὸς κώδικος. Π.χ. εἰς τὴν τηλεγραφίαν χρησιμοποιεῖται ὁ κώ-

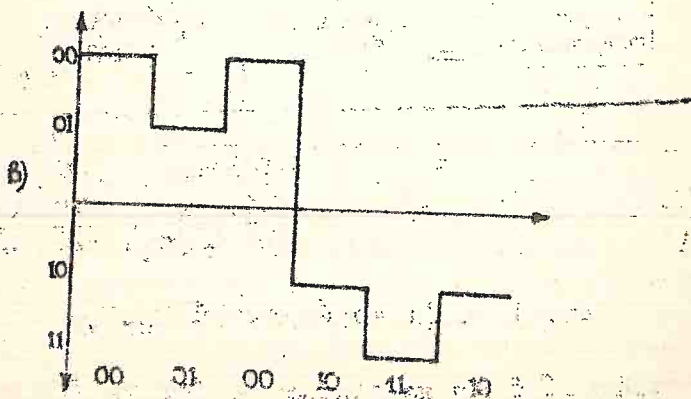
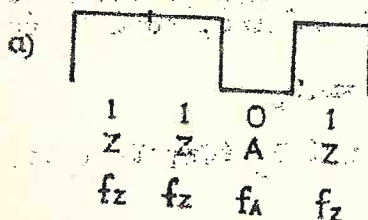


διε CCITT No 2, κατά τόν όποϊον έκαστος χαρακτήρ παρίσταται όπό πέντε παλμών τοῦ δυαδικού άλφαβήτου.

Τά ψηφία, οἱ χαρακτηήρες ἢ αἱ χαρακτηριστικαί καταστάσεις τοῦ δυαδικού άλφαβήτου καλοῦνται ἐπίσης καί δυαδικά ψηφία ἢ Bit (ἐκ τῶν λέξεων Binary digit = δυαδικόν ψηφίον).

Ὁ όρος bit (τό b μικρόν γράμμα) χρησιμοποιεῖται καί ως μονάς μετρήσεως τοῦ ἀριθμοῦ τῶν δυαδικῶν ψηφίων, τά όποῖα περιέχει μία εἰδησις όταν αὕτη μετατραπῇ εἰς ψηφιακὴν μορφήν, δηλαδή χρησιμοποιεῖται ως μονάς μετρήσεως τοῦ ποσοῦ πληροφορίας. Εἶναι δέ 1 bit, τό ἐλάχιστον "ποσόν πληροφορίας", τό όποϊον εἶναι ἀπαραίτητόν διὰ νά διακρίνοῦν πλήρως δύο ἰσοπίθανοι ἐναλλακτικαί καταστάσεις. Π.χ. κατά τόν κώδικα No 2, ό όποῖος χρησιμοποιεῖ τό δυαδικόν άλφάβητον, έκαστον βῆμα τοῦ συνδυασμοῦ ἰσοῦται μέ 1 bit (σχ. 177α). Ἐνταῦθα, αἱ ἰσοπίθανοι, ἐναλλακτικαί καταστάσεις εἶναι δύο (1-0 ἢ Z-A ἢ  $f_z - f_A$ ).

Εἰς τήν διαμόρφωσιν ὁμοῦ 4 συχνότητων (παράδειγμα ἑναφέρεται εἰς τό κεφ. 31.2, β), εἰς έκαστον βῆμα μεταδίδονται 2 bit, διότι ἐκάστη τῶν συχνότητων 00, 01, 10, 11



Σχ. 177. Διὰ τόν όρισμόν τοῦ bit

περιέχει δύο δυαδικά ψηφία (σχ. 177 β). Είς τήν περίπτωσιν αὐτήν ὑφίστανται 4 ἰσοπίθανοι, ἐναλλακτικαί καταστάσεις.

Ὡς Ταχύτης μεταδόσεως  $U_d$ , ὀρίζεται ὁ ἀριθμός τῶν bit, τὰ ὁποῖα δύνανται νά μεταδοθοῦν μέσω ἑνός συστήματος μεταδόσεως ὑπὸ συγκεκριμένην ταχύτητα βήματος  $U$  καί ἐκφράζεται εἰς bit/sec ἢ Mbit/sec ( $1 \text{ Mbit} = 10^6 \text{ bit}$ ).

Ἐάν τό σύστημα μεταδόσεως χρησιμοποιεῖται διὰ τήν μετάδοσιν τῶν πληροφοριῶν μιᾶς μόνον διοδεύσεως (ἢ διὰ τήν ἐν σειρά μεταδόσιν τῶν πληροφοριῶν πολλῶν διοδεύσεων) εἰς τόν δυαδικόν κώδικα, τότε ἡ ταχύτης μεταδόσεως  $U_d$  ἰσοῦται μέ τήν ταχύτητα βήματος  $U_s$ . Δηλαδή:

$$U_d = U_s = \frac{1}{T}$$

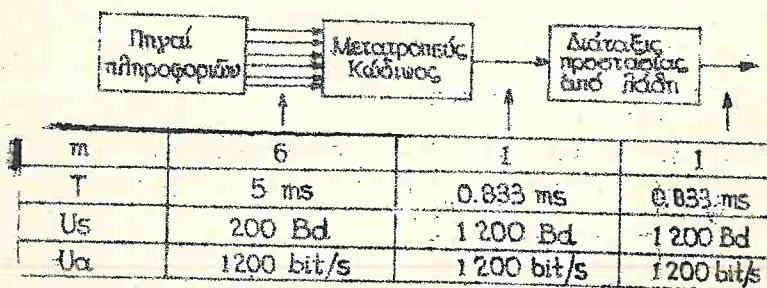
Ἐνθα:  $T$  = διάρκεια βήματος.

Συνεπῶς εἰς τήν περίπτωσιν αὐτήν ὁ ἀριθμός τῶν bit/sec ἰσοῦται μέ τόν ἀριθμόν τῶν Baud.

Ἐάν ὅμως τό σύστημα μεταδόσεως χρησιμοποιεῖται διὰ τήν παράλληλον μετάδοσιν τῶν πληροφοριῶν  $m$  τό πλήθος διοδεύσεων, εἰς τόν δυαδικόν κώδικα, τότε ἰσχύει ἡ σχέσις:

$$U_d = \frac{m}{T} = m \cdot U_s$$

Ἡ διαφορά μεταξύ  $U_d$  καί  $U_s$  ἐξηγεῖται εἰς τό παράδειγμα τοῦ σχ. 178.



Σχ. 178. Διαφορά μεταξύ  $U_s, U_d$

\*Ἡ ἐν σειρά καί ἡ ἐν παραλλήλῳ μετάδοσις ἀναπτύσσονται εἰς τό κεφ. 31.2.

## 29.2. Σύγκρισις μεταξύ αναλογικῆς καὶ ψηφιακῆς μεταδόσεως.

Κατὰ τὴν αναλογικὴν μετάδοσιν, λόγῳ ἀτελείας τοῦ σχετικοῦ μετατροπῆς (π.χ. τοῦ μικροφώνου) ὑπεισέρχονται σφάλματα, τὰ ὁποῖα εἶναι δυνατόν νά περιορισθοῦν ἐν μέρει ὅταν ἡ πληροφορία μετατραπῇ εἰς ψηφιακόν σῆμα.

Τό κυριώτερον ὅμως πλεονέκτημα τῆς ψηφιακῆς μεταδόσεως εἶναι ἡ βελτίωσις τῆς σχέσεως μεταξύ σήματος καὶ θορύβου. Τοῦτο καθίσταται φανερόν ἐκ τῶν δύο παραδειγμάτων τοῦ σχ. 179. Εἰς τό σχ. 179α παρίσταται ἡ αναλογικὴ μετάδοσις μέσω  $\Phi/\Sigma$  τῇ παρεμβολῇ δύο ἐνισχυτικῶν. Ἡ στάθμη τοῦ σήματος ὑποβιβάζεται κατὰ μῆκος τοῦ ἐνισχυτικοῦ πεδίου καὶ ἐπαναφέρεται εἰς τὴν ἀρχικὴν τῆς τιμὴν ὑπὸ τῶν γραμμικῶν ἐνισχυτῶν, οἱ ὁποῖοι ὅμως ἐνισχύουν καὶ τὸν θόρυβον. Οὕτως, ὁ θόρυβος ἐκάστου ἐνισχυτικοῦ πεδίου προστίθεται καὶ τελικῶς εἰς τό λαμβάνον Κέντρον θὰ μειωθῇ ἡ ἀπόστασις σήματος - θορύβου.

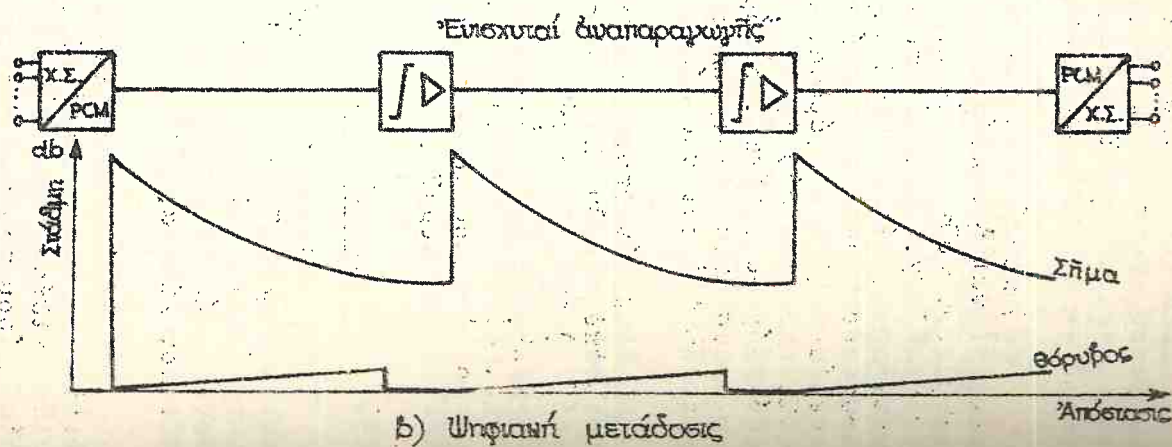
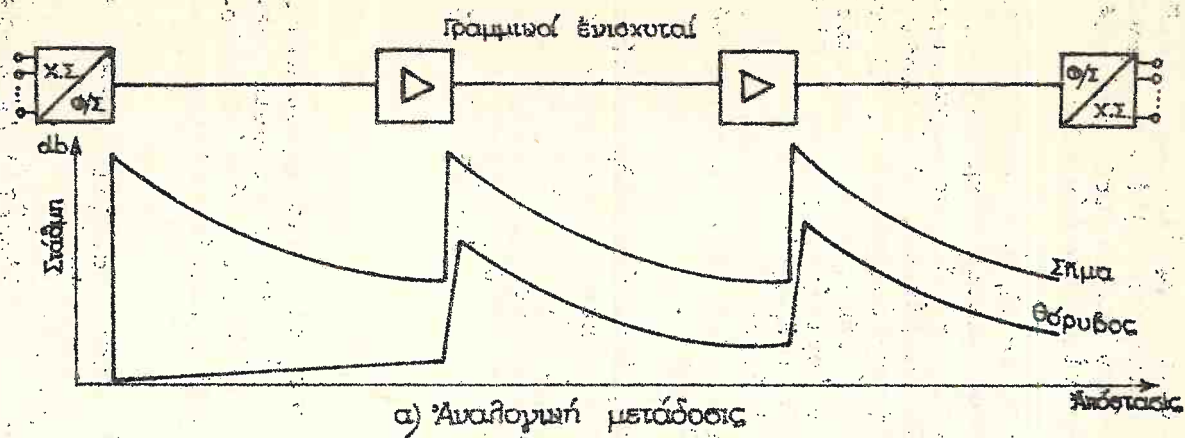
Εἰς τὴν ψηφιακὴν μετάδοσιν, ἐπειδὴ τό σῆμα παρίσταται ὑπὸ παλμῶν, λαμβανόντων δύο διακεκριμένας τιμὰς (0 καὶ 1) εἶναι δυνατὴ ἡ ἀναπαραγωγὴ τῶν παλμῶν εἰς ἑκάστον ἐνισχυτικόν ἄνευ ἐνισχύσεως τοῦ θορύβου (σχ. 179β). Οὕτως, εἰς τὴν ἔξοδον ἐκάστου ἐνισχυτικοῦ ἡ σχέσηις τοῦ σήματος ὡς πρὸς τὸν θόρυβον, παραμένει ἡ αὐτὴ ὡς εἰς τό Κέντρον ἐκπομπῆς.

## 29.3. Δειγματοληψία

Εἰς τὰ συστήματα PCM, ἡ ὑπέρθεσις ἐπιτυγχάνεται διὰ κατανομῆς τοῦ χρόνου. Αἱ πρὸς μετάδοσιν πληροφορίες μετατρέπονται εἰς ψηφιακά σήματα, τὰ ὁποῖα διὰ νά μεταδοθοῦν πρὸς τὴν γραμμὴν κωδικοποιοῦνται ὑπὸ κατάλληλον δυαδικόν κώδικα.

Ἡ ἀρχὴ λειτουργίας τῶν PCM βασίζεται ἐπὶ γνωστῆς ἰδιότητος, κατὰ τὴν ὁποῖαν διὰ τὴν σωστὴν ἀναπαραγωγὴν μιᾶς εἰδήσεως δέν εἶναι ἀπαραίτητος ἡ συνεχὴς ἀποστολὴ ὁλοκληροῦ τοῦ ἀντιστοίχου σήματος, ἀλλ' ἀρκεῖ ἡ ἀποστολὴ μικρῶν δειγμάτων τούτου. Πρὸς τοῦτο, ἀνά καθωρισμένα χρονικά διαστήματα λαμβάνονται μικρὰς διάρκειας δείγματα τοῦ σήματος, τὰ ὁποῖα μεταβιβάζονται πρὸς τό ἐναντι ἐντρον. Τὰ δείγματα ταῦτα εἶναι ἀρκετὰ διὰ τὴν ἀναπαραγωγὴν, εἰς τό λαμβάνον Κέντρον, τοῦ ἀρχικοῦ, ἀναλογικοῦ σήματος.





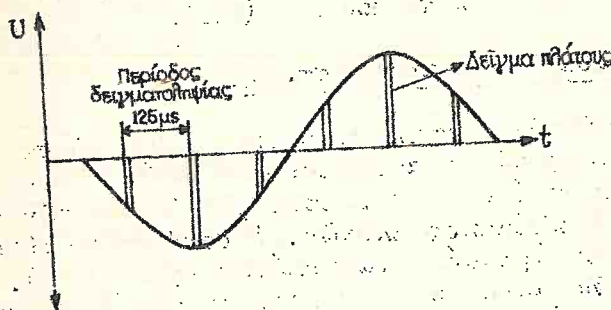
ματος. Ἡ συχνότης διενεργείας τῆς δειγματοληψίας, πρέπει νὰ εἶναι τουλάχιστον διπλάσια τῆς μεγίστης συχνότητος  $f_{\max}$ , τὴν ὁποίαν περιλαμβάνει τὸ πρὸς μετάδοσιν σῆμα. Δηλαδή:

$$f_0 \geq 2 \cdot f_{\max}$$

Π.χ. εἰς μίαν τηλεφωνικὴν διόδευσιν (300-3400 Hz) ἢ  $f_0 = 2 \cdot 3400 \text{ Hz} = 6800 \text{ Hz}$ . Διὰ πρακτικούς λόγους λαμβάνεται ὡς συχνότης δειγματοληψίας ἢ  $f_0 = 8000 \text{ Hz}$ .

Ἐκ τῆς συχνότητος  $f_0$  προκύπτει ἡ περίοδος δειγματοληψίας (Σχ. 180):

$$T_0 = \frac{1}{f_0} = \frac{1}{8 \cdot 10^3} = 125 \mu\text{s}$$

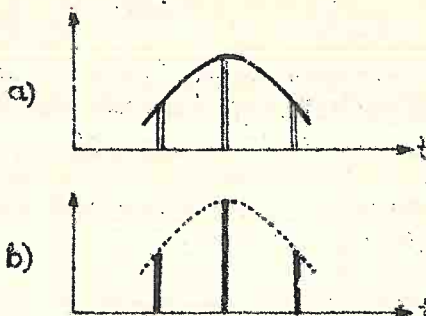


Σχ. 180. Δειγματοληψία ενός ημιτονικοῦ σήματος.

Ἐκ τῶν ἀνωτέρω προκύπτει ὅτι εἰς ἐκάστην τηλεφωνικὴν διόδευσιν (300 - 3400 Hz) διενεργοῦνται 8000 δειγματοληψίαι ἀνὰ δευτερόλεπτον. Ἐκάστη δειγματοληψία ἀπέχει χρονικῶς ἐκ τῆς προηγουμένης κατὰ 125 μs. Ὁ μεσολαβῶν μεταξύ δύο διαδοχικῶν δειγματοληψιῶν ἐνός καὶ τοῦ αὐτοῦ σήματος χρόνος, εἶναι δυνατόν νὰ χρησιμοποιηθῇ διὰ τὴν μετάδοσιν σημάτων ἐτέρων διοδεύσεων, (ὑπέρθεσις διὰ καταννομῆς χρόνου).

Ἐάν τὸ πρὸς μετάδοσιν σῆμα ἔχει π.χ. τὴν μορφήν τοῦ σχ. 181α τότε μετὰ τὴν βαθμίδα τῆς δειγματοληψίας θά ἐμ-

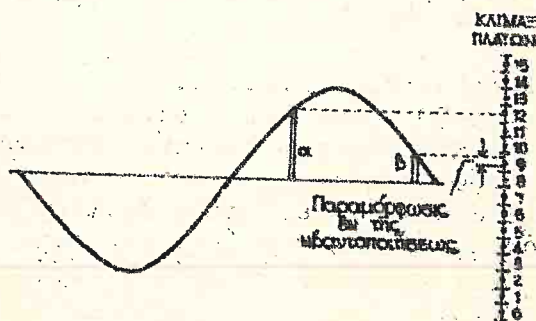
φανισθοῦν οἱ παλμοὶ τοῦ σχ. 181β. Γενικῶς, διὰ πᾶσαν μορφήν σήματος προκύπτουν, μετὰ τὴν δειγματοληψίαν, παλμοί, τῶν ὁποίων μεταβάλλεται τὸ πλάτος, δηλαδή εἶναι διαμορφωμένοι κατὰ πλάτος (PAM=Pulse amplitude Modulation).



Σχ. 181. Παραγωγή παλμῶν διαμορφωμένων κατὰ πλάτος (PAM)

#### 29.4. Κβαντοποιήσεις καὶ συστολή.

Μετὰ τὴν δειγματοληψίαν ἀκολουθεῖ τὸ στάδιον τῆς κβαντοποιήσεως τῶν διαμορφωμένων κατὰ πλάτος παλμῶν. Κατὰ τὴν κβαντοποίησιν μετρεῖται τὸ πλάτος τῶν παλμῶν τῇ βοηθεῖα μιᾶς κλίμακος πλατῶν, ἡ ὁποία ἀπαρτίζεται ἀπὸ συγκεκριμένον ἀριθμὸν διαστημάτων (βαθμίδων). Ἡ προκύπτουσα ἐκ τῆς μετρήσεως ἀριθμητικὴ τιμὴ, μεταβιβάζεται πρὸς κωδικοποίησιν εἰς τὴν ἐπομένην βαθμίδα.



Σχ. 182. Κβαντοποιήσεις



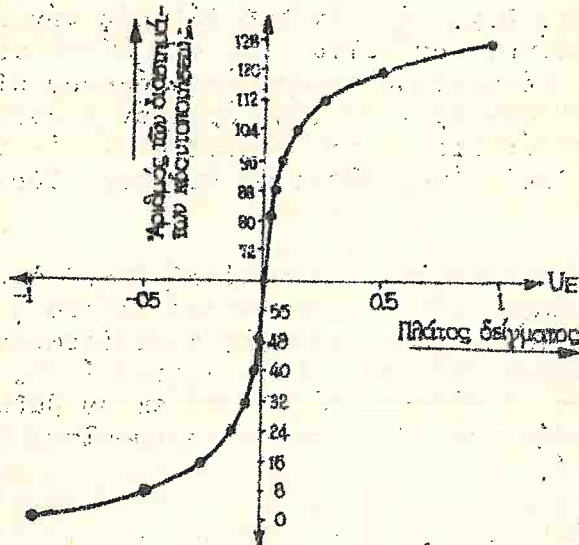
Εἰς τό σχ. 182 παρίσταται ἡ σχετική διαδοχικία, ἔνθα δι' ἀπλοποίησιν ἔχει ληφθῇ μία κλίμαξ ἐκ 16 διαστημάτων. Ἐκαστὸν διάστημα ἔχει συγκεκριμένον πλάτος, εἰς τό ὁποῖον ἀντιστοιχεῖ εἰς καί μοναδικός ἀριθμός. Ἡ μέτρησις τοῦ δείγματος θά εἶναι τελείως ἀκριβής ὅταν τό πλάτος τούτου ἐμπίπτει εἰς τό μέσον ἀκριβῶς ἐνός διαστήματος. Τοῦτο συμβαίνει π.χ. μέ τό δείγμα α, τό ὁποῖον θά λάβῃ τήν τιμήν 12. Εἰς πᾶσαν ἄλλην περίπτωσιν ἡ μέτρησις δέν εἶναι ἀκριβής. Π.χ. τό δείγμα β θά λάβῃ τήν τιμήν 9 ἔστω καί ἐάν τό πλάτος του κεῖται ἄνω τοῦ μέσου τοῦ ἐννάτου διαστήματος. Τό γεγονός τοῦτο, ὀφειλόμενον εἰς τό ὅτι ἡ κλίμαξ πλατῶν δέν ἔχει ἀπειρον ἀριθμόν διαστημάτων, δημιουργεῖ εἰς τήν πράξιν τήν παραμόρφωσιν ἐκ τῆς κβαντοποίησης, ἡ ὁποία ἐκδηλοῦται ὡς ἐκουστός θόρυβος εἰς τήν διόδουσιν.

Ἐχει ἀποδειχθῇ ὅτι διά νά υποβιβασθῇ ἡ παραμόρφωσις ἐκ κβαντοποίησης εἰς ἱκανοποιητικά ἐπίπεδα, θά ἔδει ἡ κλίμαξ πλατῶν μιᾶς τηλεφωνικῆς διόδου νά εἶχεν τοῦλάχιστον 2048 διαστήματα. Ἡ πραγματοποίησις ὅμως τοιαύτης διατάξεως θά ἠῤῥανεν εἰς ἀπαράδεκτον βαθμόν τό κόστος τοῦ συστήματος, διά τοῦτο ἀκολουθεῖται ἑτέρα μέθοδος: ἡ συστολή.

Κατά τήν συστολήν δέν χρησιμοποιεῖται ἡ γραμμική κατάρτησις τῆς κλίμακος πλατῶν ὡς εἰς τό σχ. 182, ἀλλά ἑτέρα μή γραμμική (λογαριθμική) κατάρτησις. Διά τοῦ τρόπου αὐτοῦ τά διαστήματα εἰς τήν κατωτέραν καί ἐνδιάμεσον περιοχὴν τῆς κλίμακος ἔχουν μικρόν πλάτος, ἐνῶ εἰς τήν ἄνω περιοχὴν μεγαλύτερον. Εἰς τήν διμιλίαν ὅμως, ἡ συχνότης ἐμφανίσεως σημάτων μέ μικρόν πλάτος εἶναι μεγαλύτερα ἀπό ἐκείνην τῆς τῶν μεγάλων πλατῶν. Συνεπῶς, ἡ κβαντοποίησις τοῦ μεγαλύτερου τμήματος τῶν σημάτων διμιλίας θά εἶναι σχεδόν τελεία, ἐνῶ ἡ κβαντοποίησις τῶν, σπανίως ἐμφανιζομένων, σημάτων μέ μεγάλον πλάτος θά γίνεται μέ κάποιαν ἀνοχήν.

Εἰς τήν πράξιν ἡ καμπύλη κβαντοποίησης δέν εἶναι τελείως λογαριθμική, ἀλλά ἀποτελεῖται ἀπό εὐθύγραμμα τμήματα. Διά τά Εὐρωπαϊκά συστήματα PCM ἔχει θεσπισθῇ ἡ καμπύλη κβαντοποίησης ἐκ 13 εὐθυγράμμων τμημάτων τοῦ σχ. 183, ἡ ὁποία περιλαμβάνει 128 διαστήματα κβαντοποίησης (ἐνίοτε χρησιμοποιεῖται καμπύλη μέ 256 διαστήματα). Εἰς τό σχῆμα τοῦτο παρατηρεῖται ὅτι διά πλάτη δείγματος κείμενα εἰς τήν ἐνδιάμεσον κυρίως περιοχὴν (ἀπό

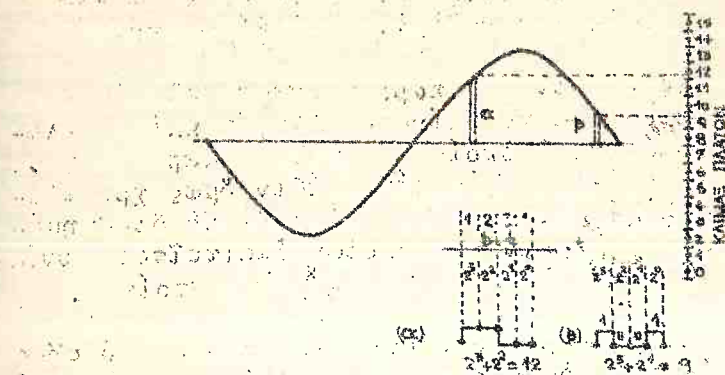
$-0,5$  έως  $+0,5$ ), η κλίσις της καμπύλης είναι λίαν απότομος. Τοῦτο σημαίνει ὅτι εἰς τὴν περιοχὴν ταύτην, τὸ ἀποτέλεσμα τῆς μετρήσεως δύο σημάτων διαφερόντων ἐλάχιστα κατὰ πλάτος θὰ εἶναι δύο διαφορετικοὶ ἀριθμοί.



Σχ. 183. Χαρακτηριστική καμπύλη συστολής  
ἐκ 13 εὐθυγράμμων τμημάτων

## 29.5. Κωδικοποιήσις.

Μετά τὴν μὴ γραμμικὴν κβάντοποίησιν πρέπει ὁ προκύπτων ἀριθμὸς νὰ κωδικοποιηθῇ. Διὰ τὴν κωδικοποίησιν χρησιμοποιεῖται ὁ δυαδικὸς κώδιξ, ὅστις χρησιμοποιεῖ τὰ ψηφία "0" καὶ "1". Εἰς τὸ σχῆμα 184 δεικνύεται ὁ τρόπος κωδικοποιήσεως τῶν δύο προαναφερθέντων παραδειγμάτων τοῦ σχ. 182. Εἰς τὸ σχῆμα τοῦτο ἕκαστος ἀριθμὸς τῆς κλίμακος κωδικοποιεῖται διὰ συνδυασμοῦ 4 bit ὥς δεικνύει ὁ κάτωθι πλινὰξ, ἐνθα ἐάν κάτωθι τῆς στήλης ἐνός bit ὑπάρχει τὸ 0, τότε ἡ ἀντιστοιχὸς δύναμις τοῦ 2 πολλαπλασιάζεται ἐπὶ 0, ἐνῶ ἐάν ὑπάρχῃ τὸ 1 πολλαπλασιάζεται ἐπὶ



Σχ. 184. Κωδικοποίησης

Αριθμός	1ον bit $2^3$	2ον bit $2^2$	3ον bit $2^1$	4ον bit $2^0$
0	0	0	0	0
1	0	0	0	1
2	0	0	1	0
3	0	0	1	1
4	0	1	0	0
5	0	1	0	1
6	0	1	1	0
7	0	1	1	1
8	1	0	0	0
9	1	0	0	1
10	1	0	1	0
11	1	0	1	1
12	1	1	0	0
13	1	1	0	1
14	1	1	1	0
15	1	1	1	1



1 π.χ. 'Ο αριθμός  $12=1 \cdot 2^3+1 \cdot 2^2+0 \cdot 2^1+0 \cdot 2^0=2^3+2^2=8+4=12$   
 καί ο αριθμός  $9=1 \cdot 2^3+0 \cdot 2^2+0 \cdot 2^1+1 \cdot 2^0=2^3+2^0=8+1=9$ .

Διά τήν απλοποίησιν τῆς παρουσιάσεως τοῦ θέματος καί κυρίως τοῦ προηγουμένου πίνακος ἐλήφθη κλίμαξ πλάτων ἐκ 16 διαστημάτων, ἡ ὁποία δύναται νά παρασταθῇ διά συνδυασμοῦ 4 bit ( $2^4=16$ ). Εἰς τήν πράξιν ὅμως χρησιμοποιεῖται, ὡς ἤδη ἐλέχθη, κλίμαξ ἐξ 128 ἢ 256 διαστημάτων, διά τήν κωδικοποίησιν τῶν ὁποίων ἀπαιτεῖται συνδυασμός ἐξ 7 bit ( $128=2^7$ ) ἢ 8 bit ( $256=2^8$ ) ἀντιστοίχως. )

Διά τῆς ἀνωτέρω περιγραφείσης διαδικασίας τό σῆμα ὁμιλίας μετετρέπη εἰς ομάδας κωδικοποιημένων παλμῶν ἢ κωδικῶν λέξεων (ἐξ οὗ καί ἡ ὀνομασία: Παλμοκωδική διαμόρφωσις).

Εἰς τήν ὁδόν λήψεως ἀκολουθεῖται ἡ ἀντίστροφος διαδικασία: Ἐκ τῶν κωδικῶν λέξεων, μέσω καταλλήλου ἀποκωδικοποιήσεως, προκύπτουν κβαντισμένα δείγματα, ἐκ τῶν ὁποίων διά διατάξεως ἀποκβαντοποιήσεως παράγονται παλμοί διαμορφωμένοι κατὰ πλάτος (PAM). Οἱ παλμοί οὗτοι ἀφοῦ διέλθουν ἐν φίλτρον χαμηλῆς διόδου ἀναπαράγουν τό ἀρχικόν ἀναλογικόν σῆμα ὁμιλίας.

Ἐν συνόφει τά στάδια, τά ὁποῖα ἀκολουθοῦνται διά τήν μετατροπήν ἐνός σήματος ὁμιλίας εἰς σῆμα PCM εἶναι:

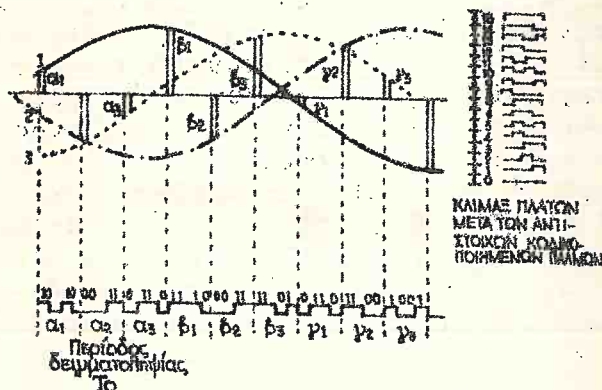
- α) Δειγματοληψία
- β) Κβαντοποίησις (μετέ συστολῆς)
- γ) Κωδικοποίησις

#### 29.6. Σχηματισμός τοῦ συστήματος ὑπερθέσεως διά κατανομῆς χρόνου.

Ὡς ἤδη ἐλέχθη, μεταξύ δύο διαδοχικῶν δειγματοληψιῶν ἐνός σήματος μεσολαβεῖ χρόνος 125  $\mu\text{sec}$ . Ἐπειδή τό πλάτος τῶν παλμῶν, οἱ ὁποῖοι ἀπαρτίζουν μίαν κωδικήν λέξιν, δύναται νά γίνη ἀρκετά μικρόν - τοῦτο ἐξαρτᾶται κυρίως ἀπό τά χρησιμοποιούμενα ὑλικά - συνάγεται ὅτι μεταξύ δύο διαδοχικῶν δειγματοληψιῶν ὑφίσταται "νεκρός" χρόνος, ὁ ὁποῖος δύναται νά χρησιμοποιηθῇ διά τήν μετάδοσιν καί ἄλλων σημάτων, ὁμοίως κωδικοποιημένων. Διά τῆς τοιαύτης χρονικῆς κατατάξεως τῶν διαφόρων σημάτων

έπιτυγχάνεται ή πολλαπλή εκμετάλλευσις τής αὐτῆς βασικῆς γραμμῆς μεταδόσεως.

Εἰς τό σχ. 185 δεικνύεται ὁ τρόπος ὑπέρθεσεως τριῶν σημάτων, ἔνθα διὰ τήν ἀπλοποίησιν τῆς κωδικοποιήσεως τῶν κβαντισμένων σημάτων ἔχει ληφθῇ κλίμαξ πλατῶν ἐκ 16 διαστημάτων.



Σχ. 185. Ὑπέρθεσις διὰ κατανομῆς χρόνου

- Τά συστήματα PCM χρησιμοποιοῦνται εἰς 8σας περιπτώσεις ἀπαιτεῖται ἡ ζεύξις κέντρων διὰ μικροῦ σχετικῶς ἀριθμοῦ διοδεύσεων. Ἀντιθέτως εἰς περιπτώσεις ἀπαιτήσεως μεγάλου ἀριθμοῦ διοδεύσεων εἶναι οἰκονομικωτέρα ἡ ἐγκατάστασις συστημάτων διὰ κατανομῆς συχνότητος.

- Ὡς βασικαί γραμμαὶ μεταδόσεως χρησιμοποιοῦνται ραδιοηλεκτρικαὶ ζεύξεις καὶ κυρίως καλωδιακὰ κυκλώματα (1 ζεύγος διὰ τήν ἐκπομπήν, 1 ζεύγος διὰ τήν λήψιν).

- Τό εὖρος τῆς καταλαμβανομένης ζώνης συχνότητων δίδεται ἐκ τῆς σχέσεως:

$$B = \frac{1}{2} \cdot f_0 \cdot K \cdot n$$

ἔνθα:  $B$ : εὖρος ζώνης εἰς Hz

$f_0$ : Ἡ συχνότης δειγματοληψίας εἰς Hz



K: 'Ο αριθμός των διοδεύσεων

n: 'Ο αριθμός των bit ανά κωδικοποιημένη λέξιν

Π.χ. διά  $f_0 = 8 \text{ KHz}$ ,  $K = 32$ ,  $n = 8$ , ή  $B = \frac{1}{2} \cdot 8 \cdot 10^3 \cdot 32$  ή  
 $B = 1,024 \text{ MHz}$ .

### 29.7. Συγχρονισμός.

Επειδή τά δείγματα των διοδεύσεων ενός συστήματος PCM μεταδίδονται κατ'αύστηράν χρονικῶς διαδοχήν, πρέπει νά υφίσταται μία μέθοδος διά τόν συνέχῃ συγχρονισμόν μεταξύ εκπέμποντος καί λαμβάνοντος Κέντρου. Πρὸς τοῦτο μία ἐκ τῶν διαθεσίμων διοδεύσεων τοῦ συστήματος χρησιμοποιεῖται διά τήν συνεχή ἀποστολήν τῆς "κωδικῆς λέξεως" συγχρονισμοῦ, ἡ ὁποία εἰς τό λαμβάνον κέντρον χρησιμοποιεῖται διά τήν καθοδήγησιν τῶν σχετικῶν διατάξεων. Εἰς τό σύστημα κωδικοποιήσεως τῶν 8 bit ἡ κωδική λέξις ἀποτελεῖται ἀπό συγκεκριμένον συνδυασμόν καί τῶν 8 διαθεσίμων bit τῆς διοδεύσεως συγχρονισμοῦ.

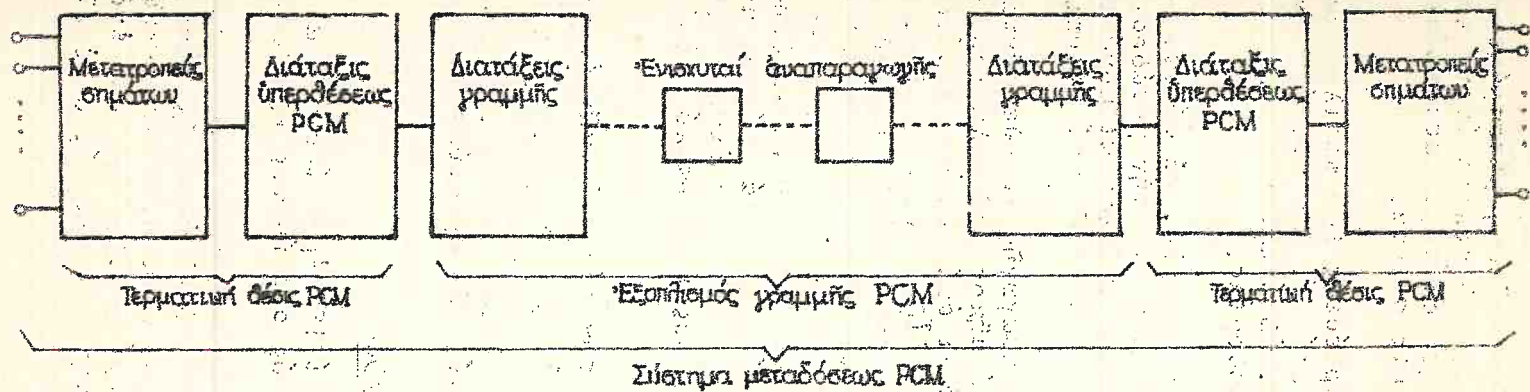
### 29.8. Μετάδοσις σημάτων.

Μέσω τοῦ συστήματος PCM πέραν τῆς ὁμιλίας καί τῶν σημάτων συγχρονισμοῦ πρέπει νά μεταδίδωνται καί τά διάφορα σήματα τοῦ Κέντρου (σήματα ἐπιλογῆς, ἐνάρξεως, πέραςτος κ.λ.π. Αἱ χρονικά μεταβολαί τῶν σημάτων τούτων εἶναι βραδύτεραι ἀπό τὰς μεταβολάς τῆς ὁμιλίας. Τοῦτο σημαίνει ὅτι διά τά σήματα ταῦτα δύναται νά χρησιμοποιηθῇ μικροτέρα συχνότης δειγματοληψίας (π.χ. 2000 Hz) καί ὡς ἐκ τούτου ἀπαιτεῖται μικρότερος ἀριθμός bit διά τήν μετάδοσιν τῶν. Τοῦτο ἐπιτρέπει τήν χρησιμοποίησιν μιᾶς διοδεύσεως PCM διά τήν μετάδοσιν σημάτων ὅλων τῶν ὑπολοίπων διοδεύσεων. Οὕτως, ἐάν ἐν σύστημα PCM διαθέτει 32 διοδεύσεις, θά χρησιμοποιηθοῦν διά τήν μετάδοσιν ὁμιλίας αἱ 30 (μία διόδευσις διατίθεται διά τόν συγχρονισμόν καί μία διά τά σήματα).

### 29.9. Βασικαί διατάξεις ἐνός συστήματος PCM.

Εἰς τό σχ. 186 παρίστανται αἱ βασικαί διατάξεις ἐνός συστήματος μεταδόσεως PCM.





Εχ. 186. Αι βασικά μονάδες ενός συστήματος μετάδοσης PCM

Ο μετατροπέυς τών σημάτων, μετατρέπει τὰ σήματα όλων τών διοδεύσεων εἰς κωδικοποιημένους παλμούς. Εἰς τὴν λήψιν, ἡ ἀντίστοιχος διάταξις μετατρέπει τοὺς κωδικοποιημένους παλμούς εἰς σήματα.

Αἱ διατάξεις ὑπερθέσεως PCM περιλαμβάνουν ὅλας τὰς ἀπαραιτήτους μονάδας διὰ τὴν μετατροπὴν τῶν ρευμάτων δμιλίας εἰς σήματα PCM. Ἐπὶ πλέον περιλαμβάνουν μονάδας συγχρονισμοῦ καὶ τροφοδοσίας.

Εἰς τὰς διατάξεις γραμμῆς, τὰ σήματα PCM λαμβάνουν παλμικὴν μορφήν κατ'ἀλλήλον διὰ τὴν μετάδοσιν. Ἐπὶ πλέον εἰς τὰς διατάξεις γραμμῆς ἀνήκουν αἱ μονάδες τηλετροφοδοτήσεως τῶν ἐνισχυτικῶν σταθμῶν καὶ ἐντοπισμοῦ βλαβῶν.

Οἱ ἐνισχυταὶ ἀναπαραγωγῆς τοποθετοῦνται εἰς καθορισμένους ἀποστάσεις κατὰ μῆκος τοῦ καλωδίου. Τὸ μέγεθος τῆς ἀποστάσεως ἐξαρτᾶται ἀπὸ πολλοὺς παράγοντας: διάμετρος ἀγωγῶν καλωδίου, εἶδος τοῦ καλωδίου, ἀριθμὸς ἐτέρων συστημάτων PCM λειτουργούντων διὰ τοῦ αὐτοῦ καλωδίου κ.ἄ. Συνήθης ἀπόστασις εἶναι τὰ 2 km. Οἱ ἐνισχυταὶ ἀναπαραγωγῆς ἐπιτελοῦν διπλὴν ἐργασίαν: ἀποπαραμορφώνουν καὶ ἀναπαράγουν τὰ σήματα PCM. Ἡ τροφοδότησις τῶν ἐνισχυτῶν παρέχεται ἀπὸ τὰ τερματικὰ Κέντρα μέσῳ τοῦ αὐτοῦ ζεύγους. Μία εἰδικὴ διάταξις ἐντοπισμοῦ βλαβῶν δεικνύει εἰς τὸ Κέντρον ποῖος ἐνισχυτικὸς εὐρίσκεται εἰς ἀνωμαλίαν.

Ἡ χρησιμοποίησις συγχρόνων ὀλικῶν ἐπιτρέπει τὴν κατασκευὴν τῶν συστημάτων PCM εἰς μικρὸν ὄγκον. Π.χ. μία πλήρης τερματικὴ θέσις διὰ 90 διοδεύσεις δμιλίας ἀπαιτεῖ ἓν σύνθηδες ἱκρίωμα ὕψους 2365 mm. Οἱ ἐνισχυτικοὶ σταθμοὶ τοποθετοῦνται ἐντὸς τῶν φρεατίων τῶν καλωδίων.

## 29.10. Σύστημα PCM 30/32

Εἰς τὰ σχ. 187 καὶ 188 ἐμφανίζονται αἱ διατάξεις ἐκπομπῆς καὶ λήψεως ἐνὸς συστήματος PCM 32 διοδεύσεων.

Πέραν τῶν εἰς τὰ προηγούμενα προαναφερθέντων μονάδων, βασικὴ διάταξις τῆς ὁδοῦ ἐκπομπῆς εἶναι ἡ τῆς παραγωγῆς καὶ διανομῆς τῶν καθοδηγητικῶν παλμῶν, ἡ ὁποία συνοδεύεται ὑπὸ γεννητρίας 2.048 MHz καὶ ἐνὸς διαιρέτου συχνότητος. Οἱ καθοδηγητικοὶ παλμοί, οἱ ὁποῖοι παράγον-



ται υπό της άνωτέρω διατάξεως οδηγούνται προς:

α) Τόν ηλεκτρονικόν διακόπτην Δ διά τοῦ ὁποῦ διενεργεῖται ἡ δειγματοληψία.

β) Τό κύκλωμα κωδικοποιήσεως τῶν κβαντισμένων σημάτων ὁμιλίας τῶν 30 διοδεύσεων.

γ) Τό κύκλωμα παραγωγῆς τῆς κωδικῆς "λέξεως" συγχρονισμοῦ.

δ) Τόν μετατροπέα σημάτων.

Εἰς τήν εἴσοδον ἐκάστης διοδεύσεως τοποθετεῖται φίλτρον ζώνης τό ὁποῖον περιορίζει τήν ζώνην ὁμιλίας μεταξύ 300 καί 3400 Hz.

Ἡ δειγματοληψία ἀνά διόδευσιν διενεργεῖται μέ ταχύτητα 8000 δειγμάτων, ἀνά δευτερόλεπτον ( $f_0=8000$  Hz) καί ἑκαστον δείγμα κωδικοποιεῖται διά συνδυασμοῦ 8 bit. Ἐπομένως διά τό σύνολον τῶν 32 διοδεύσεων ἡ ταχύτης μεταδόσεως εἶναι:

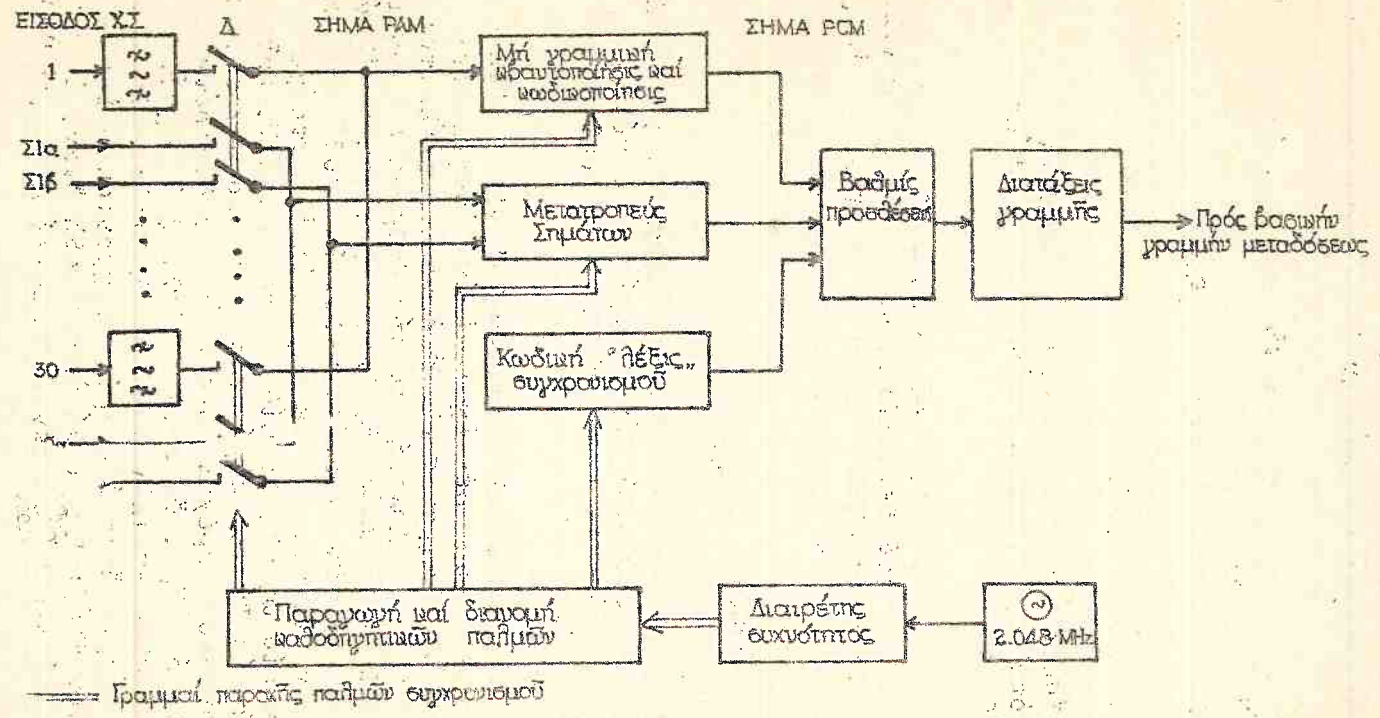
$$32 \cdot \frac{8000}{\text{sec}} \cdot 8 = 2,048 \text{ Mbit/sec.}$$

Εἰς τήν ὁδόν λήψεως, ἡ συχνότης ἐπαναλήψεως τῶν bit (2,048 Mbit/sec), τροφοδοτεῖ τόν διαιρέτην συχνότητος, ὅστις διεγείρει τό κύκλωμα παραγωγῆς καί διανομῆς τῶν καθοδηγητικῶν παλμῶν.

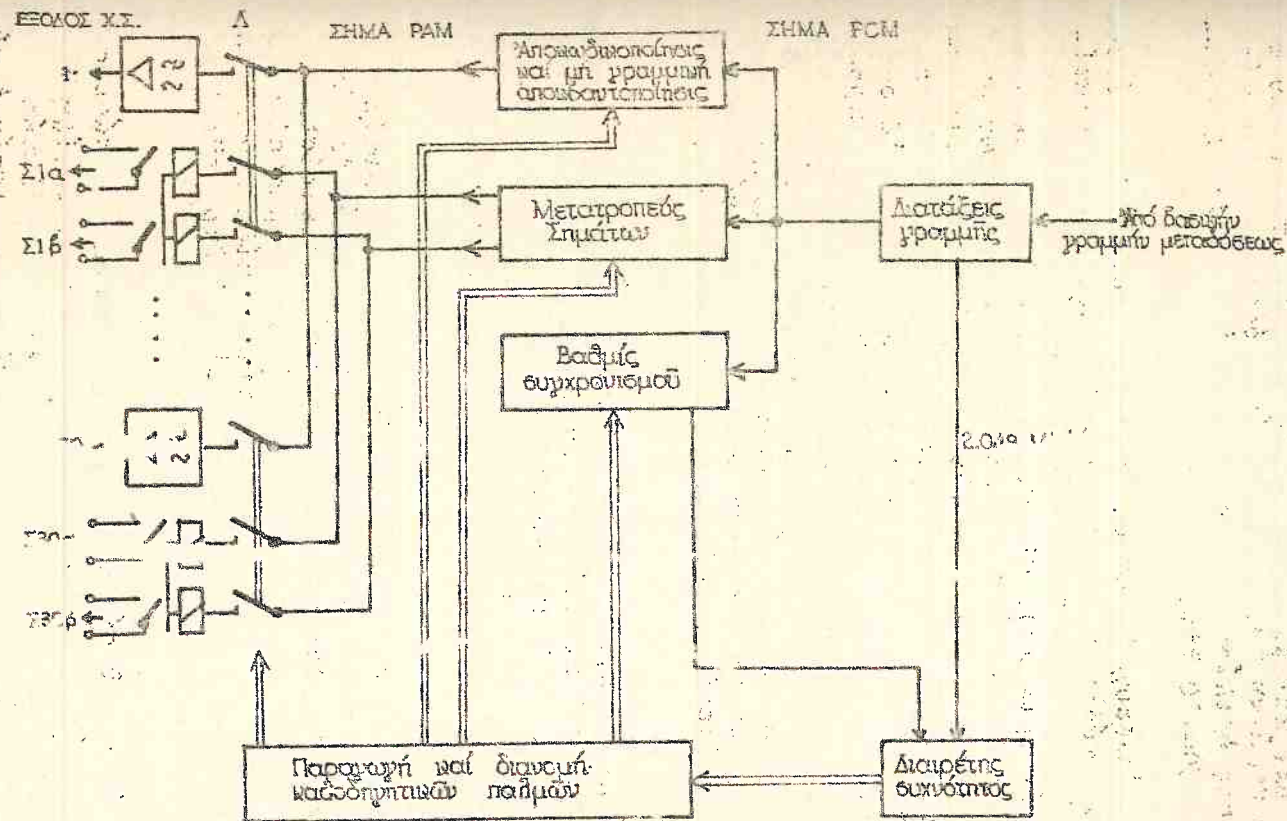
Ἡ διάταξις συγχρονισμοῦ λειτουργεῖ ὡς ἑξῆς: "Ἐστω ὅτι ἡ βαθμὶς συγχρονισμοῦ δέν ἔχει εἰσέτι ἀναγνωρίσει τήν κωδικήν "λέξιν" συγχρονισμοῦ, ἡ ὁποία ἀποστέλλεται ἐκ τοῦ ἐναντι Κέντρου. Δηλαδή εἰς τήν βαθμίδα συγχρονισμοῦ δέν φθάνει ὁ συνδυασμός τῆς "κωδικῆς λέξεως" ἀλλά ὁ συνδυασμός μιᾶς ἐκ τῶν διοδεύσεων ὁμιλίας τοῦ συστήματος, ὁ ὁποῖος δέν δύναται νά διεγείρῃ τὰς ἀντιστοίχους διατάξεις ἀναγνωρίσεως τῆς βαθμίδος συγχρονισμοῦ. Τοῦτο σημαίνει ὅτι τὰ δύο Κέντρα εὗρισκονται ἐν ἀποσυγχρονισμῷ. Ἡ βαθμὶς συγχρονισμοῦ παρέχει τότε πρὸς τόν διαιρέτην συχνότητος σχετικόν σῆμα, ὥστε νά μεταβληθῇ ἡ συχνότης ἐπαναλήψεως τῶν καθοδηγητικῶν παλμῶν. Ἡ διαδικασία αὕτη συνεχίζεται μέχρις ὅτου ἡ βαθμὶς συγχρονισμοῦ ἀναγνωρίσει τήν κωδικήν "λέξιν" καί θά ἐπαναληφθῇ ὅταν, ἐκ διαφόρων λόγων, λαμβάνεται ἐσφαλμένως ἡ κωδική λέξις.

Εἰς ἐκάστην διόδευσιν ὁμιλίας διατίθενται δύο διο-





Σχήμα 3. Οδός κωδικοποίησης PCM



Γεννήτρι παροχής των σημάτων συγχρονισμού

δεύσεις (είναι δυνατόν νά διατεθοῦν καί 4) διά τήν μετάδοσιν τῶν διαφορῶν σημάτων. Ἐκάστη διόδευσις σημάτων διαθέτει 1 bit καί ἐπομένως - εἰς τήν περίπτωσιν τῶν 4 διοδεύσεων σημάτων ἀνά τηλεφωνικήν διόδευσιν - διά τὰς 30 διοδεύσεις ὀμιλίας τοῦ συστήματος ἀπαιτεῖται ἡ ἐξοικονόμησις  $4 \cdot 30 = 120$  bit.

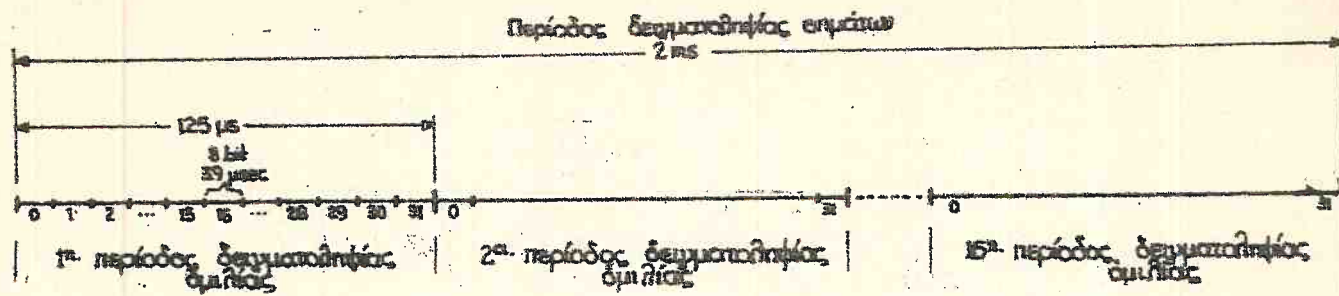
Διά νά ἐπιτευχθῇ τοῦτο, ἔχει διατεθεῖ ἡ 16η διόδευσις διά τήν μετάδοσιν τῶν σημάτων (ἡ διόδευσις 0 διατίθεται διά τόν συγχρονισμόν καί αἱ διοδεύσεις 1-15 καί 17-31 διά τήν ὀμιλίαν). Εἰς σύνολον 16 περιόδων δειγματοληψίας ὀμιλίας διατίθενται διά τήν μετάδοσιν τῶν σημάτων  $16 \cdot 8 \text{ bit} = 128 \text{ bit}$  (σχ. 189). Ἐπομένως ἀνά διόδευσιν ὀμιλίας διατίθενται  $128/30 \approx 4 \text{ bit}$ . Ἀλλά αἱ 16 περίοδοι δειγματοληψίας διαρκοῦν:  $16 \cdot 125 \mu\text{s} = 2 \text{ ms}$ . Ἐπομένως ἡ χρονική παραμόρφωσις τῶν σημάτων θά εἶναι μικρότερα τῶν 2 ms, δεδομένου ὅτι ἡ δειγματοληψία εἰς ἐκάστην διόδευσιν σημάτων θά διενεργεῖται ἀνά 2 ms. Ἐάν ὁμως, ὅπως συμβαίνει εἰς τήν περίπτωσιν τοῦ ἐν λόγῳ συστήματος διατίθενται δύο διοδεύσεις σημάτων ἀνά διόδευσιν ὀμιλίας, τότε ἡ παραμόρφωσις καθίσταται μικρότερα τοῦ 1 ms.

Ἡ ἀρχή λειτουργίας τῆς διατάξεως μή γραμμικῆς κβαντοποίησης καί κωδικοποίησης δύναται νά ἐξηγηθῇ τῇ βοηθείᾳ τοῦ σχ. 190. Ἡ κωδικοποίησις πραγματοποιεῖται κατ' ἀρχήν διά 12 bit καί ἐν συνεχείᾳ, τῇ βοηθείᾳ καταλλήλου μετατροπῆς, μετατρέπεται εἰς συνδυασμόν 8 bit.

Μία πηγὴ σταθερᾶς τάσεως  $U$  τροφοδοτεῖ 12 ἀντιστάσεις ἐν παραλλήλῳ, ἐκάστη τῶν ὁποίων εἶναι μεγαλύτερα τῆς προηγούμενης κατὰ μίαν δύναμιν τοῦ 2. Εὐθύς ὥς ἐν δειγμα τοῦ σήματος ὀδηγηθῇ εἰς τήν βαθμίδα συγκρίσεως, κλείει ὁ διακόπτης  $\Delta_1$  (κατόπιν ἐντολῆς μεταβιβασθείσης ἀπὸ τὰ λογικὰ κυκλώματα). Τότε εἰς τήν βαθμίδα συγκρίσεως ὀδηγεῖται καί ἡ πτώσις τάσεως  $U_0$  εἰς τὰ ἄκρα τῆς ἀντιστάσεως  $r(U_0 = U \cdot r/R)$ .

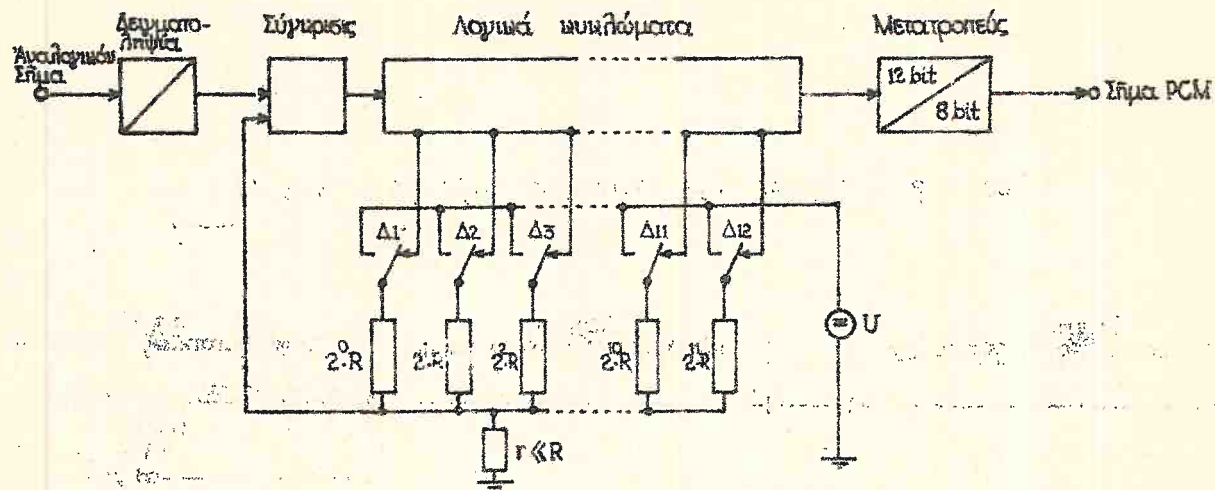
Ἐάν ἡ τάσις τοῦ σήματος εἶναι μικρότερα τῆς τάσεως  $U_0$ , τότε ἡ βαθμὶς συγκρίσεως δίδει ἐντρλήν νά ἀνοίξῃ ὁ διακόπτης  $\Delta_1$  καί νά κλείσῃ ὁ  $\Delta_2$  (ἐάν εἶναι μεγαλύτερα τῆς  $U_0$  ὁ  $\Delta_1$  παραμένει κλειστός). Μὲ τόν  $\Delta_2$  κλειστόν ἡ τά-





Σχ. 189. Διά τήν μετάδοσιν τῶν σημάτων μέσω PCM





Σχ. 190. Μή γραμμική κβαντοποίησης και κωδικοποίησης

σις  $U_1$  εις τὰ άκρα τής  $r$  είναι:  $U_1 = U \frac{r}{2R}$  (ή  $3U \frac{r}{2R}$  όταν είναι κλειστός και δ  $\Delta_1$ ). Η βαθμίδα συγκρίσεως αποφαίνεται εκ νέου εάν πρέπει να παραμείνη δ διακόπτης  $\Delta_2$  ανοικτός ή κλειστός και ή διαδικασία συνεχίζεται μέχρις 8-του λειτουργήση και δ διακόπτης  $\Delta_{12}$ : Η τελική θέσις των 12 διακοπτών παρέχει εις τόν δυαδικόν κώδικα τό αποτέλεσμα τής κβαντοποιήσεως και κωδικοποιήσεως. Η θέσις των 12 διακοπτών διερευνάται υπό των λογικών κυκλωμάτων και τό αποτέλεσμα παρέχεται εις τόν μετατροπέα 12 bit/8 bit.

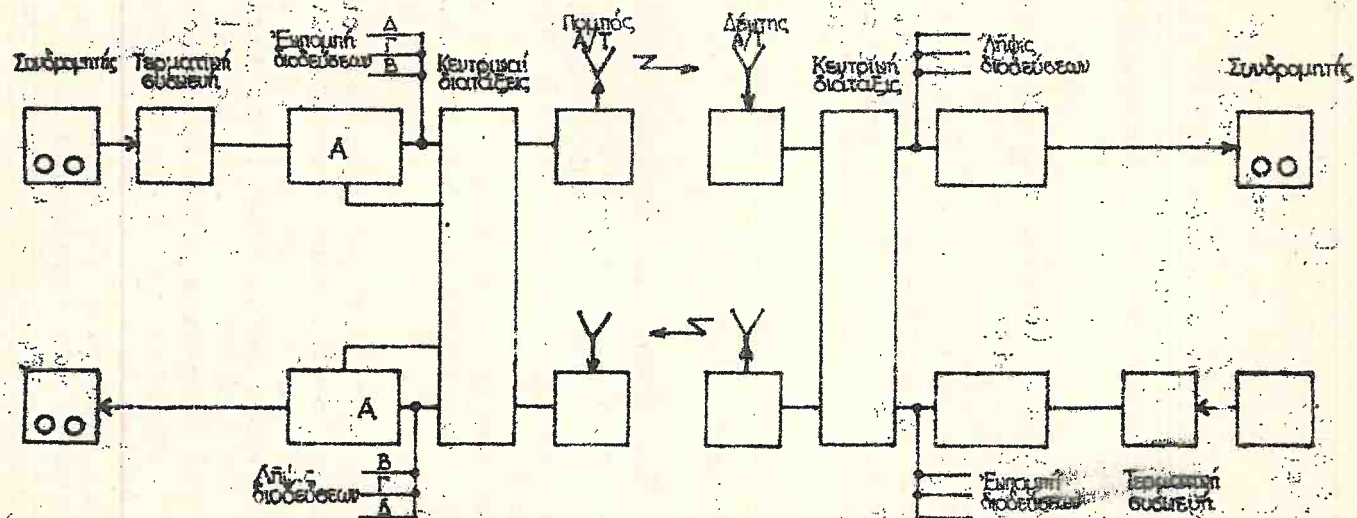
Εις τήν πλευράν λήψεως (όμοίως σχ. 190) τοποθετείται κατ' αρχήν δ μετατροπέας 8 bit/12 bit. Έκαστος εκ των 12 καλμών διεγείρει ή όχι τούς αντίστοιχους διακόπτας  $\Delta_1 - \Delta_{12}$ . Οι διακόπται, διεγειρόμενοι τροφοδοτούν διά ρεύματος μίαν κοινήν αντίρτασιν. Τό άθροισμα των επί μέρους ρευμάτων δημιουργεί επί τής αντίστάσεως ταύτης πώσιν τάσεως, ή όποία αντιστοιχεί προς τό αρχικόν δείγμα του σήματος.

### 30. ΤΗΛΕΓΡΑΦΙΚΑ ΣΥΣΤΗΜΑΤΑ MUX.

Τά συστήματα MUX ανήκουν εις τήν κατηγορίαν των συσκευών υπερθέσεως τηλεγραφικών διοδεύσεων διά κατανομής χρόνου. Είναι έφωδιασμένα διά διατάξεως αυτόμάτου διορθώσεως λάθους, κατά τήν μέθοδον ARQ, διά τής όποίας έξασφαλίζεται συχνότης εμφάνισεως έσφαλμένων χαρακτήρων τής τάξεως  $10^{-6}$ . Κατόπιν τούτου τά συστήματα ταύτα ένδεικνύνται διά τήν μετάδοσιν όχι μόνον τηλεγραφικών σημάτων αλλά και δοτών (Data).

Ός φορείς εις τά συστήματα MUX χρησιμοποιούνται άσυρματικά (A/T) δίκτυα βραχέων κυμάτων. Μέσω των δικτύων τούτων είναι δυνατή ή ζευξεις δύο οϊονδήποτε σημείων τής γής άρκει νά χρησιμοποιηθοϋν παμποί κατάλληλου ισχύος έκπομπής και δέκται αναλόγου εδαισθησίας. Αι άσυρματικά όμως ζευξεις διά βραχέων κυμάτων εμφανίζουν διαλείψεις εις τήν λήψιν (λόγω μετατοπίσεως των στρωμάτων τής ιονοσφαίρας επί των όποιων ανακλίνονται τά ηλεκτρομαγνητικά κύματα), θορύβους, ατμοσφαιρικής επιδράσεως, επιδράσεις πομπών άλλων δικτύων και λοιπάς άνωμαλίας, αι όποίαι καθιστούν άνασφαλή τήν λήψιν των έν γένει σημάτων. Η προταθεΐσα όμως υπό του Όλλανδοϋ Van Duuren μέθοδος ARQ



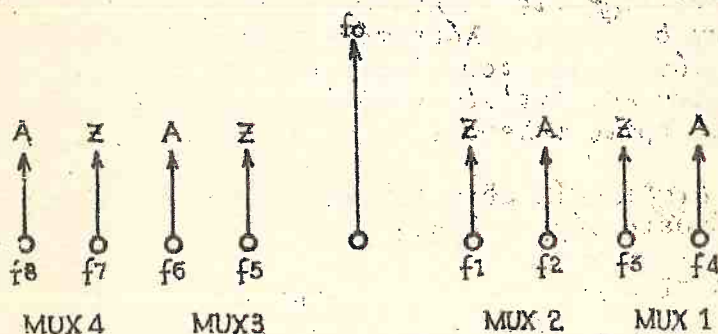


Σχ. 191 Σχηματισμός διατάξεως διανομής δεδομένων MUX

(=Automatic request) επέτρεψε τήν χρησιμοποίησιν τῶν βραχέων κυμάτων ἀκόμη καί διὰ τήν μετάδοσιν δοτῶν. Εἶναι εὐνόητον, ὅτι διὰ χρησιμοποίησεως ὡς φορέων ἐτέρων συστημάτων μεταδόσεως (καλώδια, κατεύθυνόμενα ραδιοηλεκτρικά ζεύξεις, δορυφορικά ζεύξεις) ἀξιώνεται ἔτι περαιτέρω ἡ ἀσφάλεια μεταδόσεων τῶν σημάτων.

Εἰς τό σχ. 191 δεικνύεται ἡ βασική διάρθρωσις ἐνὸς συστήματος μεταδόσεως 4 τηλεγραφικῶν διοδεύσεων μέσω βραχέων κυμάτων.

Ὁ πομπός τῶν MUX δύναται νά ἐργάζεται δι' ὀλισθήσεως συχνότητος π.χ. διὰ σῆμα Z νά μετατοπίζεται ἡ φέρουσα τοῦ πομποῦ κατὰ 1600 Hz καί διὰ σῆμα A κατὰ 2000 Hz. Ὁ-  
τως, ἐάν χρησιμοποιηθοῦν καί αἱ δύο πλευρικά ζῶναι τοῦ πομποῦ εἶναι δυνατόν νά ὑπερτεθοῦν 4 συστήματα MUX (16 τηλεγρ. διοδεύσεις) ὡς δεικνύεται εἰς τό σχ. 192, (δηλα-  
δή ὁ πομπός ἐργάζεται διὰ κατανομῆς συχνότητος).



Σχ. 192

### 30.1. Ἡ ἀρχή τῆς αὐτομάτου διορθώσεως τῶν λαθῶν (ARQ).

Διὰ τοῦ συνήθους τηλεγραφικοῦ κώδικος τῶν 5 στοιχείων (κώδιξ CCITT No 2) ἐπιτυγχάνονται  $2^5=32$  συνδυασμοί, οἱ ὅποιοι εἶναι ὅλοι κατεληγμένοι ὑπὸ ἀντιστοιχῶν χαρακτήρων. Ἐάν ἐξ οἰασδήποτε αἰτίας μεταβληθῇ ἡ χαρακτηριστικὴ κατάστασις ἐνὸς μόνον στοιχείου, τότε θά ἐντυπωθῇ ἐσφαλμένος χαρακτήρ. Διὰ νά καταστῇ δυνατὴ ἡ ἀναγνώρισις τῶν λαθῶν ὁ κώδιξ τῶν 5 στοιχείων μετατρέπεται εἰς κώδι-



κα τῶν 7 στοιχείων (κώδικς CCITT No 3). Διὰ τοῦ κώδικος τούτου ἐπιτυγχάνονται  $2^7 = 128$  συνδυασμοί, ἐκ τῶν ὁποίων ὁμῶς χρησιμοποιοῦνται οἱ 35 καί μάλιστα ἐκεῖνοι οἱ ὁποῖοι περιέχουν τρία στοιχεῖα πολικότητας ΣΤΑΣΕΩΣ (δηλαδή χάρακτ. καταστάσεως Z) καί 4 στοιχεῖα πολικότητας ΕΚΚΙΝΗΣΕΩΣ (Α). Ἐάν μεταβληθῇ ἡ χαρακτηριστική κατάστασις ἑνός στοιχείου, τότε θά μεταβληθῇ ὁ ἀνωτέρω λόγος 3:4 καί ἡ ἀλλαγὴ ταύτη θά ἀναγνωρισθῇ ὑπὸ καταλλήλων κυκλωμάτων τοῦ δέκτου. Βεβαίως εἶναι δυνατή ἡ ἐκτύπωσις ἐσφαλμένου χαρακτήρος ὅταν ἐντός τοῦ αὐτοῦ συνδυασμοῦ λάβουν χώραν δύο μεταβολαί. Π.χ. Ἐν στοιχείῳ Z νά γίνῃ Α καί ἕτερον στοιχεῖον νά γίνῃ Z. Αἱ ἐν λόγω ὁμῶς μεταβολαί ἔχουν μικράν πιθανότητα ἐμφάνισεως.

Ὅταν ὁ δέκτης ἑνός σταθμοῦ (π.χ. τοῦ σταθμοῦ Β εἰς τό σχ. 193) λάβῃ ἐσφαλμένον συνδυασμόν, τότε αὐτομάτως θά διακοπῇ ἡ ἀποστολὴ χαρακτήρων ἐκ τοῦ Β πρὸς τὸν Α καί θά ἀποσταλῇ ὁ συνδυασμός RQ (αἴτησις ἐπαναλήψεως). Μετὰ τὸν συνδυασμόν RQ ἀποστέλλονται οἱ τρεῖς τελευταίως ἐκπεμφθέντες χαρακτήρες (π.χ. Δ, Ι, Γ), οἱ ὁποῖοι εἰχον ἐνταμιευθῇ εἰς τὰ κυκλώματα ἐνταμιεύσεως τοῦ πομποῦ Β. Ὅταν ὁ δέκτης Α λάβῃ τὸν συνδυασμόν RQ οἰδεταί ἐντολή εἰς τὸν πομπὸν του νά διακόψῃ τὴν περαιτέρω ἐκπομπὴν χαρακτήρων καί ἀντ' αὐτῶν νά ἀποστείλῃ τὸ σῆμα RQ καθὼς καί τοὺς τρεῖς τελευταίους χαρακτήρας (π.χ. Ε, Α, Β).

Ἡ διαδικασία αὕτη ἐπαναλαμβάνεται εἰς ἀμφοτέρας τὰς κατευθύνσεις μέχρις ὅτου:

α) Εἴτε ληφθῇ ὁρθῶς τὸ σῆμα RQ.

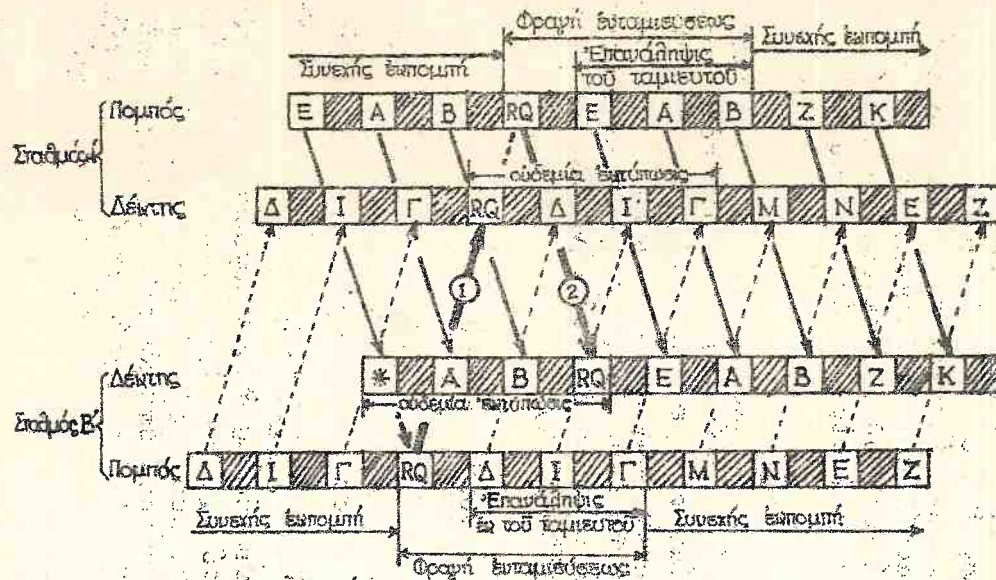
β) Εἴτε ληφθοῦν ὁρθῶς καί οἱ χαρακτήρες, οἱ ὁποῖοι περιλαμβάνονται εἰς τὸν κύκλον ἐπαναλήψεως.

Ἡ ἐκλογή τοῦ α ἢ β τρόπου ἐργασίας εἶναι εἰς τὴν διάθεσιν τῶν ἀνταποκρινομένων σταθμῶν.

Ἡ διάρκεια τοῦ κύκλου ἐπαναλήψεως ἐξαρτᾶται ἀπὸ τὸν χρόνον διαδρομῆς τῶν ἠλεκτρομαγνητικῶν κυμάτων μετὰ ξὺ τῶν δύο σταθμῶν Α καί Β. Εἰς τὴν περίπτωσιν τοῦ σχ. 193 ὁ κύκλος ἐπαναλήψεως περιλαμβάνει 4 χαρακτήρας (RQ+τρεῖς χαρακτήρας).

Ὅταν ὁ χρόνος διαδρομῆς εἶναι ἀρκετὰ μέγας (π.χ. μεγάλη ἀπόστασις μετὰξὺ Α-Β ἢ συνδυασμός ἀσυρματικῆς





\* Εσφαλμένος συνδυασμός

1' Απαίτησις - RQ

2' Επιβεβαίωσις - RQ

Σχ. 193. Διαδικασία επανάληψης εις σύστημα MUX

καί καλωδιακῆς ζεύξεως), τότε αὐξάνει ἡ διάρκεια τοῦ κύκλου ἐπαναλήψεως, ὅστις δέον ὅπως περιλαμβάνη 8 συνολικῶς χαρακτήρας. Εἰς τὴν περίπτωσιν αὐτὴν ὁ ταμιευτὴς τοῦ πομποῦ πρέπει νὰ ἔχη τὴν δυνατότητα ἐνταμιεύσεως 7 χαρακτήρων. Ἡ ἐξάρτησις τῆς διάρκειας τοῦ κύκλου ἐπαναλήψεως ἀπὸ τὸν χρόνον διαδρομῆς εἶναι προφανής. Π.χ. εἰς τὴν περίπτωσιν τοῦ σχ. 193, μέχρις ὅτου ὁ Β λάβῃ τὸ σῆμα RQ μεσολαβεῖ χρόνος ἱκανὸς διὰ τὴν μετάδοσιν 3 χαρακτήρων, οἱ ὅποιοι ὅμως δέν ἐκτυποῦνται διότι μόλις ληφθῇ ὁ ἐσφαλμένος συνδυασμὸς ἀμέσως διακόπτονται τὰ κυκλώματα ἐκπομπῆς καὶ λήψεως τοῦ τηλετύπου. Αἱ αὐταὶ ἐνέργειαι λαμβάνουν χώραν καὶ εἰς τὸν ἐναντι σταθμὸν Α ὅταν ληφθῇ τὸ σῆμα RQ.

Ἐκ τῶν 35 συνδυασμῶν τοῦ κώδικος τῶν 7 στοιχείων οἱ 32 διατίθενται διὰ τὴν γραφὴν κλπ. καὶ οἱ ὑπόλοιποι τρεῖς διὰ τὴν λειτουργίαν τῆς μεθόδου ARQ. Δηλαδή: Εἰς συνδυασμὸς διὰ τὴν αἴτησιν ἐπαναλήψεως (RQ), εἰς συνδυασμὸς διὰ τὴν ἐνδειξιν τῆς ἐλευθέρου συνδρομητικῆς γραμμῆς ("alpha" α) καὶ εἰς συνδυασμὸς διὰ τὴν ἐνδειξιν τῆς κατεilahμένης γραμμῆς ("beta" β).

### 30.2. Ὑπέρθεσις διὰ κατανομῆς χρόνου.

Αὕτη δύναται νὰ κατανοηθῇ εὐκολώτερον τῇ βοήθειᾳ τοῦ ἠλεκτρομηχανικοῦ MUX (σχ. 194). Ἐστὼ ὅτι ἐκ τῶν 4 διοδεύσεων Α, Β, Γ, Δ τοῦ σταθμοῦ Α πρόκειται νὰ ἐκπεμφθοῦν ἀντιστοιχῶς οἱ χαρακτήρες R, S, T καὶ U. Αἱ μεταγωγικαὶ ἐπαφαὶ 1 ἕως 7, αἱ ὁποῖαι ἐλέγχονται ὑπὸ διατρήτου ταινίας, ἔχουν λάβει θέσεις ἀντιστοιχοῦσας εἰς τὸν κώδικα 7 βημάτων (εἰς τὸ σχ. 194 ἔχουν σχεδιασθῇ αἱ ἐπαφαὶ 1 - 7 μόνον τῆς Α διοδεύσεως). Αἱ μεταγωγικαὶ ἐπαφαὶ συνδέονται πρὸς τὰς ἀκινήτους ἐπαφὰς τοῦ περιστροφικοῦ κατανομέως K<sub>1</sub>, τοῦ ὁποίου ὁ μεταγωγεὺς στρέφεται μέ τὴν αὐτὴν φάσιν καὶ ταχύτητα ὡς ὁ μεταγωγεὺς τοῦ κατανομέως K<sub>2</sub> εἰς τὸν σταθμὸν λήψεως Β.

Οἱ πεπολωμένοι ἠλεκτρονόμοι 1 ἕως 7 εἰς τὸν λαμβάνοντα σταθμὸν Β διεγείρονται ἀναλόγως πρὸς τὴν πολικότητα τοῦ σήματος (Z ἢ Α) καὶ ἐπομένως, μέσῳ τῶν ἀντιστοιχῶν μεταγωγικῶν ἐπαφῶν, οἱ ἀγωγοὶ 1 ἕως 7 θὰ ἀποκτήσουν δυναμικὸν Z ἢ Α συμφώνως πρὸς τὸν ἐκπεμφθέντα συνδυασμὸν.

Ὅπως φαίνεται εἰς τὸ σχ. 194, αἱ συνδέσεις ἐπὶ τῶν



εύξεως), τότε αυξάνει η διάρκεια του  
ως, οστις δέον όπως περιλαμβάνη 8 συνο-  
. Είς την περίπτωσιν αυτήν ο ταμιευτής  
είναι να έχη την δυνατότητα ένταμιεύσεως 7  
εξάρτησις της διάρκειας του κύκλου έπα-  
ν χρόνον διαδρομής είναι προφανής. Π.χ.  
είν του σχ. 193, μέχρις ότου ο Β λάβη τό-  
ετ χρόνος ικανός διά την μετάδοσιν 3 χα-  
οίτοι όμως δέν εκτυπούνται διότι μόλις λη-  
σ συνδυασμός άμέσως διακόπτονται τά κυ-  
καί λήψεως του τηλετύπου. Αί αυτά έ-  
ουν χώραν και είς τόν έναντι σταθμόν Α  
ήμα RQ.

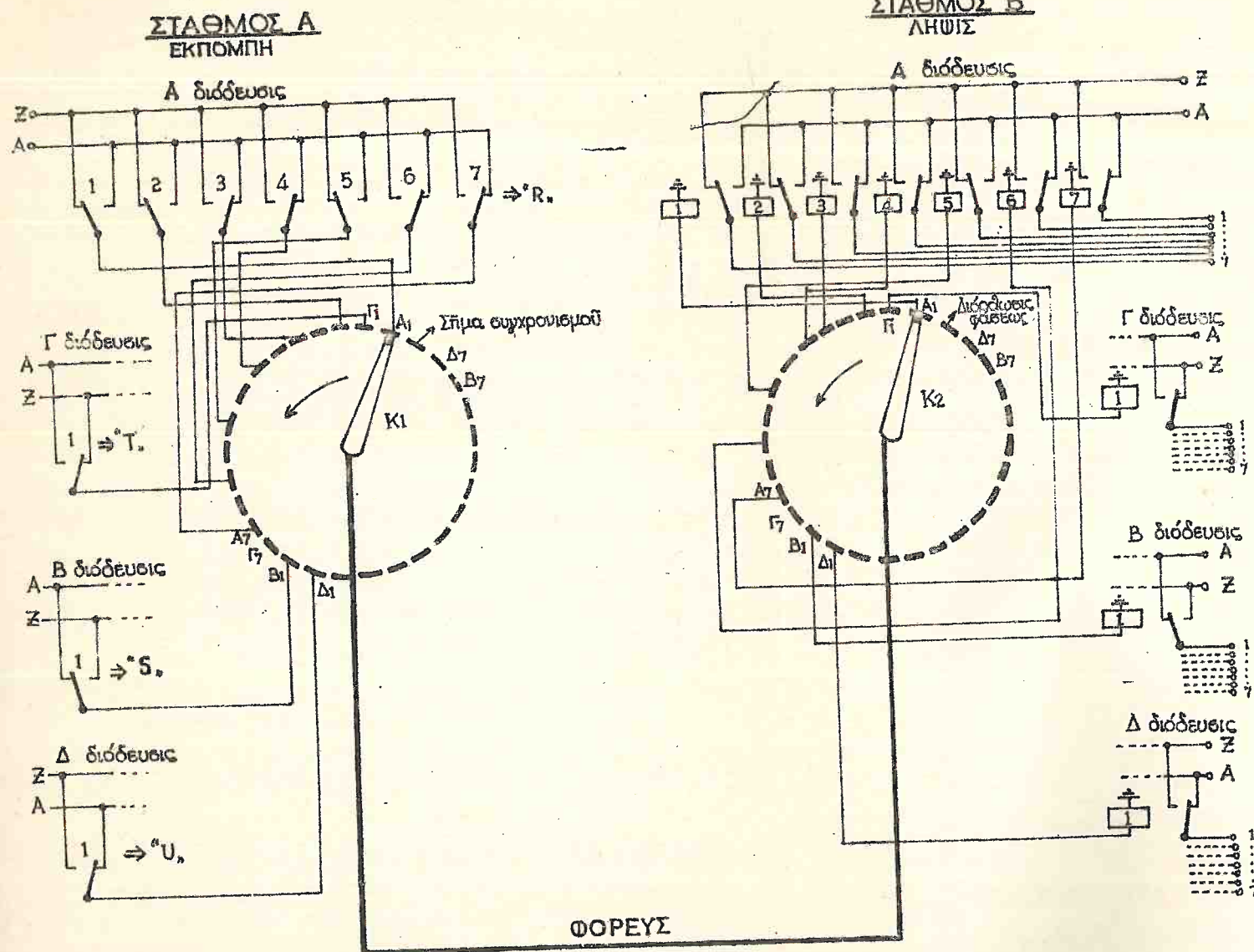
συνδυασμών του κώδικος των 7 στοιχείων  
αι διά την γραφήν κλπ. και οι υπόλοιποι  
ειτουργίαν της μεθόδου ARQ. Δηλαδή: Είς  
τήν αίτησιν επανάλήψεως (RQ), είς συνδυ-  
δειξιν της ελεύθερας συνδρομητικής γραμ-  
καί είς συνδυασμός διά την ένδειξιν της  
ραμμής ("beta" β).

διά κατανομής χρόνου.

αι να κατανοηθή εύκολώτερον τη βοηθεία  
νικού MUX (σχ. 194). "Εστω ότι εκ των 4  
, Γ, Δ του σταθμού Α πρόκειται να εκπεμ-  
ως οι χαρακτήρες R, S, T και U. Αί μετα-  
1 έως 7, αι όποιαι έλέγχονται υπό διατήρη-  
ουν λάβει θέσεις αντιστοιχούσας είς τόν  
ν (είς τό σχ. 194 έχουν σχεδιασθή αι έπα-  
της Α διόδευσεως). Αί μεταγωγικάί έπαφαί  
τάς ακινήτους έπαφάς του περιστροφικού  
του όποιου ο μεταγωγεύς στρέφεται μέ την  
ταχύτητα ως ο μεταγωγεύς του κατανομέως  
μόν λήψεως Β.

ένοι ηλεκτρονόμοι 1 έως 7 είς τόν λαμβά-  
διεγείρονται ανάλογως προς την πολικότη-  
(Ζ ή Α) και έπομένως, μέσω των αντιστοι-  
έπαφών, οι άγωγοί 1 έως 7 θα αποκτήσουν  
συμφώνως προς τόν εκπεμφθέντα συνδυασμόν.

ται είς τό σχ. 194, αι συνδέσεις επί των



Σχ. 194. Ηλεκτρομηχανικό MUX



ἐπαφῶν τῶν κατανομένων  $K_1$  καὶ  $K_2$  εἶναι τοιαῦται ὥστε νὰ μεταδίδονται ἀρχικῶς τὰ πρῶτα στοιχεῖα τοῦ ἐπταδικοῦ κώδικος τῶν 4 διοδεύσεων (μέ σειράν διαδοχῆς Α, Γ, Β, Δ), ἐν συνεχείᾳ τὰ δεύτερα στοιχεῖα κ.ο.κ.

Εἰς τό σχ. 195β δεικνύεται ἡ πολικότης τοῦ φορέως ὅταν τό σύστημα MUX περιλαμβάνει 4 διοδεύσεις. Αἱ διοδεύσεις Β, Γ, διὰ λόγους διαχωρισμοῦ τῶν 4 διοδεύσεων ἐκπέμπονται μέ ἀνεστραμμένην πολικότητα. Δηλαδή εἰς τὰς ἐν λόγω διοδεύσεις ὑφίστανται 4 στοιχεῖα πολικότητος Ζ καὶ 3 στοιχεῖα πολικότητος Α.

Ἐν σύστημα MUX 4 διοδεύσεων παράγεται διὰ συνθέσεως δύο συστημάτων δύο διοδεύσεων (diplex). Εἰς τὰ σχ. 195α καὶ 195γ δεικνύεται ἡ πολικότης τῆς ζεύξεως γραμμῆς διὰ λειτουργίαν 2 διοδεύσεων (διοδεύσεις Α, Β ἢ Γ, Δ ἀντιστοίχως).

Ἐχει καθορισθῇ διεθνῶς ὅτι ἡ διάρκεια μίᾳ πλήρους περιστροφῆς τοῦ κατανομέως δέον ὅπως ἀνέρχεται εἰς  $145 \frac{5}{6} \text{ ms}$  ἢ  $163 \frac{1}{3} \text{ ms}$ .

### 30.3. Περιγραφή συστήματος ELMUX 2/4D7.

Εἰς τό σχ. 196 ἀπεικονίζεται ἡ βασική διάρθρωσις ἐνός συστήματος MUX 4 διοδεύσεων. Ἐπειδὴ ἡ εἴσοδος τοῦ συστήματος MUX εἶναι διευθετημένη ὥστε νὰ δέχεται τηλεγραφικὰ σήματα 5 στοιχείων ἐν παραλλήλῳ, ὑπὸ σταθεράν ταχύτητα 50 Baud, διὰ τοῦτο μεταξύ συνδρομητῶν καὶ MUX παρεμβάλλονται τερματικά συσκευαί, αἱ ὁποῖαι ἐπιτελοῦν τὰς κάτωθι ἐργασίας ἀναλόγως.

#### α) Σύνδεσις μετὰ μηχανήματος ἐκπομπῆς διὰ διατρήτου ταινίας:

Ἡ σύνδεσις τοῦ μηχανήματος τούτου μετὰ τοῦ MUX πραγματοποιεῖται μέσῳ 5 ἀγωγῶν (ὑπάρχουν καὶ ἕτεροι βοηθητικοί ἀγωγοί) εἰς τοὺς ὁποίους ἐφαρμόζεται ἀνά ἐν στοιχεῖον τοῦ χαρακτῆρος. Ἐπομένως τὰ στοιχεῖα τοῦ συνδυασμοῦ ἀφικνοῦνται παραλλήλως καὶ ἐπειδὴ ἡ τάχυσ τις τοῦ μηχανήματος εἶναι 50 Baud, οὐσιαστικῶς αἱ τερματικαὶ συσκευαί εἰς τὴν περίπτωσιν αὐτήν, ἐπιτελοῦν δευτερεύουσις σηματοδότησιν (π.χ. σηματοδότησιν).





β) Σύνδεσις μετά μονίμων συνδρομητῶν.

Ἐνταῦθα ἡ ζεύξις ἐπιτυγχάνεται μέσω δύο βασικῶς ἀγωγῶν, ἐνῶ ὁ συνδρομητής εἶναι ἐφωδιασμένος διά μηχανήματος ἐκπομπῆς διά διατρήτου ταινίας. Εἰς τὴν περίπτωσιν αὐτὴν αἱ τερματικαὶ συσκευαὶ μετατρέπουν τὰ ἐν σειρᾷ ἀφικνούμενα σήματα εἰς σήματα ἐν παραλλήλῳ.

γ) Σύνδεσις μετά συνδρομητῶν Telex.

Ἐνταῦθα ὑφίσταται ζεύξις διά δύο ἀγωγῶν, ἐνῶ ὁ συνδρομητής ἐκπέμπει διά τοῦ πομποῦ τοῦ τηλετύπου του. Αἱ τερματικαὶ διατάξεις ἀφ' ἑνὸς μὲν μετατρέπουν τὰ ἐν σειρᾷ σήματα εἰς ἐν παραλλήλῳ, ἀφ' ἑτέρου δέ διαθέτουν διάταξιν ἀποθμεύσεως (δυνατότης ἐνταμיעύσεως 4000 χαρακτήρων), εἰς τὴν ὁποίαν ἐνταμיעύονται τὰ λαμβανόμενα σήματα καὶ ἐν συνεχείᾳ ἀποστέλλονται εἰς τὴν διόδευσιν MUX ὑπὸ ταχύτητα 50 Baud.

Τὸ σύστημα ELMUX δύναται νὰ διαιρεθῇ εἰς τὰς διατάξεις ἐκπομπῆς καὶ λήψεως τῶν διοδεύσεων, εἰς τοὺς κατανομεῖς ἐκπομπῆς καὶ λήψεως καὶ εἰς τὰς κεντρικὰς διατάξεις.

30.3.1. Ὁδὸς ἐκπομπῆς.

Ἡ στιγμὴ ἀφίξεως τῶν σημάτων εἰς τὸν μετατροπέα 5/7 καθορίζεται ἀπὸ τὴν διάταξιν ἐκκινήσεως (Δ.Ε.), ἡ ὁποία μεταβιβάζει, δι' ἰδιαιτέρων ἀγωγῶν, τὴν σχετικὴν ἐντολὴν ἀποστολῆς εἰς τὰς τερματικὰς συσκευὰς ἢ εἰς τὸ μηχανήμα ἐκπομπῆς διά διατρήτου ταινίας.

Ὁ μετατροπέας 5/7, μετατρέπει τὰ ἐν παραλλήλῳ ἀφικνούμενα σήματα τοῦ κώδικος τῶν 5 στοιχείων εἰς σήματα τοῦ κώδικος τῶν 7 στοιχείων. Εἰς τὸν ἐν λόγῳ κώδικα ἡ διάρκεια ἐκάστου στοιχείου εἶναι:

$$\frac{145 \frac{5}{6} \text{ ms}}{14 \text{ βήματα}} \approx 10,42 \text{ ms}$$

Συνεπῶς ἡ ταχύτης βήματος (τηλεγραφικὴ ταχύτης) θά εἶναι:

$$U_s \approx \frac{1}{10,42 \cdot 10^{-3} \text{ sec}} \approx 96 \text{ Bd}$$

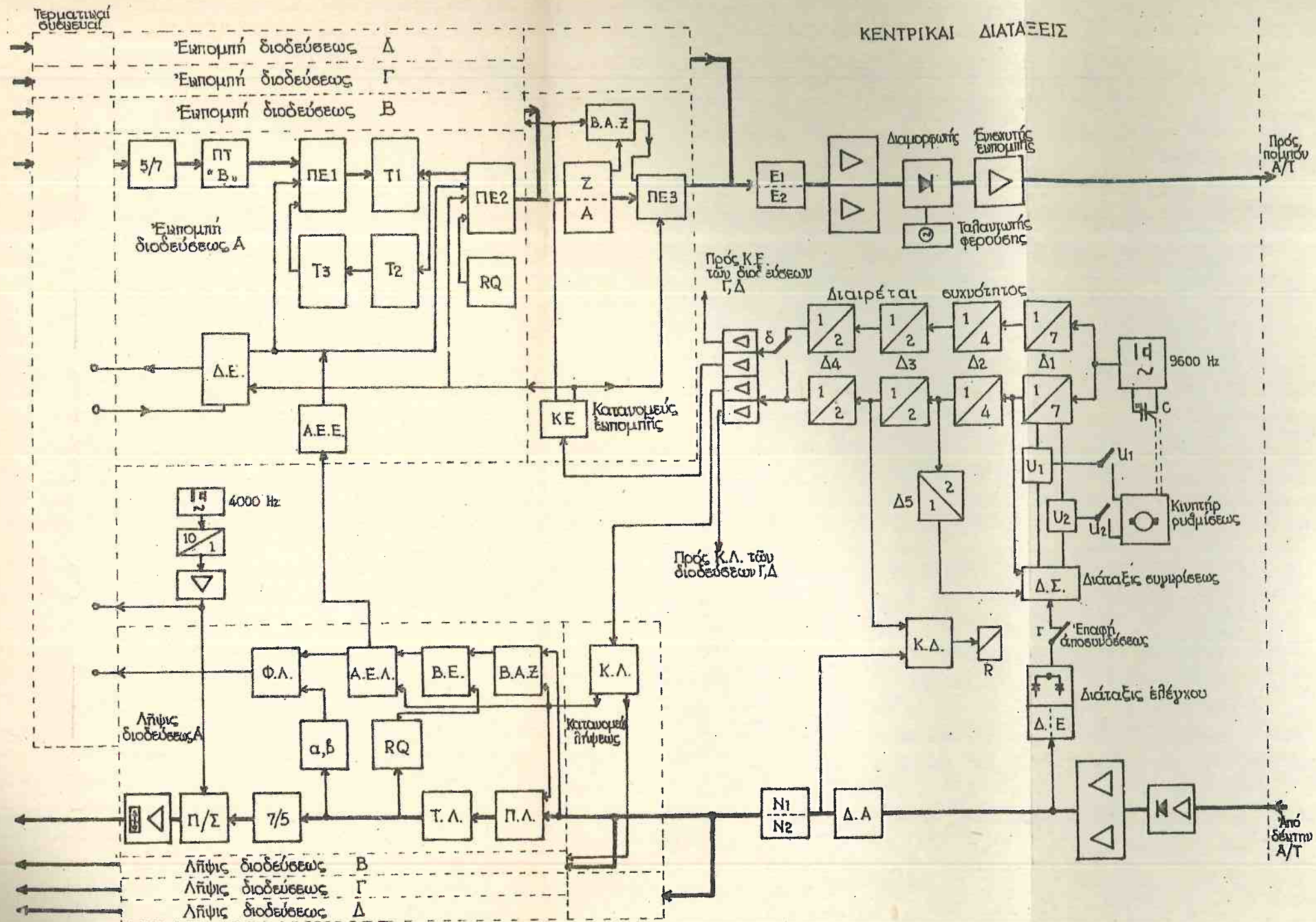


Όταν όμως δύο συστήματα *diplex* συνεργάζονται διά να αποτελέσουν έν σύστημα 4 διοδεύσεων, τότε ή διάρκεια εκάστου στοιχείου περιορίζεται εις τά 5,2 ms καί επομένως ή  $U_s \approx 192 \text{ Bd}$ .

Είς τήν πραγματικότητα, εις τήν έξοδον τοῦ μετατροπέως 5/7 ἐμφανίζονται έν παραλλήλῳ 6 παλμοί καί ὁ ἔξδομος παλμός προστίθεται ἐκ τῶν ὑστέρων ἀπό τήν βαθμίδα ἀπαριθμήσεως τῶν παλμῶν Z (B.A.Z.). Δηλαδή ή έξοδος τοῦ μετατροπέως 5/7 συνδέεται μέ τήν εἴσοδον τῆς ἐπομένης βαθμίδος τοῦ προταμιευτοῦ (ΠΤ) διά 6 ἀγωγῶν. Ἐπίσης τά σήματα εις τήν έξοδον τοῦ μετατροπέως 5/7 δέν ἀντιστοιχοῦν εις τόν κώδικα τῶν 7 στοιχείων ἀλλά ταῦτα συνδυάζομενα μετά τῶν στοιχείων τοῦ χαρακτῆρος "β", ὁ ὁποῖος εἶναι μονίμως ἐνταμιευμένος εις τόν ΠΤ, δίδουν εις τήν έξοδον τοῦ ΠΤ τόν σωστόν συνδυασμόν. Ἡ ἐκ νέου ἐνταμιευσίς χαρακτῆρος εις τόν ΠΤ καθορίζεται χρονικῶς ἀπό τόν κατανομέα ἐκπομπῆς (ΚΕ). Ὁ προταμιευτής ΠΤ ἐκπέμπει τόν ἐνταμιευμένον χαρακτήρα πρὸς τήν πύλην ἐκπομπῆς 1 (ΠΕ1) ὅταν εις τήν εἴσοδόν του ἀφικθῇ νέος χαρακτήρ. Ἐν συνεχείᾳ ὁ συνδυασμός ἀφικνεῖται εις τόν ἐνταμιευτήν  $T_1$ , ἐνῶ ταυτοχρόνως ὁ συνδυασμός, ὁ ὁποῖος ἦταν ἀποθηκευμένος εις τόν ταμιευτήν  $T_1$ , μεταφέρεται εις τόν ταμιευτήν  $T_2$  καί ὁ συνδυασμός τοῦ  $T_2$  μεταφέρεται εις τόν  $T_3$ . Κανονικῶς ἐχόντων τῶν πραγμάτων διαλύεται ὁ συνδυασμός, ὁ ὁποῖος ἦταν ἀποθηκευμένος εις τόν  $T_3$ , δεδομένου ὅτι διά τήν διαδικασίαν τῆς ἐπαναλήψεως ἀπαιτεῖται ή διαφύλαξις τῶν τριῶν ἐκαστοτε τελευταίων συνδυασμῶν.

Ἡ πύλη ἐκπομπῆς 2 (ΠΕ2), καθοδηγούμενη ἀπό τόν κατανομέα ἐκπομπῆς, λαμβάνει τά στοιχεῖα τοῦ συνδυασμοῦ ἀπό τήν έξοδον τοῦ  $T_1$  κατὰ χρονικήν διαδοχήν καί επομένως τά σήματα μεταδίδονται έν σειρᾷ πλέον πρὸς τήν βαθμίδα ἀναπαραγωγῆς τῶν παλμῶν (πολυδονήτης) Z/A. Εἰς τήν βαθμίδα ταύτην ἀφικνοῦνται έν σειρᾷ καί τά σήματα τῆς ἐτέρας διοδεύσεως τοῦ *diplex*.

Ἡ βαθμὶς B.A.Z ἀπαριθμεῖ τά σήματα πολικότητας Z ἀμφοτέρων τῶν διοδεύσεων τοῦ *diplex* καί ἐάν μεταξύ 6 στοιχείων εὑρεθοῦν 2 στοιχεῖα πολικότητας Z προσθέτει τό ἑλλεῖπον. Ἐάν εὑρεθοῦν 3 στοιχεῖα Z τότε προσθέτει έν στοιχεῖον πολικότητας A. Τελικῶς, εις τήν έξοδον τῆς πύλης ἐκπομπῆς 3 ἐκαστός συνδυασμός ἀποτελεῖται ἀπό 7 στοιχεῖα ὑπὸ λόγον 4:3. Εἰς τήν εἴσοδον τῆς βαθμίδος τοῦ πολυδονητοῦ  $E_1/E_2$  συνδέεται καί ή έξοδος τοῦ ἐτέ-





ρου duplex (διοδεύσεις Γ, Δ). Ακολουθεί ενισχυτής των σημάτων συνεχούς ρεύματος και ο διαμορφωτής. Έντα τά σήματα ταῦτα μετατρέπονται εἰς διακοπὰς ἢ ἀπαταστάσεις μὲς φερούσης συχνότητος.

Αἱ ἀντίστοιχοι διαδικασίαι λαμβάνουν χώραν καὶ διὰ τὴν διοδευσιν Β, ὑπὸ χρονικὴν ὁμῶς μετατόπισιν ἴσην πρὸς τὸ ἥμισυ τῆς πλήρους περιόδου τοῦ κατανεμῶς ἐμπομπῆς. Εἰς τὴν ἀντίστοιχον βεβαίως χρόνον, αἱ βαθμίδες Ζ/Α, ΠΕ3 καὶ Β.Α.Ζ δὲν καταλαμβάνονται ὑπὸ τῆς Α διοδεύσεως, δεδομένου ὅτι αὗται εἶναι κοιναὶ διὰ ἀμφότερας τὰς διοδεύσεις τοῦ duplex.

Ὅταν ὑπὸ τοῦ ἑναντι κέντρου ἀποσταλῇ σῆμα ἐπαναλήψεως RQ, τότε ὑπὸ τοῦ ἀπαριθμητοῦ ἐπαναλήψεως λήψεως (Α.Ε.Α.) δίδεται σχετικὴ ἐντολή εἰς τὸν ἀπαριθμητὴν ἐπαναλήψεως ἐμπομπῆς (Α.Ε.Ε.), ὁ ὁποῖος ἐκκινεῖ τὰς ἀκολουθοῦσας διαδικασίας:

α) Φράσσεται ἡ διάταξις ἐκκινήσεως (Α.Ε.) καὶ οὕτω δὲν ἀποστέλλονται αἱ σχετικαὶ ἐντολαὶ ἐμπομπῆς σημάτων πρὸς τὸ μηχανήμα ἐμπομπῆς διὰ διατρήτου ταινίας ἢ τὰς τερματικὰς συσκευάς. Συνεπῶς πρὸς τὸν πρῶταμιευτὴν ΠΤ δὲν ἀποστέλλονται νέα σήματα κατὰ τὴν διάρκειαν τῆς ἐπαναλήψεως.

β) Διεγείρεται ἡ πύλη ἐμπομπῆς 2 (ΠΕ2) ὥστε νὰ ἀποσταλῇ σῆμα RQ.

γ) Διεγείρεται ἡ πύλη ἐμπομπῆς 1 (ΠΕ1) ὥστε νὰ ἀποσταλοῦν τὰ σήματα, τὰ ὁποῖα εἶχον ἀποθηκευθῇ εἰς τοὺς ταμιευτὰς Τ<sub>1</sub>, Τ<sub>2</sub>, Τ<sub>3</sub>.

Ἡ ἐπαναλήψις τῶν ἐν λόγω σημάτων λαμβάνει χώραν συνεχῶς μέχρις ὅτου διακοπῇ ἢ ἀποστολῇ τοῦ σήματος RQ ἀπὸ τὸν ἑναντι σταθμόν.

### 30.3.2. Ὁδὸς λήψεως.

Τὰ σήματα ἐκ τοῦ ἑναντι πομποῦ ἀφοῦ μετατραποῦν εἰς σήματα συνεχοῦς ρεύματος, ἐνισχυθοῦν καὶ ἀναπαραχθοῦν, κατανέμονται εἰς τὰς ἀντιστοίχους διοδεύσεις μέσῳ τῆς πύλης λήψεως (Π.Λ.).



Τά σήματα ταῦτα εἰσάγονται εἰς τὴν πύλην λήφews (Π.Λ.) ἐν παραλλήλῳ καὶ ἐν συνεχείᾳ ἀποθηκεύονται, ὁμοίως ἐν παραλλήλῳ, εἰς τὸν ταμειυτὴν λήφews (Τ.Λ.).

Ταυτοχρόνως τὰ σήματα τῆς διοδεύσεως εἰσάγονται εἰς τὴν βαθμίδα ἀπαριθμήσεως παλμῶν Z (B.A.Z.), ἡ ὁποία ἀπαριθμεῖ μόνον τὰ βήματα Z. Τὸ ἀποτέλεσμα τῆς μετρήσεως εἰσάγεται εἰς τὴν βαθμίδα ἐλέγχου (B.E.), ἡ ὁποία εἰς περίπτωσιν λήφews ἐσφαλμένου λόγου 4:3 διεγείρει τὴν βαθμίδα τοῦ ἀπαριθμητοῦ ἐπαναλήφews λήφews (A.E.A.). Ἡ βαθμὶς αὕτη ἀφ' ἐνός μὲν διεγείρει τὸν A.E.E. ἀφ' ἑτέρου δέ διεγείρει τὴν βαθμίδα φραγῆς λήφews (Φ.Λ.), διὰ τῆς ὁποίας διακόπτεται ἡ ὁδὸς λήφews πρὸς τὸ τηλέτυπον.

Ἡ βαθμὶς A.E.A. εἶναι ἐπίσης δυνατόν νά διεγερθῇ ὑπὸ τῆς βαθμίδος ἐλέγχου (B.E.) ὅταν ληφθῇ σῆμα RQ. Ἐπίσης ἡ βαθμὶς φραγῆς λήφews (Φ.Λ.), διεγείρεται ὅταν ληφθῇ εἰς τῶν χαρακτήρων "α", "β".

Ἐάν δέν συμβῇ μία ἐκ τῶν ἀνωτέρω μνημονευομένων περιπτώσεων (δηλαδή ὁ λόγος 4:3 εἶναι σωστός καὶ δέν ἐλήφθη σῆμα RQ, "α" ἢ "β"), τότε τὰ σήματα ἐκ τοῦ ταμειυτοῦ λήφews (Τ.Λ.), ὁδηγοῦνται εἰς τὸν μετατροπέα κώδικος 7/5 καὶ εἰς τὸν μετατροπέα τῶν ἐν παραλλήλῳ σημάτων εἰς σήματα σειρᾶς (Π/Σ), εἰς τὸν ὁποῖον προστίθενται ἐπίσης καὶ τὰ στοιχεῖα ΕΚΚΙΝΗΣΕΩΣ καὶ ΣΤΑΣΕΩΣ. Ἀκολουθεῖ βαθμὶς ἐνισχύσεως, εἰς τὴν ἔξοδον τῆς ὁποίας ἐμφανίζονται κανονικὰ σήματα συμφώνως πρὸς τὸν κώδικα No 2.

### 30.3.3. Κεντρικαὶ διατάξεις - ἀρχὴ τοῦ συγχρονισμοῦ.

Ὅλαι αἱ λειτουργίαι τοῦ συστήματος λαμβάνουν χώραν εἰς προκαθορισμένους χρόνους τῇ βοηθείᾳ καθοδηγητικῶν παλμῶν. Συνολικῶς ἀπαιτοῦνται παλμοὶ 4 διαφορετικῶν συχνοτήτων, οἱ ὁποῖοι παράγονται διὰ καταλλήλου διαιρέσεως τῆς συχνότητος ἐνός κρυσταλλικοῦ ταλαντωτοῦ 9600 Hz.

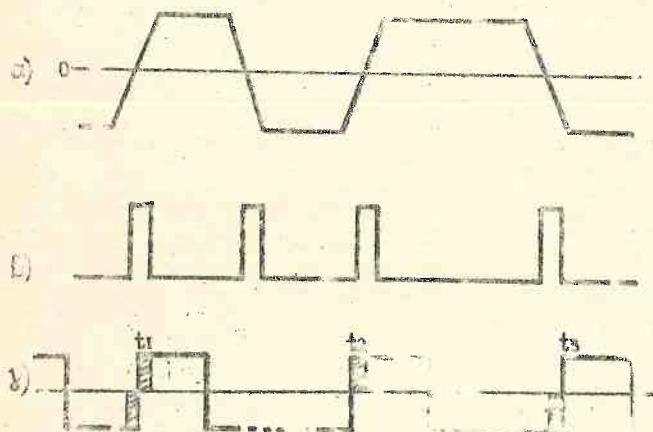
Διὰ νά ὑπάρξῃ συγχρονισμός εἰς τὰς λειτουργίας τῶν δύο ἀνταποκρινομένων σταθμῶν, ὁ εἰς χαρακτηρίζεται ὡς κύριος καὶ ὁ ἕτερος ὡς διευθυνόμενος. Εἰς τὸν κύριον σταθμόν, ὁ διακόπτης δ (σχ. 198) εἶναι εἰς τὴν ἄνω θέσιν καὶ οὕτως ἡ ἄνω σειρά τῶν διαιρετῶν τροφοδοτεῖ διὰ παλμῶν τοὺς κατανομεῖς ἐκπομπῆς τῶν 4 διοδεύσεων, ἐνῶ ἡ κάτω σειρά τροφοδοτεῖ τοὺς κατανομεῖς λήφews.

Ἡ συχνότης 9600 Hz διαιρεῖται διὰ 112 ( $7 \times 4 \times 2 \times 2$ ) καὶ συνεπῶς οἱ παλμοὶ ἔχουν συχνότητα

$$85 \frac{5}{7} \text{ Hz}$$

Εἰς τὸν διευθυνόμενον σταθμὸν, ὁ διακόπτης δ τίθεται εἰς τὴν κάτω θέσιν καὶ οὕτως οἱ κατανεμηταὶ ἐκπομπῆς καὶ λήψεως τροφοδοτοῦνται ὑπὸ τῆς ἀλύσεως τῶν κάτω διαίρετῶν, οἱ ὅποιοι συγχρονίζονται ἐκ τοῦ κυρίου σταθμοῦ, ὡς κατωτέρω.

Εἰς ἀμφοτέρους τοὺς σταθμοὺς οἱ παλμοὶ διὰ τὰς διοδεύσεις Γ, Δ εἶναι μετατοπισμένοι κατὰ  $180^\circ$  ἐν σχέσει πρὸς τοὺς παλμοὺς τῶν διοδεύσεων Α, Β.



- α) Σῆμα λήψεως  
 β) Παλμοὶ συγχρονισμοῦ παραγόμενοι κατὰ τὴν διέλευσιν τοῦ σήματος ἀπὸ τό 0.  
 γ) Ὁρθογωνικοὶ παλμοὶ προερχόμενοι ἀπὸ τὸν διαιρέτην συχνότητος.

Σχ. 197

Διὰ τὸν συγχρονισμόν τοῦ διευθυνομένου σταθμοῦ χρησιμοποιοῦνται οἱ λαμβανόμενοι παλμοί, οἱ ὅποιοι μετὰ τὸν ἐνισχυτὴν παλμῶν ὁδηγοῦνται εἰς διάταξιν ἐλέγχου, ἥτις ἐκ τῶν παλμῶν διπλοῦ ρεύματος (σχ. 197α), παράγει παλμοὺς



μιάς φορές εις εκάστην διάβασιν των παλμών διπλού ρεύματος διά του μηδενός (σχ. 197β). Οι παλμοί ούτοι οδηγούνται εις τήν διάταξιν συγκρίσεως, εις τήν οποίαν οδηγούνται καί οι ὀρθογωνικοί παλμοί ἀπό τήν ἔξοδον τοῦ διαιρέτου Δ<sub>5</sub> (σχ. 197γ). Ἐάν τό μέσον τῶν παλμῶν συγχρονισμοῦ σὺμπέσῃ μέ τήν ἐναλλαγὴν μεταξύ ἀρνητικοῦ καί θετικοῦ παλμοῦ (χρονική στιγμή  $t_2$ ), τότε οὐδεμία τάσις παράγεται ὑπό τῆς διατάξεως συγκρίσεως (Δ.Σ.).

Ἐάν οἱ παλμοί συγχρονισμοῦ ἐμφανισθοῦν μέ καθυστέρησιν ( $t_2$ ), τότε παράγεται θετική τάσις, ἐνῷ εἰάν ἐμφανισθοῦν μέ προπορείαν ( $t_2$ ), παράγεται ἀρνητική τάσις. Ἀναλόγως πρὸς τήν πολικότητα τῆς παραγομένης τάσεως διαγείρεται ἡ μία ἐκ τῶν βαθμίδων ἐλέγχου  $U_1$  ἢ  $U_2$  ἡ ὁποία ἐξαναγκάζει τὸν διαιρέτην Δ<sub>1</sub> νά ἐκτελέσῃ διαίρεσιν 1:6 ἢ 1:8 ἀντὶ τῆς κανονικῆς 1:7. Λόγω τῆς ἀποτόμου ταύτης μεταβολῆς τῆς διαιρέσεως, ἡ φάσις τῆς συχνότητος τοῦ διαιρέτου Δ<sub>1</sub> μεταβάλλεται κατὰ  $\pm 1/7$  τῆς περιόδου τοῦ Δ<sub>1</sub> ἡ ὁποία ἀντιστοιχεῖ εἰς μετατόπισιν τῆς φάσεως τῶν παλμῶν ἐξόδου κατὰ  $\pm 1,8\%$  τῆς διάρκειας τοῦ στοιχείου (εἰς λειτουργίαν 4 διόδεύσεων). Ἡ διαδικασία αὕτη ἐπαναλαμβάνεται μέχρις ὅτου ἐπέλθῃ πλήρης συγχρονισμός τῶν δύο σταθμῶν.

Ἐάν μεταξύ τῶν κρυσταλλικῶν γεννητριῶν τῶν δύο σταθμῶν ὑφίστατο διαφορὰ συχνότητος, θά ἦτο δυνατόν νά ἐξισοῦτο αὕτη συνεχῶς διά τακτικῶν μετατοπίσεων φάσεως τοῦ διαιρέτου Δ<sub>1</sub>. Διὰ νά ἀποφευχθῇ τοιαύτη διαδικασία διορθώσεως, αἱ βαθμίδες ἐλέγχου  $U_1$  καί  $U_2$  θέτουν, μέσω τῶν ἐπαφῶν  $u_1$ ,  $u_2$  εἰς ἀριστερόστροφον ἢ δεξιόστροφον κίνησιν τὸν κινητήρα Μ, ὅστις τροποποιεῖ τήν θέσιν τοῦ δρομέως εἰς τὸν μεταβλητὸν πυκνωτὴν C τοῦ κρυσταλλικοῦ ταλαντωτοῦ.

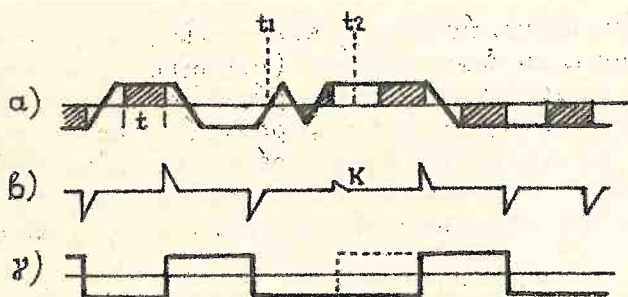
#### 30.3.4. Διάταξις ἀναπαραγωγῆς τῶν παλμῶν - ἀποσυνδέσεως συγχρονισμοῦ.

Ἐπειδὴ τό σῆμα εἰς τήν ἔξοδον τοῦ ἐνισχυτοῦ συνεχοῦς ρεύματος εἶναι βεβαρυμένον διά παραμορφώσεων, πρέπει πρὸ τῆς ἀποσυνδέσεώς του εἰς τὸν κατανομέα λήψεως νά ἀναπαραχθῇ. Τοῦτο ἐπιτυγχάνεται ὑπό τῆς διατάξεως ἀναπαραγωγῆς (Δ.Α.), ἡ ὁποία παράγει ὀδοντωτοὺς παλμούς, πολικότητος ὁμοίας μέ ἐκείνην τῶν παλμῶν τοῦ σήματος (σχ. 198β). Τό πλάτος ὁμοῦς τῶν ὀδοντωτῶν παλμῶν λαμβά-



νει τήν κανονικὴν τιμὴν ἐάν τὸ πλάτος τοῦ ἀντιστοίχου παλμοῦ τοῦ σήματος διατηρεῖται σταθερόν ἐπὶ τὸ τουλάχιστον χρόνον (σχ. 198α). Π.χ. μεταξύ  $t_1$ - $t_2$  τὸ σῆμα ἔφθασεν ἐσφαλμένον καὶ δι' αὐτὸ παρήχθη ὁ μικροῦ πλάτους παλμός Κ. Οἱ ὀδοντωτοὶ παλμοὶ χρησιμοποιοῦνται διὰ τὴν διέγερσιν τοῦ πολυδονητοῦ  $N_1/N_2$ , ὁ ὁποῖος παράγει ἕνα ὀρθογωνικόν παλμόν ἕνα ἑκαστον ὀδοντωτόν (σχ. 198γ). Ὅταν ὁμως φθάσῃ ὁ παλμός Κ, λόγω τοῦ μικροῦ τοῦ πλάτους δέν ἀνατρέπεται ἡ κατάστασις τοῦ πολυδονητοῦ, ὅστις ἐξακολουθεῖ καὶ παράγει ἀρνητικόν παλμόν. Οὕτω, πρὸς τὸν κατανομέα λήψεως ὁδηγεῖται ἐσφαλμένον σῆμα, τὸ ὁποῖον ἀναγνώριζεται ἐκ τοῦ ἀσφαλοῦς ὥστε νά ἐκκινήσῃ ἡ διαδικασία ἐπαναλήψεως (σῆμα RQ κ.λ.π.).

Ἡ ἄφιξις ὁμως ἐσφαλμένων σημάτων ὁδηγεῖ καὶ εἰς συνεχῆ ἀπασχόλησιν τῶν διατάξεων συγχρονισμοῦ, διότι ἐκαστὴ ἐσφαλμένη ἀλλαγὴ εἰς τὴν πολικότητα τοῦ σήματος παράγει καὶ ἕνα παλμόν συγχρονισμοῦ.



Σχ. 198

Ὅταν ἡ συχνότης ἐμφάνισεως ἐσφαλμένων σημάτων εἶναι μεγάλη τότε εἶναι σκόπιμος ἡ διακοπὴ τῆς λειτουργίας αὐτῶν διατάξεων συγχρονισμοῦ. Πρὸς τοῦτο οἱ ὀδοντωτοὶ παλμοὶ ἀπὸ τὴν διάταξιν ἀναπαραγωγῆς ὁδηγοῦνται εἰς τὸ κύκλωμα δοκιμῆς (Κ.Δ.), εἰς τὸ ὁποῖον ἐπίσης ὁδηγεῖται καὶ ἡ ἔξοδος τοῦ διαιρέτου  $\Delta_2$ . Τὸ κύκλωμα δοκιμῆς εἶναι εἰς πολυδονητὴς με δύο εἰσόδους, ὁ ὁποῖος ταλαντοῦται συνεχῶς ὅταν οἱ ὀδοντωτοὶ παλμοὶ ἔχουν ἱκανὸν πλάτος. Οἱ ὀρθογωνικοὶ παλμοὶ τοῦ διαιρέτου  $\Delta_2$  ὁδηγοῦν τὸν πολυδονητὴν εἰς τὴν ἡρεμίαν, οἱ ὀδοντωτοὶ εἰς θέρσιν ἐργασίας

κ.ο.κ. "Όταν όμως άφικνούνται παλμοί μικρού πλάτους (όπως δ K εις τό σχ. 198β), ο πολυδονητής παραμένει εις θέσιν ήρεμίας, διότι οι παλμοί ούτοι δέν είναι ικανοί νά τοῦ άνατρέφουν τήν κατάστασιν.

Εις τήν θέσιν ήρεμίας τοῦ πολυδονητοῦ φορτίζεται εις πυκνωτής, τοῦ οποίου ή τάσις, μετά τήν άφίξιν άρκετῶν παλμῶν μικροῦ πλάτους, άνέρχεται εις τοιαύτην τιμήν ὥστε νά διεγερθῇ, κατόπιν σχετικῆς ένισχύσεως, ο ρωστήρ R. 'Η έπαφή τούτου r (σχ. 196) άποσυνδέει τά κυκλώματα συγχρονισμοῦ.

## VII. ΜΕΤΑΔΟΣΙΣ ΔΟΤΩΝ.

### 31.1. Είσαγωγή

Δοτά, είναι κωδικοποιημένα, υπό ψηφιακήν μορφήν, πληροφορίες, μεταδιδόμεναι, συνήθως, υπό μεγάλην ταχύτητα.

Εις τήν τεχνικήν τῆς έπεξεργασίας τῶν δοτῶν (data), μέσω ηλεκτρονικῶν ὑπολογιστῶν (computer), άποκτᾷ συνεχῶς μεγαλυτέραν σημασίαν ή εις μακράς άποστάσεις μετάδοσις τῶν δοτῶν. Τοῦτο διότι ο ηλεκτρονικός ὑπολογιστής μιᾷς υπηρεσίας π.χ. μιᾷς τραπεζῆς πρέπει νά είναι εις θέσιν νά λαμβάνη καί νά άποστέλῃ πληροφορίας πρὸς τά διάφορα Ὑποκαταστήματα εις ελάχιστον, πρακτικῶς, χρόνον.

Γενικῶς, ή έπεξεργασία τῶν δοτῶν λαμβάνει χῶραν εις τρεῖς φάσεις:

- Συγκέντρωσις τῶν δοτῶν ενός άπομεμακρυσμένου Ὑποκαταστήματος καί μετάδοσις των πρὸς τόν ηλεκτρονικόν ὑπολογιστήν.

- Επεξεργασία τῶν δοτῶν υπό τοῦ ὑπολογιστοῦ.

- Μετάδοσις τῶν αποτελεσμάτων τῆς έπεξεργασίας πρὸς τό Ὑποκατάστημα.

Εις τήν μετάδοσιν τῶν δοτῶν διακρίνονται δύο περιπτώσεις:

α) Αί πληροφορίες μεταβιβάζονται πρὸς τόν ὑπολογι-



στήν άνευ καθυστερήσεως, εϋθύς ως άφίχθουν εις τό 'Υποκατάστημα.

β) Συγκεντροϋνται αι πληροφορίαι ενός συγκεκριμένου χρονικοϋ διαστήματος και μεταβιβάζονται εις εϋθετον χρονον.

Εις την πρώτην περίπτωσιν ή γραμμή πρέπει νά ευρίσκειται συνεχώς εις την διάθεσιν τοϋ αποστολέως, ενώ εις την δευτέραν, ή γραμμή διατίθεται εις άλλας χρήσεις και χορηγεΐται εις τόν αποστολέα τῇ αΐτήσει του.

Η τεχνική τῆς μεταδόσεως δοτῶν ασχολεΐται μέ την ταχείαν και ασφαλή μετάδοσιν τῶν πληροφοριῶν υπό ψηφιακήν μορφήν.

### 31.2. Μέθοδοι μεταδόσεως.

Εν εκ τῶν σπουδαιοτέρων προβλημάτων εις την μετάδοσιν δοτῶν εΐναι ή εξεύρεσις τοϋ προσφορωτέρου συστήματος μεταδόσεως προκειμένου νά επιτευχθῇ μεγίστη ροή πληροφοριῶν υπό χαμηλόν συντελεστήν εμφανίσεως λαθῶν. Πρός τοϋτο υφίστανται δύο μέθοδοι μεταδόσεως:

α) Μετάδοσις έν σειρᾷ: Χαρακτηρίζεται εκ τοϋ ότι ὅλα τά στοιχεΐα εκ τῶν ὁποίων ἀπαρτίζεται έν σῆμα, κωδικοποιημένον κατά τό δυαδικόν σύστημα, μεταβιβάζονται εις διαδοχικά χρονικά διαστήματα. Εις τό σχ. 199 δεικνύεται ή περίπτωσις έν σειρᾷ μεταδόσεως ενός σήματος (υπό δυαδικήν μορφήν). Τό σῆμα, αποτελούμενον ἐξ 7 στοιχείων εΐσάγεται εις τόν διαμορφωτήν συχνότητος. Εις την έξοδον τούτου εμφανίζεται σῆμα αποτελούμενον εκ τῶν χαρακτηριστικῶν συχνότητων  $F_1$  (ἀντιστοιχεΐ εις παλμόν 1) και  $F_2$  (0).

β) Μετάδοσις έν παραλλήλῳ. Εις την έν παραλλήλῳ μετάδοσιν, εις συγκεκριμένους ἀριθμός στοιχείων, π.χ. τά στοιχεΐα ενός σήματος data, μεταδίδεται ταυτοχρόνως. Εις τό σχ. 200 δεικνύεται έν σχετικόν παράδειγμα. Οί ἀναζητηταί τῆς διατρήτου ταινίας ὁδηγοῦν τάς ἐπαφάς 1-8. Όταν υφίσταται ὁπῇ εις την διάτρητον ταινίαν (ἀντιστοιχεΐ μέ "1"), ή ἀντίστοιχος ἐπαφή κλείει. Ἀντιθέτως ή ἐπαφή παραμένει ἀνοικτή, όταν δέν ὑπάρχει ὁπῇ (ἀντιστοιχεΐ μέ "0"). Ἐκαστον κύκλωμα ταλαντώσεων συνεργάζεται μέ δύο



κ.ο.κ. "Όταν όμως άφικνούνται παλμοί μικροῦ πλάτους (όπως δ Κ εἰς τό σχ. 198β), ὁ πολυδονητής παραμένει εἰς θέσιν ἡρεμίας, διότι οἱ παλμοί οὗτοι δέν εἶναι ἱκανοί νά τοῦ ἀνατρέφουν τήν κατάστασιν.

Εἰς τήν θέσιν ἡρεμίας τοῦ πολυδονητοῦ φορτίζεται εἰς πυκνωτής, τοῦ ὁποῖου ἡ τάσις, μετὰ τήν ἀφίξιν ἀρκούντων παλμῶν μικροῦ πλάτους, ἀνέρχεται εἰς τοιαύτην τιμήν ὥστε νά διεγερθῇ, κατόπιν σχετικῆς ἐνισχύσεως, ὁ ρωστήρ R. Ἡ ἐπαφή τούτου r (σχ. 196) ἀποσυνδέει τά κυκλώματα συγχρονισμοῦ.

## VII. ΜΕΤΑΔΟΣΙΣ ΔΟΤΩΝ.

### 31.1. Εἰσαγωγή

Δοτά, εἶναι κωδικοποιημένα, ὑπό ψηφιακὴν μορφήν, πληροφορίες, μεταδιδόμεναι, συνήθως, ὑπό μεγάλην ταχύτητα.

Εἰς τήν τεχνικὴν τῆς ἐπεξεργασίας τῶν δοτῶν (data), μέσῳ ἠλεκτρονικῶν ὑπολογιστῶν (computer), ἀποκτᾶ συνεχῶς μεγαλύτεραν σημασίαν ἡ εἰς μακράς ἀποστάσεις μετάδοσις τῶν δοτῶν. Τοῦτο διότι ὁ ἠλεκτρονικὸς ὑπολογιστής μιᾶς ὑπηρεσίας π.χ. μιᾶς τραπεζῆς πρέπει νά εἶναι εἰς θέσιν νά λαμβάνη καί νά ἀποστέλῃ πληροφορίας πρὸς τὰ διάφορα Ὑποκαταστήματα εἰς ἐλάχιστον, πρακτικῶς, χρόνον.

Γενικῶς, ἡ ἐπεξεργασία τῶν δοτῶν λαμβάνει χώραν εἰς τρεῖς φάσεις:

- Συγκέντρωσις τῶν δοτῶν ἐνός ἀπομεμακρυσμένου Ὑποκαταστήματος καί μετάδοσις τῶν πρὸς τόν ἠλεκτρονικόν ὑπολογιστήν.

- Ἐπεξεργασία τῶν δοτῶν ὑπὸ τοῦ ὑπολογιστοῦ.

- Μετάδοσις τῶν ἀποτελεσμάτων τῆς ἐπεξεργασίας πρὸς τὸ Ὑποκατάστημα.

Εἰς τήν μετάδοσιν τῶν δοτῶν διακρίνονται δύο περιπτώσεις:

α) Δι πληροφορίες μεταβιβάζονται πρὸς τόν ὑπολογισ-

στήν άνευ καθυστερήσεως, εϋθϋς ως άφικθούν εις τό 'Υποκατάστημα.

β) Συγκεντροϋνται αλ πληροφορίαι ενός συγκεκριμένου χρονικοϋ διαστήματος καί μεταβιβάζονται εις εϋθετον χροδονον.

Εις τήν πρώτην περίπτωσιν ή γραμμή πρέπει νά εϋρίσκειται συνεχώς εις τήν διάθεσιν τοϋ αποστολέως, ένω εις τήν δευτέρα, ή γραμμή διατίθεται εις άλλας χρήσεις καί χορηγείται εις τόν αποστολέα τῇ αίτήσει του.

Η τεχνική τῆς μεταδόσεως δοτῶν ασχολείται μέ τήν ταχείαν καί ασφαλή μετάδοσιν τῶν πληροφοριῶν ὑπό ψηφιακήν μορφήν.

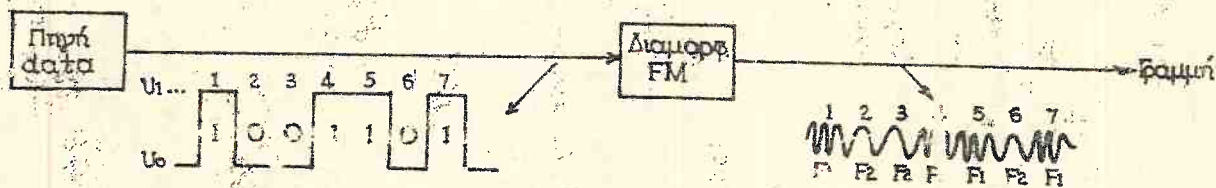
### 31.2. Μέθοδοι μεταδόσεως.

Έν εκ τῶν σπουδαιοτέρων προβλημάτων εις τήν μετάδοσιν δοτῶν εἶναι ή εξεύρεσις τοϋ προσφορωτέρου συστήματος μεταδόσεως προκειμένου νά επιτευχθῇ μεγίστη ροή πληροφοριῶν ὑπό χαμηλόν συντελεστήν εμφανίσεως λαθῶν. Πρός τοϋτο ὑφίστανται δύο μέθοδοι μεταδόσεως:

α) Μετάδοσις έν σειρᾷ: Χαρακτηρίζεται εκ τοϋ ὅτι ὅλα τά στοιχεῖα εκ τῶν ὁποίων ἀπαρτίζεται έν σῆμα, κωδικοποιημένον κατά τό δυαδικόν σύστημα, μεταβιβάζονται εις διαδοχικά χρονικά διαστήματα. Εἰς τό σχ. 199 δεικνύεται ή περίπτωσις έν σειρᾷ μεταδόσεως ενός σήματος (ὑπό δυαδικήν μορφήν). Τό σῆμα, ἀποτελούμενον ἐξ 7 στοιχείων εισάγεται εις τόν διαμορφωτήν συχνότητος. Εἰς τήν ἔξοδον τοϋτου εμφανίζεται σῆμα ἀποτελούμενον εκ τῶν χαρακτηριστικῶν συχνότητων  $F_1$  (ἀντιστοιχεῖ εις παλμόν 1) καί  $F_2$  (0).

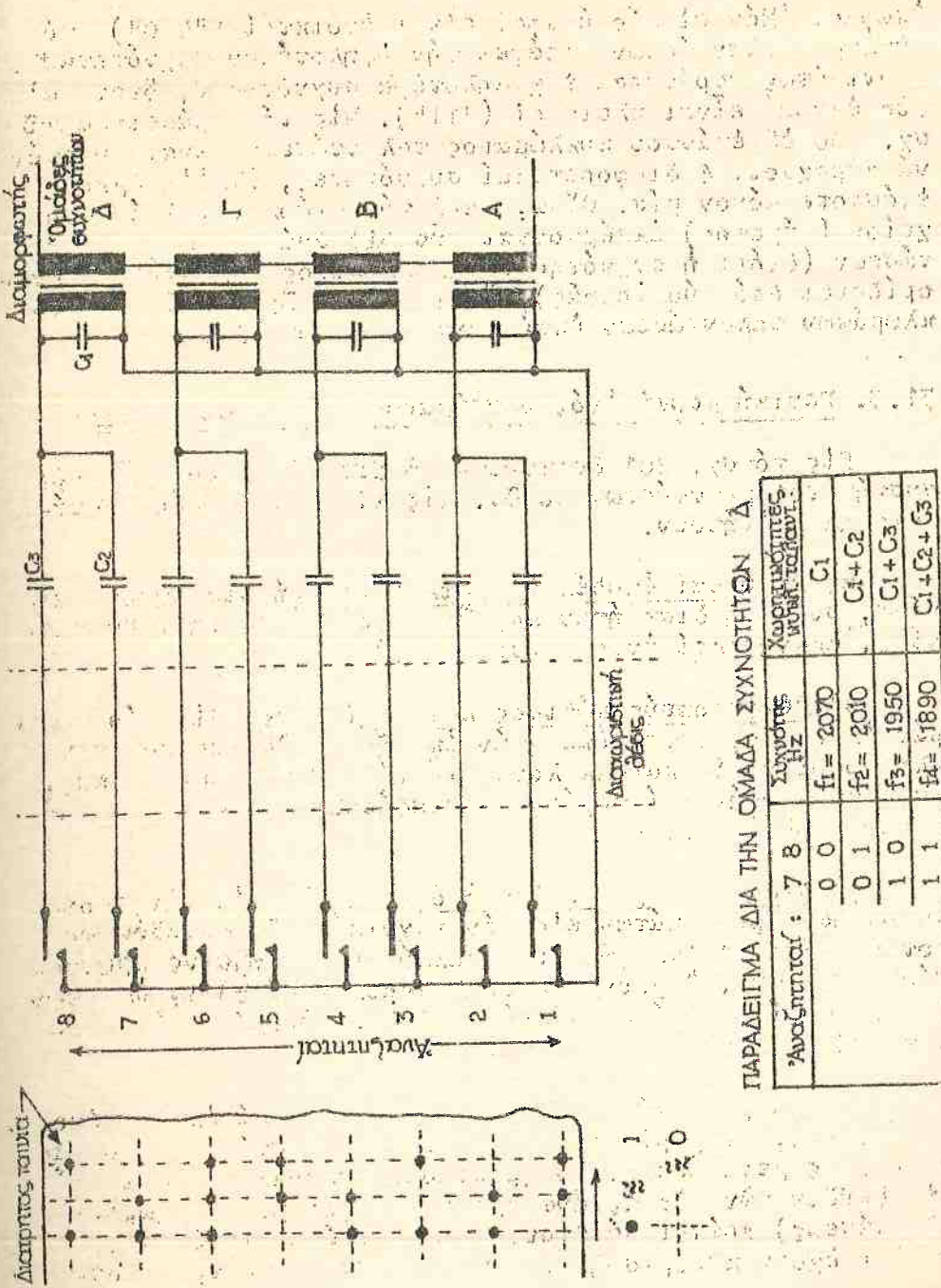
β) Μετάδοσις έν παραλλήλῳ. Εἰς τήν έν παραλλήλῳ μετάδοσιν, εις συγκεκριμένους ἀριθμός στοιχείων, π.χ. τά στοιχεῖα ενός σήματος data, μεταδίδεται ταυτοχρόνως. Εἰς τό σχ. 200 δεικνύεται έν σχετικόν παράδειγμα. Οἱ ἀναζητηταί τῆς διατρήτου ταινίας ὁδηγοῦν τάς ἐπαφάς 1-8. Όταν ὑφίσταται ὁπῇ εις τήν διάτρητον ταινίαν (ἀντιστοιχεῖ μέ "1"), ή ἀντίστοιχος ἐπαφή κλείει. Ἀντιθέτως ή ἐπαφή παραμένει ἀνοικτή, ὅταν δέν ὑπάρχει ὁπῇ (ἀντιστοιχεῖ μέ "0"). Ἐκαστον κύκλωμα ταλαντώσεων συνεργάζεται μέ δύο





Σχ. 199. Μετάδοση εν σειρά





Σχ. 200. Μετάδοσις ἐν παραλλήλῳ

έπαφάς. 'Εάν αἱ δύο έπαφαί εἶναι άνοικταί ("0 0") τό κύκλωμα ταλαντώσεων παράγει τήν ύψηλοτέραν συχνότητα  $f_1$ . 'Αντιθέτως παράγεται ἡ χαμηλοτέρα συχνότης  $f_4$  όταν αἱ δύο έπαφαί εἶναι κλεισταί ("11"). Εἰς τό παράδειγμα τοῦ σχ. 200 ἐξ ἐκάστου κυκλώματος ταλαντώσεων εἶναι δυνατόν γάρ παραχθοῦν 4 διαφορετικά συχνότητες, ἀλλ' ἐκπέμπεται ἐκάστοτε μόνον μία. Οὕτω, κατά τήν διάρκειαν ἑνός στοιχείου (βήματος) ἐκπέμπονται δύο Bit ἀνά κύκλωμα ταλαντώσεων (διότι ἡ συχνότης τοῦ κυκλώματος ταλαντώσεων καθορίζεται ἀπό δύο έπαφάς), ἤτοι συνολικῶς ἐκ τῶν 4 κυκλωμάτων ταλαντώσεων ἐκπέμπονται:  $4 \times 2 = 8$  Bit.

### 31.3. Γενική μορφή ἑνός συστήματος μεταδόσεως δοτῶν.

Εἰς τό σχ. 201 δεικνύεται ἡ βασική κατασκευή ἑνός συστήματος μεταδόσεως δοτῶν. Εἰς τὰς τερματικές διατάξεις data ἀνήκουν.

α) Πηγή καί ἀποδέκτης data (συσκευή διατρήτου ταινίας, συσκευή διατρήτων καρτῶν, συσκευή μαγνητικῆς ταινίας, μαγνητικοί ένταμιευταί κλπ.).

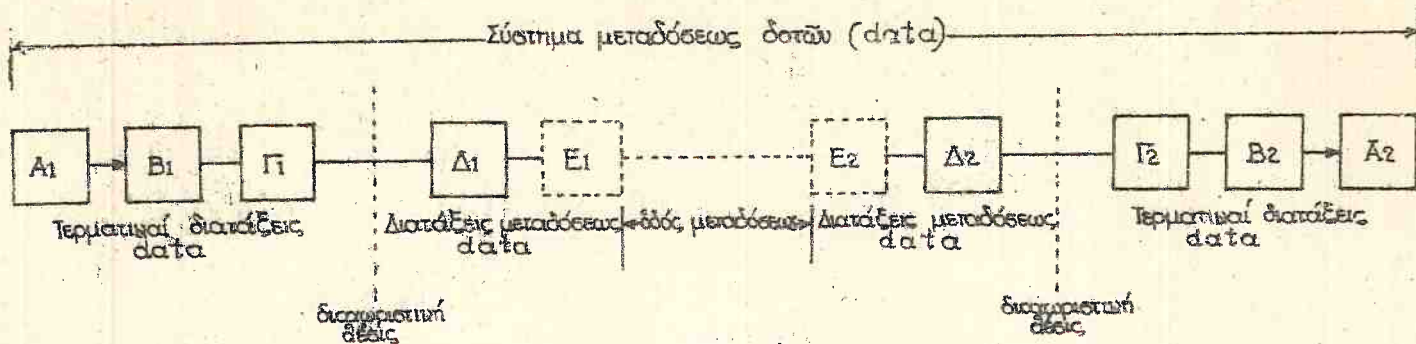
β) Μετατροπεύς κώδικος καί ταχύτητος. Εἰς τήν πλευράν ἐκπομπῆς, μετατρέπει τήν ἐκ τῆς πηγῆς παρεχομένην πληροφορίαν εἰς κατάλληλον, διά τό σύστημα μεταδόσεως, κωδικήν μορφήν καί ταχύτητα μεταδόσεως. Εἰς τήν πλευράν λήψεως δρᾷ ἀναλόγως.

γ) Διατάξεις προστασίας ἀπό λάθη; "Εν ἐκ τῶν σπουδαιότερων προβλημάτων εἰς τήν τεχνικήν τῆς μεταδόσεως δοτῶν, εἶναι ἡ ἐκλογή τοῦ κατάλληλου συστήματος προστασίας ἐκ λαθῶν. "Εχουν προταθεῖ μερικά μέθοδοι, ἐκ τῶν ὁποίων ἡ μία ὁμοιάζει μέ τήν μέθοδον αὐτομάτου διορθώσεως τῶν λαθῶν τῶν συστημάτων MUX.

'Η διαχωριστική θέσις, ὡς προκύπτει καί ἐκ τῆς ὀνομασίας της, διαχωρίζει τὰς τερματικές διατάξεις ἀπό τὰς διατάξεις μεταδόσεως. Αἱ χρησιμοποιούμεναι γραμμαί διά τήν ζεύξιν τῶν δύο ὡς ἄνω τμημάτων (γραμμαί διαχωριστικῆς θέσεως) πρέπει νά ἔχουν συγκεκριμένας ιδιότητες, αἱ ὁποῖαι ἔχουν καθορισθῇ διεθνῶς. Αἱ σπουδαιότεραι τούτων εἶναι:

Δυναμικόν σήματος:  $+3 \dots +25$  Volt ἢ  $-3 \dots -25$  Volt ἔναντι γῆς.





A1 : Πηγή data  
 A2 : Αποδέκτης data  
 B1, B2 : Μετατροπείς κώδικος και ταχύτητας  
 Γ1, Γ2 : Διατάξεις προστασίας από θόρυβο  
 Δ1, Δ2 : Απαιτούμενη Αποδιαμεριστική (Modem)

Σχ. 201. Σύστημα μεταδόσεως δατῶν



Ἀντίστασις τοῦ κυκλώματος εἰσόδου: Μεταξύ  $3\text{K}\Omega$  -  $7\text{K}\Omega$ .

Ἡ κλίσις τῶν παλμῶν data δέν πρέπει νά υπερβαίνει τά 3% τῆς ὀνομαστικῆς διαρκείας τοῦ στοιχείου (ὅταν ἡ γραμμὴ τερματίζεται εἰς ἀντίστασιν  $3\text{K}\Omega$ , ἡ χωρητικότης τῆς γραμμῆς εἶναι  $2,5\text{ nF}$  καὶ ὁ παλμός τοῦ σήματος μεταβάλλεται ἀπὸ τά  $+3\text{ Volt}$  εἰς  $-3\text{ Volt}$ ).

Αἱ διατάξεις μεταδόσεως δοτῶν χρησιμοποιοῦν ὅλα τὰ ὑπάρχοντα συστήματα ὑπερθέσεως. Δηλαδή ὑπέρθεσιν διὰ κατανομῆς χρόνου (PCM, MUX) ἢ διὰ κατανομῆς συχνότητος. Εἰς τὴν ὑπέρθεσιν διὰ κατανομῆς συχνότητος χρησιμοποιοῦνται ὅλα τὰ γνωστά συστήματα διαμορφώσεως (πλάτους, συχνότητος, φάσεως) ἀλλὰ κυρίως χρησιμοποιεῖται ἡ διαμόρφωσις κατὰ συχνότητα FM.

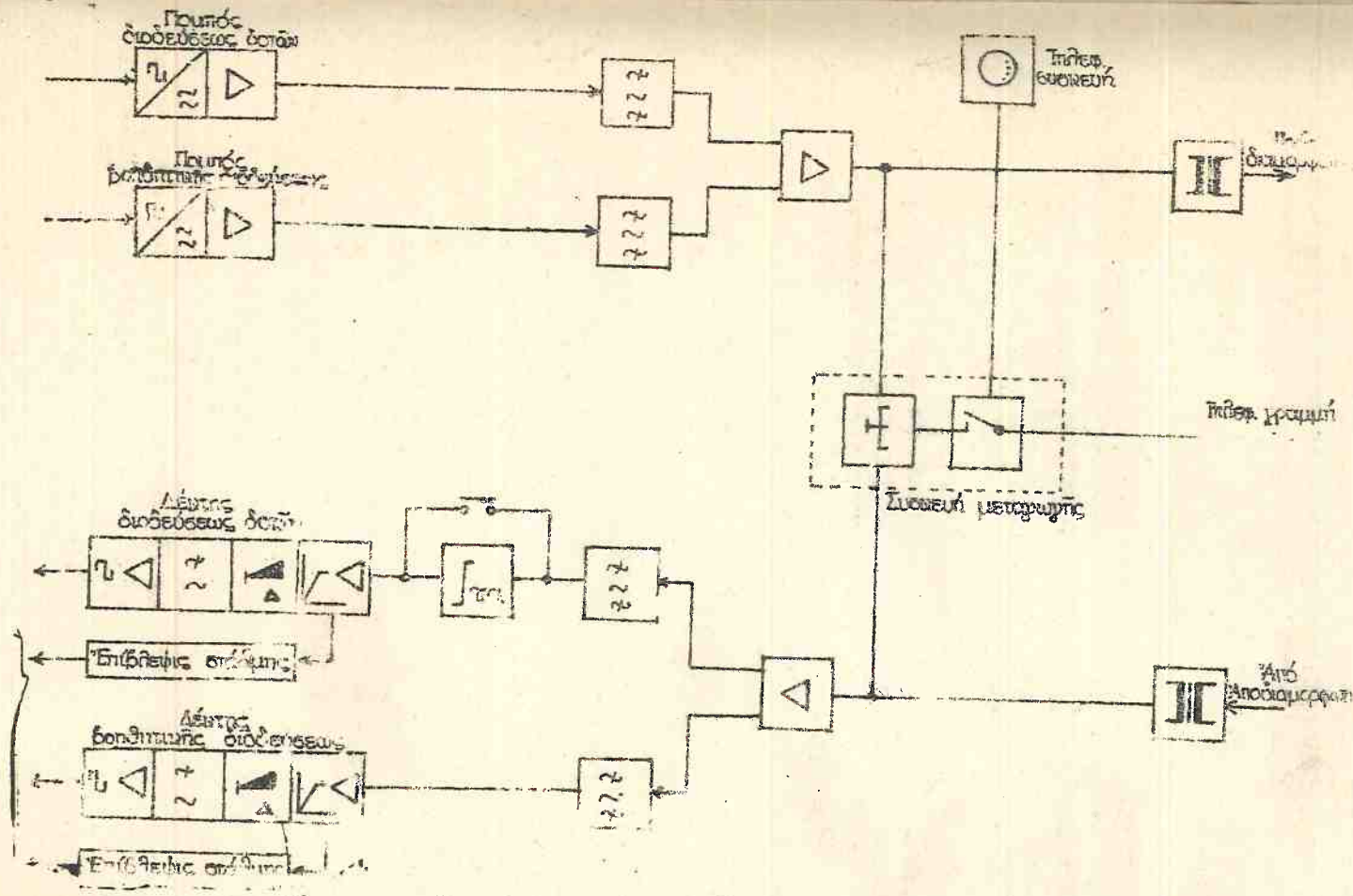
Ἡ χρησιμοποίησις τῆς καταλλήλου ὁδοῦ μεταδόσεως ἐξαρτᾶται ἀπὸ τὸ εὖρος συχνότητων τῶν συσκευῶν ὑπερθέσεως (τὸ ὁποῖον ἐξαρτᾶται ἀπὸ τὴν ταχύτητα μεταδόσεως, τὸ εἶδος διαμορφώσεως κλπ.). Οὕτω χρησιμοποιοῦνται:

- α) Τηλεγραφικαὶ γραμμαὶ (Telex, MUX κ.λ.π.)
- β) Τηλεφωνικαὶ διοδεύσεις
- γ) Ὅδοι μεταδόσεως εὐρείας περιοχῆς συχνότητων.

Π.χ. μία τηλεφωνικὴ διόδευσις ( $300$  -  $3400\text{ Hz}$ ), εἶναι ἱκανὴ νά δεχθῇ σήματα δοτῶν μεγίστης ταχύτητος  $4800\text{ bit/s}$ . Εἰς ὑψηλοτέρας ταχύτητας χρησιμοποιεῖται ἡ ζώνη μιᾶς βασικῆς πρωτομάδος  $60$  -  $108\text{ KHz}$  ( $40000\text{ bit/s}$ ), ἡ βασικῆς δευτερομάδος  $12$  -  $552\text{ KHz}$  ( $200.000\text{ bit/s}$ ) ἢ ἡ ζώνη ἑνὸς συστήματος  $120$  τηλεφ. διοδεύσεων  $12$  -  $552\text{ KHz}$  ( $450.000\text{ bit/s}$ ). Εἰς πλέον ὑψηλοτέρας ταχύτητος διατίθεται ἡ ζώνη μιᾶς βασικῆς τρίτομάδος ( $1232\text{ KHz}$ ) ἢ βασικῆς τεταρτομάδος ( $3872\text{ KHz}$ ).

#### 31.4. Διαμορφωτής - Ἀποδιαμορφωτής (Δ-Α) τῶν συστημάτων data.

Τὸ διάγραμμα ἑνὸς Δ-Α (ἢ Modem) διὰ μετάδοσιν ἐν σειρά δεικνύεται εἰς τὸ σχ. 202. Χρησιμοποιεῖται διὰ τὴν μεταβίβασιν δοτῶν ὑπὸ δυαδικὴν μορφήν καὶ ἐργάζεται διὰ διαμορφώσεως συχνότητος.



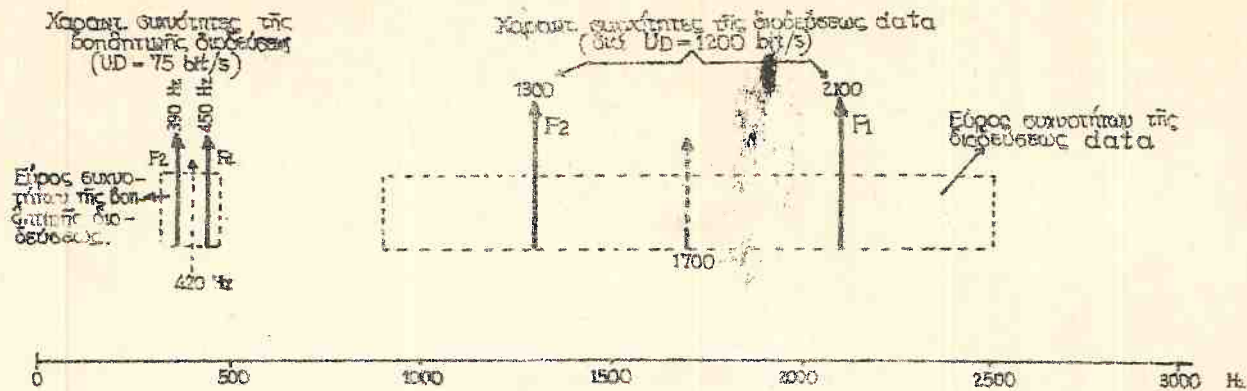
Σχ. 272. Σχηματισμόν-διάγραμμα Δ-Α-δ-16 1200 bit/s

Όπως φαίνεται εις τό σχῆμα, ὑφίστανται δύο διοδεύσεις: Μία κυρία διοδευσις διὰ τήν μετάδοσιν τῶν δοτῶν καί μία βοηθητική διοδευσις διὰ τήν λειτουργίαν τοῦ συστήματος προστασίας ἐκ λαθῶν. Εἰς τό σχ. 203 δεικνύονται αἱ χαρακτηριστικαί συχνότητες καί αἱ ζῶναι συχνότητων τῆς κυρίας καί τῆς βοηθητικῆς διοδεύσεως.

Ἡ ὁδός μεταδόσεως εἶναι δυνατόν νά χρησιμοποιηθῇ εἴτε μίᾳ φερέσυχνος τηλεφ. διοδευσις εἴτε μίᾳ διαστήματος τηλεφωνικῇ γραμμῇ. Εἰς τήν τελευταίαν περίπτωσιν χρησιμοποιεῖται ἡ συσκευή μεταγωγῆς, ἡ ὁποία περιλαμβάνει διαφορικόν μετασχηματιστήν καί μεταγωγικάς διατάξεις διὰ τήν ζευξίν τῆς γραμμῆς μετά τῆς τηλεφωνικῆς συσκευῆς.

Αἱ βασικαί μονάδες τοῦ πομποῦ (διαμορφωτῆς FM, ἐνισχυτής, φίλτρον ζώνης) καί τοῦ δέκτου (φίλτρον ζώνης, περιεριστής, διευκρινιστής, φίλτρον διελεύσεως χαμηλῶν συχνότητων, ἐνισχυτής) δέν διαφέρουν ἀπό τὰς ἀντιστοιχείους μονάδας ἐνός τηλεγραφικοῦ συστήματος FM. Πέραν αὐτῶν εἰς τήν ὁδόν λήψεως εἶναι δυνατόν νά χρησιμοποιηθῇ ἐξισωτής τῶν διαφορῶν ἀποσβέσεως καί χρόνου διαδρομῆς (Γα).





Σχ. 203. Φάσματα συχνοτήτων εις Δ-Α 1200 bit/s

